



Proyecto Arqueológico
L A C O R O N A

INFORME FINAL

Temporada 2012



Tomás Barrientos Q.
Marcello A. Canuto
Jocelyne Ponce

Guatemala, Marzo de 2013

© Proyecto Regional Arqueológico La Corona

17 Avenida "B" 0-76 Zona 15, Colonia El Maestro. 01015 Guatemala

lacorona.project@gmail.com

Edición General: Tomás Barrientos, Marcello Canuto y Jocelyne Ponce

Traducciones: Jocelyne Ponce y Tomás Barrientos

Edición electrónica en: <http://mari.tulane.edu/PRALC/research.html>

Figura de la portada: Fecha 4 Ajaw 3 Kank'in, Rueda Calendárica correspondiente al fin del B'aktun 13. Detalle del Bloque 5 de la Escalinata Jeroglífica 2 (Dibujo por Luis F. Luin)

CONTENIDO

Capítulo I	
Proyecto Regional Arqueológico La Corona: Antecedentes y objetivos de la Temporada 2012	
<i>Tomás Barrientos y Marcello Canuto</i>	1
Capítulo II	
Sub-Proyecto de Reconocimiento Arqueológico Regional: Temporada 2012	
<i>Carlos Roberto Chiriboga Holzheu</i>	25
Capítulo III	
Investigación arqueológica en La Cariba	
<i>David Chatelain, Maxime Lamoureux St.-Hilaire y Evan Parker</i>	47
Capítulo IV	
Operación CR20: Excavaciones en el Palacio de La Corona, Temporada 2012	
<i>Eduardo Bustamante</i>	57
Capítulo V	
Operación CR32: Excavaciones en la Estructura 13Q-2, Temporada 2012	
<i>Ana Cristina Guirola y Olga Slowing</i>	79
Capítulo VI	
Operaciones CR15A, CR15B y CR17B: Excavaciones en el Grupo Coronitas, Estructuras 13R-2, 13R-3 y 13R-5, Temporada 2012	
<i>Joanne Baron</i>	109
Capítulo VII	
Operaciones CR11D y CR11C: Excavaciones en la Estructura 13R-9, Temporada 2012	
<i>María Antonieta Cajas</i>	125
Capítulo VIII	
Operación CR16: Excavaciones en la Estructura 13R-10, Temporada 2012	
<i>Jocelyne Ponce Stokvis</i>	141
Capítulo IX	
Análisis preliminar de las inscripciones de la Escalinata Jeroglífica 2 de La Corona	
<i>David Stuart y Joanne Baron</i>	187
Capítulo X	
Operación CR117: Excavaciones en la Estructura 13R-7	
<i>Divina Perla Barrera</i>	221
Capítulo XI	
Excavaciones en la plataforma del Grupo 13R-II	
<i>Jocelyne Ponce, Andrea Sandoval y Alejandro González</i>	251

Capítulo XII	
Excavaciones en el Grupo 14S-1 “El Caballito”, Temporada 2012	
<i>Jorge Pontaza y Alejandro González</i>	259
Capítulo XIII	
Excavaciones en el Grupo 13S-1	
<i>Clarissa Cagnato</i>	279
Capítulo XIV	
Investigación de <i>chultunes</i> en El Jobillo	
<i>Clarissa Cagnato</i>	289
Capítulo XV	
Análisis preliminar de la cerámica de La Corona: Grupo Coronitas	
<i>Caroline Parris</i>	297
Capítulo XVI	
Análisis de restos esqueléticos humanos: Temporada 2012	
<i>Erin Patterson</i>	327
Capítulo XVII	
Análisis de restos de fauna de un depósito de festín ritual de la Estructura 13R-10	
<i>Diana Fridberg</i>	337
Capítulo XVIII	
Resultados de Análisis Paleoetnobotánicos: Temporadas 2009 a 2011	
<i>Clarissa Cagnato</i>	349
Capítulo XIX	
Resultados Generales y Conclusiones de la Temporada de Campo 2012	
<i>Marcello Canuto y Tomás Barrientos</i>	367
Bibliografía	393
Apéndice A	403

Índice de Figuras

No. Página

Capítulo I

Figura 1.1	Sitios hallados en la zona de estudio PRALC hasta 2011.....	6
Figura 1.2	Ubicación de La Corona al oeste de la Meseta Cárstica Central. Las áreas verdes son de menor altura y las de color café son de mayor altitud ..	7
Figura 1.3	La Corona y otros sitios al oeste de la Meseta Cárstica Central	8
Figura 1.4	Mapa tridimensional de La Corona, Temporada 2011.....	9
Figura 1.5	La Corona, Plaza principal (arriba) y Grupo Coronitas (abajo).....	10
Figura 1.6	El Achiotal y otros sitios Preclásicos de la Meseta Cárstica Central	11
Figura 1.7	Mascarón 2, Subestructura Chen, Estructura 5C-01, E Achiotal.....	12
Figura 1.8	Posible ruta de intercambio en el Clásico Temprano.....	13
Figura 1.9	Panel 6 de La Corona (Altar de Dallas; Monumento Saqueado 6).....	13
Figura 1.10	Mapa de la ruta o “Camino Real” que unió Calakmul con varias ciudades al sur.....	15
Figura 1.11	Tabla cronológica de los gobernantes de La Corona durante la “Era Dorada”	16
Figura 1.12	Reconstrucción hipotética de las tres pirámides centrales del Grupo Coronitas.....	17
Figura 1.13	Reconstrucción hipotética de las Plaza Principal: Estructura 13Q-4 (Palacio) en primer plano y estructuras 13Q-1 y 13Q-2 al fondo.....	18
Figura 1.14	Zona de Estudio con límites aproximados	21
Figura 1.15	Delimitación de La Corona y ubicación del Campamento PRALC	22

Capítulo II

Figura 2.1	Localización del área de estudio en el occidente de la RBM.....	25
Figura 2.2	Sitios identificados durante la Temporada 2012.....	26
Figura 2.3	Sitio PRALC-018 Los Costales – Plano del Sitio. Escala 1:1000	28
Figura 2.4	Sitio PRALC-037 El Conacaste – Plano del Sitio. Escala 1:2000.....	29
Figura 2.5	Sitio PRALC-038 El Tesoro – Plano del Sitio. Escala 1:2000	30
Figura 2.6	Sitio PRALC-039 La Isla – Plano del Sitio. Escala 1:2000.....	32
Figura 2.7	Sitio PRALC-041 El Ramonalito – Plano del Sitio. Escala 1:1000.....	33
Figura 2.8	Sitio PRALC-043 El Desprecio – Plano del Sitio. Escala 1:2000.....	35
Figura 2.9	Unidad PRALC-038-101. Planta. Escala 1:20.....	37
Figura 2.10	Unidad PRALC-038-101 – Perfil Norte. Escala 1:20.....	38
Figura 2.11	Unidad PRALC-038-101 – Fotografía Perfil Norte.....	38
Figura 2.12	Unidad PRALC-039-101 – Planta. Escala 1:20.....	39
Figura 2.13	Unidad PRALC-039-101 – Perfil Norte y Este. Escala 1:20.....	40
Figura 2.14	Unidad PRALC-039-101 – Perfil Norte	40
Figura 2.15	Unidad PRALC-039-101 - Perfil Este	40
Figura 2.16	Ofrenda - Plato fragmentado sobre vaso.....	42
Figura 2.17	Vaso y plato en ofrenda	42
Figura 2.18	Vaso y plato en ofrenda	42
Figura 2.19	Unidad PRALC-042-101 – Perfil Sur y Oeste. Escala 1:20	43
Figura 2.20	Unidad PRALC-042-101 – Perfil Sur	43
Figura 2.21	Unidad PRALC-042-101- Perfil Oeste	43
Figura 2.22	Unidad PRALC-043-101 – Perfil Norte y Este. Escala 1:20.....	44
Figura 2.23	Unidad PRALC-043-101 – Perfil Norte	45
Figura 2.24	Unidad PRALC-043-101 – Perfil Este.....	45
Figura 2.25	Total de sitios identificados en área de estudio hasta 2012	46

Capítulo III

Figura 3.1 Mapa de La Cariba	48
Figura 3.2 Mapa tridimensional de La Cariba	49
Figura 3.3 Mapa tridimensional de La Cariba, viendo al suroeste	50
Figura 3.4 Monumento 5 de La Cariba.....	52

Capítulo IV

Figura 4.1 Planta de las estructuras 13Q-4E-Sub 1 y 13Q-4E-Sub 2. Unidades CR20E-1y CR20E-3.....	60
Figura 4.2 Fachada Norte, Estructura <i>Ahk</i>	61
Figura 4.3 Moldura incrustada en el relleno.....	62
Figura 4.4 Muro de contención (izquierda) y relleno de tierra negra (derecha).....	64
Figura 4.5 Muro Oeste, Cuarto 1 y entrada a Cuarto 3 A)Relleno; B) Arena Blanca; C) Tierra Negra; D) Tierra Café; E) Estuco.....	66
Figura 4.6 a) Perfil Sur, Lote 4; b) Perfil Norte, Lote 4	69
Figura 4.7 a) Perfil Oeste Unidad CR 20E-3; b) Perfil Norte Unidad CR 20E-3	72
Figura 4.8 Monumento encontrado en Estrato 2 (Monumento 78).....	74
Figura 4.9 Perfil Sur Unidad CR 20E-2	76
Figura 4.10 Secuencia constructiva de la Estructura 13Q-4.....	78
Figura 4.11 Reconstrucción Fase Halcón	78

Capítulo V

Figura 5.1 Excavaciones realizadas por Stanley Guenter en 2008 y 2009.....	80
Figura 5.2 Excavaciones realizadas en la Temporada 2010 por Cristina Guirola.....	81
Figura 5.3 Excavaciones de la Temporada 2010 por Antolín Velásquez.....	81
Figura 5.4 Ubicación de las excavaciones realizadas en la Temporada 2011	82
Figura 5.5 Ubicación de excavaciones en la Estructura 13Q-2.....	83
Figura 5.6 Parte de la escalinata deteriorada y parte de la Unidad CR32H-11	85
Figura 5.7 Esqueleto de reptil.....	86
Figura 5.8 Parte de la escalinata destruida	86
Figura 5.9 Excavación de CR32H-12, la cual estaba compuesta solo por relleno	87
Figura 5.10 Perfil Sur de escalinata de la Estructura 13Q-2	88
Figura 5.11 Perfil Norte de la escalinata de Estructura 13Q-2.....	89
Figura 5.12 Fotografía de los tres bloques que conforman la tercera grada de la última fase constructiva de la Estructura 13Q-2, con sus dimensiones	90
Figura 5.13 Tercera y segunda grada de la última fase constructiva de la Estructura 13Q-2.	91
Figura 5.14 Parte oeste de la unidad donde se puede apreciar el área de saqueo.....	92
Figura 5.15 Muro perteneciente a la Estructura 13Q-2A	92
Figura 5.16 Primera grada de la última fase constructiva de la Estructura 13Q-2.....	93
Figura 5.17 Imagen de la tercera grada y segunda grada de la última fase constructiva del edificio. Los dos bloques en la parte media de la fotografía pertenecen a la Unidad CR32D-34.....	94
Figura 5.18 Tercera grada de la última fase constructiva de la Estructura 13Q-2. El bloque en el lado derecho pertenece a la Unidad CR32D-37	94
Figura 5.19 Perfiles y planta de la Unidad CR32D-35.....	96
Figura 5.20 Al extenderse al sur, evidencia de la tercera grada del edificio desaparece y ya no se encuentran más bloques.....	96
Figura 5.21 Imagen de la contrahuella de la primera grada de la Estructura 13Q-2.....	97

Figura 5.22	Evidencia de las tres gradas de la última fase constructiva del edificio, pero no se encontró ningún bloque, solo evidencia de los pisos.....	98
Figura 5.23	Piso de plaza deteriorado	99
Figura 5.24	Incensario del Postclásico Tardío	100
Figura 5.25	Apreciación de las gradas de la última fase constructiva de la Estructura 13Q-2.....	100
Figura 5.26	Imagen donde se puede apreciar las tres primeras gradas de la fachada de la última fase constructiva de Estructura 13Q-2 y parte del muro este de la Estructura 13Q-2A.....	101
Figura 5.27	Parte de la trinchera de la Suboperación CR32B	102
Figura 5.28	Dibujo de planta de excavaciones realizadas durante la Temporada de Campo 2012	104
Figura 5.29	Dibujo de Perfil Norte y Sur	105
Figura 5.30	Incensarios encontrados en la Estructura 13Q-2.....	106
Figura 5.31	Imágenes de elementos arquitectónicos que se pueden apreciar de las dos fases constructivas de la Estructura 13Q-2, sobre todo de la última fase constructiva.....	107

Capítulo VI

Figura 6.1	Planta de excavación de las unidades CR15A-6, CR15A-7, CR15A-8 y CR15A-9	112
Figura 6.2	Fotografía de las unidades CR15A-6, CR15A-7, CR15A-8 y CR1A-8 desde el norte.....	112
Figura 6.3	Planta de excavación de las unidades CR15B-2, CR15B-3 y CR15B-4....	114
Figura 6.4	Foto de excavación de las unidades CR15B-2, CR15B-3 y CR15B-4 desde el sur.....	115
Figura 6.5	Foto de excavación de las unidades CR15B-2, CR15B-3 y CR15B-4 desde el norte.....	116
Figura 6.6	Foto de la unión de los muros de terraza, estructuras 13R-3 y 13R-4	117
Figura 6.7	Perfil Norte de la Estructura 13R-5.....	120

Capítulo VII

Figura 7.1	Escalinata de acceso de la Estructura 13R-9, excavada en 2009 por Erika Gómez.....	126
Figura 7.2	Planta de las excavaciones realizadas en la Estructura 13R-9 en 2011. Escala 1:20	127
Figura 7.3	Vasija, materiales marinos, y artefactos líticos encontrados que evidencian actividades ceremoniales en la Estructura 13R-9	128
Figura 7.4	Perfil Norte de la Estructura 13R-9, con la ubicación del pozo en el centro de superestructura y corredor que une con la Estructura 13R-10 ...	130
Figura 7.5	Fragmento de tapadera con decoración estucada e incisa	133
Figura 7.6	Perfil Oeste y planta del recinto funerario excavado en roca madre. Escala 1:20	135
Figura 7.7	Cráneo desarticulado de un individuo joven de sexo indeterminado.....	136
Figura 7.8	Perfil Norte y Oeste de la Unidad CR11C-4. Escala 1:20	138

Capítulo VIII

Figura 8.1	Mapa de los Grupos 13R-1 y 13R-II.....	141
Figura 8.2	Planta de excavación mostrando rasgos descubiertos en las temporadas 2010, 2011 y 2012.....	144

Figura 8.3	Planta de excavación mostrando perfiles dibujados.....	145
Figura 8.4	Planta de excavación mostrando ubicación de unidades.....	146
Figura 8.5	Bloques 11 a 15 de la Escalinata Jeroglífica A.....	149
Figura 8.6	Bloques 16 a 19 de la Escalinata Jeroglífica A.....	150
Figura 8.7	Bloques lisos encontrados en el escombros de saqueo pertenecientes a la Escalinata Jeroglífica A.....	150
Figura 8.8	Panorámica del primer escalón de la Escalinata Jeroglífica 2.....	152
Figura 8.9	Primer escalón de la Escalinata Jeroglífica 2.....	152
Figura 8.10	Bloques tallados con glifos y personajes al centro del primer escalón de la Escalinata Jeroglífica 2.....	153
Figura 8.11	Bloque 1 de la Escalinata Jeroglífica 2 <i>in situ</i> (izquierda) y después de haber sido extraído (derecha).....	155
Figura 8.12	Bloques 2 y 3 de la Escalinata Jeroglífica 2 <i>in situ</i>	155
Figura 8.13	Bloque 4 de la Escalinata Jeroglífica 2 <i>in situ</i> (izquierda) y después de haber sido extraído (derecha).....	156
Figura 8.14	Bloques 5 y 6 de la Escalinata Jeroglífica 2 <i>in situ</i>	157
Figura 8.15	Bloque 13 de la Escalinata Jeroglífica 2 <i>in situ</i> (izquierda) y después de haber sido extraído (derecha).....	158
Figura 8.16	Bloques 7 y 8 de la Escalinata Jeroglífica 2 <i>in situ</i>	159
Figura 8.17	Bloques 9, 10 y 11 de la Escalinata Jeroglífica 2 <i>in situ</i>	160
Figura 8.18	Bloque 12 de la Escalinata Jeroglífica 2 <i>in situ</i> (izquierda) y después de haber sido extraído (derecha).....	161
Figura 8.19	Lateral Este (arriba) y Oeste (abajo) del primer escalón de la Escalinata Jeroglífica 2.....	162
Figura 8.20	Perfil Este de la Estructura 13R-10 mostrando rasgos en la parte superior de la estructura y estratigrafía de trinchera en la Plaza Sur (Perfil A).....	163
Figura 8.21	Piso de plaza cortado debajo de relleno del primer escalón en CR16A-45 (izquierda) y CR16A-26a-c (derecha).....	164
Figura 8.22	Nivelaciones del piso de plaza en el extremo este del primer escalón de la Escalinata Jeroglífica 2. Unidad CR16A-40.....	165
Figura 8.23	Panel 6 (Monumento Saqueado 6) (izquierda) y restos del Panel 6 dejado por los saqueadores (derecha).....	166
Figura 8.24	Posible estela lisa encontrada sobre el primer escalón.....	166
Figura 8.25	Ofrenda de materiales misceláneos encontrada bajo el piso de plaza.....	168
Figura 8.26	Basamentos de muros en la Plaza Sur (izquierda) y Plaza Este (derecha). ..	170
Figura 8.27	Esquema de rasgos descubiertos en la parte superior de la Estructura 13R-10 en las temporadas 2011 y 2012.....	171
Figura 8.28	Esquema de distribución de artefactos encontrados en el Nivel 2 en la parte superior de la Estructura 13R-10.....	172
Figura 8.29	Elevación Sur de Muro Norte (Perfil F).....	173
Figura 8.30	Elevación Sur de Muro Central (Perfil D).....	174
Figura 8.31	Elevación Norte de Muro Central (Perfil E).....	174
Figura 8.32	Elevación Norte de Muro Sur (Perfil C).....	175
Figura 8.33	Elevación Sur de Muro Sur (Perfil K).....	175
Figura 8.34	Depósito de fragmentos de pedernal, huesos quemados y carbón <i>in situ</i> (izquierda) y fragmentos de pedernal provenientes del depósito (derecha).....	177
Figura 8.35	Fragmento de cerámica tallado en forma de malacate.....	177
Figura 8.36	Esquema de distribución de artefactos en el Cuarto 1.....	177

Figura 8.37	Fragmentos de estuco con restos de pintura roja en el Muro Este de la plataforma basal	178
Figura 8.38	Fragmento de incensario posclásico encontrado en la Estructura 13R-12.....	179
Figura 8.39	Esquema de distribución de artefactos en el Cuarto 3	180
Figura 8.40	Fragmentos quemados del Piso de Estuco 2 en el Cuarto 3.....	180

Capítulo IX

Figura 9.1	Escalinata Jeroglífica 2 de La Corona	188
Figura 9.2	Bloque 1, Escalinata Jeroglífica 2 de La Corona	193
Figura 9.3	Bloques 2 y 3, Escalinata Jeroglífica 2 de La Corona.....	194
Figura 9.4	Bloque 4, Escalinata Jeroglífica 2 de La Corona	196
Figura 9.5	Bloque 5, Escalinata Jeroglífica 2 de La Corona	198
Figura 9.6	Bloque 6, Escalinata Jeroglífica 2 de La Corona	199
Figura 9.7	Bloque 7, Escalinata Jeroglífica 2 de La Corona	201
Figura 9.8	Bloque 8, Escalinata Jeroglífica 2 de La Corona	201
Figura 9.9	Bloque 9, Escalinata Jeroglífica 2 de La Corona	202
Figura 9.10	Secuencia de bloques del “Conjunto A” de La Corona	203
Figura 9.11	Bloque 10, Escalinata Jeroglífica 2 de La Corona	204
Figura 9.12	Bloque 11, Escalinata Jeroglífica 2 de La Corona	205
Figura 9.13	Bloque 12, Escalinata Jeroglífica 2 de La Corona	206
Figura 9.14	Bloque 13, Escalinata Jeroglífica 2 de La Corona	207
Figura 9.15	Bloque 13, Escalinata Jeroglífica A de La Corona	209
Figura 9.16	Bloque 11, Escalinata Jeroglífica A de La Corona	209
Figura 9.17	Bloque 15, Escalinata Jeroglífica A de La Corona	210
Figura 9.18	Bloque 9, Escalinata Jeroglífica A de La Corona	211
Figura 9.19	Bloque 14, Escalinata Jeroglífica A de La Corona	212
Figura 9.20	Bloque 18, Escalinata Jeroglífica A de La Corona	213
Figura 9.21	Bloque 19, Escalinata Jeroglífica A de La Corona	214
Figura 9.22	Bloque 10, Escalinata Jeroglífica A de La Corona	215
Figura 9.23	Bloque 12, Escalinata Jeroglífica A de La Corona	216
Figura 9.24	Bloque 16, Escalinata Jeroglífica A de La Corona	216
Figura 9.25	Bloque 17, Escalinata Jeroglífica A de La Corona	217
Figura 9.26	Panel 6 (Monumento Saqueado 6) (izquierda) y restos del Panel 6 dejado por los saqueadores (derecha).....	218

Capítulo X

Figura 10.1	Croquis de planta ubicando las excavaciones realizadas	223
Figura 10.2	Limpieza del Saqueo 1 y Unidad CR117A-1.....	224
Figura 10.3	Limpieza del Saqueo 2	225
Figura 10.4	Perfil Norte de la Suboperación CR117A. Escala 1:20	226
Figura 10.5	Nivel de piso identificado en la Unidad CR117A-1	227
Figura 10.6	Plataforma adosada y área de actividad. Fachada Sur de la Estructura 13R-7.....	228
Figura 10.7	Depósito 1 y Saliente	229
Figura 10.8	Lote 3, plato negro semicompleto.....	230
Figura 10.9	Fragmento de concha trabajado en forma circular proveniente del Depósito 2	231
Figura 10.10	Vasija del tipo Chicxulub Inciso, de doble base	231
Figura 10.11	Cerámica del Grupo Chablekal	232

Figura 10.12 Cerámica del Grupo Azote.....	232
Figura 10.13 Cerámica del Grupo Tinaja.....	233
Figura 10.14 Cerámica del Grupo Tinaja.....	233
Figura 10.15 Planta de la Saliente.....	234
Figura 10.16 Perfil Oeste de la Saliente.....	234
Figura 10.17 Fin de la Unidad CR117A-3.....	235
Figura 10.18 Perfil Este de la Suboperación CR117B. Escala 1:20.....	236
Figura 10.19 Muro Oeste y plataforma adosada.....	237
Figura 10.20 Sección de muro.....	238
Figura 10.21 Unidad CR117B-3.....	239
Figura 10.22 Piso estucado de la Estructura 13R-7.....	240
Figura 10.23 Muro de posible cuarto y nivel de piso estucado en las unidades CR117C-2 y CR117C-3.....	240
Figura 10.24 Muro de Saqueo 2 y unidades CR117C-2 y CR117C-3. Escala 1:20.....	242
Figura 10.25 Rocas alineadas identificadas en el registro de la Unidad CR117D-1.....	243
Figura 10.26 Planta del muro y banquetta de la Unidad CR117D-2.....	244
Figura 10.27 Unidad CR117D-2.....	245
Figura 10.28 Corte este-oeste de la Estructura 13R-7. Escala 1:20.....	245
Figura 10.29 Planta de las excavaciones realizadas en la Estructura 13R-7. Escala 1:50.....	246
Figura 10.30 Esquema de planta de la Estructura 13R-7.....	247
Figura 10.31 Levantamiento esquemático.....	247

Capítulo XI

Figura 11.1 Área donde se ubicaron las unidades de excavación.....	251
Figura 11.2 Posible fogón encontrado en el Lote 5 de la Unidad CR11A-6.....	253
Figura 11.3 Piedra de moler encontrada en la parte interna del posible fogón. Unidad CR11A-6-5.....	253
Figura 11.4 Perfiles y plantas de los niveles 1 y 2 de la Unidad CR16A-6.....	254
Figura 11.5 Esquina este del posible fogón e hileras de piedras orientadas hacia el norte.....	255
Figura 11.6 Perfiles y plantas de los niveles 1 y 2 de la Unidad CR16A-7.....	255
Figura 11.7 Perfiles y planta del Nivel 2 de la Unidad CR13A-8.....	256

Capítulo XII

Figura 12.1 Croquis de la ubicación de los pozos en la parte superior de la Estructura 14S-1.....	260
Figura 12.2 Fotografía mostrando el detalle del lado norte de las hiladas superiores de un muro banquetta en la parte superior de la Estructura 14SI-1. Unidad CR50-16-1.....	262
Figura 12.3 Dibujo de planta y fotografía del detalle de la Unidad CR50-22.....	263
Figura 12.4 Planta de las excavaciones realizadas en la Plaza B.....	264
Figura 12.5 Perfiles de la trinchera realizada en la Estructura 14SI-B13.....	265
Figura 12.6 Detalle de muro y alineación de piedras externas.....	267
Figura 12.7 Planta del Entierro 7 mostrando la posición y estado de las vasijas encontradas.....	269
Figura 12.8. Plato del tipo Saxché Palmar Naranja Polícromo encontrado en el Entierro 7.....	270
Figura 12.9 Cuenco del tipo Zacatal Crema Polícromo encontrado en el Entierro 7.....	271
Figura 12.10 Vaso cilíndrico del tipo Desquite Rojo sobre Naranja, Entierro 7.....	271

Capítulo XIII

Figura 13.1	Ubicación del Grupo 13S-I en relación al núcleo principal.....	280
Figura 13.2	Croquis del Grupo 13S-I y ubicación de las unidades de excavación	280
Figura 13.3	Perfiles Sur y Oeste de la Unidad CR40B-1	282
Figura 13.4	Posible piso en la Unidad CR40C-1.....	283
Figura 13.5	Perfiles Este y Sur de la Unidad CR40C-1	284
Figura 13.6	Perfiles Norte y Este de la Unidad CR40C-2.....	285
Figura 13.7	Perfiles Oeste y Sur de la Unidad CR40D-1	286

Capítulo XIV

Figura 14.1	Ubicación de El Jobillo en relación al núcleo principal de La Corona (izquierda) y Mapa de El Jobillo (derecha).....	289
Figura 14.2	Localización del <i>Chultún</i> A en el Jobillo.....	291
Figura 14.3	Fotografía de planta del <i>chultún</i> en El Jobillo antes de excavación	291
Figura 14.4	Fragmento de metate grande encontrado en el Lote 5	293
Figura 14.5	Perfil Oeste (izquierda) y Perfil Sur del <i>Chultún</i> (derecha).....	294

Capítulo XVI

Figura 16.1	Hiperostosis porótica en el parietal izquierdo, Entierro 8.....	328
Figura 16.2	Alveolos indicando la presencia del molar tipo “peg”, maxilar izquierdo, Entierro 8.....	328
Figura 16.3	Modificaciones dentales antemortem, Entierro 8 (Izquierda: incisivo lateral del maxilar derecho. Derecha: canino del maxilar derecho).....	328
Figura 16.4	Retícula de los niveles de excavación superior (a) e inferior (b) del Entierro 7.....	329
Figura 16.5	Mapa de La Corona mostrando ubicación de entierros.....	331

Capítulo XVIII

Figura 18.1	Grano de maíz Chapalote-Nal Tel.....	355
Figura 18.2	Semillas de amaranto encontradas dentro del <i>chultún</i> asociado con la Estructura 13R-10	356
Figura 18.3	Semilla de <i>Crotalaria</i> sp.	356
Figura 18.4	Semilla de Fabaceae.....	357
Figura 18.5	Semilla de <i>Plantago</i> sp.	361

Capítulo XIX

Figura 19.1	Personal de la Temporada de Campo 2012 de PRALC	367
Figura 19.2	Perfil de excavación de la Estructura 13R-2, mostrando cuatro fases constructivas.....	368
Figura 19.3	Planta y perfil norte de excavación de la Estructura 13R-10.....	370
Figura 19.4	Bloques lisos pertenecientes a la Escalinata Jeroglífica A.....	372
Figura 19.5	Montaje fotográfico de secuencia de seis bloques de la Escalinata Glífica A.....	372
Figura 19.6	Reconstrucción de la fachada de la Estructura 13R-10, mostrando la ubicación de las dos escalinatas glíficas y el Altar 6 (Monumento Saqueado 6)	373
Figura 19.7	Bloques 7 y 8 de la Escalinata Jeroglífica 2.....	373
Figura 19.8	Reconstrucción del Palacio de La Corona en su última etapa constructiva	374

Figura 19.9 Base de la escalinata de la Estructura 13Q-2, mostrando bloques faltantes	375
Figura 19.10 Plano actualizado del sitio La Cariba.....	376
Figura 19.11 Mapa indicando los 11 sitios registrados en 2012	377
Figura 19.12 Cuenco fragmentado del Clásico Tardío, proveniente de El Jobillo.....	379
Figura 19.13 Incensarios postclásicos recuperados en La Corona	379
Figura 19.14 Ubicación de los entierros en La Corona, localizados según su numeración	380
Figura 19.15 Secuencia dinástica de La Corona durante la “Era Dorada”	383
Figura 19.16 Ruta propuesta entre Cancuén y Calakmul	386
Figura 19.17 Fotos y afiches de conferencias presentadas en 2012	391

Listado de Tablas	No. Página
Tabla 8.1 Tabla de Medidas (cm) de Bloques con Glifos de las Escalinatas Jeroglíficas 2 y A encontrados en la Temporada 2012.....	183
Tabla 8.2 Tabla de Materiales.	184
Tabla 9.1 Secuencias y Cronologías Reconstruidas del “Conjunto A”.....	219
Tabla 10.1 Cuadro de tipos diagnósticos encontrados en el Depósito 2	231
Tabla 12.1 Tabla de materiales encontrados	277
Tabla 15.1 Tipos y variedades identificados en el análisis cerámico de 2006.....	305
Tabla 15.2 Lista de tipos cerámicos identificados en La Corona.....	308
Tabla 15.3 Lista de tipos identificados en La Corona por período de tiempo.....	309
Tabla 15.4 Lotes cerámicos y sus fechas asociadas	310
Tabla 15.5 Lotes examinados de Coronitas con fechas asociadas y fases arquitectónicas	318
Apéndice 15.1 Descripción de vasijas completas.....	320
Tabla 16.1 Inventario de restos humanos, Entierro 8 (CR11C-4-9-18)	332
Tabla 16.2 Inventario de restos humanos, Entierro 7 (CR50-21A-7)	333
Tabla 16.3 Resumen de entierros de La Corona.....	335
Tabla 17.1 Distribución de Mollusca por lote	338
Tabla 17.2 Representación taxonómica de Mollusca	339
Tabla 17.3 Identificabilidad de restos de vertebrados en el <i>chultún</i>	340
Tabla 17.4 Representación de clases de vertebrados.....	340
Tabla 17.5 Representación de Actinopterygii	341
Tabla 17.6 Taxones identificados en Actinopterygii.....	341
Tabla 17.7 Representación de Anfibios.....	342
Tabla 17.8 Representación de Aves	342
Tabla 17.9 Representación de Mammalia	343
Tabla 17.10 Tamaños de clases de Mammalia no identificada	343
Tabla 17.11 Representación de parte corporal: Didelphimorphia.....	344
Tabla 17.12 Representación de parte corporal: Canidae	345
Tabla 17.13 Representación de parte corporal: Cervidae.....	346
Tabla 18.1 Resumen de resultados paleoetnobotánicos selectos de La Corona.....	353
Tabla 18.2 Datos detallados de muestras analizadas	363
Tabla 18.3 Datos detallados de semillas carbonizadas.....	365

NOTA ACLARATORIA

En el presente informe se hace referencia a una nomenclatura de monumentos actualizada, cuyo listado de Monumentos y Monumentos Saqueados se encuentra en el Apéndice 1.

CAPÍTULO I

PROYECTO REGIONAL ARQUEOLÓGICO LA CORONA: ANTECEDENTES Y OBJETIVOS DE LA TEMPORADA 2012

Tomás Barrientos y Marcello A. Canuto

Después de seis temporadas de campo entre 2005 y 2011, el sitio arqueológico La Corona figura como uno de los centros más importantes de la región noroccidental de Petén, especialmente por su papel histórico en el desarrollo de la dinastía *Kaan* durante el período Clásico. No obstante, la región donde se encuentra contiene diversidad de riesgos que amenazan su protección y conservación. Por lo tanto, el Proyecto Regional Arqueológico La Corona (PRALC) ha continuado en 2012 con las investigaciones en el sitio y toda su región circundante, no solamente para recuperar más información arqueológica, sino también para colaborar con los esfuerzos para proteger y rescatar el patrimonio cultural, y natural de esta zona. PRALC constituye un esfuerzo conjunto de varias personas e instituciones, especialmente la Universidad de Tulane y la Universidad del Valle de Guatemala, representadas por sus directores, el doctor Marcello A. Canuto y el Magíster Tomás Barrientos, respectivamente.

De manera general, esta etapa de investigación tuvo las siguientes metas:

- 1) Realizar excavaciones intensivas en los dos conjuntos arquitectónicos más importantes de La Corona.
- 2) Llevar a cabo levantamiento topográfico, mapeo, uso de sensores remotos y excavación de los asentamientos alrededor de La Corona.
- 3) Efectuar una exploración de la región entre La Corona y la frontera entre Guatemala y México.
- 4) Llevar a cabo estudios cerámicos, osteológicos, paleozoológicos y paleobotánicos a partir de las excavaciones realizadas.
- 5) Realizar análisis epigráficos de las inscripciones provenientes de nuevos monumentos, ya sea recuperados en excavaciones o de colecciones privadas.

I. MODALIDAD DE LA INVESTIGACIÓN

Las investigaciones propuestas por PRALC se circunscriben dentro de los incisos “1”, “4”, “5” y “6” del Artículo 6, Capítulo I del Reglamento para Desarrollar Proyectos de Investigación Arqueológica de la Dirección General del Patrimonio Cultural y Natural del Ministerio de Cultura y Deportes, Acuerdo Ministerial 001-2012 (MICUDE 2012) los cuales literalmente dicen:

1. *Reconocimiento programático y sistemático de superficie o sub-acuático, con o sin recolección de bienes culturales, que involucren o no pozos de sondeo.*
4. *Investigaciones integrales a largo plazo e interdisciplinarias sobre las sociedades desaparecidas, las que requieren de excavaciones de sitios, así como de la protección, conservación y restauración de bienes muebles e inmuebles que lo ameriten.*
5. *Investigaciones que no impliquen excavación, que conlleven el estudio de las evidencias expuestas, como son los análisis sobre arquitectura, pintura mural, epigrafía, iconografía y otros, actividades que requieren fotografía especial, dibujos, copias y otras técnicas documentales.*
6. *Estudios de gabinete sobre patrimonio cultural mueble depositado en museos, laboratorios, bodegas y colecciones en general.*

II. JUSTIFICACIÓN DEL PROYECTO

El estudio del sitio La Corona y la región noroccidental de Petén representa una oportunidad para mejorar nuestro entendimiento de las relaciones políticas de la cultura Maya en el período Clásico. A simple vista La Corona parece ser un sitio de tamaño modesto y de importancia limitada, pero sus numerosos y detallados monumentos jeroglíficos desmienten esta simple caracterización. A pesar de tener un aspecto común para un sitio del período Clásico, La Corona representa una de las fuentes más importantes de información sobre el sitio colosal de Calakmul, y los datos históricos indican que funcionó como centro secundario e incluso como colonia durante la expansión de este último. Asimismo, las investigaciones en La Corona han servido de ejemplo de cómo la colaboración científica puede reducir la depredación y saqueo desenfrenado de la zona. Además, la zona en la cual está ubicada La Corona es una de las menos investigadas de Petén, especialmente los casi 40 Km. entre este sitio y la frontera norte de

Guatemala. La ubicación de varios sitios importantes en una zona desconocida justifica entonces el interés en la investigación de La Corona y sus alrededores. Generalmente la historia de las antiguas ciudades mayas se reconstruye luego de su descubrimiento e investigación. En el caso de La Corona su importancia fue reconocida mucho antes de su propio descubrimiento, debido a la interpretación de sus monumentos saqueados.

III. PLANTEAMIENTO TEÓRICO

El alcance del proyecto plantea un estudio amplio de varios temas básicos y fundamentales en los estudios arqueológicos de la cultura Maya. El estudio de la región ofrece la oportunidad única para:

- 1) Entender la organización política y social de los Mayas del período Clásico (250-900 d.C.) a través de la relación entre capitales regionales y sitios secundarios.
- 2) Estudiar como el desarrollo y decline socio-político Maya se relacionan con su adaptación al ambiente de las Tierras Bajas Centrales.
- 3) Investigar la extensión de la civilización Maya del periodo Preclásico hacia el oeste y su relación y/o comunicación con las civilizaciones mesoamericanas contemporáneas en la región del istmo y Golfo de México.

IV. OBJETIVOS

De acuerdo a los planteamientos teóricos expuestos, a continuación se presentan los objetivos generales del proyecto, así como los objetivos específicos de la temporada de campo 2012:

Objetivos Generales

- 1) Investigar los sitios arqueológicos del noroeste de Petén, con énfasis en el sitio La Corona y sus alrededores, a través de una visión multidisciplinaria e interinstitucional.
- 2) Formular modelos políticos, económicos y culturales que expliquen el paisaje político antiguo de los reinos Mayas asociados al Reino de Calakmul entre los siglos VI y VIII d.C. (la “Era Dorada” de La Corona), así como sus relaciones con otros sitios de las Tierras Bajas Mayas durante el Período Clásico.

- 3) Fortalecer las acciones de protección y conservación de la antigua ciudad de La Corona y los bienes culturales y naturales de la región de estudio.

Objetivos Específicos

- 1) Reconstruir la historia de La Corona mediante secuencias cerámicas y arquitectónicas, así como el análisis de otros artefactos.
- 2) Investigar y conservar la arquitectura monumental de La Corona.
- 3) Conducir investigaciones de reconocimiento, levantamiento topográfico, mapeo y excavación del asentamiento en los sitios de La Cariba y Jobillo, ubicados en los alrededores de La Corona.
- 4) Explorar la región entre La Corona, y la frontera entre Guatemala y México en base a recorridos sistemáticos y la aplicación de sensores remotos.
- 5) Continuar con la definición de una ruta terrestre que comunicaba La Corona y Calakmul, así como otros sitios importantes a lo largo de la misma.
- 6) Ampliar la historia de Calakmul y sus aliados mediante el análisis de las inscripciones de La Corona.
- 7) Investigar la extensión occidental de la civilización Maya durante el periodo Preclásico.
- 8) Efectuar estudios paleobotánicos y paleozoológicos en La Corona.
- 9) Realizar análisis de artefactos cerámicos, líticos y óseos provenientes de la región de La Corona, para establecer secuencias cronológicas, estudios funcionales y relaciones interregionales.

Para explicar de mejor forma la singularidad de La Corona se ofrece una exposición de la forma en que se ha desarrollado el estudio del sitio en las últimas décadas.

V. ANTECEDENTES

Las investigaciones previas en la zona de La Corona han sido pocas, aunque el sitio conocido como “Sitio Q” ha sido relevante desde hace casi cuarenta años en las discusiones referentes a la investigación del sistema político de los mayas clásicos. No se incluye la historia detallada de las investigaciones en el sitio desde el principio de la década de 1960 ya que esto ha sido incluido en informes previos (Barrientos y Canuto 2009, 2010). Sin embargo, es importante

destacar que durante los cuarenta años previos al inicio del presente proyecto, han existido contribuciones de una multitud de investigadores que han permitido la existencia del Proyecto Regional Arqueológico La Corona.

Investigaciones Previas

El proyecto PRALC empezó investigaciones en 2008, después de dos expediciones al sitio de La Corona en 2005 y 2006, organizadas por parte del Proyecto El Perú-Waka', dirigido por David Freidel y Héctor Escobedo (Canuto *et. al.* 2006; Canuto 2007; Acuña 2007; Marken y Guenter 2007). Las expediciones tenían como propósito investigar la correlación entre La Corona y el Sitio Q propuesta por Stuart (2001), lo que finalmente fue comprobado mediante el descubrimiento de un panel, ahora nombrado Panel 1 (Monumentos 7 y 8). Empezando en 2008, se constituyó el Proyecto Regional Arqueológico La Corona (PRALC), dirigido por Marcello A. Canuto y Tomás Barrientos (Canuto y Barrientos 2009; Barrientos y Canuto 2010; Barrientos, Canuto y Acuña 2011), que hasta la fecha ha llevado a cabo cinco temporadas de campo. En 2012 se continuaron las exploraciones generales en la arquitectura del sitio y su región circundante, por lo que se presenta un resumen de los datos e interpretaciones hasta 2011, correspondientes a las investigaciones previas en La Corona y su región asociada.

Asentamiento al occidente de la Reserva de la Biósfera Maya

Las temporadas 2010 y 2011 han incluido reconocimientos regionales, con el resultado del registro de nuevos sitios, y se han recopilado datos relacionados con la facilidad de transporte, las necesidades logísticas y el refinamiento de la metodología necesaria para llevar a cabo un proyecto de esta magnitud.

A pesar del aparente éxito en el uso de imágenes satelitales de alta resolución para identificar sitios en otras áreas de la RBM, la técnica de identificar sitios por medio de su incidencia directa sobre la vegetación actual no ha generado resultados positivos en la zona de estudio de PRALC. En respuesta, nos enfocamos en una clasificación morfológica de la región, concentrándonos en factores de drenaje de suelos con la esperanza que este sea otro factor que explique la predilección de un área prominente sobre otra. La topografía de la región es sumamente quebrada, dominada por topografía cárstica variada en el este y una topografía bastante plana al oeste. La pendiente va de este a oeste, formando un sistema de drenaje único.

Usando el Índice de Posición Topográfica (Topographic Position Index o TPI) de la Geomorfometría se logró definir las áreas relativamente bajas de la región, las cuales tienden a estar inundadas durante gran parte del año. Mediante la identificación de estas áreas, equivalente a 1270 km² del área de estudio, se pudo eliminar una gran parte del área que se tendría que reconocer en persona. Esto definió un área de 302 km² los cuales se mantienen arriba de los niveles normales de inundaciones temporales. De hecho, todos los once sitios (Figura 1.1) identificados dentro del área de estudio se localizan en estas área de prominencia topográfica elevada. O sea, se hallaron factores topográficos que inciden directamente en la viabilidad de asentamiento humano.

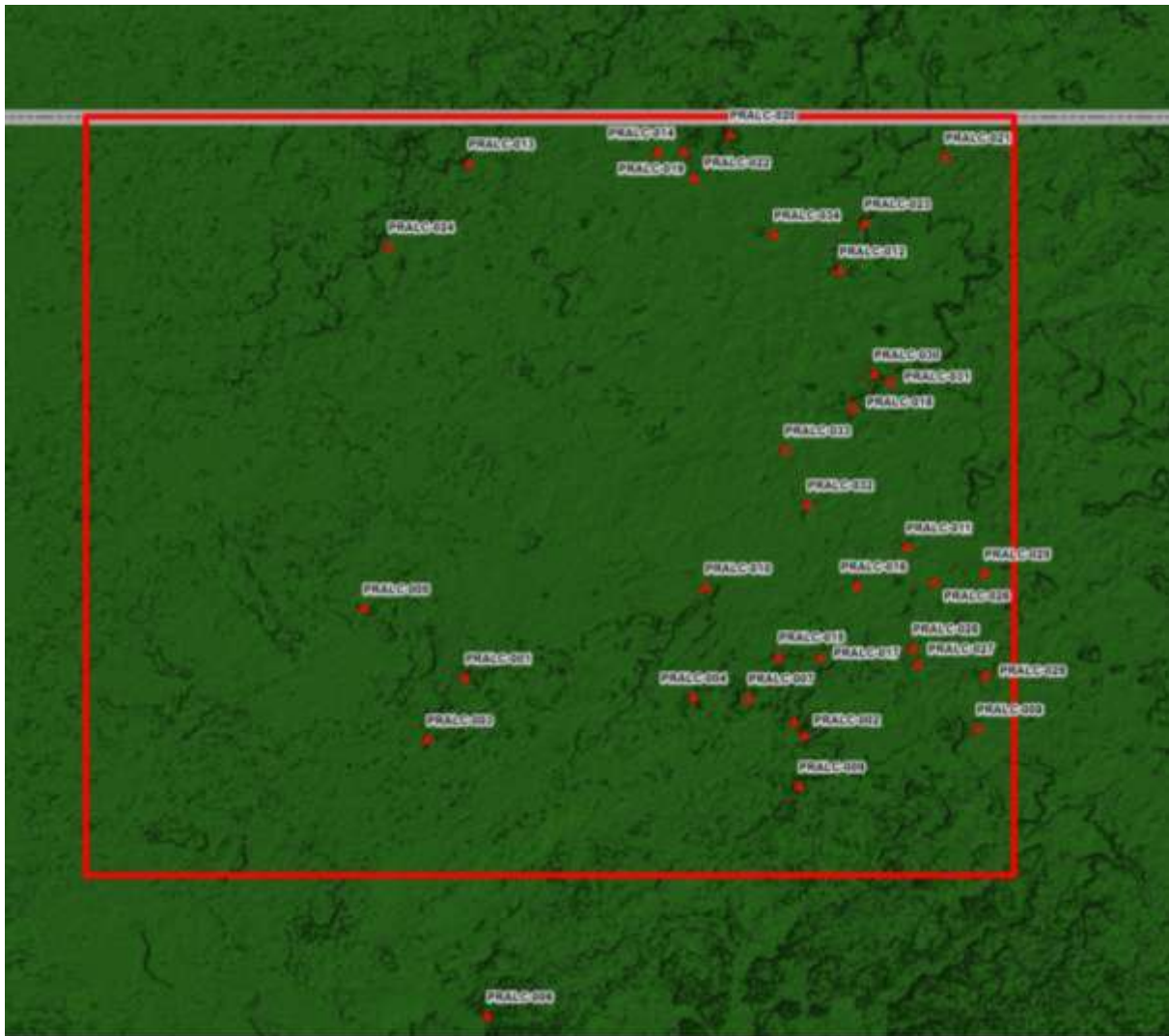


Figura 1.1 Sitios hallados en la zona de estudio PRALC hasta 2011 (Mapa: C. Chiriboga)

De los 33 sitios identificados entre 2008 y 2011, únicamente uno no presentó material cerámico del periodo Preclásico. Esto sugiere una importante ocupación preclásica en la región de la RBM occidental con características distintas a las encontradas en la meseta central al este y posiblemente compartiendo muchas similitudes con las ocupaciones preclásicas del suroccidente del Petén.

Generalidades del patrón de asentamiento de La Corona

La Corona se localiza en el límite occidental de la Meseta Cárstica Central de la Reserva de la Biósfera Maya (RBM) y está dentro de una cadena de *sibales* en una zona que carece de ríos (Figuras 1.2 y 1.3). La presencia de sitios en toda esta área es limitada hacia el oeste, ya que se inunda periódicamente y no es susceptible para el asentamiento humano. Hacia el este, el terreno se eleva continuamente en dirección a la Meseta Cárstica Central de las Tierras Bajas, donde se ubican sitios como Tikal, Uaxactun, Naachtun y El Mirador. A unos pocos kilómetros al suroeste de La Corona se encuentran los nacimientos de los ríos Xan y Chocop, que drenan hacia el oeste hacia el Río San Pedro Mártir, el cual proveyó acceso hacia el Bajo Usumacinta y el Golfo de México.

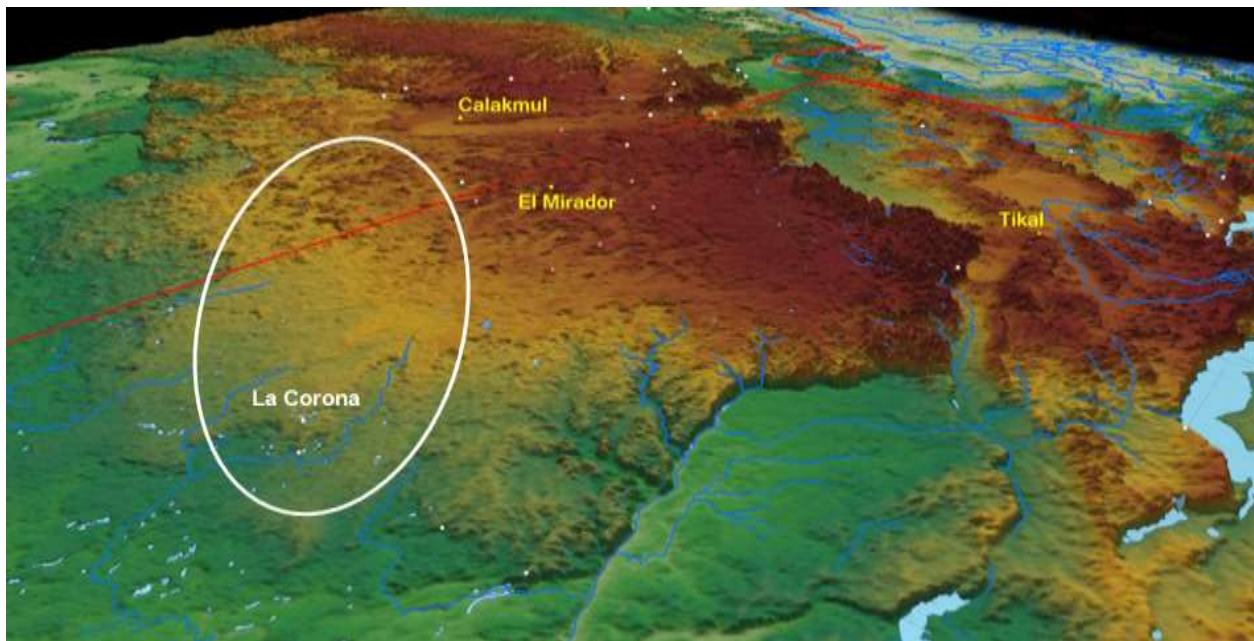


Figura 1.2 Ubicación de La Corona al oeste de la Meseta Cárstica Central (Mapa: M. Canuto)
Las áreas verdes son de menor altitud y las de color café son de mayor altitud

Por lo tanto, La Corona es un sitio que está estratégicamente localizado en un área que 1) tiene drenaje suficiente para permitir asentamiento durante todo el año; 2) esta rodeada por una riqueza de *sibales* de agua dulce; y 3) controla las rutas ribereñas que conectan las Tierras Bajas Centrales con la costa del Golfo hacia el oeste.

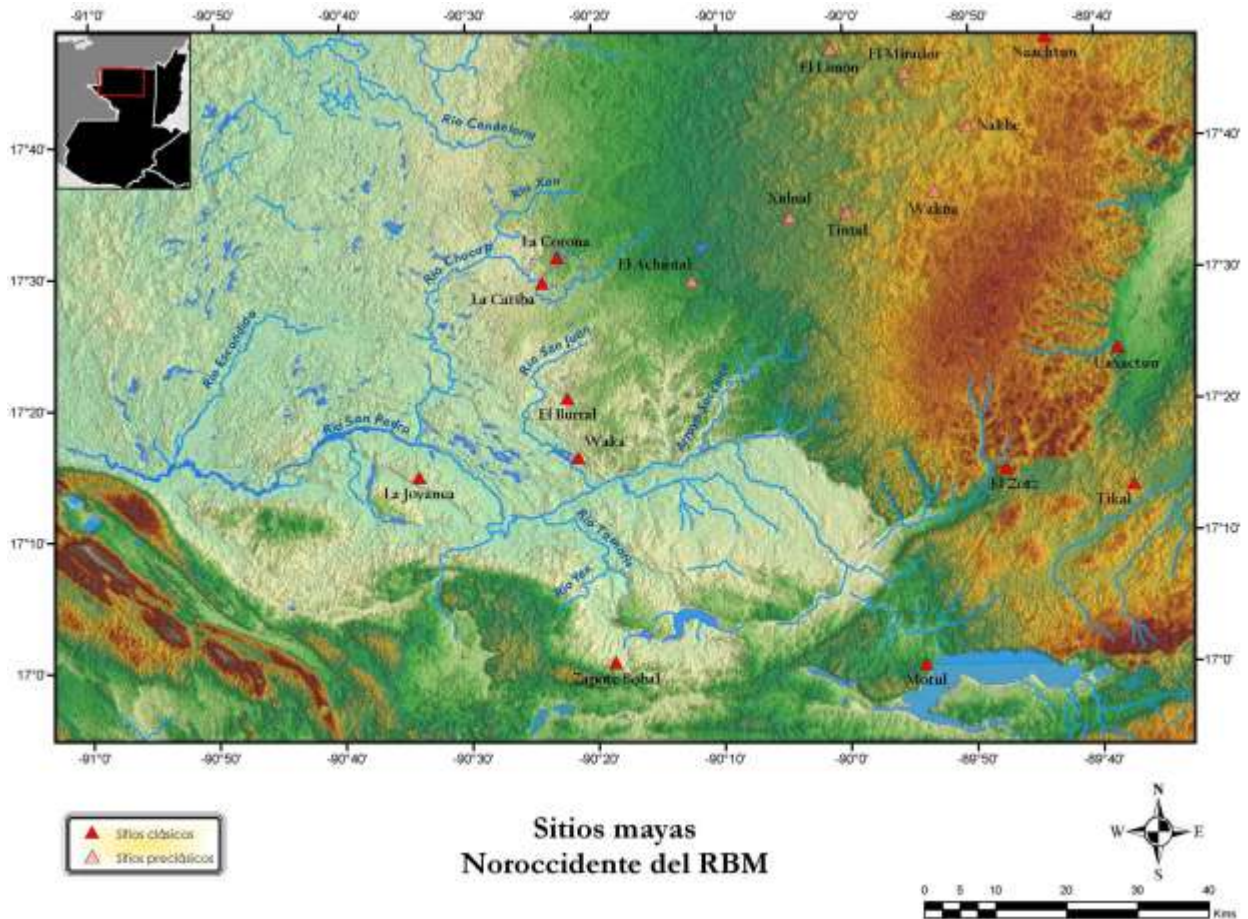


Figura 1.3 La Corona y otros sitios al oeste de la Meseta Cárstica Central (Mapa: M. Canuto)

La Corona se compone de dos “complejos” arquitectónicos principales con una serie de grupos piramidales y grupos residenciales intercalados entre ellos (Figura 1.4). El patrón del área nuclear del sitio sugiere que el factor primario para el asentamiento fue el drenaje, ya que se encuentra rodeado de varios *sibales* de agua fresca y se buscaron las áreas elevadas para la ubicación de sus construcciones.

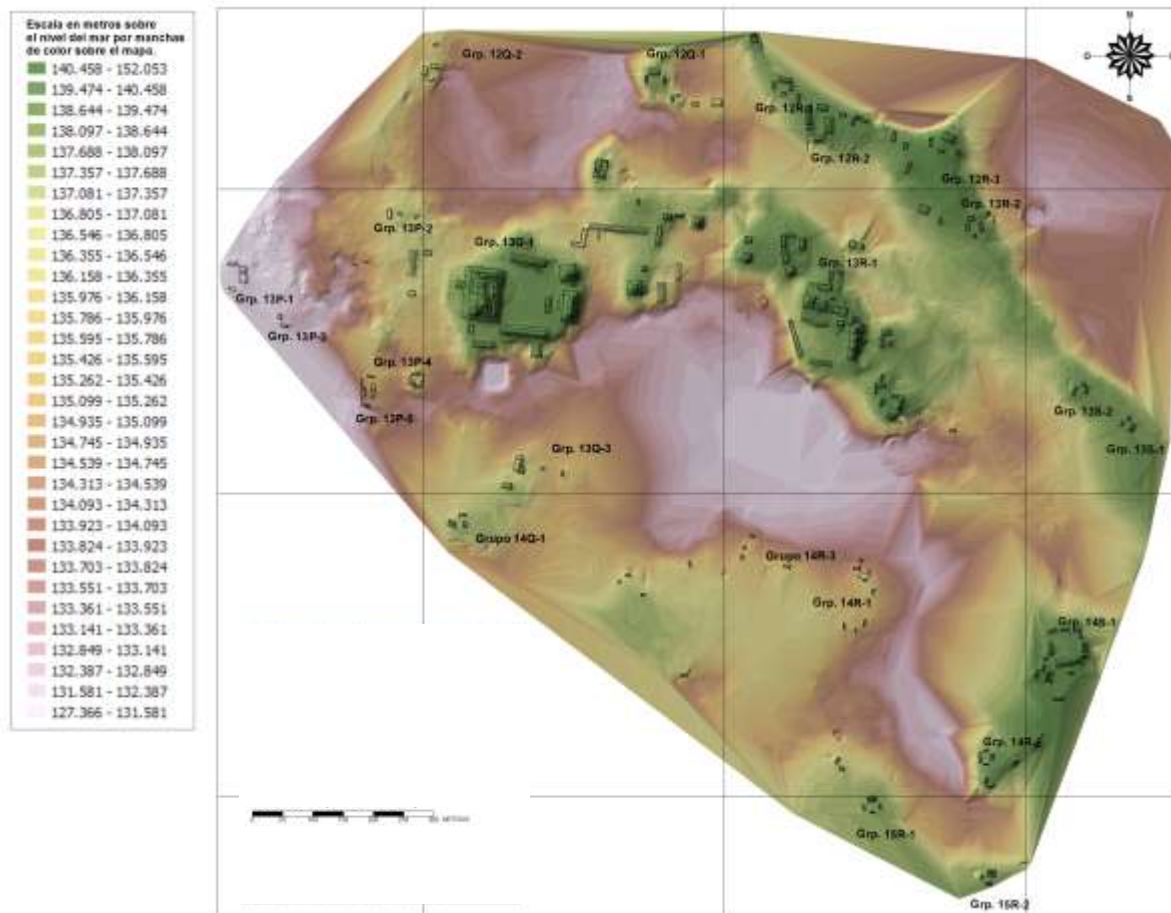


Figura 1.4 Mapa tridimensional de La Corona, Temporada 2011 (Mapa: R. Guzmán)

Los complejos de arquitectura monumental que definen el centro de La Corona tienen singularidades que los distinguen entre sí. El grupo al oeste—llamado “Grupo Principal”—está construido en una elevación natural entre los dos *sibales* “Pato” y “Colmoyote” al norte y sur, respectivamente. Consiste de una plaza estucada cuadrangular de aproximadamente 10,000 m² rodeada de edificios monumentales y donde se encuentra la mayoría de altares y estelas. Destaca el complejo Palacio (Estructura 13Q-4) en el lado oeste de la plaza, que es un edificio tipo acrópolis cuyo basamento cubre alrededor de 4,000 m² y se eleva 10 m sobre la plaza, sosteniendo cuatro patios internos y diez estructuras en su etapa final. Hacia el sur se encuentra una aguada cuadrangular que pudo ser la cantera original que resultó de la construcción del Grupo Principal.

Por su parte, el Grupo Coronitas presenta características menos convencionales, donde destaca el conjunto de cinco pequeños templos alineados en eje norte-sur (Grupo 13R-I) y un grupo de templo y palacio en el límite norte del grupo (Grupo 13R-II). Hacia el sur y este, la plaza es casi abierta, ya que solamente presenta dos estructuras bajas y alargadas (Figura 1.5).

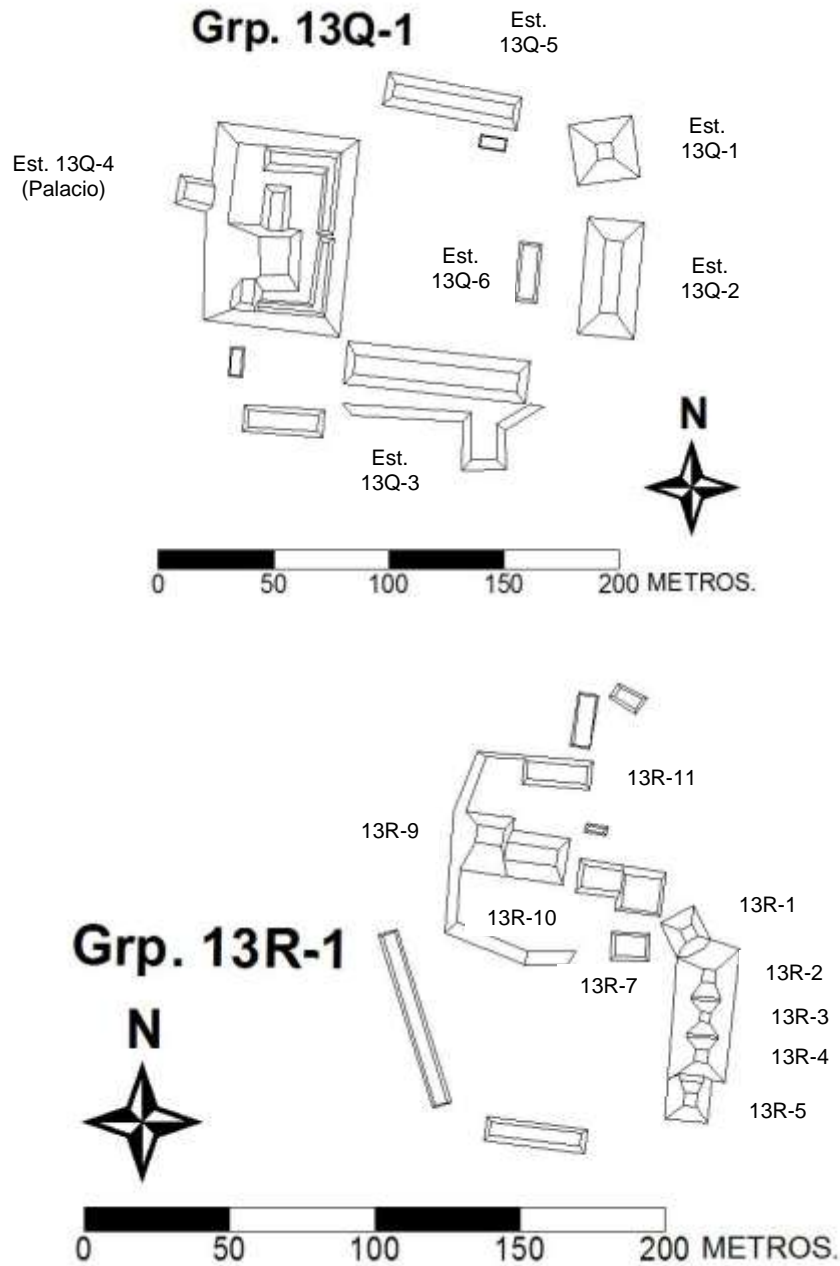


Figura 1.5 La Corona, Plaza principal (arriba) y Grupo Coronitas (abajo)
(Mapas: R. Guzmán)

Cronología de La Corona y su región circundante

A continuación se presentan datos históricos generales que sirven de contexto para interpretar el desarrollo cronológico de La Corona y la región noroccidental de Petén.

Período Preclásico: El Achiotal

A 20 km al este de La Corona, El Achiotal es un centro ceremonial pequeño, localizado sobre un promontorio cárstico que se eleva 30-40 m sobre el nivel de bajos circundantes. Geográficamente, se ubica en una zona de ecotono entre la Meseta Cárstica Central y el área de bajos del noroccidente de Petén. Por esta razón, se propone que su ubicación es fronteriza respecto a la Meseta Cárstica Central (Figuras 1.6 y 1.7).

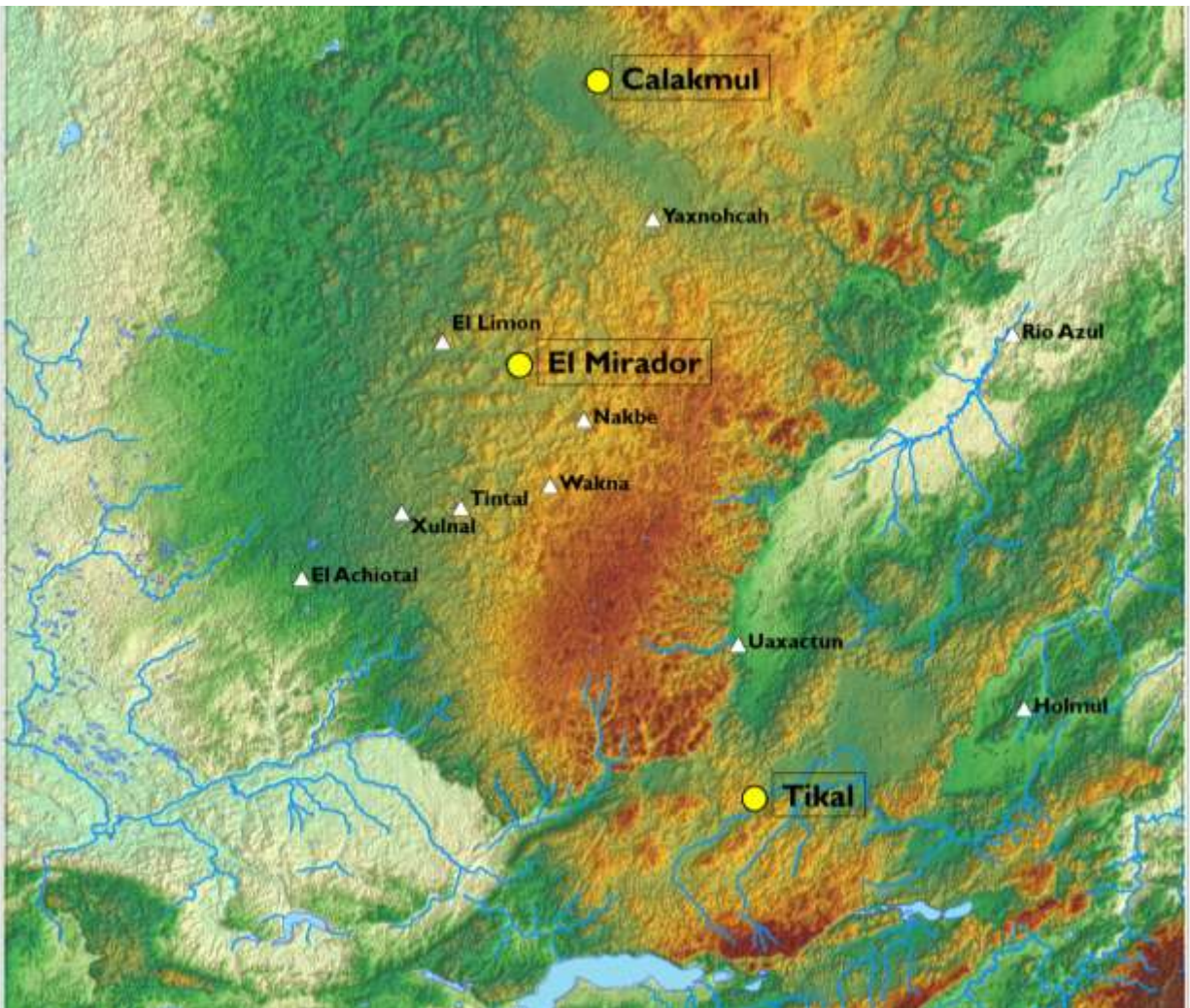


Figura 1.6 El Achiotal y otros sitios Preclásicos de la Meseta Cárstica Central (Mapa: M. Canuto)



Figura 1.7 Mascarón 2, Subestructura Chen, Estructura 5C-01, E Achiotal (Foto: M. Acuña)

Fase Ajen (300-520 d.C.)

Esta fase corresponde al período en que se da la incursión proveniente del Altiplano Central de México y subsecuente cambio de régimen dinástico en Tikal (Stuart 2000). Liderada por un individuo llamado *Siyaj K'ahk'*, esta “entrada” de teotihuacanos en 378 d.C. también fue registrada en sitios como Palenque y El Perú-Waka' (Freidel, Escobedo y Guenter 2007), los cuales se encuentran ubicados a lo largo de la entrada natural desde México Central hacia las Tierras Bajas Mayas, específicamente, a Tikal. Los gobernantes de Tikal forjaron alianzas con sitios como Uaxcatun, Caracol y Copan (Sharer 2003) y junto con El Perú-Waka', se creó una ruta de intercambio en las Tierras Bajas que permitió el flujo de jade de la región del Motagua y otros materiales del Altiplano Maya hacia el Altiplano Central de México (Figura 1.8).

En La Corona este período es mejor entendido como una fase “pre-dinastía *Kaan*” y corresponde a la etapa que se inicia por la llegada real o ficticia de un gobernante temprano hasta la aparición, dos siglos después, de la primera mujer noble de la dinastía *Kaan*. El primero de estos hechos se encuentra en el texto del Panel 1 de La Corona (Monumentos 7 y 8), ya que indica que en 314 d.C. un personaje llamado *Ajen Tahn K'inich*—posiblemente un fundador de linaje—llegó a La Corona desde un lugar desconocido. El otro dato epigráfico de este período corresponde al pasaje del Panel 6 de La Corona (Panel de Dallas; Monumento Saqueado 6) que registra la llegada de la Señora *Naah Ek'* en el año 520 d.C. (Figura 1.9)

Fase Naah Ek' (520-625 d.C.)

Esta fase abarca la mayor parte del siglo VI d.C. y corresponde al período inicial de la influencia de la dinastía *Kaan* en La Corona. En este momento, los gobernantes *Kaan* estaban establecidos en Dzibanché (Grube 2004; Martin 2004; Nalda 2004; Velásquez 2008); dos de estos monarcas, *Tuun K'ab Hix* y Testigo del Cielo, apoyaron al gobernante de Caracol *Yajaw Te' K'inich* a derrotar a Tikal en 562 d.C. (Martin 2005a). Durante este período, la dinastía *Kaan* estableció nexos y alianzas tanto al este como al oeste de Tikal. Al oeste, hay evidencia que sugiere que varias princesas de la dinastía *Kaan* se asociaron con gobernantes de La Corona, El Perú-Waka' y El Zotz (cf. Houston 2008). Como resultado de estas iniciativas, la dinastía *Kaan* desafió la hegemonía de Tikal en las Tierras Bajas.

En La Corona, esta fase contiene un registro epigráfico que muestra la creciente importancia del sitio como parte de la expansión del Reino *Kaan* hacia el sur. Sin embargo, la evidencia arqueológica sugiere que los gobernantes de La Corona en el siglo VI d.C., a pesar de contar con un poderío local, no tuvieron acceso a la importación de materiales exóticos de prestigio. De acuerdo al Panel 6 de La Corona (Monumento Saqueado 6), en el año 520 d.C. la señora *Naah Ek'* llegó a La Corona como la esposa del gobernante “Buitre”, el único monarca de La Corona en ostentar el título de “sagrado” (*k'uhul*). Esta llegada se presenta como un evento de fundación asociada al uso de iconografía teotihuacana y el retrato de una efigie de una deidad. En 544 d.C. “Buitre” también llevó a cabo un ritual de fin de período pero no se tiene ningún otro evento dinástico registrado para la segunda parte del siglo VI d.C.

Fase Yuknoom (625-700 d.C.): La “Era Dorada”

Esta fase corresponde a la mayor parte del siglo VII d.C., cuando la sede de poder de la dinastía *Kaan* se trasladó desde Dzibanché a Calakmul, a partir del gobierno de “*Yuknoom Cabeza*” (Martin 2005b; Tokovinine 2007). Sus sucesores, *Yuknoom Ch'een* y *Yuknoom Yich'aak K'ahk'*, gobernaron sobre una red extensa de alianzas y crearon el mayor estado regional en la historia de las Tierras Bajas Mayas. Ambos gobernantes se mencionaron con bastante frecuencia en los textos de La Corona, sugiriendo un involucramiento muy fuerte en el desarrollo político de La Corona. En este período, las alianzas con Dos Pilas y Cancuén ayudaron a extender la influencia del Reino *Kaan* hacia el sur, creando una ruta que corría alrededor de 250 km desde Calakmul hasta Cancuén (Freidel *et al.* 2007), atando una cadena de

Esta fase contiene la mayor cantidad de información epigráfica en La Corona, por lo que ha sido llamada la “Era Dorada”, la cual abarca cuatro gobernantes que comprenden tres generaciones de una sola línea familiar (Figura 1.11). El primer gobernante, *Sak Maas*, fue entronizado en 625 d.C., y su muerte en 655 d.C. fue violenta, ya que se cuenta que murió por el “filo de una piedra (cuchillo)”. Fue sucedido por *K’uk’ Ajaw*, quien reinó poco tiempo, ya que murió de la misma manera que su predecesor a los tres años de tomar el poder. Resulta importante que el sucesor de *K’uk’ Ajaw* fue el hijo de *Sak Maas*, llamado *Chakaw Nahb Chan*, quien parece restaurar la línea dinástica después de una competencia de facciones dentro de la corte real.

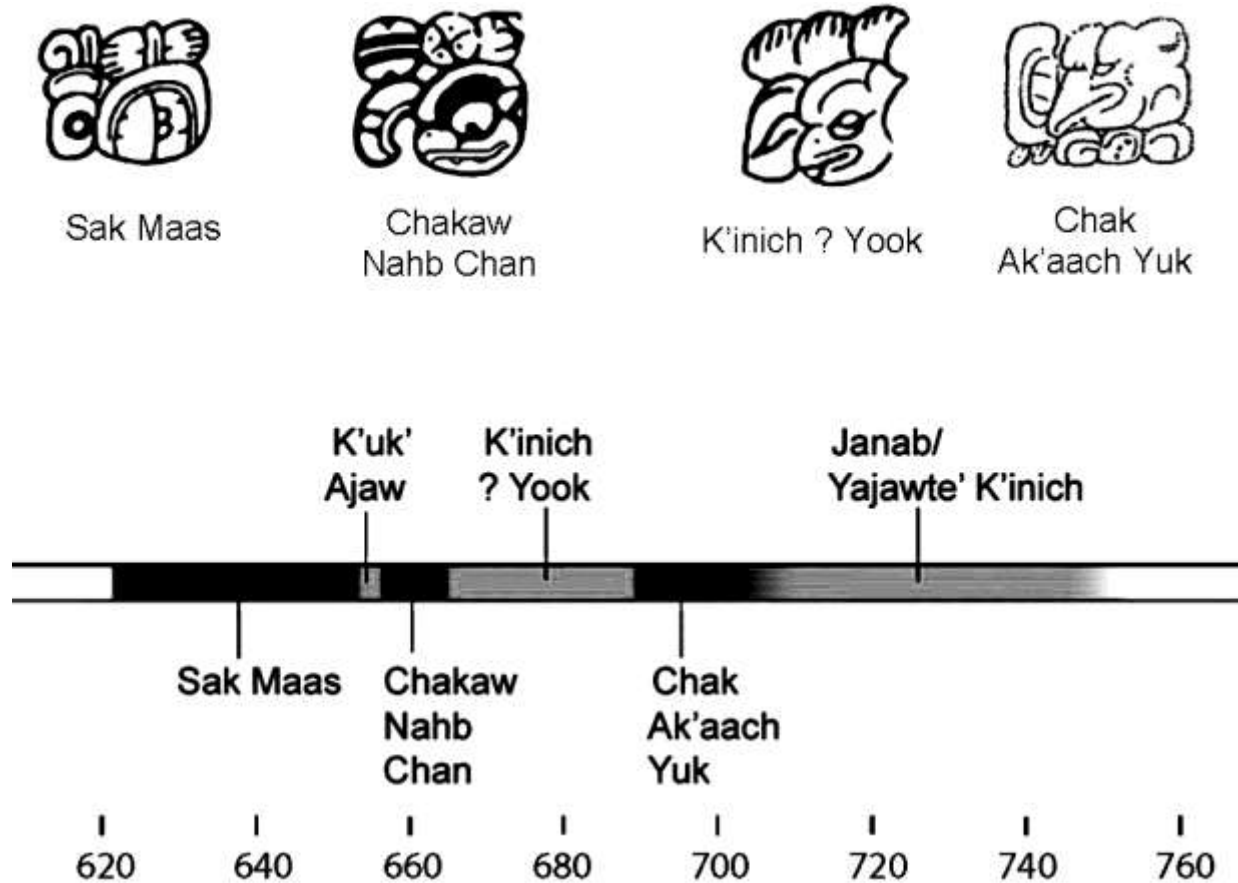


Figura 1.11 Tabla cronológica de los gobernantes de La Corona durante la “Era Dorada”
(Cuadro hecho por J. Baron y modificado por M. Canuto y T. Barrientos)

Además, es interesante que a solo un mes de tomar el poder, *Chakaw Nahb Chan* realizó como primer acto de gobierno la construcción de tres templos en honor a los tres dioses patronos llamados *Yax Ajaw*, *K'an Chahk*, y *Chak Wayib* “Gran Templo” *Chahk*. Estos templos se construyeron sobre los templos funerarios de los antiguos reyes de La Corona, como una forma de cancelar su culto como ancestros.

Mientras *Chakaw Nahb Chan* gobernaba, sus dos hijos vivieron en la corte de Calakmul, antes de convertirse en reyes de La Corona. El mayor de los dos, *K'inich ĩ? Yook*, partió a Calakmul en 664 d.C. y permaneció allí por tres años hasta la muerte de sus padres en 667 d.C., cuando retornó a La Corona para realizar los ritos funerarios y tomar el poder. Subsecuentemente se casó con una princesa de Calakmul en 679 d.C. Su hermano menor, *Chak Ak'aach Yuk*, también gobernó en La Corona y estuvo en el poder por casi 20 años.

Durante este período el grupo Coronitas sufrió cambios significativos en su función, aunque los cambios arquitectónicos en sí fueron de carácter modesto. La estratigrafía y el texto del Panel 1 (Monumentos 7 y 8) indican que a mediados del siglo VII d.C., *Chakaw Nahb Chan* construyó tres templos dedicados a deidades patronas en una sola fase constructiva. Esta remodelación incluyó la elevación del nivel de las plataformas anteriores por una altura de casi 1 m, así como nuevas escalinatas en las fachadas occidentales y la erección de cámaras con techos perecederos (Figura 1.12).



Figura 1.12 Reconstrucción hipotética de las tres pirámides centrales del Grupo Coronitas

Durante este período, el Grupo Principal fue el foco de gran actividad constructiva. Hasta el momento se ha evidenciado que la Estructura 13Q-2 contaba con un basamento de 9 m de altura y una escalinata de acceso finamente estucada. También es posible que la Estructura 13Q-1, ubicada en la esquina noreste de la plaza, corresponda a esta época y haya sido construida como el monumento funerario de la primera princesa de Calakmul o algún otro miembro de la dinastía de La Corona. En esta época las estructuras 13Q-3 y 13Q-5, que delimitan la plaza en sus lados norte y sur, también fueron remodeladas e incluyeron entierros de nobles de alto rango (Figura 1.13).



Figura 1.13 Reconstrucción hipotética de las Plaza Principal: Estructura 13Q-4 (Palacio) en primer plano y estructuras 13Q-1 y 13Q-2 al fondo

En el Palacio se llevó a cabo una gran nivelación que cubrió la primera versión de la acrópolis, que corresponde al piso identificado como *Cocochan*. Sobre éste se colocaron varias estructuras que presentan arquitectura de alta calidad, con rellenos compactos, muros y escalinatas finamente estucados y restos de pintura. La alta calidad de estos edificios sugiere que esta fase fue una época de desarrollo arquitectónico enfocado en el Grupo Principal y posiblemente como resultado de las visitas de princesas y otros miembros de la dinastía *Kaan* de Calakmul. Dado que el Palacio presenta la más alta calidad arquitectónica hasta ahora documentada en La Corona, es también muy probable que esta haya sido la residencia de estas mujeres importantes.

Fase Ti' Kaan (700-750 d.C.)

Esta fase cubre la primera mitad del siglo VIII d.C. cuando empieza a decaer la influencia de la dinastía *Kaan* por todas las Tierras Bajas Mayas, aunque todavía persiste en La Corona. Este decaimiento fue marcado por las derrotas militares de los gobernantes de Calakmul *Yuknoom Yich'aak K'ahk'* y *Yuknoom Took' K'awiil* por parte de Tikal en los años 695 d.C. y 736 d.C. respectivamente. Además, Tikal también atacó a los principales aliados de Calakmul, como el caso de la derrota del gobernante de El Perú-Waka' *Bahlam Tz'am* en 743 d.C.

La Corona permaneció como un importante aliado de los reyes *Kaan* por ser un centro clave para la defensa de sus intereses en la región. El gobernante de La Corona *Yajawte' K'inich*—seguramente el hijo de *K'inich ¿? Yook* y nieto de *Yuknoom Chen* de la dinastía *Kaan*—gobernó la mayor parte de este período. Aunque no se tiene fecha de su entronización, se sabe que en 721 d.C. desposó a una tercera princesa de la dinastía *Kaan*, llamada *Ti' Kaan Ajaw*, hija del gobernante de Calakmul *Yuknoom Took' K'awiil*. Diez años más tarde ambos celebraron juntos el fin de período 9.15.0.0.0. *Yajawte' K'inich* y su esposa pudieron haber sido retratados en un altar del sitio La Cariba—un centro satélite de La Corona—donde se conmemora el fin de período 9.15.15.0.0 y que corresponde al año 746 d.C. Si este fuera el caso, su reino parece haber sido estable y pudo sobrevivir hasta que El Perú-Waka' fue derrotado por Tikal. No obstante, después de esta fecha no hay ningún registro en La Corona hasta 785 d.C.

Fase Ix Mutal (750-820 d.C.)

Esta fase representa el período final de la historia dinástica en La Corona y se desarrolla en un contexto de fragmentación política en las Tierras Bajas Mayas, donde la dinastía *Kaan* parece haber desaparecido de Calakmul para siempre. Sin embargo, el sitio de La Corona tiene éxito en establecer una nueva alianza a larga distancia y esta vez es con Tikal, aunque para este momento ya es una entidad política que ha sufrido una reducción drástica en tamaño e influencia regional. Para entender este período tardío en la historia de La Corona es muy importante el Altar 4 (Monumento 6), ubicado en la plaza del Grupo Principal. Su inscripción registra la llegada de una mujer noble a La Corona en 791 d.C., cuyo nombre y título se desconocían, pero un fragmento descubierto en 2010 contiene el glifo emblema de Tikal y el título *kaloomte'*. Finalmente, el texto sugiere que ella murió seis años después, en el año 797 d.C. El Altar 4 (Monumento 6) está directamente asociado con la fase final de la Estructura 13Q-3, cuya fachada

norte contenía la Escalinata Glífica 1. Esta escalinata está conformada de bloques glíficos individuales, cuyo estilo confirma una fecha de finales del Clásico Tardío. Lamentablemente esta escalinata está muy erosionada y fue perturbada por acciones de saqueo, pero los bloques todavía legibles indican que el texto trataba de temas asociados a prisioneros.

VI. ORGANIZACIÓN DEL PROYECTO

Zona de Estudio

El Proyecto Regional Arqueológico La Corona propone un estudio regional de una zona de Petén poco estudiada que abarca la región entre el reino de *Waka'* y La Corona hasta la frontera norte de Guatemala, que incluye unos 50 km al oeste de la altiplanicie cárstica de El Mirador (Figura 1.14). En total, la zona mediría casi 2,200 km². Aunque no se podrá realizar un estudio arqueológico exhaustivo de esta zona completa, se espera que el uso de sensores remotos permita explorar de manera “virtual” toda la región entre La Corona y la frontera norte. A continuación se describen los límites del área de estudio:

- 1) Límite occidental: nacimiento de los ríos Chocop, Xan, y Candelaria. Los tres afluentes llevan hacia el oeste y probablemente representan rutas de comunicación entre el centro de Petén y el occidente. Se considera posible que existen sitios a lo largo de ellos.
- 2) Límite sur: entre *Waka'* y La Corona, justo donde nace el río San Juan, que fluye al sur hacia el río San Pedro Mártir.
- 3) Límite oriental: definido arbitrariamente, colindante con la región de El Mirador, aproximadamente a 6 km al oeste de Carmelita, cerca del nacimiento del Arroyo Sac Chich.

La zona de estudio, como polígono, tiene sus esquinas aproximadamente en las coordenadas N 17° 49' 04" W90° 35' 00" (punto noroeste); N 17° 49' 07" W90° 07' 00" (punto noreste); N 17° 25' 00" W90° 35' 00" (punto suroeste) y N 17° 25' 00" W90° 07' 00" (punto sureste). El área se encuentra en varias zonas distintas de la Reserva Biosfera Maya, que son: Parque Nacional Laguna del Tigre, Zona de Manejo Especial Laguna del Tigre y Corredor Biológico. En cuanto a concesiones, están Paxbán al noreste y San Andrés (AFISAP), Carmelita y Cruce a La Colorada al sureste. La zona está en la jurisdicción del municipio de San Andrés, departamento de Petén.

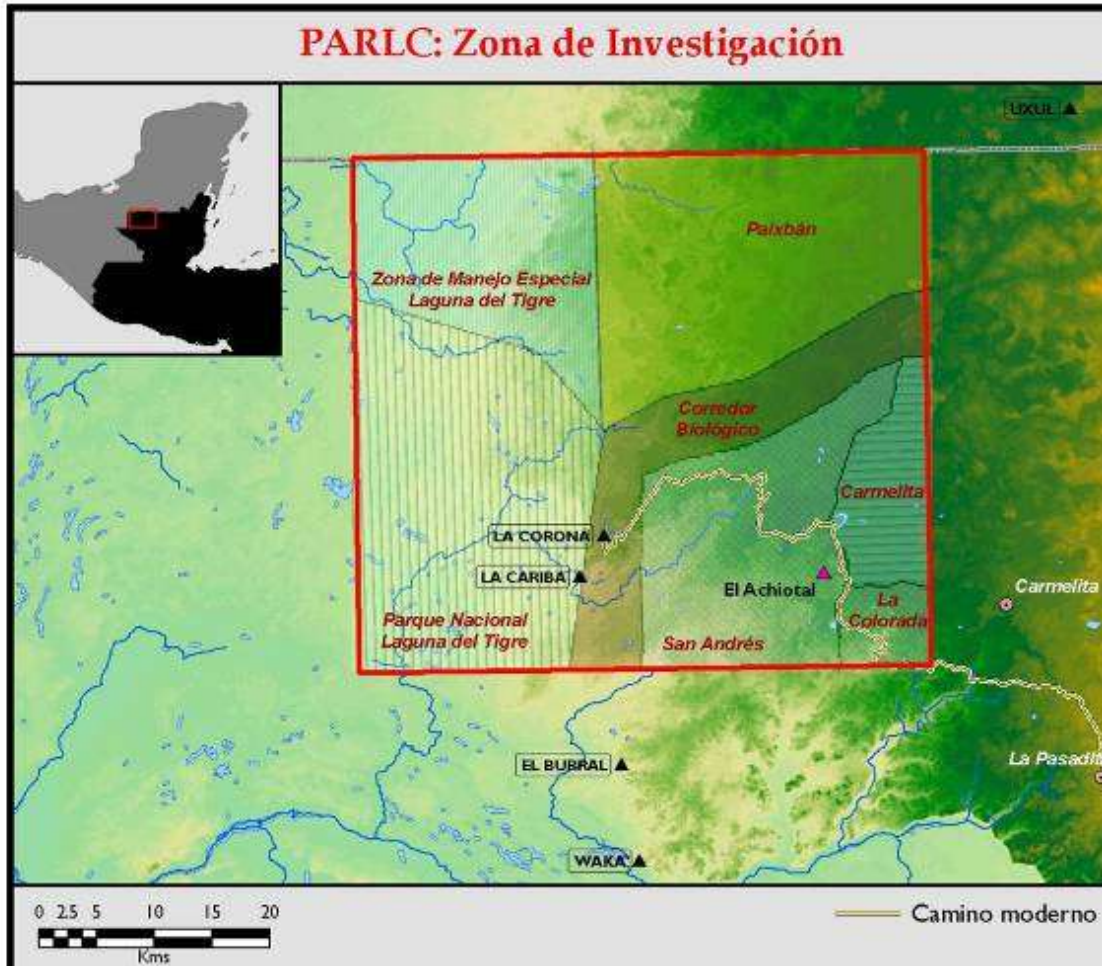


Figura 1.14 Zona de Estudio con límites aproximados (Mapa: M. Canuto)

Campamento La Corona

A inicios de la Temporada 2010 se terminó la construcción del campamento permanente para los investigadores y trabajadores del proyecto, para lo cual se cuenta con el aval del Ministerio de Ambiente y Recursos Naturales, después de realizarse una Evaluación Ambiental Inicial (EAI). El lugar fue escogido en 2006 cuando se hizo un reconocimiento rápido de los alrededores del sitio (Figura 1.15), ya que se encuentra cerca del camino y fuentes de agua suficientes. Este lugar está ubicado en la orilla del *sibal* nombrado Jabirú, que queda a menos de 500 m al este del Grupo Coronitas (cuadrante 12S).

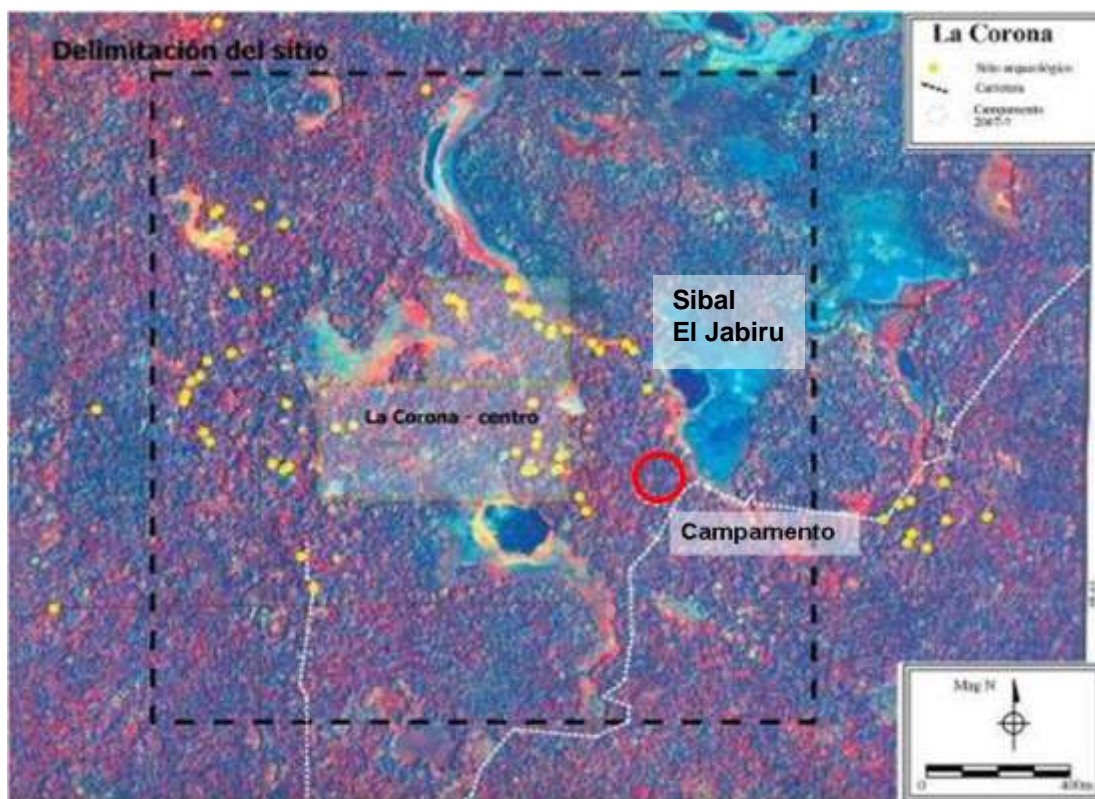


Figura 1.15 Delimitación del sitio La Corona y ubicación del Campamento del PRALC (Foto satelital, MARI)

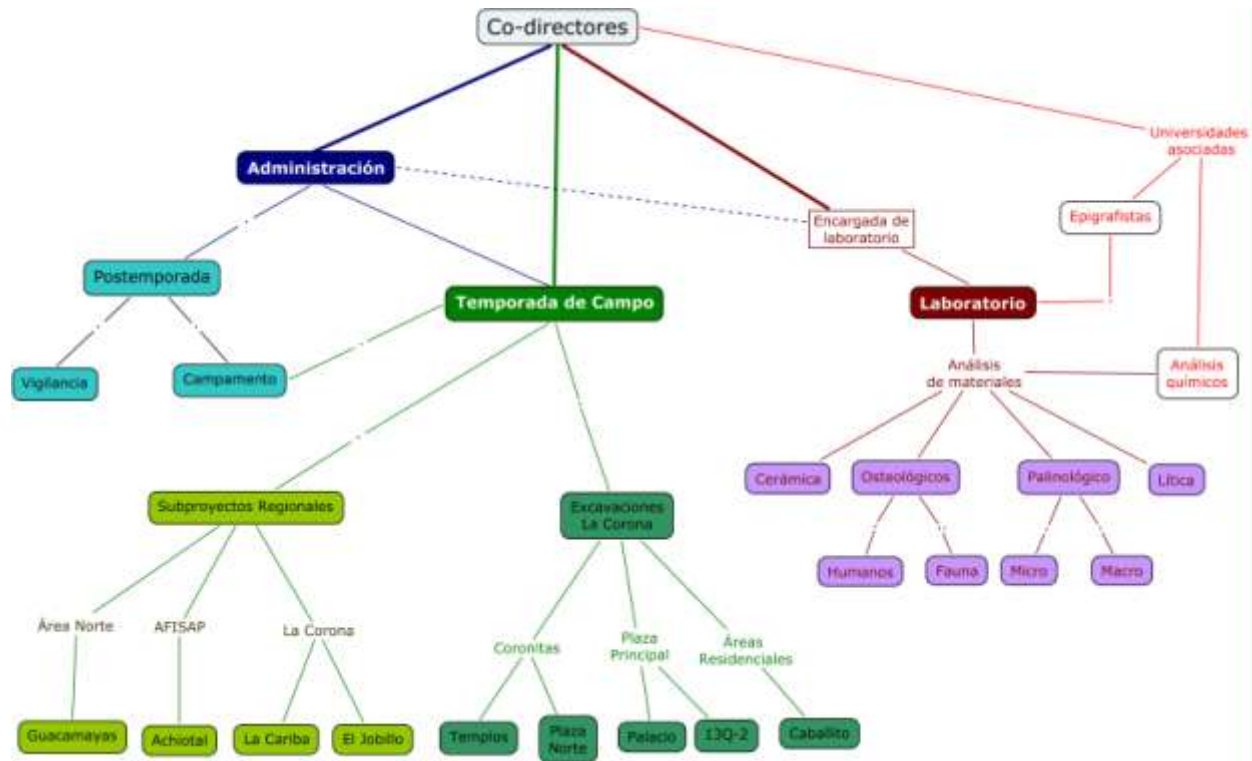
El diseño del campamento es de bajo impacto ambiental, por lo que se han tomado medidas en cuanto al manejo de desechos, drenaje y la minimización de materiales que no son propios del lugar (lámina, malla, block, cemento). Este campamento puede servir como base para vigilantes del proyecto, así como personal del IDAEH, CONAP, Ejército de Guatemala y otras instituciones que operan en la zona. Adicionalmente, se utilizaron estaciones de CONAP en El Achiotal y El Sargazo, y de AFISAP en Buena Vista, para las investigaciones en El Achiotal y otros sitios ubicados en los alrededores de La Corona.

El campamento incluye tres estructuras principales: comedor-cocina, laboratorio-bodega de materiales y oficina-bodega de equipo y herramientas. Estas consisten de estructuras con techo de lámina, paredes de block y malla metálica con cedazo. Adicionalmente se construyeron sanitarios, duchas y un área de lavandería. En cuanto al área de dormitorio, se hicieron dos ranchos de guano para albergar 60 carpas para el personal operativo. Para el personal técnico y profesional se cuenta con 10 ranchos individuales para carpas y un rancho grande para visitantes.

Personal Científico y Técnico, Temporada 2012

1. Dr. Marcello Canuto, *Director General del Proyecto*
2. M.A. Tomás Barrientos, candidato a doctorado, *Codirector General del Proyecto*
3. Carlos Chiriboga, candidato a doctorado, *Arqueólogo, reconocimientos regionales*
4. Joanne Baron, candidato a doctorado, *Epigrafista y Arqueóloga, Grupo Coronitas*
5. Licda. *infieri* Cristina Guirola, *Arqueóloga (Estructura 13Q-2A) y análisis palinológico*
6. Licda. *infieri* Jocelyne Ponce, *Arqueóloga, Grupo Coronitas (Estructura 13R-10)*
7. Licda. *infieri* Antonieta Cajas, *Arqueóloga, Grupo Coronitas (Estructura 13R-9)*
8. Lic. *Infieri* Jorge Pontaza, *Arqueólogo, Grupo “Caballito”*
9. Lic. *Infieri* Eduardo Bustamante, *Arqueólogo, Estructura 13Q-4*
10. M.A. Clarissa Cagnato, candidata a doctorado, *Arqueóloga y análisis palinológico*
11. Erin Patterson, candidata a doctorado, *Arqueóloga, análisis de restos óseos*
12. M.A. Diana Fridberg, candidata a doctorado, *Análisis paleozoológico*
13. Caroline Parris, candidata a doctorado, *Arqueóloga de laboratorio, análisis cerámico*
14. David Chatelain candidato a doctorado, *Arqueólogo, mapeo en La Corona y La Cariba*
15. Evan Parker, candidato a doctorado, *Arqueólogo, mapeo en La Corona y La Cariba*
16. Maxime Lamoureux, candidato a doctorado, *Arqueólogo, dibujo en La Corona y mapeo en La Cariba*
17. Divina Perla, *Estudiante de práctica de campo, Universidad de San Carlos*
18. Olga Slowing, *Estudiante de práctica de campo, Universidad del Valle*
19. Alejandro González, *Estudiante de práctica de campo, Universidad del Valle*
20. Andrea Sandoval, *Estudiante de práctica de campo, Universidad del Valle*

ORGANIGRAMA



AGRADECIMIENTOS

Los directores y el personal de PRALC agradecen a todas las personas e instituciones que de una u otra manera colaboraron para el desarrollo de la Temporada de Campo 2012. Entre las instituciones merecen mención el Middle American Research Institute (MARI), Universidad del Valle de Guatemala (UVG), Fundación Patrimonio Cultural y Natural Maya (PACUNAM), Fundación ProPetén, IDAEH, CONAP, WCS y AFISAP. Reconocemos también la labor del personal técnico del proyecto, provenientes de las comunidades de San Andrés y Dolores, Petén. Agradecemos también a todas las personas que nos brindaron consejos académicos, en especial la parte epigráfica, por parte de David Stuart, Stanley Guenter, Simon Martin y Marc Zender. En cuanto a la logística, estamos agradecidos con la colaboración de Gloria Argueta de Montenegro, Estuardo Montenegro, Gersson Tillit, Gamaliel Jiménez, Rolando Monzón y todos nuestros amigos en San Benito, Santa Elena, San Andrés y Flores. Dada la gran cantidad de colaboradores, nos disculpamos por omitir algún nombre, por lo que nuestro agradecimiento va de manera general a todos.

CAPÍTULO II

SUB-PROYECTO DE RECONOCIMIENTO ARQUEOLÓGICO REGIONAL: TEMPORADA 2012

Carlos Roberto Chiriboga Holzheu

Introducción

La Temporada 2012 del Proyecto Regional Arqueológico La Corona (PRALC) vio la continuación del sub-proyecto de reconocimiento arqueológico regional iniciado en 2010. Este sub-proyecto nació con el propósito de identificar el patrón de asentamiento de la zona occidental de la Reserva de la Biosfera Maya (RBM), la cual ha recibido poca atención de parte de investigadores hasta el momento (Figura 2.1). Este programa de investigación tiene como meta principal la identificación de sitios en el área de estudio del PRALC con la finalidad de elaborar un modelo de asentamiento regional que, de manera generalizada, abarque los períodos de ocupación prehispánica en la región, y específicamente se enfoque en la identificación de asentamientos de los períodos Preclásico y Clásico Temprano.

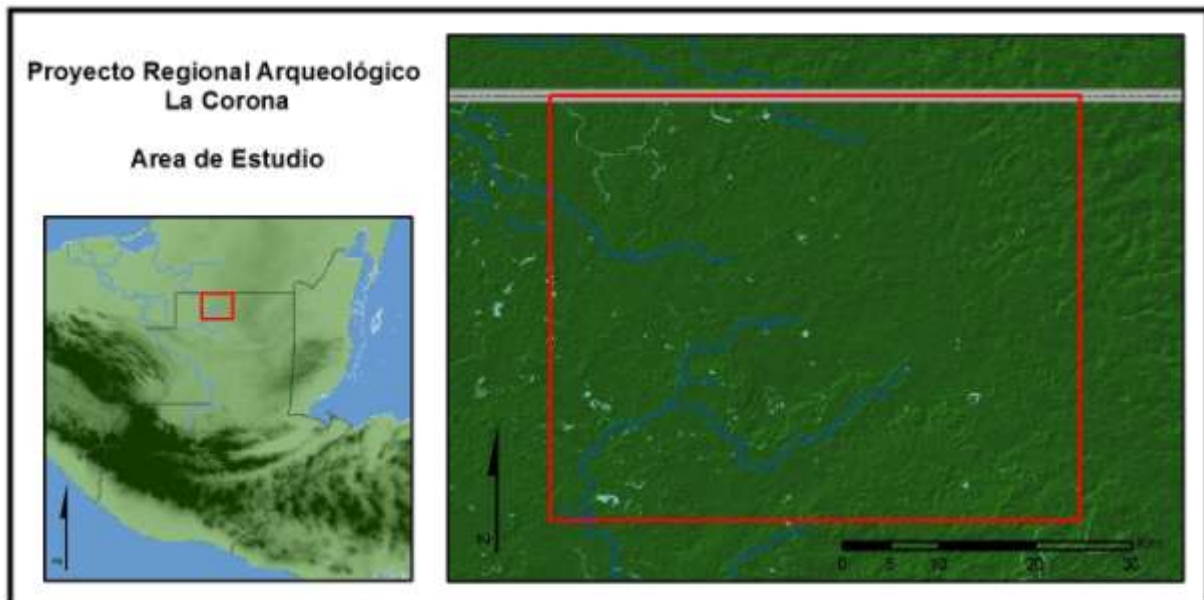


Figura 2.1 Localización del área de estudio en el occidente de la RBM (Mapa: C. Chiriboga)

Durante la Temporada 2012 se continuó con el reconocimiento regional utilizando la misma metodología descrita para la Temporada 2010. Debido al escaso relieve topográfico de la región, así como la presencia de extensas áreas de bajos inundados durante gran parte del año, la elaboración de un modelo de prominencia topográfica ha beneficiado el trabajo de reconocimiento arqueológico a lo largo de la región. En paralelo al programa de reconocimiento, durante la Temporada 2012 se continuó el programa de sondeos arqueológicos en sitios ubicados dentro del área de estudio iniciado en 2011. Estos sondeos tienen la finalidad de refinar la cronología del área de estudio aportando cerámica excavada bajo control estratigráfico.

Resultados Temporada 2012

Como resultado de la continuación del proyecto de reconocimiento arqueológico regional, la Temporada 2012 contribuyó en el registro de 11 nuevos sitios dentro del área de estudio (Figura 2.2).

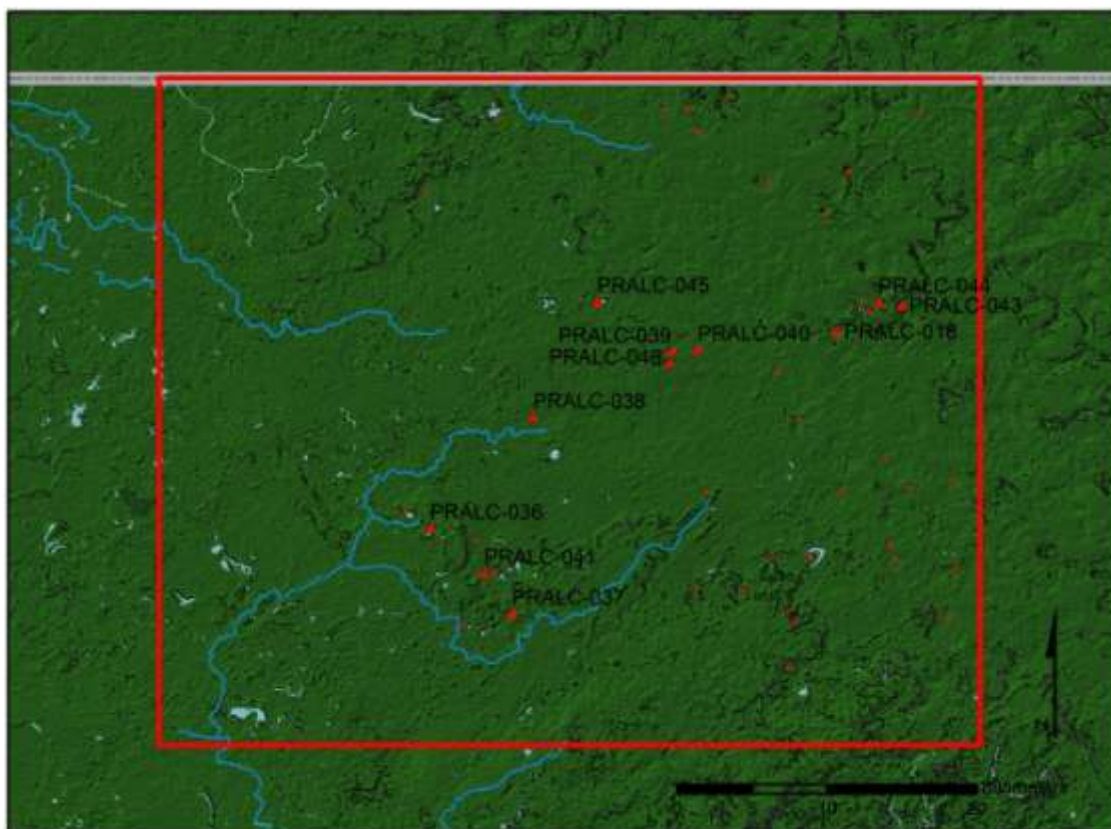


Figura 2.2 Sitios identificados durante la Temporada 2012 (Mapa: C. Chiriboga)

De manera paralela al programa de reconocimiento arqueológico regional, durante la Temporada 2012 se continuó el programa sistemático de excavaciones mediante pozos de sondeo. Se logró excavar cuatro pozos de sondeo en igual número de sitios ubicados a lo largo del área de estudio, los cuales proporcionaron una muestra significativa de materiales culturales. Aunque se han llevado a cabo análisis preliminares de algunos materiales excavados, se prevé terminar el análisis cerámico completo durante la primera mitad del 2013, a partir de cuándo se podrá ofrecer cronologías más detalladas para los sitios identificados.

A continuación se presentan los resultados del reconocimiento y de las excavaciones de sondeo realizadas durante la Temporada 2012.

Reconocimiento

PRALC-018 – Los Costales (Figuras 2.2 y 2.3)

Coordenadas: 15 N 799619 1955378 UTM – WGS84

Material Recolectado: Si

Cronología: Preclásico Medio – ¿?

Sitio identificado en la Hoja 2168-I de la serie 1:50,000 del IGN, e incluido en registro de sitios arqueológicos del MARN (en formato ESRI Shapefile) con el nombre de Chuntuquí. Debido a la confusión causada por este nombre, ya que la laguna Chuntuquí se encuentra 16.5 km al sureste del sitio, se decidió cambiar su nombre a Los Costales, en referencia al campamento chiclero más cercano.

Este sitio se encuentra ubicado sobre la cima de un promontorio al sur de una laguna. El sitio consiste en siete estructuras alrededor de una plaza de 17 x 26 m. Las estructuras varían desde 0.3 hasta 2.0 m de altura, la Estructura 4 siendo la más alta. Se identificó una trinchera de saqueo en el lado oeste de la Estructura 4.

De manera paralela a la recolección de materiales de superficie y de las trincheras de saqueo, también se realizó una excavación de sondeo (PRALC-018-101) frente a la Estructura 4, los resultados de la cual se detallan más adelante.

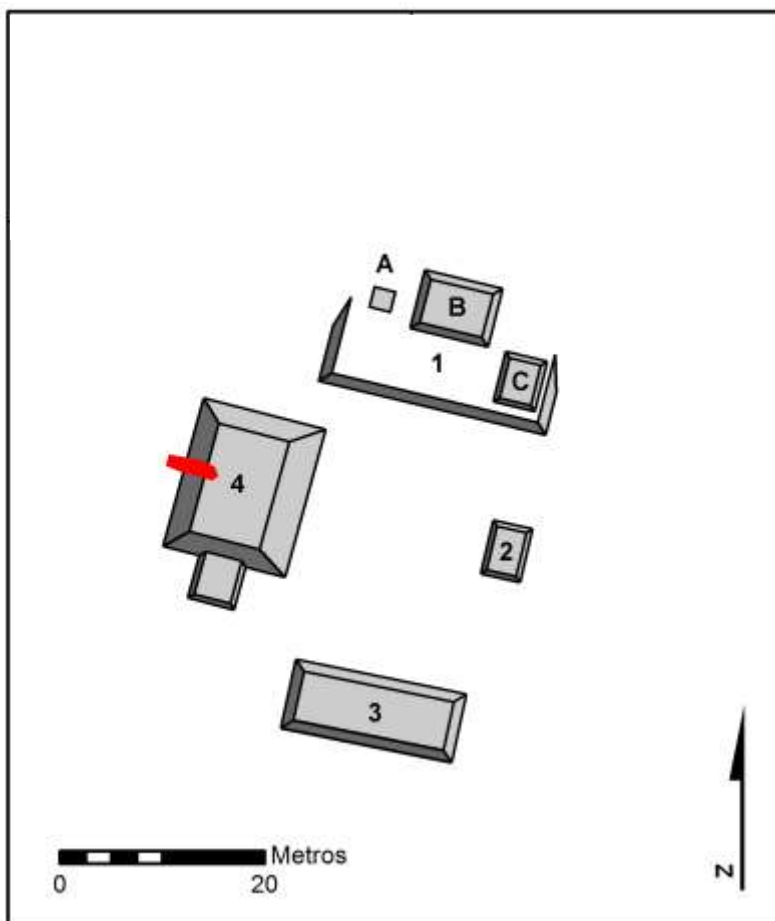


Figura 2.3 Sitio PRALC-018 Los Costales – Plano del Sitio. Escala 1: 1000 (Mapa: C. Chiriboga)

PRALC-037 – El Conacaste (Figuras 2.2 y 2.4)

Coordenadas: 15 N 779191 1936385 UTM – WGS84

Material Recolectado: Si

Cronología: Indeterminada

Sitio identificado por personal de WCS, ubicado 3 km al sur de La Corona. El sitio consiste en seis estructuras que varían entre los 0.5 y los 2.0 m de altura, con la Estructura 2 siendo la de mayor tamaño. Las estructuras se encuentran en dos plataformas elevadas. En el área circundante, la cual presenta una pendiente hacia el sureste, se encuentran las tres estructuras restantes (Estructuras 4 a 6). Se identificaron un total de cuatro trincheras de saqueo en las estructuras 1, 2, 3 y 5.

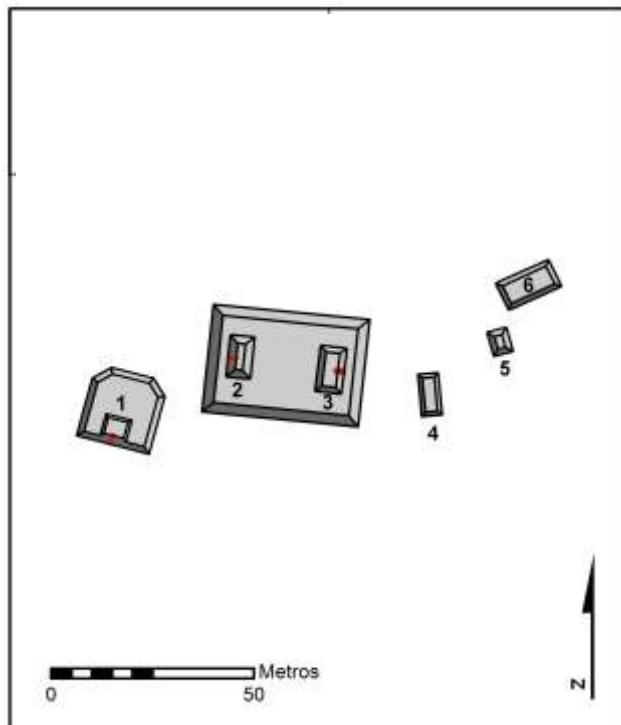


Figura 2.4 Sitio PRALC-037 El Conacaste – Plano del Sitio. Escala 1:2000 (Mapa: C. Chiriboga)

PRALC-036 – El Tesoro (Figuras 2.2 y 2.5)

Coordenadas: 15 N 773886 1941986 UTM – WGS84

Material Recolectado: Si

Cronología: Indeterminada

El sitio de El Tesoro fue reportado inicialmente al PRALC por personal de WCS. La primera visita al sitio por miembros del PRALC fue efectuada durante la Temporada de Campo 2011 por Rodrigo Guzmán, mediante la cual se corroboró su ubicación y se identificaron algunas estructuras. Debido a los datos reportados como resultado de esta visita, se decidió llevar a cabo una visita como parte del sub-proyecto de reconocimiento regional durante 2012.

El sitio de El Tesoro se encuentra sobre una lengua de terreno elevado (cerro natural) ubicado al noreste de un sibal, el cual mantiene presencia de agua durante todo el año. Durante el reconocimiento realizado durante la Temporada 2012 se identificaron un total de 14 estructuras, las cuales se concentran en el sector suroeste del terreno elevado, el área más cercana al sibal. Las estructuras varían desde 0.3 hasta 3.3 metros de altura, la Estructura 2 siendo la mayor.

La mayoría de las estructuras se encuentran ordenadas alrededor de dos pequeñas plazas o patios: el Grupo A, el cual incluye las estructuras 1, 2, 3 y 4; y el Grupo B, el cual incluye las estructuras 7, 8 y 9. Las estructuras 2, 5 y 6 aparentan corresponder a una plaza con una alineación suroeste-noreste, posiblemente atribuible a un trazo temprano del sitio. Esta posibilidad será verificada cuando se termine el análisis de los materiales recolectados de los pozos de saqueo de estas estructuras y se pueda determinar si se define una diferenciación temporal clara en comparación a los materiales del resto de las estructuras. Fuera del área principal del sitio, al sur de los grupos A y B, se identificaron dos estructuras (10 y 11) ubicadas a una elevación menor, más cercanas a la orilla del sibal.

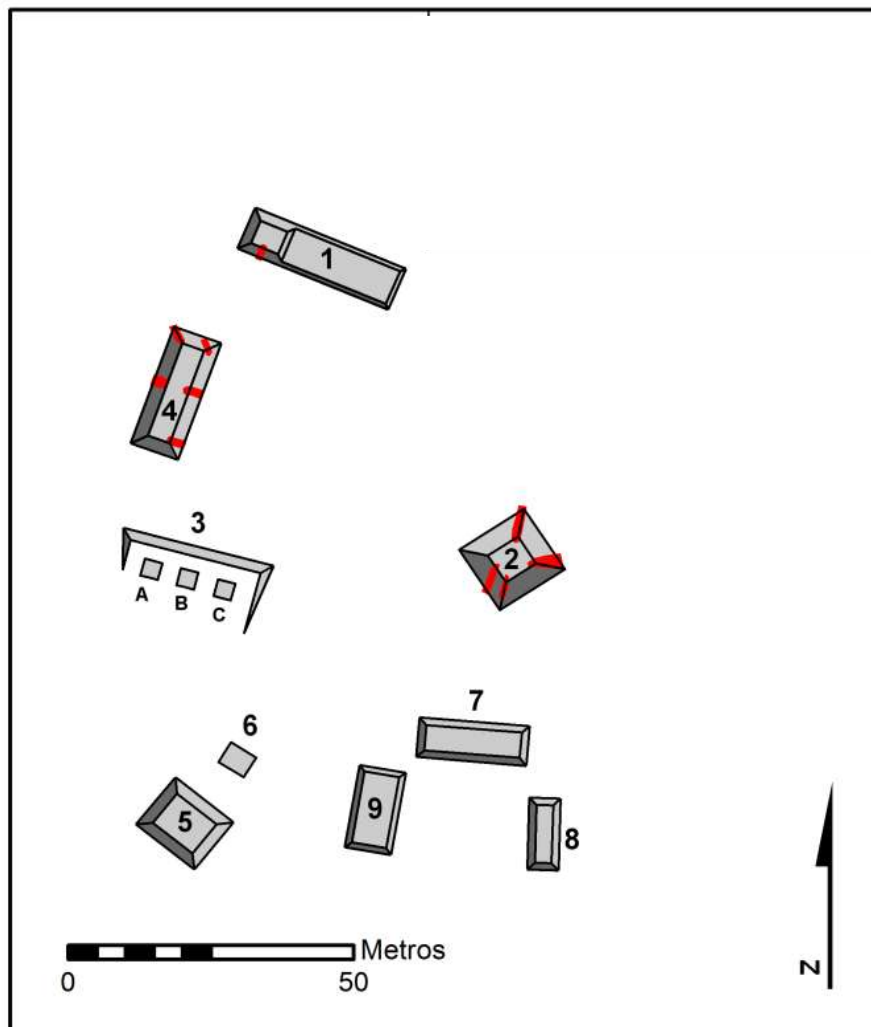


Figura 2.5 Sitio PRALC-038 El Tesoro – Plano del Sitio. Escala 1:2000 (Mapa: C. Chiriboga)

El sitio presentaba depredación mediante trincheras de saqueo en varias de sus estructuras. La Estructura 4 es la más afectada, presentando un total de cinco saqueos. Las estructuras 1 y 2 también presentan trincheras de saqueo. En total se identificaron nueve trincheras de saqueo.

De manera paralela a la recolección de materiales de superficie y de las trincheras de saqueo, también se realizó una excavación de sondeo (PRALC-036-101) frente a la Estructura 4, cuyos resultados se detallan más adelante.

PRALC-039 – La Isla (Figuras 2.2 y 2.6)

Coordenadas: 15 N 789087 1953931 UTM – WGS84

Material Recolectado: Si

Cronología: Indeterminada

Sitio ubicado sobre cerro natural. Consiste de dos grupos plaza adyacentes. La organización del sitio obedeció a la topografía natural, con la construcción de una terraza la cual define los dos grupos principales del sitio. En total se identificaron nueve estructuras pertenecientes a dos grupos principales. Sobre la terraza, se ubican las estructuras 1 a 14. El Grupo B, o inferior, se encuentra definido al sureste por la terraza. Las estructuras 5 a 7 forman un pequeño grupo de patio delimitado en sus cuatro lados, mientras que las estructuras 8 y 9 se ubican al noreste, también adaptadas sobre la terraza. Se identificaron trincheras de saqueo en la Estructura 2 y en el patio del Grupo B, o inferior, del sitio.

De manera paralela a la recolección de materiales de superficie y de las trincheras de saqueo, también se realizó una excavación de sondeo (PRALC-039-101) frente a la Estructura 2, los resultados de la cual se detallan más adelante.

PRALC-040 – La Isla Este (Figura 2.2)

Coordenadas: 15 N 790781 1954080 UTM – WGS84

Material Recolectado: Si

Cronología: Indeterminada

Pequeño grupo residencial sobre una plataforma a 1.75 km al este de La Isla y en una pequeña lengua de terreno elevado que se extiende en dirección sureste dentro de un área de

bajo. Se identificaron dos estructuras pequeñas de 0.3 y 1.0 m sobre una plataforma nivelada con un patio de ~15 x 15 m. La Estructura 1, la más alta, presentó un saqueo en su lado este.

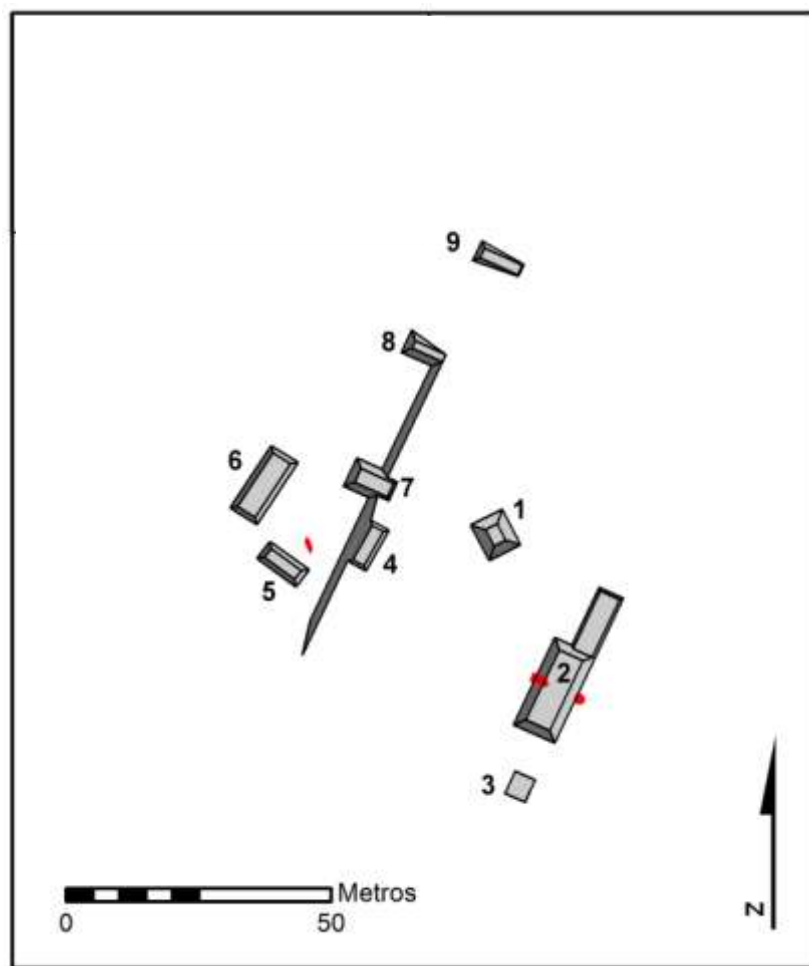


Figura 2.6 Sitio PRALC-039 La Isla – Plano del Sitio. Escala 1:2000 (Mapa: C. Chiriboga)

PRALC-046 – La Isla Sur (Figura 2.2)

Coordenadas: 15 N 789087 1953931 UTM – WGS84

Material Recolectado: Si

Cronología: Indeterminada

Sitio ubicado a unos 800 m al sur de La Isla. Se identificaron un total de cinco estructuras, tres de las cuales están localizadas sobre un área elevada. Al oeste se ubicaron dos estructuras sobre una pequeña plataforma. No se encontró ninguna evidencia de saqueo moderno.

PRALC-041 – El Ramonalito (Figuras 2.2 y 2.7)

Coordenadas: 15 N 777403 1938868 UTM – WGS84

Material Recolectado: Si

Cronología: Clásico Temprano/Tardío (¿?)

Este grupo fue identificado inicialmente durante la Temporada 2008 durante exploraciones iniciales efectuadas por Damien Marken y el autor. Debido a su cercanía a La Corona (a unos 700 m al SSO de la plaza central), es probable que este grupo corresponda a un grupo periférico residencial de estatus alto relacionado directamente con el sitio.

Las estructuras fueron identificadas en la cima de un cerro natural con orientado de norte a sur, con las estructuras concentradas en el área sur del promontorio. El grupo está compuesto por ocho estructuras, de la cuales seis se encuentran ordenadas alrededor de una plaza de aproximadamente 18 x 23 m (414 m²). Las estructuras varían en tamaño desde 0.3 hasta 2.9 m de altura, la Estructura 5 siendo la de mayor tamaño. Se identificaron dos estructuras en un área al norte del grupo principal arregladas alrededor de un pequeño patio.

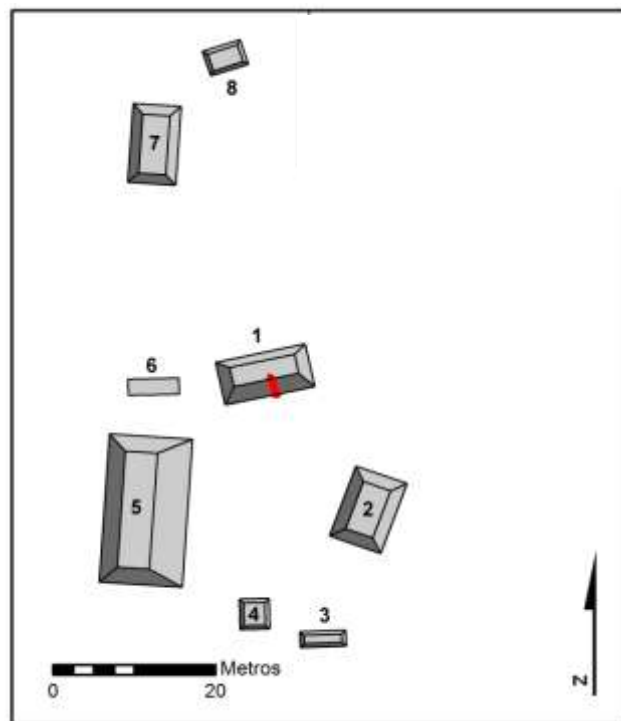


Figura 2.7 Sitio PRALC-041 El Ramonalito – Plano del Sitio. Escala 1:1000 (Mapa: C. Chiriboga)

Vale la pena mencionar que las estructuras pertenecientes al grupo principal presentan mampostería de buena calidad identificable tanto en la superficie así como dentro de la trinchera de saqueo. Se identificaron muros de bloques de caliza trabajada así como lajas que posiblemente pertenecían a estructuras abovedadas.

PRALC-043 – El Desprecio (Figuras 2.2 y 2.8)

Coordenadas: 15 N 803715 1957164 UTM – WGS84

Material Recolectado: Si

Cronología: Indeterminada

Sitio compuesto por un total de seis estructuras distribuidas en tres grupos. Las estructuras varían entre los 0.3 y los 7.0 m de altura, la Estructura 4 siendo la de mayor tamaño. Los grupos se ubican a lo largo de una lengua de terreno elevado orientada del suroeste hacia el noreste, construidos sobre la cima de áreas elevadas las cuales fueron niveladas artificialmente. El Grupo A consiste en dos estructuras (2 y 3) colocadas sobre una nivelación de aproximadamente 24 x 25 m de extensión. Ambas estructuras presentaban trincheras de saqueo en su lado norte. El Grupo B está compuesto por un área nivelada de 56 x 50 m con la Estructura 4 ocupando el área norte. La Estructura 4 es la mayor del sitio, ocupando un área de 30.7 x 20.3 m y con 7 m de altura. La estructura presentaba dos saqueos: una trinchera ubicada en su lado oeste y un pozo en su cima, frente a los restos de una superestructura. El Grupo C consiste de dos estructuras (5 y 6) sobre un área nivelada de aproximadamente 16 x 14 m de extensión; aunque las estructuras no presentaban ninguna evidencia de saqueo, se identificó una trinchera de saqueo en el centro del patio. Finalmente, en el área del campamento, ubicado a orillas de un sibal en el sector suroeste del sitio, se identificó una estructura con forma de terraza.

De manera paralela a la recolección de materiales de superficie y de las trincheras de saqueo, también se realizó una excavación de sondeo (PRALC-043-101) frente a la Estructura 4, los resultados de la cual se detallan más adelante.

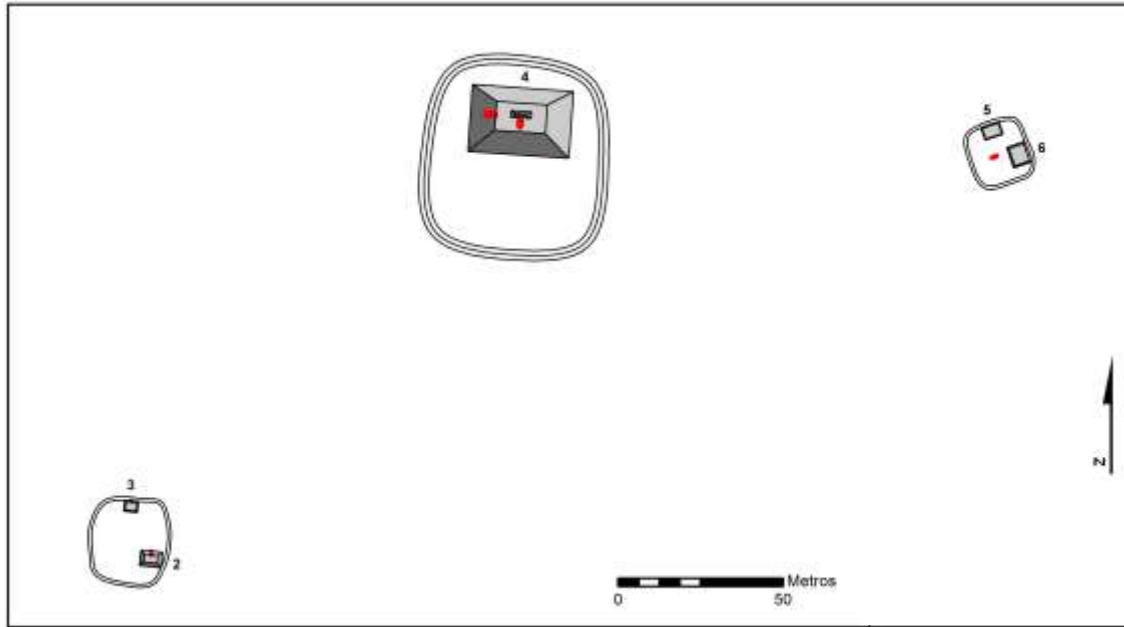


Figura 2.8 Sitio PRALC-043 El Desprecio – Plano del Sitio. Escala 1:2000 (Mapa: C. Chiriboga)

PRALC-038 – Laguna Morgan (Figura 2.2)

Coordenadas: 15 N 780340 1949442 UTM-WGS84

Material Recolectado: No

Cronología: Indeterminada

Identificado por personal de WCS, por lo que Roan Balas McNab proporcionó coordenadas para varias estructuras así como una descripción de éstas. Debido a limitantes de tiempo no se logró visitar este sitio durante la Temporada 2012, pero se espera llevar a cabo una visita en 2013.

PRALC-044 – El Sibalón (Figura 2.2)

Coordenadas: 15 N 802350 1957379 UTM-WGS84

Material Recolectado: No

Cronología: Indeterminada

Ubicado sobre un cerro natural, al sur de la vereda que va del campamento de La Icotea hacia El Sibalón. Se identificaron dos pequeños montículos. Debido a limitaciones de tiempo no se exploró el resto del área. Se tiene programado llevar a cabo una visita al área durante la Temporada 2013.

PRALC-045 – Laguna Santa Elena (Figura 2.2)

Coordenadas: 15 N 784453 1957035 UTM-WGS84

Material Recolectado: No

Cronología: Indeterminada

Sitio identificado por personal de reconocimiento durante la Temporada 2012. No se logró llevar a cabo una segunda visita al sitio debido a limitaciones de tiempo. Se tiene programado visitar el área durante la Temporada 2013.

Excavaciones

La Temporada 2012 tuvo la continuación del proyecto de sondeos arqueológicos iniciado durante 2011 de manera paralela al reconocimiento regional. La metodología consistió en la excavación de pozos de sondeo de 2 x 1 m, orientados a norte magnético. Las excavaciones se realizaron siguiendo la estratigrafía natural, con la finalidad de profundizar hasta estéril, el cual debido a la geología de la región, es representada por la roca madre caliza. A continuación se presentan los datos de excavación de los pozos de sondeo realizados durante la Temporada 2012.

Unidad PRALC-038-101 (Figuras 2.9-2.11)

Sitio: PRALC-038 – El Tesoro

Medidas: 2 x 1 m.

Coordenadas: 15 N 806949.182 1936602.020 UTM – WGS84

Niveles: 5

Profundidad máxima: 267 cm.

La Unidad PRALC-038-101 se ubicó 3.5 m frente a la Estructura 038-04. Midió 2 x 1 m y se orientó longitudinalmente este-oeste y hacia el norte magnético (1.33° al este de norte verdadero).

El Lote 1 (*PRALC-038-101/1*) correspondió a la superficie actual y la capa de materia orgánica (humus) compuesta por una capa de tierra color café clara/amarillenta con alta densidad de materiales orgánicos (hojas, raíces, etc.). Este lote comprendió entre los 15 y 37 cm de profundidad, medida desde la esquina NE del pozo. A unos 35 cm de profundidad se encontró un nivel de piedra pequeña (<5cm) que posiblemente representa un piso deteriorado, el cual corresponde a la última etapa de construcción de la plaza.

EL Lote 2 (*PRALC-038-101/2*) correspondió a un relleno de piedra pequeña (<5 cm) con relleno de tierra café clara/amarillenta igual a la encontrada en el Lote 1. A 57 cm de profundidad, en la esquina NE del pozo, se topó con un piso deteriorado el cual se extendió a 63 cm de profundidad en el resto del pozo.

El Lote 3 (*PRALC-038-101/3*) correspondió a un piso de estuco deteriorado a 63 cm de profundidad, así como el material de relleno inmediatamente debajo de esta nivelación. Debajo del piso deteriorado se encontró un relleno café claro/amarillento significativamente más claro que el nivel superior. A 73 cm de profundidad se encontró una piedra de gran tamaño saliendo del Perfil Norte del pozo, y a los 1.03 m se llegó a un nivel apelmazado de tierra café clara.

El Lote 4 (*PRALC-038-101/4*) constó de un nivel apelmazado con presencia de piedrín, formado por tierra café clara con presencia de piedras grandes (>15 cm). En el lado este se encontró una concentración de tierra café barrosa. Se continuó excavando alrededor de la piedra grande. Al llegar al Lote 5 (*PRALC-038-101/5*) se continuó la excavación solamente en la mitad oeste del pozo, reduciendo el área de excavación a 1 x 1 m. El lote consistió en tierra café oscura arcillosa compacta, que se encontró directamente sobre la roca madre, la cual fue hallada a 267 cm de profundidad.

Aún no se ha llevado a cabo el análisis de materiales obtenidos de la excavación, por lo que se espera terminar este análisis durante la primera mitad de 2013.

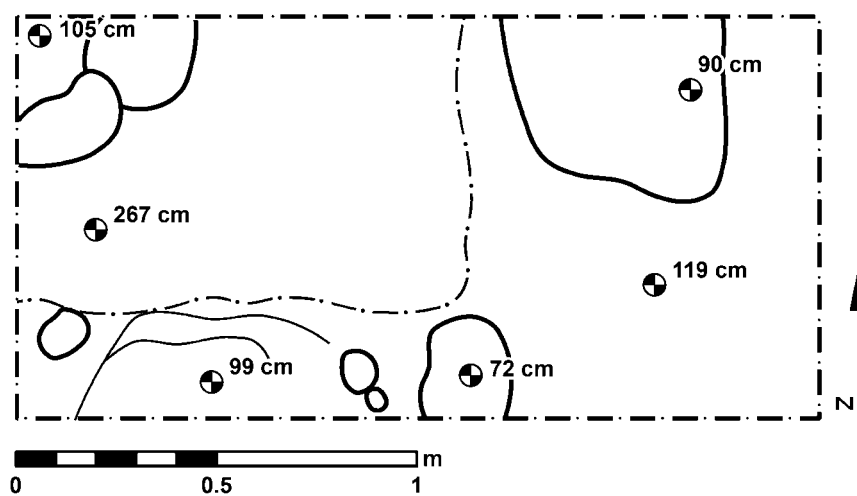


Figura 2.9 Unidad PRALC-038-101. Planta. Escala 1:20 (Dibujo: C. Chiriboga)

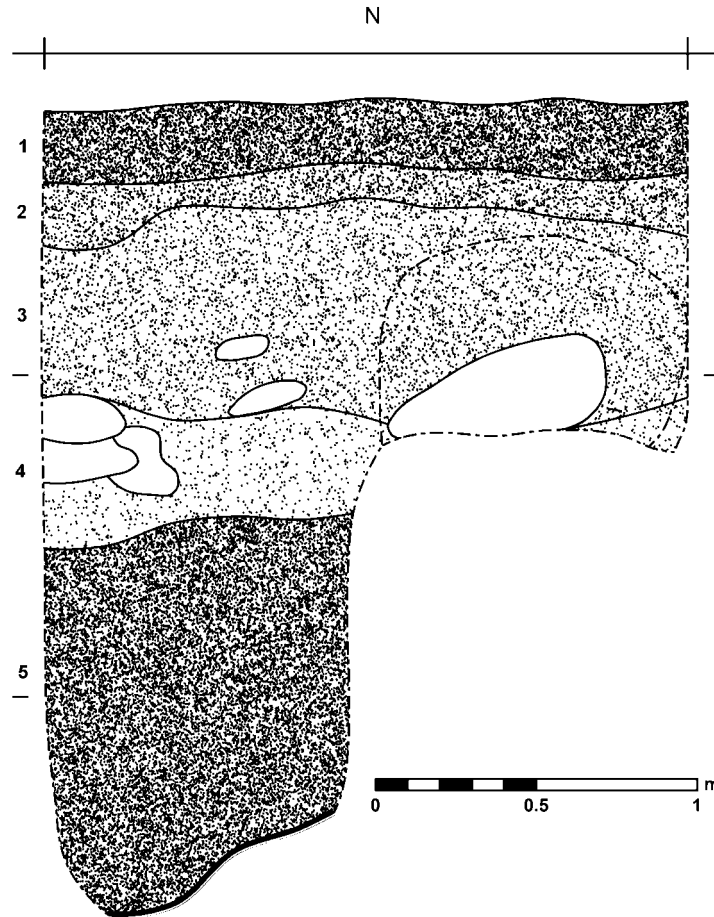


Figura 2.10 Unidad PRALC-038-101 con lotes numerados – Perfil Norte. Escala 1:20 (Dibujo: C. Chiriboga)



Figura 2.11 Unidad PRALC-038-101 – Fotografía Perfil Norte (Foto: C. Chiriboga)

Unidad PRALC-039-101 (Figuras 2.12-2.15)

Sitio: PRALC-39 – La Isla

Medidas: 2 x 1 m.

Coordenadas: 15 N 806949.182 1936602.020 UTM – WGS84

Niveles: 3

Profundidad máxima: 249 cm.

La Unidad PRALC-039-101 se ubicó 3 m frente a la Estructura 039-02. Midió 2 x 1 m y se orientó longitudinalmente este-oeste y al norte magnético (1.33° al este de norte verdadero). El Lote 1 (*PRALC-039-101/1*) correspondió al nivel de superficie actual y capa de material orgánico (humus), profundizándose hasta los 0.5 m. Consistió de tierra color café claro mezclada con una elevada proporción de material orgánico. En el Lote 2 (*PRALC-039-101/2*), a 50 cm de profundidad, se detectó un cambio en el material de relleno, continuando la tierra color café clara pero con un significativo incremento de inclusiones de *sascab*/caliza así como la presencia de piedras pequeñas (<10 cm). Finalmente el Lote 3 (*PRALC-039-101/3*) finalizó a los 80 cm de profundidad. Aún no se ha llevado a cabo el análisis de materiales obtenidos de la excavación, por lo que se espera tener estos datos durante la primera mitad de 2013.

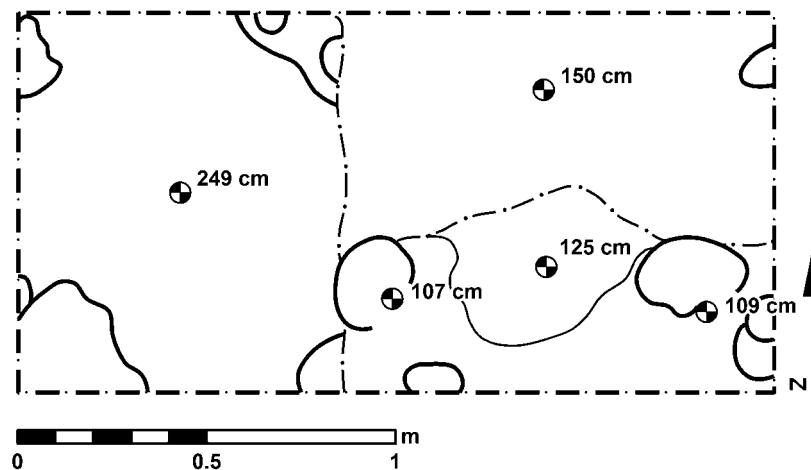


Figura 2.12 Unidad PRALC-039-101 – Planta. Escala 1:20 (Dibujo: C. Chiriboga)

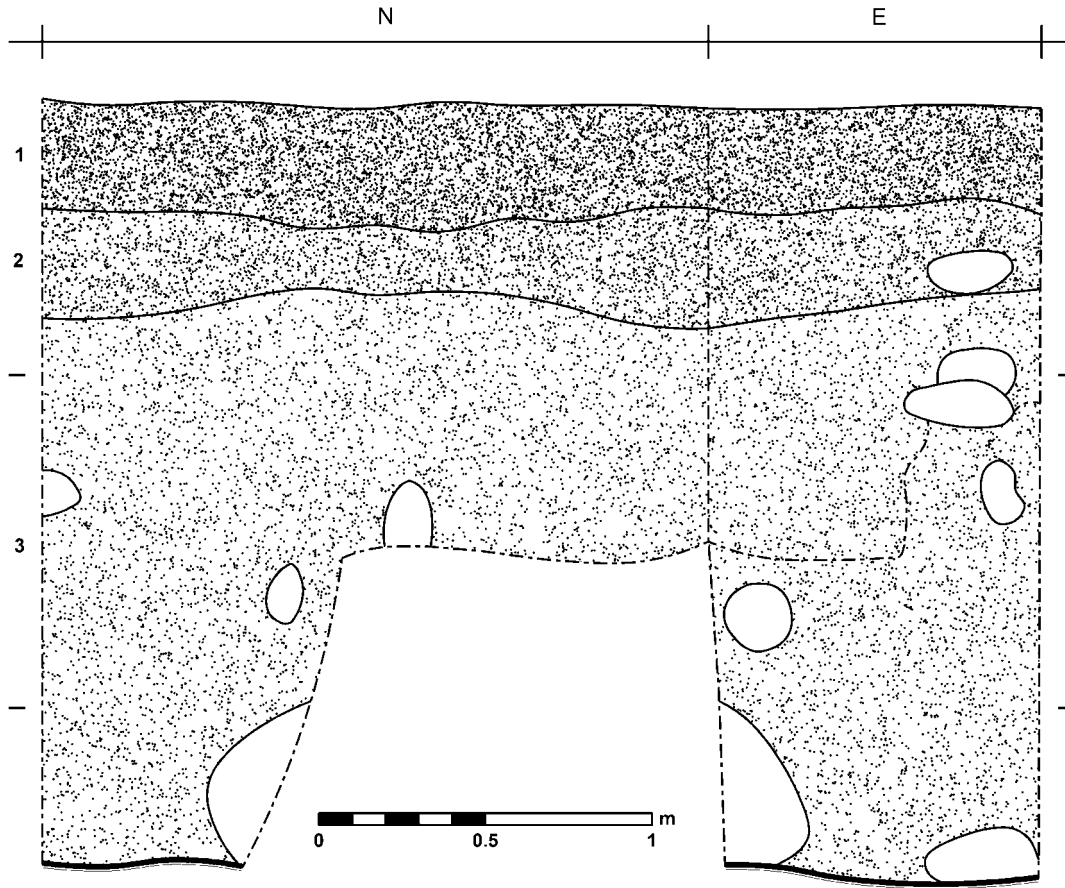


Figura 2.13 Unidad PRALC-039-101 con lotes numerados – Perfil Norte y Este. Escala 1:20 (Dibujo: C. Chiriboga)



Figuras 2.14 y 2.15 – Unidad PRALC-039-101 – Perfiles Norte y Este (Fotos: C. Chiriboga)

Unidad PRALC-042-101 (Figuras 2.16-2.21)

Sitio: PRALC-042 – Los Costales

Medidas: 2 x 1 m.

Coordenadas: 15 N 806949.182 1936602.020 UTM – WGS84

Niveles: 3

Profundidad máxima: 122 cm.

La Unidad PRALC-042-101 se ubicó 1.5 m frente a la Estructura 042-04. Debido a la presencia de árboles de importancia económica y natural (ceiba, etc.) se tuvo que mover 4 m al sur del eje central de la estructura aprovechando un área sin presencia de árboles. Midió 2 x 1 m y se orientó longitudinalmente este-oeste y al norte magnético (1.33° al este de norte verdadero).

El Lote 1 (PRALC-042-101/1) correspondió a la superficie actual y la capa de materia orgánica (humus) compuesta por una capa de tierra color café arenosa con alta densidad de materiales orgánicos (hojas, raíces, etc.) y la presencia de piedra pequeña y mediana (<15 cm). Este lote comprendió entre los 15 y 37 cm de profundidad medida desde la esquina SO del pozo.

En el Lote 2 (PRALC-042-101/2), definido debajo de la capa de humus, se continuó excavando tierra café arenosa con presencia de piedra. El lado oeste del pozo presentó una concentración de piedras grandes las cuales posiblemente corresponden a colapso de la Estructura 4. A 63 m de profundidad se encontró un piso deteriorado.

El Lote 3 (PRALC-042-101/3) consistió del piso deteriorado de aproximadamente 2 cm de grosor, seguido por relleno compuesto por piedra mediana (<15 cm) amarrada con mezcla calcárea blanca (posiblemente compuesta de *sascab* y cal). A 94 cm de profundidad se topó con fragmentos cerámicos los cuales ameritaron una excavación más cuidadosa (Figura 2.16). Tras limpiar el área se identificó una ofrenda, la cual consistía de tres vasijas cerámicas, dos platos y un vaso, las cuales fueron colocadas sobre una depresión en la roca madre previo a la nivelación del área (Figuras 2.17 y 2.18). Un análisis preliminar del vaso efectuado por Caroline Parris lo identifica como un vaso tipo Cuspidor, fechado al Preclásico Medio. Se profundizó el pozo hasta llegar a la roca madre a una profundidad máxima de 122 cm.

Aún no se ha llevado a cabo el análisis completo de materiales obtenidos de la excavación, por lo que se espera terminarlo durante la primera mitad de 2013.



Figura 2.16 Ofrenda - Plato fragmentado sobre vaso (Foto: C. Chiriboga)



Figura 2.17 Vaso y plato en ofrenda (Foto: C. Chiriboga)



Figura 2.18 Vaso y plato en ofrenda (Foto: C. Chiriboga)

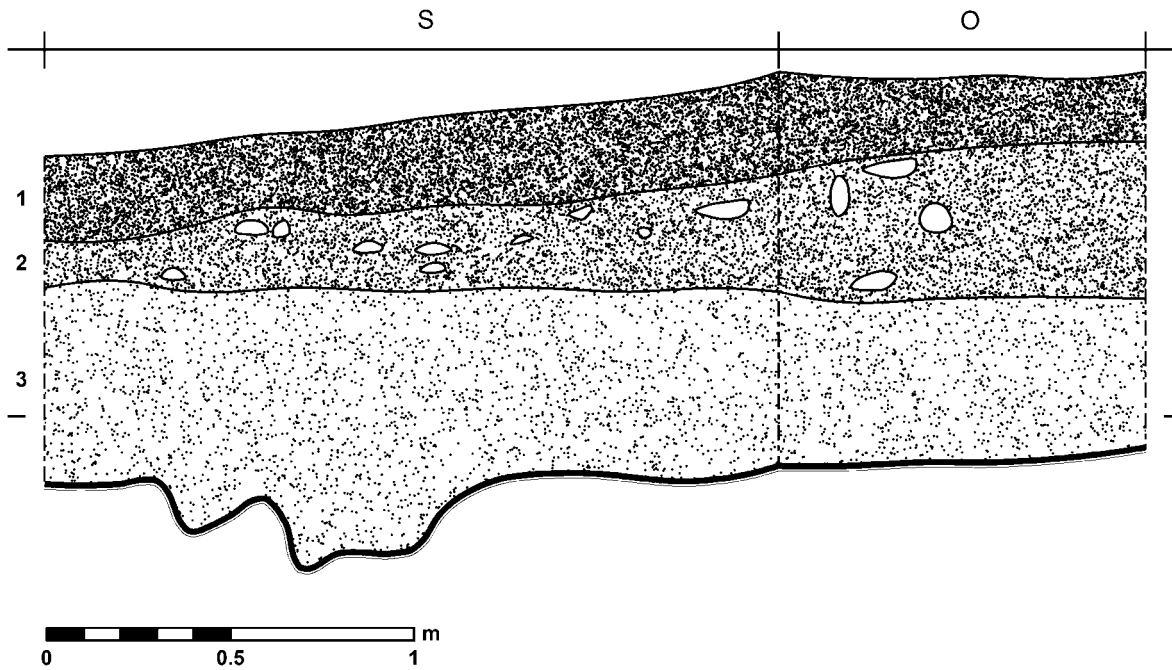


Figura 2.19 Unidad PRALC-042-101 con lotes numerados – Perfil Sur y Oeste. Escala 1:20 (Dibujo: C. Chiriboga)



Figuras 2.20 y 2.21 Unidad PRALC-042-101 – Perfil Sur y Oeste (Fotos: C. Chiriboga)

PRALC-043-101 (Figuras 2.22-2.24)

Sitio: PRALC-043 – El Desprecio

Medidas: 2 x 1 m.

Coordenadas: 15 N 806949.182 1936602.020 UTM – WGS84

Niveles: 2

Profundidad máxima: 145 cm.

La Unidad PRALC-043-101 se ubicó 6 m frente a la Estructura 043-04, alineada con el eje central de la estructura. Midió 2 x 1 m y se orientó longitudinalmente este-oeste y al norte magnético (1.33° al este de norte verdadero). El Lote 1 (*PRALC-043-101/1*) fue de superficie/humus, con tierra café clara arenosa con alta mezcla de material orgánico. A los 15 cm de profundidad se encontró pedrín y pequeñas piedras (<10cm) dentro de tierra igual a la capa superior. A 90 cm de profundidad se notó un incremento en la proporción de piedras de mayor tamaño (>15 cm), dentro de un relleno de tierra compacta grisácea con una alta proporción de material calcáreo, posiblemente cal o *sascab*. El Lote 2 (*PRALC-043-101/2*) fue de relleno compacto de tierra café clara grisácea con una mayor proporción de piedra suelta de distintos tamaños. Este lote se encontraba inmediatamente sobre la roca madre, la cual se ubicó a 145 cm de profundidad. Aún no se ha llevado a cabo el análisis de materiales obtenidos de la excavación y se espera terminarlo durante la primera mitad de 2013.

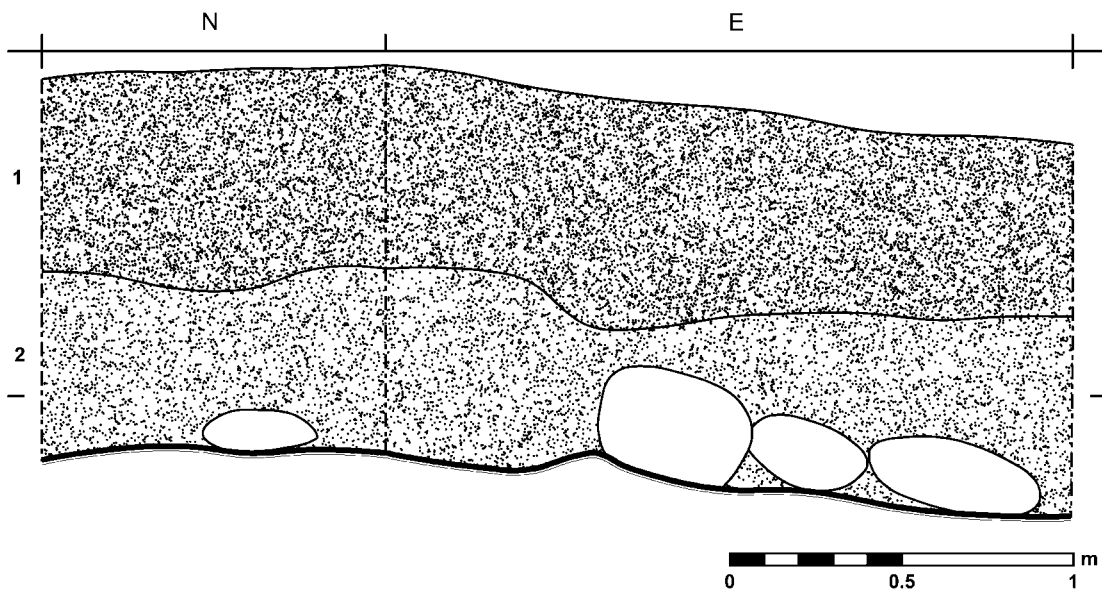


Figura 2.22 Unidad PRALC-043-101 con lotes numerados – Perfil Norte y Este. Escala 1:20 (Dibujo: C. Chiriboga)



Figuras 2.23 y 2.24 Unidad PRALC-043-101 – Perfil Norte y Este (Fotos: C. Chiriboga)

Conclusiones

Los datos presentados arriba comienzan a proporcionar una idea inicial sobre el patrón de asentamiento en la RBM occidental. Tras dos temporadas de reconocimiento regional en el noroeste de la RBM, el registro de sitios arqueológicos ha incrementado a un total de 46, proporcionando una muestra cada día mejor para tratar de entender el desarrollo de las comunidades prehispánicas en la región (Figura 2.25).

En conjunto con los datos generados por medio de excavaciones extensivas en los sitios de La Corona y El Achiotal, el programa de sondeos arqueológicos iniciado durante la Temporada 2011 tiene el potencial de aportar importantes descubrimientos sobre la extensión y temporalidad de la ocupación Maya en el noroeste de la RBM.

La continuación de este proyecto de reconocimiento arqueológico a lo largo de las siguientes temporadas de investigación promete identificar aún más sitios arqueológicos en esta región poco investigada hasta el momento. Se espera que la implementación de excavaciones limitadas de pozos de sondeo y el inicio del análisis cerámico de los materiales recolectados, tanto de la superficie así como de las excavaciones, proporcionará datos importantes sobre el patrón de asentamiento en la región y ayudará a complementar un registro arqueológico cada vez más completo de la historia prehispánica de las Tierras Bajas Centrales.

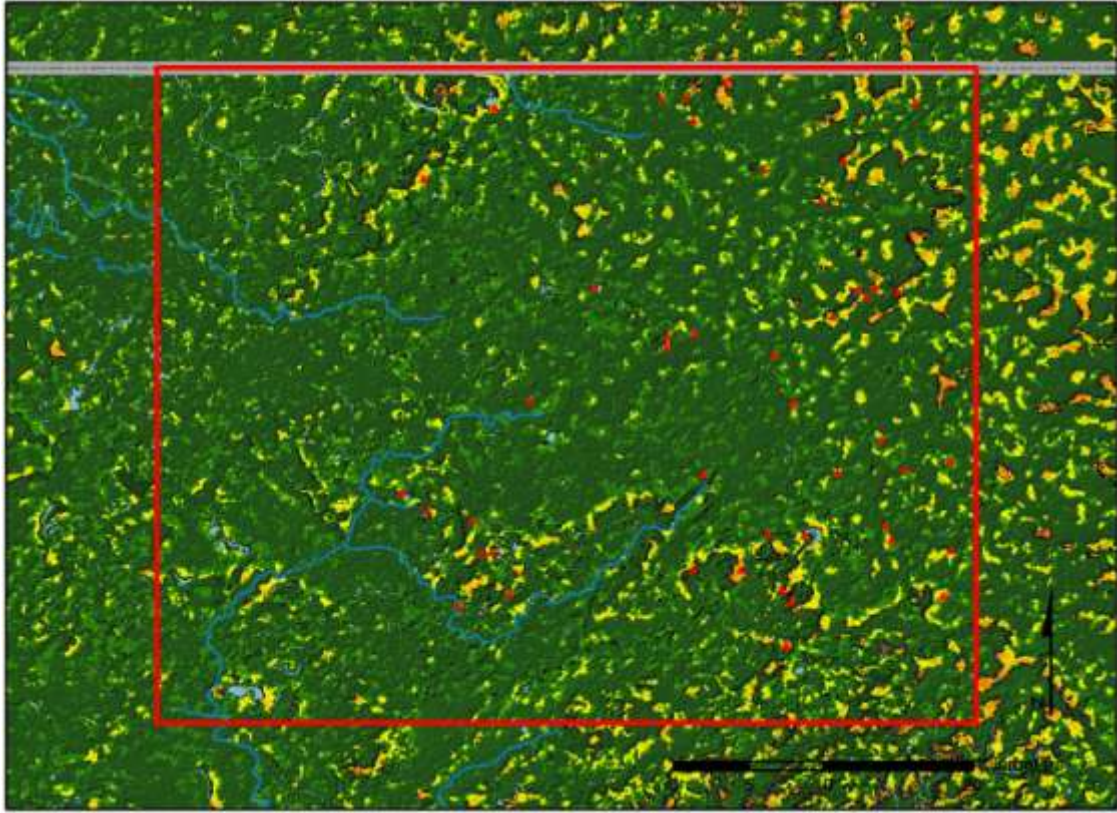


Figura 2.25 Total de sitios identificados en área de estudio hasta 2012 (Mapa: C. Chiriboga)

CAPÍTULO III

INVESTIGACIÓN ARQUEOLÓGICA EN LA CARIBA

David Chatelain, Maxime Lamoureux-St. Hilaire y Evan Parker

Introducción

El sitio La Cariba está localizado 4.21 km al suroeste de la Plaza Principal de La Corona, situado en una elevación natural con vista al Río La Cariba al suroeste. El sitio fue mapeado parcialmente por Damien Marken durante la Temporada 2009 (Marken 2010). Durante esa temporada, solamente la acrópolis principal de La Cariba fue mapeada utilizando estación total. Durante la Temporada 2012, el sitio fue más investigado y mapeado por David Chatelain con la ayuda de Maxime Lamoureux-St. Hilaire y Evan Parker. Durante el reconocimiento y mapeo del sitio se localizaron plataformas, estructuras, monumentos y aguadas adicionales (Figura 3.1).

Métodos

Las investigaciones en el sitio durante la Temporada 2012 comenzaron removiendo la vegetación secundaria en la plaza de la acrópolis principal para asistir en el mapeo. A medida que se localizaron más grupos arquitectónicos, plataformas y rasgos, también se les removió la vegetación. Para comenzar el mapeo, se fijó un *datum* en la plaza de la acrópolis principal, frente a la estructura más grande en el lado oeste, denominada Estructura A-1. Desafortunadamente, no fue posible obtener un banco de marca permanente de concreto al final de la Temporada 2012, por lo que se colocó una estaca de madera dura con un clavo incrustado. Se utilizaron estacas similares para puntos de estaciones subsecuentes. El sitio fue mapeado con una estación total Topcon GTS-220 y se realizaron medidas aproximadas de topografía adicional varios metros después de cada grupo. Las estructuras y plataformas fueron mapeadas topográficamente para crear un modelo de elevación digital del sitio (Figuras 3.2 y 3.3). Hay que aclarar que no se mapeó la acrópolis principal, incluyendo sus estructuras y plaza, ya que los datos de los puntos del mapa de 2009 se georeferenciaron a los datos de mapeo de 2012. Todas las estructuras y plataformas se redibujaron en el Mapa 2012.

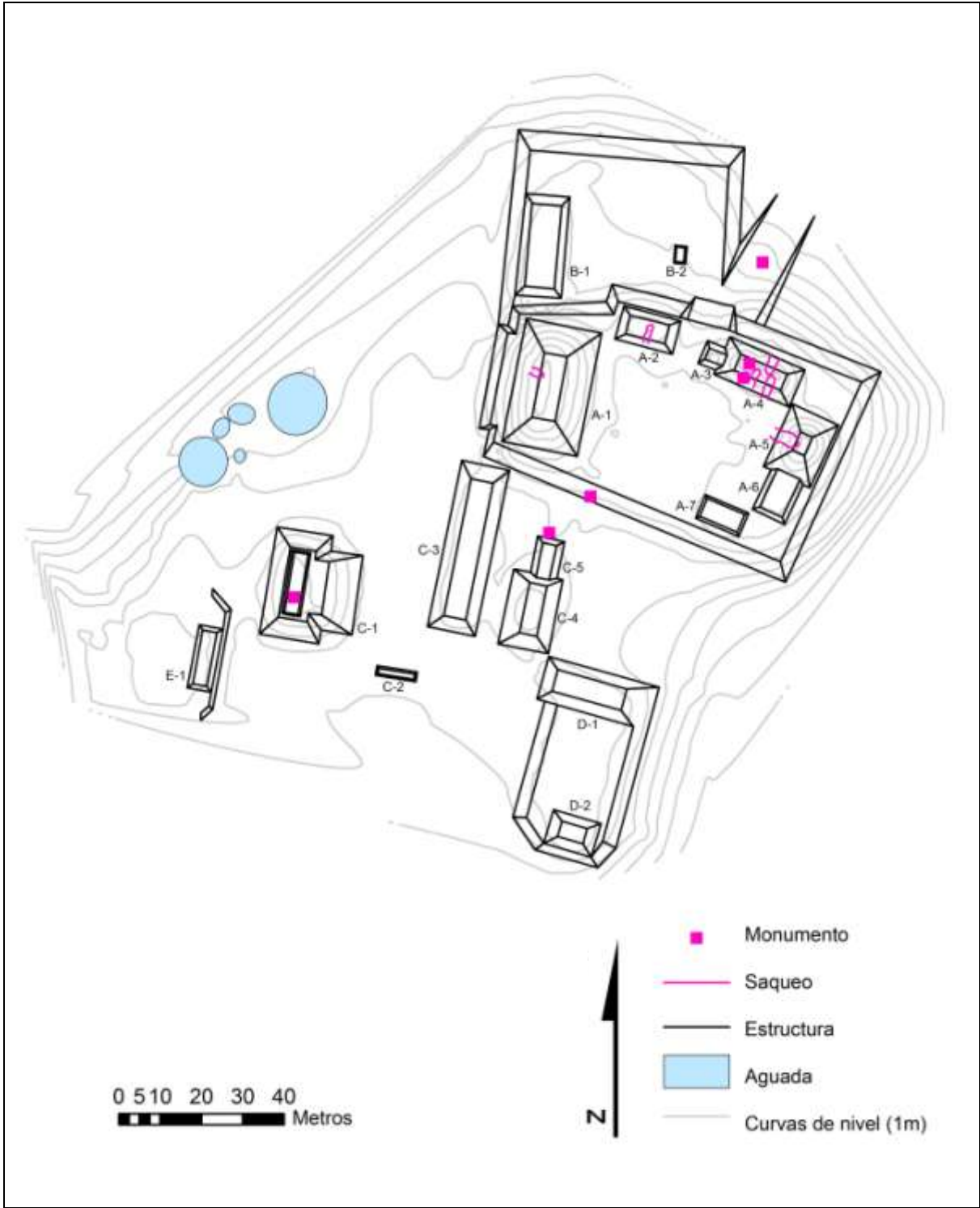


Figura 3.1 Mapa de La Cariba (Mapa: D. Chatelain)

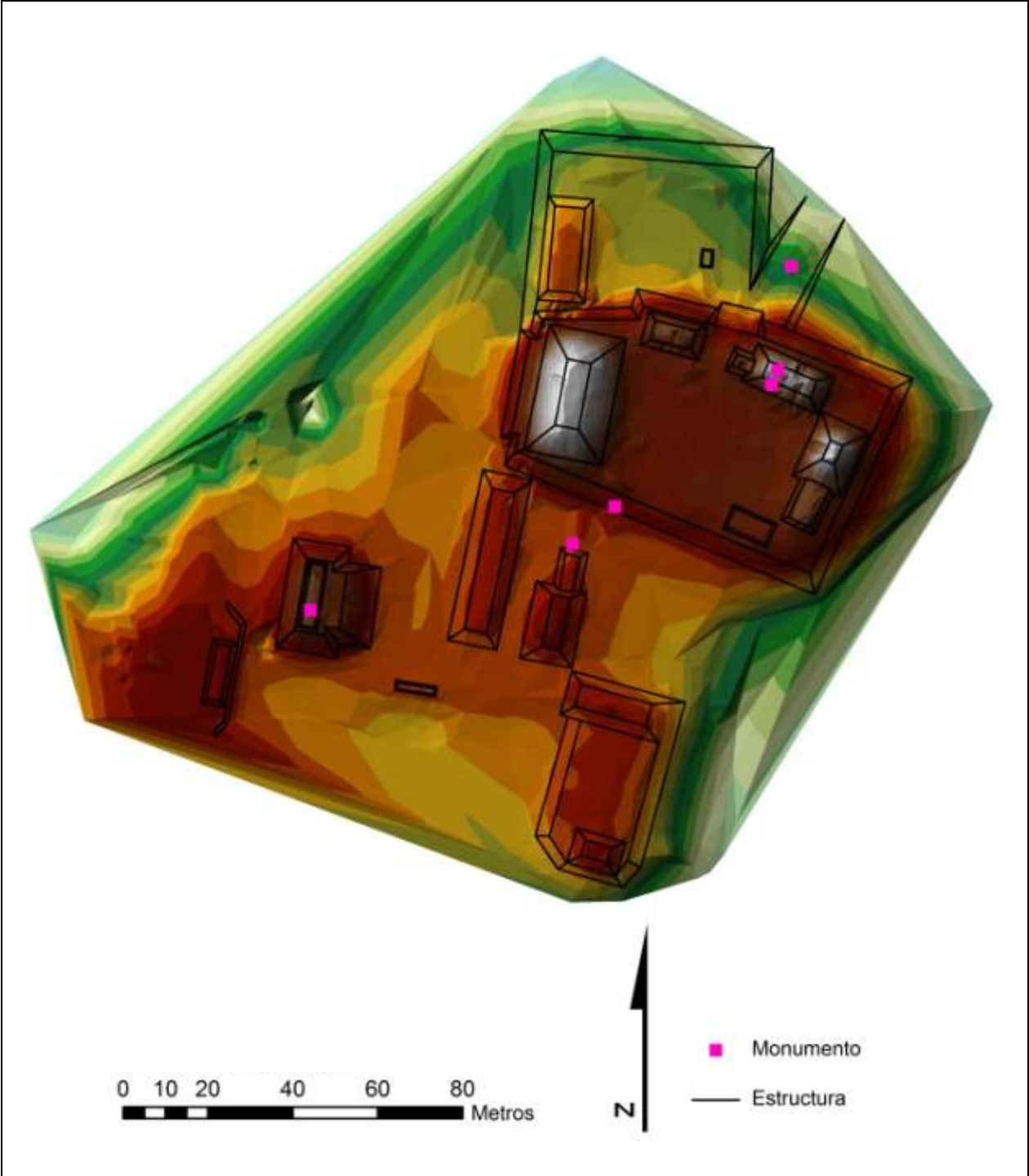


Figura 3.2 Mapa tridimensional de La Cariba (Mapa: D. Chatelain)

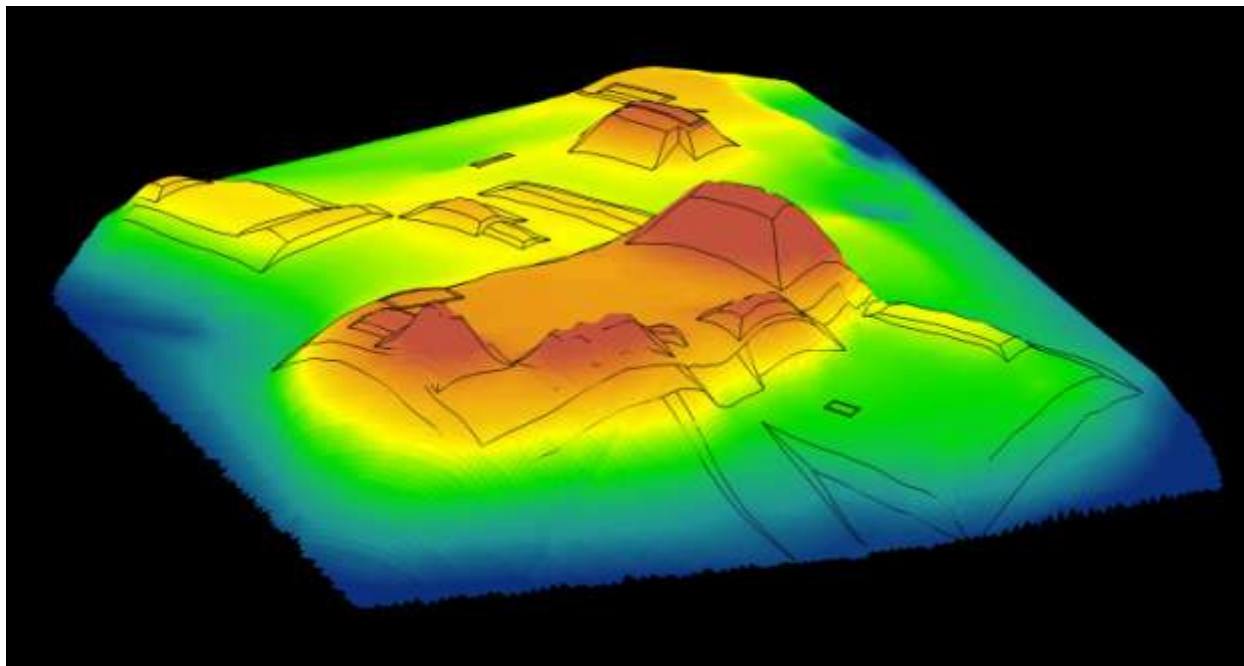


Figura 3.3 Mapa tridimensional de La Cariba, viendo al suroeste (Mapa: D. Chatelain)

Resultados

Se registraron un total de 999 puntos durante la Temporada 2012, con un total de 1,876 puntos con los datos de 2009. El mapa compilado cubre 27,550 m² o 2.76 hectáreas del sitio. El mapa incluye el núcleo entero del sitio como se conoce actualmente, pero puede haber más ocupación residencial fuera del área mapeada. La disposición del sitio fue unitaria, con todas las plataformas y estructuras en proximidad cercana la una a la otra y orientadas conforme a la acrópolis principal. Debido a su proximidad, fue difícil definir grupos separados en algunos casos. Los grupos de estructuras fueron definidos principalmente en base a proximidad espacial, orientación compartida alrededor de una plaza o patio y por la presencia de una plataforma basal compartida sobre la cual las estructuras se encontraban asentadas. Estas designaciones de grupos son preliminares y los detalles podrán ser refinados en temporadas posteriores en base a los resultados de excavaciones. Durante la Temporada 2012 se identificaron un total de cinco grupos arquitectónicos en el núcleo de La Cariba.

Grupo A

El Grupo A incluye la acrópolis principal de La Cariba, que consta de siete estructuras dispuestas alrededor de una plaza central denominada Plaza A. Este grupo es el más elevado del sitio y del área circundante, creado por una gran plataforma basal en una elevación natural. Esta plataforma cubre un área de aproximadamente 4,395 m². La próxima temporada se necesitará realizar excavaciones para determinar cuánto de esta plataforma fue construido artificialmente. La estructura más grande del Grupo A, la Estructura A-1, posee 5.3 m de altura y define el límite oeste de la plaza. Una trinchera de saqueo pequeña cortó la Fachada Oeste de la estructura cerca de la cima. La Estructura A-2 es más modesta en tamaño con 1.6 m de altura y está situada en el extremo oeste del lado norte de la plaza. Una trinchera de saqueo cortó una sección de la fachada principal de esta estructura.

Al este de esta estructura, las estructuras A-3 y A-4 definen el lado norte de la plaza. La Estructura A-4 mide 3.2 m de altura y posee la Estructura A-3 adosada por el lado oeste, de 1.4 m de altura. La actividad de saqueo ha dañado severamente la Estructura A-4, con dos trincheras cortando la Fachada Sur de la estructura y una la Fachada Norte. Investigaciones previas en La Cariba localizaron dos fragmentos tallados de monumento en esta estructura (Marken 2010). Originándose entre las estructuras A-2 y A-3, hay una pendiente que va del nivel de plaza al nivel del Grupo B que se encuentra más abajo y al norte. Esta pendiente, que se origina en lo que parece ser un punto de acceso a la Plaza A, ha sido tentativamente identificado como una rampa. Al nivel del Grupo B, parece cambiar de orientación hacia el noreste, conduciendo hacia La Corona.

Se encontró un monumento de piedra denominado Monumento 5 en el centro de esta sección de la rampa (Figura 3.4). El monumento es bajo y circular, por lo que probablemente era un altar, pero está muy erosionado para determinar si alguna vez estuvo tallado. El lado este de la plaza del Grupo A está definido por la Estructura A-5 y una estructura baja de 1.6 m de altura colindándola al sur, la Estructura A-6. Esta última posee 4.6 m de altura y tiene una trinchera de saqueo en su Fachada Oeste. La Estructura A-7 es una estructura baja de 40 cm de altura ubicada en el extremo este del límite sur de la plaza. El límite sur era abierto y claramente era el punto de acceso primario al Grupo A. El Altar 1, un monumento de piedra tallado con glifos y una figura central, fue encontrado en el extremo oeste de la Fachada Sur de la acrópolis (Marken 2010). Esto puede sugerir un medio de acceso al Grupo A por medio del Grupo C al sur.



Figura 3.4 Monumento 5 de La Cariba (Foto: M. Lamoureux St-Hilaire)

Grupo B

Este grupo está formado por una plataforma grande y relativamente abierta al norte del Grupo A, aproximadamente 4 m más baja en elevación. La plataforma abarca un área de aproximadamente 2,179 m². Solamente se identificaron dos estructuras en la plataforma. La más grande, la Estructura B-1, es una estructura ancha y baja de aproximadamente 1.8 m de altura, situada en el costado oeste de la plataforma. La Estructura B-2 fue descubierta durante el mapeo, cuando se encontraron alineaciones de piedras en disposición rectilínea debajo de la vegetación. Esta pequeña estructura es de aproximadamente 4 m de largo y 40 cm de alto. Con solamente estas dos estructuras presentes en la plataforma, el Grupo B es abierto con un amplio espacio de plaza.

Grupo C

Este grupo está definido por cinco estructuras con una orientación compartida justo al suroeste del Grupo A, aproximadamente 2.5 m más abajo en elevación. El edificio más al oeste, la Estructura C-1, posee 3.9 m de altura con un descanso ancho en su Fachada Este frente a una superestructura pequeña. En la superestructura se identificó un rasgo de piedra que pudo haber sido un monumento, por lo que se denominó Monumento 4. La Estructura C-2 se encuentra en el extremo sur del grupo y es una estructura baja de 40 cm de altura. Bifurcando longitudinalmente el Grupo C, la Estructura C-3 es una estructura larga de alrededor de 40 m con una altura de aproximadamente 1 m.

En frente y al este de esta estructura se encuentra la Estructura C-4 que es un edificio piramidal de 1.4 m de altura con una estructura adosada de 70 cm de altura en su lado norte, denominada Estructura C-5. Justo al norte de esta estructura baja, se encontró un monumento de piedra denominado Monumento 3. Su baja altura y forma circular sugiere que pudo haber sido un altar, aunque estaba muy erosionado para determinar si alguna vez estuvo tallado. Su ubicación entre el Grupo C y la entrada principal al Grupo A es notable. El corredor entre la Estructura C-3 al oeste y las estructuras C-4 y C-5 al este pudo haber sido la ruta primaria de acceso a la acrópolis principal, por lo que está notablemente marcada por dos monumentos de piedra, el Monumento 3 y el Altar 1, que corresponde al altar tallado encontrado en 2009.

Grupo D

Este grupo está localizado en el área sureste del sitio, justo al sureste de la Estructura C-4. El Grupo D está compuesto de una plataforma de forma más o menos octagonal con dos estructuras que definen una plaza pequeña denominada Plaza D. La plataforma cubre un área aproximada de 1,188 m². La Estructura D-1 se encuentra en el lado norte y mide 1.2 m de altura desde el nivel del suelo al norte y 50 cm desde el nivel de la Plaza D al sur. El extremo sur de la plaza está definido por la Estructura D-2, un edificio piramidal pequeño de 70 cm de altura desde el nivel de plaza y 2 m desde el nivel del suelo al sur. No se encontró otra estructura sobre la plataforma, por lo que se crea un espacio de plaza abierta. El extremo este de la plataforma pudo haber sido el acceso principal al grupo, ya que se abría al área relativamente plana justo al sur del Grupo C. La elevación de la superficie cae empinadamente al sur y este de la plataforma del Grupo D por aproximadamente 7 m. Justo al sur de la Estructura D-2, a lo largo de esta

pendiente, se encontró una aguada pequeña que no fue mapeada. Su ubicación pudo haber sido propicia para recolectar agua de lluvia que corría hacia abajo desde las áreas elevadas del sitio al norte.

Grupo E

El Grupo E consta de una sola estructura baja, la Estructura E-1, de 30 cm de altura y que está ubicada sobre una plataforma en el área suroeste del sitio. Esta plataforma mal definida posee 1.5 m de altura en su lado este. Esta plataforma probablemente es una elevación natural que fue nivelada para crear una superficie plana y abierta. El terreno desciende empinadamente al noroeste del Grupo E.

Rasgos Adicionales

Se encontraron seis aguadas en el sitio durante la Temporada 2012. Una de ellas, mencionada anteriormente, fue una aguada pequeña localizada justo al sur de la Estructura D-2. Cinco aguadas adicionales fueron localizadas en el extremo este del sitio, en el área justo antes donde el terreno desciende empinadamente en una ladera hacia el río. Las cinco aguadas estaban agrupadas cercanamente, pero claramente eran rasgos distintos. La aguada más al este es la más grande, con aproximadamente 18 m de diámetro y 4 m de profundidad. Las tres aguadas pequeñas al oeste miden entre 70 cm a 2 m en profundidad y 3 a 6 m de diámetro. La aguada más al oeste es de aproximadamente 12 m de diámetro y 2 m de profundidad. Esta aguada poseía una depresión en su lado oeste, quizás como resultado de la erosión después del abandono del sitio. Este grupo de aguadas pudo haber sido para recolectar agua de lluvia que caía desde el sitio antes del declive empinado, donde el exceso de agua pudo haberse drenado al oeste a través de este declive. Es interesante notar que a pesar de la presencia del Río La Cariba justo al suroeste del sitio, el agua de lluvia recolectada en las aguadas fue una fuente preferida de agua en el sitio. Esto seguramente se debió al alto contenido mineral del agua del río ('agua dura').

Se encontró un alineamiento de piedras que corría en una línea norte-sur comenzando justo al norte de la Estructura C-1 y pasando las aguadas hacia el este. Este rasgo pudo haber sido el límite modificado de una plataforma o posiblemente un rasgo de terraza. Por falta de tiempo no se mapeó este alineamiento.

Conclusiones

La Temporada 2012 fue exitosa produciendo un mapa completo del núcleo del sitio de La Cariba. Se necesitará realizar más reconocimiento en futuras temporadas para localizar grupos residenciales rodeando el núcleo del sitio. Se encontró que la disposición de La Cariba fue unitaria y densa, con cinco grupos arquitectónicos agrupados ajustadamente. No se encontró ningún grupo residencial en el sitio, con la posible excepción del Grupo A, la acrópolis principal. Es posible que este centro menor tuviera una función más administrativa ligada a la infraestructura política centrada en La Corona, como es sugerido por los seis monumentos de piedra actualmente conocidos de La Cariba.

Se realizará más investigación en temporadas futuras del Proyecto Regional Arqueológico La Corona, incluyendo reconocimiento y excavación, para conocer más detalles de la construcción, cronología y ocupación del sitio. Mientras que el Grupo A, la acrópolis principal de La Cariba, está fuertemente saqueada con seis trincheras de saqueo en cuatro de las estructuras, parece que el resto del sitio no fue tocado por los saqueadores. El sitio La Cariba es prometedor para futuras investigaciones y las bases de esta investigación fueron creadas durante la Temporada 2012. El sistema reticular creado para mapear el sitio puede ser utilizado para reconocimiento posterior y para mapear las unidades de excavación. Asimismo, el mapa creado esta temporada provee una base para comenzar a planear estos esfuerzos investigativos constantes.

CAPÍTULO IV

**OPERACIÓN CR 20:
EXCAVACIONES EN EL PALACIO DE LA CORONA, TEMPORADA 2012**

José Eduardo Bustamante Luna

Introducción

La Estructura 13Q-4, más conocida como el Palacio, se encuentra ubicada en el extremo oeste de la Plaza Principal del sitio La Corona. Se trata de un basamento de 75 m en su extensión norte-sur, por 56 m en su extensión este-oeste y 6 m de altura. Debido a sus dimensiones, ésta es la estructura con mayor volumen en todo el sitio. Adicionalmente se pueden observar siete superestructuras, nombradas con las letras de la A a la G, que corresponden a la última fase constructiva del edificio. Delimitando la parte suroeste de la parte superior de este basamento se encuentra la Estructura 13Q4-E, que mide aproximadamente 32 m este-oeste y 27 m norte-sur y 4 m de alto. Dadas sus dimensiones y su posición dentro de la disposición interna del Palacio, resalta la importancia de esta superestructura. Es por esta razón que desde la Temporada de Campo 2011 se comenzó con la investigación de dicha estructura (Padilla 2010).

En la Temporada 2011, bajo la dirección de la Lic. Liliana Padilla, se llevaron a cabo dos unidades de trabajo que exploraban diferentes momentos de la secuencia constructiva de la Estructura 13Q4-E. La Unidad CR 20E-1 consiste de un túnel que explora esta estructura a nivel de la fase constructiva Coccochan, definida en años anteriores. Esta fase se puede encontrar desde los pies de la escalinata de acceso a la Estructura 13Q-4A, en el patio interior y en la Estructura 13Q-4E-Sub 1 (Estructura *Ahk*) al oeste del patio interno (Padilla y Roche 2012).

La segunda operación se trata de un pozo de 2 x 2 m que se encuentra ubicado dentro de la trinchera de saqueo que tiene esta estructura. Este pozo se empezó con el objetivo de unificar este pozo con el Túnel CR 20E-1, a manera de tener una salida de emergencia y a la misma vez proporcionar una estratigrafía vertical que permita entender la secuencia constructiva de esta parte de la estructura (Padilla y Roche 2012).

Objetivos:

A pesar de que solo se trabajaron tres unidades a lo largo de esta temporada se contó con dos grandes objetivos. En primer lugar, las unidades CR 20E-1 y CR 20E-3, correspondientes a los túneles efectuados, buscaron definir los rasgos arquitectónicos de las dos subestructuras identificadas bajo la Estructura 13Q-4E. En segundo lugar la Unidad CR 20E-2, correspondiente a un pozo, tuvo el objetivo principal de exponer la secuencia arquitectónica y diferentes etapas constructivas que se encuentran bajo esta estructura.

Adicionalmente, gracias a la lectura epigráfica de los monumentos de La Corona, se sabe sobre la llegada de tres princesas provenientes de Calakmul (Martin 2008) y una princesa proveniente de Tikal (Canuto y Barrientos 2011: 423). Estas princesas llegaron a la ciudad de *Sak Nikte'* en diferentes momentos políticos para casarse con los reyes locales. Debido a la llegada de estas mujeres importantes al sitio, resulta fácil pensar que la Estructura 13Q-4 se trató de su morada. Con esta idea en mente, el objetivo de las excavaciones no es solo el de definir la arquitectura del Palacio, sino también tratar de comprobar si existe una correspondencia entre la fase constructiva Cocomché y alguna de las princesas provenientes del Reino Kan.

Unidad CR 20E-1

Se continuó con la excavación iniciada en la Temporada 2011, cuando se encontró la Estructura 13Q-4E-Sub 1 (también llamada Estructura *Ahk*). En base a las excavaciones realizadas en 2011 se pudo distinguir un cuarto con entrada desde la Fachada Este de la estructura, así como la profundidad del mismo, y la esquina noreste de esta estructura. En 2012 se siguió con la excavación de las fachadas Norte y Este de la estructura, así como la excavación del cuarto interno definido anteriormente.

Con el objetivo de tener un mejor control sobre el material obtenido de los diferentes espacios excavados se realizaron algunas modificaciones a la metodología utilizada. Con esto en mente se les asignaron números a los cuartos encontrados, de acuerdo al orden en que estos se fueron encontrando. De esta manera, en la Estructura *Ahk* se han definido tres cuartos, siendo el cuarto encontrado en la Temporada 2011 el Cuarto No. 1 (Figura 4.1).

Otra de las modificaciones en metodología fue la de asignar un número de lote a cada contexto definido por los rasgos arquitectónicos encontrados. De esta manera la excavación de la Fachada Norte de la Estructura *Ahk* correspondió al Lote 1, las excavaciones dentro del Cuarto 1 corresponden al Lote 2 y así sucesivamente.

Paralelamente se trabajó con niveles horizontales, de la misma manera en la que se realizó en la temporada anterior. Estos tienen en general 2 m de largo, sin embargo algunas veces las dimensiones de estos niveles fueron modificadas según fueran las necesidades. La mayoría de veces las modificaciones de estos niveles se debieron a la presencia de muros de contención.

Lote CR 20E-1-1

Se decidió seguir con la excavación del Túnel Norte empezado el año anterior. Durante la Temporada 2011 este túnel terminó al rodear el muro adosado que se encontraba en la esquina noreste de la Estructura *Ahk* (Padilla y Roche 2012). Puesto que este fue el primer contexto excavado durante esta temporada se decidió llamarle Lote 1. El objetivo principal de seguir las excavaciones de este contexto fue el de determinar la longitud de la Estructura *Ahk* en su extensión este-oeste. Otros objetivos también buscaban definir los rasgos arquitectónicos de la Fachada Norte de esta estructura.

Dada la existencia de los muros de contención, definidos en la temporada anterior, así como otros encontrados en esta temporada, el túnel solo alcanzó un ancho máximo de 90 cm. En cuanto a la altura del mismo, se trató de seguir con la altura del túnel realizado en la temporada anterior, por lo cual la altura máxima de este túnel fue de 1.75 m. En cuanto a su extensión, fue definida por la Fachada Norte, por lo cual se excavaron un total de 7.6 m hasta que se encontró la esquina noroeste de la estructura.

Gracias a las dos temporadas de excavaciones realizadas en esta parte de la Estructura *Ahk* ya se conoce la extensión total de la estructura en su eje este-oeste, o por lo menos la extensión total de la Fachada Norte de la misma. Suponiendo que no existen cambios en la extensión de la plataforma definida en la Temporada 2011, que se encuentra frente a la Fachada Norte de la estructura y sirve como una grada de acceso, la Fachada Norte de esta estructura tiene una extensión de 10.60 m (Figuras 4.1 y 4.2).

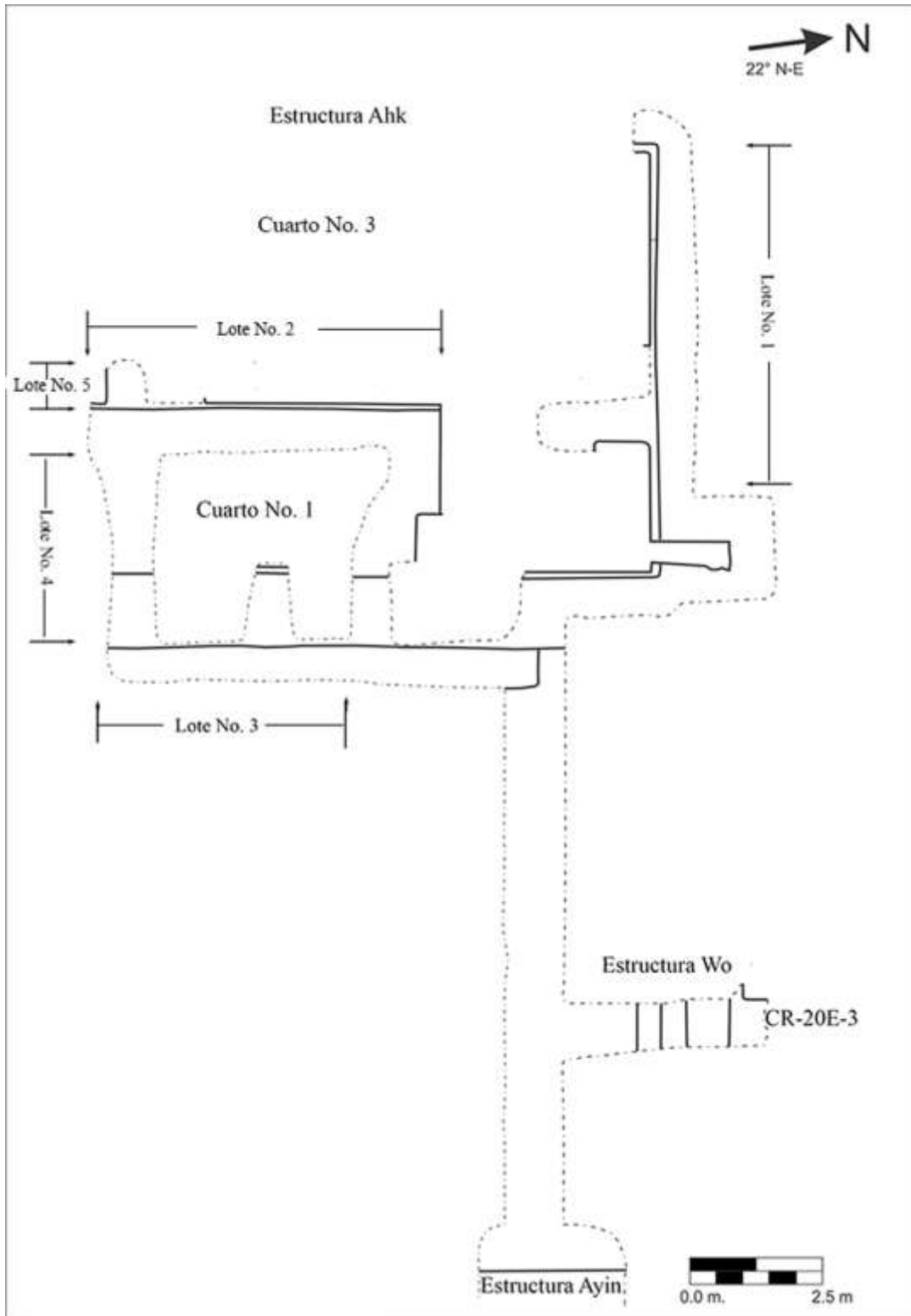


Figura 4.1 Planta de las estructuras 13Q-4E-Sub 1 y 13Q-4E-Sub 2. Unidades CR20E-1 y CR20E-3 (Dibujo: M. Lamoureux St.-Hilaire y E. Bustamante. Calco: E. Bustamante)

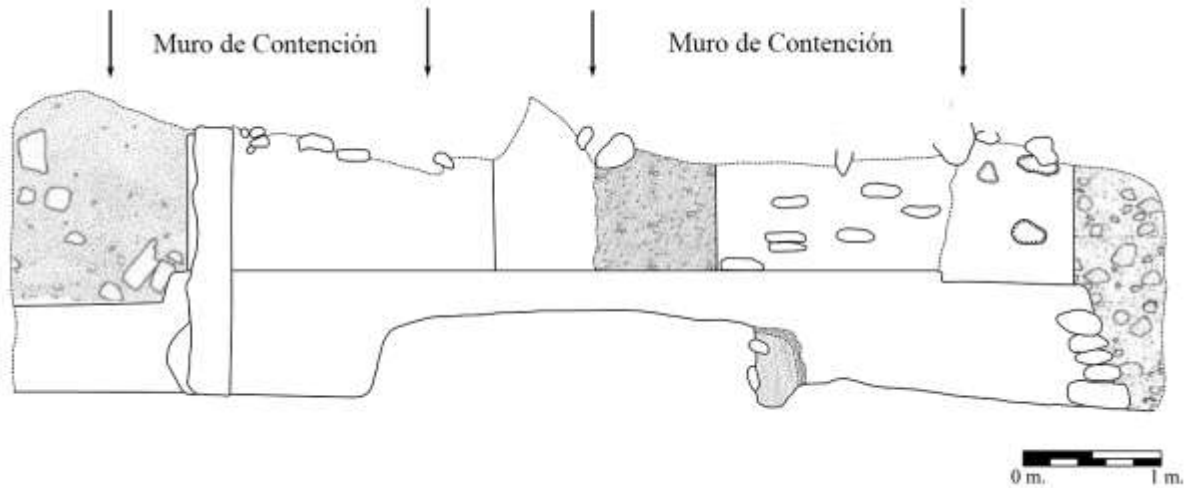


Figura 4.2 Fachada Norte, Estructura Ahk (Dibujo: E. Bustamante)

Dentro de los rasgos arquitectónicos encontrados cabe mencionar el descubrimiento del Cuarto No. 2 (Figura 4.1). Este tiene un acceso desde la Fachada Norte de la Estructura Ahk. La puerta de acceso a este cuarto se encuentra ubicada 1.90 m al oeste del muro adosado que se encuentra en la esquina noreste de la estructura. Esta puerta tiene una apertura de 1.80 m de longitud. La excavación de este cuarto permitió el reconocimiento de la Jamba Este, la cual tiene un grosor de 1 m. Un muro de contención se encontró dentro del cuarto, el cual ocupa cerca de la mitad del ancho de la puerta, y se extiende hacia el oeste. Por lo tanto, la excavación del cuarto se limitó a un pequeño reconocimiento del mismo para mantener dicho muro. Adicionalmente se decidió no extender todavía la excavación, puesto que por la cercanía con el Cuarto 1 podría debilitar estructuralmente el túnel. El relleno encontrado dentro de los cuartos se caracteriza por la presencia de fragmentos de molduras de estuco de color rojo, que muestran diseños geométricos. Puesto que ninguno de los fragmentos es mayor de 10 cm de extensión no se pueden definir patrones que sugieran el diseño grupal de estas molduras (Figura 4.3).

Estos fragmentos de moldura fueron encontrados mayormente en la parte superior del túnel dentro de los cuartos, arriba de los 90 cm de altura sobre el piso del cuarto. Puesto que dentro de los cuartos no se han encontrado indicios de pintura roja, estos fragmentos pueden tratarse de molduras que se encontraban en la parte externa de la estructura y que fueron removidos al clausurarse esta estructura. Pueden tratarse también de molduras que se encontraban en la parte superior de los cuartos, lo que podría explicar por qué estos se

encuentran mayormente en la parte superior del túnel. Puesto que no se conoce la parte superior de ninguno de los cuartos encontrados queda la interrogante si este es el lugar original de estas molduras.



Figura 4.3 Moldura incrustada en el relleno (Foto: E. Bustamante)

Otro de los rasgos destacados es la existencia del zócalo que se encuentra también en la Fachada Este. Puesto que en la Fachada Norte la plataforma de acceso no se extiende todo el largo de la misma, este zócalo permite la existencia de un talud que acaba sobre el Piso Coccochan. Debido al desnivel del terreno, la esquina noroeste de la estructura es 10 cm más alta que la esquina noreste, lo que compensa el desnivel. Sin embargo, 1.20 m hacia el este de la esquina noroeste, este zócalo presenta una destrucción parcial, dejando una grada de 10 cm de altura. De la misma manera, la esquina noroeste del talud presenta una pérdida de cerca del 80% del estuco, lo que ha dejado expuestas las piedras de repello (Figura 4.2).

Por su parte, en la Fachada Norte también se pudo reconocer la existencia de muros de contención iguales a los mencionados por Liliana Padilla (Padilla y Roche 2012), los cuales se ubicaron en varios puntos de la excavación de la Fachada Este (Figura 4.4). Estos muros de

contención se diferencian de la tierra de relleno puesto que presentan una construcción formal y no una distribución aleatoria de las piedras constructivas, como se observa en el relleno. La tierra que amalgamaba la piedra en los muros de contención presenta un color amarillento, así como una consistencia mucho más fina. Posiblemente se trate de arena de piedra caliza, lo que permite un mayor compactado de los muros, lo cual los hace muy resistentes y difíciles de excavar.

En la Fachada Norte se pudo definir la presencia de dos grandes muros de contención. El primero se encuentra rodeando el muro adosado que se encuentra en la esquina noroeste. Su extensión abarca desde el centro de este muro adosado, en eje este-oeste, hasta 1 m al oeste del mismo muro adosado. El segundo muro de contención se encuentra en la entrada al Cuarto 2 y se extiende por gran parte del muro de la fachada hacia el oeste. Este muro abarca más de la mitad de apertura de la puerta del dicho cuarto, extendiéndose desde 80 cm al oeste de la Jamba Este y terminando 1.80 m al este de la esquina noroeste de la estructura. Este muro de contención parece estar muy relacionado con la destrucción de algunos de los rasgos arquitectónicos de la Fachada Norte (Figura 4.2).

Con respecto a la destrucción mencionada, se observa parcialmente en el zócalo. Puntualmente ésta se observa principalmente justo donde termina este muro de contención, donde el zócalo presenta un quiebre de 10 cm de alto. A la destrucción antes mencionada también debe sumársele el deterioro del estuco del muro de la Fachada Norte que se encontraba bajo este muro de contención.

En la sección del muro que quedó bajo el muro de contención se observa la pérdida de cerca del 75% del estuco, dejando expuestas las piedras del repello. Por otra parte, el muro de la Fachada Norte que se encuentra al oeste de este muro de contención se encuentra muy bien conservado, a excepción de la esquina noroeste del talud antes mencionada, y en varias partes aún conserva restos de pintura roja.



Figura 4.4 Muro de contención (izquierda) y relleno de tierra negra (derecha) (Foto: E. Bustamante)

Excavaciones en el Cuarto 2

La excavación de este cuarto, como se mencionó anteriormente, solo fue exploratoria, ingresando solamente 2.20 m al mismo, en una sección de 80 cm de ancho, al este del muro de contención. Este contexto fue tomado como un nivel dentro del Lote 1, al cual pertenece la excavación de la Fachada Norte. El nivel de piso de este cuarto es el mismo del Cuarto 1, puesto que al igual que este último, el zócalo observado en la pared, al quedar la entrada del cuarto, se transforma en una pequeña grada de acceso al cuarto y define la altura del piso dentro de los

cuartos. Al igual que en el Cuarto 1, esta cámara carece de pintura en las paredes, solo se muestra estuco que cubre las mismas.

El acceso a este cuarto es posible mediante la existencia de una grada de acceso, similar en altura a la plataforma que se encuentra frente a la Fachada Norte (60 cm). Esta grada de acceso se extiende a todo lo largo de la puerta de acceso, con un largo de 2.70 m, y prolongándose 50 cm hacia el este de la Jamba Este y 40 cm al oeste de la Jamba Oeste. Dado lo estrecho del túnel realizado en esta sección de la estructura, no se pudo determinar el ancho máximo de esta grada de acceso, así como la existencia de una grada de menor altura que facilitara el acceso. Una de las características de esta grada es su mal estado de conservación, posiblemente destruida parcialmente al momento de la clausura del edificio. En el extremo oeste de la grada se pudo observar la destrucción de un segmento de 40 cm en la esquina. Asimismo, en varias partes de la huella de esta grada se pudo observar la pérdida de la piedra de repello, dejando expuesto el núcleo constructivo de la grada. Otra posibilidad es que la mala conservación de esta grada también puede ser atribuida a la existencia del muro de contención anteriormente descrito.

Lote CR 20E-1-2

El Lote 2 corresponde a la continuación de las excavaciones llevadas a cabo en la Temporada 2011 en la Rama Sur del túnel (Figura 4.1). Este lote se encuentra ubicado dentro del interior del Cuarto 1, y sigue la dirección del muro interior oeste del mismo cuarto. El objetivo de la excavación de esta ramificación del túnel fue definir la extensión total de este cuarto en su eje norte-sur, así como definir los rasgos asociados a este cuarto.

Hasta el momento se han excavado 6.62 m de túnel, que descubren 4.78 m de muro, así como una puerta de acceso al Cuarto 3, que tiene una longitud de 1.84 m. La altura máxima que se ha alcanzado dentro del túnel es de 1.92 m. Todo el cuarto se encuentra relleno por piedra caliza de gran tamaño y se pueden reconocer tres tipos de estratos que no presentan un patrón específico. El primero de los tres estratos distinguibles consiste en muros de relleno, con las mismas características de los muros de relleno antes descritos. El segundo estrato reconocible es de piedras amalgamadas con tierra negra. El tercer estrato corresponde a piedra amalgamada con tierra rojiza. Una de las características presentes en los tres tipos de estratos es que en la parte

superior del cuarto, a partir de una altura de 1.60 m (en promedio), el relleno pasa de ser de piedra grande a piedra pequeña, no mayor a los 15 cm de diámetro. Este rasgo bien podría encontrar sus razón de ser ya sea para facilitar el relleno en la parte alta del cuarto, o bien buscando disminuir el peso total de todo el relleno (Figura 4.5).

El estuco del Muro Oeste de este cuarto presenta un alto nivel de conservación, puesto que se encontró una delgada capa de tierra café-rojiza que lo protegía. Es por esta misma capa de tierra que el estuco posee una coloración amarillenta. Solo en algunas partes del muro se dañaron partes del estuco, dejando descubiertas las piedras constructivas del muro.

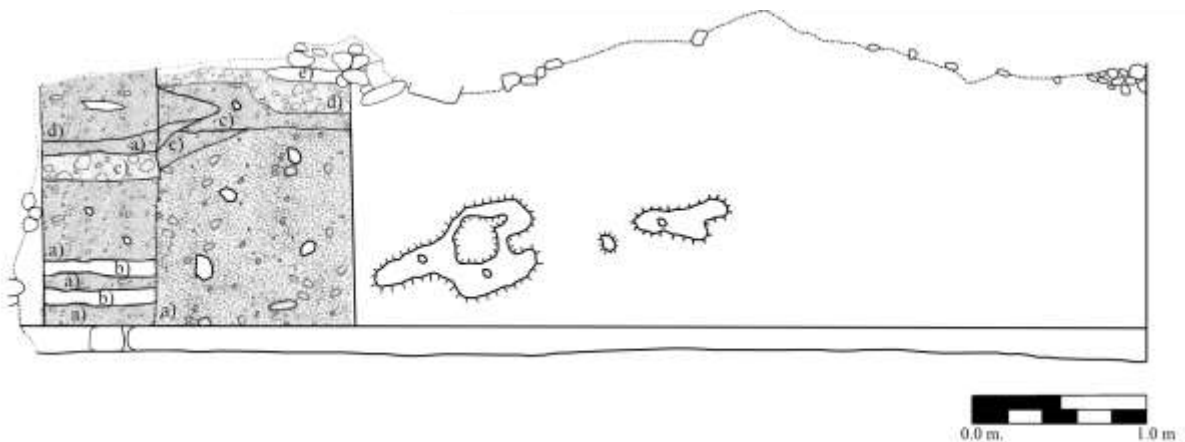


Figura 4.5 Muro Oeste, Cuarto 1 y entrada a Cuarto 3
A) Relleno; B) Arena Blanca; C) Tierra Negra; D) Tierra Café; E) Estuco
(Dibujo y calco: E. Bustamante)

Una de las características más notorias de este muro interno es la presencia de un zócalo de las mismas dimensiones que el zócalo encontrado en la fachada externa de la estructura, descrito por Liliana Padilla en la temporada anterior (Padilla y Roche 2012). Este elemento deja algunas interrogantes, puesto que se asemeja más a un rasgo externo que un rasgo del interior del cuarto. Se considera entonces que este muro en algún momento se trató de una fachada, la que luego fue modificada haciendo un cuarto al este de la misma. Se planifica realizar un pozo de sondeo pegado a este muro que permita observar la secuencia constructiva de esta estructura.

Al igual que en toda la Estructura 13Q-4, los rellenos que cubren la Subestructura *Ahk* no presentan grandes cantidades de cerámica, excepto cuando los rellenos se encuentran a

inmediaciones de la entrada de un cuarto. Esto se observó principalmente a inmediaciones de las cuatro puertas encontradas en esta subestructura. Asimismo, cerca de las puertas, también se hizo evidente la aparición de una cantidad relativamente grande de huesos animales, la mayor parte de ellos de cánidos y de aves (D. Fridberg comunicación personal 2012). Esto sugiere que se trata de una especie de ritual de terminación que involucró rompimiento de vasijas y sacrificio de animales.

Lote CR 20E-1-3

Debido a que se encontró dentro del Cuarto 1 una puerta de acceso a un segundo cuarto al oeste (Cuarto 3), fue necesario abrir una vía de acceso más directa al mismo, lo cual facilitaría la extracción de la tierra del relleno. De esta manera se buscó unir la excavación del Cuarto 1, frente a la entrada del Cuarto 3, con un túnel que se realizaría frente a la Fachada Este de la estructura. Por esta última razón se prolongó el túnel ubicado sobre la plataforma de acceso frente a la Fachada Este de la Estructura *Ahk*, que corresponde al Lote 3 (Figura 4.1). Paralelamente se efectuó la excavación de un túnel frente a la puerta del Cuarto 3 con dirección este, que constituye el Lote 4. La unión de ambos túneles fue posible, ya que el Lote 4 encontró una segunda entrada al Cuarto 1 desde la Fachada Este.

Puesto que este túnel fue realizado sobre la grada de acceso, los rasgos observados en esta sección fueron pocos, e inclusive no concluyó con respecto a la extensión norte-sur de la grada mencionada, la cual mantuvo sus dimensiones en el eje este-oeste.

Una de las mayores interrogantes que se tuvieron al inicio de la excavación de los túneles de este lote y el Lote 4 fue la de confirmar si el Cuarto 1 era en realidad una cámara cerrada. Esto porque la excavación del túnel del Lote 4 no reveló ningún muro o jamba de alguna puerta que dividiera el espacio entre la “parte interna” del Cuarto 1 y la plataforma frente a la estructura. Además, en la Puerta Norte de la Fachada Este, excavada en la Temporada 2011 (Padilla y Roche 2012), tampoco se descubrió la Jamba Sur de la misma. Por otro lado, como ya se mencionó, la presencia de un zócalo en el muro interno del cuarto (Lote 2) sugería que se trataba de un rasgo externo y por lo tanto que no existía un cuarto como tal.

Por esta razón se decidió hacer un registro que buscara la existencia de un muro exterior que dividiera el Cuarto 1 con la plataforma de acceso. Este registro finalmente permitió reconocer la existencia de un muro y además proporcionó información para determinar que toda la fachada estuvo pintada de rojo. Anteriormente no se habían encontrado buenos ejemplos de estuco pintado en la fachada, a excepción del muro adosado descrito por Liliana Padilla en la Temporada 2011 (Padilla y Roche 2012). Esta sección de muro descubierto presenta un gran nivel de conservación, por lo cual el color rojo vivo puede ser observado en un 90% de la misma. Además también presenta el zócalo observado en otras partes de la fachada exterior.

Lote CR 20E-1-4

Como se explicó anteriormente, este lote se encuentra situado frente a la entrada del Cuarto 3 en un eje este-oeste y se une con el Lote 3 (Figura 4.1). Como este lote no siguió algún rasgo específico de la estructura, y solamente buscaba unir los túneles, todos los rasgos observados correspondieron a niveles de pisos. Por la presencia de una línea desde la entrada al Cuarto 3, hasta la grada de acceso de la Fachada Este, resulta fácil observar las diferentes gradas que conforman los diferentes ambientes de esta estructura. De esta manera se logró contar con las siguientes medidas en un eje este-oeste de la estructura: la grada de acceso tiene una longitud de 80 cm; una grada de 20 cm eleva a la plataforma que tiene 1.20 m de longitud; una grada de 18 cm da paso al Cuarto 1; el muro que sirve como fachada externa tiene 1 m de grosor; el espacio interno del Cuarto 1 es de 2.10 m y otra grada de 18 cm de altura da paso al Cuarto 3, cuya extensión es aún desconocida (Figura 4.6).

Respecto a la estratigrafía observada en el relleno del cuarto, ésta resulta más elaborada que la observada en otras partes del túnel. Si bien la mayor parte de la estratigrafía corresponde a muros de contención de piedra grande amalgamada por tierra café-amarilla y piedra grande amalgamada con tierra negra, también se pudo observar la presencia de varios estratos verticales. Estos estratos se encuentran concentrados frente a la entrada del Cuarto 3, por lo que se describirán más adelante.

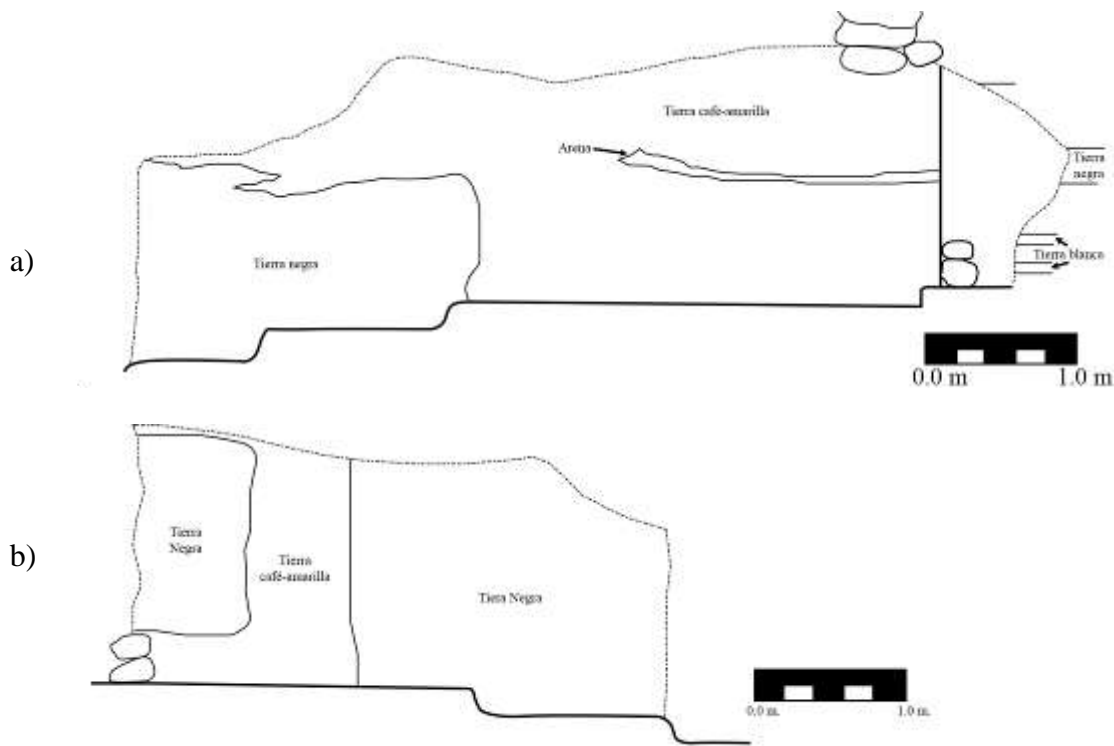


Figura 4.6 a) Perfil Sur, Lote 4; b) Perfil Norte, Lote 4 (Dibujos y calcos: E. Bustamante)

Como se mencionó anteriormente, la frecuencia de cerámica encontrada frente a las entradas de los cuartos es mucho mayor a la recuperada en otros contextos. Este fenómeno también pudo ser visto a lo largo del Lote 4. No obstante, en base a lo observado en esta estructura, y de manera muy preliminar, la cerámica encontrada en este lote posee una frecuencia mucho mayor de fragmentos de cerámica polícroma que la encontrada en otros contextos. Inclusive se pudieron identificar preliminarmente algunos fragmentos que formaban parte de un mismo cuenco de paredes bajas de color negro con franjas rojas horizontales. La identificación de este cuenco, al igual que la mayor frecuencia de fragmentos de cerámica polícroma, sirve para reforzar la idea que la presencia de cerámica frente a las entradas de los cuartos corresponde a un ritual de terminación en el que se rompieron vasijas y se sacrificaron algunos animales.

Lote CR 20E-1-5

Este lote corresponde a la excavación del Cuarto 3 (Figura 4.1). Si bien esta excavación solo alcanzó 40 cm de profundidad, se decidió tomarlo como un lote nuevo por varias razones. En primer lugar porque se desea continuar con la excavación de este cuarto en temporadas

futuras; en segundo lugar porque presenta un contexto nuevo que puede tener grandes dimensiones y en tercer lugar porque presenta una estratigrafía muy diferente a la observada anteriormente en el túnel.

Este relleno consta de hasta ocho capas verticales de diferentes materiales. De abajo para arriba estas son: 1) Relleno de tierra gris, mezclada con arena y piedrín; 2) Arena blanca, posiblemente de piedra caliza; 3) Relleno de tierra gris, mezclada con arena y piedrín; 4) Arena blanca, similar a la Capa 2; 5) Relleno de tierra gris, mezclada con arena y piedras de gran tamaño; 6) Tierra negra mezclada con piedrín (similar al relleno de piedra amalgamada con tierra negra descrito en otros contextos); 7) Tierra café-amarilla con piedrín (similar al relleno descrito en los muros de contención) y 8) Tierra negra mezclada con piedrín (Figura 4.5).

Al igual que lo observado en el Lote 4, la frecuencia de fragmentos de cerámica polícroma es muy alta en este lote. Inclusive en el Estrato 5 de los descritos anteriormente, se encontró un fragmento de tapadera de cerámica lustrosa de color naranja en la parte inferior y negro en la parte superior, con un anillo rojo de unos 4 milímetros de ancho que separa la sección naranja de la negra. La parte interna no presenta mayor tratamiento que el bruñido. En la parte superior se puede observar el espacio que ocupaba un asa, pero esta ya no se encuentra. Esta tapadera también se encuentra decorada con glifos situados en los ejes, posiblemente con 3 cartuchos en cada dirección, pero actualmente solo se observan tres cartuchos situados verticalmente uno sobre el otro y una pequeña parte de otro cartucho, situado a 90° en contra de las agujas del reloj, que se encuentra fragmentado. Los tres glifos reconocibles (nombrados B1-B3) hacen referencia a un individuo (B1-B2) *Chan-¿?* y el pronombre (B3) *Ch'ok te' nah* (fundador/casa de fundación) (J. Baron com. pers. 2012).

La cuidadosa colocación de los diferentes estratos antes mencionados, así como la alta frecuencia de cerámica polícroma encontrado frente al Cuarto 3 sugiere que éste fue un lugar importante, por lo cual en futuras temporadas se buscará continuar con su excavación.

Unidad CR 20E-3

Se continúa con la descripción de esta unidad puesto que también se encuentra ubicada dentro del túnel. Sin embargo se decidió empezar una nueva unidad ya que esta ramificación del

túnel buscaba definir la estructura de la Fase Cocochan que limitó el patio interno hacia el norte (Estructura 13Q-4E-sub2 o Estructura *Wo*). Como se explicará más adelante, la Unidad CR 20E-2 descubrió una estructura al noreste de la Estructura *Ahk*, que corresponde a la Fase Cocochan, por lo cual se decidió hacer un registro sobre el Muro Norte del túnel principal, a 3 m de la entrada del túnel (Figura 4.1).

Esta sección del túnel, ya descrita por Liliana Padilla (Padilla y Roche 2012), presenta piedras de gran tamaño colocadas de forma más regular y ordenada que lo observado cerca de la Estructura *Ahk*, así como una carencia de muros de contención en esta sección del relleno.

El registro comprobó la existencia de una estructura, que se encuentra posiblemente colocada en un eje este-oeste. El edificio presenta un excelente grado de conservación, posiblemente por la carencia de muros de contención y arena-café amarilla que deterioraron la Estructura *Ahk*. Puesto que esta excavación solo duró una semana, la profundidad alcanzada fue relativamente poca y los rasgos expuestos son mínimos. Sin embargo se puede afirmar que la estructura se encuentra conformada por tres cuerpos. Cada cuerpo mide de 38 a 40 cm de alto; los dos cuerpos inferiores cuentan con una huella de 40 cm y el cuerpo superior tiene una huella de 75 cm. Sobre el tercer cuerpo se encuentra una grada similar al zócalo observado en la Estructura *Ahk*, de 18 cm de alto. Afortunadamente el túnel encontró un acceso a la estructura, así como la Jamba Este de la misma (Figura 4.7).

A diferencia de lo observado en la Estructura *Ahk*, el acceso no estuvo asociado a huesos y la frecuencia de cerámica encontrada fue la misma que en el resto del túnel. Por lo tanto se puede afirmar que el ritual de terminación antes propuesto fue exclusivo para la Estructura *Ahk*.

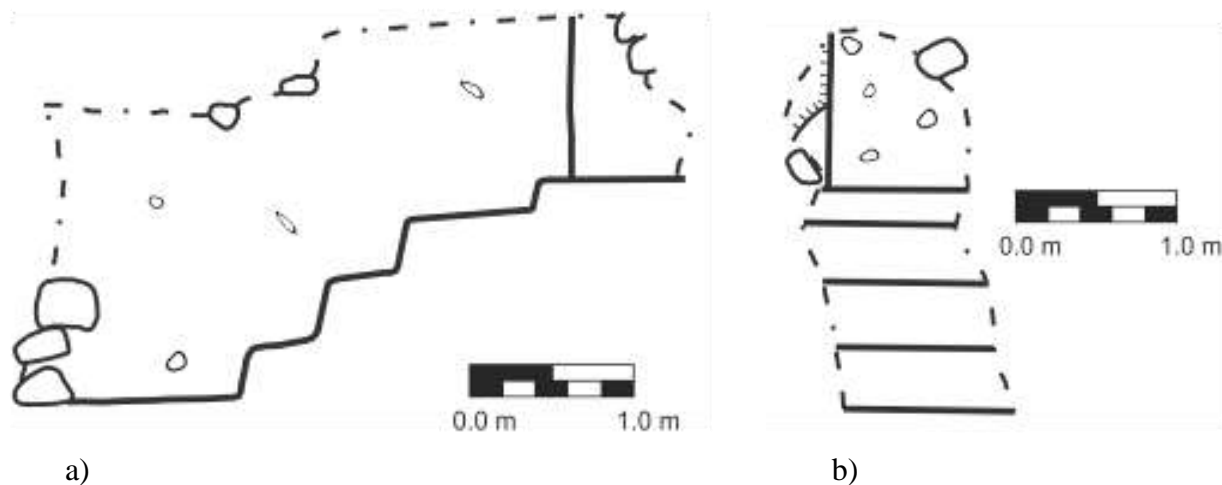


Figura 4.7 a) Perfil Oeste Unidad CR 20E-3; b) Perfil Norte Unidad CR 20E-3
(Dibujo: E. Bustamante)

Unidad CR 20E-2

Esta unidad continuó con las excavaciones llevadas a cabo por Liliana Padilla en la Temporada 2011 (Padilla y Roche 2012) y se ubicó dentro de la trinchera de saqueo de la Estructura 13Q-4E. Su objetivo fue definir la secuencia constructiva, aunque inicialmente buscaba unir este pozo con los túneles para crear una salida secundaria. Sin embargo, dada las características que tomó la excavación luego de encontrar otra subestructura (la Estructura *Wo* descrita en la Unidad CR 20E-3), se decidió no unir ambas excavaciones y dejar esta unidad como un pozo exploratorio de la secuencia constructiva en esta parte del Palacio.

En lo referente a la metodología utilizada para la recolección de datos, no fue tan distinta de la utilizada en la excavación de las unidades CR 20E-1 y CR 20E-3. Los lotes se definieron por rasgos arquitectónicos mayores, como presencia de pisos o cambios drásticos del relleno. Debido a la poca frecuencia de cerámica encontrada, se decidió no tomar niveles arbitrarios para la recolección del material.

Lote CR 20E-2-1

Puesto que el pozo ya había sido empezado por Liliana Padilla en la Temporada 2011 (Padilla y Roche 2012) y posteriormente cerrado, el Lote 1 correspondió a la limpieza del pozo, así como 30 cm de excavación nueva. Este lote fue finalizado por la presencia de un apisonamiento del relleno, que corresponde a tierra mezclada con estuco. Sin embargo no parece tratarse de un piso formal, ya que alcanza un ancho máximo de 3 cm. Sin embargo, este apisonamiento cerró la fase constructiva Coccochan y se trata del Piso Halcón descrito por Liliana Padilla en la Temporada 2010 (Padilla 2011).

Lote CR 20E-2-2

Este lote corresponde a lo encontrado bajo el apisonamiento del relleno. Afortunadamente el pozo se ubicó justamente sobre la parte superior de una estructura, aparentemente sin techo, por lo cual se logró definir gran parte de un cuarto de la misma.

Inicialmente se encontró un muro en la parte norte del pozo, el cual se extendió por lo menos 1.74 m en eje este-oeste (hacia el oeste el final de la excavación fue arbitrario, por lo que no se conoce la extensión real de este muro) y por lo menos 1.9 m en su eje norte-sur. Este muro fue construido con piedras de gran tamaño, colocadas ordenadamente una sobre la otra y amalgamadas con tierra café-amarilla. El muro tiene una altura de 1.4 m y se encuentra sobre un piso, nombrado Guarda Barrancos, que tiene la misma altura relativa que la Estructura *Ahk*, por lo que se reconoció que esta se trata de una estructura de la Fase Coccochan (Figura 4.9).

Hacia el sur se pudo reconocer la presencia de otro muro, así como lo que parecen ser dos puertas clausuradas, de 76 cm de ancho cada una, y separadas por una pared baja de 1.5 m de longitud y 68 cm de ancho.

Es notable que en la esquina suroeste del pozo, y sobre el Piso Guarda Barrancos, se encontrara un fragmento de monumento reutilizado como piedra de relleno (Monumento 78). Éste se encontraba boca abajo y sin ningún rasgo asociado, más que el Piso Guarda Barrancos donde se encontraba. Este monumento es de piedra caliza, de calidad muy fina, ya que el tallado de los rasgos principales se encuentra en alto relieve y los más finos en bajo relieve. El fragmento posiblemente representa un ojo con una cruz “*Kan*” infija en él, con ceja flameada y

lo que parece ser un pendiente bajo él. Parece estar rodeado por un detalle de cuatrifolio (Figura 4.8). Sin embargo, puesto que solo se trata de un fragmento, ninguna de estas propuestas puede ser demostrada. Dado su pequeño tamaño, éste puede tratarse de un fragmento de un altar (S. Guenter com. pers. 2012). Una de las características más llamativas de este fragmento de monumento es la presencia de rastros de estuco a las orillas del mismo, lo cual indica que pudo ser reutilizado como parte de la decoración de una pared y luego desechado dentro de la piedra de relleno.



Figura 4.8 Monumento encontrado en Estrato 2 (Monumento 78) (Foto: E. Bustamante)

Lote CR 20E-2-3

Este lote se definió bajo el Piso Guarda Barrancos (que alcanzó un grosor promedio de 9 cm) y alcanzó una profundidad máxima de 32 cm. El relleno de este estrato corresponde a tierra negra mezclada con piedra de 30 cm de diámetro en promedio. Uno de los rasgos más importantes de este lote es la presencia de una gran cantidad de restos de carbón, posiblemente colocados como parte de un ritual donde se realizó una segunda etapa de la Estructura *Wo*. De la misma manera también se observa una gran cantidad relativa de huesos en este lote, que apoyan

esta hipótesis. Este lote finalizó al descubrirse un nuevo piso, llamado Pijuy, que corresponde a la primera fase constructiva de la Estructura *Wo* (Figura 4.9).

Lotes CR 20E-2-4 y CR 20E-2-5

Estos lotes corresponden al relleno encontrado entre los Pisos Pijuy y Cocochan, que es a su vez el relleno de la primera fase de la Estructura *Wo*. En los primeros 25 cm de profundidad de este relleno la cantidad de carbón encontrado fue relativamente alta (Lote 4), mientras que después de los 25 cm de profundidad los restos de carbón desaparecieron (Lote 5). El relleno observado en estos lotes es muy similar al observado en el Lote 3. Sin embargo, uno de los rasgos sobresalientes observados en el Lote 5 es la presencia de una franja negra de 4 cm de grosor que atraviesa el Piso Cocochan en eje este-oeste (Figura 4.9).

Lote CR 20E-2-6

Inmediatamente bajo el Piso Cocochan se pudo distinguir una fase anterior, nombrada como “Pavo”. La Fase Pavo tiene la característica que cubre totalmente y nivela un basamento anterior a la Fase Cocochan, el cual se asienta sobre el Piso Chejé. Las fases Pavo y Chejé hasta el momento solo han sido identificadas en este pozo, por lo que se desconoce si se tratan de fases generales para todo el Palacio o solo para la Estructura 13Q-4E. Sin embargo, por la forma de este basamento, el espacio del pozo se redujo a 1.17 m de extensión en eje norte-sur y 50 cm de extensión en eje este-oeste.

El basamento ya mencionado posee una pendiente promedio de 85° que baja por 2.32 m y se encuentra asentada en un muro remetido de 64 cm de altura que descansa sobre el piso Chejé. En el Perfil Sur de excavación, a nivel del piso, se pueden observar dos gradas de 30 cm de altura cada una y de 30 y 24 cm de huella respectivamente. Estas gradas continúan pero remetidas dentro del basamento.

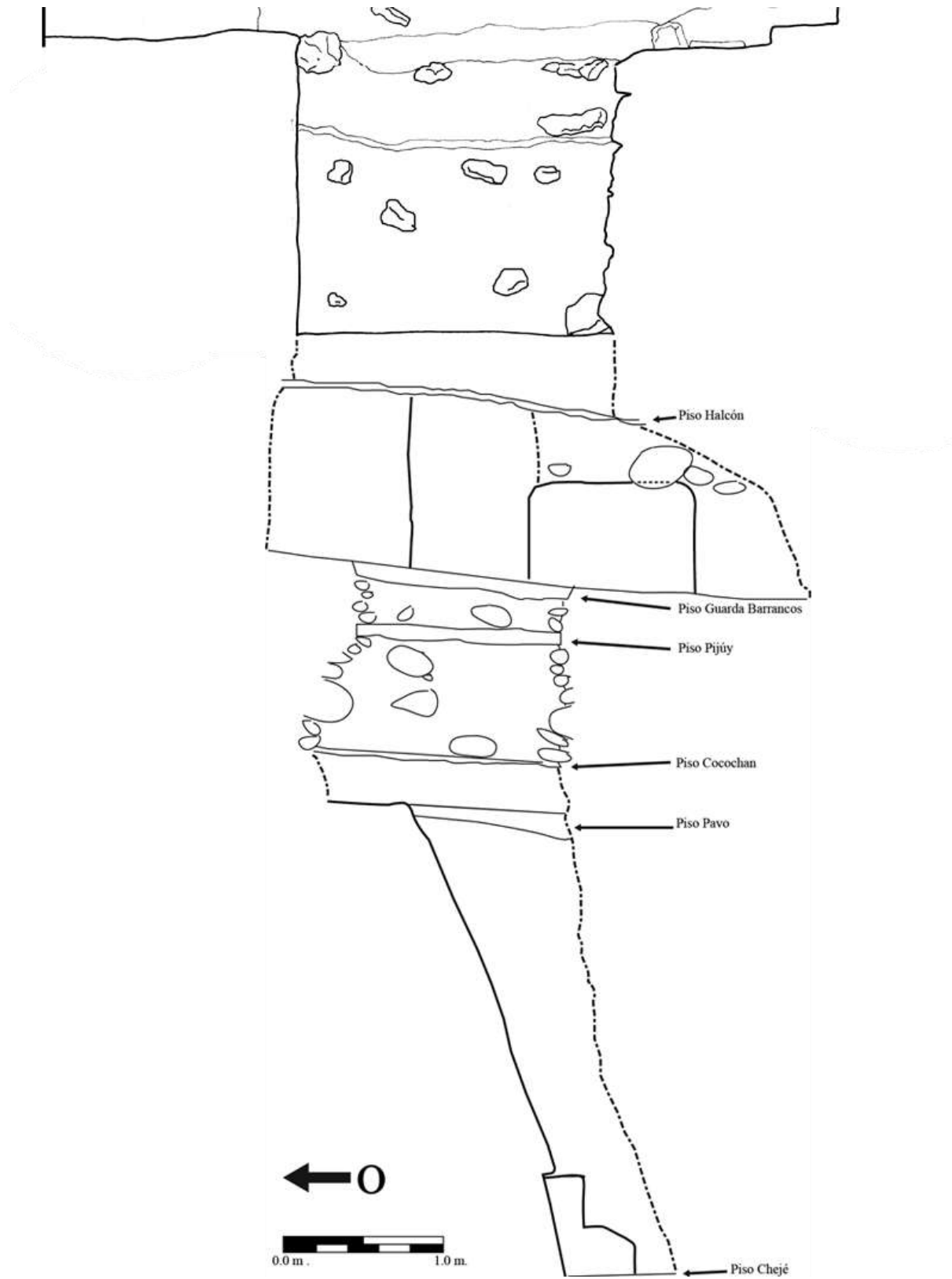


Figura 4.9 Perfil Sur Unidad CR 20E-2 (Dibujo: E. Bustamante y L. Padilla)

El relleno de este lote difiere en gran medida de los anteriormente observados, puesto que se trata de una tierra gris, mezclada con arena blanca, posiblemente de piedra caliza, y piedra de tamaño mediano. La presencia de esta gran cantidad de arena dentro de la mezcla hace que éste se trate de un relleno muy suelto y susceptible para el desmoronamiento, lo que dificulta su excavación.

Conclusiones

En base a las excavaciones realizadas en la Temporada 2012, así como las de años anteriores, se puede afirmar que existieron al menos tres fases constructivas mayores en el área sur del Palacio 13Q-4 de La Corona (Figura 4.10), por lo menos a inmediaciones de la Estructura 13Q-4E. Además se pueden observar al menos tres remodelaciones en las últimas dos etapas constructivas.

La primera etapa, posiblemente del Clásico Temprano, corresponde a la Fase Chejé y el basamento masivo que se pudo observar en la Unidad CR 20E-2. Esta fase aún no ha sido bien entendida y se espera descubrir más rasgos arquitectónicos en las próximas temporadas (Padilla y Bustamante s.f).

La segunda corresponde a la Fase Cocoman, aunque la Operación CR 20E-2 reveló una etapa anterior de esta fase que recubrió el gran basamento de la Fase Chejé. Hasta el momento se han identificado tres estructuras que corresponden a esta fase. Al oeste, la Estructura *Ahk*; al norte la Estructura *Wo* y al este la Estructura *Ayiin*, esta última descrita por Liliana Padilla en la Temporada 2010 (Padilla 2011). En base a los rasgos observados, las estructuras *Ahk* y *Wo* parecen ser más del tipo residencial, fundamentado en la presencia de varios cuartos, así como la presencia de un gran porcentaje de cerámica de tipo utilitario recuperada de esta fase. Por su parte, la Estructura *Ayiin* cierra el patio o plaza interna y a la vez divide ésta de la Plaza Principal. Parece estar relacionada con una estructura de presentación, en base en lo observado en la Fase Halcón, puesto que la Estructura *Ayiin* fue parcialmente destruida para dar paso a la Estructura 13Q-4A. Se contempla la posibilidad que este grupo se encuentre clausurado al sur por una cuarta estructura y se toma esta contemplación como un objetivo de excavación para la siguiente temporada.

En base a lo observado también se pueden distinguir dos remodelaciones posteriores a la Fase Coochan, al menos presentes en la Estructura *W0*, que corresponden a los Pisos Guarda Barrancos y Pijuy, identificados en la Unidad CR 20E-2.

Finalmente, la tercera etapa corresponde a la Fase Halcón (Figura 4.11), descrita en los informes de Liliana Padilla de temporadas anteriores (Padilla 2010; Padilla y Roche 2011). Puesto que no se ha excavado la Fase Halcón en la Estructura 13Q-4E, resulta difícil definir la funcionalidad de ésta, pero dadas sus dimensiones y su prominencia en el Palacio resulta fácil pensar que se trate de un templo, más que de una estructura residencial. De ser cierta esta afirmación, se observaría un cambio radical en la disposición del Palacio. Estas interrogantes quedan como objetivos de excavación para futuras temporadas.

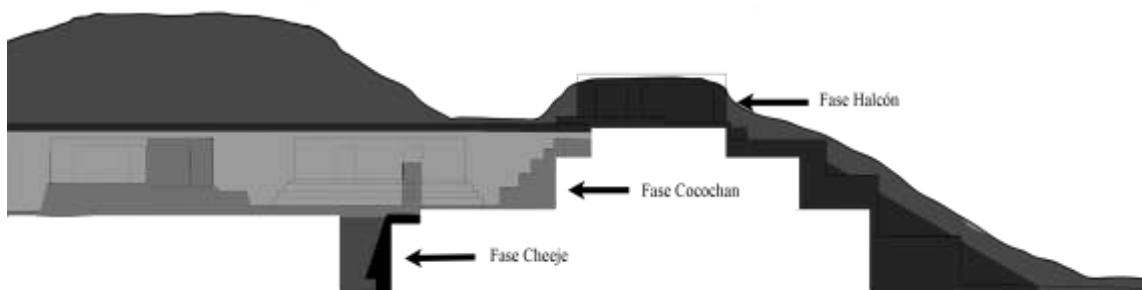


Figura 4.10 Secuencia constructiva de la Estructura 13Q-4 (Dibujo: E. Bustamante)

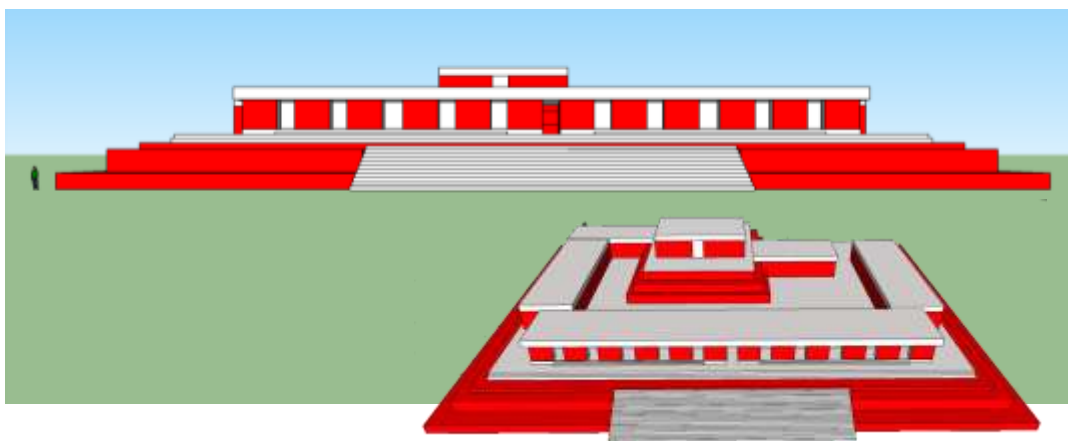


Figura 4.11 Reconstrucción Fase Halcón (Dibujo: E. Bustamante)

**OPERACIÓN CR32: EXCAVACIONES EN LA ESTRUCTURA 13Q-2,
TEMPORADA 2012**

Ana Cristina Guirola y Olga Slowing

El presente informe se centra en las excavaciones realizadas durante la Temporada 2012, específicamente en la base de la Estructura 13Q-2. Este trabajo es el resultado de cinco años de excavaciones realizadas en dicha estructura por varios arqueólogos, y es en esta última temporada que se puede tener una mejor idea del aspecto de la última fase constructiva de este edificio perteneciente al Clásico Tardío.

Antecedentes

La Estructura 13Q-2, o Estructura A-2 (en mapas anteriores), es de los edificios más grandes y altos del sitio, localizada en el límite este de la Plaza Principal. Por su ubicación, fue quizá un templo o edificio tipo ritual, y el más grande de su tipo en la Plaza Principal y de todo el sitio (Guenter 2009: 97).

Durante la Temporada 2008 se realizó la Unidad CR32B-2 al pie de la estructura, en la cual se encontró un piso estucado a los 122 cm de profundidad (Guenter 2009: 105). Se cree que éste fue el último piso de ocupación, fechado para el Clásico Terminal, donde quizá se llevaron a cabo ceremonias rituales.

En el 2009 se continuaron las excavaciones al pie de la Estructura 13Q-2 por Stanley Guenter, y también en su cima (Figura 5.1). En el proceso de limpieza de la cima, se encontró un incensario casi completo probablemente fechado para el Postclásico Tardío, lo cual indica que quizá se dio una re-visitación o peregrinaje al sitio durante dicha época. Al pie del lado oeste se llevaron a cabo cinco unidades de excavación. En la Unidad 32D-5 se encontró un muro con alineación este-oeste y en la Unidad CR32D-2 se pudo observar el mismo muro de la estructura.

Durante la Temporada 2010, las excavaciones por Cristina Guirola encontraron bien delimitada la esquina noroeste de la estructura (Figura 5.2), así como una plataforma en su base y el piso que quizá se dirige hasta la plaza. Sin embargo los rasgos no se pudieron entender por completo ya que a medida que se dirige hacia el oeste, el estado de conservación de los mismos se fue deteriorando. Esto quizá se deba al paso del tiempo o a los numerosos saqueos que se dieron en el área.

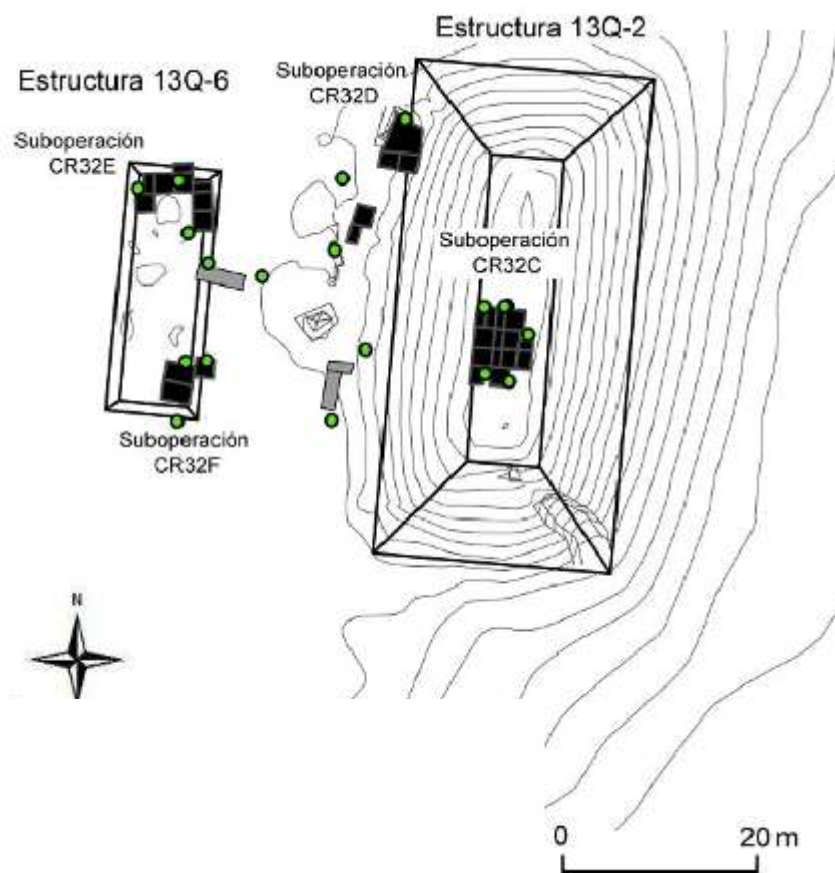


Figura 5.1 Excavaciones realizadas por Stanley Guenter en 2008 y 2009 (Mapa: D. Marken)

Por otro lado, en la esquina suroeste se colocaron unidades para localizar el muro. Aunque se pudo encontrar un piso y una hilera de piedras en la Unidad CR32D-8, no se pudo confirmar si fue parte de un muro de la fachada, ya que esta parte de la estructura está muy deteriorada. No obstante, parece que el posible muro y el piso que se encontraron en esta parte pertenecen a la última etapa constructiva de esta área. Es por ello que es en esta parte del edificio donde aún hace falta más investigación en futuras temporadas, ya que no se pudo determinar muy bien como estaba distribuido el muro de la estructura y tampoco se pudo identificar su esquina.

También hay que tener en cuenta los resultados de Antolín Velásquez, quien estuvo a cargo de las excavaciones realizadas en la cima de la estructura durante la Temporada 2010 (Figura 5.3). Allí se pudo identificar la escalinata de la última fase constructiva, la cual estaba muy deteriorada (Velásquez 2011: 193-194). Debajo de ésta y de un relleno, se encontró una escalinata bien conservada que pertenece a la penúltima fase.

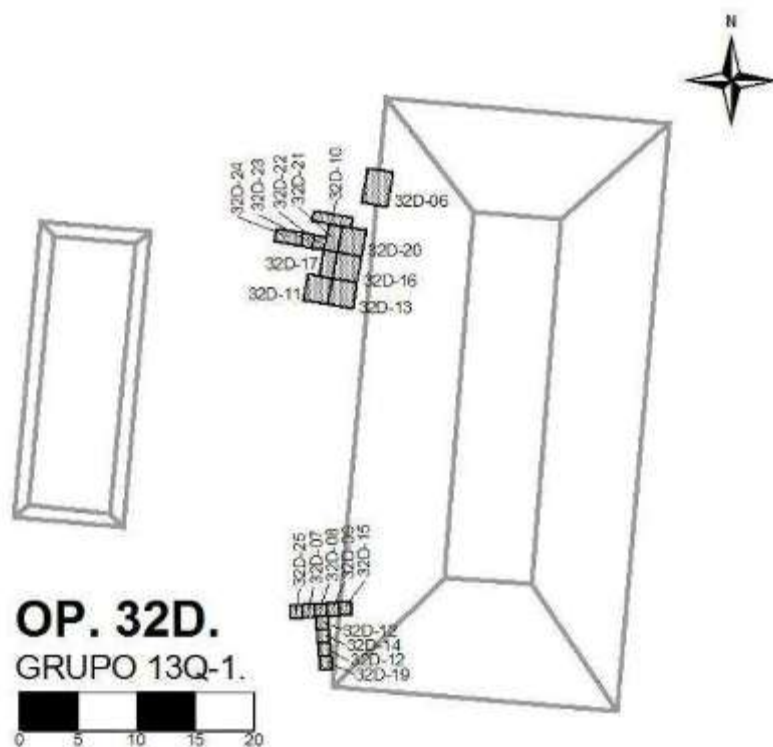


Figura 5.2 Excavaciones realizadas en la Temporada 2010 por Cristina Guirola (Mapa: R. Guzmán)

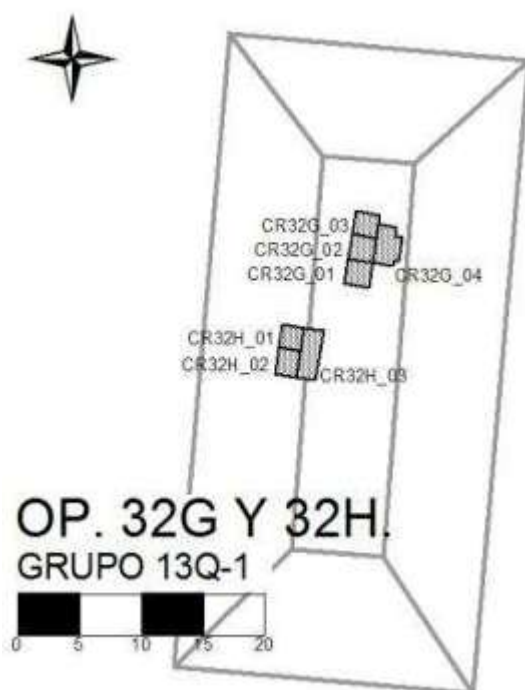


Figura 5.3 Excavaciones de la Temporada 2010 por Antolín Velásquez (Mapa: R. Guzmán)

Es hasta la Temporada 2011 cuando se pudieron realizar varias excavaciones en la base de la estructura y en su parte media, para conocer más acerca de sus fases constructivas, especialmente de la escalinata. Dichas excavaciones estuvieron a cargo de Christopher Martínez, quien se encargó inicialmente de las excavaciones en la escalinata central (Suboperación 32H), y luego estuvieron a cargo de Cristina Guirola, quien también realizó excavaciones en la base de la estructura (Suboperación 32D) (Guirola y Martínez 2012: 176). Se realizaron un total de 20 unidades de excavación (Figura 5.4).

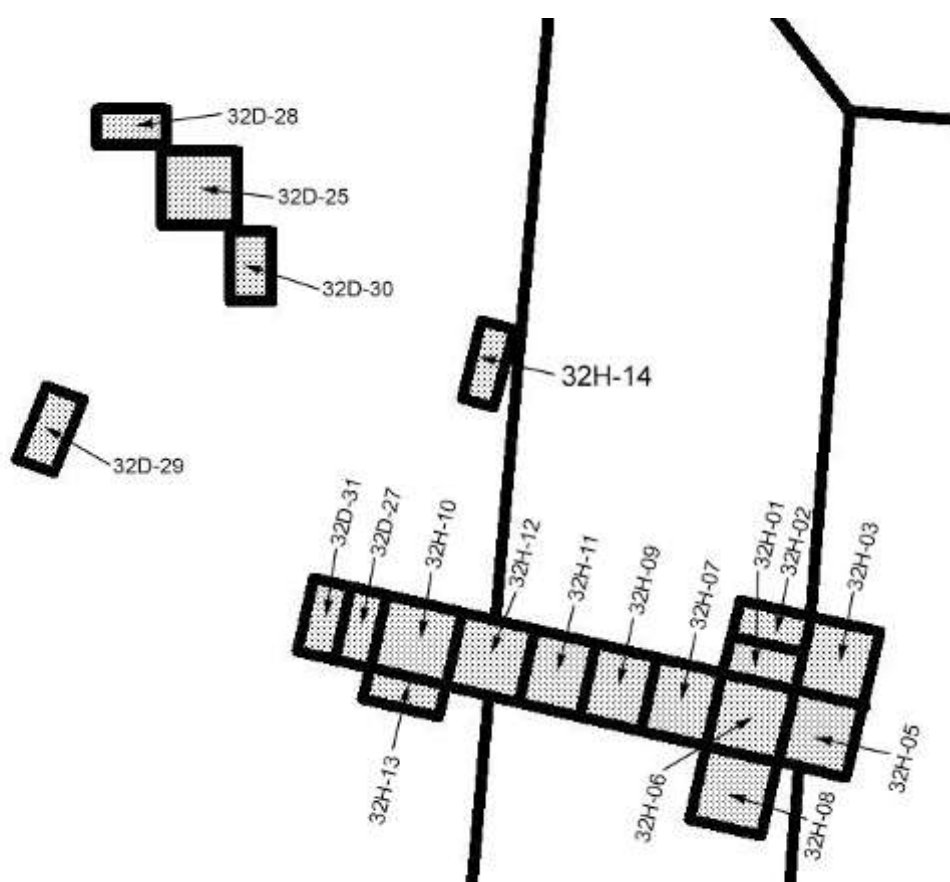


Figura 5.4 Ubicación de las excavaciones realizadas en la Temporada 2011 (Mapa: R. Guzmán).

Durante la Temporada 2011 se pudo determinar varios factores que fueron clave para iniciar con las excavaciones de la Temporada 2012. Primero, si nos concentramos en la base de la estructura, fue en las unidades CR32D-29 y CR32D-31 donde se encontró el mismo piso, que es el piso de plaza.

Las excavaciones realizadas en la escalinata central pudieron determinar dos fases constructivas. De la última sólo se pudieron identificar algunas gradas que estaban bastante deterioradas. Las gradas de la penúltima fase constructiva desaparecen en la Unidad CR32H-11, donde solo se encuentra un relleno, y en la base de la estructura se encontraron dos banquetas donde se encontró bastante cerámica.

Por último, se puede mencionar el descubrimiento de un incensario fechado para el Postclásico Tardío, en la base de la estructura. Con ello se puede pensar que esta estructura tenía propósitos rituales, y aún después del abandono de esta ciudad, se continuó revisitando para realizar diferentes ofrendas rituales.

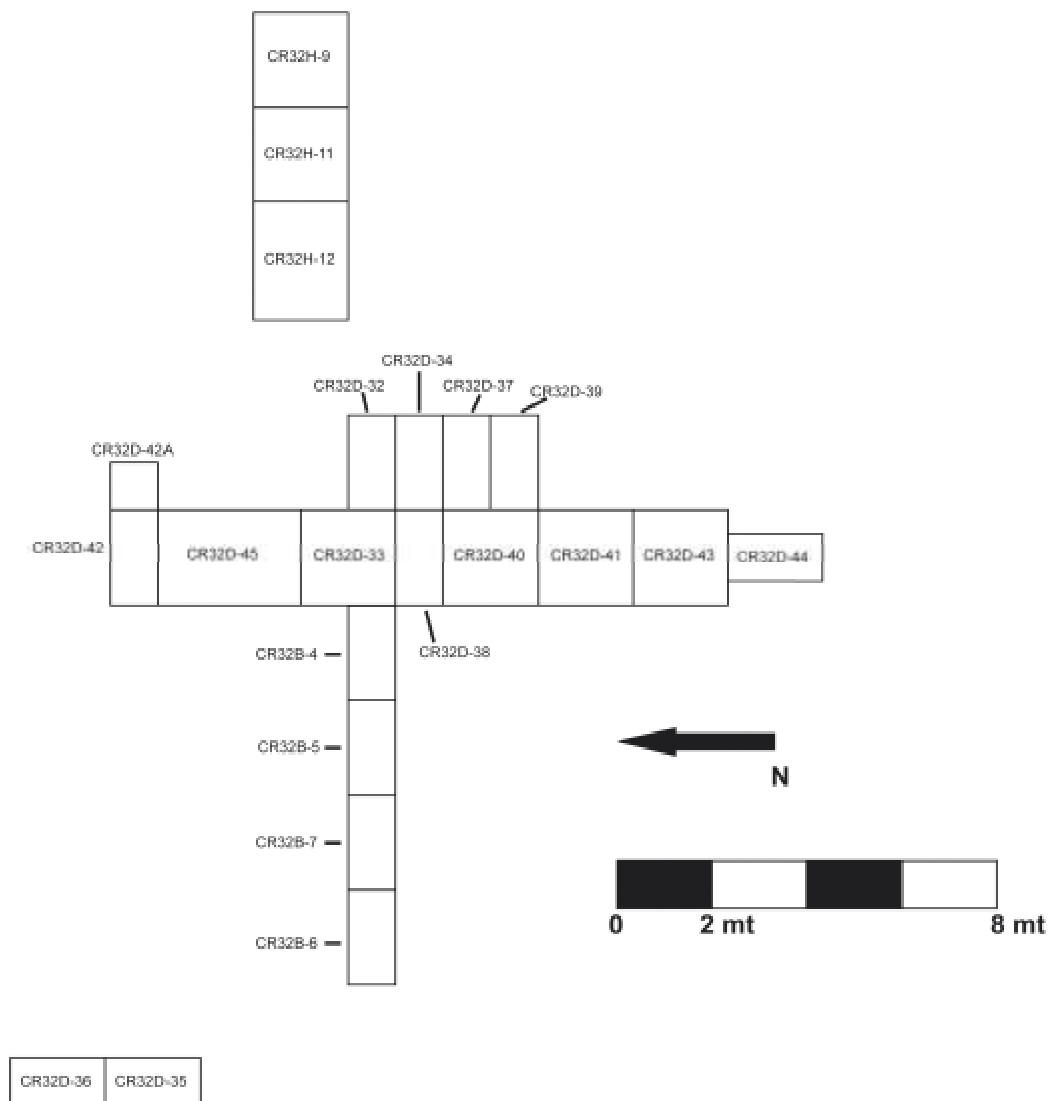


Figura 5.5 Ubicación de excavaciones en la Estructura 13Q-2 (Plano: C. Guirola)

Resultados de la Temporada 2012

La Temporada 2012 se puede dividir en tres partes. La primera parte son las excavaciones realizadas en la Suboperación CR32H, específicamente las unidades CR32H-9, CR32H-11, y CR32H-12, que corresponden a las excavaciones realizadas en el área de relleno donde no se encontró evidencia de una escalinata de la penúltima fase. El segundo grupo de excavaciones corresponde a la Suboperación CR32D, que se ubicaron al pie de la escalinata de la estructura y en la plaza frente a la estructura. Por último, la tercera parte corresponde a la Suboperación CR32B, que corresponde al montículo de tierra que se encuentra frente a la estructura. En total se excavaron 22 unidades (Figura 5.5).

Suboperación CR32H

En la Temporada 2012 se continuó con las excavaciones en las unidades CR32H-9, CR32H-11 y CR32H-12, ya que durante la temporada pasada no se pudieron concluir, y se necesitaba excavar un poco más para ver si existe evidencia de otra fase constructiva.

Unidad CR32H-9

Esta unidad fue de 2 x 2 m. Se bajó en el relleno de la estructura, y en todos los lotes se encontró cerámica. A los 3.40 m aproximadamente se encontró parte de la escalinata pero demasiado deteriorada, perteneciente a la penúltima fase (Figura 5.6). Es hasta allí donde se concluyó con esta unidad.

Unidad CR32H-10

Esta unidad fue de 2 x 2 m. No se excavó, sino solamente se limpió debido a un deslave que ocurrió sobre esta parte de la estructura antes de empezar la Temporada 2012. En el piso se encontraron fragmentos de cerámica que estaban pegados al suelo. Se cree que no se había limpiado bien el piso durante la temporada pasada, pero la otra posibilidad es que esta cerámica venía del deslave.



Figura 5.6 Parte de la escalinata deteriorada y parte de la Unidad CR32H-11 (Foto: C. Guirola)

Unidad CR32H-11

Esta unidad fue de 2 x 2 m. Al bajar en el relleno se encontró cerámica, obsidiana y el esqueleto de un pequeño reptil (Figura 5.7). A los 4 m aproximadamente se encontraron partes de la escalinata pero bastante deteriorada y destruida (Figura 5.8). Al encontrar la escalinata se concluyó con la excavación de la unidad.



Figura 5.7 Esqueleto de reptil (Foto: C. Guirola)



Figura 5.8 Parte de la escalinata destruida (Foto: C. Guirola)

Unidad CR32H-12

Esta unidad fue de 2.5 x 2 m. Debido a que hubo un deslave en el lado sur de la unidad, se limpió la parte suroeste de la unidad y se encontró cerámica en la parte sur de la unidad. Solo en este lote se excavó así, los demás lotes se excavaron de arriba para abajo. Al final, la unidad se extendió 1.20 m más de lo que era originalmente en su lado oeste, debido al deslave. Se bajó hasta los 4.95 m (en la esquina noreste), y hasta allí se concluyó la excavación ya que no se encontró ninguna evidencia de alguna otra fase constructiva y la cerámica era bastante escasa (Figura 5.9).



Figura 5.9 Excavación de CR32H-12, la cual estaba compuesta solo por relleno (Foto: C. Guirola)

Las excavaciones realizadas en esta parte de la escalinata concluyen con estas excavaciones, considerando que ya se tiene una mejor idea de cómo estaban conformadas ambas etapas constructivas (Figuras 5.10 y 5.11).

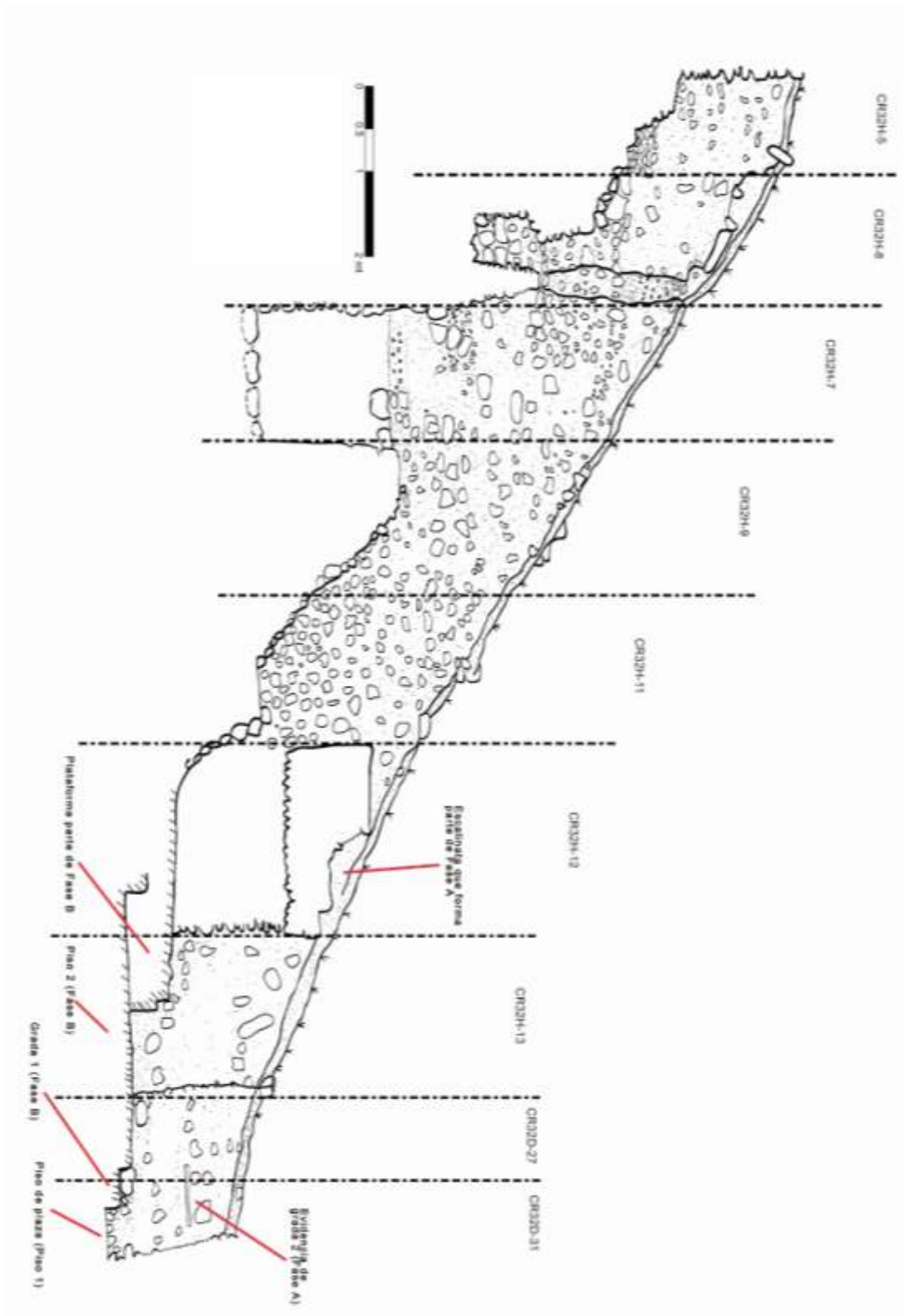


Figura 5.10 Perfil Sur de escalinata de la Estructura 13Q-2 (Dibujo: M. Lamoureux y C. Guirola)

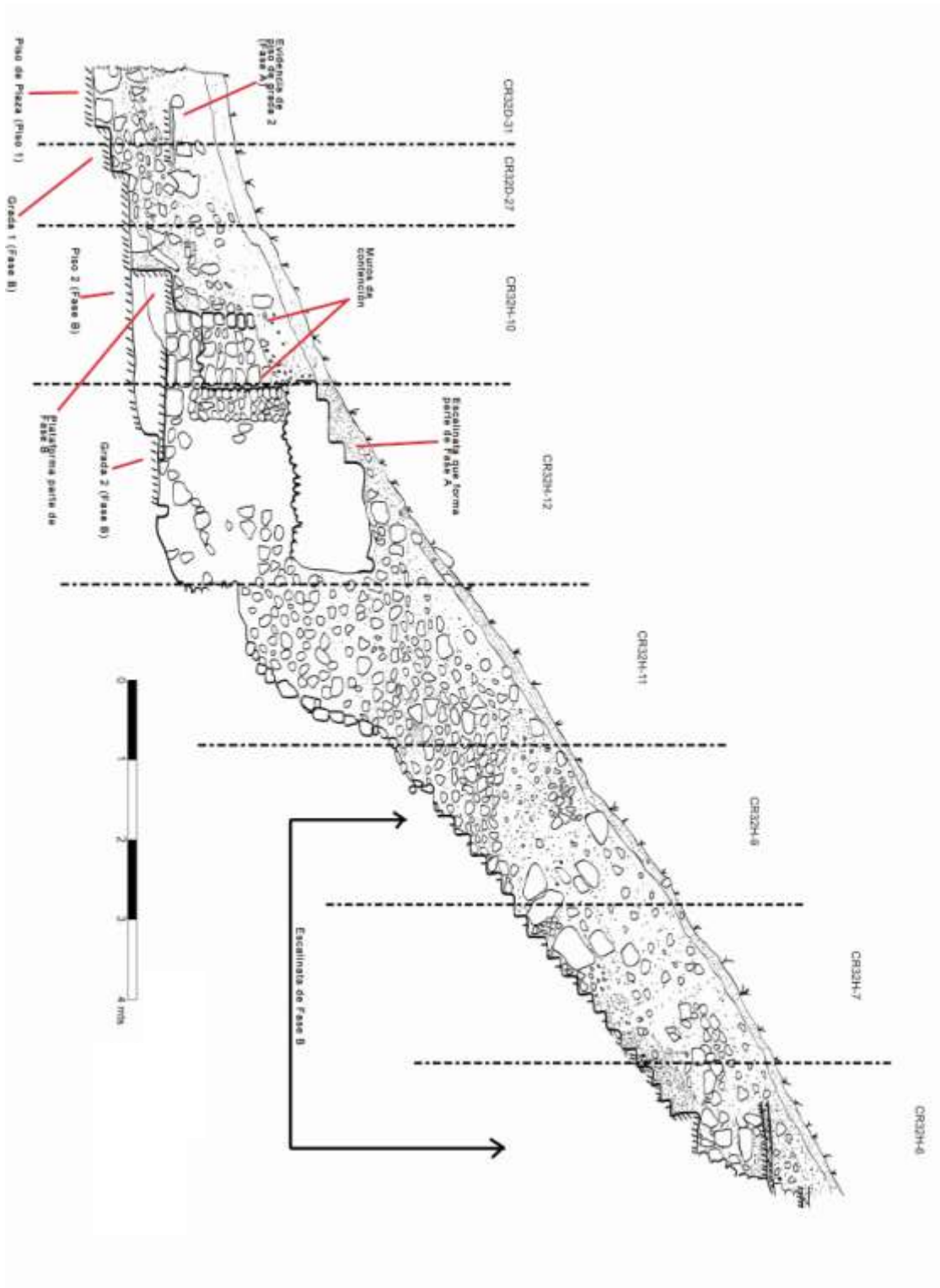


Figura 5.11 Perfil Norte de la escalinata de Estructura 13Q-2 (Dibujo: M. Lamoureux y C. Guirola)

Suboperación CR32D

Esta parte de las excavaciones se concentró en la base de la escalinata, donde se encontraron los primeros escalones de la última etapa constructiva. Estas excavaciones son muy importantes para entender la forma arquitectónica de la última fase constructiva del edificio.

CR32D-32

Esta unidad se hizo de 1 x 2 m y se encuentra al sur de las unidades CR32D-27 y CR32D-31. Al bajar en el escombro se encontraron del lado oeste de la unidad tres bloques de piedra *in situ*. Se llegó a un piso que estaba totalmente deteriorado, lo que indica que quizá fue parte de la última fase constructiva (Figura 5.12).



Figura 5.12 Fotografía de los tres bloques que conforman la tercera grada de la última fase constructiva de la Estructura 13Q-2, con sus respectivas dimensiones (Foto: C. Guirola)

Para terminar con la excavación de esta unidad se excavó en el extremo oeste de la unidad para ver si se encontraba una tercera grada, entre la primera que se encontró en esta unidad y la segunda que se encontró en la Unidad CR32D-33. Efectivamente se encontró otra grada, evidenciada por una piedra finamente tallada que descansa sobre el piso que salió en la Unidad CR32D-33 (Figura 5.13).



Figura 5.13 Tercera y segunda grada de la última fase constructiva de la Estructura 13Q-2
(Foto: C. Guirola)

CR32D-33

Esta unidad se hizo de 2 x 2 m y se ubicó al oeste de la Unidad CR32D-31. Se hizo con la finalidad de ver qué estructuras se podían distinguir frente a la Estructura 13Q-2. Al bajar se empezó a apreciar que en el perfil este la tierra estaba intacta y en el perfil oeste se apreciaba donde los saqueadores habían pasado (Figura 5.14). Por lo tanto en esta unidad se bajó hasta el mismo nivel donde está el piso deteriorado que se encontró en la Unidad CR32D-32. Sobre este piso se pudo encontrar bastante cerámica, una concha nácar y obsidiana.



Figura 5.14 Parte oeste de la unidad donde se puede apreciar el área de saqueo (Foto: C. Guirola)

Al profundizar más la unidad, en el lado oeste, se pudieron encontrar más piedras talladas, específicamente en la parte media de la unidad. Estas piedras pertenecían a un muro de la Estructura 13Q-2A, en el cual a medida que se fue excavando se pudo encontrar bastante cerámica de gran tamaño, y al parecer de fines utilitarios. Se llegó a un piso del lado este de la unidad, que estaba estucado, y su grado de conservación no es muy bueno (Figura 5.15).



Figura 5.15 Muro perteneciente a la Estructura 13Q-2A (Foto: C. Guirola)

Se bajó más en la esquina noreste de la unidad, para observar la continuidad del piso que se había encontrado, y se encontró una piedra bien tallada que corresponde a otra grada. Aquí también se recuperó bastante cerámica. Teniendo en cuenta esto, se empezó a descubrir lo que es la primera grada de la última fase constructiva de la Estructura 13Q-2 (Figura 5.16).



Figura 5.16 Primera grada de la última fase constructiva de la Estructura 13Q-2 (Foto: C. Guirola)

CR32D-34

Esta unidad se hizo de 1 x 2 m al sur de la Unidad CR32D-32 para continuar descubriendo la hilera de piedras que se encontraron en CR32D-32. En esta unidad se encontraron dos piedras talladas, parte de la grada y un piso (Figura 5.17). Se excavó también la parte oeste de la unidad para encontrar parte de la segunda grada que se encontró en la Unidad CR32D-32, pero no se encontró nada.

CR32D-37

Esta unidad de 1 x 2 m se colocó al sur de la Unidad CR32D-34 para continuar con el descubrimiento de la hilera de piedras que conforman la grada que se encontró desde la Unidad CR32D-32. Solamente se encontró un bloque que es siempre parte de la tercera grada de la última fase constructiva del edificio (Figura 5.18).



Figura 5.17 Imagen de la tercera grada y segunda grada de la última fase constructiva del edificio. Los dos bloques en la parte media de la fotografía pertenecen a la Unidad CR32D-34 (Foto: C. Guirola)



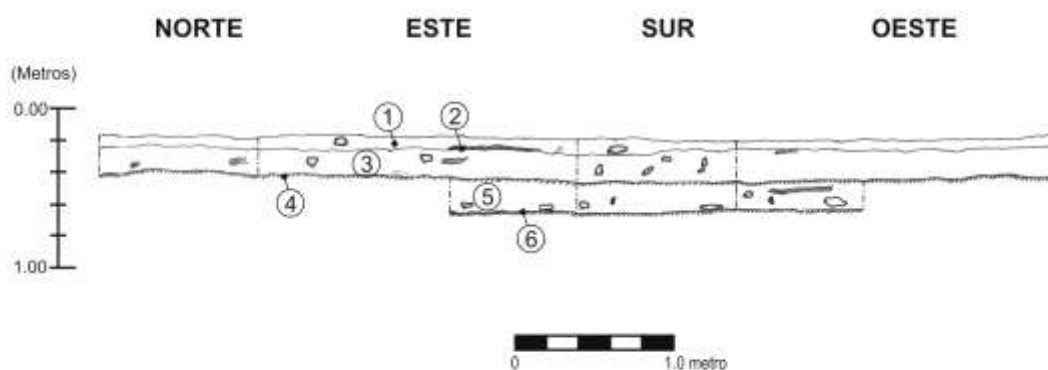
Figura 5.18 Tercera grada de la última fase constructiva de la Estructura 13Q-2. El bloque en el lado derecho pertenece a la Unidad CR32D-37 (Foto: C. Guirola)

CR32D-35 y CR32D-36

Estas unidades se hicieron de 1 x 2 m y estuvieron a cargo de la estudiante Olga Slowing. Ambas unidades se hicieron con orientación norte-sur, están a nivel de plaza y se realizaron con la finalidad de seguir descubriendo piso de plaza, que en este caso está muy deteriorado y casi no se puede apreciar. Además, el descubrimiento de fragmentos de cerámica u otro material arqueológico fue muy escaso.

La Unidad CR32D-35 se ubicó aproximadamente 2 m al oeste del pozo de sondeo realizado en 2011. Alcanzó una profundidad máxima de 0.66 m desde la superficie y se identificaron dos pisos de estuco de plaza. El Lote 1 correspondió al humus de consistencia suelta, con raíces. El primer piso, denominado Piso 1, se encontró a los 18.5 cm de profundidad. Debajo de este piso se encontró el Lote 2 que constó de barro rojizo, compacto, con pocas piedras. El segundo piso, denominado Piso 2, se encontró a los 43.5 cm de profundidad, como parte del Lote 3. El Piso 1 se encontró en muy mal estado de conservación, posiblemente porque era de menor calidad o por estar expuesto al deterioro después del abandono del sitio. El Piso 2 se encontró en muy buen estado de conservación y coincide con el piso encontrado en el pozo realizado durante las excavaciones de 2011 que posiblemente está fechada para el Clásico Tardío.

La Unidad CR32D-36 se ubicó al sur de la Unidad CR32D-35 y alcanzó una profundidad máxima de 1.57 m. En esta unidad solamente se identificó el Piso 2 a 49 cm de profundidad.



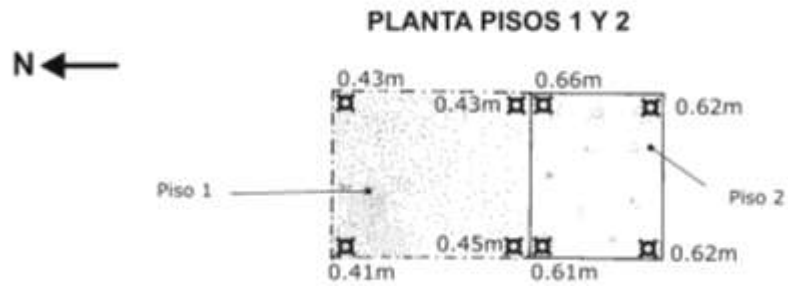


Figura 5.19 Perfiles y planta de la Unidad CR32D-35 (Dibujo: O. Slowing)

CR32D-39

Esta unidad de 1 x 2 m se excavó al sur de la Unidad CR32D-37 para darle continuidad al descubrimiento de la grada que se encontró en CR32D-32. Lamentablemente en esta unidad no se encontró evidencia de ninguna de las dos gradas que aparecieron en la unidad anteriormente mencionada (Figura 5.20).



Figura 5.20 Al extenderse al sur, evidencia de la tercera grada del edificio desaparece y ya no se encuentran más bloques (Foto: C. Guirola)

CR32D-40

Esta unidad se hizo de 2 x 2 m al sur de la Unidad CR32D-38. En el lado oeste de la unidad se pudo constatar la intromisión de los saqueadores probablemente

durante la década de 1960. Por lo tanto en esta unidad se excavó la parte media, llegando al piso de plaza, entre la primera grada del edificio y el muro, que parece pertenecer a la dudosa Estructura 13Q-2A, aunque en esta unidad el muro parece estar muy deteriorado.

CR32D-41

Esta unidad se hizo de 2 x 2 m al sur de CR32D-40. Al finalizarla se pudo ver la contrahuella de los bloques que conformaban la continuidad de la primera grada del edificio y del muro de la Estructura 13Q-2A. A medida que se fue excavando se encontró cerámica. También se excavó parte del lado este de la unidad para buscar evidencia de la segunda grada del edificio pero no se encontró nada (Figura 5.21).



Figura 5.21 Imagen de la contrahuella de la primera grada de la Estructura 13Q-2 (Foto: C. Guirola)

CR32D-42

Esta unidad se hizo de 1 x 2 m, además se abrió una extensión en su lado este de 1 x 1 m, que se denominó como CR32D-42A. Se ubicó al norte de las unidades CR32D-33 y CR32D-45, para ver en que estado se encontraban las gradas de este lado de la estructura, ya que al parecer fue por esa área que entraron los saqueadores.

Al ir bajando en el escombros, se encontró del lado este de la unidad un piso estucado pero deteriorado. Es allí donde se decidió hacer la extensión de la unidad para ver si se podían descubrir más bloques que conforman la tercera grada de la

última fase constructiva del edificio. Se continuó excavando, tomando en cuenta cómo se encontraron las otras gradas del edificio, pero no se encontró ningún bloque, solo evidencia del piso donde descansan (Figura 5.22).



Figura 5.22 Evidencia de las tres gradas de la última fase constructiva del edificio, pero no se encontró ningún bloque, solo evidencia de los pisos (Foto: C. Guirola)

CR32D-43

Esta unidad se hizo de 2 x 2 m y se localiza al sur de CR32D-41, para ver la continuidad de la primera grada y del muro de la Estructura 13Q-2A. Fue hasta esta unidad donde se pudo encontrar evidencia de ambos, ya que en la excavación que está al sur de CR32D-44 no se encontró evidencia de su continuación. También se excavó la parte este para buscar evidencia de la segunda grada del edificio, y a pesar que no se encontraron bloques, sí se encontró parte del relleno que formaba parte de la segunda grada.

CR32D-44

Esta unidad midió 1 x 2 m y se colocó al sur de CR32D-43 para ver si seguía la primera grada del edificio y el muro de la Estructura 13Q-2A. Es aquí donde se pudo asegurar que ambos elementos arquitectónicos, la primera grada del edificio y el muro de la Estructura 13Q-2A, no continúan. Solo se pudo encontrar el piso de plaza (Figura 5.23).



Figura 5.23 Piso de plaza deteriorado (Foto: C. Guirola)

CR32D-45

Esta unidad se hizo de 2 x 2.3 x 3 m al sur de la Unidad CR32D-42, con el fin de descubrir la continuación de la segunda y tercera grada de la última fase constructiva de la Estructura 13Q-2. A los pocos centímetros de excavación, en el lado noroeste de la unidad se encontró debajo de un árbol un incensario probablemente fechado para el Postclásico Tardío. Con ello, son ya tres incensarios Postclásicos los que se han encontrado en este edificio (Figura 5.24).

Se removió el incensario y se encontró un piso en el lado este y parte media de la unidad. Es el mismo piso donde descansan los bloques que conforman la tercera grada que apareció en la Unidad CR32D-32. Aquí no aparecieron bloques pero sí el relleno de piedras medianas que los sostenía. Después se llegó al otro piso, que es donde descansa la segunda grada pero no se encontró ningún bloque, solo relleno. Por último se bajó hasta donde estaría la primera grada pero no se encontró ningún bloque de piedra (Figura 5.25). Solo se pudo apreciar en el Perfil Oeste algunas piedras que pudieron ser parte del muro. En general se encontró bastante cerámica en esta unidad.



Figura 5.24 Incensario del Postclásico Tardío (Foto: C. Guirola)



Figura 5.25 Apreciación de las gradas de la última fase constructiva de la Estructura 13Q-2 (Foto: C. Guirola)

En resumen, la excavación de esta suboperación fue de suma importancia para conocer más acerca de la última fase constructiva del edificio. Se sabe ahora que la estructura tiene una escalinata larga compuesta de bloques tallados finamente. Quizá en las excavaciones del lado norte no se pudieron encontrar bloques debido a los constantes saqueos durante la década de 1960, aunque eso no se sabe con seguridad.

Además, algunos de los bloques jeroglíficos que se hallaron en la Estructura 13R-10 pudieron estar originalmente aquí en esta escalinata, y en determinado momento fueron trasladados (ver Capítulo VIII de este informe). Por último, se pudo apreciar parte del muro este de la controversial Estructura 13Q-2A, que hasta ahora se puede confirmar (Figura 5.26).



Figura 5.26 Imagen donde se puede apreciar las tres primeras gradas de la fachada de la última fase constructiva de Estructura 13Q-2 y parte del muro este de la Estructura 13Q-2A (Foto: C. Guirola)

Suboperación CR32B

Teniendo en cuenta el descubrimiento del muro de la Estructura 13Q-2A, se hizo una trinchera que atravesara dicha estructura, para obtener más información acerca de la misma. Para esto se hicieron cuatro unidades de 1 x 2 m.



Figura 5.27 Parte de la trinchera de la Suboperación CR32B (Foto: C. Guirola)

CR32B-4

Esta unidad se hizo al oeste de la Unidad CR32D-33. En esta unidad no se pudo encontrar nada, más que escombros y se llegó al nivel del piso de plaza.

CR32B-5

Esta unidad se hizo al oeste de la Unidad CR32B-4. En esta excavación no se profundizó mucho, aproximadamente entre 30 y 40 cm. Solo se encontró escombros, producto de los saqueadores.

CR32B-6

Esta unidad se hizo al oeste de la Unidad CR32B-5. Se encontró solo escombros y se llegó al piso de plaza, el cual estaba muy deteriorado.

CR32B-7

Esta unidad se hizo al oeste de la Unidad CR32B-5, para completar la trinchera. Se bajó hasta llegar al piso de plaza donde se encontró una piedra tallada en el lado este de la unidad, que pudiera pertenecer a la Estructura 13Q-2A (Figura 5.27).

En general no se encontró información sobre la estructura, pero sí nos ayudó a conocer más sobre la intervención de los saqueadores en esta área. Teniendo en cuenta esto, durante la otra temporada de campo se pueden realizar otros pozos de sondeo, siguiendo el muro que se encontró en las unidades de la Suboperación CR32D.

Interpretaciones

Las excavaciones realizadas durante esta temporada ayudaron a tener una mejor idea de la distribución espacial y arquitectónica de la última fase constructiva de la Estructura 13Q-2. Se puede tener una idea de las excavaciones realizadas durante esta temporada observando los dibujos finales de perfiles y de planta de los mismos (Figuras 5.28 y 5.29).

Entre las funciones del edificio, se tiene la idea que quizá fue un palacio de presentación (T. Barrientos comunicación personal 2012). Además es casi seguro que se realizaban rituales. Con esta idea también se une la idea del uso del edificio en tiempos posteriores para realizar rituales; ejemplo de ello son los tres incensarios que se han encontrado en este edificio (Figura 5.30).

Cabe también la posibilidad que quizá algunas piedras esculpidas o paneles jeroglíficos encontrados en la Estructura 13R-10 eran originalmente parte de este edificio pero por razones desconocidas fueron trasladados de su lugar original entre los años 760 y 850 d.C.

Lo que sí está claro es que hay dos fases constructivas que se pueden apreciar, sobre todo en la escalinata de la estructura. La última fase constructiva está identificada por: el muro del lado noroeste de la estructura; una banqueta que corre quizá hasta donde empiezan la escalinata; y la escalinata del edificio, donde las primeras gradas poseen un buen grado de conservación en algunas áreas. Esta escalinata quizá tuvo paneles jeroglíficos en determinado momento, pero no se puede comprobar, ya que esta área del edificio seguramente fue saqueada por pobladores Mayas, que durante la época Prehispánica trasladaron los paneles a otra parte del sitio.

Aunque menos probable, también pudo ser producto de la actividad de saqueadores modernos durante la década de 1960.

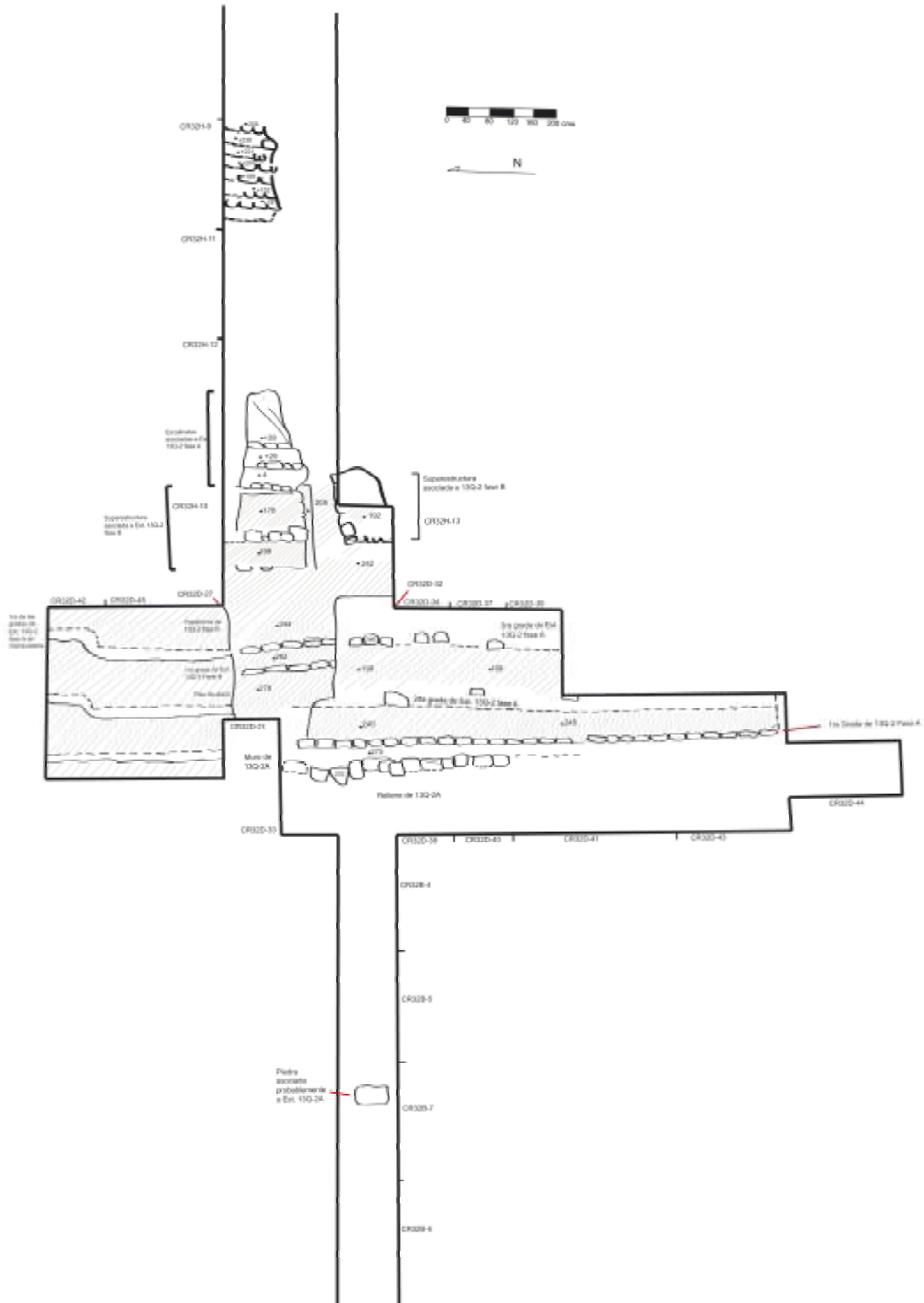


Figura 5.28 Dibujo de planta de excavaciones realizadas durante la Temporada de Campo 2012 (Dibujo: M. Lamoureux y C. Guirola)

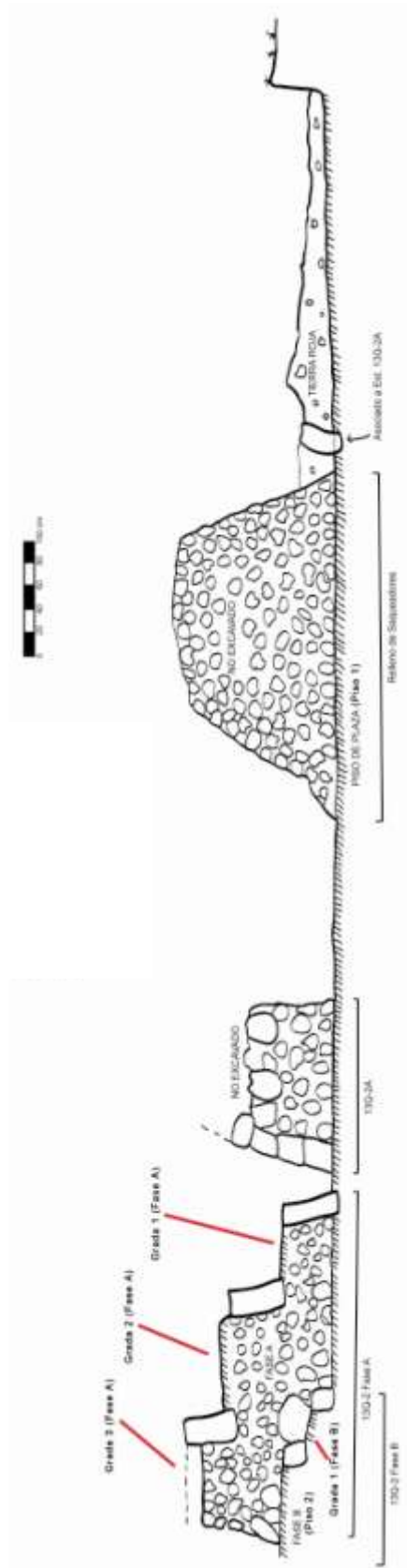


Figura 5.29 Dibujo de Perfil Norte y Sur (Dibujo: M. Lamoureux y C. Guirola)

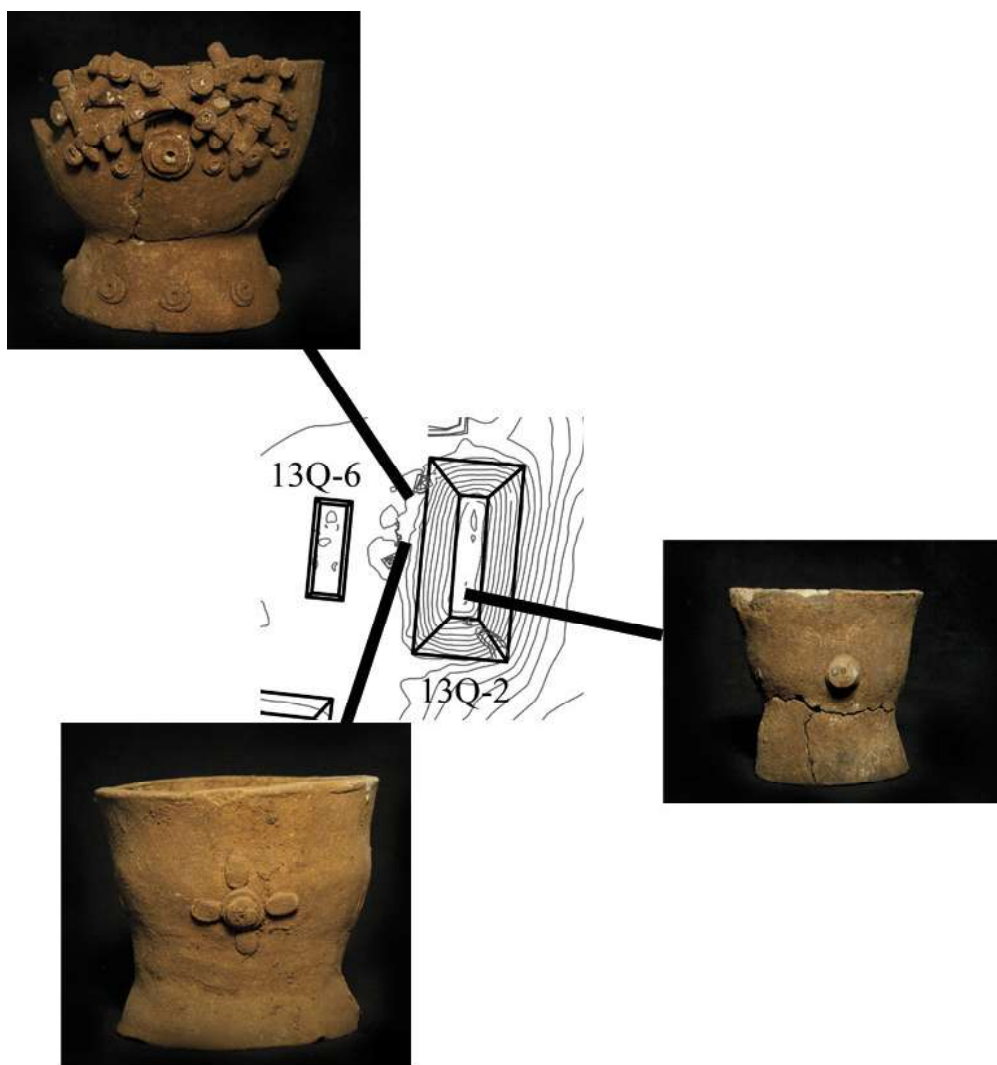


Figura 5.30 Incensarios encontrados en la Estructura 13Q-2 (Fotos: C. Guirola)

La fase constructiva anterior tiene una escalinata estucada que desciende hasta llegar a una base donde hay banquetas a los lados, que quizá fueron utilizadas para colocar algún tipo de escultura o para realizar algún tipo de ritual. Esta fase posee partes que están bien conservadas y se mira el buen trabajo de mampostería y rellenos que la componen (Figura 5.31).



Figura 5.31 Imágenes de elementos arquitectónicos que se pueden apreciar de las dos fases constructivas de la Estructura 13Q-2, sobre todo de la última fase constructiva (Fotos: C. Guirola)

Finalmente, se espera que en futuras temporadas se pueda continuar la investigación de la Estructura 13Q-2A, y explorar si el edificio posee fases más tempranas, quizá del Clásico Temprano.

CAPÍTULO VI

OPERACIONES CR15A, CR15B Y CR17B: EXCAVACIONES EN EL GRUPO CORONITAS, ESTRUCTURAS 13R-2, 13R-3 Y 13R-5, TEMPORADA 2012

Joanne Baron

Introducción

El Grupo Coronitas se refiere al grupo de cinco templos que se ubican en el cuadrante 13R de La Corona. Estos cinco templos están dispuestos de manera alineada y con orientación norte-sur. Los templos de los extremos norte y sur (13R-1 y 13R-5 respectivamente) son lo más pequeños, elevándose unos 5 m, mientras que los tres de en medio tienen una altura de 9 m. Desde 2006 se han realizado excavaciones en las estructuras 13R-2, 3, 4 y 5 como resultado del descubrimiento *in situ* de un panel glífico (Panel 1; Monumentos 7 y 8) en la Estructura 13R-5 en 2005 (Canuto *et al.* 2006).

Las excavaciones en estos templos en años anteriores han sido diseñadas para reconstruir las fases constructivas de estas estructuras y entender su cambio funcional a través del tiempo. Esta temporada se realizó una serie de excavaciones menores para confirmar los hallazgos de años anteriores y obtener información adicional.

Como se discutió en el informe de excavación de la Temporada 2011, los templos de Coronitas tienen cinco fases constructivas principales. La más temprana es la fase MAM, que consiste en una plataforma o serie de plataformas fechadas de inicios a mediados del siglo VI. Esta fue seguida de la fase MUK, donde se construyeron una serie de templos funerarios sobre arquitectura MAM en las estructuras 13R-2, 3 y 4. Este período se entiende mejor como una construcción gradual, en vez de un solo programa constructivo, a medida que a cada ancestro muerto se le construyó un templo funerario de manera sucesiva. En 658 d.C., se le agregó la fase K'UH a estos tres templos. Como un solo programa constructivo simultáneo, unió las estructuras 13R-2, 13R-3 y 13R-4 y cambió su función de templos funerarios a templos para deidades patronales. La arquitectura asociada a esta fase consta solamente de una modificación superficial y no se extiende a la parte posterior de las estructuras. En 677 d.C., se dedicó la Estructura 13R-5 como un nuevo templo para deidad patronal y ha sido nombrado fase UB. Finalmente, en la fase

UNEN se hicieron una serie de adiciones tardías a la parte frontal de las estructuras 13R-2 y 13R-3 y a la parte posterior de la Estructura 13R-5. Las excavaciones de la Temporada 2012 tenían como objetivo confirmar esta reconstrucción final.

Operación CR15A

Trabajos previos

En 2009 se realizaron excavaciones en la parte frontal de la Estructura 13R-3, mientras que en 2010 se realizaron excavaciones en la parte frontal de la Estructura 13R-2. Estas excavaciones localizaron la escalinata frontal de cada estructura de la fase K'UH y el piso de la plataforma que sostiene ambas estructuras. Desafortunadamente, el mal estado de conservación no permitió seguir el piso de una escalinata a otra, pero las elevaciones de la base de cada escalinata indican que fueron construidas encima del mismo piso de la fase K'UH, llamado UN. La Estructura 13R-2 se estableció a aproximadamente 3 m de la Estructura 13R-3. Durante la fase UNEN, se realizó algún tipo de adición arquitectónica en el espacio entre ambas estructuras. Ésta parece algún tipo de rampa que hubiese bloqueado parcialmente la escalinata de la Estructura 13R-2.

Objetivos de la Temporada 2012

Los objetivos de esta temporada fueron explorar la arquitectura de la fase K'UH entre las estructuras 13R-2 y 13R-3 y confirmar que ésta unió las dos estructuras como un solo programa arquitectónico, similar a lo observado al norte de la escalinata de la Estructura 13R-3 en 2009. Adicionalmente, se esperaba que se pudiera excavar y reconstruir más de la rampa de la fase UNEN.

Excavaciones

Las unidades CR15A-6, CR15A-7, CR15A-8 y CR15A-9 fueron colocadas al frente de las estructuras 13R-2 y 13R-3 para explorar la unión entre ambas. Todas las unidades fueron de 2 x 2 m a excepción de CR15A-9 de 2 x 1 m. Las unidades CR15A-6 y CR15A-7 fueron colocadas junto al curso expuesto de los muros de las terrazas de 13R-2 y 13R-3 respectivamente, con el objetivo de seguir los muros. Las unidades CR15A-8 y CR15A-9 fueron colocadas entre estas

dos unidades, también con el objetivo de aclarar la arquitectura. En la Unidad CR15A-7 se localizó la parte norte de la escalinata de 13R-3, pero estaba en mal estado de conservación (a diferencia de la parte sur excavada en 2009). Integrado a este muro de la escalinata estaba un conjunto de terrazas orientadas hacia el norte. Éstas también estaban en mal estado de conservación, pero parecía que imitaban la arquitectura del otro lado de la escalinata de 13R-3, consistían en un muro vertical sobre un descanso de aproximadamente 60 cm de ancho y un muro más bajo, que alguna vez pudo haber sido inclinado, igual que el de la parte norte de la estructura. Parece que la “rampa” descubierta en 2010 estaba construida frente a este muro bajo. Se debe enfatizar que debido al mal estado de conservación de estos rasgos, esta reconstrucción es tentativa. Ambos muros corrían al norte hacia la Unidad CR15A-8, pero desaparecieron en CR15A-9. Esto puede deberse debido a que cruzan hacia el este, pero esta reconstrucción es incierta.

En la Unidad CR15A-6 se siguió hacia abajo otro muro vertical perteneciente a la Estructura 13R-2, que se apoyaba en un descanso. Este descanso era de aproximadamente 70 cm de ancho y al cruzar caía a otro muro de terraza inclinado. Ambos rasgos cruzaban formando una esquina hacia el este. Se encontró otro alineamiento de piedras debajo, que pudo haber sido otro rasgo como parte de la “rampa” tardía al frente de estas estructuras. Una vez más, la mala conservación de los rasgos en la Unidad CR15A-6 indica que esta reconstrucción es tentativa.

Resumen/Conclusiones

El mal estado de conservación en esta operación impidió una reconstrucción segura. Sin embargo, los rasgos descubiertos fueron consistentes con los rasgos en el lado norte de la Estructura 13R-3 (Figuras 6.1 y 6.2). Aunque las excavaciones de este año en CR15A no pueden confirmar la reconstrucción de la fase K’UH, no la contradicen o sugieren una reconstrucción radicalmente diferente.

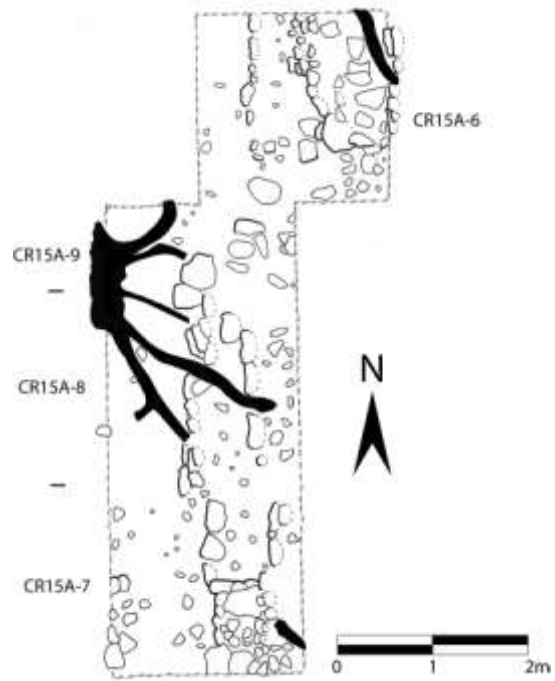


Figura 6.1 Planta de excavación de las unidades CR15A-6, CR15A-7, CR15A-8 y CR15A-9
(Dibujo y calco: J. Baron)



Figura 6.2 Fotografía de las unidades CR15A-6, CR15A-7, CR15A-8 y CR1A-8 desde el norte
(Foto: J. Baron)

Operación CR15B

Trabajos Previos

No se había trabajado previamente en la parte posterior de la Estructura 13R-2, pero excavaciones en 2011 exploraron las terrazas posteriores de 13R-3, 13R-4 y 13R-5. Estas excavaciones revelaron que las terrazas posteriores de 13R-4 eran más tempranas que las de 13R-3. Además, la Estructura 13R-3 fue apartada aproximadamente 2 m hacia el este de la Estructura 13R-4.

Objetivos de la Temporada 2012

La Operación CR15B fue diseñada para confirmar la reconstrucción cronológica de las edificaciones. Se cree que las terrazas posteriores de estos templos pertenecen a la fase MUK y que la fase K'UH fue adherida solamente a la parte frontal de las estructuras. Debido a que la fase MUK consistió de una serie de estructuras funerarias, deberían ser secuenciales (a medida que cada individuo moría y era enterrado), en vez de simultáneas. Esto fue sugerido por el hecho que las terrazas posteriores de 13R-4 son más tempranas que las de 13R-3. Por lo tanto, 13R-3 y 13R-2 también deberían ser secuenciales, con las terrazas posteriores de 13R-3 más tempranas que las de 13R-2. Las unidades de CR15B fueron ubicadas para encontrar la unión entre estas dos estructuras y para determinar su cronología relativa.

Excavaciones

La Operación CR15B consistió de cuatro unidades de 2 x 2 m. La Unidad CR15B-1, colocada entre las dos estructuras, solamente reveló escombros de colapso. Eventualmente, piedras de este colapso parecían formar algún tipo de muro de contención y se creía que pudo haber sido el muro interior de una terraza posterior. Para probar esta hipótesis, se agregó abajo (al este) la Unidad CR15B-2. Pronto se descubrió que el rasgo en CR15B-1 no era un muro de contención, sino por coincidencia, una alineación de piedras colapsadas. En CR15B-2, se encontró un piso de terraza que caía hacia muros de terraza. Estos muros formaban una esquina interior: un muro corría al este, mientras el otro corría al sur (Figura 6.3). Ambos medían 1.40 m de alto y fueron construidos sobre un solo piso de terraza en la parte inferior. El muro este-oeste

parecía que formaba el lado sur de la Estructura 13R-2, mientras que el muro norte-sur corría para unirse con la Estructura 13R-3 (Figura 6.4). Se siguieron ambos muros: la Unidad CR15B-3 fue colocada al sur de CR15B-2, mientras que la Unidad CR15B-4 fue colocada al este.

En la Unidad CR15B-4, el muro sur de 13R-2 fue seguido hacia el este. La parte superior de este muro había colapsado, pero todavía había estuco visible en la parte inferior del mismo y piso estucado en la mayor parte de la unidad. Sin embargo, en la parte este de la unidad, estos rasgos estaban cerca de la superficie y como consecuencia se encontraron en mal estado de conservación.

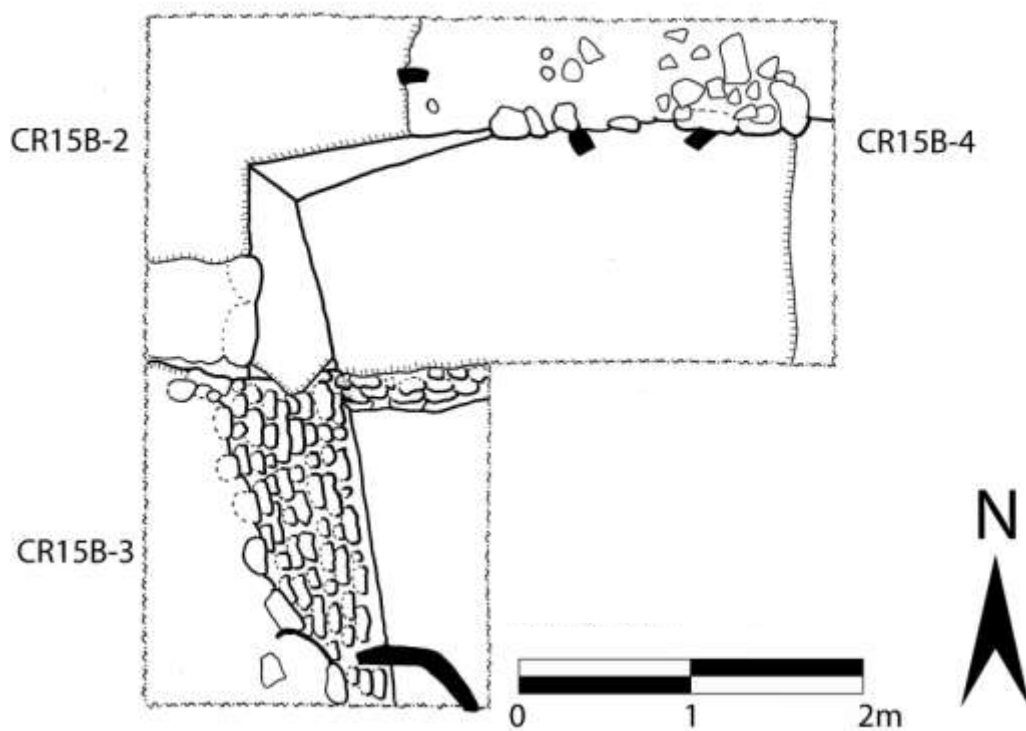


Figura 6.3 Planta de excavación de las unidades CR15B-2, CR15B-3 y CR15B-4
(Dibujo y calco: J. Baron)



Figura 6.4 Foto de excavación de las unidades CR15B-2, CR15B-3 y CR15B-4 desde el sur
(Foto: J. Baron)

En la Unidad CR15B-3, el muro norte-sur se unía con otro muro norte-sur en la misma línea (Figura 6.5), era el lado este (posterior) de la Estructura 13R-3, un muro que se encontraba en la misma línea que la que fue encontrada en 2011. Claramente, este muro de terraza de 13R-3 era más temprano cronológicamente que los muros pertenecientes a 13R-2. Esto era evidente por varias razones: primero, el piso donde descansaban estos muros posteriores caían en la Unidad CR15B-3 en la misma línea que la unión de los muros. Bajaba aproximadamente 50 cm como una superficie inclinada y por lo tanto cubría parte de la fachada del muro de terraza de 13R-3. Además, la terraza temprana de 13R-3 era más alta que los muros de terraza de 13R-2, haciendo evidente que cruzaba hacia el este (Figura 6.6). Esta Fachada Oeste estaba estucada en algunas áreas y podía ser seguida removiendo escombros del muro de terraza tardío de 13R-2.

De esta configuración, parece que las terrazas de 13R-3 fueron construidas primero. Posteriormente, se hicieron las terrazas de 13R-2 construyendo un piso de aproximadamente 50 cm sobre la base de 13R-3 y las terrazas de 13R-2 encima del mismo. Posiblemente en un intento

para hacer que las dos estructuras se vieran más unificadas, se agregó un muro que seguía la línea del muro este de 13R-3, y luego cruzaba al este después de 1.20 m para formar una terraza sur de 13R-2. De esta manera, la Estructura 13R-2 fue movida más atrás que la Estructura 13R-3 igual que 13R-3 fue apartada de 13R-4.

Resumen/Conclusiones

Las excavaciones en CR15B confirmaron que la reconstrucción de la fase MUK de estos tres templos fue una secuencia de edificaciones, en vez de un solo programa constructivo simultáneo. En la fase MUK, la Estructura 13R-2 fue construida después de 13R-3, y fue movida más atrás que ésta al menos 1.50 m. Así, el entierro en 13R-2 debe ser el más tardío de los entierros en estas estructuras y el entierro saqueado de 13R-4 el más temprano de la fase MUK.



Figura 6.5 Foto de excavación de las unidades CR15B-2, CR15B-3 y CR15B-4 desde el norte
(Foto: J. Baron)



Figura 6.6 Foto de la unión de los muros de terraza de las estructuras 13R-3 y 13R-4
(Foto: J. Baron)

Operación CR17B

Trabajos Previos

En la Estructura 13R-5 se realizaron excavaciones en 2006 y 2011. En 2006, Marcello Canuto excavó la trinchera de saqueo al frente de la edificación, explorando el contexto del Panel 1 (Monumentos 7 y 8). Él documentó una serie de rasgos como un piso interior en la superestructura y una banca en la parte posterior (este) de la estructura. También encontró que los saqueadores habían excavado de manera profunda una fase temprana de la edificación, asociada con un entierro (Entierro 1). Aunque los saqueadores habían removido los contenidos

del entierro, dejaron algunos huesos humanos. En 2011, uno de estos huesos fue sometido a análisis de radiocarbono y proporcionó una fecha de 670 a 770 d.C.

En 2011, las terrazas posteriores de 13R-5 fueron exploradas junto con las terrazas posteriores de 13R-4 para establecer su cronología relativa. Como se esperaba, estas terrazas posteriores eran más tardías que las de 13R-4 y se determinó que probablemente correspondían a la fase UB de la edificación, donde se colocó el Panel 1 (Monumentos 7 y 8).

Objetivos de la Temporada 2012

La fecha de radiocarbono de los huesos del Entierro 1 fue inesperadamente tardía. Debido que se sabe que la inscripción jeroglífica del Panel 1 (Monumentos 7 y 8) fecha la fase UB de 13R-5 a 677 d.C., la fase más temprana debiera ser anterior a esta fecha, a menos que fuera intrusiva. No obstante, un entierro intrusivo es poco probable debido a que el panel indica que la fase UB corresponde a un templo para deidad patronal, no templo funerario. También es poco probable debido a que la fase más temprana de la edificación se encuentra considerablemente más profunda que la fase UB. El Entierro 1 fue colocado en la roca madre, similar a los entierros de la fase MUK de las estructuras 13R-2 y 13R-4. Ninguno de esos entierros fue una intrusión tardía. Así, el patrón constructivo en el Grupo Coronitas, al igual que la inscripción del Panel 1 (Monumentos 7 y 8), indican que el Entierro 1 debería ser considerablemente más temprano que lo que indica la fecha de radiocarbono. Sin embargo, es posible que la fecha sea errónea debido a que fue contaminada. Primero, la tumba fue saqueada probablemente en la década de 1960. Luego, fue redescubierta por arqueólogos en 2006. Es por esto que se desconocen los tipos de contaminación que pudo haber sufrido en los años intermedios. Así, el fechamiento de la fase más temprana de 13R-5 seguía siendo una pregunta abierta al principio de la Temporada 2012.

Por esta razón, se decidió excavar una trinchera en la parte posterior de 13R-5 para obtener información cronológica de las fases de la estructura. Esta trinchera fue colocada intencionalmente afuera del área afectada por el saqueo.

Excavaciones

La trinchera se comenzó en la Unidad CR17B-2, excavada en 2011. Ese año, inició como una unidad de 2 x 2 m diseñada para exponer las terrazas posteriores de la estructura. En 2012, se excavó una trinchera este-oeste desde la parte media de esta unidad al nivel del piso de la terraza encontrado en 2011. Detrás de este muro de terraza se descubrió un muro de contención. El relleno detrás de este muro se documentó como lotes separados.

La Unidad CR17B-3 fue una unidad de 2 x 1 m colocada al oeste de CR17B-2 para continuar la trinchera hacia el oeste. Una serie de pisos fueron descubiertos en esta unidad. Cuatro de estos pisos pertenecían a la fase UB de la edificación y probablemente representaban diferentes rasgos arquitectónicos en la superestructura (Figura 6.7). El más alto de estos pisos correspondía al nivel de la banca posterior en la superestructura. El siguiente pertenece al piso donde se colocó el panel. El siguiente corresponde al pie de una banca baja frente al panel, también el piso interior del cuarto. Finalmente, el siguiente piso probablemente está asociado a algún otro rasgo, tal vez la grada frontal de la edificación. El muro de contención solamente se elevaba al nivel de este cuarto piso.

Ambas unidades fueron excavadas al nivel de la roca madre. En CR17B-2 se descubrió que la roca madre estaba cortada como una grada baja donde se colocó la base del muro de contención. En CR17B-3, se descubrió un quinto piso 30 cm encima de la roca madre. Este es el piso de la fase más temprana de la estructura.

Después de las excavaciones en CR17B-2 y CR17B-3, se decidió excavar un pequeño registro para poder obtener más información acerca del piso de la fase más temprana. Este pequeño túnel fue excavado sobre este último piso hasta aproximadamente 1m sobre él. Sin embargo, después de 30 cm, se encontró la parte posterior de la trinchera de saqueo. El registro se completó desde el nivel de la fase temprana hasta la roca madre, permitiendo recolectar más material del relleno temprano para poderlo fechar.

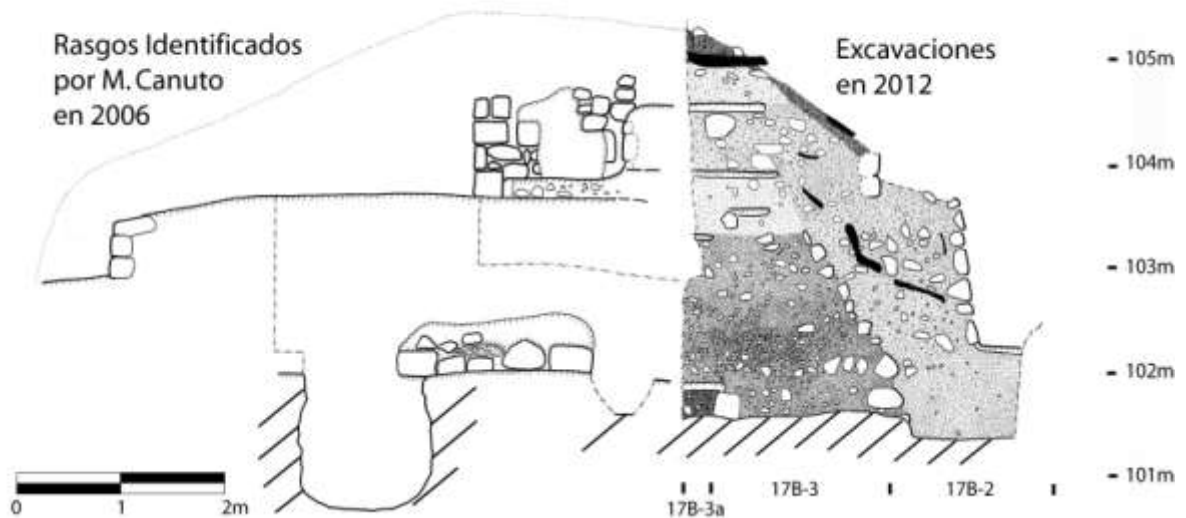


Figura 6.7 Perfil Norte de la Estructura 13R-5
(Dibujo y calco: J. Baron)

Resumen/Conclusiones

En resumen, esta edificación probablemente tuvo dos fases constructivas principales. La primera está representada por el quinto piso y por un muro y, un recinto funerario descubiertos en 2006. Las excavaciones de 2006 indican que este recinto contenía un entierro que fue destruido por los saqueadores. Un hueso recuperado en este recinto dio una fecha de radiocarbón del Clásico Tardío. Sin embargo, la cerámica encontrada en 2012 indica que esta fase es temprana, ya que muestra rasgos del Preclásico y Clásico Temprano. De esta manera, es probable que la fecha de radiocarbón sea errónea y haya sido contaminada por el saqueo, la lluvia y la excavación. A esta fase temprana se le ha asignado un nuevo nombre (K'INICH), ya que parece estar fechada antes de la fase MAM de los otros templos de Coronitas.

La siguiente fase constructiva fue realizada en dos fases: en la primera, se puso relleno oscuro detrás de un muro de contención. En la siguiente, se colocaron una serie de pisos asociados a rasgos de la estructura y un muro de terraza de piedras talladas que cubría el muro de contención. El relleno oscuro de la primera fase parecía tener una fecha levemente más temprana

que los rellenos de los pisos y el muro de terraza. Sin embargo, dado que las otras estructuras de Coronitas también hacían uso de los muros de contención detrás de los muros de terraza, se cree que estos dos rasgos encontrados en 13R-5 representan una sola fase constructiva, en vez de dos. Asimismo, es posible que los rellenos utilizados para las dos fases tengan fechas levemente diferentes (claramente tienen diferentes colores y por lo tanto pudieron haber sido tomados de diferentes contextos cuando comenzó la construcción).

Esta última fase corresponde a la dedicación del Panel 1 (Monumentos 7 y 8) en 677 d.C. Esta fase ha sido nombrada UB por el dios al que le fue dedicado el templo.

Conclusiones

Las excavaciones en los templos de Coronitas fueron relativamente menores en 2012 y fueron diseñadas para confirmar y aclarar la reconstrucción cronológica presentada en el Informe 2011. Mientras que la mala conservación en la Operación CR15A no permitió realizar conclusiones concisas, excavaciones en CR15B y CR17B fueron más exitosas. Se confirmó que la fase MUK de las estructuras 13R-3 y 13R-2 fue secuencial, con 13R-3 fechada antes de 13R-2. Además, se aclararon las fases de la Estructura 13R-5. Se representaron dos fases. La primera corresponde a la fase K'INICH. Los rellenos de esta fase están fechados para 400 d.C., o antes, aunque la construcción pudo haber ocurrido después. La segunda fase constructiva (UB) fecha para 677 d.C., aunque rellenos más tempranos fueron reciclados también para esta fase.

Durante las temporadas 2010, 2011 y 2012, las excavaciones en los templos de Coronitas han permitido elaborar una cronología de construcción y uso de los cuatro templos. Esto se logró a través de la excavación de pozos y trincheras en la Estructura 13R-2, 13R-4 y 13R-5. Además, las excavaciones en las terrazas frontales de estas estructuras han revelado rasgos adicionales que fueron agregados posteriormente en la historia del sitio. Estas excavaciones, al igual que las que fueron elaboradas en 2008 y 2009, serán la base para mi tesis doctoral.

Se han definido seis períodos de uso en los templos de Coronitas. El primero de estos es la fase K'INICH y ocurre en la Estructura 13R-5. El panel jeroglífico de la fase tardía de esta edificación menciona la llegada en 314 d.C. de un individuo cuyo nombre incluye el título *k'inich*

“radiante”. La fase K’INICH contiene un entierro y el ocupante podría ser este personaje temprano de la historia de La Corona. La fase temprana del relleno de esta fase es consistente con esta hipótesis.

La siguiente fase ha sido nombrada MAM (significa “abuelo”), y es la fase más temprana en las estructuras 13R-2, 13R-4 y probablemente 13R-3. Durante este período, se construyeron una serie de plataformas tempranas no muy arriba de la roca madre. Es posible que estas plataformas contengan entierros de individuos del Clásico Temprano, pero esto aún no ha sido explorado.

El siguiente período es llamado MUK (significa “entierro”). En esta fase, se realizaron grandes episodios constructivos en las estructuras 13R-2, 13R-3 y 13R-4, aumentando la altura aproximadamente 5 m sobre el nivel de las plataformas MAM. Se recuperaron entierros de estas construcciones en la Estructura 13R-2 (Entierro 6 de La Corona) y la Estructura 13R-4 (Entierro 2 de La Corona, saqueado). Excavaciones en las terrazas posteriores indican que el primero de estos templos MUK fue la Estructura 13R-4, seguido por 13R-3 y luego 13R-2.

El siguiente episodio constructivo es llamado la fase K’UH (significa “dios”). Esta fase está fechada para el período Clásico Tardío y probablemente corresponde a un episodio constructivo en 658 d.C., donde el rey de La Corona nombró tres templos como santuarios de deidades patronales. Este evento es mencionado en el Panel 1 (Monumentos 7 y 8) y se cree que corresponde a la fase K’UH en las estructuras 13R-2, 13R-3 y 13R-4. De acuerdo a esta inscripción, esta construcción se realizó aproximadamente un mes después de la ascensión del rey. Esta prisa se refleja en la arquitectura de la fase K’UH: es extremadamente superficial en las estructuras 13R-2 y 13R-3 y más elaborada en la Estructura 13R-4, probablemente para llevar la Estructura 13R-4 a la misma altura que las otras dos. La arquitectura de la fase K’UH ni siquiera se extendió a la parte posterior del edificio, donde las terrazas de la fase MUK permanecieron expuestas.

En 677 d.C., durante el reinado de *K’inich ¿? Yook*, se agregó la fase UB a la Estructura 13R-5. El Panel 1 (Monumentos 7 y 8) corresponde a esta fase constructiva, que de manera

similar volvió la estructura en un recinto de deidad patronal, donde previamente había habido un templo funerario durante la fase K'INICH. Sin embargo, la Estructura 13R-5 permaneció mucho más pequeña que las estructuras 13R-2, 13R-3 y 13R-4.

El período final de construcción de los templos de Coronitas es llamado la fase UNEN (significa “bebé” porque es el más joven). Corresponde a una serie de rasgos tardíos que son difíciles de fechar con precisión. Estos incluyen la adición de decoraciones de estuco a la parte frontal de 13R-3; un muro o rampa que conectaba 13R-2 y 13R-3 y bloqueaba la escalinata de 13R-2; y dos muros que conectaban la parte posterior de 13R-5 con la parte posterior de 13R-4. Es difícil determinar el propósito de estos rasgos tardíos, pero no es único para estas estructuras. De hecho, se han encontrado varios muros tardíos en el Grupo 13R, probablemente correspondientes a las actividades de los últimos habitantes del sitio.

CAPÍTULO VII

OPERACIÓN CR 11D Y CR 11C: EXCAVACIONES EN LA ESTRUCTURA 13R-9, TEMPORADA 2012

María Antonieta Cajas

Introducción y antecedentes

La Estructura 13R-9 forma parte del conjunto de estructuras ubicadas al oeste del Grupo Coronitas, que se ha designado como Grupo 13R-II. Es un edificio piramidal cuya base mide 20 x 20 m y se eleva a una altura aproximada de 4 m desde su Plaza Sur. El basamento estuvo conformado por tres cuerpos de mampostería en la parte superior. A pesar de que la Estructura 13R-9 fue parcialmente destruida por saqueadores, se han encontrado varios rasgos arquitectónicos y ceremoniales en excavaciones realizadas en las temporadas 2006 a 2012. Parte de estos resultados permitieron determinar que la edificación fue construida en una sola etapa durante el Clásico Tardío, y que de acuerdo a los registros realizados, posiblemente estuvo decorada y pintada de rojo (Acuña 2007, 2009; Gómez 2010; Cajas 2012).

El lado norte de la estructura se encuentra destruido por una trinchera de saqueo en donde se encontraron asociados alrededor de 1,500 fragmentos cerámicos policromos. En varios de estos fragmentos se identificaron glifos con los nombres de algunos miembros de la élite local o quizá del reino de Calakmul (Acuña 2007: 464-465; Acuña 2009:109).

En la Fachada Sur se localizó la escalinata de acceso (Figura 7.1), en donde posterior a su construcción fue adicionada una alfarda o rampa como parte de una remodelación. Hacia el este de la misma tiene un nicho en la base del muro de la estructura (Gómez 2010:165 y 173).



Figura 7.1 Escalinata de acceso de la Estructura 13R-9, excavada en 2009 por Erika Gómez
(Foto: E. Gómez)

En el lado este, la Estructura 13R-9 está adosada a la Estructura 13R-10, que consiste en una plataforma de dos cuerpos alargada en sus ejes este-oeste, la cual mide aproximadamente 30 m de largo y 20 m de ancho. Las excavaciones llevadas a cabo en 13R-10 en 2010 y 2011 determinaron que ésta conserva una subestructura y fue construida antes que 13R-9 (Fernández 2011; Ponce y Nájera 2012; Cajas 2012). Ambas están adheridas por un corredor de 2 metros de ancho en donde se recuperó gran cantidad de cerámica utilitaria fechada también para el Clásico Tardío y otros artefactos que incluyeron fragmentos de pedernal, obsidiana y concha (Cajas 2012) (Figura 7.2).

Sin duda alguna, existieron importantes motivos por las que estas dos estructuras fueron adosadas y es posible que sus funciones hayan sido complementarias. El edificio piramidal tuvo una estrecha relación con las actividades celebradas en la Estructura 13R-10, ya que en un principio ambas tuvieron comunicación directa a través del corredor, en donde existió un acceso a uno de los cuartos de 13R-10, y que posteriormente fue cancelado por las últimas modificaciones en la estructura mencionada (Ponce y Nájera 2012).

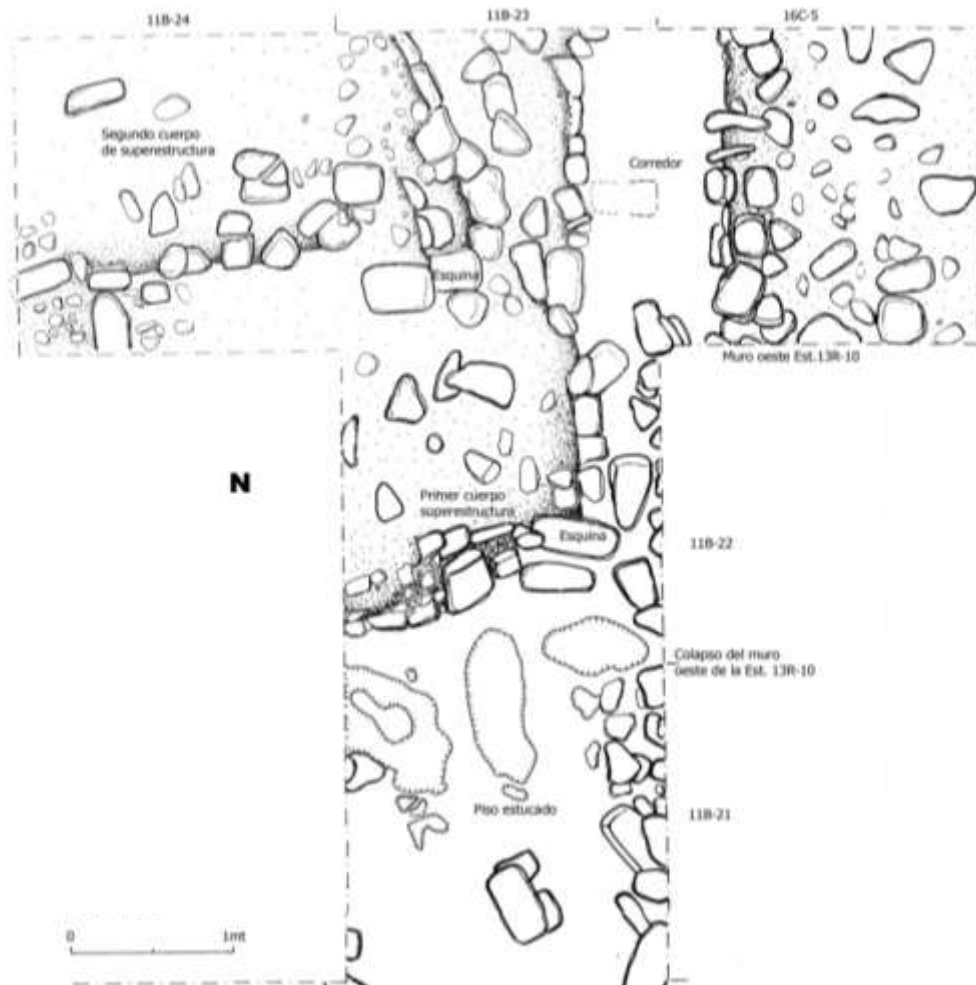


Figura 7.2 Planta de las excavaciones realizadas en la Estructura 13R-9 en 2011. Escala 1:20
(Dibujo y calco: A. Cajas)

En la superestructura de 13R-9 se encontró una ofrenda con material marino y lítico que incluyó cuatro navajas de obsidiana sin desgaste, un cuchillo bifacial de pedernal, una punta pequeña de pedernal, 83 fragmentos de mosaico de concha nácar, una vértebra de pez, un fragmento de espina de raya, cuatro piezas de coral, dos caracoles y cuatro conchas marinas, además de un vaso del Tipo Mataculebra con una banda de pseudoglífos y una cabeza del dios *K'awiil*, fechado para el Clásico Tardío. Este hallazgo evidenció la celebración de actividades rituales en la estructura (Gómez 2010: 179-183) (Figura 7.3).



Figura 7.3 Vasija, materiales marinos, y artefactos líticos encontrados que evidencian actividades ceremoniales en la Estructura 13R-9 (Foto: C. Guirola)

Excavaciones en la Temporada 2012

Originalmente, la Suboperación CR11A fue asignada a la Fachada Norte de la Estructura 13R-9, y la Suboperación CR11B a los lados sur y este respectivamente (fachada principal y corredor con 13R-10). A la parte superior del edificio se le asignó CR11C, por lo que al lado oeste le corresponde la nomenclatura CR11D. El objetivo de las excavaciones en 2012 fue ampliar los datos sobre los rasgos arquitectónicos anteriormente registrados para la Estructura 13R-9, por lo que se excavaron unidades en las Suboperaciones CR11C y CR11D.

Suboperación CR11D

La excavación realizada en 2012 consistió en una trinchera que abarcó cinco unidades en el lado oeste de la estructura, casi sobre el eje central de la misma. Las unidades fueron las siguientes: CR11D-1, CR11D-2, CR11D-3, CR11D-4 y CR11D-5. La extensión de cada pozo fue de 1 m de ancho x 2 m de largo, y se ubicaron desde la base de los cuerpos escalonados hasta el piso, en el límite oeste de la plataforma del Grupo 13R-II (Figura 7.4). Solamente se trabajaron dos niveles estratigráficos, con excepción de la Unidad CR11D-4. El primer nivel correspondió al humus y el segundo nivel fue el relleno natural que se formó a partir del abandono del sitio.

Al excavar estos dos niveles se encontró una gruesa capa de estuco, que indica que el lado oeste de 13R-9 fue completado por una rampa con desniveles en la forma de cinco cuerpos recubiertos de un estuco bastante resistente, de aproximadamente 3 cm de grosor. Debajo del estuco se encontró un relleno de barro, que permitió la nivelación del edificio y de la plataforma que eleva el grupo arquitectónico 13R-II, ya que la Estructura 13R-9 se encuentra sobre el límite oeste de la misma. En relación al material encontrado, se registró cerámica policroma, un fragmento de obsidiana, uno de concha y restos óseos de fauna local. Dentro del material cerámico se identificaron algunos fragmentos policromos con glifos.

Suboperación CR11C

Esta suboperación se definió en la parte superior de la Estructura 13R-9 y fue excavada inicialmente durante la Temporada 2009 por la arqueóloga Erika Gómez, quien realizó dos unidades en la parte superior, identificadas como CR11C-1 y CR11C-4. Durante las excavaciones realizadas en dicha temporada se encontró un depósito con materiales que dieron indicios de actividades rituales. La profundidad máxima que alcanzó la Unidad CR11C-4 en 2009 fue de 1.39 m con una extensión de 1.5 m, finalizando los registros en el Lote CR11C-4-4. En la Unidad CR11C-1 se alcanzó una profundidad máxima de 1.12 m y estuvo ubicada al oeste de CR11C-4. El escondite registrado por Gómez abarcó las dos unidades descritas (Gómez 2010).

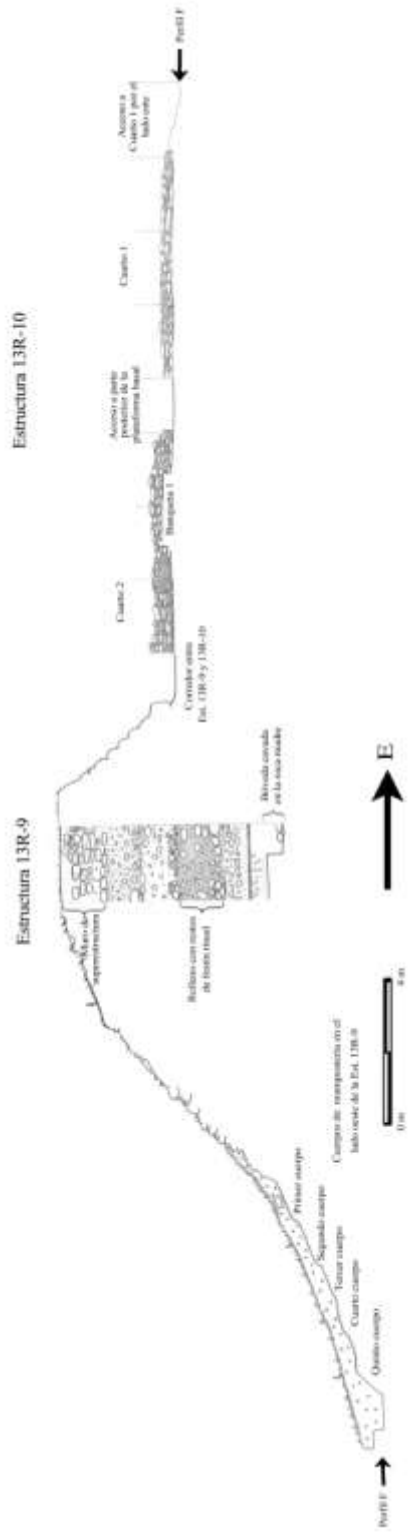


Figura 7.4 Perfil Norte de la Estructura 13R-9, con la ubicación del pozo en el centro de la superestructura y el corredor que une con la Estructura 13R-10 (Dibujo: A. Cajas y V. Orellana. Calco: A. Cajas)

En la Temporada 2012 se ampliaron las excavaciones debajo del área en donde se registró el escondite, con el objetivo de rescatar información acerca de los rasgos arquitectónicos del templo y obtener más datos sobre otras evidencias de actividades rituales previas a la construcción del edificio. Las excavaciones se identificaron con la misma nomenclatura CR11C-4 y tuvieron una extensión total de 2 x 3 m. Los lotes se iniciaron a partir del CR11C-4-5 para llevar un registro correlativo, ya que en el año 2009 se finalizó la excavación en el Lote CR11C-4-4.

Lote CR11C-4-2-5

Este lote tuvo una extensión de 2 x 1.50 m y corresponde al lado sur del muro que formó parte de la superestructura, el cual está compuesto por piedras cortadas en forma rectangular de diversos tamaños. El color del suelo fue café oscuro y el material consistió en piedras de tamaños irregulares como relleno, que finalizaron en un piso bastante delgado que fue registrado en la Temporada 2009. En relación al material, únicamente se encontraron pocos fragmentos cerámicos y tuvo una profundidad de 0 a 90 cm.

Lotes CR11C-4-2-6 y CR11C-4-2-7

Estos lotes se trabajaron de los 0.90 hasta 1.80 m de profundidad. El material de relleno es similar al que se registró en los lotes anteriores y consiste en fragmentos cerámicos, obsidiana y algunos fragmentos de huesos de fauna local.

Lote CR11C-4-2-8

Su extensión fue de 2 x 2.40 m y tuvo una profundidad de 1.80 a 2.40 m. El material de relleno cambió un poco en relación a los lotes anteriores, ya que se encontraron piedras mucho más grandes, debajo de las cuales aparecieron más restos óseos de fauna, carbón y cerámica, además de algunos fragmentos de piedras de moler reutilizadas como material de relleno.

Lote CR11C-4-3-9

De 2.40 a 3 m de profundidad se registró un cambio en el suelo del relleno, ya que su consistencia fue bastante dura y el color de tonalidades amarillas a rojizas, presentando rocas de diversos tamaños y material reutilizado como cerámica y obsidiana.

Lotes CR11C4-4-10 y CR11C4-4-11

Abarcaron una extensión de 2 x 2.40 m, y a partir de los 3 hasta 4.20 m de profundidad se registraron dos lotes. Se cambió de nivel iniciando con una capa de nivelación bastante compacta de color amarillento, que presentó un grosor máximo de 4 cm en el lado noreste de la unidad y fue mucho más delgado en el lado oeste, llegando a desaparecer en los lados sur y este. Debajo de esta nivelación, el color y consistencia del relleno cambió notablemente, ya que estaba compuesto de ceniza, abundantes partículas de carbón, y a diferencia de los lotes anteriores, se registró una mayor cantidad de restos óseos de aves y mamíferos de la región, así como abundante cerámica policroma en la que se pudo distinguir varios fragmentos con glifos. El relleno también fue mezclado con rocas de diversos tamaños, siendo la más grande de 80 x 75 cm aproximadamente.

Lote CR11C-4-5-12

Siguiendo la misma extensión de los lotes anteriores, éste se trabajó a una profundidad de 4.2 a 4.9 m, dónde apareció otro piso o relleno de nivelación compuesto por tierra amarillenta con pequeñas piedras de caliza. Tuvo un grosor máximo de 15 cm en el Perfil Norte y 6 cm en el Perfil Oeste. En el Perfil Este alcanzó un grosor máximo de 22 cm y en el Perfil Sur tuvo un grosor máximo de 4 cm, desapareciendo en la esquina suroeste. Debajo de esta nivelación, continuó el relleno compuesto por material cultural de desecho y piedras de tamaño regular, pero el suelo cambió a un color más oscuro y con una consistencia mucho más compacta. En este relleno también se encontraron varios fragmentos policromos, además de un fragmento de tapadera de cerámica café, decorada con grecas estucadas y un glifo inciso que fue pintado con un pigmento rojo, aparentemente de origen mineral, que fue aplicado posterior a la cocción de la vasija (Figura 7.5).



Figura 7.5 Fragmento de tapadera con decoración estucada e incisa (Foto: A. Cajas)

Lote CR11C-4-5-13

A partir de los 4.9 hasta 5 m profundidad, se encontró un piso de color gris bastante compacto, compuesto por piedras pequeñas. Su grosor máximo fue de 10 cm en el Perfil Oeste del pozo, reduciéndose únicamente un par de cm en los otros perfiles.

Lote CR11C4-7-14

Siguió con la misma extensión que los lotes anteriores y de 5 a 5.2 m se encontró otro relleno de color café oscuro con ausencia de rocas y materiales culturales. Fue evidente que éste fue uno de los primeros rellenos que se pusieron como cimiento de la estructura, por lo que su consistencia es bastante dura y compacta.

Lote CR11C-4-8-15

Desde 5.2 hasta 5.3 m se encontraron nivelaciones sobre la rocamadre. Se excavaron algunas partes del suelo estéril y otras partes niveladas con rellenos hechos del mismo suelo, por lo que al inicio resultó un poco confuso afirmar si se trataba de un relleno o de la rocamadre, aunque cabe resaltar que no se registró ningún material cultural.

Lote CR11C-4-5-12 (extensión)

Este lote corresponde a una extensión horizontal sobre la esquina noreste de la misma unidad de excavación y se hizo con el objetivo de buscar evidencias de actividades previas a la construcción del edificio. Sus dimensiones fueron de 80 cm x 1 m de ancho y 1 m de altura. El material encontrado en este lote corresponde al mismo contexto del Lote CR11C-5-12. Sobre el lado este de la extensión se encontraron varias piedras de caliza alineadas con orientación norte-sur.

Lote CR 11C-4-8-16

Este lote abarcó únicamente 50 x 30 cm en una profundidad de 5.5 a 5.8 m y se ubicó debajo del Lote CR11C4-5-12-ext. Corresponde a un relleno de caliza con tierra café. Se registró como un lote separado porque se encontró una vasija semicompleta y fragmentada, de forma compuesta, con un acabado de engobe rojo. Asociado a la cerámica también se registraron algunos restos óseos de fauna local.

Lotes CR11C4-8-17 y CR11C-4-9-18

El Lote CR11C4-8-17 también formó parte de la extensión hacia el noreste del pozo inicial y se ubicó debajo del eje central de la estructura. La matriz de suelo correspondió a un relleno de tierra completamente blanca, suave y de consistencia considerablemente suelta. El relleno estuvo delimitado por una fila de piedras calizas (anteriormente registradas en CR11C-4-5-12-ext) alineadas y con orientación norte-sur. Es importante resaltar que este nivel de tierra blanca se encontró separado del relleno que le antecede (Nivel 5) por espacios de 1 a 5 cm. Este pequeño vacío formó una especie de bóveda alargada en un eje norte-sur, que parecía indicar que debajo del relleno colapsó algún material perecedero.

Al remover todo el relleno de tierra blanca se encontraron varias piedras grandes de caliza y otras de regular tamaño dispuestas en forma aleatoria. Debajo del relleno blanco y de las rocas, quedó expuesto un corte hecho directamente sobre la roca caliza que sin duda fue realizado para funciones funerarias, pero se encontró totalmente vacío.

El recinto tuvo una extensión de 2.90 m de largo, 74 cm de ancho en el lado sur y 1 m de ancho en su lado norte (Figura 7.6).

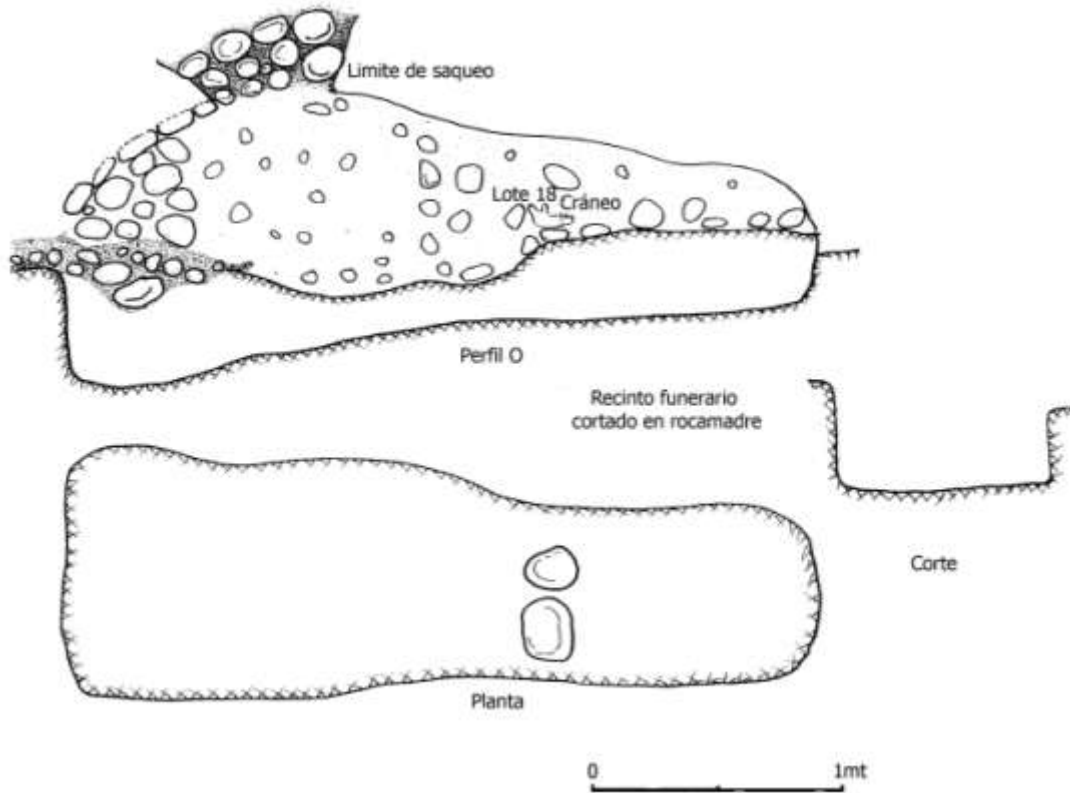


Figura 7.6 Perfil Oeste y planta del recinto funerario excavado en roca madre. Escala 1:20
(Dibujo y calco: A. Cajas)

Cabe resaltar nuevamente que en este recinto no se encontraron indicios de haber sido saqueado en ningún momento, ya que no se encontraron evidencias de material cultural dentro del mismo. Sin embargo en el Perfil Este, en el límite del recinto, se encontró un cráneo (Lote CR11C-4-9-18) con un fragmento de costilla sobre la mandíbula y algunas vértebras debajo del mismo (Figura 7.7). El cráneo estaba dentro de un relleno totalmente diferente, ya que la consistencia fue bastante dura y compacta, mezclado con pequeñas piedras de caliza que dificultaron la extracción del mismo.



Figura 7.7 Cráneo desarticulado de un individuo joven de sexo indeterminado (Foto: A. Cajas)

El cráneo fue extraído en bloque y analizado por Erin Patterson en los meses de junio a agosto de 2012 en el laboratorio. Asociado a éste se encontraron algunos restos de cerámica burda y erosionada, dos lascas de pedernal, dos fragmentos óseos de fauna y una pequeña muestra de carbón.

Al seguir excavando sobre el lado norte del recinto, se encontró el límite del saqueo realizado en la Fachada Norte, registrado por Acuña en la Temporada 2009. Este rasgo se pudo identificar claramente porque se observó un pequeño corte que se ampliaba hacia la parte superior de la estructura, y en algunos de los perfiles se identificaron huellas de piocha. Además de este rasgo, las piedras del relleno estaban completamente sueltas y se derrumbaron con facilidad. Fue evidente que el saqueo no llegó hasta el recinto que contuvo el relleno blanco mezclado con las rocas de caliza (que al norte se

encontraron mucho más grandes), y posiblemente los saqueadores creyeron haber llegado al suelo estéril, razón por la cual no continuaron la excavación.

Conclusiones de las excavaciones en 13R-9 en la Temporada 2012

En esta temporada se excavó el lado oeste de la Estructura 13R-9, el cual está conformado por una rampa con ligeros desniveles de cinco cuerpos recubiertos de estuco de aproximadamente 3 cm de grosor que lo hacen bastante resistente. Debajo del estuco se encontró un relleno de barro que permitió la nivelación del edificio y de la plataforma que eleva el Grupo 13R-II.

Las excavaciones realizadas en 2012 tuvieron una profundidad máxima de 6 m, en donde se registraron siete tipos de relleno conformados por barro, rocas, material cultural de desecho como fragmentos de metates, cerámica, obsidiana, pedernal, carbón, restos óseos y botánicos que fueron utilizados para la cimentación de la estructura (Figura 7.8). Durante su construcción evidentemente hubo varias celebraciones de gran magnitud, ya que uno de los rellenos (lotes CR11C-4-4-10 y CR11C-4-4-11) que la conforman está compuesto principalmente de ceniza, abundantes restos de cerámica policroma en los que también se identificaron algunos glifos con títulos de personajes de la élite (J. Baron comunicación personal 2012). Con el material recabado en este relleno, se determinó que la cerámica de saqueo registrada en 2006 pertenece a este mismo contexto (C. Parris com. pers. 2012). En el mismo relleno también se encontraron abundantes restos óseos de fauna local como venados, pavos, dantas, entre otros (D. Fridberg com. pers. 2012), además de carbón y algunos restos botánicos que aún están en proceso de análisis para su identificación (C. Cagnato com. pers. 2012).

Debajo de la Estructura 13R-9, en su eje central, se descubrió un recinto con funciones funerarias, excavado en la rocamadre con una orientación norte-sur. Este recinto nunca fue ocupado ya que se encontró totalmente vacío, y sin evidencias haber sido saqueado en época prehispánica o por saqueadores contemporáneos. El recinto fue cubierto con una gruesa capa de tierra blanca muy fina, de consistencia suave y suelta. Este relleno no presentó restos de ningún material cultural, ni cambios de color o

alteraciones en su composición, por lo que no hay evidencias que indiquen que pudo haber sido perturbado en algún momento.

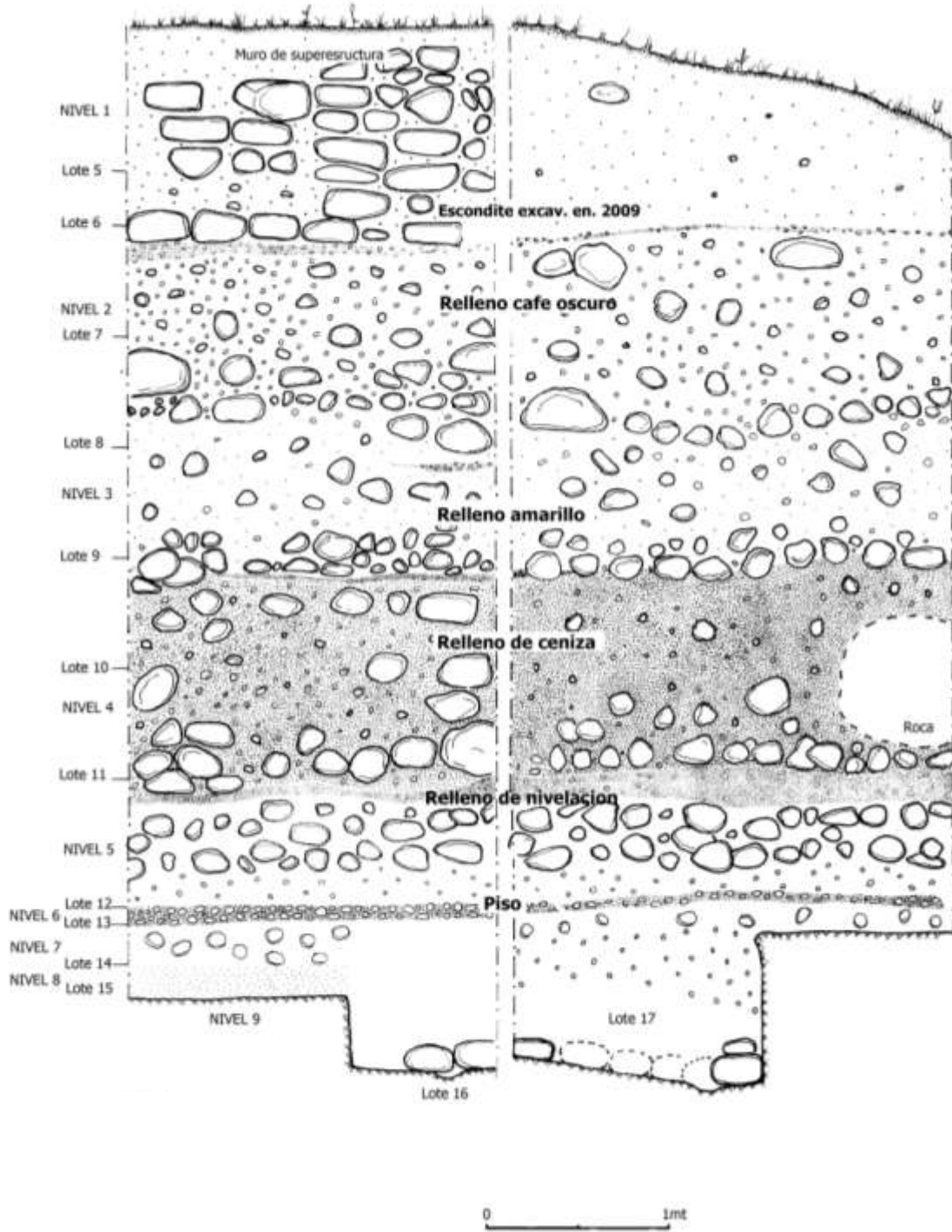


Figura 7.8 Perfil Norte y Oeste de la Unidad CR 11C-4. Escala 1:20 (Dibujo y calco: A. Cajas)

Afuera del recinto cavado en la rocamadre se encontró un cráneo fragmentado con la dentadura completa y algunas vértebras, que conforme al análisis realizado por Patterson, perteneció a una persona joven de sexo indeterminado. Sin embargo no puede argumentarse que éste haya sido el personaje a quién fue dispuesto el recinto funerario, ya que no contenía ningún artefacto u objeto asociado. Los restos óseos, además de no haber sido depositados dentro de este espacio, estaban revueltos con argamasa, un relleno bastante duro, burdo y sin ningún tipo de preparación mortuoria, ritual o ceremonial evidente. Lo que sí se puede argumentar es que estos restos fueron extraídos de otro lugar, ya que el cráneo estaba desarticulado del resto de la osamenta, y sobre el mismo se encontró un fragmento de costilla humana (ver Capítulo XVI, en este informe).

Es importante resaltar que la Estructura 13R-9 fue construida posteriormente y adosada a la Estructura 13R-10, y de acuerdo con los análisis epigráficos realizados en temporadas anteriores, ambas estructuras fueron construidas por el gobernante *Kinich ʼ Yook*, quien además realizó otras remodelaciones en todo el complejo arquitectónico. Este gobernante tomó el poder en el año 667 d.C. después de haber permanecido tres años en Calakmul (Canuto *et al.* 2012: 423).

Es importante resaltar que en la parte posterior de las estructuras 13R-9 y 13R-10, se construyó un gran patio elevado que se usó para fiestas y otras actividades rituales, evidenciadas por diversos hallazgos arqueológicos asociados a estudios epigráficos, como lo es un *chultún* reutilizado como basurero. Sin embargo, aún queda la incertidumbre referente al recinto funerario que nunca fue ocupado, debido a que en este espacio se llevaron a cabo actividades significativas en la realización de rituales para deidades patronales (Canuto *et al.* 2012: 424), ¿Para qué personaje de la élite de *Sak Nikte'* fue preparado este recinto sobre el cual se erigió un templo? y ¿Por qué razón el cuerpo de este personaje no fue inhumado en este lugar y en su ausencia únicamente depositaron un cráneo sin ningún tipo de preparación funeraria? Es posible que en un futuro se puedan tener nuevos aportes arqueológicos y epigráficos que contribuyan a resolver éstas dudas.

**OPERACIÓN CR16: EXCAVACIONES EN LA ESTRUCTURA 13R-10,
TEMPORADA 2012**

Jocelyne Ponce Stokvis

Introducción

La Estructura 13R-10 forma parte del Grupo 13R-II ubicado al noroeste del Grupo 13R-I o Coronitas, con el cual comparte la misma plaza abierta (Figura 8.1). Esta estructura se encuentra adosada por el lado este a la estructura de forma piramidal denominada 13R-9. La Estructura 13R-10 es una plataforma basal rectangular, alargada en su eje este- oeste, de aproximadamente 19 m de ancho y 30 m de largo. La estructura posee una altura de 2.70 m desde la Plaza Sur, con una orientación de aproximadamente 10 grados al noreste. La fachada principal de esta estructura, al igual que de la Estructura 13R-9, se encuentra en el lado sur donde hay tres saqueos que destruyeron gran parte de la escalinata de acceso. El Saqueo 1 es el saqueo ubicado en el lado oeste de la Fachada Sur, el Saqueo 2 se refiere al saqueo al centro de la fachada y el Saqueo 3 es el que se encuentra ubicado en la esquina este de la misma.

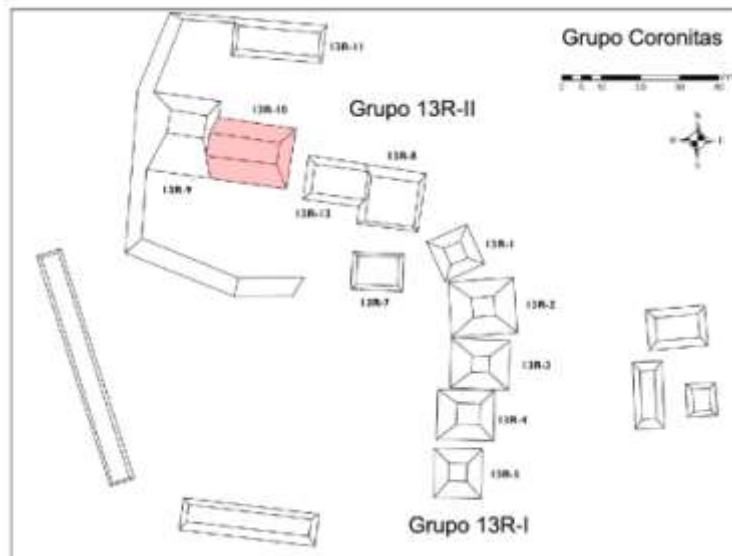


Figura 8.1 Mapa de los Grupos 13R-1 y 13R-II
(Mapa: D. Marken. Modificación: T. Barrientos)

Antecedentes

Las intervenciones arqueológicas de años anteriores en ambas estructuras han generado datos interesantes y varias interrogantes. En 2006 Mary Jane Acuña dirigió la elaboración de un pozo de sondeo ubicado entre la Estructura 13R-9 y 13R-11 como parte del programa de reconocimiento del Proyecto Arqueológico El Perú-Waka'. Este pozo dio como resultado un lote de cerámica de 651 tiestos fechados para el Clásico Tardío. Ese mismo año, el equipo de mapeo encontró un depósito de 1506 tiestos policromos en la superficie cerca de la trinchera de saqueo de la Estructura 13R-9. Algunos poseían glifos de nombres de personajes de la elite local (Acuña 2007).

En 2008, Mary Jane Acuña dirigió la limpieza de la trinchera de saqueo de la Estructura 13R-9 con el objetivo de determinar la procedencia de la cerámica descubierta en la superficie en 2006. Las excavaciones dieron como resultado más cerámica perteneciente al Clásico Tardío, indicando que la edificación posiblemente fue construida durante esta época (Acuña 2009). Posteriormente, en 2009 Érika Gómez coordinó las excavaciones en la Estructura 13R-9 que se concentraron en la Fachada Sur de la estructura y la plaza frente a ésta. Se descubrieron diversos rasgos arquitectónicos y un escondite con una ofrenda con material marino y lítico en la superestructura (Gómez 2010).

En 2010 Enrique Fernández realizó excavaciones en la Estructura 13R-10 que se concentraron en las fachadas Norte y Sur de la estructura. Se logró identificar una posible entrada al sur, mientras que en el lado norte se identificó un muro estucado que marca el borde de la plataforma basal de la estructura, un depósito de cerámica en la base del muro y un *chultún* de 2.53 m de profundidad que fue utilizado como basurero (Fernández 2011). Las excavaciones de la Temporada 2011 por parte de la autora se concentraron en identificar rasgos arquitectónicos de la parte superior de la Estructura 13R-10. Camilo Nájera excavó parte de la Fachada Sur de la edificación y Antonieta Cajas investigó la unión de las estructuras 13R-9 y 13R-10 tratando de encontrar evidencia del tipo de actividad que se realizaba en este conjunto arquitectónico (Cajas 2012; Ponce y Nájera 2012).

Como resultado de la Temporada 2011 se definió la esquina sureste de la Estructura 13R-9 y en la Estructura 13R-10 se identificaron tres habitaciones delimitadas por muros en la parte superior de la estructura, tres cuerpos de mampostería en el lado oeste de la fachada principal y el corredor que separaba ambas estructuras. El hallazgo de dos bloques con glifos (Bloques 9 y 10 de la E.J.A; Monumentos Saqueados 61 y 62) en el escombros de saqueo en la Fachada Sur de la Estructura 13R-10 demostró que esta estructura poseía una escalinata jeroglífica, confirmando la importancia de esta estructura para la elite local y posibles vínculos con la dinastía real. Asimismo, se encontraron numerosos y diversos materiales culturales que son indicios de que el conjunto fue un área de actividad importante durante el período Clásico Tardío (Cajas 2012; Ponce y Nájera 2012).

Las excavaciones de la Temporada 2012 se concentraron en la identificación e investigación de la Escalinata Jeroglífica 2 de La Corona en la Fachada Sur de la Estructura 13R-10. También se continuó con la identificación de rasgos arquitectónicos en la parte superior de la estructura tomando como referencia las excavaciones realizadas en la Temporada 2011. Para ello se realizaron un total de 33 unidades de excavación. La mayoría de éstas fueron de 2 x 2 m, aunque algunas fueron de dimensiones variables dependiendo de los objetivos específicos de cada unidad. Las excavaciones en la Plaza Sur comenzaron con la limpieza y remoción del escombros de saqueo, que dio como resultado el descubrimiento de bloques con glifos descartados por los saqueadores, los cuales pertenecieron a los escalones originales de acceso (Bloques 11 a 19 de la E.J.A; Monumentos Saqueados 63-71). Sin embargo lo más relevante fue el hallazgo del primer escalón completo, al cual, como se verá más adelante, se le ha denominado Escalinata Jeroglífica 2. Las unidades en la Plaza Sur se trazaron en dirección este-oeste a partir del descubrimiento de dos primeros bloques *in situ* de la Escalinata Jeroglífica 2. Posteriormente se trazaron otras unidades con el objetivo de obtener más información relacionada con este rasgo. Para las excavaciones en la parte superior de la estructura se tomó como referencia las unidades de la Temporada 2011 y se excavó hacia el lado este con el objetivo de descubrir la continuación de los muros Norte, Central y Sur; los Cuartos 1 y 3 (ver Ponce y Nájera 2012) y el límite este de la Estructura 13R-10 (Figuras 8.2, 8.3 y 8.4).

La mayoría de excavaciones fueron horizontales y los lotes utilizados en todas las unidades fueron culturales. Se continuó con la nomenclatura utilizada en las temporadas 2010 y 2011, por lo que la Suboperación 16A se ubicó en la Plaza y Fachada Sur y la Suboperación 16C en la parte superior de la estructura.

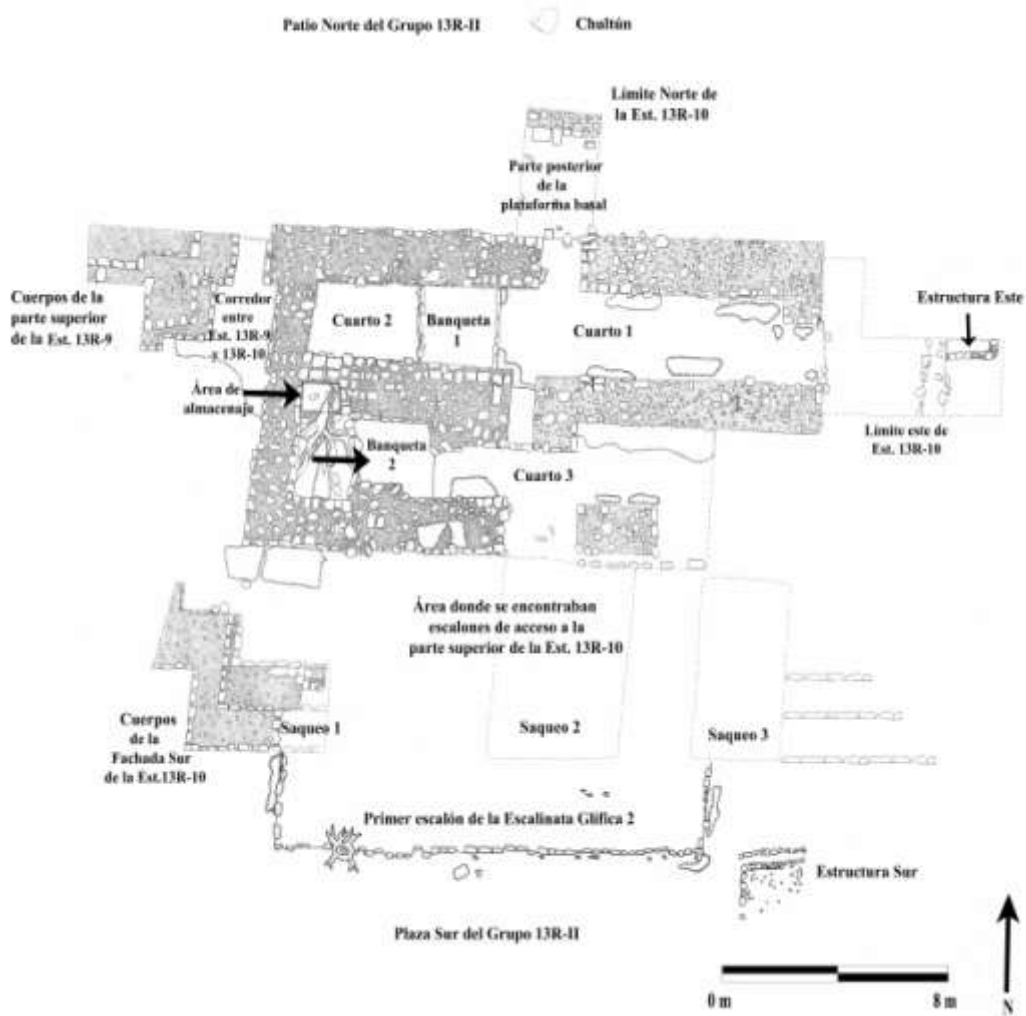


Figura 8.2 Planta de excavación mostrando rasgos descubiertos en las temporadas 2010, 2011 y 2012 (Dibujo: V. Orellana y M. Lamoureux-St. Hilaire. Calco: J. Ponce)



Figura 8.3 Planta de excavación mostrando perfiles dibujados
(Dibujo: V. Orellana y M. Lamoureux-St. Hilaire. Calco: J. Ponce)

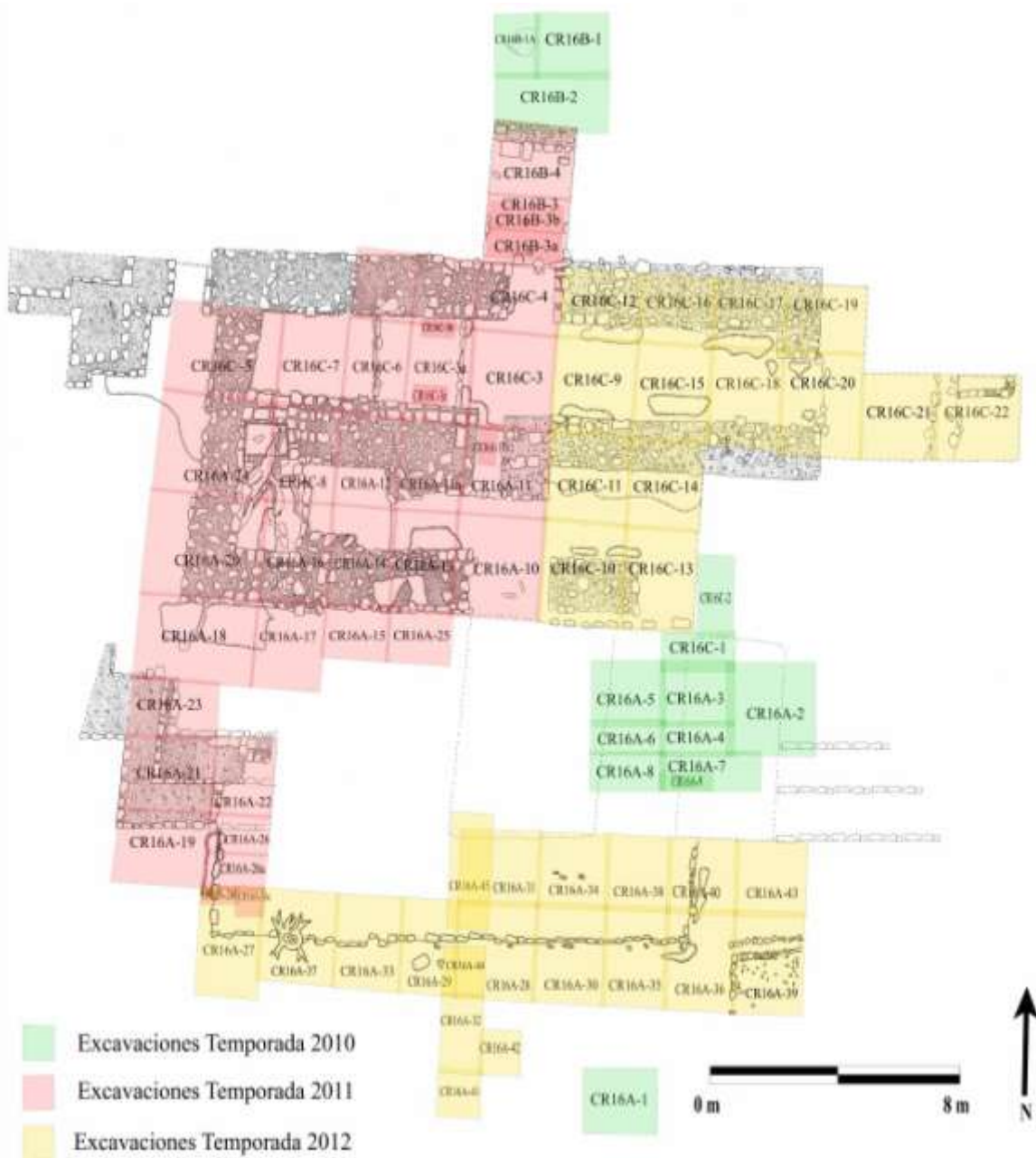


Figura 8.4 Planta de excavación mostrando ubicación de unidades (Dibujo: J. Ponce)

Suboperación A: Excavaciones de la Escalinata Jeroglífica 2 y Plaza Sur

Las excavaciones en la Fachada Sur de la Estructura 13R-10 agruparon un total de 23 unidades: CR16A-27, CR16A-28, CR16A-29, CR16A-30, CR16A-31, CR16A-32, CR16A-33, CR16A-34, CR16A-35, CR16A-36, CR16A-37, CR16A-38, CR16A-39, CR16A-40, CR16A-41, CR16A-42, CR16A-43, CR1A-44 y CR16A-45, al igual que las unidades CR16A-26, 26a, 26b y 26c excavadas en 2011. Todas estas fueron de 2 x 2 m, a excepción de CR16A-26 y CR16A-26a de 2 m de ancho x 1 m de largo; CR16A-26b de 80 x 50 cm; CR16A-26c de 1.40 x 1 m; CR16A-27 de 2 x 3 m; CR16A-32 de 1 x 2 m; CR16A-41, CR16A-42 y CR16A-44 de 1 x 1m y CR16A-45 de 1 x 3 m.

Como parte de las excavaciones se identificaron 11 lotes y 8 niveles de excavación. El primer lote constó de humus acumulado desde la época del saqueo, posiblemente de la década de 1970 hasta el momento; el segundo lote fue escombros de saqueo; el tercero, humus antiguo acumulado previo al saqueo; el cuarto lote, tierra café mezclada con material de escombros; el quinto, la superficie de estuco sobre la escalinata y el sexto lote, relleno de escalinata que consta de tierra café mezclada con piedras de diferentes tamaños. El Lote 7 se definió con el piso de estuco de la plaza de aproximadamente 3 cm de grosor; el Lote 8 fue el relleno debajo del piso de estuco, que consta de tierra café oscura compacta mezclada con piedras de diferentes tamaños; el Lote 9 fue un relleno blanco de piedra caliza muy duro, mezclado con arena; el Lote 10 fue arena amarillenta suelta y finalmente el Lote 11 fue un relleno compacto de arena amarilla clara mezclada con piedra caliza, que se encontró sobre la roca madre.

Bloques jeroglíficos saqueados asociados a la Estructura 13R-10

El escombros de saqueo que se encontraba en los alrededores de la Fachada Sur de la estructura era proveniente principalmente del Saqueo 2. La remoción y limpieza de éste dio como resultado gran cantidad de material cultural incluyendo fragmentos de cerámica, pedernal, obsidiana y figurillas, entre otros. Asimismo, se lograron recuperar varios bloques sin contexto que formaban parte de la escalinata original de la estructura (Bloques 11 a 19 de la E.J.A; Monumentos Saqueados 63-71), que por la forma y estilo de los bloques con glifos identificados, se han definido como parte del Conjunto A (que constituye una escalinata

hipotética A), ya que esta escalinata fue totalmente destruida por los saqueadores (ver Capítulo IX de este Informe). A cada bloque se le asignó dos diferentes nomenclaturas. La primera es una numeración específica para el contexto arqueológico de la Escalinata Jeroglífica 2, donde a los bloques encontrados *in situ* se les asignó un número del 1 a 13 (Bloque [#] de la E.J.2), y a los que fueron recuperados en la limpieza del saqueo se les asignó un número correlativo del Conjunto A, suponiendo que formaban parte de una Escalinata Jeroglífica Hipotética A (Bloque [#] de la E.J.A). La segunda nomenclatura es un número correlativo de monumentos de La Corona (Monumento [#] o Monumento Saqueado [#]).

En el escombros de saqueo se identificaron dos tipos diferentes de bloques que eran pertenecientes a estos escalones de acceso: 1) bloques lisos y 2) bloques del Conjunto A. Se encontraron aproximadamente 100 bloques lisos hechos de piedra caliza de buena calidad. La mayoría de éstos son rectangulares y miden aproximadamente 40 cm de largo x 30 cm de ancho x 20 cm de grosor. También se encontraron algunos cuadrados de aproximadamente 20 cm de largo x 20 cm de ancho x 20 cm de grosor y otros de ambas formas y tamaños pero de piedra porosa y quebradiza (Figura 8.7).

Asimismo, se recuperaron nueve bloques tallados con glifos del Conjunto A denominados Bloques 11 a 19 de la Escalinata Jeroglífica A (Monumentos Saqueados 63-71) respectivamente (Figuras 8.5 y 8.6). Éstos fueron descartados por los saqueadores, posiblemente por estar erosionados o en mal estado de conservación. Se encontraron en la plaza frente a la Estructura 13R-10, concentrados principalmente en el área entre el Saqueo 1 y Saqueo 2, lo que sugiere que los saqueadores los lanzaron en esta dirección. Basado en la cantidad de bloques recuperados en la limpieza de la tierra de saqueo, se calcula que había siete escalones hasta la parte superior de la estructura. Cada escalón pudo medir de 6 a 8 m de ancho en el eje central de la estructura y albergaba unos veinte bloques cada uno. De acuerdo a los estudios de David Stuart, se ha calculado que cada escalón superior pudo tener cinco bloques con glifos, haciendo un total mínimo de 30 bloques con glifos para la escalinata del Conjunto A.

Se cree entonces que todos los bloques del Conjunto A pertenecían originalmente a la Estructura 13R-10, ya que el escombros de saqueo solamente contenía de este tipo. Además, esta escalinata pudo corresponder a la escalinata original del edificio, la cual fue colocada durante el gobierno de *K'inich ¿? Yook*, hijo de *Chakaw Nahb Chan* y quinto gobernante de la línea dinástica de La Corona, el cual gobernó entre 667 y 689 d.C. y se casó con una princesa de Calakmul en 679 d.C. (Canuto *et al.* 2012: 423).



Bloque 11 de la E.J. A



Bloque 12 de la E.J. A



Bloque 13 de la E.J. A



Bloque 14 de la E.J. A



Bloque 15 de la E.J. A

Figura 8.5 Bloques 11 a 15 de la Escalinata Jeroglífica A
(Fotos: C. Guirola)



Bloque 16 de la E.J. A



Bloque 17 de la E.J. A



Bloque 18 de la E.J. A



Bloque 19 de la E.J. A

Figura 8.6 Bloques 16 a 19 de la Escalinata Jeroglífica A
(Fotos: C. Guirola)



Figura 8.7 Bloques lisos encontrados en el escombro de saqueo pertenecientes a la Escalinata Jeroglífica A
(Foto: J. Ponce)

Escalinata Jeroglífica 2

Al remover más escombros de saqueo se encontraron dos bloques en posición vertical, lo que sugería que se encontraban *in situ*. Esto fue confirmado al excavarlos en su totalidad y encontrarlos sobre el piso de plaza, por lo que las excavaciones se extendieron hacia el este y oeste respectivamente, y dieron como resultado el hallazgo del primer escalón completo de la Escalinata Jeroglífica 2. Como se explicará más adelante, se le denominó así debido a que es de un contexto más tardío que la Escalinata Jeroglífica A, por lo que se hizo una distinción entre ambas. El primer escalón se encontró en los pozos CR16A-27, CR16A-28, CR16A-29, CR16A-30, CR16A-33, CR16A-35, CR16A-36 y CR16A-37. El escalón posee una longitud total de 14 m (E-O) y un ancho de 3 m (N-S). La primera grada tenía un total de 46 bloques de piedra: diez al centro tallados con glifos y personajes, 17 lisos a ambos lados y uno tallado con glifos en cada extremo. Los dos bloques tallados, ubicados en los extremos de la grada se encontraron colocados de cabeza. Los bloques se encontraron como parte del Nivel 2 y Lote 4 de excavación, con una distancia promedio de 4 cm entre cada uno (Tabla 9.1).

En los bloques encontrados *in situ* se lograron identificar seis tipos diferentes: 1) bloques lisos; 2) bloques de cuatro columnas y tres filas (12 glifos) pertenecientes al Conjunto A; 3) bloques con glifos arreglados en forma de “L” con cuatro filas y tres columnas (10 glifos) pertenecientes al Conjunto B; 4) un bloque con siete filas y ocho columnas de glifos con un total de 56 glifos; 5) bloques con personajes tallados y textos a su alrededor (Conjuntos C y D), y 6) un bloque con dos columnas de cuatro glifos cada una (8 glifos) perteneciente al Conjunto B (ver Capítulo IX de este Informe). En este punto es importante mencionar que por varias razones, se cree que los bloques encontrados como parte del primer escalón no pertenecían allí originalmente, sino fueron traídos de otras estructuras por los antiguos pobladores de La Corona después de 750 d.C. Esta interpretación ha sido evidenciada por la presencia de los distintos tipos y la manera en la que se encuentran arreglados, ya que no hay un patrón específico. Como ya se mencionó anteriormente, los bloques del Tipo 2 pertenecían originalmente a la Escalinata Jeroglífica A, lo que sugiere que fueron tomados de los escalones de acceso y reposicionados en el primer escalón como parte de un contexto tardío (Figuras 8.8, 8.9 y 8.10).



Figura 8.8 Panorámica del primer escalón de la Escalinata Jeroglífica 2 (Foto: C. Guirrola)

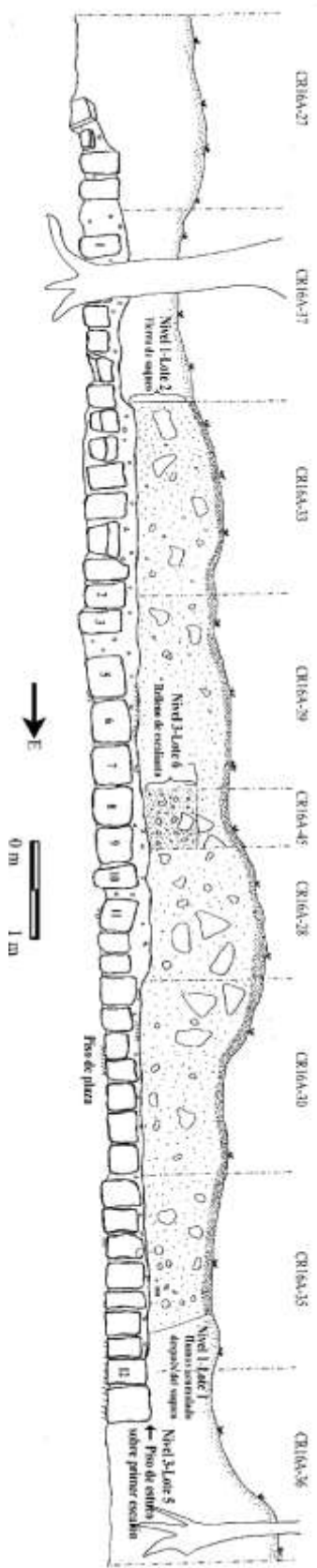


Figura 8.9 Primer escalón de la Escalinata Jeroglífica 2 (Dibujos y calco: J. Ponce)



Figura 8.10 Bloques tallados con glifos y personajes al centro del primer escalón de la Escalinata Jeroglífica 2 (Fotos: C. Guirola y J. Ponce)

Por otro lado, los bloques de los tipos 3 y 6 fueron parte de otra escalinata. Las dimensiones de éstos sugieren que pudieron haber sido extraídos de la escalinata principal de la Estructura 13Q-2 en la Plaza Principal, ya que las excavaciones llevadas a cabo en este edificio en 2012 revelaron una fila de bloques lisos de dimensiones similares con espacios faltantes (ver Capítulo V de este Informe). A continuación se describe la secuencia de oeste a este y cada uno de los bloques tallados del primer escalón en mayor detalle:

De oeste a este, se encontraron cinco bloques lisos, seguido por el primer bloque con glifos denominado Bloque 1 de la E.J.2 (Monumento 70) con glifos arreglados en forma de “L” y colocado de cabeza por los antiguos pobladores (Figura 8.11). No fue posible fotografiarlo de frente debido a que se encontró detrás de la raíz de un árbol. Esto fue seguido de 11 bloques lisos hacia el este hasta el segundo bloque tallado que fue denominado Bloque 2 de la E.J.2 (Monumento 72) y posee un personaje tallado, por lo que pertenece a la quinta categoría de bloques descrita anteriormente (Figura 8.12). El bloque se encuentra en buen estado de conservación, aunque los glifos están erosionados. El

personaje es de sexo masculino, se encuentra de pie, viendo hacia su derecha (oeste) y como parte del atuendo elaborado porta joyas, sandalias, rodilleras, pectoral y tocado. Tiene la mano derecha sobre el pecho y en la izquierda posee lo que parece ser un escudo redondo. Junto a su boca se encuentra lo que parece ser una voluta de habla o de aliento. Los pies están abiertos hacia ambos lados, con su pie derecho hacia el oeste y el izquierdo hacia el este. En la esquina inferior derecha, junto a los pies del personaje, se encuentra un incensario que pareciera tener forma de la efigie de *Chaak* con volutas de humo saliendo de la parte superior del mismo. El personaje está enmarcado en el bloque y posee cinco glifos erosionados en forma de “L” en el lado izquierdo y una columna de seis glifos en el lado derecho.

Inmediatamente después se encontró el Bloque 3 de la E.J.2 (Monumento 73) en el lado este, el cual también posee un personaje tallado, por lo que pertenece a la quinta categoría de bloques. Se encuentra en buen estado de conservación, aunque los glifos están un poco erosionados. El personaje posiblemente es de sexo femenino y se encuentra sentada sobre ambas piernas extendidas hacia su lado izquierdo (este), con la mirada hacia la esquina inferior izquierda. Uno de sus pies es visible y como parte del atuendo porta una especie de vestido o túnica, un pectoral o joyería en el pecho, un tocado y con ambas manos sostiene lo que parece ser un abanico. La mujer se encuentra sentada sobre un registro toponímico con lo que pareciera ser un venado o un perro enmarcado en un rectángulo (J. Baron comunicación personal 2012). El animal se encuentra de perfil, apuntando hacia la izquierda (oeste) con sus extremidades extendidas como si estuviera caminando o corriendo. En la esquina inferior izquierda se encuentra lo que parece ser una enana representada de perfil viendo hacia el oeste (S. Guenter com. pers. 2012). La escena está enmarcada dentro del bloque con cinco glifos en forma de “L” en el lado izquierdo y una columna de cinco glifos en el lado derecho (Figura 8.12).



Figura 8.11 Bloque 1 de la Escalinata Jeroglífica 2 *in situ* (izquierda) y después de haber sido extraído (derecha)
(Fotos: J. Ponce y C. Guirola)



Figura 8.12 Bloques 2 y 3 de la Escalinata Jeroglífica 2 *in situ* (Foto: J. Baron)

Posteriormente, se encontró un espacio de 30 cm de ancho donde debía encontrarse el Bloque 4 de la E.J.2 (Monumento 68). Sin embargo, éste se encontró caído sobre la plaza, con el texto expuesto, 50 cm al sur de la escalinata y se asume que este espacio pudo haber sido su lugar original (Figura 8.13). Los glifos están arreglados en forma de “L”, por lo que pertenece al tercer tipo identificado de bloques. Al este se halló el Bloque 5 de la E.J.2 (Monumento 74) con siete filas y ocho columnas de glifos con un total de 56 glifos, por lo que pertenece al cuarto tipo de bloques y es el único perteneciente a esta categoría. Gran parte de la esquina superior izquierda está erosionada, por lo que solamente son visibles aproximadamente 42 glifos del bloque (Figura 8.14).



Figura 8.13 Bloque 4 de la Escalinata Jeroglífica 2 *in situ* (izquierda) y después de haber sido extraído (derecha) (Fotos: J. Ponce y C. Guirola)

Luego se descubrió el Bloque 6 de la E.J.2 (Monumento 75) que posee un personaje tallado, por lo que pertenece a la quinta categoría de bloques. El personaje es de sexo masculino y se encuentra sentado de frente con las piernas cruzadas sobre un trono o banca que tiene dos soportes y un respaldo con una almohada o cojín. El personaje posee el brazo derecho sobre sus piernas y el izquierdo extendido hacia la esquina inferior izquierda. Se encuentra inclinado hacia su derecha (oeste) viéndose en un espejo colocado sobre el trono (J. Baron com. pers. 2012). En la esquina inferior izquierda, se encuentran lo que parecen

ser tres bultos de tributo rectangulares amarrados, con decoraciones o plumas en la parte superior. Solamente el detalle del primer bulto es visible, ya que los otros se encuentran detrás de éste. Como parte del atuendo, el personaje porta un tocado, pectoral, cinturón, taparrabos y pulseras.

Los soportes tienen un glifo cada uno y el cuerpo de la banca tiene tres glifos, con cinco glifos en total. Sin embargo, solamente son visibles tres debido a que uno está tapado por el vestuario del personaje y el otro por tres objetos ovalados amarrados que podrían ser otro tributo. En el lado izquierdo del bloque se encuentran ocho glifos enmarcados arreglados en forma de “L” y en el lado derecho hay una banda vertical con cinco glifos, pero solamente son visibles los últimos dos. La parte superior del bloque se encuentra erosionada y todos los elementos están enmarcados dentro del bloque (Figura 8.14).



Figura 8.14 Bloques 5 y 6 de la Escalinata Jeroglífica 2 *in situ* (Fotos: J. Baron)

El Bloque 7 de la E.J.2 (Monumento 76) fue encontrado al este y también posee un personaje tallado, por lo que pertenece a la quinta categoría (Figura 8.16). El personaje es de sexo masculino y se encuentra representado de perfil, sentado con las piernas cruzadas y viendo hacia el frente (este). En la mano derecha porta lo que parece ser una manopla y tiene la mano izquierda levantada a nivel de su rostro con el dedo índice apuntando hacia arriba. Como parte de su vestimenta tiene un cinturón con elementos de “X” y lo que parece ser la efigie de una deidad en la parte trasera del cinturón en su espalda. También porta un pectoral, un taparrabos, aretes y pulseras en ambas muñecas. La parte superior del bloque se encuentra totalmente erosionada, por lo que no es visible aproximadamente el 40 por ciento del mismo. Sin embargo, la parte del bloque que sí es visible se encuentra en muy buen estado de conservación, lo que permite apreciar los detalles. El personaje se encuentra enmarcado junto con cuatro glifos visibles en el lado derecho y seis en el lado izquierdo. La firma del escultor se encuentra incisa al fondo de la escena, al lado izquierdo del personaje.

Encima de este bloque se encontró el Bloque 13 de la E.J.2 (Monumento 67; Bloque 22 de la E.J.A) que posee 12 glifos, por lo que pertenece a la segunda categoría de tipo de bloques (Conjunto A). El texto se encontró en la parte expuesta y por la forma en que fue encontrado pareciera que se hubiera resbalado de un escalón hipotético B superior. Esto confirma la presencia de bloques con glifos en las gradas originales de acceso. Al remover este bloque fue posible descubrir el Bloque 7 de la E.J.2 (Monumento 76) (Figura 8.15).



Figura 8.15 Bloque 13 de la Escalinata Jeroglífica 2 *in situ* (izquierda) y después de haber sido extraído (derecha) (Fotos: J. Ponce y C. Guirola)

Al este del Bloque 7 de la E.J.2 (Monumento 76) se encontró el Bloque 8 de la E.J.2 (Monumento 77) que también posee un personaje tallado de sexo masculino, representado de frente, sentado con las piernas cruzadas, apoyado en su mano derecha y el cuerpo inclinado levemente viendo hacia esa dirección (oeste) (Figura 8.16). En la mano izquierda lleva una manopla. Esto último y la vestimenta son muy similares al del personaje del Bloque 7 de la E.J.2 (Monumento 76), ya que porta un pectoral, un cinturón con la misma efigie, aretes, pulseras en ambas muñecas y un tocado de *Chaak*. A ambos lados posee cinco cartuchos de glifos arreglados en forma de “L” y el estado de conservación es muy bueno, lo que permite apreciar los detalles. La firma del escultor se encuentra incisa al fondo de la escena al lado derecho del personaje.



Figura 8.16 Bloques 7 y 8 de la Escalinata Jeroglífica 2 *in situ* (Fotos: J. Baron)

Al este se halló el Bloque 9 de la E.J.2 (Monumento 65; Bloque 20 de la E.J.A) que posee doce glifos, por lo que pertenece a la segunda categoría de bloques. Le siguió el Bloque 10 de la E.J.2 (Monumento 69) con glifos arreglados en forma de “L” por lo que corresponde al tercer tipo y al Conjunto B. Luego el Bloque 11 de la E.J.2 (Monumento 66; Bloque 21 de la E.J.A) con un total de 12 glifos y perteneciente al Conjunto A (Figura 8.17). Estos últimos bloques se encontraron en muy buen estado de conservación.



Figura 8.17 Bloques 9,10 y 11 de la Escalinata Jeroglífica 2 *in situ*
(Fotos: J. Baron y J. Ponce)

Al este se encontraron 16 bloques lisos y el último que se encontró tallado en el extremo oeste de la escalinata fue el Bloque 12 de la E.J.2 (Monumento 71) con ocho glifos, por lo que pertenece al sexto tipo de bloques descrito anteriormente y es el único de esta categoría (Figura 8.18). Al igual que el Bloque 1 de la E.J.2 (Monumento 70) en el

extremo este, fue colocado de cabeza por los antiguos pobladores. Este bloque en particular no fue terminado de tallar, ya que solamente posee esculpido el contorno de los glifos e inciso el detalle de los mismos. Por último, se encontró un bloque liso en la esquina este de la escalinata.



Figura 8.18 Bloque 12 de la Escalinata Jeroglífica 2 *in situ* (izquierda) y después de haber sido extraído (derecha) (Fotos: J. Ponce y C. Guirola)

Ambos laterales del primer escalón de la escalinata miden 3 m (N-S). El lateral oeste se encontró en las unidades CR16A-26, CR16A-26a, CR16A-26c y CR16A-27, mientras que el lateral este se encontró en las unidades CR16A-36 y CR16A-40. El primer bloque hallado de sur a norte en ambos laterales fue un bloque liso del mismo estilo de los que fueron encontrados en la fachada de la escalinata, mientras que los demás bloques que conformaban los laterales son similares a los utilizados para la fachada del muro del basamento, de aproximadamente 30 cm de largo x 20 cm de ancho en el lateral oeste y 30 x 12 cm en el lateral este. Sin embargo, al unirse con el muro del primer cuerpo del basamento de la estructura, el último bloque de sur a norte en el lateral este es un bloque liso del mismo tipo de los que conformaban la fachada de la escalinata. Éste parecía que

podría haber sido el inicio de un segundo escalón. Sin embargo, no fue posible comprobarlo debido a los daños provocados por el saqueo (Figura 8.19).

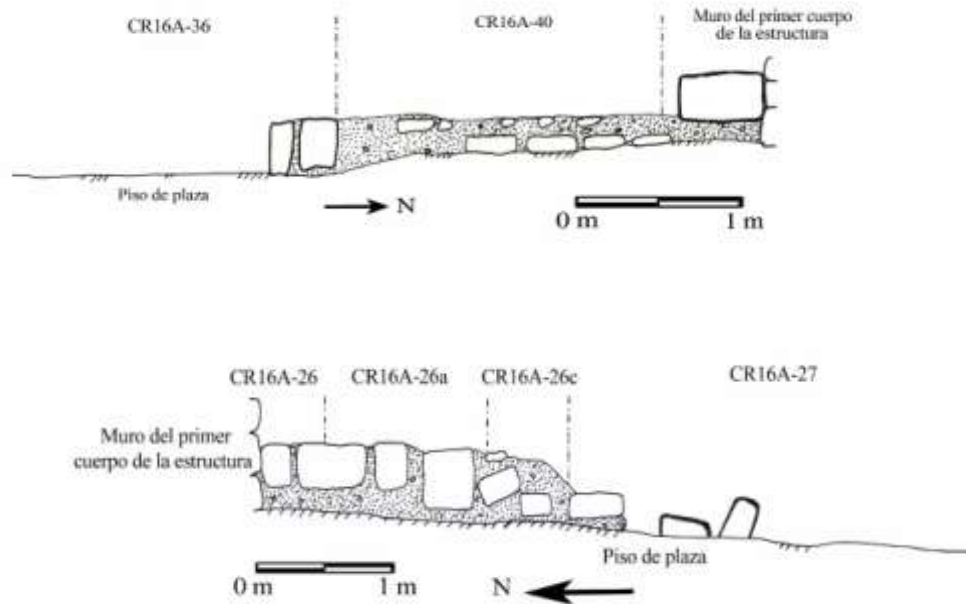


Figura 8.19 Lateral Este (arriba) y Oeste (abajo) del primer escalón de la Escalinata Jeroglífica 2 (Dibujos y calcos: J. Ponce)

Para conocer más acerca del fechamiento y estratigrafía del primer escalón se trazó una trinchera en el eje central de la estructura, denominada CR16A-45 y ubicada 20 cm al norte de los Bloques 7, 8 y 9 de la E.J.2 (Monumentos 76, 77 y 65) (Figura 8.20). Primero se identificó el escombros de saqueo (Nivel 1, Lote 2); luego la superficie de estuco sobre la escalinata (Nivel 3, Lote 5); después el relleno de la escalinata (Nivel 3, Lote 6) y por último el piso de estuco de la plaza (Nivel 4, Lote 7). Se descubrió que el piso de estuco se encuentra cortado, ya que se encontró 1 m al norte de los bloques del primer escalón y abarca solamente 1.10 m de norte a sur y todo el ancho del pozo. En las unidades CR16A-26, CR16A-26a y CR16A-26b al igual que en la trinchera, el piso de estuco se encuentra cortado (Figura 8.21). Éste se encontró 1.40 m al norte de los bloques y abarca 1 m de norte a sur y 50 cm de este a oeste. Se cree que el piso fue parte de la construcción original del basamento de la escalinata y que fue modificado cuando se colocó la Escalinata Jeroglífica 2.

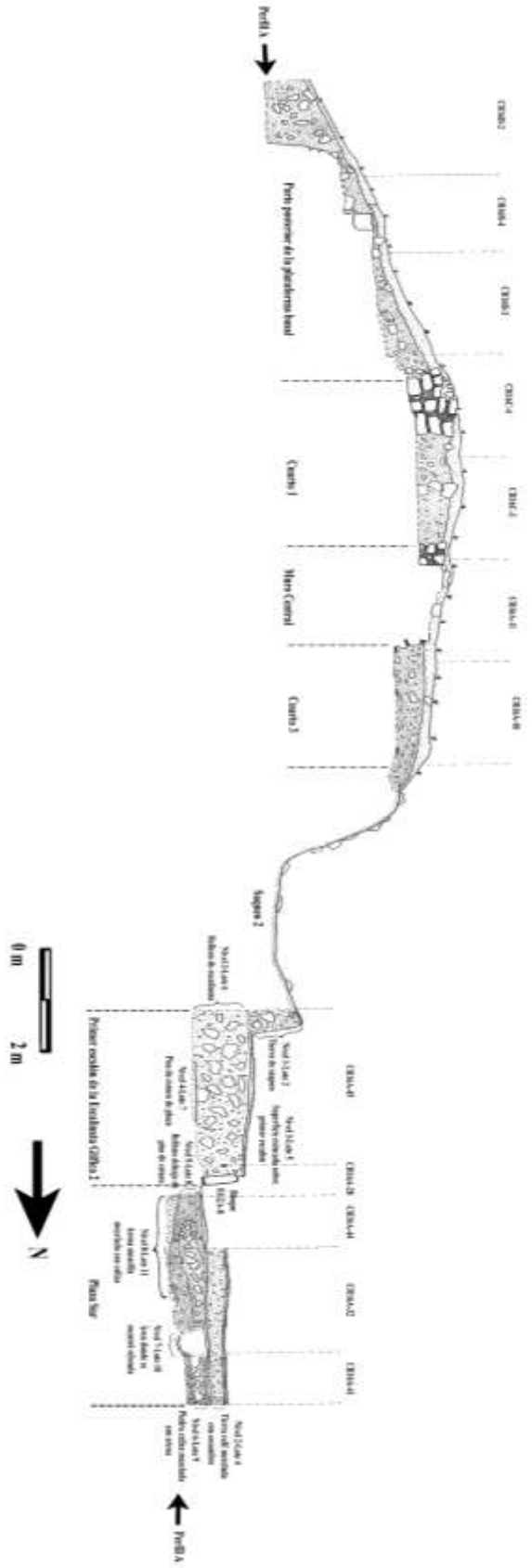


Figura 8.20 Perfil Este de la Estructura 13R-10 mostrando rasgos en la parte superior de la estructura y estratigrafía de trinchera en la Plaza Sur (Perfil A)
 (Dibujo: V. Orellana, M. Lamoureux y J. Ponce. Calco: J. Ponce)



Figura 8.21 Piso de plaza cortado debajo de relleno del primer escalón en CR16A-45 (izquierda) y CR16A-26a-c (derecha) (Fotos: J. Ponce)

En ambos laterales y en la estratigrafía de la trinchera se pudo observar que la construcción del primer escalón fue contemporánea con la construcción del basamento de la estructura. El hecho que solamente el primer bloque liso en cada extremo sea del mismo estilo que los de la fachada, es otro indicio que desmantelaron la fachada original del primer escalón y colocaron bloques nuevos. Además, es importante resaltar que la recolocación de piezas posiblemente no requirió de mucho esfuerzo. Por otro lado, es importante mencionar que el piso de plaza asociado a ambos laterales se encontró en muy buen estado de conservación. En el extremo este, en la Unidad CR16A-40, se encontraron dos nivelaciones sobre el piso de plaza: el primero fue de color amarillento y el segundo de color grisáceo. Sin embargo, no se sabe si esta fue una nivelación original o si fue hecha por los últimos habitantes (Figura 8.22).



Figura 8.22 Nivelaciones del piso de plaza en el extremo este del primer escalón de la Escalinata Jeroglífica 2. Unidad CR16A-40 (Foto: J. Ponce)

En la parte superior del primer escalón se encontraron restos de una superficie estucada que forma parte del Nivel 3/Lote 5 de excavación. Esto indica que posiblemente funcionaba como un descanso antes de las gradas de acceso. Este rasgo se descubrió en las unidades CR16A-31, CR16A-34, CR16A-38 y parte de CR16A-40. Al remover el escombros de saqueo en la Unidad CR16A-31 y pocos centímetros al este del eje central de la estructura, se encontró un monumento boca abajo, de forma redonda, de 73.5 cm de largo x 72.5 cm de ancho (Figura 8.23). Al darle vuelta, se encontró que fue cortado por motosierra por los saqueadores. Por su forma y medidas, es posible que este monumento sean los restos del Panel 6 (Monumento Saqueado 6), que actualmente se encuentra en el Museo de Dallas en Texas, por lo que ahora se conoce su ubicación original en La Corona. Este panel provee información importante de la relación de los gobernantes de La Corona con princesas de la dinastía Kaan durante el período Clásico Tardío. Este monumento fue dedicado por el gobernante *Yajawte K'inich*, hijo de *K'inich ¿? Yook* y séptimo gobernante de la línea dinástica de La Corona, cuyo gobierno se dio entre 700 y 745 d.C. El gobierno de *Yajawte' Kinich* se ha interpretado como una época política estable para La Corona, ya que desposó a una tercera princesa de la dinastía Kaan llamada *Ti' Kaan Ajaw*, hija del

gobernante de Calakmul *Yuknoom Took' K'awiil* (Canuto *et al.* 2012: 429). A 1.93 m al oeste del resto del monumento, sobre el primer escalón en la Unidad CR16A-34, se encontró un monumento liso de forma rectangular, de 90 cm de largo x 60 cm de ancho x 20 cm de grosor que posiblemente era una estela lisa (Figura 8.24). Ambos monumentos probablemente estaban colocados sobre el primer escalón, aunque no es posible conocer su ubicación original debido a la destrucción ocasionada por los saqueadores.



Figura 8.23 Panel 6 (Monumento Saqueado 6) (izquierda) y restos del Panel 6 dejado por los saqueadores (derecha) (Fuente: www.DallasMuseumofArt.org Foto: J. Ponce)



Figura 8.24 Posible estela lisa encontrada sobre el primer escalón (Foto: J. Ponce)

Ofrenda dedicatoria en la Plaza Sur

Para obtener más información relacionada a la Escalinata Jeroglífica 2 y para confirmar que este era el primer escalón, se trazaron los pozos CR16A-44 y CR16A-32 al sur de los Bloques 7, 8 y 9 de la E.J.2 (Monumentos 76, 77 y 65) para unirse con las excavaciones de la trinchera de la Unidad CR16A-45. En ambas unidades se identificaron seis niveles y siete lotes de excavación: el Nivel 2/Lote 3 que constó del humus antiguo previo al saqueo; Nivel 2/ Lote 4 que consistió de tierra café mezclada con escombros; Nivel 4/Lote 7 que constó del piso de plaza de estuco frente a la escalinata en mal estado de conservación; el Nivel 5/Lote 8 que consistió del relleno debajo del piso de estuco y consta de tierra café oscura compacta mezclada con piedras de diferentes tamaños; Nivel 6/Lote 9 que constó de un relleno blanco de piedra caliza muy duro y el Nivel 8/Lote 11 que consistió de un relleno de arena amarilla mezclada con caliza, muy compacto (Figura 8.20).

En el área sur del pozo CR16A-32 (debajo del piso de estuco) se encontró un relleno de arena amarilla, casi blanca, bastante suelta que fue identificado como el Nivel 7/Lote 10 de excavación. Como parte de este relleno se encontró una ofrenda de materiales misceláneos que incluye seis fragmentos de pirita, 42 fragmentos de jade, 53 fragmentos de obsidiana, cuatro fragmentos de hematita, 13 fragmentos de pedernal, un fragmento de piedra caliza tallada, tres fragmentos de hueso pulido, tres fragmentos y una cuenta de concha *Spondylus*, una vértebra de pez, un fragmento de cuenta de piedra no identificada y 56 fragmentos de concha marina (Figura 8.25). La ofrenda fue encontrada en un área delimitada por el relleno blanco compacto del Lote 9 y mezclada con la arena del Lote 10, por lo que se tuvo que cernir este relleno para obtener el material. Asimismo, se realizaron ampliaciones al sur y este denominadas CR16A-41 y CR16A-42 respectivamente, con el objetivo de investigar si continuaba el área de la ofrenda. Sin embargo, la ofrenda se encontró delimitada en un espacio de aproximadamente 40 cm² en la Unidad CR16A-32.

Algunos de los materiales, incluyendo 20 de los fragmentos de jade, los fragmentos de pirita y algunos fragmentos de concha parecen haber sido parte de un mosaico por la forma en la que se encuentran tallados. Sin embargo, el pedernal encontrado y parte de la

obsidiana consiste solamente en restos de talla, aunque se lograron identificar al menos cinco navajas prismáticas fragmentadas provenientes de la fuente de El Chayal. Asimismo, como parte de los fragmentos de concha se encontraron varios tallados con diferentes formas, incluyendo algunos rectangulares y uno con forma del glifo *Kin*. También se recuperó el esqueleto tallado de un caracol y otros fragmentos que parecen ser restos de talla. Esta ofrenda probablemente fue colocada con fines dedicatorios antes de la construcción de la Estructura 13R-10, ya que se encontró justo en el eje central de la misma debajo del piso de plaza, 2.90 m al sur de la Escalinata Jeroglífica 2. Sin embargo, resulta interesante que hayan incluido tanta diversidad de material junto con los restos de talla y posiblemente existió algún simbolismo asociado.



Figura 8.25 Ofrenda de materiales misceláneos encontrada bajo el piso de plaza (Foto: J. Ponce)

Muros de estructuras residenciales

En excavaciones realizadas sobre la Plaza Sur se encontraron los restos de dos estructuras tardías, posiblemente residenciales (Figura 8.26). Los basamentos de estos muros se encontraron en las unidades CR16A-36, CR16A-39 y CR16A-43, en el lado este de la Plaza Sur, a aproximadamente 1.20 m del límite este del primer escalón de la Escalinata Jeroglífica 2. En contraste con la Estructura 13R-10, estos basamentos están orientados hacia el noroeste, lo que sugiere que son de un contexto más tardío. Se logró identificar el Muro Norte y Oeste, al igual que una posible entrada en el Muro Oeste y un piso empedrado. Asimismo, se encontró otro alineamiento de piedras paralelo con el Muro Norte que forma un pequeño canal de aproximadamente 20 cm de ancho cuya función es desconocida. Se encontró gran cantidad de material asociado a este basamento, incluyendo cerámica utilitaria, fragmentos de obsidiana, pedernal, huesos de fauna y figurillas.

El otro muro de función residencial se encontró en la Unidad CR16C-22, ubicado en el área entre las estructuras 13R-10 y 13R-12. Posee una alineación este-oeste y fue adosado al muro original del basamento en el lado este de la Estructura 13R-10, por lo que es evidente que reutilizaron el muro de la estructura. Este muro estaba asociado a diversos materiales similares a los que fueron encontrados en la parte superior de la estructura, indicando que posiblemente el mismo grupo que estaba viviendo en la plaza utilizó la parte superior de la estructura para diversas actividades. Por la alta calidad de los materiales encontrados se cree que los últimos habitantes pertenecieron a la elite de La Corona a finales del período Clásico. En este punto es importante mencionar que la presencia de cerámica Naranja Fino asociada a estos basamentos y a los cuartos de la parte superior de la Estructura 13R-10 define una ocupación tardía fechada para después de 830 d.C., que pudo ser la responsable la construcción de las viviendas sobre la plaza y de la colocación de bloques traídos de otras estructuras en el primer escalón.



Figura 8.26 Basamentos de muros en la Plaza Sur (izquierda) y Plaza Este (derecha)
(Fotos: J. Ponce)

Suboperación C: Excavaciones en la parte superior de la Estructura 13R-10

Las excavaciones en la parte superior de la Estructura 13R-10 agruparon 14 unidades de 2 x 2 m: CR16C-10, CR16C-11, CR16C-12, CR16C-13, CR16C-14, CR16C-15, CR16C-16, CR16C-17, CR16C-18, CR16C-19, CR16C-20, CR16C-21, CR16C-22 y CR16C-9, esta última excavada en la Temporada 2011. Al igual que en 2011 se presentaron tres lotes de excavación: el primer lote constó de humus suelto con raíces, el segundo de tierra café mezclada con escombros de construcción y se le asignó un tercer lote a un depósito de pedernal, huesos quemados y carbón encontrado sobre el piso de estuco dentro de la edificación. A continuación se describe cada uno de los rasgos encontrados en mayor detalle (Figuras 8.27 y 8.28).

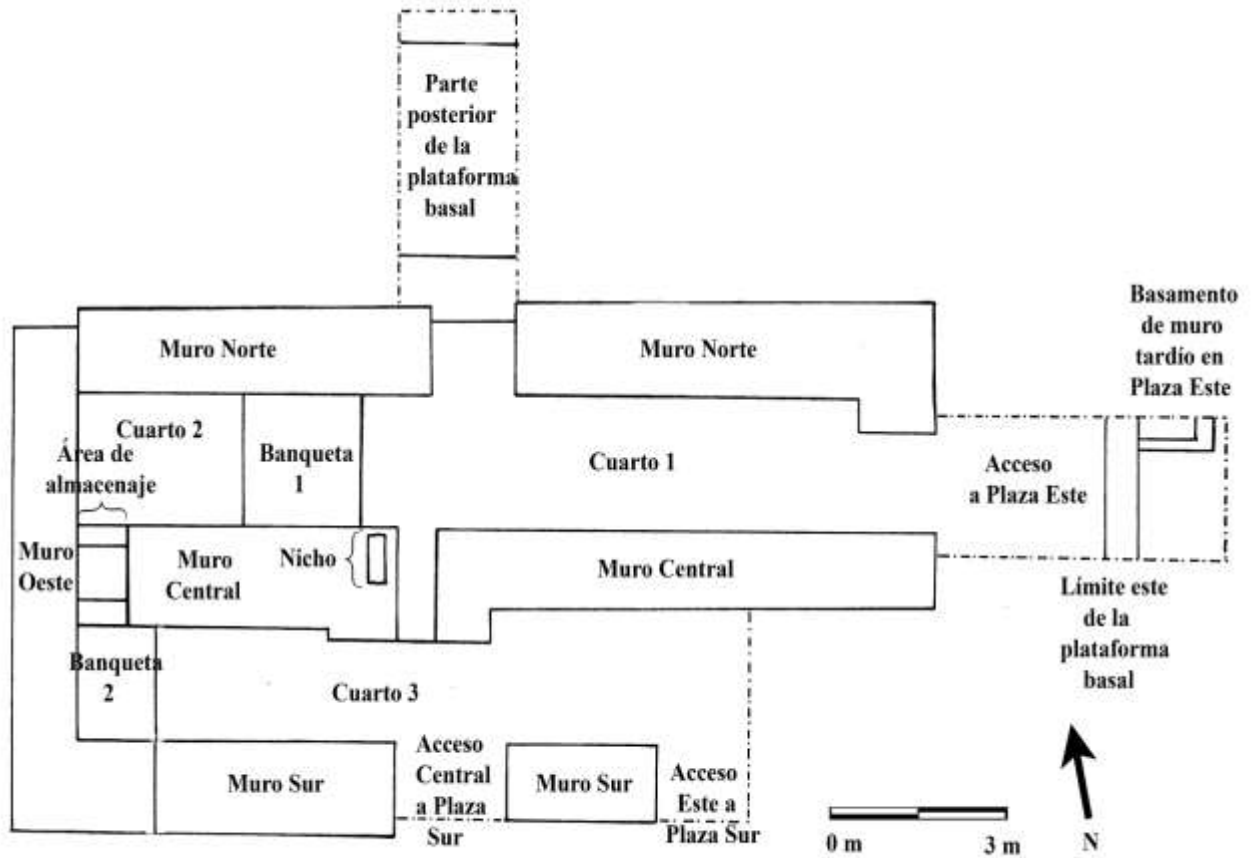


Figura 8.27 Esquema de rasgos descubiertos en la parte superior de la Estructura 13R-10 en las temporadas 2011 y 2012 (Dibujo y calco: J. Ponce)

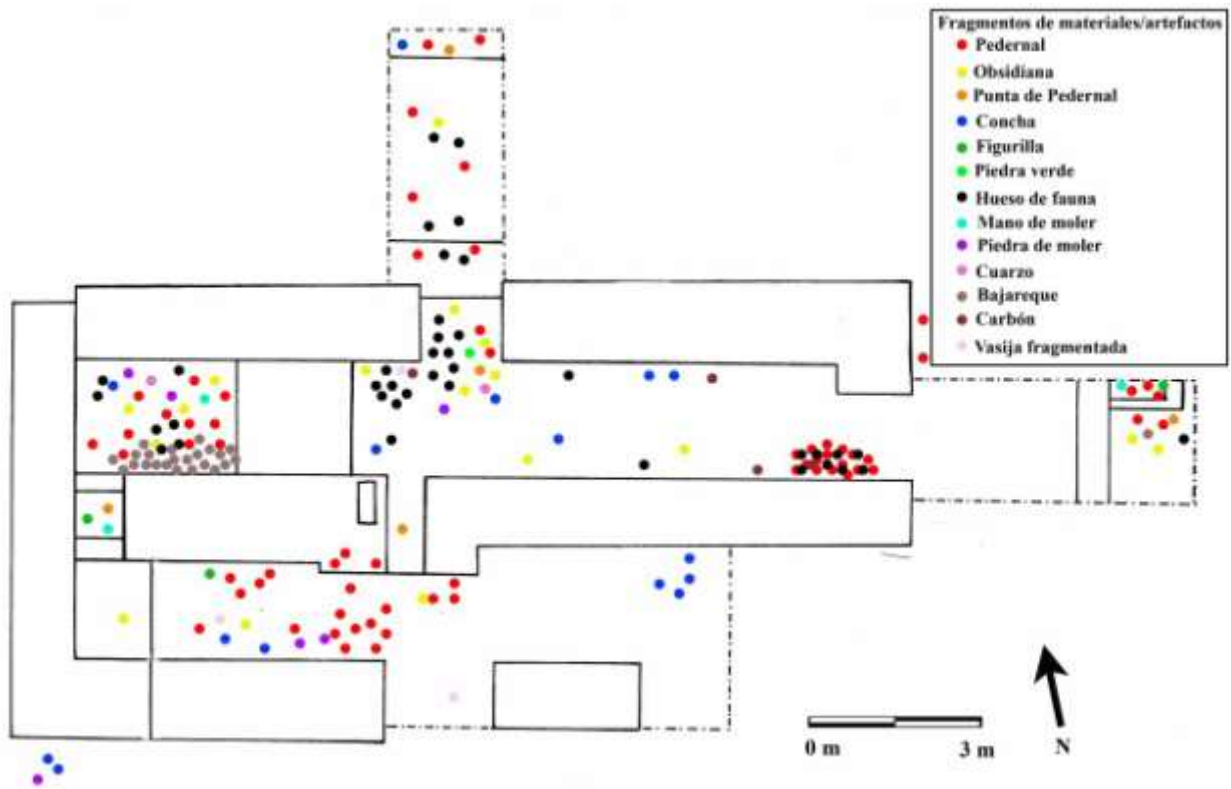


Figura 8.28 Esquema de distribución de artefactos encontrados en el Nivel 2 en la parte superior de la Estructura 13R-10 (Dibujo y calco: J. Ponce)

Muro Norte

Este basamento de muro posee un eje este-oeste y limita los Cuartos 1 y 2 por el lado norte. Fue encontrado en las unidades CR16C-5, CR16B-5, CR16C-4a y CR16C-4 excavadas en 2011 y CR16C-12, CR16C-16, CR16C-17 y CR16C-19 excavadas en 2012. El muro está dividido en dos por un acceso de 1.40 m de ancho hacia el Patio Norte. En total, abarca 14.3 m en un eje este-oeste. La parte encontrada en 2011 mide 7.5 m de largo (E-O) x 1.30 m de ancho (N-S), mientras que la que fue encontrada esta temporada, al lado este del acceso, tiene forma de “L” y mide 6.8 m de largo (E-O) x 1.4 m de ancho (N-S). Su parte más ancha, alineada en un eje norte-sur, mide 2 m de largo (N-S) x 1.10 m de ancho (E-O). El muro tiene tres hileras y una altura de aproximadamente 50 cm desde el Piso de Estuco 1 identificado en 2011. Tomando en cuenta la cantidad de piedras encontradas en el escombro que pertenecían a este muro, posiblemente no fue muy alto y poseía aproximadamente seis hileras (Figura 8.29).

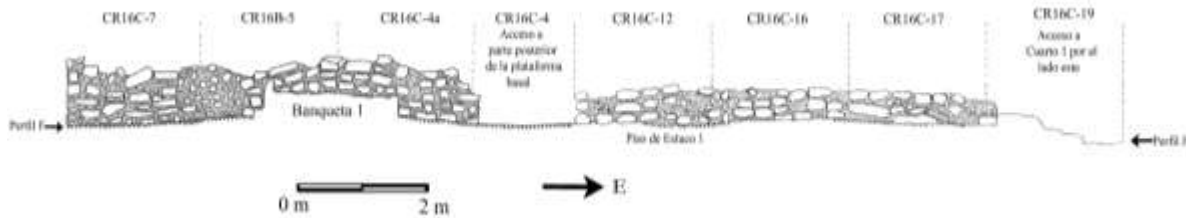


Figura 8.29 Elevación Sur de Muro Norte (Perfil F)
(Dibujo: V. Orellana y A. Cajas. Calco: J. Ponce)

Muro Central

Este muro posee un eje este-oeste y limita los Cuartos 1 y 2 por el lado sur y el Cuarto 3 por el lado norte. Se encontró en las unidades CR16C-7, CR16C-8, CR16C-6, CR16A-12, CR16C-3a, CR16C-3c, CR16A-11a, CR16A-11 y CR16C-3 excavadas en 2011 y CR16C-9, CR16C-11, CR16C-15, CR16C-14, CR16C-18 y CR16C-20 excavadas en 2012. El muro está dividido en dos por un acceso de 0.51 m de ancho que conecta el Cuarto 3 con el Cuarto 1 y abarca un total de 13.8 m en un eje este-oeste. Cada una de las dos partes posee forma de “L” y la parte más ancha de ambas es la que delimita el acceso. La parte encontrada en 2011 mide 5.6 m de largo (E-O) y 1.5 m de ancho (N-S), incluyendo un área de almacenaje adosada por el lado oeste (ver Ponce y Nájera 2012). En su parte más ancha, alineada en un eje norte-sur, mide 2.20 m de largo (N-S) x 2.10 m de ancho (E-O). La parte del muro excavada esta temporada mide 8.20 m (E-O) x 1.10 m (N-S). En su parte más ancha mide 1.80 m de largo (N-S) x 1.30 m de ancho (E-O). El muro posee una altura de aproximadamente 50 cm desde el Piso de Estuco 2 identificado en 2011, posee cuatro hileras y tomando en cuenta la cantidad de piedras encontradas en el escombro que pertenecían a este muro, posiblemente poseía ocho hileras (Figuras 8.30 y 8.31).

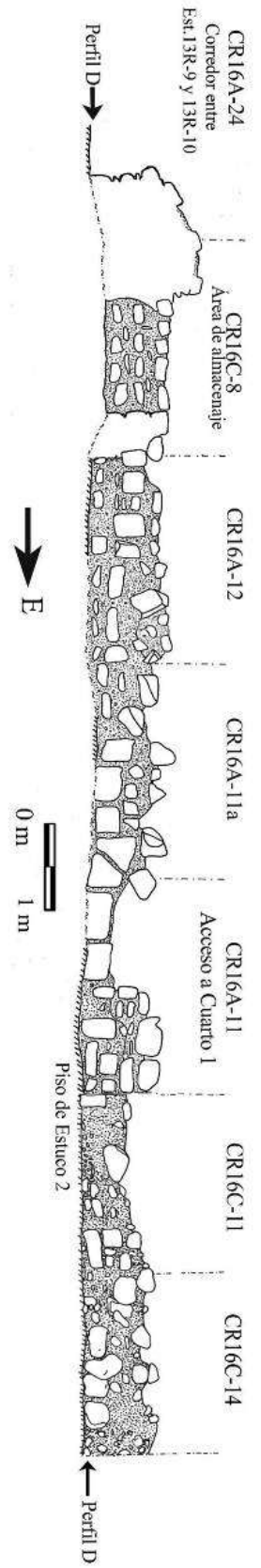


Figura 8.30 Elevación Sur de Muro Central (Perfil D)
 (Dibujo V. Orellana y A. Cajas, Calco: J. Ponce)

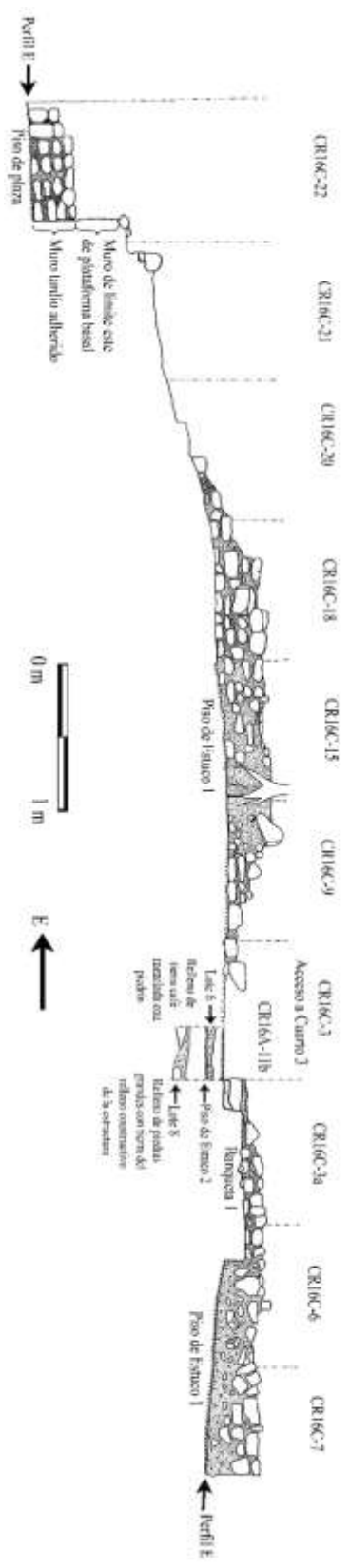


Figura 8.31 Elevación Norte de Muro Central (Perfil E)
 (Dibujo V. Orellana y A. Cajas, Calco: J. Ponce)

Muro Sur

Este basamento de muro posee un eje este-oeste y se encontró en las unidades CR16A-13, CR16A-14, CR16A-15, CR16A-25 y CR16A-10 excavadas en 2011 y CR16C-10 y CR16C-13 excavadas en 2012. Este muro formaba parte de la fachada principal de la estructura, limitaba el Cuarto 3 por el lado sur y fue una adición tardía, posiblemente como parte de una serie de remodelaciones para hacer la parte superior de la estructura un área más privada. Sin embargo, este aspecto será explicado en detalle más adelante.

El muro está dividido en dos por un acceso de 1.9 m de ancho hacia la Plaza Sur denominado Acceso Central y abarca un total de 6.4 m en un eje este-oeste. La parte encontrada en 2011 mide 4.2 m de largo (E-O) y 1.4 m de ancho (N-S), mientras que la que fue encontrada en esta temporada mide 2.2 m de largo (E-O) y 1.10 m de ancho (N-S). Al lado este de la segunda parte del muro se encontró otro acceso hacia la Plaza Sur denominado Acceso Este, de 1.3 m de ancho. Sin embargo, las dimensiones exactas de este acceso no se conocen debido a que no se continuaron las excavaciones hacia el lado este. El muro posee una altura de aproximadamente 50 cm desde el Piso de Estuco 2 identificado en 2011, posee cuatro hileras y tomando en cuenta la cantidad de piedras encontradas en el escombros que pertenecían a este muro, posiblemente tenía originalmente cinco hileras, siendo éste el muro más pequeño y a la vez más bajo de la estructura (Figura 8.32 y 8.33).

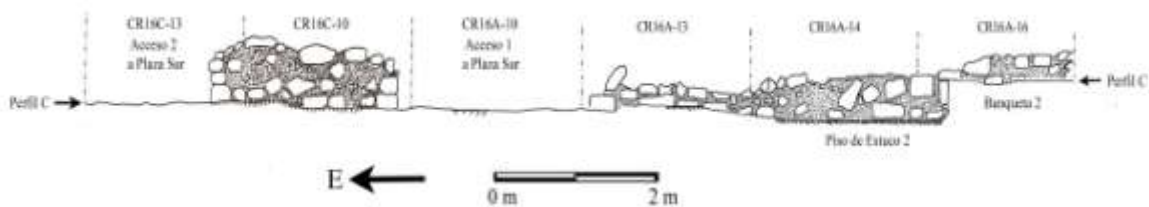


Figura 8.32 Elevación Norte de Muro Sur (Perfil C) (Dibujo: V. Orellana y A. Cajas. Calco: J. Ponce)

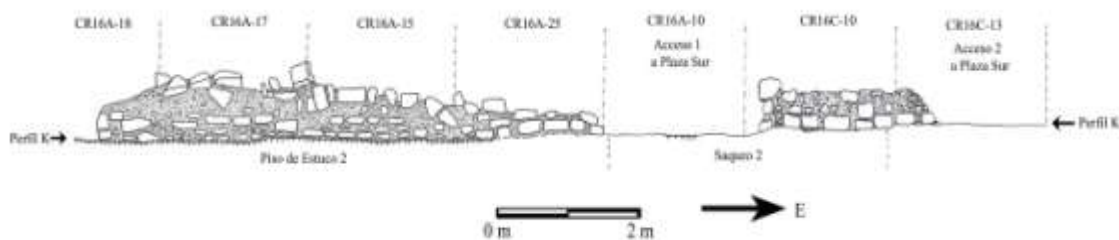


Figura 8.33 Elevación Sur de Muro Sur (Perfil K) (Dibujo: V. Orellana y J. Ponce. Calco: J. Ponce)

Cuarto 1

Este cuarto se encontró en parte de las unidades CR16C-3, CR16C-3a, CR16C-4, CR16C-4a y CR16C-9 excavadas en 2011 y CR16C-12, CR16C-15, CR16C-16, CR16C-17, CR16C-18, CR16C-19 y CR16C-20 excavadas esta temporada. Mide 9.3 m de largo (E-O) y 2.20 m de ancho (N-S). Está delimitado al norte por el Muro Norte, al sur por el Muro Central y al oeste por la Banqueta 1 (ver Ponce y Nájera 2012). Posee tres accesos, uno que lleva hacia al Patio Norte, otro que conecta con el Cuarto 3 (ya descritos anteriormente) y uno que lleva hacia el lado este de la plaza, en el área que separa las estructuras 13R-10 y 13R-12, denominado Acceso Este y será descrito en detalle más adelante.

Dentro del cuarto se encontraron diversos artefactos y destaca un depósito de restos de lascas de pedernal asociado a huesos de fauna quemados y carbón, en un área de 20 x 20 cm (Figura 8.34). Esto se encontró sobre el Piso de Estuco 1, cerca del Acceso Este, al pie del Muro Central. Las lascas encontradas son producto de haber expuesto el pedernal al fuego (C. Parris com. pers. 2012). Asimismo, se encontró lo que parece ser un fragmento de cerámica tallado en forma de malacate, pero no fue terminado (Figura 8.35). Los artefactos encontrados en este cuarto durante esta temporada incluyeron fragmentos de pedernal, carbón, huesos de fauna, concha y obsidiana. No se encontró un patrón en cuanto a la distribución de los artefactos, aunque la mayoría se encontraron durante la Temporada 2011 concentrados en el acceso hacia el Patio Norte (Figura 8.36). La mayoría de cerámica también se encontró en esta área, indicando una posible diferencia funcional y mayor actividad en este sector en comparación al resto del cuarto. No se sabe la función específica que tuvo este cuarto durante la última ocupación. Sin embargo, por la diversidad de artefactos se cree que posiblemente funcionó para diversas actividades relacionadas a la preparación de artefactos.



Figura 8.34 Depósito de fragmentos de pedernal, huesos quemados y carbón *in situ* (izquierda) y fragmentos de pedernal provenientes del depósito (derecha) (Fotos: J. Ponce)



Figura 8.35 Fragmento de cerámica tallado en forma de malacate (Foto: J. Ponce)

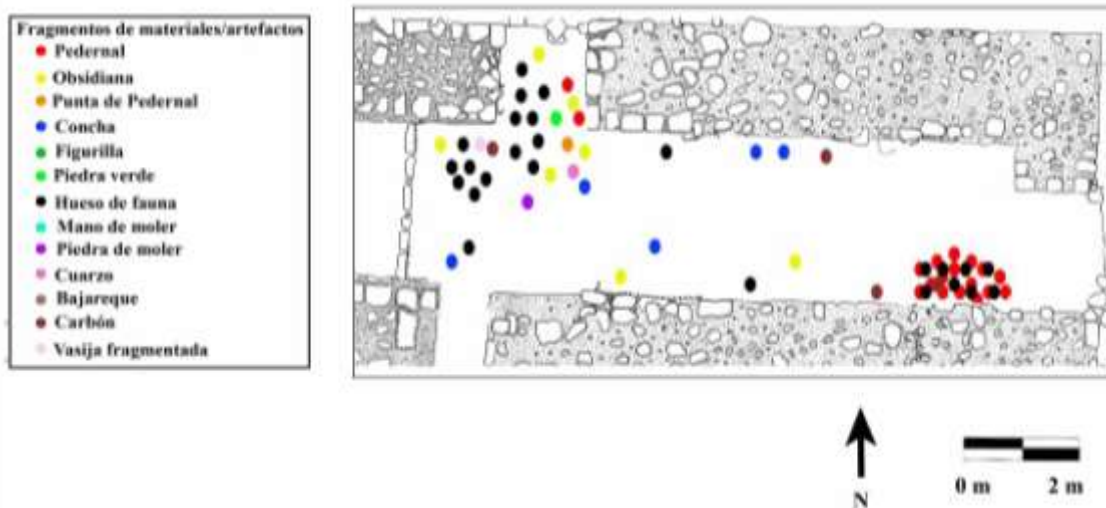


Figura 8.36 Esquema de distribución de artefactos en el Cuarto 1 (Dibujo: J. Ponce)

Límite este de la Plataforma Basal y Acceso Este a la Estructura 13R-10

Este acceso al Cuarto 1 fue encontrado en las unidades CR16C-20, CR16C-21 y CR16C-22. Mide 1.6 m de ancho y está delimitado por los muros Norte y Central. A 3.4 m al este se encontró el muro que delimita por el lado este la plataforma basal de la estructura. Éste se encontró con fragmentos de estuco, algunos aún pintados de rojo, indicando que posiblemente el edificio estuvo pintado de este color (Figura 8.37). No fue posible definir si el área de acceso al cuarto en el lado este tuvo piso de estuco o empedrado, pero se encontró gradualmente en desnivel hasta alcanzar 1 m en relación al Piso de Estuco 1. Asimismo, se identificó una posible grada hecha de piedras burdas y porosas de aproximadamente 20 x 20 cm que delimitan el segundo cuerpo de la estructura.



Figura 8.37 Fragmentos de estuco con pintura roja en el Muro Este de la plataforma basal (Foto: J. Ponce)

Antes de continuar con la descripción de los rasgos encontrados, es importante mencionar el hallazgo de un fragmento de un incensario posclásico en la superficie de la Estructura 13R-12 (Figura 8.38). Posee 12.3 cm de alto y 20 cm de diámetro y está fechado para el Posclásico Tardío. Hasta el momento, en la Estructura 13Q-2 se han recuperado tres incensarios posclásicos (Guenther 2009; Guirola 2012; Guirola com. pers. 2012) y en la plataforma que sostiene los tres templos centrales de Coronitas se encontró otro en 2010 (Baron 2011), indicando la presencia de peregrinos en La Corona durante esta época.



Figura 8.38 Fragmento de incensario posclásico encontrado en la Estructura 13R-12 (Foto: J. Ponce)

Cuarto 3

Este cuarto es el más amplio y se encontró en las unidades CR16C-8, CR16A-16, CR16A-12, CR16A-14, CR16A-11a, CR16A-13, CR16A-11 y CR16A-10 excavadas en 2011 y CR16C-10, CR16C-11, CR16C-13 y CR16C-14 excavadas esta temporada. Se encuentra delimitado al norte por el Muro Central, al oeste por la Banqueta 2 y al sur por el Muro Sur. Mide 11.4 m de largo (E-O), 3.4 m de ancho (N-S) en su parte más ancha y 2.7 m de ancho en el resto del cuarto debido al ancho variable del Muro Central, ya explicado anteriormente. Sin embargo, no se encontró el límite este debido a que las excavaciones no se extendieron hacia esa dirección.

En las unidades CR16A-10 y CR16C-13 se encontraron dos accesos hacia la Plaza Sur, ya descritos anteriormente. Asimismo, destaca la presencia de fragmentos del Piso 2 quemados en el lado este del cuarto al pie de los muros Sur y Central (Figura 8.40). En la Temporada 2011 se encontraron varios fragmentos de huesos, posiblemente de animales, al igual que fragmentos de pedernal y obsidiana, un fragmento de figurilla, concha y fragmentos de piedras de moler (Figura 8.39). Durante esta temporada solamente se recuperaron algunos fragmentos de concha. La mayor parte del material se encontró al oeste del Acceso Central, indicando una posible diferencia funcional y mayor actividad en ese sector.

Debido a la diversidad de material y a la falta de una distribución específica de los artefactos, no se conoce la función que tuvo este cuarto en su última ocupación. Se cree que al igual que el Cuarto 1, pudo haber servido para la realización de diversas actividades relacionadas a la preparación de alimentos y artefactos. Este cuarto tuvo acceso directo hacia la Plaza Sur, por lo que su función pudo haber estado relacionada con las actividades que ahí se realizaban. Asimismo, también funcionó como antesala a los Cuartos 1 y 2 (T. Barrientos com. pers. 2011).

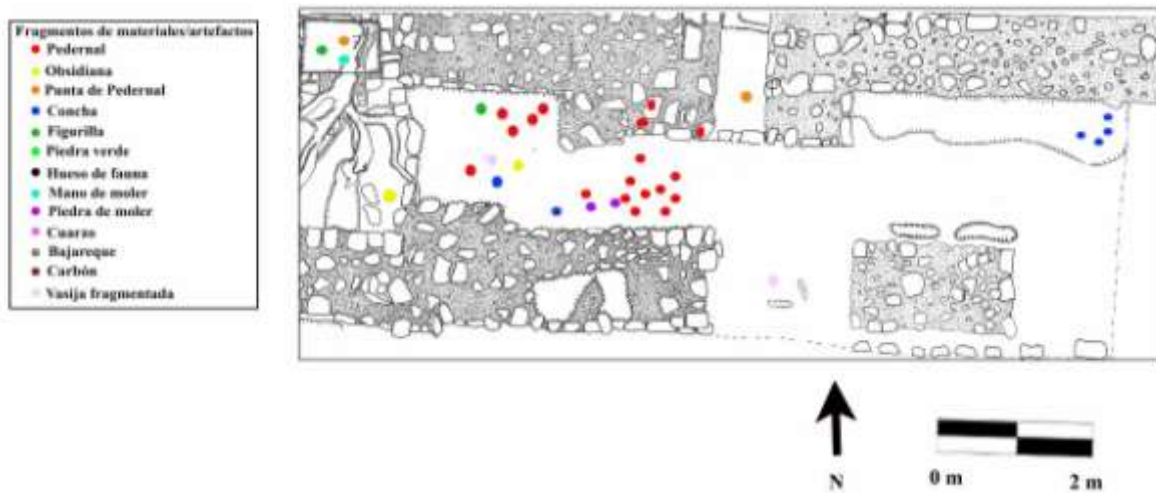


Figura 8.39 Esquema de distribución de artefactos en el Cuarto 3 (Dibujo: J. Ponce)



Figura 8.40 Fragmentos quemados del Piso de Estuco 2 en el Cuarto 3 (Foto: J. Ponce)

Etapas Constructivas

Tras cinco temporadas de excavaciones en las estructuras 13R-9 y 13R-10 y en base a los datos epigráficos del Panel 1 (Monumentos 7 y 8), Panel 6 (Monumento Saqueado 6) y de las Escalinatas Jeroglíficas 2 y A, se han logrado identificar cinco etapas constructivas en este grupo arquitectónico. Se cree que la primera versión del Grupo 13R-II posiblemente fue construida por el gobernante *Chakaw Nahb Chan*, cuarto gobernante de la línea dinástica de La Corona que gobernó el sitio de 658 a 667 d.C. Esto se hizo por la necesidad de ampliar el área para la celebración de actividades rituales y como un medio de legitimar su poder. La construcción de las estructuras 13R-9 y 13R-10 se le atribuye al gobernante *K'inich ¿? Yook*, quien posiblemente colocó la ofrenda dedicatoria de materiales misceláneos sobre la plaza antes de la construcción de la Estructura 13R-10. La primera fase constructiva que ha sido identificada consta de la subestructura de la Estructura 13R-10, cuya forma es desconocida porque aún no se ha investigado. La segunda etapa consta de la Estructura 13R-10 como una plataforma escalonada con un cuarto en la parte superior. Durante esta fase la Estructura 13R-10 estaba abierta hacia la plaza en su fachada principal y ambas estructuras estaban conectadas por un acceso en el Muro Oeste de la Estructura 13R-10. Asimismo, en esta etapa se colocaron las gradas originales de acceso o Escalinata Jeroglífica A. Parece que durante esta época la Estructura 13R-10 era de carácter más público y es posible que en ambas estructuras se realizaran actividades rituales auspiciadas por la corte real.

La tercera etapa consistió en modificaciones al basamento escalonado de la Estructura 13R-10, para hacerla más privada. Estas probablemente fueron hechas entre 700 y 750 d.C. durante el gobierno de *Yajawte' Kinich*, hijo de *K'inich ¿? Yook*. Se colocó el Muro Sur en la fachada principal, se bloqueó el acceso hacia la Estructura 13R-9 y se agregó la Banqueta 1, posiblemente para separar el espacio y delimitar las habitaciones. Otra modificación importante fue la colocación del Panel 6 (Monumento Saqueado 6) en la fachada principal de la estructura, posiblemente sobre el primer escalón de la escalinata. Estas modificaciones pudieron haber sido realizadas por un cambio de función, ya que posiblemente se convirtió en una estructura donde se realizaban rituales de carácter más privado, o una residencia para algún miembro importante de la corte real.

La ocupación de la cuarta fase no está muy clara, pero está representada por la presencia del *chultún* en la parte posterior de la Estructura 13R-10, fechado para después de 760 d.C. Es posible que el reposicionamiento de los bloques de la Escalinata Jeroglífica 2 se haya realizado durante esta etapa. En La Corona el período de la cuarta fase representa el final de la historia dinástica, pero el *chultún* indica que las prácticas rituales asociadas a festines continuaron a pesar de los cambios políticos (Canuto *et al.* 2012: 431). Por último, la ocupación de la quinta fase está representada por la presencia de residencias sobre la plaza y adosadas al basamento de 13R-10 después de 830 d.C. Las viviendas sobre la plaza probablemente se construyeron durante el Clásico Terminal y la Estructura 13R-10 fue utilizada para diversas actividades por los últimos habitantes. Es posible que durante esta última etapa la función de la Estructura 13R-10 haya sido menos ritual y más doméstica que en las etapas previas. Es posible que la gente que habitó alrededor de la Estructura 13R-10 fuera de alto estatus, posiblemente intrusiva y la diversidad de actividades en la parte superior pudieran deberse a la falta de espacios para actividades específicas en otras áreas. Sin embargo, también es posible que el conjunto arquitectónico haya sido abandonado después de 830 d.C. y gente que no era de elite, o posiblemente elite secundaria se trasladó a esta plaza y reutilizaron el material que encontraron.

Conclusiones

Las investigaciones en la Estructura 13R-10 han permitido obtener suficiente información para afirmar que fue un área importante de actividad ritual de la dinastía real de *Sak Nikte'* durante el Clásico Tardío. Los resultados de la investigación arqueológica se han logrado correlacionar con los datos epigráficos, logrando elaborar una cronología de ocupación de cinco fases constructivas en aproximadamente 200 años. Aunque algunas de éstas aun no están muy claras, las investigaciones futuras se enfocarán en aclarar estos contextos.

Si bien no se conoce la función original de la Estructura 13R-10, sin duda fue una edificación importante para la dinastía real de La Corona debido a que albergó las Escalinatas Jeroglíficas 2 y A y el Panel 6 (Monumento Saqueado 6). Los datos epigráficos obtenidos de las investigaciones en esta estructura aportan información valiosa para completar la historia cultural del sitio y conocer más de los habitantes del período Clásico Tardío de *Sak Nikte'*. A lo largo de su ocupación esta estructura tuvo una función ideológica importante en la realización de festividades rituales y legitimación de poder de los gobernantes locales. Los gobernantes *K'inich ¿? Yook* y *Yajawte K'inich* utilizaron esta área del sitio para transmitir una imagen carismática a la población a través de la realización de rituales. La evidencia arqueológica indica que a pesar de los cambios políticos en la última etapa, el Grupo 13R-II continuó siendo un área importante de actividad en La Corona.

Tabla 8.1 Tabla de Medidas (cm) de Bloques con Glifos de las Escalinatas Jeroglíficas 2 y A encontrados en la Temporada 2012

No. de Bloque	Largo	Ancho	Grosor
Bloque 11 de la E.J.A	40	20	18
Bloque 12 de la E.J.A	34	20	18
Bloque 13 de la E.J.A	34	20	12
Bloque 14 de la E.J.A	35	24	12
Bloque 15 de la E.J.A	33	24	14
Bloque 16 de la E.J.A	34	24	11
Bloque 17 de la E.J.A	37	26	10
Bloque 18 de la E.J.A	34	24	12
Bloque 19 de la E.J.A	35	25	8
Bloque 1 de la E.J.2	43.5	24	11
Bloque 2 de la E.J.2	26	24	11.5

Bloque 3 de la E.J.2	36	26.5	14
Bloque 4 de la E.J.2	38	28	11
Bloque 5 de la E.J.2	40	30.5	18
Bloque 6 de la E.J.2	42	34	19
Bloque 7 de la E.J.2	45	34	15.5
Bloque 8 de la E.J.2	40	30.5	21.5
Bloque 9 de la E.J.2	38	32.5	11
Bloque 10 de la E.J.2	41	27	8
Bloque 11 de la E.J.2	35	27.5	11.8
Bloque 12 de la E.J.2	35.8	25.8	11
Bloque 13 de la E.J.2	37.8	30	11

Tabla 8.2 Tabla de Materiales

No. Unidad	Nivel	Lote	Cerámica	Obsidiana	Pedernal	Hueso	Concha	Otro
Fachada Sur								
Limpieza de Saqueo	-	-	663	7	17			6 frg estuco, 1 frg mano de moler, 1 figurilla
CR16A-26 ^a	2	2	5					
	3	6	16	2			1	1 figurilla
CR16A-27	2	4	89					1 frg mano de moler
CR16A-28	2	4	87					
CR16A-29	2	4	62	2	1		1	2 figurillas
CR16A-30	1	2						1 figurilla
	2	4	299		16			2 frg piedra tallada
CR16A-31	1	2	134	1	1			
CR16A-32	2	4	26	2	1			
	5	8	5	1				
	7	10		53	3	3 pulidos y 1 vértebra de pez	56 frg concha marina, 3 frg y 1 cuenta de <i>Spondylus</i>	6 frg pirita, 42 frg jade, 4 frg hematita, 1 frg caliza tallada, 1 frg de cuenta de piedra
CR16A-33	2	4	78	1	1			
CR16A-34	1	2	174					
CR16A-35	1	2	81	1	1			
	2	4	365	2	2			3 figurillas
CR16A-36	1	2	67		1			
	2	4	250	8 frg y 1 punta	2			
CR16A-37	2	4	50	2				

CR16A-38	1	2	170	4	6			
CR16A-39	2	4	248	3	7			
CR16A-40	1	2	208	1	1			
	2	4	528	3	4	1		1 piedra tallada (posible candelero) y 1 metate
CR16A-41	2	4	35	1				1 figurilla
CR16A-43	2	3	4					
	2	4	598	2	2	3		2 figurillas
CR16A-44	5	8	3	1				
CR16A-45	1	2	41	1	2			1 malacate
	3	6	95		1			
Parte superior de la Estructura								
CR16C-9	2	2	19					
CR16C-10	1	1	6					
CR16C-11	1	1	2					
	2	2	2					
CR16C-12	1	1	7					
	2	2	19			1		
CR16C-13	1	1	1					
	2	2	3					
CR16C-14	2	2	4					
CR16C-15	2	2	10					
CR16C-16	2	2	7				2	
CR16C-17	1	1	18					1 figurilla
	2	2	153					1 muestra de carbón
CR16C-18	2	2	68	1		1		1 muestra de carbón
CR16C-19	2	2	47		2			2 frg estuco modelado
CR16C-20	1	1	5					
	2	2	41					
	2	3			33	8 quemados		1 muestra de carbón
CR16C-21	1	1	6					
	2	2	46					
CR16C-22	1	1	17					
	2	2	448	2	5 frg y 1 punta	1		1 figurilla, 1 frg mano de moler 1 frg bajareque
Total			5310	93	117	21	68	89

CAPÍTULO IX

ANÁLISIS PRELIMINAR DE LAS INSCRIPCIONES DE LA ESCALINATA JEROGLÍFICA 2 DE LA CORONA

David Stuart y Joanne Baron

Introducción

El descubrimiento y excavación de la Escalinata Jeroglífica 2 en la Estructura 13R-10 del Grupo Coronitas durante la Temporada 2012 ha resultado en varias adiciones importantes y sorprendentes al corpus de inscripciones de La Corona. Hasta ahora se han recuperado 22 bloques nuevos con inscripciones a través de recolecciones de superficie y excavaciones en los alrededores de la Estructura 13R-10. En este capítulo se hace una revisión general de la naturaleza y contenido de los bloques inscritos, y cómo se relacionan a otros textos que se sabe son originarios de La Corona. Es importante enfatizar que este es un análisis muy preliminar, y la documentación, y análisis de los bloques inscritos de la Escalinata Jeroglífica 2 se encuentra actualmente en progreso.

Trabajos Previos

Las excavaciones realizadas en la Estructura 13R-10 desde 2009 por el Proyecto Regional Arqueológico La Corona muestran que el edificio tenía múltiples funciones y pudo haber sido una residencia de elite a finales del período Clásico (ver Capítulo VIII de este informe). La inspección inicial de la edificación mostró que el área de la escalinata frontal había sido fuertemente perturbada por actividad moderna, lo que resultó en la presencia de varios bloques esparcidos en los alrededores de la parte frontal de la estructura. Es probable que esta depredación ocurriera a mediados de la década de 1960, cuando La Corona estuvo sujeta a saqueo intensivo. A finales de la Temporada 2011, Marcello Canuto reconoció que dos de estos bloques desplazados (Bloques 9 y 10 de la E.J.A; Monumentos Saqueados 61 y 62) pertenecientes a la escalinata tenían textos jeroglíficos muy erosionados en un estilo y formato idénticos a otros siete bloques previamente identificados como saqueados de La Corona, al igual que otro bloque que se recuperó en la Plaza Principal del sitio en 2006. La presencia de estos bloques inscritos descartados sugería que la Estructura 13R-10 era el lugar original de una importante escalinata jeroglífica que se presumía que existía en algún lugar de La Corona.

En 2012 Jocelyne Ponce comenzó las excavaciones de la escalinata de acceso de la Estructura 13R-10, esperando recuperar bloques adicionales descartados por los saqueadores y posiblemente bloques *in situ*.

Recuperación y Documentación

Las excavaciones de Ponce inmediatamente recuperaron un número de bloques tallados no perturbados, que formaban el escalón más bajo de la escalinata, ahora designada como Escalinata Jeroglífica 2 de La Corona (Figura 9.1). Cuando la cantidad de datos epigráficos fue evidente, uno de los autores (Stuart) llegó a La Corona para leer y documentar las inscripciones. Stuart trabajó en el sitio durante cuatro días fotografiando, haciendo bocetos y midiendo los bloques, así como una limpieza inicial de las esculturas. Después de su visita al sitio, Stuart continuó trabajando en la interpretación y dibujo de los bloques. Al final de la temporada de campo los bloques fueron removidos por razones de seguridad y se trasladaron al laboratorio del proyecto en la ciudad de Guatemala. Allí se les hizo una limpieza más profunda y fueron fotografiados por Cristina Guirola. Uno de estos bloques (Bloque 5 de la E.J.2; Monumento 74) se entregó al Museo Nacional de Antropología y Etnología. El dibujo y análisis de las nuevas inscripciones se encuentra actualmente en proceso.



Figura 9.1 Escalinata Jeroglífica 2 de La Corona (Foto: J. Ponce)

Escalinata Jeroglífica 2 y problemas de nomenclatura

La escalinata jeroglífica de la Estructura 13R-10 es ahora la segunda escalinata conocida arqueológicamente en La Corona, y posee la designación Escalinata Jeroglífica 2. (La Escalinata Jeroglífica 1 fue documentada inicialmente por Stuart en 1997 y se encontró en la fachada sur de la Estructura 13Q-3). No hay duda que la escalinata original fue encontrada por los saqueadores en la década de 1960, probablemente con varios bloques inscritos visibles en la superficie. Los saqueadores dismantelaron la escalinata en su totalidad, dejando varios bloques “rechazados” en mal estado de conservación cerca del área (Bloques 9 a 19 de la E.J.A; Monumentos Saqueados 61-71). Sin embargo, el primer escalón no fue encontrado ni perturbado por los saqueadores, por lo que quedó enterrado por la tierra y escombros que los mismos saqueadores habían sacado de la estructura.

Dada la variedad de bloques encontrados en este primer escalón, la Escalinata Jeroglífica 2 parece ser un monumento “desordenado” y reposicionado, claramente construido por los antiguos mayas a finales de la historia de La Corona. Para su construcción se usaron bloques inscritos removidos de escalinatas inscritas más tempranas del sitio. La fila única de bloques excavados en la Escalinata Jeroglífica 2 muestra fragmentos y pedazos de textos de al menos cinco diferentes fuentes originales, cada uno con un estilo y presentación distintivo. Dos de estas fuentes parecen ser las mismas de otros bloques saqueados de La Corona, aquí denominados Conjunto A (que constituye una Escalinata Hipotética A) y Conjunto B (que constituye una Escalinata Hipotética B).

En estudios previos de los textos de La Corona, los bloques saqueados con inscripciones se habían agrupado en dos grupos o “escalinatas hipotéticas”, identificadas tentativamente como “Escalinata Jeroglífica 2” y “Escalinata Jeroglífica 3”. Sin embargo, ahora se puede descartar esta nomenclatura, ya que es posible que los bloques del Conjunto A provinieran de la Estructura 13R-10 y el Conjunto B posiblemente estuvo relacionado con algún edificio de la Plaza Principal. Nos enfrentamos entonces con la difícil y confusa situación de designar una escalinata antigua compuesta de bloques de otras escalinatas más tempranas que fueron reposicionadas por los antiguos mayas, los restos de los cuales aún pueden ser encontrados en La Corona. Por lo tanto se ha decidido

simplificar su registro eliminando las escalinatas hipotéticas y manteniendo solamente las escalinatas jeroglíficas que han sido visibles arqueológicamente.

Independientemente de su contexto arqueológico, se han reconocido dos estilos predominantes de bloques jeroglíficos conocidos del corpus de La Corona, los cuales forman parte de los bloques de la Escalinata Jeroglífica 2 y son designados aquí como “Conjunto A” y “Conjunto B”.

- *Conjunto A*: (anteriormente designado como “Escalinata Glífica 3” y ahora denominado Escalinata Jeroglífica A) consta de bloques pequeños rectangulares que consistentemente muestran doce bloques de glifos en bajo relieve, arreglados en cuatro columnas de tres glifos cada uno. Se conocen siete de estos monumentos en varias colecciones privadas y públicas. Uno de estos monumentos se encontró en La Corona en 2006 (Bloque 5 de la E.J.A; Monumento Saqueado 43) y dos más se encontraron cerca de la Estructura 13R-10 durante la Temporada 2011 (Bloques 9 y 10 de la E.J.A; Monumentos Saqueados 61 y 62). En la Temporada 2012 se recuperaron doce bloques más del Conjunto A de las excavaciones de la Estructura 13R-10. Dos se encontraban *in situ* en el escalón inferior de la Escalinata Jeroglífica 2 (Bloques 9 y 11 de la E.J.2; Monumentos 65 y 66), un tercero se encontró caído frente al primer escalón (Bloque 13 de la E.J.2; Monumento 67), y nueve adicionales fueron rechazados por los saqueadores y dejados dispersos en el área de la trinchera de saqueo (Bloques 11-19 de la E.J.A; Monumentos Saqueados 63-71). En total, ahora se conocen 22 bloques del Conjunto A, y se sugiere que todos fueron parte de una gran escalinata monumental que poseía uno de los textos mayas más largos conocidos en el área maya (más de 264 jeroglíficos). Es claro que varias porciones de la inscripción original del Conjunto A aún están desaparecidas.

- *Conjunto B*: (anteriormente “Escalinata Glífica 2” y ahora denominado Escalinata Jeroglífica B) consta de una serie de bloques rectangulares tallados ornamentalmente de forma vertical, ya sea con ocho o seis jeroglíficos cada uno, este último siempre arreglado en forma de “L” invertida. Éstos también son comunes en el corpus de La Corona, ya que se conocen diez bloques con este formato en varias colecciones. La sección *in situ* de la Escalinata Jeroglífica 2 reveló dos bloques más de este conjunto, resultando en un total de doce bloques inscritos conocidos de este

conjunto. Es muy probable que los famosos bloques de jugadores de pelota saqueados de La Corona hayan sido parte de este conjunto, dadas sus proporciones similares, estilo de tallado y contenido.

Se han definido otros tres estilos en la Escalinata Jeroglífica 2, los cuales serán descritos posteriormente. El escalón inferior de la Escalinata Jeroglífica 2 consiste de 46 bloques de piedra en total, 12 de los cuales se encuentran tallados. Curiosamente, los dos bloques tallados de los extremos de la secuencia fueron colocados de cabeza. Los otros diez bloques tallados se colocaron lado a lado alrededor del eje central de la escalinata. Los Bloques 7 y 8 de la E.J.2 (Monumentos 76 y 77) estaban originalmente juntos y fueron colocados en el centro del arreglo. Los bloques tallados, a pesar de haber sido encontrados “mezclados”, parecen haber sido colocados con algún grado de intención y diseño, destacando el eje central y los dos extremos de la escalinata.

Es muy posible que la Escalinata Jeroglífica 2 haya tenido otros escalones superiores, los cuales pudieron estar arreglados en una disposición similar. Evidencia de ello es el descubrimiento de un bloque caído de un escalón superior, el cual sobrevivió *in situ* junto al primer escalón ya descrito. No obstante, es posible que este bloque haya sido parte de una escalinata anterior que contuvo solamente bloques del “Conjunto A”.

Los Bloques *In Situ* de la Escalinata Jeroglífica 2

Bloque 1 de la E.J.2 (Monumento 70) (Figura 9.2)

Descubierto *in situ* y colocado de cabeza en el extremo oeste del escalón, el Bloque 1 es parte del “Conjunto B” que presuntamente formó un escalón inscrito importante en algún otro lugar de La Corona. Desafortunadamente, en el bloque no sobrevive una fecha completa, haciendo imposible localizar el evento que describe cronológicamente. Registra una guerra que involucra una ubicación desconocida (pronunciada **i-ka**) y un protagonista desconocido.

Curiosamente, el individuo que se dice que conquista el lugar “*Ika*” (A2) es llamado *K'inich Yax K'uk' Mo'* (C1). Este por supuesto, es el mismo nombre que el fundador de la dinastía de Copán (Stuart 1992). Es imposible saber con seguridad si el Bloque 1 se refiere al mismo individuo. Sin embargo es una interpretación probable, o por lo menos una idea que vale la pena considerar. Una indicación es que éste parece ser

un nombre real de muy alto prestigio (el prefijo *k'inich* en nombres personales solamente se conoce en conexión a reyes de entidades mayores) y no está unido a ningún otro individuo conocido en la historia maya. A pesar su énfasis en la historia del Clásico Tardío, los bloques del “Conjunto B” presentan un rango de tiempo bastante amplio, que incluye mitología muy temprana “profunda en el tiempo”; por lo que no hay razón por la que el Clásico Temprano no haya sido incluido. Si esta demuestra ser una referencia al fundador de Copán, las implicaciones son sorprendentes, sugiriendo que *K'inich Yax K'uk' Mo'* era un rey de significado histórico pan-maya, quizás con conexiones familiares o políticas a las narrativas dinásticas de la historia de La Corona o Calakmul. Solamente los descubrimientos futuros aclararán estos puntos.

En el Bloque 1 de la E.J.2 (Monumento 70) el nombre *K'inich Yax K'uk' Mo'* lleva el título extraño y único “Adorador Fogoso” (**K'AHK'-AJ-K'UH-na**) (B2). Esto podría estar relacionado de alguna manera a otros títulos de “fuego” con asociaciones militares, como *Yajaw K'ahk'*, “Señor del Fuego” (Stuart 2005). También está nombrado un segundo personaje, posiblemente con el título *Aj Chiknahb' [?]* (B3-C3) que pareciera apuntar a un origen de Calakmul. Sin embargo, sin ningún contexto firme de una narrativa que lo rodee, cualquier interpretación histórica de este bloque permanece tentativa en este momento. La inscripción del Bloque 1 de la E.J.2 cierra con un número de distancia (B4-C4) que hubiera contado hacia adelante a otra fecha después de la guerra con “*Ika*”, presumiblemente en otro bloque del Conjunto B que permanece faltante.

Bloque 2 de la E.J.2 (Monumento 72) (Figura 9.3)

Junto con el Bloque 3 de la E.J.2 (Monumento 73), este bloque de piedra burdamente tallado pertenece a otro conjunto que hemos designado como “Conjunto C”. Su escena muestra un gobernante portando un “abanico” frente a un incensario zoomorfo con picos. Hay once cartuchos con glifos, pero la mayoría están demasiado erosionados para leerse. Los últimos dos bloques del texto son legibles como **6-MIH?-NAL** (C5) y **K'UH(UL)-SAK-WAHY-si** (C6) [*K'uhul*] *Sak Wahyis* es un título común para los gobernantes de La Corona, mientras que **6 MIH?-NAL** (“Seis Nada (?) Lugar”) aparece en otras dos inscripciones del sitio. Una de éstas se encuentra en un bloque saqueado que muestra el gobernante Chakaw Nahb Chan, donde esa frase también aparece emparejada

con el título *K'uhul Sak Wahyis*, aunque en orden reverso. El otro ejemplo es del Panel 1 de La Corona (Monumentos 7 y 8), donde se refiere a un lugar mitológico de origen de una deidad local y como el nombre del templo dedicado a la deidad. Antes de estos dos glifos legibles en el Bloque 2 de la E.J.2 es posible que aparezca la expresión de relación **yi-chi-NAL**, para *y-ichin-al*, “en su presencia”, quizás refiriéndose a la conexión visual entre las dos figuras del Bloque 2 y su posible pareja, el Bloque 3.



Figura 9.2 Bloque 1, Escalinata Jeroglífica 2 de La Corona (Foto: C. Guirola)



Figura 9.3 Bloques 2 y 3, Escalinata Jeroglífica 2 de La Corona (Fotos: C. Guirola)

Bloque 3 de la E.J.2 (Monumento 73) (Figura 9.3)

Este bloque también es proveniente del “Conjunto C”, claramente en el mismo estilo que el Bloque 2 de la E.J.2 (Monumento 72). Muestra una mujer sentada en una banca pequeña o trono, mirando hacia la derecha. Es probable que los Bloques 2 y 3 una vez hayan estado en orden reverso en su ubicación original, con esta mujer mirando al gobernante e incensario a su derecha. En una mano porta un pequeño abanico o artefacto emplumado. El detalle más interesante de esta escena es la imagen de un pequeño perro corriendo debajo de su asiento y a través de la escena hacia la izquierda (¿lejos del incienso?). Detrás del trono en el lado izquierdo de la escena hay una figura pequeña de un acompañante con los rasgos de un enano. Los glifos en este bloque ahora son casi ilegibles, pero aún están lo suficientemente legibles para mostrar que la columna de glifos en el lado superior izquierdo probablemente era su nombre. El glifo final en la columna derecha (C5), una variante de cabeza, se lee **K’IN** o **K’INICH**.

Bloque 4 de la E.J.2 (Monumento 68) (Figura 9.4)

Este bloque pertenece al “Conjunto B” pero no articula con ningún bloque conocido. Sin embargo, su pasaje corto es de gran significado histórico. Abre con la fecha de Rueda Calendárica 2 Ajaw 3 Pax (A1), correspondiendo a 9.13.5.15.0, o 12 de diciembre de 697 d.C. El evento correspondiente a esta fecha se escribe *ochb'ih-aj* o “el camino-entra” (B1), una metáfora maya común para la muerte. El individuo muerto es claramente nombrado como el notado gobernante de Calakmul, *Yuknoom Yich'aak K'ahk'* (A2-B2), quien también porta el título señor de 2 k'atunes (C1).

Hasta 2012 el último evento conocido de su vida fue la famosa derrota de Calakmul por parte de Tikal en 695 d.C., registrada en el Dintel 1 del Templo 1 de Tikal. Por lo tanto, por mucho tiempo se sospechó que *Yuknoom Yich'aak K'ahk'* pudo haber muerto durante este conflicto. Tanto el Bloque 4 (Monumento 68) como el Bloque 5 (Monumento 74) de la E.J.2 (descrito abajo) indican que sobrevivió la batalla e incluso visitó La Corona unos meses después. A unos dos años después de su derrota, *Yuknoom Yich'aak K'ahk'* murió, pero no como cautivo de Tikal. Esto puede proveer algún apoyo a la hipótesis aun no confirmada que la Tumba 4 de Calakmul pertenece a este gobernante (Carrasco *et al.* 1999).

El Bloque 4 de la E.J.2 (Monumento 68) provee una segunda fecha (B4), 9.13.6.2.9 7 Muluk 7 Sip (698 d.C.), que cae 109 días después de su muerte. Mientras que el evento asociado a esta fecha cae en un bloque subsecuente que hace falta, es razonable asumir que corresponde al ascenso del siguiente gobernante de Calakmul, apodado “*Yuknoom Took' K'awiil*” (ver Martin and Grube 2008). Esta suposición ha sido confirmada por el descubrimiento en 2012 de una nueva inscripción de El Perú/Waka’ (Stanley Guenter comunicación personal 2012). Basado en estos nuevos datos, parece que el final del siglo séptimo no fue una época tan tumultuosa para la dinastía de Calakmul como se había supuesto anteriormente (Martin y Grube 2008:111). Al contrario, *Yuknoom Yich'aak K'ahk'* sobrevivió su derrota militar y murió dos años después. Su sucesor parece haber tomado el trono de manera ordenada y pacífica, o al menos eso indica la evidencia actual.



Figura 9.4 Bloque 4, Escalinata Jeroglífica 2 de La Corona (Foto: C. Guirola)

Bloque 5 de la E.J.2 (Monumento 74) (Figura 9.5)

Este bloque extraordinario tallado solamente con glifos es diferente de cualquier otro bloque conocido hasta el momento de La Corona, y parece mostrar una sola inscripción independiente. Por ende es imposible asignarlo a cualquier conjunto de bloques de escalinata jeroglífica y por ahora debe ser considerado por sí solo. El extenso texto relaciona información importante, y de manera más notable, la segunda referencia conocida al año 2012 en inscripciones mayas. Un análisis preliminar de la inscripción ha aparecido en línea (Stuart 2012).

El bloque menciona cuatro eventos históricos. El primero se realizó en 9.10.2.1.10 10 Ok 8 Kumk'u (635 d.C.). Este evento fue un juego de pelota (A7) jugado entre el gobernante de La Corona *Sak Maas* y el heredero de Calakmul *Yuknoom Ch'een*. El mismo evento está registrado en los Bloques 7 y 8 (Monumentos 76 y 77), descritos abajo. Unos meses después, el segundo evento ocurrió en 9.10.2.4.4 12 Kan 17 Woh (B7). Este parece ser la fundación de la corte de la dinastía Kan fuera del sitio de Calakmul. Simon Martin y Erik Velásquez proponen que la dinastía Kan había sido fundada en Dzibanché, Quinta Roo durante el Clásico Temprano (Velásquez 2004; Martin 2005).

Esta inscripción parece confirmar esta hipótesis utilizando un verbo asociado en otros contextos con eventos de fundación. La tercera fecha, que se realizó al día siguiente, está perdida. La cuarta fecha histórica, que es el foco del monumento, es la visita de *Yuknoom Yich'aak K'ahk'* (D4-D6), rey de Calakmul, a La Corona en 9.13.3.16.17 8 Kaban 10 Kumk'u, solamente un par de meses después de su derrota en la batalla con Tikal en 695 d.C. El gobernante contemporáneo de La Corona, *Chak Ak'aach Yuk* (C7), acompañó a *Yich'aak K'ahk'* en su visita, aparentemente como parte de su séquito. Esto demuestra la continua relación cercana entre estas cortes reales, incluso frente a una derrota militar. Finalmente, el texto del Bloque 5 de la E.J.2 indaga en paralelos calendáricos. Nombra a *Yich'aak K'ahk'* (G5) como un señor de “13 k'atun'es” (H5), aparentemente refiriéndose al hecho que fue el gobernante durante el final del 13 katún 3 años antes. El texto yuxtapone este título al futuro fin de período 13.0.0.0.0 (G6-H7), o el final del 13 bak'tun (en diciembre de 2012). Es importante notar que el texto no registra una profecía asociada con la fecha, sino simplemente declara que el día vendrá a suceder.

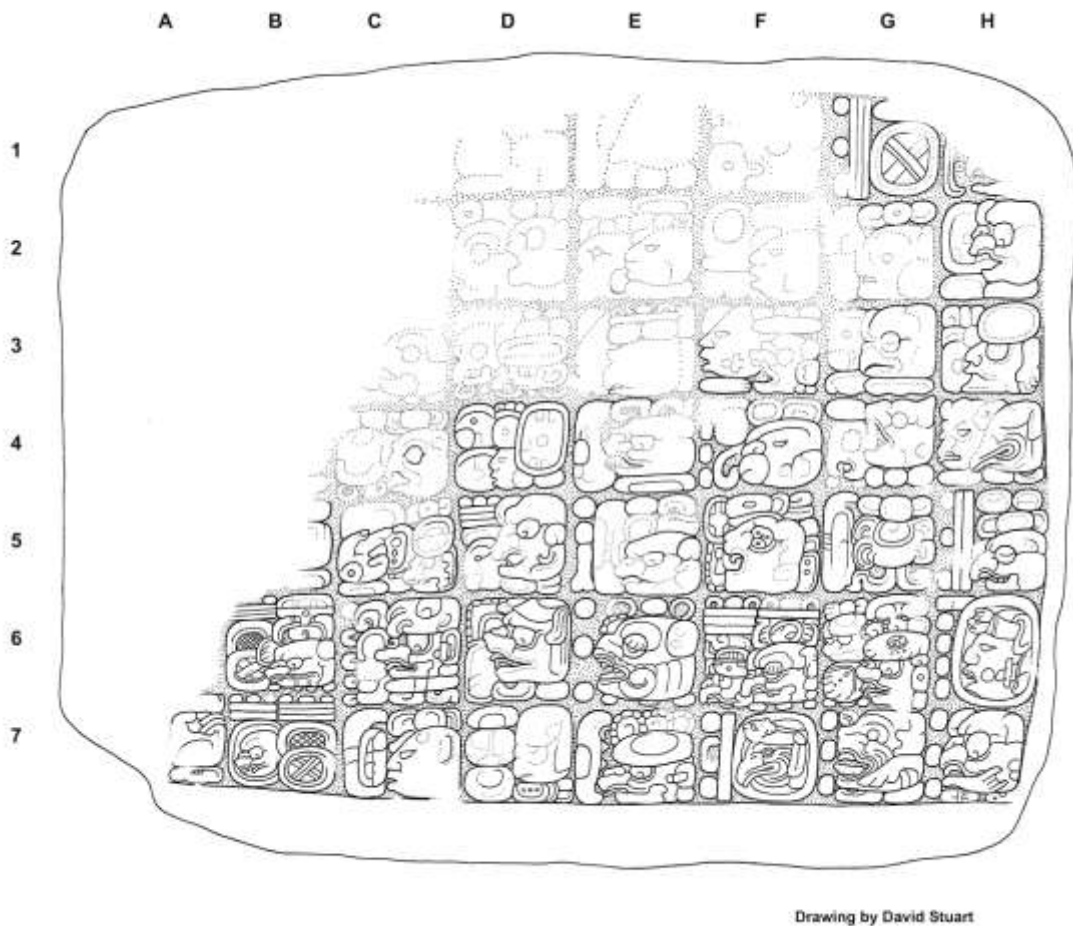


Figura 9.5 Bloque 5, Escalinata Jeroglífica 2 de La Corona (Dibujo: D. Stuart)

Bloque 6 de la E.J.2 (Monumento 75) (Figura 9.6)

Este bloque muestra a un gobernante sentado en un trono de palacio, que se inclina hacia adelante para verse en un espejo frente a él. Bultos de tributos de textiles y plumas están colocados frente a su trono, cubierto con textiles y adornado con cojines. El estilo de este bloque es similar al panel del Art Institute of Chicago, que representa a un jugador de pelota, y los dos pudieron originalmente haber pertenecido a este conjunto.

Los glifos de este bloque están muy erosionados, especialmente en la porción superior. En el lado izquierdo, la inscripción inicia con la fecha 1 Ajaw (A1), pero debido a que el segundo glifo (B1) está erosionado es imposible fijar el bloque a una fecha exacta. La inscripción se refiere a la derrota en batalla (*jubuy u took' pakal*) (A2-B2) de

un gobernante (A3-B5), presumiblemente en manos de un rey de La Corona. Los glifos en el lado izquierdo nombran a este rey como *Yajawte' K'inich* (C3-C4), un gobernante conocido del Clásico Tardío que aquí lleva el título de *Sak Wahyis* (C5). El gobernante también está nombrado en los glifos pequeños que decoran su trono. Aquí lo nombran como “*Jalib*” (**ja-li?-bi**) y también lleva el título *Sak Wahyis*. Esto demuestra que *Jalib* (el hijo de *K'inich* [?] *Yook*) y *Yajawte' K'inich* son la misma persona (Martin 2008).



Figura 9.6 Bloque 6, Escalinata Jeroglífica 2 de La Corona (Foto: C. Guirola)

Bloques 7 y 8 de la E.J.2 (Monumentos 76 y 77) (Figuras 9.7 y 9.8)

Estos dos bloques forman un par obvio, designado como “Conjunto D”. Fueron encontrados en el centro del primer escalón y fueron colocados claramente en la misma configuración que su ubicación original. Los bloques muestran a un par de gobernantes

sentados con las piernas cruzadas y viéndose uno al otro. Ambos están vestidos como la deidad *Chaak* y cada uno porta una manopla zoomorfa. La figura de la izquierda probablemente es el rey de La Corona *Sak Maas*, mientras que el de la derecha es probablemente el gobernante de Calakmul *Yuknoom Ch'een*. La escena muestra un evento descrito en un texto acompañante: un juego de pelota **pi-tzi-ji-ya** (*pihtz-(a)j-iiy*) jugado por *Yuknoom Ch'een* en 9.10.2.1.10 10 Ok 8 Kumk'u (635 d.C.) (A2-B2).

Este debe ser el mismo evento de juego de pelota registrado en el Bloque 5 de la E.J.2 (descrito arriba) que se realizó en La Corona poco tiempo antes que la corte Kan se relocara en Calakmul. La naturaleza inusual de la escena podría indicar que este fue un tipo de evento de juego de pelota inusual o menos vigoroso que aquel que se conoce comúnmente.

En el lado izquierdo del Bloque 7 de la E.J.2 (Monumento 76), un número de distancia cuenta hacia adelante al final de período 9.11.0.0.0 notado en el lado derecho del Bloque 8 (Monumento 77). El Bloque 8 entonces cuenta hacia adelante al futuro fin de período 10.0.0.0.0 7 Ahaw 18 Sip (aquí erróneamente escrito como 8 Sip). Finalmente, el Bloque 8 da una fecha de 9.10.19.1.10 7 Ok 3 K'ank'in (651 d.C.) para la dedicación de la “escalinata de piedra fina” (*k'antuun ehb'*) exactamente 17 tunes después del juego de pelota registrado al principio de la inscripción. La escalinata mencionada en este pasaje auto-referencial es el Conjunto D en sí, originalmente localizado en una parte diferente del sitio.

En el lado izquierdo del Bloque 8 de la E.J.2 (Monumento 77) hay una sección de cinco glifos en forma de L, que es más difícil de analizar. Podría contener el título *K'uhul Kaan Ajaw* (A1-B1) portado por los gobernantes de Calakmul. El título está seguido de un bloque erosionado (A2) y dos nombres (o dos glifos que constituían un solo nombre) (A3-A4) que son desconocidos en los textos históricos de La Corona o Calakmul pero su significado permanece poco claro. También hay glifos pequeños incisos en cada bloque, sin duda las firmas de los escultores. Desafortunadamente los nombres de estos escultores no son conocidos de otras inscripciones.



Figura 9.7 Bloque 7, Escalinata Jeroglífica 2 de La Corona (Foto: C. Guirola)



Figura 9.8 Bloque 8, Escalinata Jeroglífica 2 de La Corona (Foto: C. Guirola)

Bloque 9 de la E.J.2 (Monumento 65; Bloque 20 de la E.J.A) (Figura 9.9)

Este bloque registra la llegada (C1) de la esposa de *K'inich [?] Yook* (D1-D2) desde Calakmul en 9.12.6.16.17 11 Kaban 10 Sotz' (679 d.C.) (A3-B3). Este evento era previamente conocido del Panel 6 (Monumento Saqueado 6), aunque es la primera vez que el nombre de esta mujer es claramente visible. Es interesante notar que esta fecha es exactamente la misma que la derrota de Tikal por parte del gobernante de Dos Pilas *Bahlaj Chan K'awiil*, un miembro de una alianza con Calakmul. Además, es exactamente 17 meses antes de la llegada del gobernante de Calakmul *Yuknoom Yich'aak K'ahk'* en La Corona, como está registrado en el Bloque 5 (Monumento 74) (ver arriba).



Figura 9.9 Bloque 9, Escalinata Jeroglífica 2 de La Corona (Foto: C. Guirola)

Debido al número y arreglo de los glifos, es claro que este bloque pertenece al “Conjunto A”; por lo tanto posee la denominación secundaria de Bloque 20 de la Escalinata Jeroglífica A. Extraordinariamente, el Bloque 9 puede encajarse con una secuencia de cinco bloques conocidos del “Conjunto A”, incluyendo el Bloque 11 de la E.J.2 (Monumento 66; Bloque 21 de la E.J.A) (ver abajo) y un número de otros monumentos saqueados en la década de 1960 (Figura 9.10). Esto representa la mayor secuencia conocida de los varios bloques del “Conjunto A”.



Figura 9.10 Secuencia de bloques del “Conjunto A” de La Corona (Foto: D. Stuart)

Bloque 10 de la E.J.2 (Monumento 69) (Figura 9.11)

Este bloque muy bien conservado pertenece al “Conjunto B”. Registra la captura (B2) de un individuo llamado *K'in Kaloom Chahk* (A3) en 9.14.4.4.2 7 Ik' 15 Kumk'u (716 d.C.) (A1-B1), aparentemente por el rey de Calakmul en ese momento, “*Yuknoom Took' K'awiił'*”. Aquí el vencedor es solamente nombrado con el título *kaloomte'* (B4), que es usado en otros lugares como una referencia corta a varios gobernantes de la corte Kan en inscripciones de La Corona y otras áreas.

Como se muestra abajo, otras dos fechas están implicadas por números de distancia en ambos lados de este registro de guerra, aunque estas permanecen faltantes en otros bloques del “Conjunto B” que no han sido recuperados.

9.14.4.3.13	11 Ben 6 Kumk'u	desconocido; faltante
+	.9	
9.14.4.4.2	7 Ik' 15 Kumk'u	evento de captura
+	2.3	
9.14.4.6.5	11 Chikchan 13 Woh	desconocido; faltante



Figura 9.11 Bloque 10, Escalinata Jeroglífica 2 de La Corona (Foto: C. Guirola)

Bloque 11 de la E.J.2 (Monumento 66) (Figura 9.12)

Debido a que este bloque pertenece al Conjunto A, ha sido denominado provisionalmente como Bloque 21 de la Escalinata Jeroglífica A. Este bloque pertenece al “Conjunto A” y es parte de la misma secuencia que incluye el Bloque 9 de la E.J.2 (Monumento 65; Bloque 20 de la E.J.A), mencionado anteriormente (ver Figura 9.10). Este bloque registra un baile ritual (A3) realizado por *K'inich [?] Yook* (D1) en 9.12.7.12.15 3 Men 8 Kumk'u (680 d.C.) (A1-B1). Un bloque saqueado registra que exactamente 365 días después, en la fecha propicia de rueda calendárica 4 Ajaw 8 Kumk'u, el rey realizó un segundo baile para conmemorar el aniversario del fin de “era” de bak'tun 13.0.0.0.0. De esta manera, el Bloque 11 de la E.J.2 registra un baile que se realizó un año antes en anticipación de estos ritos calendáricos. Su descripción del baile es inusualmente clara, y se lee *ak'taj ta yax k'uk'um amaay*, “él baila con la flauta de

pluma verde”. Esta es la primera atestación de la diseminada palabra en ch’olano para flauta, *amaay*, aquí deletreado **a-ma-yi**.

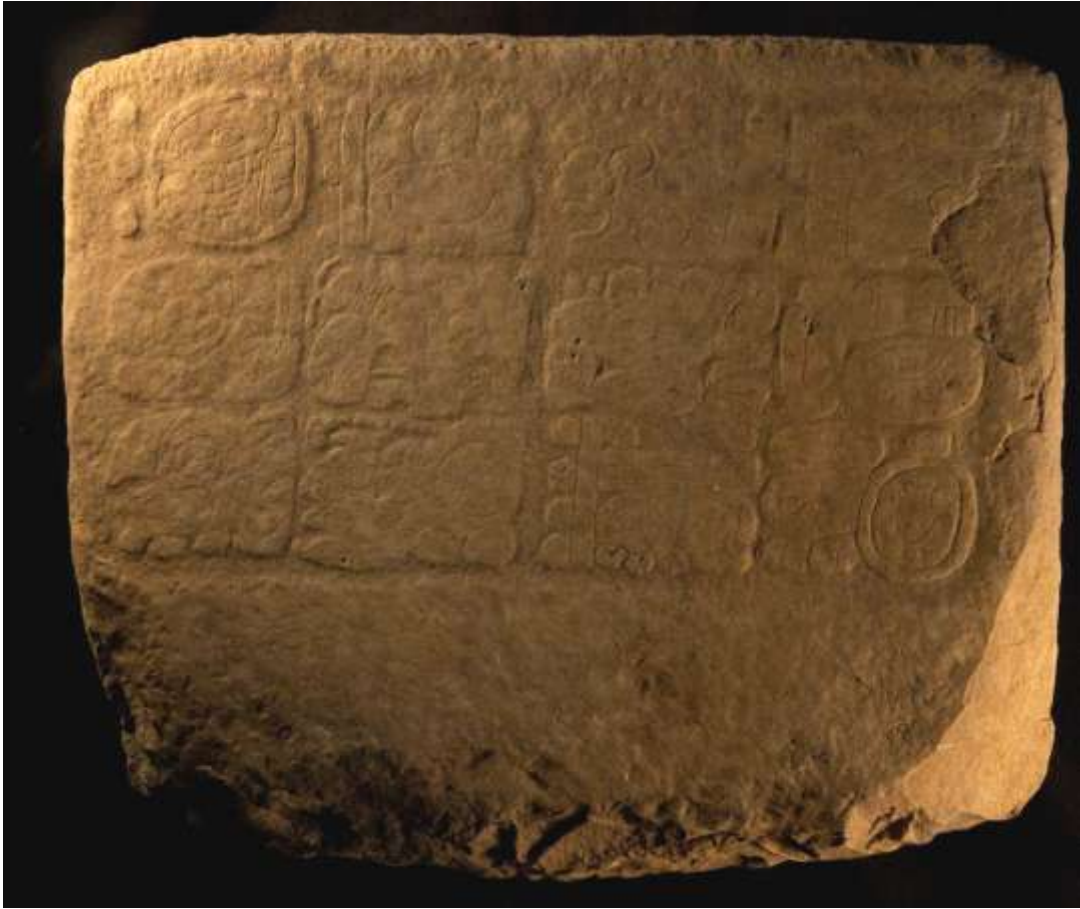


Figura 9.12 Bloque 11, Escalinata Jeroglífica 2 de La Corona (Foto: C. Guirola)

Bloque 12 de la E.J.2 (Monumento 71) (Figura 9.13)

Al igual que el Bloque 1 de la E.J.2 (Monumento 70), este bloque también estaba colocado de cabeza en el extremo este del escalón. De manera interesante, nunca se completó el tallado. Los contornos de los bloques con glifos están claros, pero los detalles interiores están ligeramente incisos. Sin embargo, debido a la buena preservación del bloque, los glifos pueden ser leídos. Involucran a un gobernante de Calakmul nombrado simplemente con el título *kaloomte'* (A1) y una persona llamada *K'ahk' Wahy Na'* (A3) que lleva un título *aj k'uhuun* (B3). Este individuo también es nombrado en los bloques saqueados del “Conjunto B” y está representado en un tercero, pero ésta es la primera

referencia de él en un contexto seguro. Mientras que pudo haber sido un importante sacerdote o señor subsidiario de La Corona, no parece haber sido un gobernante, al menos no en la misma manera que otros individuos nombrados en estos bloques.



Figura 9.13 Bloque 12, Escalinata Jeroglífica 2 de La Corona (Foto: C. Guirola)

Bloque 13 de la E.J.2 (Monumento 67) (Figura 9.14)

Este bloque se encontró caído frente al escalón de la Escalinata Jeroglífica 2. Debido a que su proveniencia original no ha sido confirmada, ha sido identificado provisionalmente como parte de la Escalinata Jeroglífica 2. Es posible que originalmente haya pertenecido a un segundo escalón ahora destruido de la Escalinata Jeroglífica 2; sin embargo esta identificación es tentativa. No obstante, es seguro que el Bloque 13 también pertenece al Conjunto A, por lo que también ha sido provisionalmente nombrado como Bloque 22 de la E.J.A. Este bloque registra información ya conocida del Panel 1 (Monumentos 7 y 8). Se refiere a la fecha 9.12.2.15.11 1 Chuwen 4 Sotz' (675 d.C.) donde el heredero de Calakmul, *Yuknoom Yich'aak K'ahk'* (B1), parte de alguna ubicación desconocida. Luego cuenta hacia adelante a 9.12.3.5.0 7 Ajaw 13 Sak (C3-D3). Mientras que la frase del evento asociado cae en un bloque ahora faltante, la misma fecha se conoce de la inscripción del Panel 1 como el ascenso *de K'inich [?] Yook*.



Figura 9.14 Bloque 13, Escalinata Jeroglífica 2 de La Corona (Foto: C. Guirola)

Bloques jeroglíficos saqueados asociados con la Estructura 13R-10

Como se notó anteriormente, nueve bloques más del “Conjunto A” fueron encontrados en 2012, esparcidos en los alrededores de las excavaciones de los saqueadores de la Estructura 13R-10. Junto con los dos bloques recuperados en 2011, estos aquí se designan como Bloques 9-19 de la E.J.A (Monumentos Saqueados 61-71), numerados en el orden en que fueron recuperados. Es importante recalcar que estos bloques no fueron encontrados *in situ*, claramente habiendo sido movidos y descartados durante el episodio de saqueo. No obstante podemos estar seguros que los bloques movidos una vez formaron parte de una escalinata jeroglífica, a la que ahora se refiere como Escalinata Jeroglífica A, que posiblemente era la escalinata original de la Estructura 13R-10. Debido a la falta de cualquier contexto físico firme, se tratarán los Bloques 9-19 de la E.J.A (Monumentos Saqueados 61-71) individualmente y en orden cronológico, como una primera etapa hacia la reconstrucción de una estructura narrativa más amplia del Conjunto A.

También es importante notar que las designaciones numéricas asignadas a estos bloques pueden cambiar durante el análisis y presentación final. Para una secuencia completa de las fechas ahora conocidas del “Conjunto A”, ver la Tabla 9.1 al final.

Bloque 13 de la E.J.A (Monumento Saqueado 65) (Figura 9.15)

Este bloque registra la llegada (*huli*) de *K'inich [?] Yook* a La Corona en 9.11.15.1.11 9 Chuwen 4 Yax (667 d.C.) (C1-D1). Del Panel 2 (Monumento Saqueado 2), una inscripción saqueada en dos partes, se conoce que este evento se realizó después de la visita extendida del señor joven a Calakmul, y muy poco después de la muerte de sus padres, la Señora *Chak Took Chahk* y *Chakaw Nahb' Chan*.

Bloque 11 de la E.J.A (Monumento Saqueado 63) (Figura 9.16)

Este bloque posee una referencia a la fecha 9.11.16.2.8 9 Lamat 16 Yax (668 d.C.) (D1-C2). De acuerdo a la inscripción del Panel 2 (Monumento Saqueado 2), este fue el día de la dedicación de la tumba de los padres de *K'inich [?] Yook*. La proximidad de fechas y eventos podría sugerir que este bloque va después del Bloque 13 de la E.J.A,

pero el texto de este bloque sugiere otra fecha y evento intercedido, presumiblemente tallado en al menos un bloque faltante entre los Bloques 13 y 11 de la E.J.A.



Figura 9.15 Bloque 13, Escalinata Jeroglífica A de La Corona (Foto: C. Guirola)



Figura 9.16 Bloque 11, Escalinata Jeroglífica A de La Corona (Foto: C. Guirola)

Este bloque se une a un bloque del “Conjunto A” que se conoce desde hace mucho tiempo del conjunto saqueado La Corona. Este es designado como el Bloque 2 de la E.J.A (Monumento Saqueado 8) y posee una referencia al final de período 9.12.0.0.0 10 Ahaw 8 Yaxk’in.

Bloque 15 de la E.J.A (Monumento Saqueado 67) (Figura 9.17)

El Bloque 15 de la E.J.A le sigue al Bloque Saqueado 2 de la E.J.A, y cita la visita hecha por *K’inich [?] Yook* a Calakmul en 9.12.1.5.12 8 Eb 15 Mak (673 d.C.) (B1-A2). También menciona otro evento seis días después que involucra a *Yuknoom Ch’een*, gobernante de Calakmul.

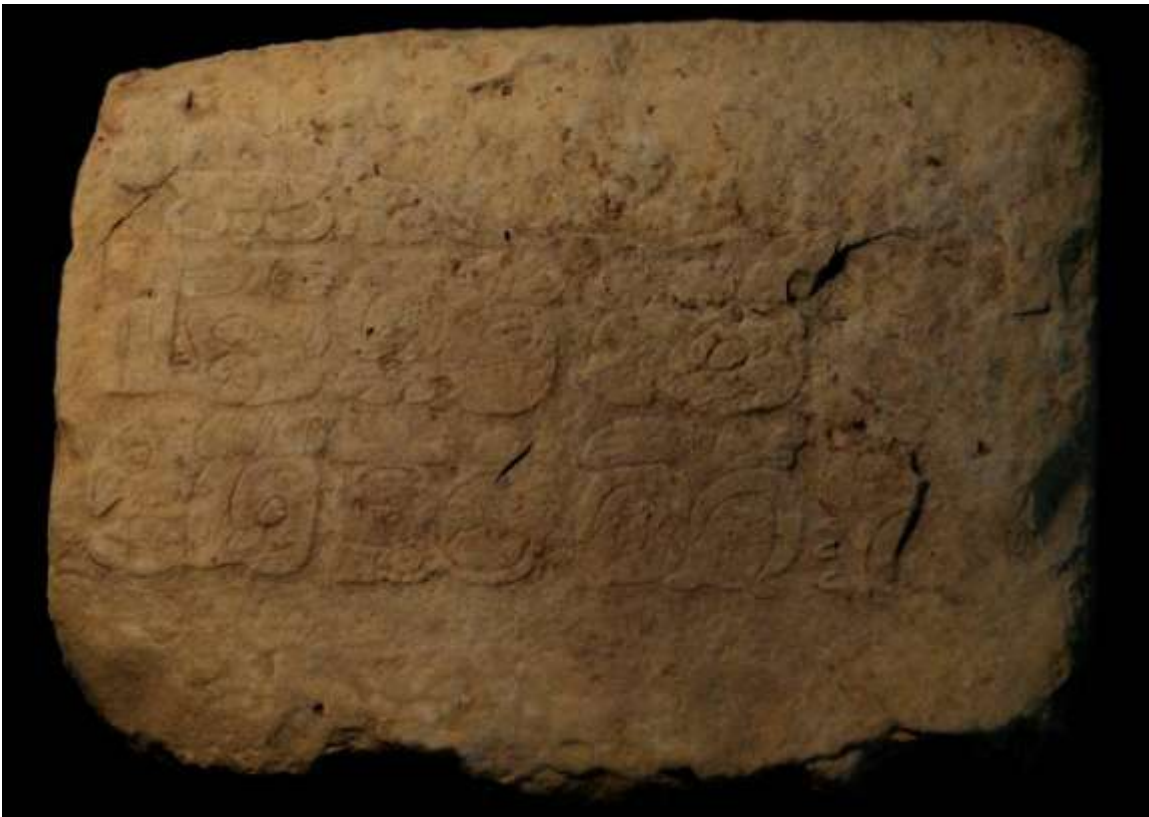


Figura 9.17 Bloque 15, Escalinata Jeroglífica A de La Corona (Foto: C. Guirola)

Bloque 9 de la E.J.A (Monumento Saqueado 61) (descubierto en 2011) (Figura 9.18, 9.19)

Este bloque muy erosionado parece referirse al final de período en 9.12.5.0.0 3 Ahaw 3 Xul (677 d.C.) (D2-C3). Solamente una porción de la Rueda Calendárica es visible, seguido por *wi' ho tuun* (D3), el término (“cinco haabs faltantes” de Thompson [1960: 191]) que marcan el final del Fin de Período en 15.0.0. Aquí sugerimos un error del escriba, ya que la fecha como está escrita requeriría *naah ho tuun* “primeros cinco años” (5.0.0). Es un ejemplo curioso de un error bastante obvio hecho por el escriba o tallador.

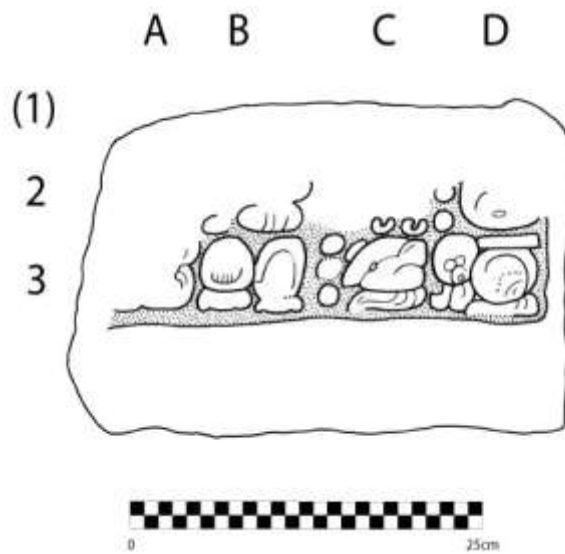


Figura 9.18 Bloque 9, Escalinata Jeroglífica A de La Corona (Dibujo y foto: J. Baron)

Bloque 14 de la E.J.A (Monumento Saqueado 66) (Figura 9.19)

Este bloque registra un ritual de “conjuro” (*tzak*) (B2) de un dios o ancestro nombrado simplemente como *Ikiiy* (**i-ki-ya**) (A3). Esto es hecho por *K'inich [?] Yook* en el final de tun 9.12.6.0.0 12 Ahaw 13 Tzek (678 d.C.) (B1-A2). La entidad conocida como *Ikiiy* también es mencionada en el Bloque 4 de la E.J.A (Monumento Saqueado 10), ahí en asociación con el gobernante más temprano *Sak Maas* (abuelo de *K'inich [?] Yook*). No se conocen otras menciones de *Ikiiy* en otras inscripciones de La Corona.



Figura 9.19 Bloque 14, Escalinata Jeroglífica A de La Corona (Foto:C. Guirola)

Bloque 18 de la E.J.A (Monumento Saqueado 70) (Figura 9.20)

Este bloque le sigue directamente al Bloque 1 de la E.J.A (Monumento Saqueado 7), un bloque saqueado que actualmente se encuentra en el Peabody Museum en la Universidad de Harvard. Los glifos en ese bloque registran la muerte de un rey de Santa Elena- posiblemente un sacrificio- y un baile realizado por *K'inich [?] Yook*. Este bloque

dice que 17 días después del baile, en 9.12.8.13.17 8 Kaban sentada de Pop (681 d.C.) (A3-B3), un evento ocurrió en La Corona bajo el auspicio de un personaje nombrado *Aj Wak'ib*, el mismo individuo que se dice que fue responsable de la muerte del rey de Santa Elena en el bloque previo. El verbo está erosionado, pero sobrevive suficiente para sugerir que podría ser un evento de “guerra galáctica” (S. Guenter com. pers. 2012). El glifo que sigue el verbo podría ser una variante del nombre de lugar de La Corona (**SAK-NIK-TE'-a**), sugiriendo que La Corona fue la víctima de la conquista. Sin embargo, esta identificación permanece tentativa.



Figura 9.20 Bloque 18, Escalinata Jeroglífica A de La Corona (Foto: C. Guirola)

Bloque 19 de la E.J.A (Monumento Saqueado 71) (Figura 9.21)

Este bloque sigue directamente después del Bloque 18 de la E.J.A. La primera parte del texto parece dar más detalles del evento de guerra y luego cuenta hacia adelante al día 9.12.9.4.10 12 Ok 13 Ch'en (D2-C3), fecha asociada con el verbo poco entendido *chekaj* (**che-ka-ja**) (D3). Este término, que aparece solamente en otros pocos textos

mayas, podría estar basado en la raíz *chek* que significa “ser visible”. Su sujeto es desconocido.

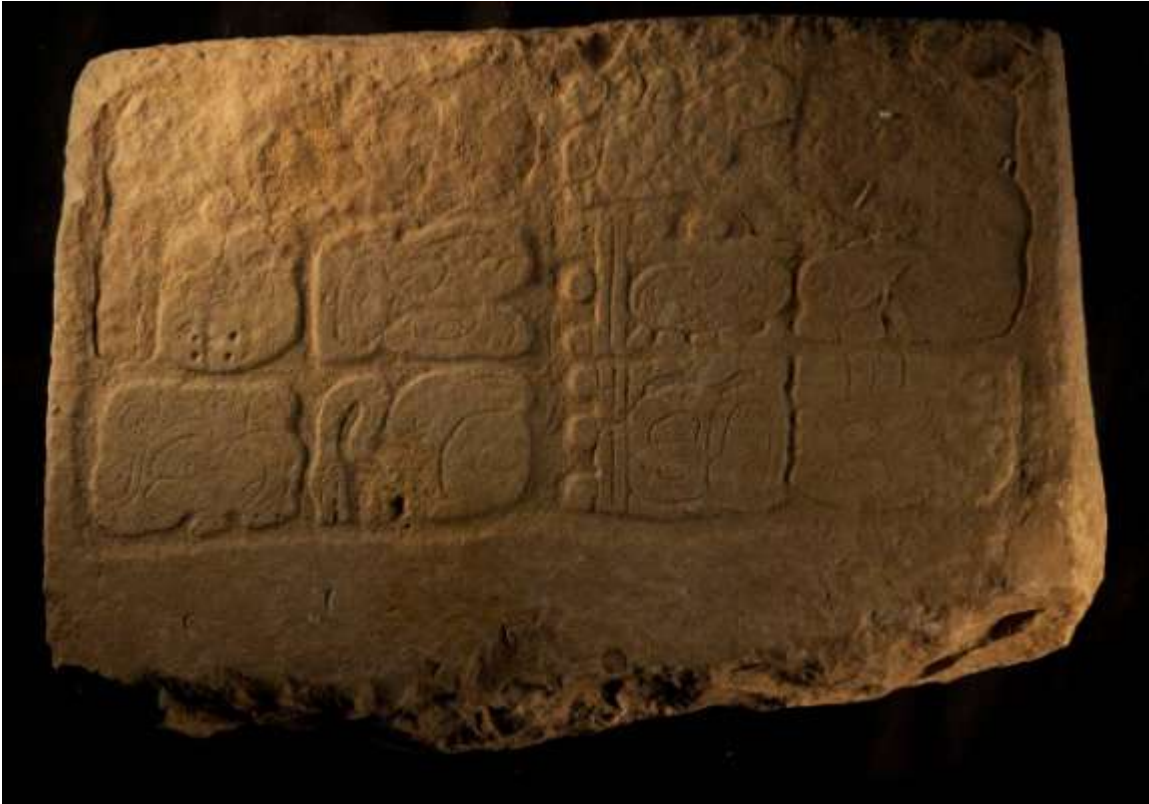


Figura 9.21 Bloque 19, Escalinata Jeroglífica A de La Corona (Foto: C. Guirola)

Otros Bloques de la Escalinata Jeroglífica A (Figuras 9.22, 9.23, 9.24 y 9.25)

Los Bloques 10, 12, 16 y 17 de la E.J.A (Monumentos Saqueados 62, 64, 68 y 69) desafortunadamente están muy erosionados para colocarlos en cualquier secuencia cronológica firme. El Bloque 10 de la E.J.A (Monumento Saqueado 62), recuperado en 2011, da el nombre y algunos títulos de *K'inich [?] Yook*. El Bloque 12 de la E.J.A (Monumento Saqueado 64) nombra a *K'inich [?] Yook* y un “Ajaw de 5 k'atun'es” (A3-B3), presumiblemente *Yuknoom Ch'een* de Calakmul. El final del texto también dice que el evento ocurrió en Calakmul. En el Bloque 16 de la E.J.A (Monumento Saqueado 68) solamente queda el glifo inferior izquierdo, que tiene un coeficiente numérico 13 (A3). El Bloque 17 de la E.J.A (Monumento Saqueado 69) también está muy erosionado. En el lado izquierdo del bloque, se puede inferir un número de distancia que se lee 9.16. Desafortunadamente, esto no puede ser vinculado de manera segura a ninguna fecha

conocida del Conjunto A. El lado derecho del bloque parece nombrar una mujer, pero está muy erosionado para identificarla de manera segura.

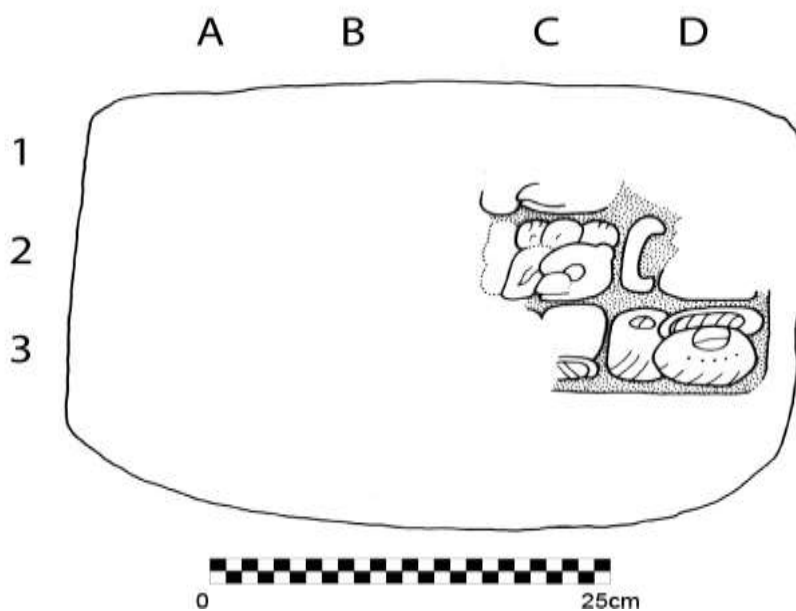


Figura 9.22 Bloque 10, Escalinata Jeroglífica A de La Corona (Foto y dibujo: J. Baron)



Figura 9.23 Bloque 12, Escalinata Jeroglífica A de La Corona (Foto: C. Guirola)



Figura 9.24 Bloque 16, Escalinata Jeroglífica A de La Corona (Foto: C. Guirola)



Figura 9.25 Bloque 17, Escalinata Jeroglífica A de La Corona (Foto: C. Guirola)

Panel 6 (Monumento Saqueado 6) (Figura 9.26)

Junto con los bloques de escalinata descritos arriba, un monumento adicional asociado con la Escalinata Jeroglífica 2 también debe ser mencionado. Este fue un bloque circular aserrado encontrado en el centro de la escalinata, claramente la parte posterior de una escultura que fue removida por los saqueadores hace algunas décadas. Las investigaciones revelaron que el contorno de este bloque, al igual que el corte hecho con motosierra que cortó la mitad de su fachada, encajan perfectamente con los rasgos de una escultura en la colección del Dallas Museum of Art, que durante mucho tiempo se sospechó que era de La Corona (Martin 2008; Freidel y Guenter 2003). Ahora designamos a esta escultura como el Panel 6 de La Corona (Monumento Saqueado 6). El gran tamaño de los restos de la escultura sugiere que este monumento estaba ubicado originalmente en la fachada principal de la Estructura 13R-10, aunque no se sabe aún en qué forma.



Figura 9.26 Panel 6 (Monumento Saqueado 6) (izquierda)
(Fuente: www.DallasMuseumofArt.org) y restos del Panel 6
dejado por los saqueadores (derecha) (Foto: J. Ponce)

Conclusiones

En conclusión, las nuevas inscripciones descubiertas en 2012 proveen una cantidad extraordinaria de nueva información de la historia de La Corona y sus relaciones políticas externas. También dan información invaluable de la historia dinástica de Calakmul, llenando vacíos históricos de finales del siglo séptimo. En adición, su descubrimiento reafirma la proveniencia original del llamado corpus del “Sitio Q” en La Corona, y sugiere que la Estructura 13R-10 pudo ser el lugar donde se hallaron gran parte de los bloques saqueados que llegaron a colecciones de arte en todo el mundo. Dada la cantidad de información histórica descubierta este año, es posible que llevará más tiempo darse cuenta de las implicaciones de estos nuevos datos.

* “El Conjunto A de la Escalinata” se refiere a los bloques asociados que muestran un formato consistente de bloques de 12 glifos. ## designa un bloque faltante

Tabla 9.1: Secuencias y Cronologías Reconstruidas del “Conjunto A”*

No. Bloque de la E.J.A	Fecha		Evento / episodio
	Cuenta Larga	Rueda Calendárica	
6 ...faltante...	9.???.???.???	?? ?? 4 Muwaan	nacimiento de “Jalib” (colocación no clara)
4 ... faltante ...	9.10.17.11.10	7 Ok 8 Xul	“ <i>Ikiy</i> ” rito de conjuro por Sak Maas
7	9.11.10. 2.11 + 9.14	10 Chuwen 9 Keh	?
7 ... faltante ...	9.11.10.12. 5	9 Chikchan 18 Sip	evento en “11 Ahaw Casa”
13 ... faltante ...	9.11.15. 1.11	9 Chuwen 4 Yax	llegada de <i>K'inich Yook</i> (KY)
##	?	3 ? Ak'bal ??	(implicado, en bloque faltante)
11	+ ? . 5 9.11.16. 2. 8 + 3.15.12	9 Lamat 16 Yax	dedicación de tumba
2	9.12. 0. 0. 0 + 1. 5.12	10 Ahaw 8 Yaxk'in	Fin de periodo
15	9.12. 1. 5.12 + 6	8 Eb 15 Mak	KY va a Calakmul
15 ...faltante...	9.12. 1. 5.18	1 Etz'nab 1 K'ank'in	evento en Calakmul con <i>Yuknoom Ch'een</i>
##	9.12. 2.15.11 + 7. 9	1 Chuwen 4 Sotz'	<i>Yich'aak K'ahk'</i> sale de lugar
22 ...faltante... (aunque es posible que 22 y 9 se junten)	9.12. 3. 5. 0	7 Ahaw 13 Sak	ascenso de KY
9 ...faltante...	9.12. 5. 0. 0	3 Ahaw 3 Xul	Fin de periodo
13	9.12. 6. 0. 0 + 16.17	12 Ahaw 13 Tzek	conjuro de “ <i>Ikiy</i> ” por KY
10	9.12. 6.16.17 + 13.18	11 Kaban 10 Sotz'	llegada de mujer noble de Calakmul
18	9.12. 7.12.15 + 17. 9	3 Men 8 Kumk'u	baile “ <i>Yax K'uk'um Amay</i> ” por KY
1	9.12. 8.12. 4 + 16	1 Kan 12 K'ayab	sacrificio de señor de S. Elena por <i>Aj Wak'ib</i>
1	9.12. 8.13. 0 + 17	4 Ahaw 8 Kumk'u	segundo baile por KY (365 días después de primer baile)
18	9.12. 8.13.17 + 8.13	8 Kaban asiento Pop	guerra(?) involucrando <i>Aj Wak'ib</i>
19 ...faltante...	9.12. 9. 4.10	12 Ok 13 Ch'en	<i>chehkaj</i>
##	9.12.10.13.15 + 16	11 Men 13 Kumk'u	(implicado, en bloque faltante)
3	9.12.10.14.11 + 8.13	1 Chuwen 4 Pop	<i>Yuknoom Yich'aak K'ahk'</i> sale de lugar
5	9.12.11. 5. 4 + 17	5 Kan 17 Ch'en	presenciando/atestiguando en Calakmul
8	9.12.11. 6. 1	9 Imix 14 Yax	KY toma; da pulque

CAPÍTULO X

OPERACIÓN CR117: EXCAVACIONES EN LA ESTRUCTURA 13R-7, TEMPORADA 2012

Divina Perla Barrera

Introducción

La Estructura 13R-7 consiste en una plataforma basal de un cuerpo, alargada con un eje este-oeste, de aproximadamente 12 m de largo, 6 m de ancho y 2 m de alto, que se encuentra ubicada en el Grupo 13R-II. Este grupo, localizado al oeste del Grupo 13R-I conocido como Las Coronitas, está formado por 13 estructuras a la orilla de un cibal temporal (Marken y Guenter 2007: 481; Canuto y Barrientos 2009: 140-142). Al norte de la Estructura 13R-7 se localiza la Estructura 13R-8. Al sureste se encuentran cinco templos alineados norte-sur: estructuras 13R-1, 13R-2, 13R-3, 13R-4 y 13R-5, mientras que al noroeste se encuentran las estructuras 13R-9 y 13R-10.

Antecedentes

Desde el primer reconocimiento del sitio en 2005 por el Proyecto Arqueológico El Perú-Waka' se planificaron trabajos en varias estructuras de los Grupos 13R-I (Coronitas) y 13R-II. En el Grupo 13R-I Joanne Baron ha realizado trabajos de manera ininterrumpida desde 2008 hasta 2011. Sus excavaciones han permitido conocer la función de este grupo: inicialmente estas estructuras fueron utilizadas como templos funerarios de la élite del sitio y posteriormente fueron remodelados para convertirse en templos dedicados a los dioses patronos del sitio (Baron 2012).

En cuanto al Grupo 13R-II, en 2006 Mary Jane Acuña llevó a cabo excavaciones de sondeo al oeste de la Estructura 13R-3, al pie de la Estructura 13R-5 y entre las estructuras 13R-9 y 13R-11. Al pie de la trinchera de saqueo de la Estructura 13R-9 se encontraron más de 1,000 fragmentos de cerámica polícroma, que en algunos casos contenían títulos reales de la nobleza local (Acuña 2007). Ese mismo año se realizó la limpieza de dos saqueos localizados en la Estructura 13R-5 (Canuto 2007). En el año 2008, Acuña estuvo a cargo de la limpieza de un saqueo ubicado en la Fachada Norte de la Estructura 13R-9

(Acuña 2009: 110). Durante la Temporada 2009 Erika Gómez realizó excavaciones en la parte sur de la Estructura 13R-9, así como en la plaza frente a la estructura. En 2010 Enrique Fernández trabajó en las fachadas Norte y Sur de la Estructura 13R-10, encontrándose un *chultún* utilizado como basurero que contenía una gran cantidad de material cerámico, huesos de fauna y otros artefactos (Fernández 2011:296). En 2011 Antonieta Cajas y Jocelyne Ponce realizaron una serie de excavaciones extensivas en las estructuras 13R-9 y 13R-10, respectivamente. Gracias a estas excavaciones se conoce que ambas estructuras estaban unidas por un corredor y conectadas por medio de un acceso en uno de los muros de la Estructura 13R-10 que fue sellado posteriormente. Ambas están relacionadas con actividades rituales de la élite del sitio durante el período Clásico Tardío. Asimismo, la Estructura 13R-10 también presentó indicios de haberse utilizado para actividades domésticas como preparación de alimentos y otros artefactos artesanales (Cajas 2012; Ponce y Nájera 2012).

Sin embargo, las estructuras 13R-7 y 13R-8 no habían sido excavadas. Durante esta temporada de campo se realizaron los primeros trabajos de excavación en la Estructura 13R-7. Esta estructura cuenta con dos saqueos en su Fachada Sur que destruyeron gran parte de la misma.

Descripción de las excavaciones

Las excavaciones fueron divididas en cuatro suboperaciones. La Suboperación CR117A se ubicó en la Fachada Sur, la Suboperación CR117B en la Fachada Oeste, la Suboperación CR117C se localizó en la parte superior de la estructura, mientras que la Suboperación CR117D se ubicó en la Fachada Este (Figura 10.1). El objetivo de éstas fue determinar rasgos arquitectónicos de la estructura, así como su funcionalidad y relación temporal y espacial dentro del grupo.

En cuanto a la metodología utilizada, las unidades contaron con dimensiones de 2 x 2 m y de 1 x 2 m. Fueron orientadas siguiendo rasgos arquitectónicos definidos como fachadas o muros visibles.

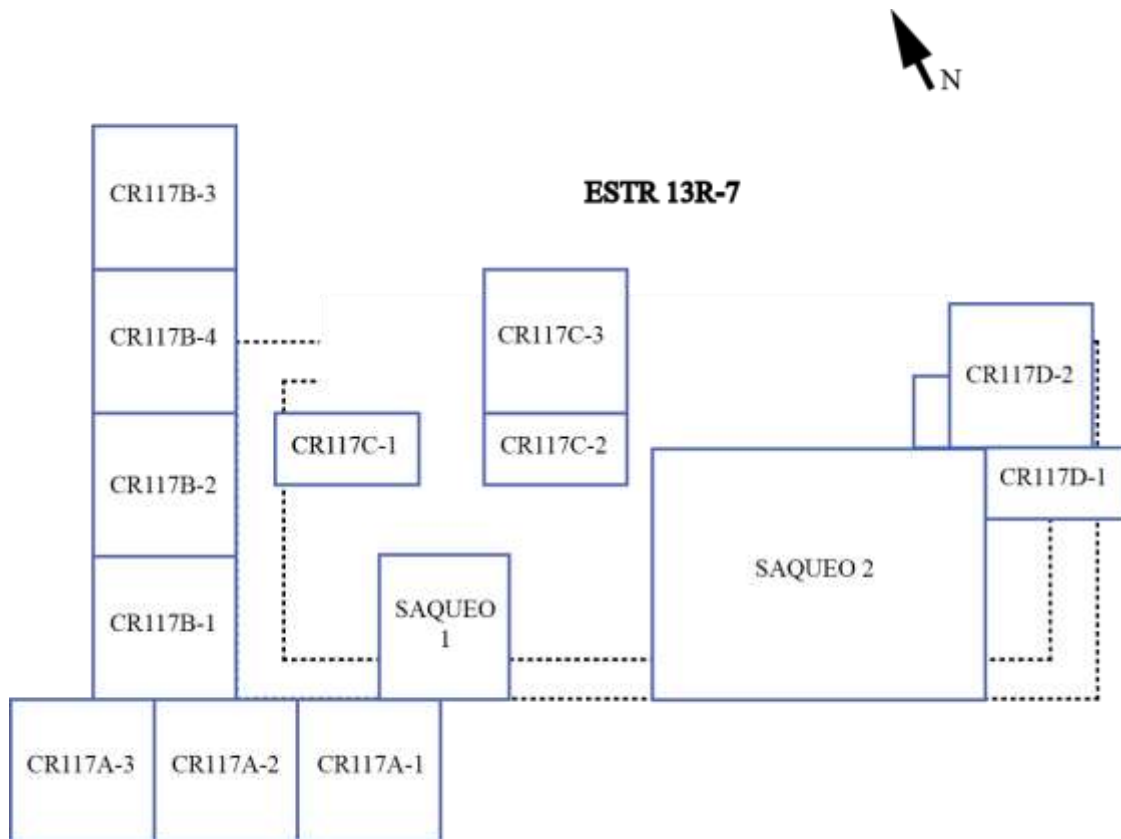


Figura 10.1 Croquis de planta ubicando las excavaciones realizadas (Dibujo: D. Perla)

Trincheras de Saqueo

Saqueo 1

Este saqueo se encuentra en la Fachada Sur de la Estructura 13R-7 y mide 1.67 m de ancho por 1.64 m de altura aproximadamente. Su limpieza se realizó únicamente en el exterior (Figura 10.2). Este saqueo dejó al descubierto parte de la Fachada Sur de la estructura. El muro está conformado por bloques de roca caliza, trabajados con una alta calidad de talla. Los bloques son de entre 20 a 40 cm de ancho, y 10 a 30 cm de alto. En el área mejor conservada del muro se observan hasta ocho hileras de bloques con una altura de 1.92 m, tomada desde el piso de plaza identificado. Algunos bloques aún conservan restos del estuco que los recubría. El saqueo también permitió conocer que la estructura estaba asentada sobre el piso, ya que bajo el nivel de piso encontrado no se identificó otra hilera de boques.



Figura 10.2 Limpieza del Saqueo 1 y Unidad CR117A-1 (Foto: D. Perla)

Saqueo 2

Esta gran excavación ilícita cuenta con 4.20 m de largo, y se introdujo en la estructura aproximadamente otros 4 m, por lo que tiene un área aproximada de 16 m². Se localiza en la esquina sureste de la estructura. Varios rasgos arquitectónicos quedaron visibles (Figura 10.3), por lo que se aprovechó esto para seguir dichos rasgos mediante excavaciones controladas. Asimismo, un total de 347 tiestos fueron recolectados, junto con una cuenta de concha, un fragmento de pedernal y un fragmento de figurilla.

Muro

Alineado este-oeste, aún conserva varios bloques tallados, cuenta con más de 3 m de largo y está asentado sobre el piso de la estructura. Hacia el oeste, puede observarse una remodelación del muro con bloques mucho más grandes. El saqueo también permitió observar el relleno constructivo de la estructura. Varios bloques alargados y delgados fueron encontrados y por su forma parecen corresponder a bloques de bóveda. Sin embargo, esto no puede determinarse debido al estado de conservación y el gran daño causado a la estructura por el saqueo.



Figura 10.3 Limpieza del Saqueo 2 (Foto: D. Perla)

Piso Estucado

Piso correspondiente al basamento de la Estructura 13R-7. Parece haber sido modificado o parcialmente destruido para colocar sobre él el muro anteriormente descrito. En algunas secciones tiene hasta 10 cm de grosor y se puede observar a lo largo del saqueo. Es importante señalar que justo donde termina este muro, el piso presenta un buen estado de conservación.

Relleno Constructivo

El relleno constructivo de la estructura está conformado por rocas muy grandes, medianas y pequeñas unidas por una argamasa de pedrín y tierra. Luego de la limpieza exterior de los saqueos, se prosiguió con las excavaciones que se describen a continuación.

Suboperación CR117A: Fachada Sur de la Estructura 13R-7

La Suboperación CR117A corresponde a las excavaciones que se realizaron frente al Muro Sur de la Estructura 13R-7, del Grupo 13R-II. Su objetivo fue descubrir el Muro Sur que se encontraba expuesto, en parte, por el Saqueo 1 y llegar al nivel de piso de plaza (Figura 10.4).

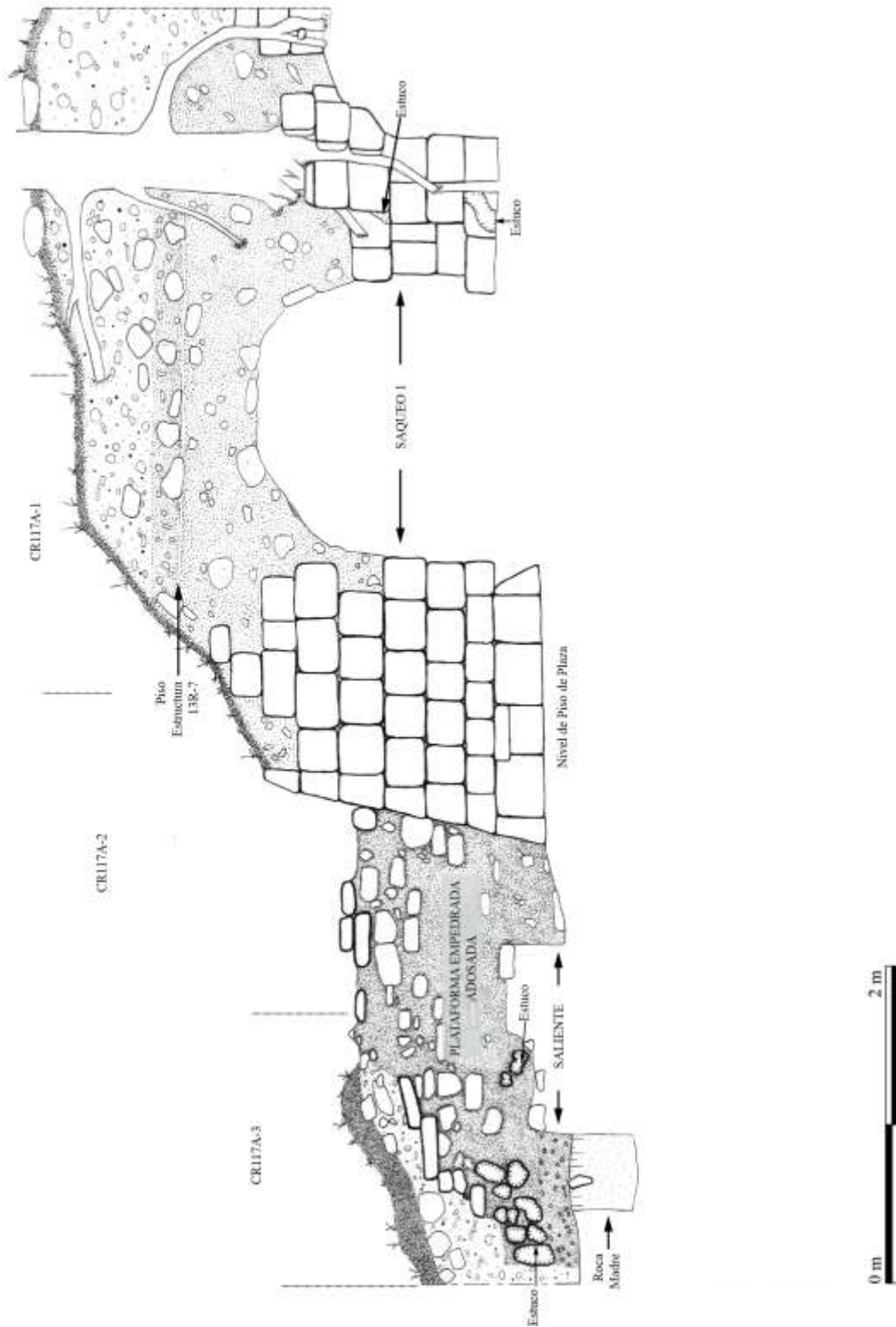


Figura 10.4 Perfil Norte de la Suboperación CR117A. Escala 1:20 (Dibujo y calco: D. Perla)

Unidad CR117A-1

Esta unidad contó con una extensión de 2 x 2 m y fue colocada sobre el material removido producto del Saqueo 1. Se identificaron dos lotes estratigráficos que corresponden al humus y al material removido por el pozo de saqueo. Dentro del material recolectado se encontró una cantidad considerable de fragmentos de cerámica, un fragmento de figurilla y fragmentos de estuco modelado, así como grandes bloques trabajados de fachada y rocas medianas y pequeñas que conformaban el relleno de la estructura. Al pie de la estructura, el piso de plaza estaba destruido casi en su totalidad, a excepción de unas pequeñas secciones que se conservaron. Justo bajo el piso se encontró una capa de arcilla amarilla y sobre el piso estaba asentada la primera hilera de bloques que conformaban el muro de la superestructura de 13R-7 (Figura 10.5).

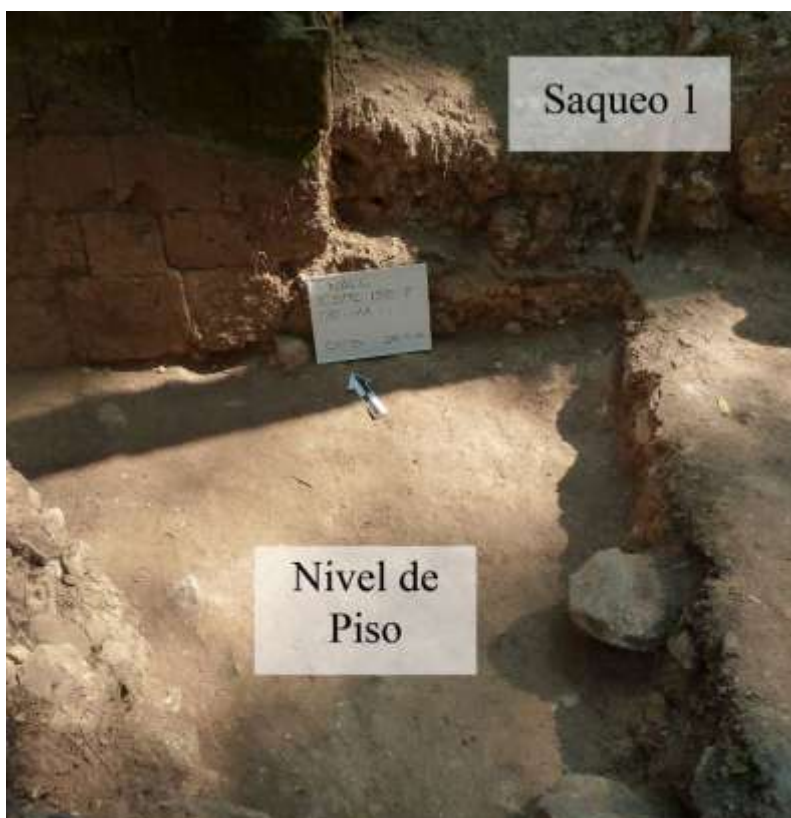


Figura 10.5 Nivel de piso identificado en la Unidad CR117A-1 (Foto: D. Perla)

Unidad CR117A-2

Unidad de 2 x 2 m. El escombro producto del saqueo aún continuaba acumulado sobre esta sección localizada en la esquina suroeste de la estructura. Justo bajo el escombro se identificaron cinco lotes. El primer lote corresponde al derrumbe que sufrió la estructura causado por el paso del tiempo. En él se encontró una gran cantidad de material cerámico, fragmentos de obsidiana, pedernal y tres fragmentos de metates, además se tomó una muestra de carbón. Al continuar con la excavación se descubrió que la Estructura 13R-7 contaba con un basamento en forma de plataforma empedrada de 1.18 m de altura desde el nivel de piso, que fue adosada posteriormente a su Fachada Oeste, la cual aún conservaba restos de estuco rojo.

En el Lote 2 se encontró un depósito con ceniza de color gris claro, limitada en forma más o menos regular por un grupo de rocas pequeñas (Figura 10.6), con material cerámico y un fragmento de figurilla zoomorfa, que se encontraba al pie de la plataforma adosada, a 0.88 m de profundidad desde el nivel de dicha plataforma. El área de actividad se encontraba asentada sobre una capa de arcilla amarillenta delgada y compacta, identificada como Lote 4.



Figura 10.6 Plataforma adosada y área de actividad. Fachada Sur de la Estructura 13R-7 (Foto: D. Perla)

Depósito 1

Los lotes 3 y 5 correspondieron a un depósito. El Lote 3 se encontró al mismo nivel que los lotes 2 y 4 (a 0.81 m bajo el nivel de la superficie), y en él se recolectaron más de 400 fragmentos de cerámica, entre ellos tiestos diagnósticos de los grupos Tinaja y Cambio, un fragmento de figurilla, obsidiana, concha y muestras de carbón. Una muestra de suelo de este lote fue tomada para análisis paleoetnobotánico. El Lote 5 se encontró bajo los lotes 3 y 4. Se recolectaron fragmentos cerámicos similares a los hallados en el Lote 3 y un fragmento de estuco modelado que formaba una posible esquina. En este lote también se recolectaron muestras de carbón.

Al concluir con las excavaciones en esta unidad se identificó otro arreglo arquitectónico. Se trata de una saliente adosada a la plataforma original empedrada, la cual midió 0.38 m de altura desde el nivel de piso encontrado (Figura 10.7).



Figura 10.7 Depósito 1 y Saliente (Foto: D. Perla)

Unidad CR117A-3

Sus dimensiones fueron de 2 x 2 m, y se trazó al oeste de CR117A-2. En esta unidad se identificaron cinco lotes. Los lotes 1 y 2 corresponden al humus y al material de derrumbe, respectivamente. Una gran cantidad de fragmentos cerámicos fueron encontrados en el Lote 2.

El Lote 3 corresponde a un plato semicompleto de color negro, el cual estaba fragmentado y formó parte de un depósito mayor. Fue encontrado en la esquina de la plataforma adosada, a 1 m de profundidad de la superficie (Figura 10.8). Al levantar el plato se dejó al descubierto otra sección de la plataforma adosada que aún contaba con restos de estuco. También fue posible tomar muestras de carbón para análisis posterior.

Este depósito, identificado como un basurero, se encontró al lado oeste de la saliente identificada en la unidad anterior. Fue dividido en los lotes 4 y 5 con el objetivo de mantener un mejor control del material.



Figura 10.8 Lote 3, plato negro semicompleto (Foto por D. Perla)

Depósito 2

Los lotes 4 y 5 corresponden a un estrato de tierra café oscura y suelta. En el Lote 4 se recolectaron 397 tiestos, cinco fragmentos de obsidiana, tres fragmentos de pedernal, siete fragmentos de concha y tres fragmentos de figurilla; mientras que en el Lote 5 fueron encontrados 318 tiestos, cuatro fragmentos de obsidiana, un fragmento de pedernal, un fragmento de figurilla, un fragmento de concha trabajada y un fragmento de concha trabajada en forma circular (Figura 10.9).



Figura 10.9 Fragmento de concha trabajado en forma circular proveniente del Depósito 2 (Foto por D. Perla)

Mediante el análisis cerámico, el depósito ha sido fechado preliminarmente para el período Clásico Tardío. Se identificaron tipos diagnósticos que corresponden a las Fases Tepeu 1 y 2 (Figuras 10.10, 10.11, 10.12, 10.13, 10.14 y Tabla 10.1).

Tabla 10.1 Cuadro de tipos diagnósticos encontrados en el Depósito 2
(Caroline Parris comunicación personal 2012)

GRUPO	TIPO	FASE	PERÍODO
Azote	Azote Naranja	Tepeu	Clásico Tardío
Cambio	Cambio Sin Engobe	Tepeu 2	Clásico Tardío
Cambio	Encanto Estriado	Tepeu	Clásico Tardío
Chablekal	Chicxulub Inciso	Tepeu 2	Clásico Tardío
Chablekal	Sin Identificar	Tepeu 2	Clásico Tardío
Infierno	Infierno Negro	Tepeu	Clásico Tardío
Máquina	Canoa Inciso	Tepeu 1	Clásico Tardío
Tinaja	Tinaja Rojo	Tepeu	Clásico Tardío
Tinaja	Camarón Inciso	Tepeu	Clásico Tardío
Tinaja	Chaquiste Impreso	Tepeu	Clásico Tardío
	Polícromos sin identificar	Tepeu	Clásico Tardío



Figura 10.10 Vasija del tipo Chicxulub Inciso, de doble base (Foto: D. Perla)



Figura 10.11 Cerámica del Grupo Chablekal (Foto: D. Perla)



Figura 10.12 Cerámica del Grupo Azote (Foto: D. Perla)



Figura 10.13 Cerámica del Grupo Tinaja (Foto: D. Perla)



Figura 10.14 Cerámica del Grupo Tinaja (Foto: D. Perla)

El Lote 6, ubicado bajo el Lote 5, presentó restos de rocas calizas pequeñas mezcladas con la misma tierra café oscura de los dos lotes anteriores. También fue encontrado material cerámico, un fragmento de obsidiana y un fragmento de hueso de fauna.

Saliente

Luego de excavar todo este depósito, se descubrió otra sección de la saliente adosada a la plataforma empedrada (Figura 10.15). Este arreglo arquitectónico cuenta con 0.38 de alto x 1.18 m de ancho (Figura 10.16). A ambos lados de la saliente se encontraban los depósitos 1 y 2. Bajo el Lote 6 se encontró el nivel de la roca madre, identificado como Lote 7 (Figura 10.17), que presentó una cantidad pequeña de cerámica (13 tiestos) y un fragmento de obsidiana.



Figura 10.15 Planta de la Saliente (Foto: D. Perla)



Figura 10.16 Perfil Oeste de la Saliente (Foto: D. Perla)



Figura 10.17 Fin de la Unidad CR117A-3 (Foto por D. Perla)

Suboperación CR117B: Fachada Oeste de la Estructura 13R-7

Esta suboperación contó con cuatro unidades alineadas norte-sur: CR117B-1, CR117B-2, CR117B-3 y CR117B-4. Todas las unidades tienen una dimensión de 2 x 2 m y se realizaron con el objetivo de conocer los rasgos arquitectónicos de la Fachada Oeste. Dos lotes fueron identificados en las cuatro unidades. El primer lote corresponde al humus y el segundo lote al material de derrumbe conformado por rocas, bloques y escombros acumulados (Figura 10.18).

Bajo el Lote 2 de las unidades CR117B-1, CR117B-2 y CR117B-4 se encontró un empedrado conformado por rocas dispuestas de forma homogénea que corresponde al piso de una plataforma construida posteriormente frente al Muro Oeste de la Estructura 13R-7.

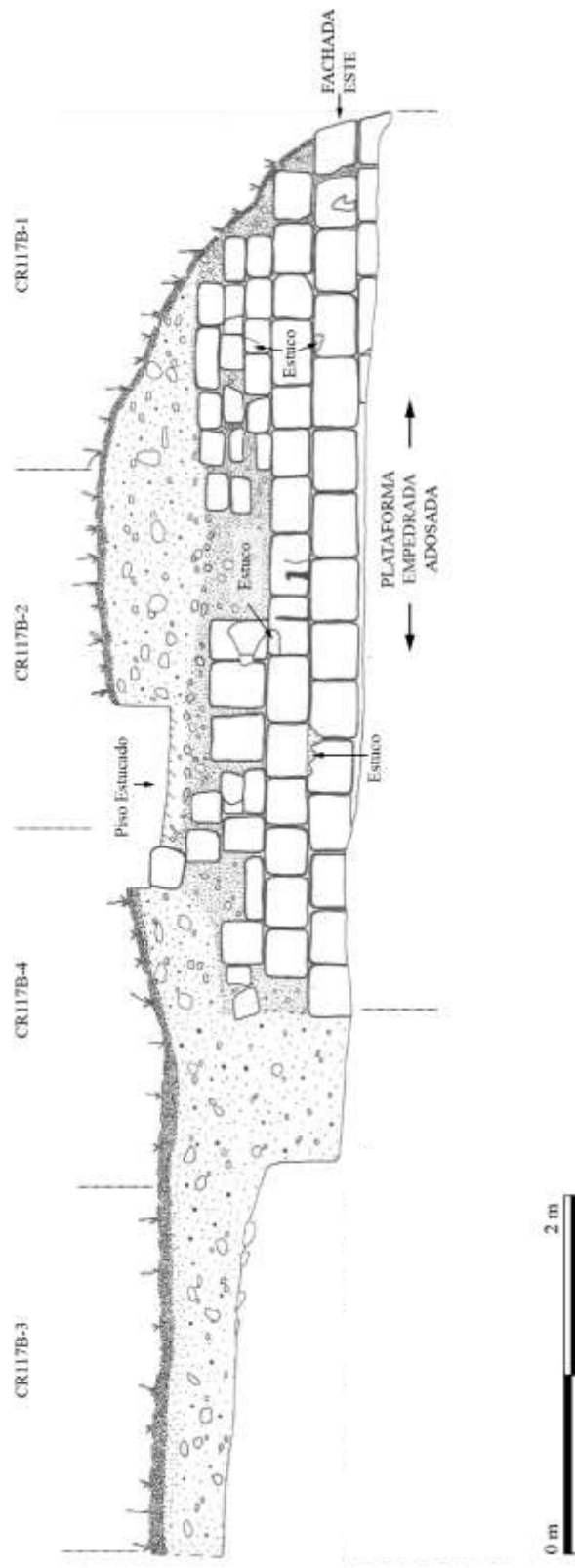


Figura 10.18 Perfil Este de la Suboperación CR117B. Escala 1:20 (Dibujo y calco: D. Perla)

Muro Oeste

Este muro se identificó en las unidades CR117B-1, CR117B-2 y CR117B-4. Cuenta con 5.40 m de largo y 1.77 m de altura desde el nivel de piso en la Fachada Sur de la estructura. Está conformado por varias hileras (tres hileras conservadas) de bloques tallados de entre 30 a 40 cm de ancho y 20 a 30 cm de alto. En el extremo norte del muro no se identificó el bloque que corresponde a la esquina, por lo que se cree que este muro fue cortado intencionalmente para luego adosarle la plataforma (Figura 10.19).



Figura 10.19 Muro Oeste y plataforma adosada (Foto: D. Perla)

En la Unidad CR117B-4, sobre la plataforma empedrada y justamente donde el Muro Oeste termina, se encontró una sección de otro muro estucado en dirección este-oeste. Esta pequeña sección de 0.50 m de largo se encontró separada del Muro Oeste de la estructura (Figura 10.20) y su continuidad tampoco fue identificada en el Perfil Oeste de la unidad. Excavaciones posteriores podrán ayudar a la interpretación de este nuevo rasgo.



Figura 10.20 Sección de muro (Foto: D. Perla)

Plataforma Empedrada

Encontrada bajo el Lote 2 de las unidades CR117B-1, CR117B-2 y CR117B-4, consiste en una plataforma adosada al Muro Oeste que también fue identificada en las unidades CR117A-2 y CR117A-3. Cuenta con 1.18 m de altura y se extiende a lo largo del muro. El piso de la plataforma está conformado por rocas medianas y pequeñas (Figura 10.19). Restos de estuco de color rojo fueron encontrados en la Fachada Sur de la plataforma.

Unidad 117B-3

Los lotes 1 y 2 corresponden al humus y al material de escombros respectivamente. A diferencia de CR117B-1, CR117B-2 y CR117B-4, en esta unidad no se encontró el Muro Oeste ni la plataforma adosada. Bajo el Lote 2 apareció una mezcla con pedrín que solo aparece en esa sección de la unidad (Figura 10.21). Parecía ser un nuevo rasgo arquitectónico, pero por falta de tiempo no fue posible extender esta excavación.



Figura 10.21 Unidad CR117B-3 (Foto: D. Perla)

Suboperación CR117C: Parte superior de la Estructura 13R-7

Dentro de esta suboperación se realizaron tres unidades: CR117C-1, CR117C-2 y CR117C-3, con el objetivo de encontrar el nivel de piso superior de la estructura.

Unidad CR117C-1

Sus dimensiones son de 2 x 1 m, orientada este-oeste. Dos lotes fueron excavados, el Lote 1 corresponde al nivel de humus, mientras que el Lote 2 al material de derrumbe y tierra amarillenta con rocas. Bajo éste se encontró el piso estucado de la estructura (Figura 10.22). Se recolectó material cerámico y una muestra de carbón.

El nivel de este piso corresponde al observado en los Saqueos 1 y 2. Se encuentra a 1.14 m de altura desde la plataforma adosada y a 2.41 m sobre el nivel de plaza identificado en la Fachada Sur.



Figura 10.22 Piso estucado de la Estructura 13R-7 (Foto por D. Perla)

Unidad CR117C-2

Sus dimensiones son de 2 x 1 m, orientada este-oeste, se localizó al este de la Unidad CR117C-1. Al igual que la unidad anterior, dos lotes fueron registrados. El Lote 1 corresponde al humus. El Lote 2, tierra amarillenta mezclada con material de derrumbe de la estructura, presentó bloques tallados de fachada y material cerámico. En esta unidad se identificó el piso de estuco de la estructura (Figura 10.23), así como la continuidad de un muro expuesto por el Saqueo 2, descrito más adelante (Figura 10.24). Este muro tiene 95 cm de altura y también presenta restos de estuco rojo.

Unidad CR117C-3

Esta unidad se encuentra localizada al norte de CR117C-2. Sus dimensiones son de 2 x 2 m. Dos lotes fueron registrados en esta unidad. El Lote 1 corresponde al humus, mientras que el Lote 2 corresponde al derrumbe de estructura. Este es un estrato de tierra amarillenta más o menos suelta, la cual presentaba bloques tallados de fachada, así como bloques grandes, delgados y alargados, material cerámico, restos óseos y tres fragmentos de lítica.

Muro

Este rasgo, que inicia desde el Saqueo 2, corresponde probablemente al muro de un cuarto. La esquina oeste del muro fue identificada en esta unidad, por lo que se determinó que el grosor del muro es de 70 cm. Algunos bloques conservan restos del estuco que los recubría (Figuras 10.23 y 10.24). Mediante la limpieza de los bloques colapsados en la esquina se pudo observar que en la sección norte del muro, al menos una hilera de bloques se encuentra bajo el nivel de piso, por lo que el muro tuvo que ser construido antes de colocar el piso. Este muro probablemente contaba con otro tipo de decoración, ya que frente a una sección del muro (en la parte norte de la Unidad CR117C-3) se encontró un bloque con acanaladuras a manera de decoración.

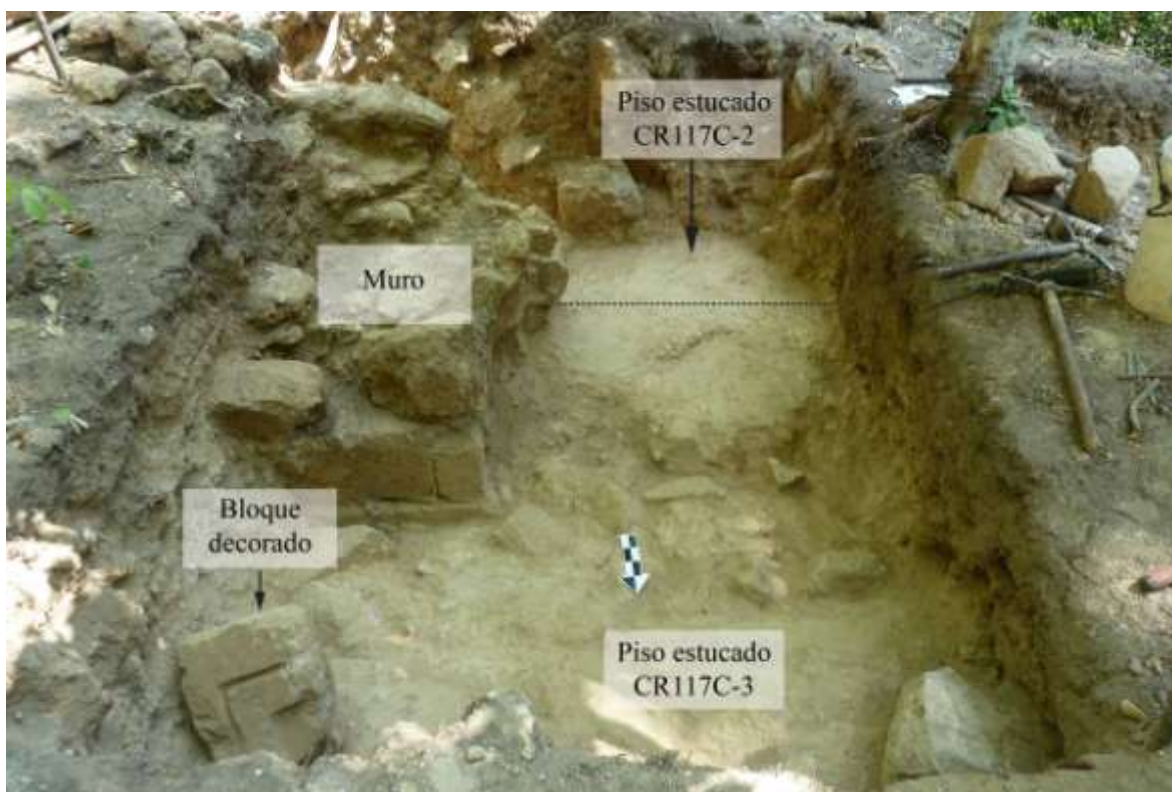


Figura 10.23 Muro de posible cuarto y nivel de piso estucado en las unidades CR117C-2 y CR117C-3
(Foto: D. Perla)

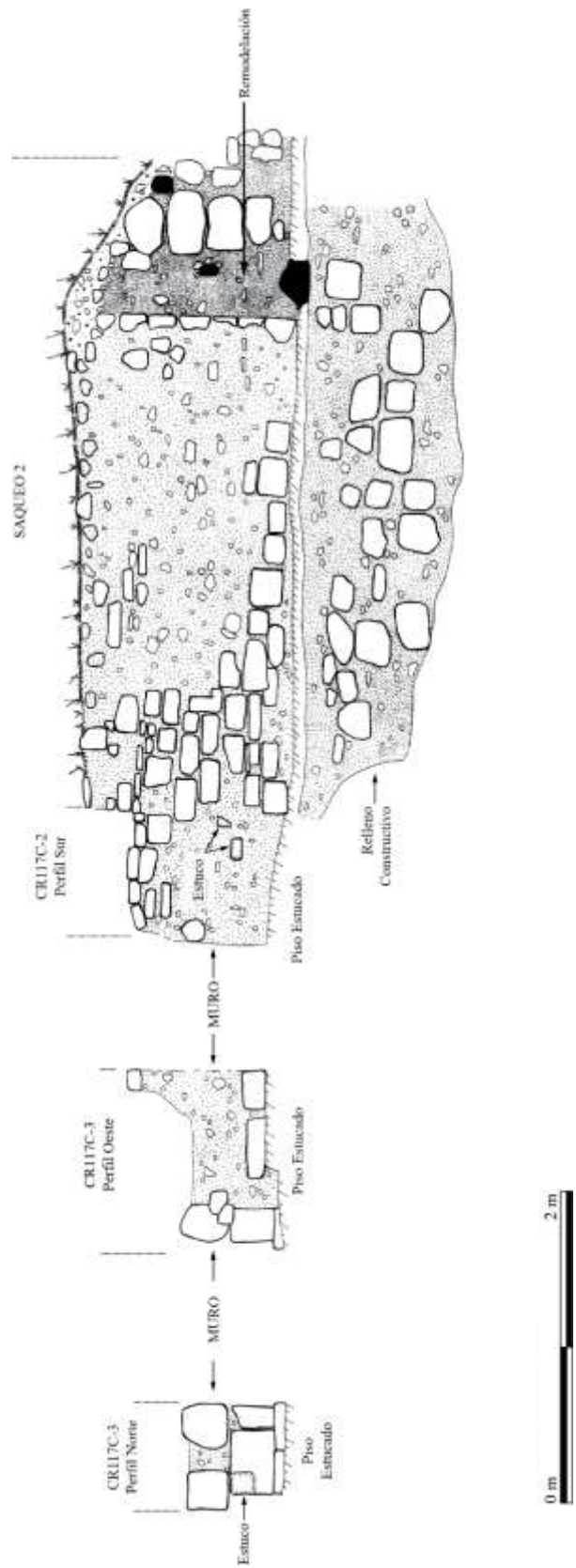


Figura 10.24 Muro de Saqueo 2 y unidades CR117C-2 y CR117C-3. Escala 1:20 (Dibujo y calco: D. Perla)

Suboperación CR117D: Fachada Este de la Estructura 13R-7

Está conformada por las unidades CR117D-1 y CR117D-2 y se realizó con el objetivo de conocer los rasgos arquitectónicos de la Fachada Este de la estructura.

Unidad CR117D-1

Sus dimensiones son de 2 x 1 m y se ubicó al este del Saqueo 2, siguiendo la orientación del muro. Se registraron tres lotes, el Lote 1 corresponde al humus, mientras que el Lote 2 corresponde a una tierra café-amarillenta con rocas medianas y pequeñas, identificada como el material de derrumbe. Bajo el Lote 2 apareció una pequeña sección de piso estucado, también identificado en el Saqueo 2. Debido a que ningún otro rasgo apareció en la unidad se decidió realizar un registro al este de la unidad, de 1 x 1 m, con una profundidad de 65 cm, el cual corresponde al Lote 3. Está conformado por tierra amarillenta suelta y bloques colapsados. En este registro se encontraron grandes rocas alineadas norte-sur que podrían corresponder a un rasgo importante (Figura 10.25), aunque por limitaciones de tiempo no fue posible seguir esta alineación. Muy poco material cerámico fue recolectado en esta unidad.



Figura 10.25 Rocas alineadas identificadas en el registro de la Unidad CR117D-1 (Foto: D. Perla)

Unidad CR117D-2

Localizada al norte de la Unidad CR117D-1, sus dimensiones son de 2 x 2 m y en ella se registraron dos lotes. El Lote 1 corresponde a la capa de humus y el Lote 2, tierra café-amarillenta fina con rocas muy grandes, medianas y pequeñas. Presentó más de 400 tiestos. En esta unidad se identificó la Fachada Norte del muro que aparece en el Saqueo 2, el cual forma un posible cuarto. El muro encontrado en el Perfil Sur de esta unidad cuenta con una pequeña banqueta de 46 cm de ancho y de 48 cm de altura (Figura 10.26). Los bloques, tanto del muro como de la banqueta, se encuentran en buen estado de conservación y muestran una alta calidad de talla, muy parecida a los bloques identificados en las fachadas Sur, Oeste y en el muro encontrado en CR117C-3. Una ampliación de 50 cm se trazó al oeste de la unidad. Identificada como CR117D-2A, tuvo como objetivo seguir el muro encontrado.

En el Perfil Este se identificaron dos grandes bloques tallados, que podrían corresponder a los bloques de fachada interior del cuarto. En la sección oeste de la unidad se encontró restos de un piso estucado. Cabe mencionar que este piso estucado se encuentra a 94 cm sobre el nivel de piso identificado en el Saqueo 1, Saqueo 2, y en las unidades CR117C-1, CR117C-2 y CR117C-3 (Figuras 10.27 y 10.28).

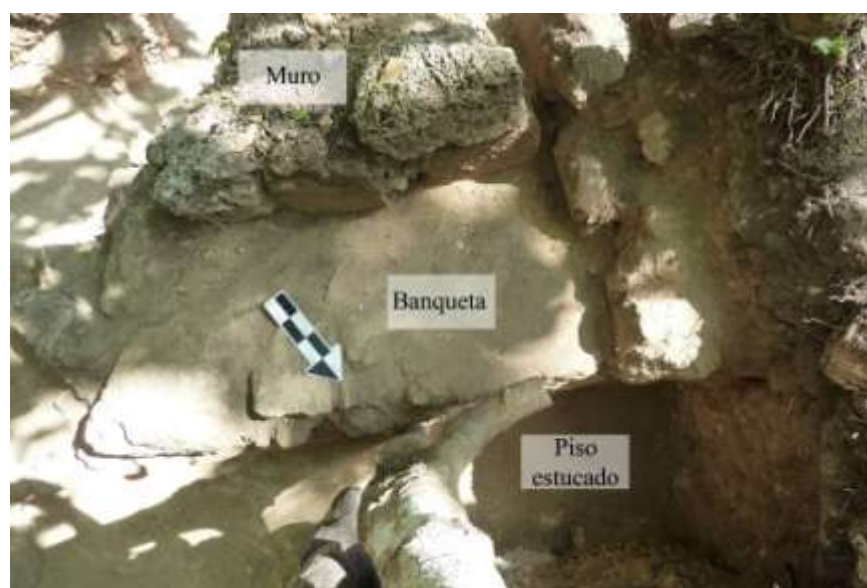


Figura 10.26 Planta del muro y banqueta de la Unidad CR117D-2 (Foto: D. Perla)

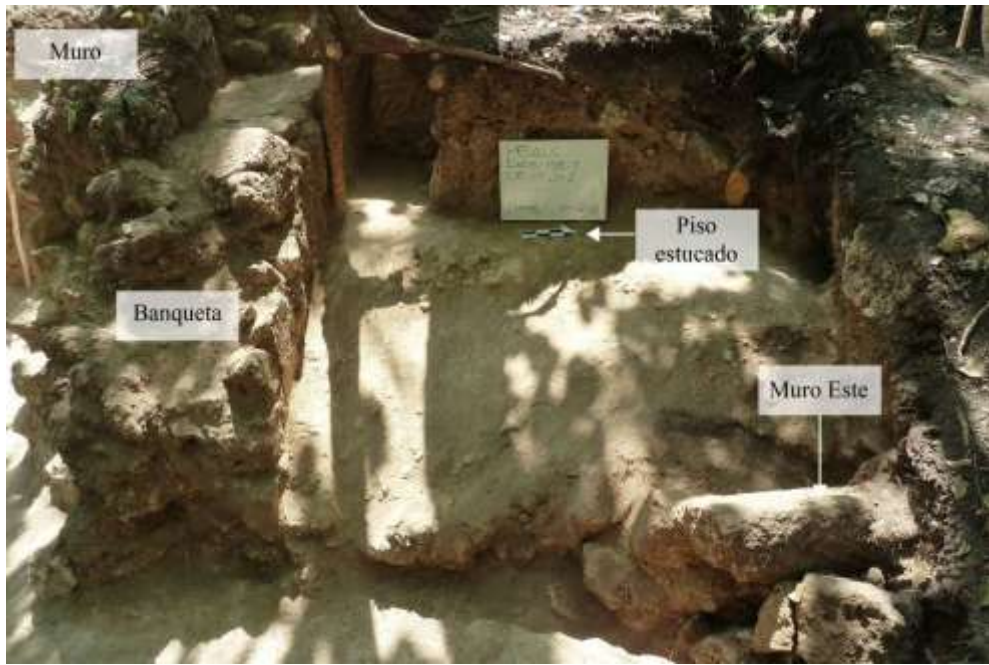


Figura 10.27 Unidad CR117D-2 (Foto: D. Perla)

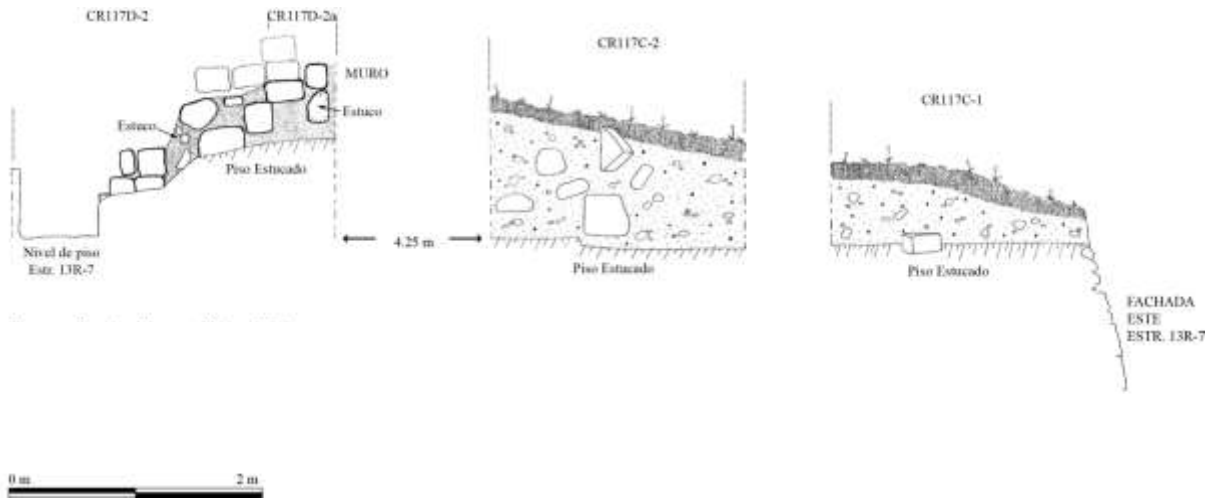


Figura 10.28 Corte este-oeste de la Estructura 13R-7. Escala 1:20 (Dibujo y calco: D. Perla)

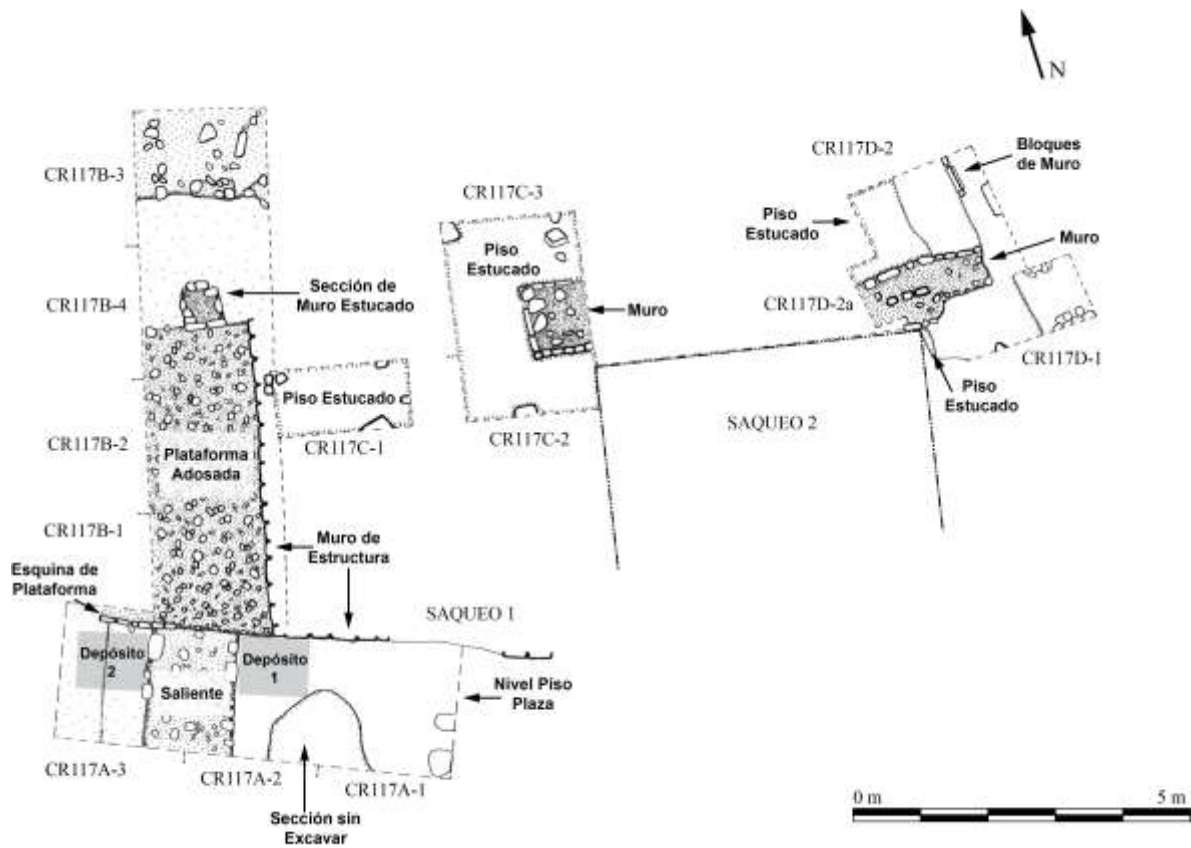


Figura 10.29 Planta de las excavaciones realizadas en la Estructura 13R-7. Escala 1:50

(Dibujo y calco: D. Perla)

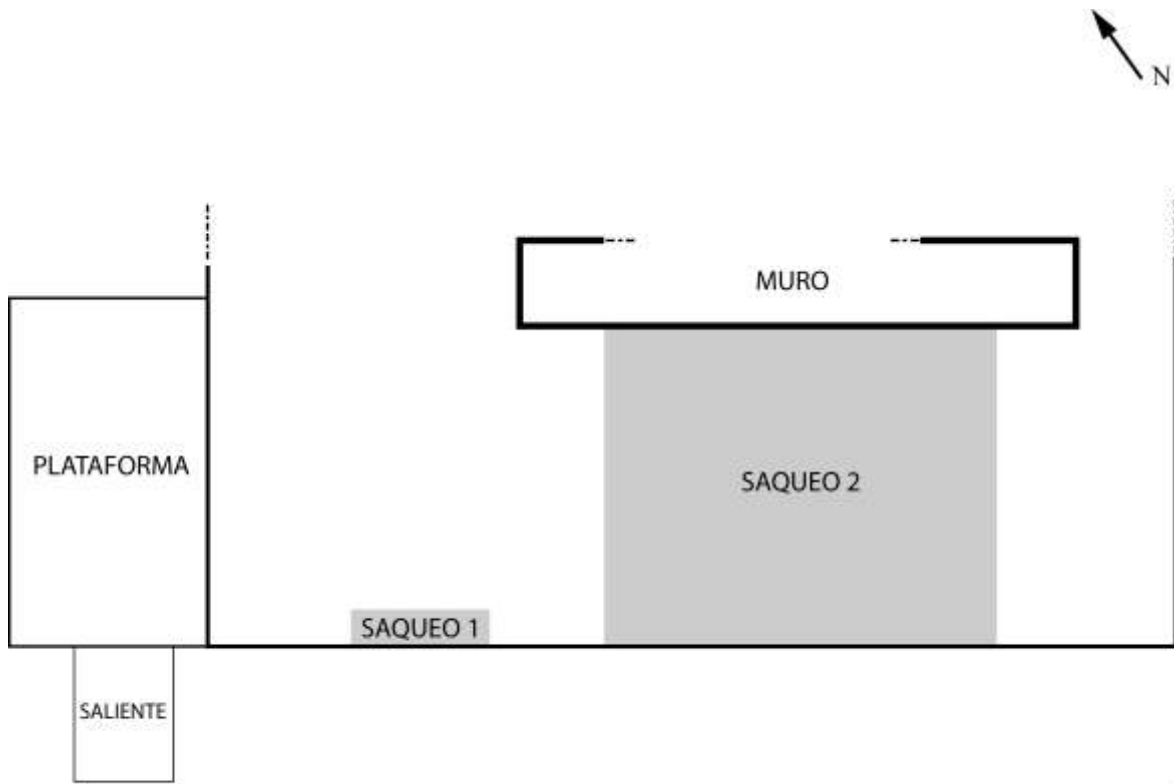


Figura 10.30 Esquema de planta de la Estructura 13R-7 (Dibujo: D. Perla)

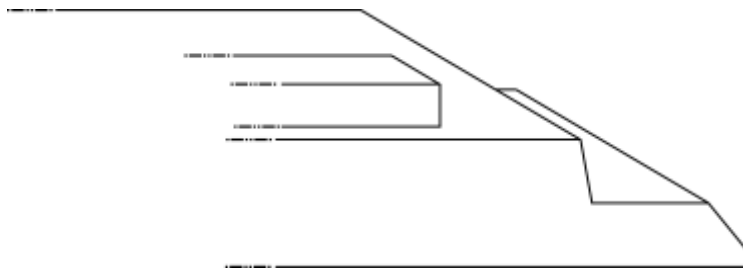


Figura 10.31 Levantamiento esquemático (Dibujo: D. Perla)

Conclusiones

Las excavaciones realizadas durante esta temporada de campo brindaron datos interesantes sobre la arquitectura y funcionalidad de la Estructura 13R-7, que cuenta con al menos dos etapas constructivas y varias remodelaciones. La primera etapa constructiva corresponde a una plataforma basal alargada, con paredes inclinadas y esquinas redondeadas. Está formada por bloques de roca caliza, trabajados con una alta calidad de talla y que estuvieron cubiertos por una capa de estuco, aún visible en algunas secciones de las fachadas Sur y Oeste. Se asentó sobre un piso de estuco, que en el área sur se encuentra a unos 20 cm sobre la roca madre.

En la parte superior de la plataforma basal aún se conserva muy bien el piso estucado que la recubre. Además se encuentra un muro alineado este-oeste que podría corresponder al muro de un cuarto con entrada lateral al oeste (identificada en las unidades CR117C-2 y CR117C-3). Lamentablemente el Saqueo 2 destruyó por completo la sección de la estructura donde debería encontrarse dicho cuarto. En la Unidad CR117C-3 se pudo observar que el piso de estuco fue colocado luego de construirse el muro que estaba estucado al menos de un color (rojo), ya que se encontraron restos de estuco de este color en la fachada interior del posible cuarto.

Otro posible cuarto fue identificado en el área este de la estructura. Se identificaron los muros Sur y Este, así como una pequeña banqueta adosada al Muro Sur. Es importante notar primero que en el Saqueo 2 puede observarse una remodelación que corresponde a la parte anterior del Muro Sur. Segundo, que el piso estucado de este cuarto fue colocado posteriormente a la construcción del muro y tercero que este piso se encuentra a unos 94 cm por encima del nivel del piso de la plataforma basal, por lo que puede tratarse de una remodelación posterior. Gran cantidad de material cerámico se obtuvo mediante las excavaciones, por lo que su análisis y excavaciones posteriores darán más información sobre este rasgo. Debido a la calidad constructiva de la primera etapa, probablemente corresponda a la época de florecimiento del sitio, entre 600 a 700 d.C., durante la Fase Yuknoom (625-700 d.C.). Esto podrá reafirmarse o refutarse mediante el análisis cerámico y futuras excavaciones.

La segunda etapa constructiva bien definida se trata de una plataforma empedrada, que se encuentra adosada al Muro Oeste de la estructura. La calidad constructiva de esta remodelación es mucho menor al de la estructura original, ya que no cuenta con bloques trabajados en su Fachada Sur. Sin embargo, esta plataforma también se encontraba estucada al menos de color rojo. En el extremo norte del Muro Oeste original no se encontró el bloque de esquina. Este hallazgo probablemente refleja la modificación que sufrió dicho muro para adosarle posteriormente la plataforma. Otro arreglo arquitectónico fue encontrado sobre la plataforma empedrada, el cual parece ser una columna o sección de muro estucado, separado del muro original por 30 cm.

Al sur de la plataforma empedrada fue construida una saliente baja, a sus lados se encontraron los depósitos 1 y 2. En el Depósito 2 se encontró material correspondiente a las fases Tepeu 1 y 2 (Caroline Parris com. pers. 2012), por lo que las remodelaciones realizadas en esta etapa constructiva son fechadas muy probablemente para la Fase Ti' Kaan (700-750 d.C.) del sitio, período en el cual *Sak Nikte'* aún mantenía relaciones estrechas con Calakmul.

La ubicación de esta estructura en uno de los grupos más importantes del sitio y su alta calidad constructiva apuntan hacia una función destinada para la élite local, probablemente habitacional. Además debe tomarse en cuenta que el material encontrado en el *chultún* de la Fachada Norte de la Estructura 13R-10 es muy parecido al excavado en el Depósito 2 (C. Parris com. pers. 2012). Por limitaciones de tiempo no fue posible conocer algunos rasgos arquitectónicos como la conexión esta estructura y la Estructura 13R-1 al este y la fachada de ingreso, por lo que se recomienda continuar con las excavaciones para tener un conocimiento más amplio de la estructura, sus etapas constructivas y su función dentro del grupo.

CAPÍTULO XI

OPERACIÓN CR13A: EXCAVACIONES EN LA PLATAFORMA DEL GRUPO 13R-II

Jocelyne Ponce, Andrea Sandoval y Alejandro González

Introducción

El Grupo 13R-II está ubicado al noroeste del Grupo Coronitas, con quienes comparte la misma plaza abierta. Las estructuras de este grupo se encuentran sobre una plataforma elevada, limitada al norte por la Estructura 13R-11, al oeste por la Estructura 13R-9, al este por la Estructura 13R-7 y abierta en el lado sur. En 2009, la plataforma del Grupo 13R-II fue investigada por Érika Gómez, quien realizó excavaciones en el límite sur de la plataforma, frente al eje central de la Estructura 13R-9. Estas excavaciones mostraron que el límite de la plataforma estuvo formado por terrazas escalonadas elaboradas con piedras rústicas y sin talla. No se encontraron restos de superficies estucadas en el supuesto nivel de piso de plaza. Sin embargo, es posible que por hallarse en un nivel muy superficial no se conservara este rasgo (Gómez 2010).

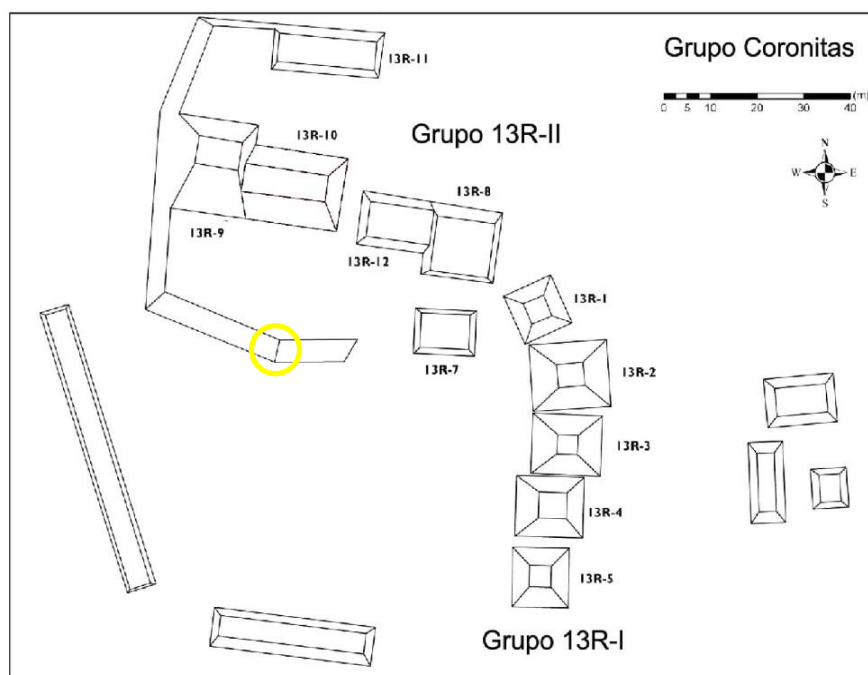


Figura 11.1 Área donde se ubicaron las unidades de excavación
(Mapa: D. Marken. Modificación: T. Barrientos)

La plataforma posee una parte esquinada frente al eje central de la Estructura 13R-10 y en esta área se detectó una elevación anómala del terreno. Es por esto que se realizaron cuatro unidades contiguas de excavación, denominadas CR13A-6 y CR13A-7 de 2 x 2m, CR13A-8 de 1 x 2m y CR13A-9 de 1 x 0.5 m, con el objetivo de ampliar la información sobre los rasgos arquitectónicos del límite de la plataforma de la plaza y verificar la naturaleza de esta elevación anómala (Figura 11.1)

Unidad CR13A-6 (A. Sandoval)

Esta unidad alcanzó una profundidad máxima de 71.5 cm desde la superficie y se identificaron tres niveles y siete lotes de excavación. El primer lote constó de una capa de humus de aproximadamente 6 cm de espesor, cuya consistencia era árida, suelta y sin raíces, de color café opaco (color Munsell 10YR5/2). El Lote 2 estuvo conformado por una capa de relleno de piedra caliza de apariencia burda, de aproximadamente 10cm cada una, mezclada con tierra suelta color café 10YR5/2, similar a la tierra del humus. El Lote 3 constó de una capa de relleno de piedra caliza de apariencia burda, similar al Lote 2, pero con piedras de aproximadamente 20cm y mezclada con tierra suelta color café opaco 10YR 5/2. Es importante mencionar que la coloración de la tierra varió en este estrato a lo largo del pozo, ya que a medida que la excavación se acercaba al centro-este del pozo, la coloración de la tierra cambiaba a amarillo-rojizo (7.5YR5/8) y la consistencia se volvía cada vez más suelta y seca. El cuarto lote estuvo conformado por una mezcla hecha a base de cal, de aproximadamente 8mm de grosor y color blanco hueso (10YR8/2), la cual recubría un rasgo rústico, que parecía ser un fogón hecho de piedra caliza burda.

El Lote 5 estuvo conformado por un apisonado de tierra café claro (10YR6/3), de consistencia compacta y ligeramente arcilloso, sobre el cual se asentaba la estructura rústica mencionada anteriormente que ha sido interpretada como un posible fogón recubierto de mezcla a base de cal (Figura 11.2). Este rasgo consistió de una especie de canal central, formado en su costado izquierdo por piedras calizas recubiertas de mezcla, y en su costado derecho por una alineación de piedras con cara tallada hacia el interior del fogón, de distintos tamaños que variaban de 6 a 30 cm, las cuales no se encontraban recubiertas por mezcla. Es importante mencionar que el apisonado y las piedras que formaban el canal tenían señales de haber sido sometidos a alta temperatura y a combustión de materia orgánica, pues presentaban rastros de hollín. En el caso de las calizas rústicas, una

coloración rojiza se visualizó en su interior, y por las condiciones a las que estuvieron sometidas, algunas se encontraron en estado frágil. Sobre el apisonado, en la parte interna de la estructura o fogón, se encontró una piedra de moler volteada, la cual contenía carbón en su interior (Figura 11.3). Posteriormente se encontró el Lote 6, conformado por una capa de relleno de piedra caliza de apariencia burda, de 10 cm en promedio, y color amarillento (10YR6/4). Por último, se encontró el Lote 7 que constó de un apisonado (deteriorado) hecho de una mezcla a base de cal, la cual presentaba un color café-amarillento muy pálido (10YR8/4) (Figura 11.4).



Figura 11.2 Posible fogón encontrado en el Lote 5 de la Unidad CR11A-6 (Foto: A. Sandoval)



Figura 11.3 Piedra de moler encontrada en la parte interna del posible fogón. Unidad CR11A-6-5 (Foto: A. Sandoval)

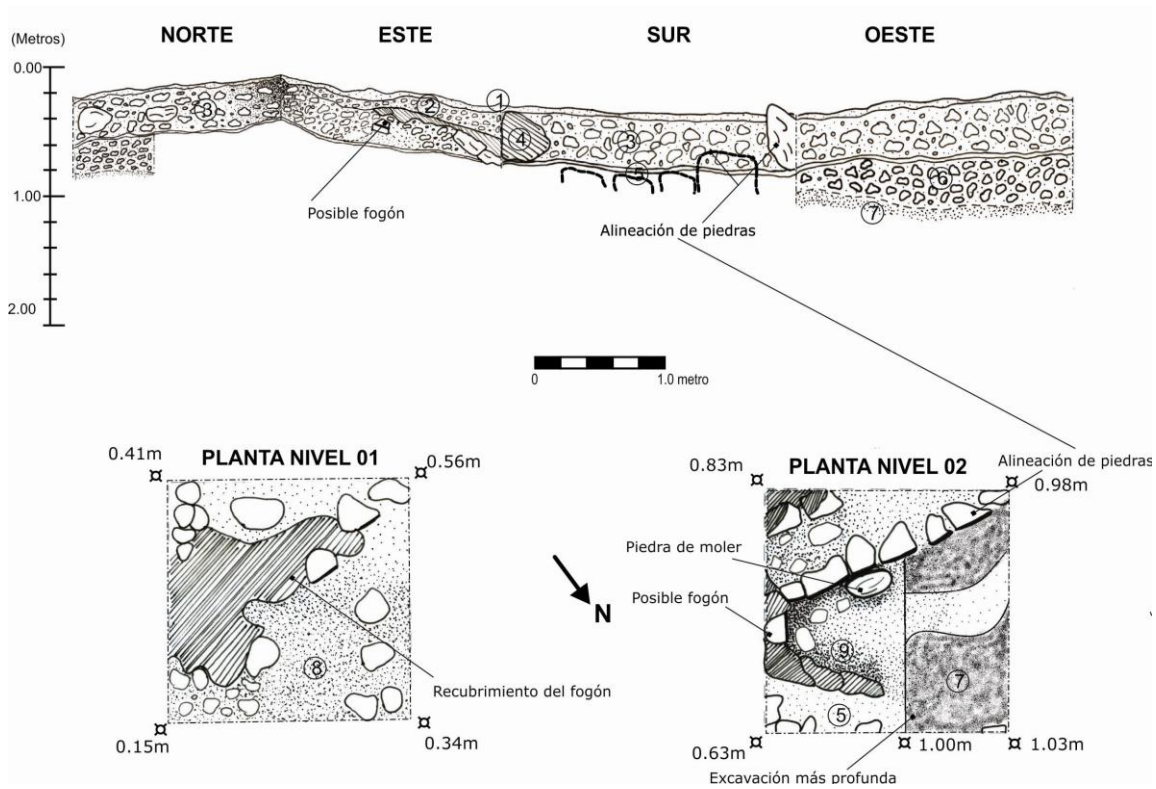


Figura 11.4 Perfiles y plantas de los niveles 1 y 2 de la Unidad CR16A-6 (Dibujo y calco: A. Sandoval)

Unidad CR13A-7 (A. Sandoval)

Esta unidad se ubicó al este de la Unidad CR13A-6 y se encontró la esquina este del posible fogón. Alcanzó una profundidad máxima de 81.5 cm desde la superficie y se identificaron dos niveles y cinco lotes de excavación. Al igual que en la Unidad CR13A-6, el primer lote consistió de una capa de humus de aproximadamente 6 cm de espesor, cuya consistencia era árida, suelta y sin raíces, de color café opaco (10YR5/2). El Lote 2 constó de tierra semi suelta de color café 10YR3/4, similar a la consistencia del humus con un grosor de 6 cm. El tercer estrato constó de una capa de tierra quemada, bastante seca, de consistencia suelta y color 10YR4/4, con un grosor de 12 cm.

El Lote 4 estuvo formado por un relleno de piedra caliza de apariencia burda, de 20 cm de tamaño en promedio, mezclada con tierra suelta color café opaco 10YR 5/2. Sobre este relleno se encontró la esquina este del posible fogón encontrado en la Unidad CR13A-6, al igual que dos hileras paralelas de piedra orientadas hacia el norte al lado este del fogón (Figura 11.5). Es posible que estas dos hileras hayan sido los basamentos de un muro de un posible temascal. Estas piedras medían un promedio de 20 cm de largo. Por último, el Lote

5 constó de una mezcla hecha a base de cal, de aproximadamente 8 cm de grosor y de color blanco hueso (10YR8/2), la cual recubría parte del posible fogón, pero la esquina no estaba recubierta (Figura 11.6).



Figura 11.5 Esquina este del posible fogón e hileras de piedras orientadas hacia el norte (Foto: A. Sandoval)

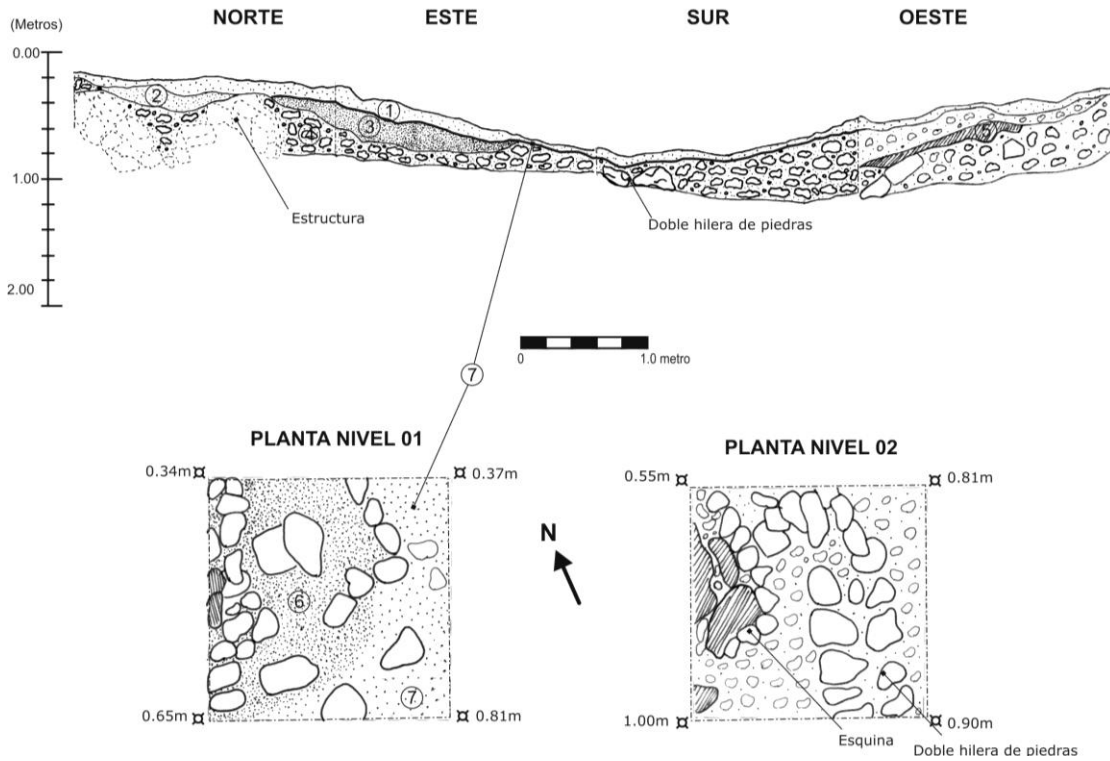


Figura 11.6 Perfiles y plantas de los niveles 1 y 2 de la Unidad CR16A-7 (Dibujo y calco: A. Sandoval)

CR13A-8 (A. González)

Este pozo tenía como objetivo darle seguimiento a los rasgos encontrados en las unidades CR16A-6 y CR16A-7, por lo que se ubicó al norte de CR16A-6. Se alcanzó una profundidad máxima de 40 cm y se identificaron dos niveles y dos lotes de excavación (Figura 11.7). El Lote 1 constó de tierra suelta con raíces, color café rojizo oscuro (3/3 5YR). En este lote se recuperaron 50 tiestos y un fragmento de obsidiana. El Lote 2 consistió de tierra arcillosa, de color café rojizo oscuro (3/3 5YR) con presencia de raíces. Se encontraron ocho tiestos alrededor de un área que presentaba coloración distinta de color gris claro (7 5YR), en lo que parecía ser un área quemada que posiblemente fue un fogón. En el Perfil Sur se encontró la continuación del muro encontrado en CR13A-6, por lo que se delimitó el Muro Norte de lo que posiblemente fue un temascal o una estructura con función indeterminada.

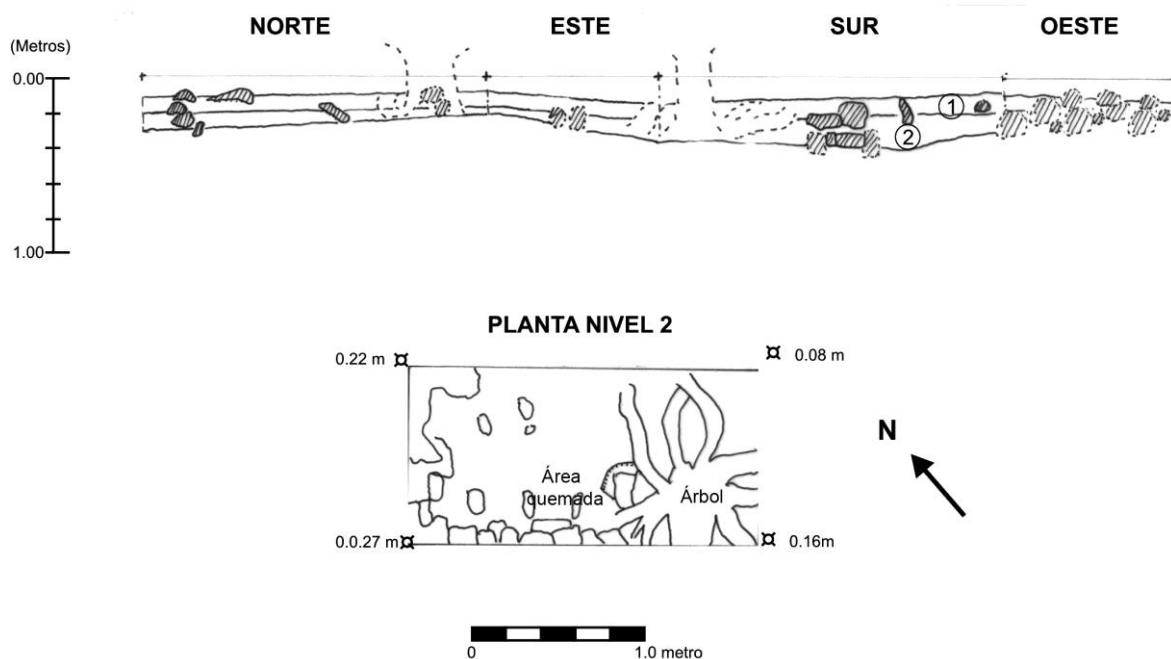


Figura 11.7 Perfiles y planta del Nivel 2 de la Unidad CR13A-8 (Dibujo y calco: A. González)

CR13A-9 (A. González)

Este pozo se ubicó al sur de la Unidad CR13A-7 con el objetivo de continuar la excavación de las piedras y relleno encontrado en dicha unidad. Se alcanzó una

profundidad máxima de 20 cm y se identificó solamente un nivel y un lote, que consistió de tierra suelta con raíces de color café rojizo oscuro (3/3 5YR). Se observó una alineación de piedras hacia el NO, por lo que la orientación varía un poco en comparación a la que fue encontrada en la Unidad CR13A-7. En esta unidad se recuperaron solamente cuatro fragmentos de cerámica.

Conclusiones

El propósito original de estas excavaciones era conocer sobre la arquitectura del límite de la plataforma que sostiene al Grupo 13R-II, específicamente la elevación anómala detectada en el área esquinada. Sin embargo, se descubrió que la elevación correspondía a una estructura rústica hecha de piedra caliza burda y recubierta por una mezcla a base de cal, asentada sobre un apisonado café. Se cree que la estructura descubierta corresponde a una especie de fogón, ya que el suelo y las rocas que conformaban el canal presentaban indicios de haber sido sometidas a alta temperatura y combustión de materia orgánica, por el hollín hallado en su superficie. El hallazgo del alineamiento de piedras orientadas hacia el norte ha sido interpretado como el Muro Norte de una estructura que pudo haber sido un temascal que confinaba el fogón. Los artefactos asociados que incluyen la piedra de moler volteada dentro del fogón, cerámica utilitaria, obsidiana sin huellas de uso, una punta de pedernal y fragmentos de hueso, indican un contexto adjudicado a posible uso doméstico. Sin embargo, por la ubicación frente al eje central de la Estructura 13R-10, no se debe descartar la posibilidad que haya sido un fogón con uso ritual. El hecho que las piedras eran rústicas y de distintas dimensiones podría indicar que las tomaron de las diferentes estructuras de la plaza. Debido a la arquitectura rústica de la estructura y su poca profundidad desde la superficie, se cree que corresponde a un período habitacional posterior al uso principal de las estructuras de la plaza. Este contexto es complejo e interesante, por lo que se recomienda continuar las excavaciones en esta área en temporadas futuras para obtener una mejor idea de la arquitectura y función de esta plataforma.

CAPÍTULO XII

OPERACIÓN CR50: EXCAVACIONES EN EL GRUPO 14S-I “EL CABALLITO”

Jorge Pontaza y Alejandro González

Introducción

La Temporada 2012 fue la segunda temporada de investigación en el Grupo 14S-I, conocido también como “El Caballito”. Este grupo está ubicado al sureste del sitio, a 1.05 km en línea recta desde la Plaza Central y a 600 m en línea recta del Grupo Coronitas. También se localiza en el lado sureste del cibal llamado “El Colmoyote” (por su similitud con esta larva, estando el grupo en lo que sería la cola), por lo que constituye un grupo rodeado de bajos y a tan solo 50 m del nivel actual del agua del cibal.

Como referencia, el grupo se encuentra al sur del campamento de investigaciones de La Corona (campamento Jabirú) y se llega siguiendo el camino creado para llegar al campamento Militar y de Conservación Natural e investigación de Guacamayas y control de fuegos de WCS, llamado Sargazo. Se caminan solamente siete minutos en un sendero amplio y de relativamente fácil acceso para el paso de automóviles 4 x 4, encontrándose el Montículo 14SI-1 a pocos metros del camino.

El grupo posee 12 estructuras, entre plataformas y edificios (no 13, como se definió el año anterior). Consta asimismo de dos plazas: Plaza A con 40 m², formada por tres montículos al norte, dos al este, uno al oeste y el montículo más grande de 40 m de largo y 3 m de alto hacia el sur. La Plaza B, ubicada al oeste del grupo, es formada por tres estructuras y se delimita con el bajo que se encuentra en la parte oeste, y por la Estructura 14SI-13, que es una estructura funeraria.

La Estructura 14SI-1 fue ubicada en 2010, pero fue hasta la Temporada 2011 cuando se comenzaron las investigaciones del grupo y se definió como tal. Con su localización se amplió el mapa del sitio *Sak' Nikte* hacia el sur de manera considerable. También se definió un nuevo estrato social de élite secundaria, y definitivamente aumentó el posible nivel poblacional del asentamiento en general, ya que en comparación con otros grupos de estructuras que se encuentran fuera de la parte central del sitio (Plaza Central y Coronitas), éste forma un conjunto de montículos de mucho mayor tamaño.

Así como el año anterior, la Temporada 2012 tuvo como objetivo general descubrir un poco más acerca del Grupo El Caballito. Más específicamente identificar alguna temporalidad y fecha de asentamiento, orientación de los edificios, definición de espacios, y uso de las estructuras. Aunque se sabía que se requeriría aún más investigación y excavación, los datos obtenidos abren mucho más el panorama para identificar las funciones de uno de los pocos grupos fuera del área central investigados hasta la fecha.

Para obtener los datos se utilizaron diferentes tipos de excavaciones: horizontales y verticales. Se realizaron unidades de sondeo de 2 x 1 m en áreas específicas, para identificar material cerámico y definir estructuras y plataformas. Así mismo se definieron unidades de 2 x 2 m formando una trinchera, para definir el inicio de edificios, pisos y delimitar espacios. Por último se realizaron excavaciones extensivas en la parte superior de estructuras (horizontal), con unidades de 2 x 1 m hasta 2.5 x 2.5 m, demarcando la superestructura de forma superficial; así como otras unidades con el objetivo de hallar subestructuras (Figura 12.1). Los lotes de excavación fueron culturales, definidos por el tipo de tierra y se utilizaron también suboperaciones, en el caso de ampliaciones de pozo y el área de la cámara funeraria, que contenía un tipo de relleno distinto y un área excavada en la roca madre.

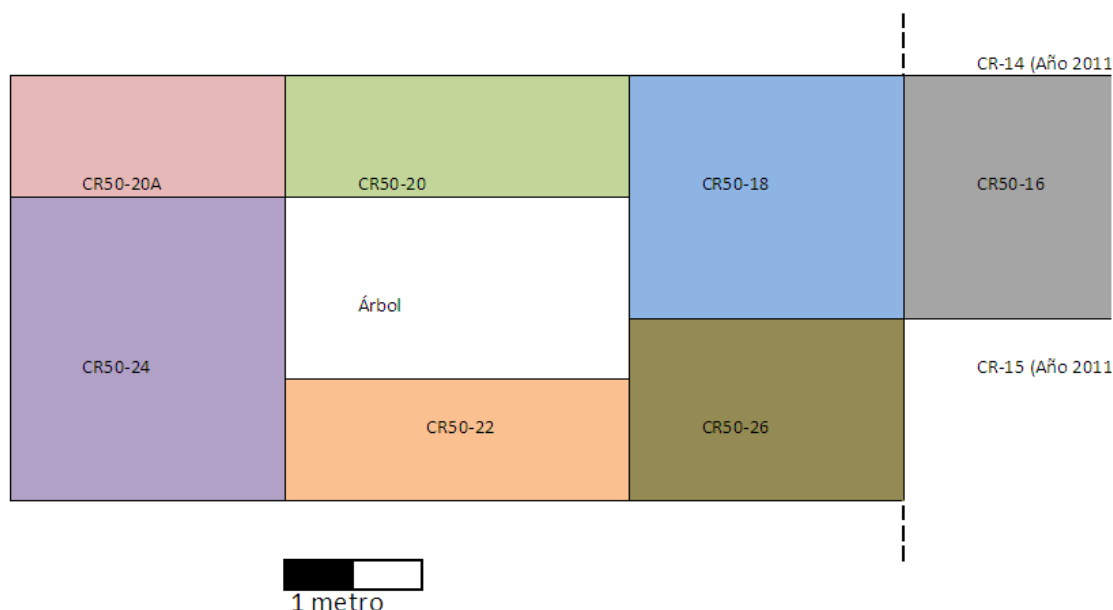


Figura 12.1 Croquis de la ubicación de los pozos en la parte superior de la Estructura 14S-1 (Dibujo: J. Pontaza)

Tras esta temporada, el presente capítulo logrará comprobar varias hipótesis planteadas la temporada anterior, definiendo de mejor manera el uso de este grupo y de algunas de sus estructuras, con el objeto de crear un panorama más amplio del sitio en general. También se planteará la hipótesis de una élite secundaria, de menor rango que Coronitas, tras la interpretación de datos obtenidos.

El capítulo se dividirá en cuatro partes: (a) Investigaciones en la Estructura 14SI-1; (b) investigaciones en la Plaza B (14SI-13); (c) investigaciones realizadas con los pozos de sondeo y (d) conclusiones de los datos.

A. Investigaciones Horizontales: Estructura 14SI-1

En la Temporada 2011 se inició la investigación horizontal de la Estructura 14SI-1, el montículo más elevado del Grupo Caballito. Se realizó una trinchera que atravesaba el edificio de norte a sur, dejando un espacio en medio, en la parte más alta de la estructura, donde se iniciaron las investigaciones en la Temporada 2012. Se continuó con la misma metodología de investigación, para ubicar los últimos rasgos culturales y la última etapa constructiva.

Las excavaciones en la parte superior de la estructura comprendieron las unidades: CR50-16, CR50-18, CR50-20, CR50-20A, CR50-22, CR50-24 y CR50-26, las cuales formaron un perímetro de investigación en la parte central del montículo (Figura 12.1). Este espacio quedó sin investigar pues había un árbol en el sector, que no se vio la necesidad de talar para completar los objetivos de la investigación. Además siendo el sitio parte de una reserva natural, la conservación de la flora es imperativa y un objetivo del proyecto en general.

Las unidades de excavación presentaron generalmente los mismos niveles y lotes en cuanto a tipos de tierra. El primer nivel de excavación constó de un tipo de humus bastante suelto, tierra negra o de coloración oscura, fértil, con raíces pequeñas de vegetación superficial y algunas de mayor envergadura por los escobos grandes que crecieron sobre el montículo. También se encontraron en este nivel raíces de árboles de tronco grueso de especies no identificadas, las cuales dañaron considerablemente la última fase constructiva, empujando piedras y desmoronando muros. En la Unidad CR50-16-1, a 20 cm de profundidad y casi a nivel de cambio de tipo de tierra, se encontró la parte final de un muro o banqueta hecha con piedras trabajadas. Éstas fueron de forma cuadrada y midieron 15 x

15 cm aproximadamente, formando un rasgo cultural bastante bien conservado en relación a los demás montículos del grupo. Siguiendo este rasgo, se continuaron las excavaciones tanto horizontal como verticalmente, para definir las esquinas y la profundidad del muro (Figura 12.2).



Figura 12.2 Fotografía mostrando el detalle del lado norte de las hiladas superiores de un muro banqueta en la parte superior de la Estructura 14SI-1. Unidad CR50-16-1 (Foto: J. Pontaza)

Si se hace un recuento de la cantidad de material hallado en este lote, que tuvo una profundidad promedio de entre 10 y 25 cm, es solamente de 18 tiestos, sin obsidiana o algún otro material cultural (lítica, concha, piedra trabajada). La mayor cantidad de material arqueológico se recuperó en la Unidad CR50-18 (12 tiestos).

El siguiente lote de excavación fue de tierra de relleno, con colores desde amarillenta a café grisáceo, dependiendo de la unidad. Se recolectó mucha mayor cantidad de restos culturales, principalmente cerámica, con un total de 195 tiestos, (siendo la Unidad CR50-22A la que más tiestos poseía, con 41). En la Unidad CR50-18, a los 50 cm de profundidad, se halló una hachuela de piedra blanca con pequeñas rajaduras.

El Lote 3 fue definido solamente en las unidades CR50-16 y CR50-22. En la Unidad CR50-16 solamente se excavó un área de 1.50 m (de este a oeste) x 1 m (norte a sur), por encontrarse dentro del muro definido, con la intención de encontrar algún otro rasgo cultural o etapa constructiva anterior. El tipo de tierra inició con café claro, para cambió a un tipo de relleno beige y arenisco. En este nivel se hallaron 65 tiestos, en especial en el área de tierra más amarillenta.

En la Unidad CR50-22 se decidió descender en la excavación por la particular alineación de tres piedras de considerable tamaño (Figura 12.3) que parecían estar marcando o definiendo un punto en particular. El Lote 3 se excavó hasta una profundidad máxima de 110 cm y solo aparecieron 22 tiestos en un tipo de tierra rojizo, muy fina y suave, con unas piedras pequeñas, a manera de relleno. No apareció ningún escondite o artefacto en particular, aunque sí se definió la tierra de una textura y color muy distintos a las halladas en diferentes áreas de la excavación del grupo.

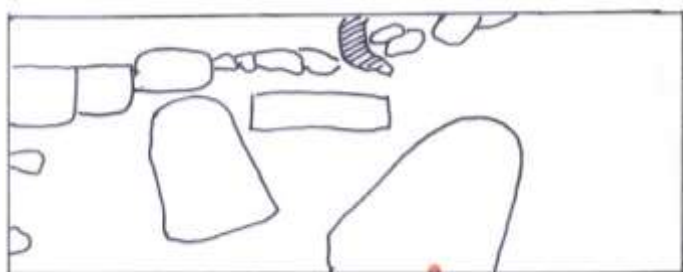


Figura 12.3 Dibujo de planta y fotografía del detalle de la Unidad CR50-22 (Dibujo y foto: J. Pontaza)

El Lote 4 se excavó solamente en CR50-16, a una profundidad máxima de 2 m dentro del Montículo 14SI-1. Se encontraron 56 tiestos, en un tipo de tierra de relleno muy amarillento. Se dejó este nivel inconcluso para futuras investigaciones que penetren a fondo el montículo, pues no se halló ningún rasgo definido.

En general, estas excavaciones se realizaron con la intención de seguir la alineación de piedras, con la posibilidad de formar una banqueta o un muro que definiera la superestructura. Sin embargo, las raíces del árbol hicieron imposible delimitar con claridad la continuidad del muro.

B. Investigaciones en la Plaza B

El Grupo El Caballito posee dos plazas que separan los espacios, siendo la Plaza B más restringida, más aislada y por ende más privada, con uso muy distinto a la Plaza A, que es la mayor. La plataforma sobre la que está construida la denominada Plaza B se encuentra ligeramente más elevada que la Plaza A (de 1 a 1.5 m más alto), con una caída

relativamente pronunciada hacia el lado oeste, que se define como el lado posterior del Montículo 14SI-13, descendiendo hacia el bajo.

En la Temporada 2011 se realizaron unidades de sondeo en esta plaza, para determinar algún piso de plaza u otro rasgo importante, pero solo se halló que el área poseía una capa muy rústica de piedras grandes sobre las cuales existió un piso de piedras pequeñas que se encuentra en muy mal estado de conservación en la actualidad (Pontaza 2012).

Trinchera en Montículo 14SI-B13

La Estructura 14SI-B13, es la estructura más al oeste del Grupo 14S-I. Consiste de un montículo en la Plaza B, que está formada por tres estructuras pequeñas, una plataforma alargada en el lado este y en el lado norte una plataforma bastante destruida por raíces de árboles. El montículo mide 8 m de largo por 5 m de ancho (este-oeste). En la Temporada 2012 se procedió a penetrar el montículo con una trinchera que lo abordaría de este a oeste hasta llegar al centro, deteniéndose por rasgos importantes, así como un nivel arbitrario de 20 cm para mantener el mejor control posible. Las unidades realizadas en la Plaza B fueron: CR50-17, CR50-19, CR50-21 y CR50-21A (Figuras 12.4 y 12.5).

En la Unidad CR50-17, de 2 x 2 m, se excavó hasta una profundidad máxima de 90 cm, con cinco lotes identificados, con la intención de definir el suelo estéril de piedra caliza y la tierra de nivelación. Esta unidad se excavó en la parte externa de la elevación del montículo, buscando algún piso o grada del mismo.



Figura 12.4 Planta de las excavaciones realizadas en la Plaza B (Dibujo: J. Pontaza)

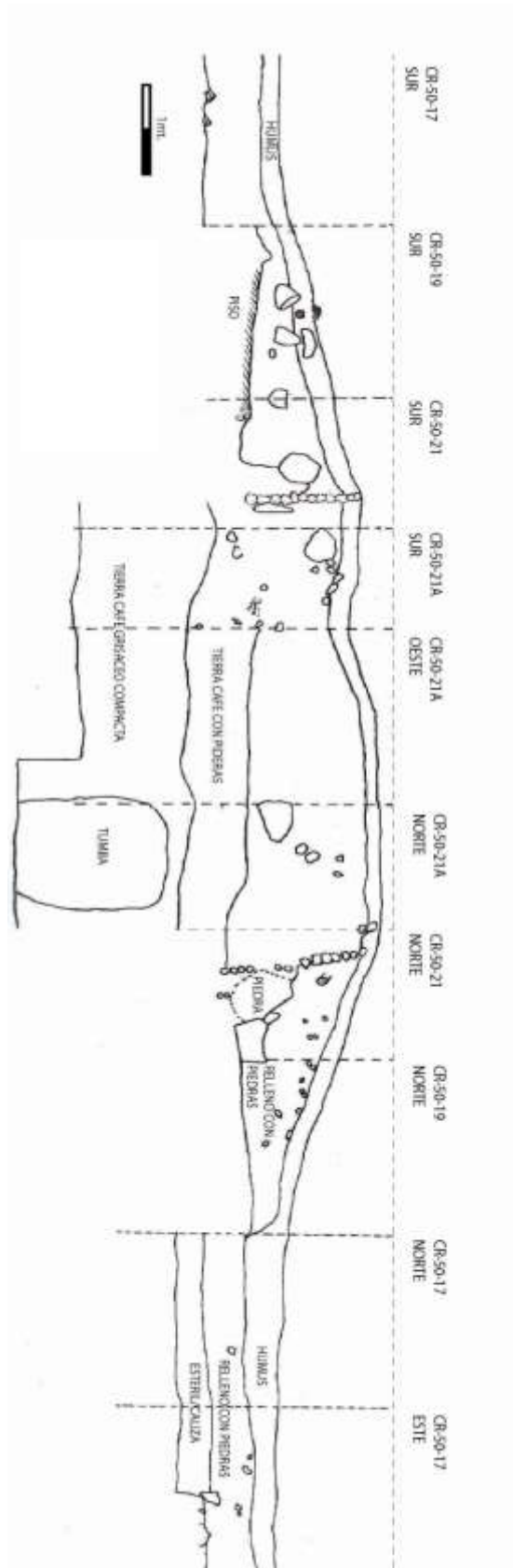


Figura 12.5 Perfiles de la trinchera realizada en la Estructura 14S1-B13. Escala 1:20 (Dibujo y calco: J. Pontaza)

El primer nivel (0-20 cm) fue de humus fértil y raíces, con tierra suelta, siendo un relleno natural. Se recuperaron 35 tiestos, una pequeña navaja de obsidiana y un fragmento de lítica. El Nivel 2 (20-40 cm) se definió por tierra negra con piedras de mediano y gran tamaño, que pudo ser una nivelación del área. Se hallaron 80 tiestos, una navaja prismática de obsidiana con vetas oscuras y seis fragmentos de pedernal. El Nivel 3 (40-60 cm) continuó con la misma tierra negra, con una disminución de las piedras y un aumento en el material cultural: 180 tiestos, tres navajas de obsidiana y dos fragmentos de lítica. El Nivel 4 (60-80 cm) contuvo el tipo de tierra anterior con piedras medianas, y hubo una disminución en el material cultural de 50 tiestos cerámicos. El último nivel se excavó solamente en un área de 2 x 1 m, en el lado este del pozo, con el fin de comprobar si era ya el denominado estéril. Se pudo observar una tierra blancuzca, dura, compacta, que sería la caliza, hallándose solamente tres tiestos en poco de tierra previa del nivel anterior.

En el lado oeste de CR50-17 se extendió la trinchera, penetrando más dentro del montículo con la Unidad CR50-19. Ésta fue también de 2 x 2 m, con una profundidad máxima de 70 cm. Se excavaron solamente dos niveles: el primero con tierra suelta y humus fértil, en donde se encontraron 34 tiestos. En el siguiente nivel se halló un piso de muy buena calidad, con un grosor de casi 5 cm, grisáceo, muy duro y bastante bien conservado, que se encontró en casi toda la unidad. Sobre éste se halló gran cantidad de material cultural (355 tiestos, cinco navajas de obsidiana pequeñas, dos de lítica, un fragmento de estuco y fragmento de figurilla) y en el perfil se logró observar una capa de pequeñas piedras amarillentas que pudieron conformar un piso más tardío que no se logró percibir. Se constató que la gran cantidad de material se encontraba en el relleno entre los pisos.

Se continuó la trinchera de excavación hacia el oeste de CR50-19, con la Unidad CR50-21, un pozo de 2 x 2 m que cubrió la parte más alta del montículo (*la coronita*). Éste tuvo una profundidad máxima de 3.50 m desde la superficie y contó con tres niveles. El primero fue de tierra negra, humus con raíces y relleno cultural con 38 tiestos hallados y cinco piedras trabajadas. El Nivel 2 contenía tierra negra con raíces y piedras más grandes, donde se hallaría a los 30 cm el muro exterior del edificio, con piedras alineadas y trabajadas. En este nivel se encontraron 214 tiestos y dos piedras trabajadas. La mayor cantidad de tiestos eran de la parte interna, y el tipo de tierra era diferente. Se limpió el

muro y se decidió conservarlo para investigar dentro de la estructura y lograr conocer la calidad de la construcción. Por lo tanto el Nivel 3 estuvo dividido por el muro de la fachada de la estructura (Figura 12.6), el cual era un muro burdo con las piedras superiores bien alineadas y trabajadas, pero el resto solamente colocadas sosteniéndose unas con otras.

Se trabajó solamente en un área de 2 m (norte-sur) x 1 m (este oeste) dentro del muro, por lo que por el reducido espacio con el que se contaba hizo imperativo la necesidad de hacer una extensión de 2 x 1 m y luego de nivelarse continuaría como una misma unidad. En la parte externa del muro se descendió hasta llegar al piso que se ubicaba en CR50-19. En el lado noroeste se halló una gran piedra de casi 1 x 1 m que estaba apoyada sobre el muro. En el lado sur de ésta se observó una alineación de piedras en donde terminaba el piso. Luego de dibujar y fotografiar la piedra, se quitó, sin hallar ningún rasgo interesante. La alineación de piedras no continuaba (ver Figura 12.6), sino parecía girar hacia el muro. En esta área interna se decidió descender y se ubicó un tipo de tierra café de relleno, con piedras medianas y pequeñas, hallándose 175 tiestos, entre polícromos y utilitarios, dos obsidianas y dos fragmentos de lítica. Se descendió 60 cm bajo el nivel del piso, y no se halló nada inusual. Para realizar un control se realizó un pequeño registro de 50 x 50 cm y se encontraron tiestos finos polícromos y una cabeza de figurilla, sin ningún otro rasgo especial.



Figura 12.6 Detalle de muro y alineación de piedras externas (Foto: J. Pontaza)

La Unidad CR50-21A se extendió al oeste de CR50-21, para penetrar dentro de la estructura. A diferencia de las unidades anteriores, éste se excavó por lotes culturales, por el hecho de tener un conocimiento de los tipos de tierra, para facilidad de la operación y el tiempo de trabajo. El primer lote fue excavado solo de 2 x 1 m, de 0 a 20 cm de profundidad, nivelando ambas unidades. Aquí se encontró tierra suelta y humus con raíces, siendo el relleno natural y sin ningún tiesto.

El segundo lote (20–100 cm) constó de tierra negra con piedras, siendo un relleno cultural conteniendo solamente 18 tiestos. El Lote 3 (100-170 cm) cambió por tener un apisonado de arena café claro que pudiera haber sido un piso duro. Bajo éste se encontró tierra con piedras grandes en los primeros 20 cm, donde aparecieron tres fragmentos de conchas. El Lote 4 (170-185 cm) se identificó con una tierra mucho más dura, amarillenta, y que fue quemada, dados los restos de cenizas y carbón que se hallaron. Consistió en una matriz mezclada con arena y piedra, haciéndola sumamente compacta. Luego empezaron a encontrarse gran cantidad de tiestos, 237 en total, que incluyó gran cantidad de policromos, bordes finos y bien definidos con dos navajas de obsidiana, dos fragmentos de estuco pintado de un color corinto y dos fragmentos de pedernal.

El Nivel 5 (1.85–3.30 m) fue de tierra grisácea dura y compacta. Este tipo de tierra se encontró bajo el nivel de piso hallado en CR50-19 y a los 2 m se observó una diferencia en la tierra en el lado noroeste de la unidad, con tierra más clara. Allí apareció un pequeño nicho funerario en forma ovalada, por lo que se excavó todo el resto de la unidad conservando la esquina para penetrarlo por el lado. En este nivel se recuperaron 1,229 tiestos de diversos tipos (finos policromos, acanalados y también utilitarios), siete fragmentos de pedernal, cinco de concha y siete navajas y fragmentos de obsidiana. Para terminar la unidad, se excavó el Nivel 6 (3.30 - 3.50 m), en una pequeña área de 65 x 180 cm dentro del nivel estéril. Al llegar al nivel estéril, se encontró piedra caliza blancuzca, y un relleno natural sin tiestos. Esto se excavó con el objetivo de terminar la unidad, así como tener una mejor área de trabajo para tratar la tumba.

Nicho Funerario- 14SI-B13

En las unidades CR50-21 y 21A, en su lado noroeste y a los 2 m de profundidad, se comenzó a percibir un cambio significativo en el tipo de tierra que se excavaba: color, textura, dureza y densidad de vestigios materiales. Por lo tanto el área se dejó por un lado, excavando los alrededores dejando un tipo de banqueta, el cual fue dando lugar a un nicho que contendría una tumba.

La cámara se halló en el eje central de la Estructura 14SI-B13, y el entierro tuvo una orientación este-oeste, estando la cabeza hacia el este, sobre la roca madre. La cámara estaba bajo cuatro rellenos culturales y naturales: humus; relleno café con piedras; amarillento con piedras pequeñas; y grisáceo duro compacto con mucha cerámica. El nicho estaba dentro del relleno grisáceo, con mucho material (CR50-21A-5) y cubierto con una cista de piedras con estuco y argamasa blanca (CR50-21A-6).

La construcción tiene una forma ovalada, presenta un vacío de aproximadamente medio metro, entre lo que sería la cara del individuo y las piedras que cerraban la parte superior de la cámara. La sepultura estaba llena de tierra por un colapso de la parte superior. El entierro midió 65 cm de ancho por 190 cm de largo (este-oeste). El contexto es desarticulado y no presentó disturbios después de su deposición final. Solamente se destruyó la cista con las piedras que cayeron sobre el cuerpo. La tumba contaba solamente con un individuo, adulto y en muy malas condiciones. Para mayor información del análisis de la osamenta referirse al Capítulo XVI de Erin Patterson. En la cámara funeraria se hallaron solamente tres artefactos asociados al entierro, que se ubicaron en la planta (Figura 12.7).

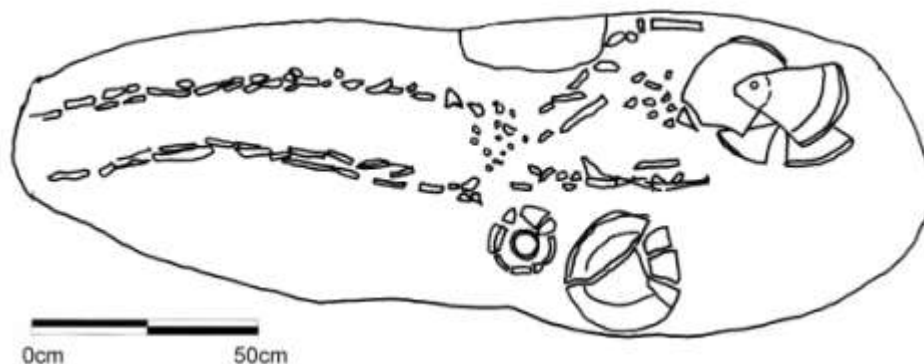


Figura 12.7 Planta del Entierro 7 mostrando la posición y estado de las vasijas encontradas (Dibujo: J. Pontaza)

Para lograr definir e identificar la mayor cantidad de huesos y tener el mejor estado posible del entierro, se empleó un sistema de cotas, dividiendo la cámara en 10 cuadrantes (1 a 5 de oeste a este y una división norte sur de A o B). Estos se fueron limpiando uno a la vez, con pinzas de madera, escobetas, brochas, palas recogedoras plásticas y cerniendo toda la tierra que salía. Se logró tener un resultado excelente, dadas las condiciones del entierro. También se tomaron muestras de tierra en las diferentes partes del proceso de limpieza y en diferentes cuadrantes de la cámara. Para mayor información del análisis paleoetnobotánico realizado a las muestras de tierra, revisar el Capítulo XVIII de Clarisa Cagnato.

Los artefactos asociados al entierro que se ubicaron en la planta fueron: 1) Un plato redondeado del tipo Saxché Palmar Naranja Polícromo con diseños geométricos en el interior, el cual poseía un agujero de “matado”, posicionado boca abajo en lo que sería la cara (Figura 12.8). 2) Un cuenco de paredes divergentes, del tipo Zacatal Crema Polícromo, con diseños de huesos cruzados en la parte exterior, encontrado en la parte sur del nicho, aproximadamente a la altura del codo izquierdo (Figura 12.9). 3) Un vaso cilíndrico del tipo Desquite Rojo sobre Naranja con diseños de pseudoglifos en la parte exterior, ubicado aproximadamente al lado de la mano izquierda (Figura 12.10).



Figura 12.8. Plato del tipo Saxché Palmar Naranja Polícromo encontrado en el Entierro 7 (Foto: J. Ponce)



Figura 12.9 Cuenco del tipo Zacatal Crema Polícromo encontrado en el Entierro 7 (Foto: J. Ponce)



Figura 12.10 Vaso cilíndrico del tipo Desquite Rojo sobre Naranja encontrado en el Entierro 7 (Foto: J. Ponce)

C. Sondeo en el Grupo

En esta temporada se contó con la ayuda del estudiante Alejandro González, quien realizó una unidad de sondeo de 2 x 1 m fuera de la Plaza A, en el lado norte la estructura central de las tres que separan la Plaza A con el inicio del bajo. En sus unidades CR50-25 y CR50-25A, logró definir tres lotes en los tres niveles excavados, encontrando material cultural y una alineación de piedras que pueden ser de una posible plataforma. Se llegó a los 60 cm en el nivel estéril.

Asimismo se realizó la unidad de excavación CR50-23, de 2 x 1 m y orientada al norte, en el centro de la que se definió en el mapa como la Estructura 14SI-A3. La unidad tuvo como intención definir si ésta era o no una estructura que formó parte de la Plaza A. En la superficie de la unidad se habían detectado muchas piedras tipo volcánicas, con agujeros como erosionados. Se encontró en el Nivel 1 de 0 a 30 cm, un humus suelto con muchas raíces y pocos materiales cerámicos (11 tiestos). En el siguiente nivel, de 30 a 70 cm, apareció el empedrado regular que se conoce para el piso de plaza y continuó poco material cultural (12 tiestos), en una tierra de relleno café. En el tercer nivel de 70-110 cm solo se descendió en un área de 1 x 1 m en el norte de la unidad, pues se decidió que era lo más efectivo para esta unidad y para las investigaciones en general. Apareció mucho más cantidad de restos culturales, 57 tiestos en total en el área de relleno bajo el apisonado, con tierra amarillenta y arenisca. El cuarto nivel se definió de 110 a 130 cm, donde se excavó solamente un espacio de 1 m de ancho (este oeste) y 50 cm de largo (norte-sur). En este nivel se logró identificar el nivel estéril, no se halló ningún tiesto, y se excavó dentro de una tierra blanca como arena o caliza. Solamente se hallaron 30 fragmentos pequeños de animales, dispersos en el centro de la unidad, principalmente en un relleno de color amarillento. Para mayor información del análisis de restos de fauna, revisar el capítulo XVII de este informe.

D. Conclusiones e Interpretaciones

Gracias a las dos temporadas que se ha investigado este grupo, se ha podido conocer un poco más sobre los habitantes del mismo, su distribución, y aunque aún quedan muchos datos por analizar, es posible hacer ciertas interpretaciones en cuanto a los resultados de la Temporada 2012:

1) Estructura 14SI-A1

Desde el año 2011, el punto principal de estudio en el Grupo El Caballito fue la estructura más grande, 14SI-A1, que le da un verdadero realce a la importancia del área. Las más de 15 unidades de excavación que se han investigado han brindado datos para determinar información sobre la superestructura de la misma, y aunque no se ha penetrado seriamente el edificio, se puede concluir lo siguiente.

La parte “frontal” del edificio está ubicada al sur, por lo que la plaza que se forma en la parte norte (Plaza A), fue un área restringida al público. También posee una pequeña plataforma delante de una escalinata muy burda y poco conservada (Pontaza 2012).

En la parte superior, se logró identificar un muro que serviría como división de una posible banqueta, que se ubicaría en la parte más alta del edificio. Por la mala conservación del mismo, y por la destrucción que se dio por raíces de grandes árboles, la banqueta pudo haber sido destruida, pero por el estrecho espacio entre “muros” se puede asegurar que no era un cuarto. La banqueta no recorre toda la longitud del montículo, pues se encuentra dividida por espacios entre sí, posiblemente para el movimiento de personas. En los lados oeste y este, se perciben elevaciones similares en la parte superior, lo que sugiere la existencia de otras posibles banquetas o incluso cuartos pequeños, que valdrían la pena analizar. Sin embargo los resultados serían similares, pues la piedra con la que se trabajó no es de la mejor calidad: estando en la superficie se vuelve porosa y no tan resistente.

El poco análisis que se hizo en el descenso de la Unidad CR50-16, logró definir que definitivamente hay subestructuras, pues los niveles de relleno son muy diferentes a los de la parte superior. Aunque la cerámica no ha sido analizada completamente, los tiestos que se recolectaron tienen en su mayoría características más utilitarias y pocos polícromos, sugiriendo no una elite como tal, sino posiblemente una elite secundaria.

El edificio contuvo ciertos adornos de piedra, que servían de decoración bajo la banqueta, ubicando piedras grandes y bien trabajadas en los bordes. Originalmente se creyó que podían haber sido escondites, pero tras excavarlos se comprobó que no.

2) Plaza B

Edificio 14SI-B13

Desde el descubrimiento de la Plaza B en 2011, el Montículo 14SI-B13 fue uno de los más interesantes, por su composición y ubicación. No hubo duda que sería de carácter funerario (como lo fue), por lo que esta pequeña estructura resultó ser de mucho valor para la comprensión de los habitantes de *Caballito*. Como élite secundaria del sitio, poseían su propio panteón funerario, posiblemente para algún ancestro importante en el linaje o familia. El edificio ve hacia el este a una plaza delimitada por otras dos estructuras de menor altura, y posee la cámara mortuoria bien definida. Todo esto define un espacio especialmente construido con esta función, con varios rellenos muy bien compactados, piedras y restos materiales de un nivel alto de la sociedad; con lítica, obsidiana y gran cantidad de cerámica fina. Los muros poseen una alineación superior de piedras bien trabajadas, pero el resto es burdo, con piedras solamente ubicadas para sostener. Esto es porque existió una capa de estuco modelado y pintado (se hallaron restos de color blanco y de morado), que cubría el edificio. La plaza por delante contenía un piso de alta calidad, grueso y compacto (un grosor de casi 5 cm), de color gris.

Delante del muro se ubicó una interesante alineación de piedras en donde antes de llegar a la estructura termina el piso. No se sabe con exactitud el porqué de esto, pues la estratigrafía no muestra diferencias entre lo que está bajo el piso fuera de la alineación de piedras, lo que está bajo la alineación de piedras y lo que está bajo ese mismo nivel dentro de la estructura. Como todo tiene el mismo tipo de tierra con mucho material cerámico, este rasgo queda abierto a interpretaciones futuras.

Entierro 7 de La Corona

El hallazgo del entierro posee un capítulo especializado en la descripción osteológica por la especialista Erin Patterson. Sin embargo, los datos que proporciona para la comprensión de la estructura y del grupo en sí son de mucho valor. La cámara se encontraba a más de 2 m de la parte superior del montículo. Fue excavada en la roca madre, formando una forma ondulada donde se ubicó al individuo y su ofrenda. La cámara poseía una cista, con piedras de buena calidad, trabajadas en grandes bloques cuadrados, unidos

con una amalgama blanca. Posiblemente toda la cámara estuvo pintada, pues se hallaron restos de estuco pintado de blanco y rojo. Sin embargo, por el colapso de la misma, no se halló ningún fragmento ubicado en su sitio original, sino solamente los restos.

El individuo estaba acompañado por una ofrenda de tres vasijas: un plato colocado sobre su cabeza, con un agujero “matando” la vasija y con diseños geométricos pintados. Las otras dos vasijas estaban ubicadas en el lado sur a la altura de su codo y muñeca. El cuenco posee unos diseños de huesos cruzados, un tema claramente representando la muerte. Y el vaso contenía una serie de pseudoglifos, mostrando así un nivel socioeconómico de elite, pero no el más alto del sitio.

3) Sondeos

Los sondeos en la temporada fueron pocos debido al trabajo que se realizó en las estructuras de mayor envergadura, y la falta de más personal. Sin embargo las unidades analizadas lograron resolver la duda sobre el supuesto Montículo 3, el más al este del grupo. Éste se creyó originalmente que era una estructura colapsada, pues la gran cantidad de piedras y su ubicación lo sugerían. Sin embargo, tras la excavación de la Unidad CR50-23 se pudo comprobar que las piedras no presentaban ningún orden específico. A poca profundidad, se hallaba un apisonado de plaza y un poco más profundo, el nivel estéril. Los materiales no eran tan abundantes y solamente destacó una cabeza de figurilla.

Conclusiones y Recomendaciones Finales

El Grupo *El Caballito*, presenta los rasgos generales para definirlo como un grupo de elite secundaria. Posee una cantidad de estructuras considerables, formando dos plazas: una grande y una más pequeña, de carácter funerario. El tipo de material que se ha encontrado varía desde finos y delgados polícromos, hasta restos burdos y gruesos. Sin embargo la aparición del entierro hace una marca en el mapa de *Sak Nikte'*, ya que sugiere que pudo haber sido el grupo rodeado de agua más al sur del centro de la ciudad, formando una especie de península con su única entrada terrestre hacia el sur. Incluso pudo haber existido una comunicación de transporte acuático entre el grupo y otras partes del sitio, pues sería la manera más sencilla de comunicarse entre sí.

El grupo sigue dando sorpresas y sería de suma importancia continuar con la investigación del mismo en futuras temporadas. Existe una posibilidad que otras estructuras sean también de carácter funerario y contengan varias sorpresas para La Corona. Nunca está demás agradecer profundamente a los excavadores y ayudantes que contribuyeron en la investigación. Siempre sus conocimientos en excavación, arqueología, flora y fauna, son muy útiles para la vida en el campo.

Tabla 12.1 Tabla de materiales encontrados

Operación	Sub Op.	Unidad	Nivel	Lote	Cerámica	Obsi	Lítica	Concha	Estuco	Hueso	Figurilla	Otros	
50	A	16	1	1	6								
50	A	16	2	2	36								
50	A	16	3	3	65								
50	A	16	4	4	56								
50	B	17	1	1	35	1	1	1					
50	B	17	2	2	80	1	6			1			
50	B	17	3	2	180	3	2						
50	B	17	4	2	50								
50	B	17	5	3	3								
50	A	18	1	1	12								
50	A	18	2	2	12							1 Hachuela	
50	B	19	1	1	34								
50	B	19	2	2	355	5	2		1		1		
50	B	19 y 21	3	3	102	4	19	12					
50	A	20	2	2	18		1						
50	A	20A	2	2	26								
50	B	21	Superficie						3				
50	B	21	1	1	38				5				
50	B	21	2	2	214				2		1		
50	B	21	3	3	175	2	2						
50	B	21A	1	1					2				
50	B	21A	2	2	18								
50	B	21A	3	3	64			3					
50	B	21A	4	4	237	2			2				
50	B	21A	5	5	1229	7	7	5					
50	B	21A	5	5A	240								
50	B	21A	7	7	3 vasijas completas (4 bolsas plato 1, 5 bolsas plato 2, 8 bolsas vaso								
50	A	22	2	2	30								
50	A	22A	3	3	41								
50	A	23	1	1	11								
50	A	23	2	2	12								
50	A	23	3	2								1	
50	A	23	4	3	57					30			
50	A	24	1	1									
50	A	24	2	2	24								
50	A	25	ALEJANDRO GONZALEZ										
50	A	26	1	1									
50	A	26	2	2	8								

CAPÍTULO XIII

OPERACIÓN CR40: EXCAVACIONES EN EL GRUPO 13S-I

Clarissa Cagnato

Algunos de los mejores contextos para obtener restos de plantas preservadas para reconstruir la dieta antigua incluyen *chultunes* (ver Capítulo XIV de este informe), pero también basureros y otros depósitos creados para deposición de basura. El objetivo de esta temporada era continuar investigando estos depósitos. Uno de los grupos residenciales que no ha sido investigado intensivamente, es el grupo de montículos localizado en el campamento, denominado Grupo 13S-I. El acceso fácil, al igual que la posibilidad de aprender más de un grupo de estructuras que están ligadas a la vida diaria de arqueólogos, trabajadores y cocineras, lo hizo un área excelente para investigar.

Excavaciones en el Grupo 13S-I

El Grupo 13S-I consiste de tres estructuras que forman parte de un grupo residencial más grande localizado al sur del Sibal El Jabirú y aproximadamente 600 m al sureste del núcleo principal de La Corona (Figura 13.1). Como se mencionó anteriormente, el trabajo realizado previamente en el Grupo 13S-I ha sido mínimo, pero incluye dos pozos de sondeo que fueron excavados en 2009 en la plaza, debajo de la cocina y comedor utilizados por los arqueólogos y trabajadores durante la temporada de campo (Gómez 2010). El grupo residencial más cercano es el Grupo 13S-II y está localizado aproximadamente 150 m al sureste del Grupo 13S-I, el cual fue investigado en 2010 (Bustamante 2011).

Las investigaciones realizadas durante esta temporada tenían la intención de identificar la presencia de un posible basurero, pero también proveer datos relacionados a las fechas de ocupación de este grupo en particular. Para poder descubrir áreas potenciales de deposición de basura, se decidió abrir varias unidades de excavación detrás de cada uno de los montículos que forman la plaza pequeña donde actualmente se encuentra la cocina (Figura 13.2).



Figura 13.1 Ubicación del Grupo 13S-I en relación al núcleo principal (Guzmán 2012: 129. Modificación: C. Cagnato)

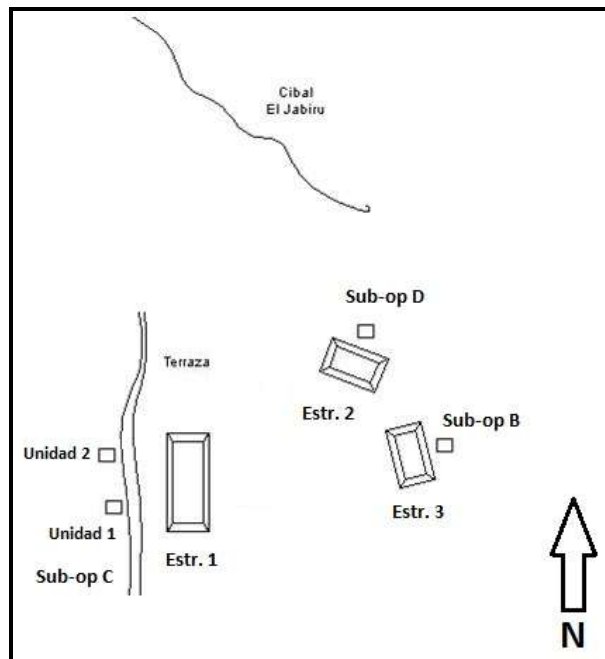


Figura 13.2 Croquis del Grupo 13S-I y ubicación de las unidades de excavación (Gómez 2010: 200. Modificación: C. Cagnato)

Las estructuras 13S-2 y 13S-3 están localizadas en un área relativamente plana y los montículos no miden más de 2 m de altura. La Estructura 13S-1 fue construida al borde de una terraza y la parte posterior del montículo (lado oeste) desciende en una depresión que alguna vez pudo haber sido una aguada.

La recolección y análisis de muestras de tierra recolectadas en campo siguen los métodos ya descritos (Cagnato 2011). Sin embargo, este año se realizó un análisis adicional en campo, que consistió en el lavado de herramientas para molienda (manos y metates) y otros artefactos de interés para recuperar granos de almidón (ver Capítulo XIV para más información de estos métodos). La posible identificación de especies de granos de almidón provee otra línea de evidencia para ayudar a entender el uso de ciertas especies de plantas que no se conservan en forma macrobotánica. El lavado de los artefactos y el análisis subsecuente de las muestras recolectadas en campo está siendo realizado por la autora en la Universidad de Washington en St. Louis.

Las excavaciones fueron realizadas bajo la Operación CR40 (la misma utilizada por Gómez en 2009). Aunque no está claro si Gómez utilizó una Suboperación, se sabe que definió sus dos excavaciones como unidades CR40-1 y CR40-2. Por ende, se le asignó a las investigaciones en 2012 Suboperación CR40B, CR40C y CR40D, cada una relacionada a una estructura en específico. La Suboperación CR40A se le asignó al trabajo realizado por Gómez en la plaza. La investigación de esta temporada consiste en la Suboperación CR40B, donde la unidad abierta alcanzó una profundidad máxima de 120 cm dividida en seis lotes. La Suboperación CR40C consiste en dos unidades. La Unidad CR40C-1 alcanzó una profundidad máxima de 110 cm y estuvo dividida en siete lotes, mientras que la Unidad CR40C-2 estuvo compuesta de tres lotes y alcanzó una profundidad máxima de 140 cm. La Suboperación CR40D consistió de una unidad que alcanzó una profundidad máxima de 70 cm dividida en tres lotes.

Suboperación CR40B

La Unidad CR40B-1 (1 x 1 m) fue colocada en la ladera este de la Estructura 13S-3, que se cree que fue la parte posterior de la estructura precedera que pudo haber sido construida en la parte superior de este montículo. La unidad de excavación fue colocada como a 1 m al este del punto más alto del montículo.

El Lote 1 finalizó a 30 cm desde la superficie, con tierra que consistió de humus, material moderno quemado y algunos fragmentos de cerámica. El Lote 2 llegó a 40 cm y la matriz consistió de numerosas piedras de tamaño mediano, que continuaron hasta el siguiente lote. Se encontró cerámica (10 fragmentos en total), junto con dos fragmentos de navajas de obsidiana. La tierra en este punto se volvió café más claro y más arcillosa. Se continuaron encontrando piedras a medida que se excavaba hacia abajo.

El Lote 3 alcanzó 60 cm desde la superficie, donde ya no se encontraron piedras sino solamente tierra. Debajo de este nivel de piedras de derrumbe comenzó a incrementar la cantidad de cerámica (65 en total). La tierra fue de color café más oscuro y continuó siendo arcillosa, pero menos compacta que en niveles anteriores. En la esquina noreste de la unidad se encontró lo que parecía ser un estrato delgado de ceniza y de allí se obtuvo la mayor cantidad de cerámica. El Lote 4 se alcanzó 90 cm desde la superficie. La tierra tenía más piedrín y era de color amarillenta/grisácea. En este punto la cantidad de cerámica incrementó drásticamente (224), con un fragmento de obsidiana y uno de pedernal. Se recolectó una bolsa de tierra (10 litros). El Lote 5 se midió 100 cm desde la superficie. La cerámica disminuyó en número y no se recolectó tierra. El último lote (6) llegó a 120 cm y fue el último, ya que consistió de suelo estéril (Figura 13.3).

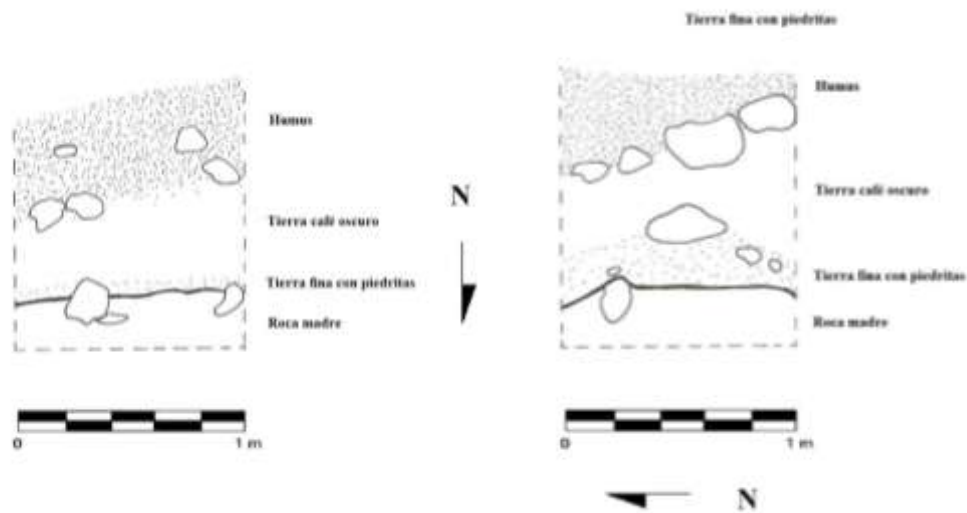


Figura 13.3 Perfiles Sur y Oeste de la Unidad CR40B-1 (Dibujos y calcos: C. Cagnato)

Suboperación CR40C

La Unidad CR40C-1 (1 x 1 m) se localizó al oeste de la Estructura 13S-1. La superficie estaba cubierta de humus y con varios materiales quemados debido a incendios previos. También se encontró basura moderna, ya que esta área es altamente transitada debido a la presencia de un sendero pequeño que lleva de las carpas de los trabajadores a las duchas y cocina.

El primer lote, que alcanzó 30 cm debajo de la superficie, consistió de humus con fragmentos de cerámica (57) y una navaja de obsidiana fragmentada. Mientras se excavaba fue claro que se encontraría mucha cerámica en esta unidad, ya que se estaban encontrando varios fragmentos de cerámica incrustados en la matriz que consistió de tierra de color café claro mezclada con pedrín que era duro de excavar. El Lote 2 finalizó a 50 cm desde la superficie y se recuperaron un total de 220 fragmentos de cerámica, al igual que dos fragmentos de navajas de obsidiana. Asimismo, se recolectaron dos bolsas de tierra para flotación (10 litros cada una). El Lote 3 se alcanzó a 60 cm debajo de la superficie. La cantidad de cerámica disminuyó (100) y se recolectaron dos bolsas de tierra (10 litros cada una). La tierra continuó siendo compacta y mezclada con pedrín. En este punto la cerámica continuó estando incrustada y en ocasiones estaba muy fragmentada. El Lote 4 llegó a 80 cm desde la superficie. Aunque en cantidades menores, los fragmentos de cerámica (75) continuaron siendo encontrados en la matriz. Se recolectaron dos bolsas de tierra. Mientras se continuaba con la excavación, fue claro que este lote estaba lleno de madera carbonizada y un posible piso se volvió visible en la esquina noreste de la unidad (Figura 13.4).

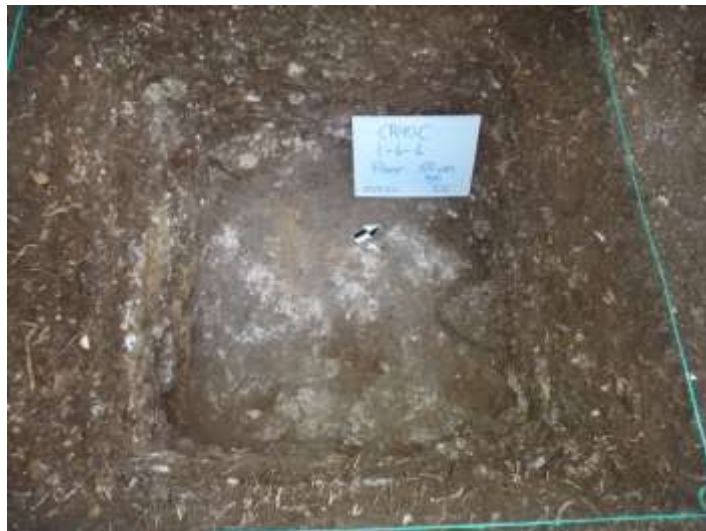


Figura 13.4 Posible piso en la Unidad CR40C-1 (Foto: C. Cagnato)

El Lote 5 alcanzó 90 cm debajo de la superficie y se recolectaron dos bolsas de tierra. Lo que era el posible piso se volvió más visible en partes más grandes de la unidad, excluyendo la porción oeste de la unidad. Este “piso” era de color blanco/gris y parecía estar hecho de estuco. El Lote 6 finalizó a 105 cm desde la superficie y solamente se recuperó un fragmento de cerámica. El Lote 7 finalizó a 110 cm desde la superficie debido a que se alcanzó la roca madre (Figura 13.5).

Debido a que la Unidad CR40C-1 había contenido numerosos restos carbonizados y pudo haber representado un área donde se depositaba basura, se decidió abrir otra unidad cerca. Por lo tanto se abrió la Unidad CR40C-2, 3.5 m al norte de la Unidad CR40C-1, siempre en la ladera de la Estructura 13S-1.

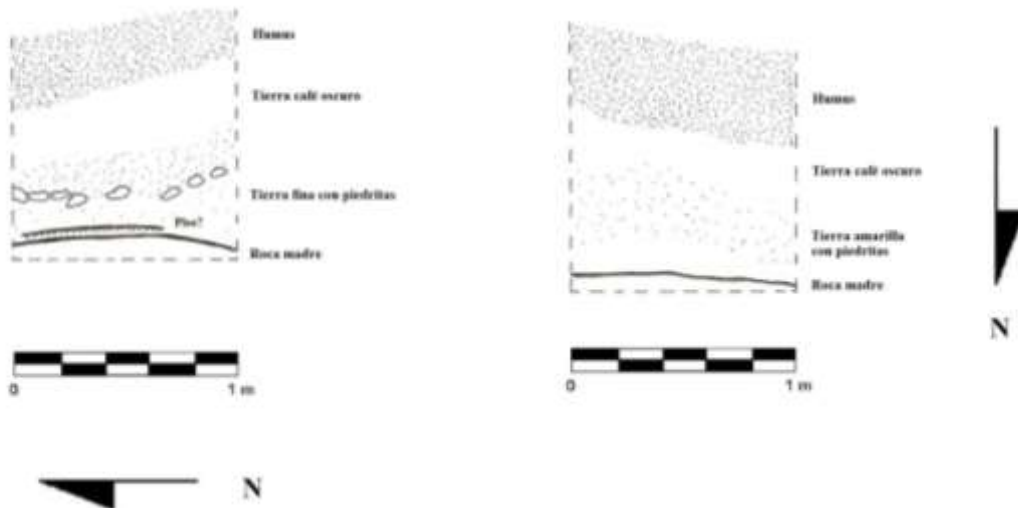


Figura 13.5 Perfiles Este y Sur de la Unidad CR40C-1 (Dibujos y calcos: C. Cagnato)

Unidad CR40C-2

Esta unidad fue un pozo de sondeo de 1 x 1m. El primer lote alcanzó 30 cm de profundidad y consistió de humus y pocos fragmentos de cerámica. El segundo lote (75 cm desde la superficie) en esta unidad en particular reveló un fragmento de cerámica grande de una posible vasija o cántaro grande. Este fragmento se encontró extendido en la porción este de la unidad y fue removido cuidadosamente y colocado en una bolsa plástica para hacer análisis de granos de almidón. También se recuperaron más fragmentos de cerámica (78 en total), un fragmento de navaja de obsidiana y una muestra de tierra para flotación. La tierra en este punto tenía más piedrín y color más amarillento. Mientras se alcanzaba el Lote 3, a 105 cm desde la superficie,

comenzó a aparecer material carbonizado en mayores cantidades, en particular en la porción sur de la unidad. En la parte noreste de la unidad, la tierra se volvió más blanca y polvorosa, similar a la composición de la roca madre. A medida que se excavaba hacia abajo, la tierra blanca se volvió más común en toda la unidad. Se recolectaron muestras de la tierra oscura combinada con los restos de plantas carbonizadas (muestra de 10 L) de este lote. La cerámica se encontró principalmente en la matriz más oscura, con un total de 61 fragmentos, junto con un fragmento de obsidiana y uno de pedernal. Se tomó una muestra de carbón a 105 cm bajo la superficie en la esquina sureste de la unidad. La unidad finalizó a 140 cm debido a que se hizo claro que se había alcanzado una tierra blanca estéril y no se estaba recuperando cerámica (Figura 13.6).

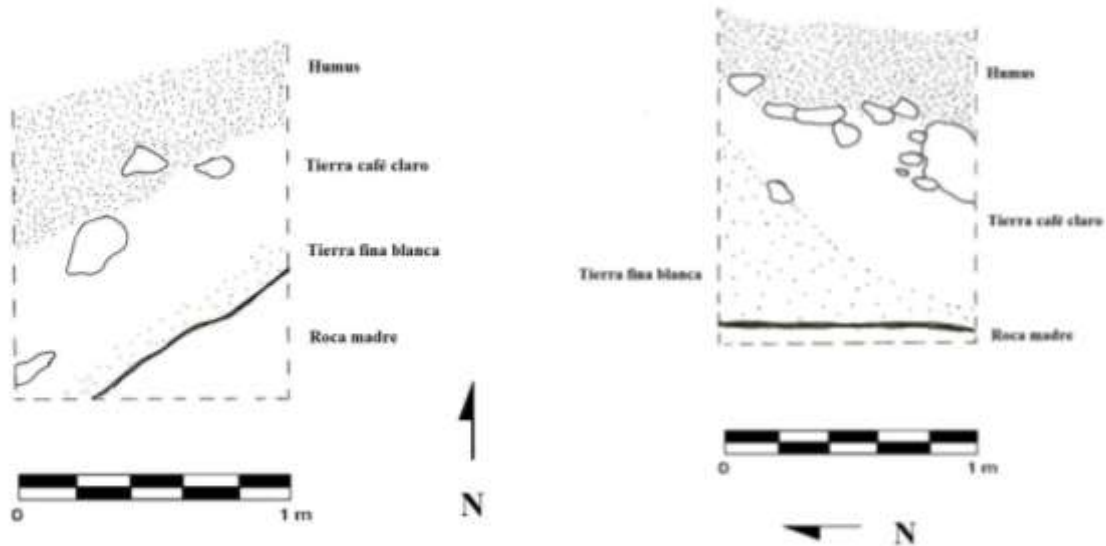


Figura 13.6 Perfiles Norte y Este de la Unidad CR40C-2 (Dibujos y calcos: C. Cagnato)

Suboperación CR40D

Este pozo de sondeo de 1 x 1 m se localizó aproximadamente 2 m al norte de la Estructura 13S-2, un área que se cree que posiblemente fue utilizada para depositar basura. El Lote 1 se alcanzó a 30 cm desde la superficie e incluyó 90 fragmentos de cerámica y dos fragmentos de navajas de obsidiana. La tierra consistió de humus oscuro y material moderno carbonizado. El Lote 2 se alcanzó a 60 cm bajo la superficie y la tierra cambió rápidamente de arcillosa y compacta a tener más pedrín y ser de color más clara. Se encontraron un total de 68

fragmentos de cerámica, al igual que un fragmento de navaja de obsidiana. El último lote de esta unidad se alcanzó a 70 cm debajo de la superficie cuando se llegó al suelo estéril. La tierra se volvió blanca y fina e incluyó algunas piedras. No se recolectaron muestras de tierra de esta unidad (Figura 13.7).

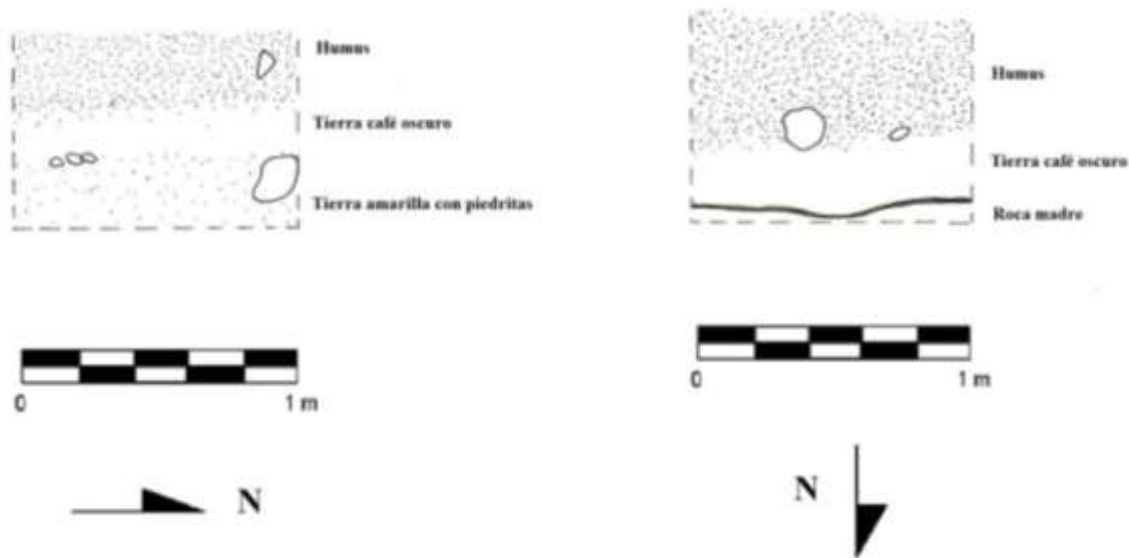


Figura 13.7 Perfiles Oeste y Sur de la Unidad CR40D-1 (Dibujos y calco: C. Cagnato)

Discusión

No se pueden hacer conclusiones importantes de los habitantes del Grupo 13S-I basado solamente en estas investigaciones y resultados preliminares. El análisis paleoetnobotánico que será realizado con las muestras recolectadas de estas unidades, junto el análisis de artefactos, ayudará a comprender más de los habitantes de este grupo residencial en particular y su relación con el núcleo principal. La cantidad de cerámica recuperada y la presencia o ausencia de material carbonizado durante las excavaciones, sugiere que se usaban áreas específicas de deposición, pero por lo general no en la parte posterior de los montículos, al menos en este grupo en particular. La proximidad cercana de estas estructuras al sibal pudo haber impedido la deposición de residuos en esas áreas. Al contrario, la ladera localizada detrás de la Estructura 13S-1 parece

haber sido una mejor ubicación para la deposición de basura. Se necesita más trabajo para entender si la basura se desechaba selectivamente, con la cerámica separada de los restos orgánicos. Hasta el momento parece haber una correlación entre la cerámica y el material carbonizado, pero esto está basado en una muestra pequeña, principalmente de solo una estructura (Estructura 13S-1).

Finalmente, no está claro si había una aguada formal y si el rasgo descubierto era un piso. Aunque es probable, el hecho de que el “piso” no parece estar presente en más de una unidad deja esta pregunta abierta. La cerámica y otros artefactos recuperados en estas investigaciones ayudarán a aclarar la naturaleza de este grupo habitacional en particular que está localizado cerca del núcleo principal.

CAPÍTULO XIV

OPERACIÓN JOB02: INVESTIGACIÓN DE *CHULTÚN* EN EL JOBILLO

Clarissa Cagnato

Como parte de la investigación enfocada en recuperar restos de plantas para reconstruir la dieta de los antiguos habitantes de La Corona, el objetivo de la Temporada 2012 fue continuar la investigación de *chultunes*. Como se mencionó anteriormente (Cagnato 2012), los *chultunes* a menudo ofrecen buenos contextos para recuperar basura, especialmente cuando están sellados y su contenido no ha sido expuesto a elementos naturales. Sin embargo, estas condiciones ideales a menudo no conducen a la identificación de *chultunes*, ya que no son visibles desde la superficie si están sellados. No obstante, debido a que pueden proveer información importante se deben continuar investigando. Con esto en mente, se decidió identificar y excavar *chultunes* adicionales. En 2012, se identificó un *chultún* en el sitio de El Jobillo, que es un sitio pequeño situado 3 km al noroeste del núcleo principal del sitio de La Corona (Figura 14.1). El sitio consiste en seis grupos (Figura 14.1), varios de ellos con estructuras que han sido fuertemente saqueadas.

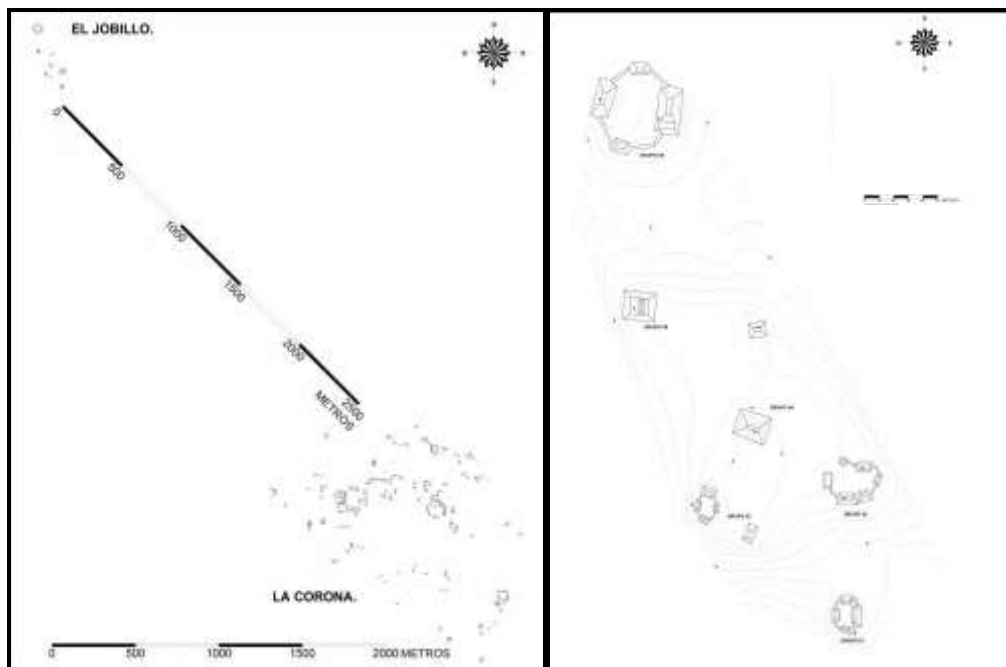


Figura 14.1 Ubicación de El Jobillo en relación al núcleo principal de La Corona (izquierda) y Mapa de El Jobillo (derecha) (Mapas: R. Guzmán. Guzmán 2012: 110)

Visitas previas a El Jobillo resultaron en el mapeo del sitio y la recolección de superficie de varias vasijas fragmentadas en trincheras de saqueo en 2010 y 2011 (Guzmán 2012). Se decidió investigar este sitio en particular por la posibilidad de la existencia de un *chultún* (R. Guzmán, comunicación personal 2011). Después de visitar el Jobillo, se confirmó la presencia de al menos dos *chultunes* en el sitio. Debido a la limitación de tiempo y logística, se decidió investigar solamente uno durante esta temporada. Las excavaciones descritas a continuación fueron realizadas en mayo de 2012.

El Jobillo (OP JOB)

Estas excavaciones fueron realizadas bajo la Operación JOB 02 y el *chultún* fue investigado como parte de la Unidad 1 de la Suboperación A. El *chultún* estaba localizado aproximadamente 20 m al noroeste de la estructura más pequeña del Grupo 4 (Figura 14.2). El Grupo 4 está compuesto de dos montículos que forman una plaza limitada al sur por la estructura más grande y al norte por la estructura más pequeña. El *chultún* se encuentra más cercano a esta última. A diferencia de otros *chultunes*, este rasgo no parece estar directamente asociado a alguna estructura en particular, sino que parece tener una ubicación central.

La recolección y análisis de muestras de suelo obtenidas en campo se hicieron siguiendo los métodos previamente establecidos (Cagnato 2011). Sin embargo, este año se realizó un análisis adicional en campo, que consistió en el lavado de herramientas para molienda (manos y metates) y otros artefactos de interés para recuperar granos de almidón. Los métodos utilizados para la recuperación de granos de almidón son los que fueron establecidos por Loy (1994) y Pearsall (2001). La posible identificación de especies de granos de almidón provee otra línea de evidencia para ayudar a entender el uso de ciertas especies de plantas que no se conservan en forma macrobotánica. El análisis subsecuente de las muestras recolectadas en campo será realizado por la autora en la Universidad de Washington en St. Louis.

El *chultún* fue encontrado con tierra de lo que se cree que fue el contenido original del *chultún*, tapado con un estrato de colapso y humus de la superficie. La apertura medía 60 cm (N-S) x 90 cm (E-O) en la superficie sin evidencia de una tapadera (Figura 14.3). La tierra colapsada en la parte interior se localizó a 90 cm debajo del datum.

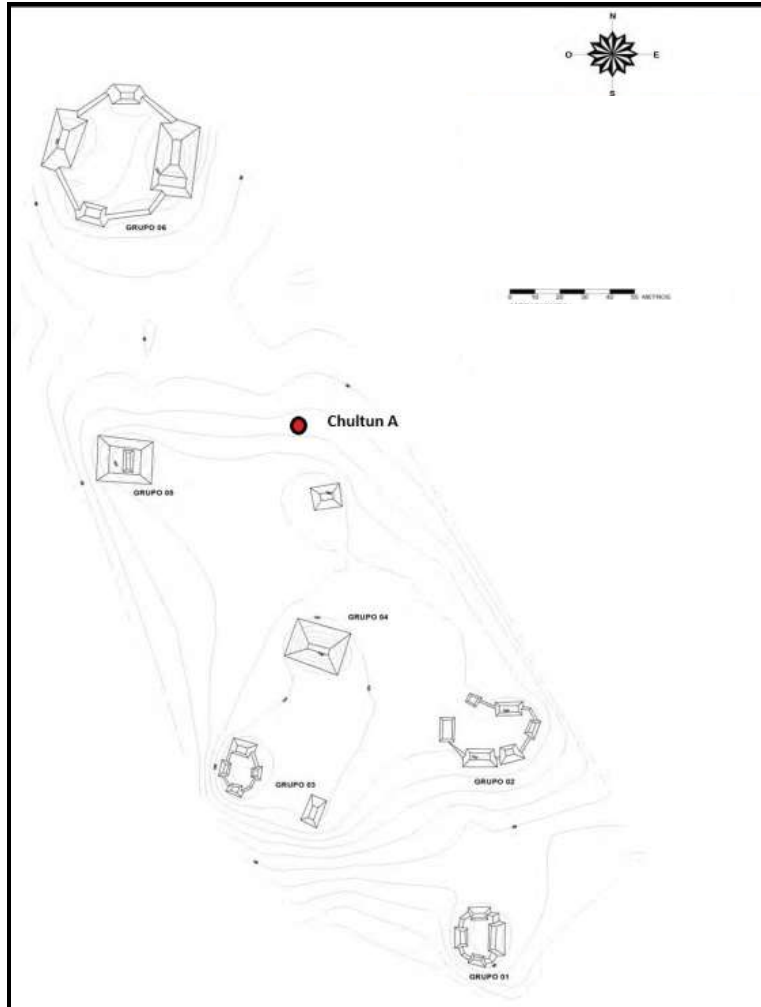


Figura 14.2 Localización del *Chultún A* en el Jobillo (Mapa: R. Guzmán. Modificación: C. Cagnato)



Figura 14.3 Fotografía de planta del *chultún* en El Jobillo antes de excavación (Foto: C. Cagnato)

La cámara interior del *chultún* era visible desde la superficie. El objetivo de la excavación era investigar el *chultún* por completo (remover toda la tierra en su interior), y recolectar grandes cantidades de tierra que serían flotadas subsecuentemente para poder recuperar la mayor cantidad posible de restos carbonizados de plantas. El *chultún* se excavó en lotes de 10 a 20 cm y se recolectaron al menos 10 litros de tierra de cada lote. En varios casos, la cantidad de litros recolectados fue mucho mayor, algunas veces hasta 80 litros recolectados por lote. En total, el *chultún* alcanzó una profundidad máxima de 2.10 m, dividido en diez lotes separados y midió un máximo de 180 cm de ancho.

El primer lote del *chultún* consistió de tierra colapsada de la superficie, por lo que tuvo más de 10 cm de profundidad. El primer lote finalizó a 112 cm desde la superficie, por lo que el humus y el estrato de colapso midieron aproximadamente 22 cm de grosor. Al alcanzar el final de la tierra colapsada y el inicio del contenido original del *chultún*, se decidió cambiar los lotes. La tierra del primer lote consistió de humus oscuro e incluyó restos de plantas quemadas de los incendios recientes en la región. Se recolectó una bolsa pequeña de tierra (5 litros) como muestra de control para compararla con la tierra del contenido original del *chultún*. En este punto el *chultún* medía 140 x 140 cm (N x E).

En el segundo lote, que terminó a 130 cm debajo de la superficie, comenzó a aparecer cerámica y se recolectó una bolsa más grande de tierra (10 litros). La tierra de este lote era más oscura que la que se encontraba en la superficie. En este punto el *chultún* medía 160 x 140 cm (N x E). En el Lote 3 se alcanzó una profundidad de 140 cm desde de la superficie y en la matriz se encontró un fragmento de metate. Una vez removido el metate, se recolectó una muestra de tierra de los alrededores del mismo para análisis de granos de almidón. Además de esta muestra, se recolectaron cuatro bolsas de tierra para flotación. En este lote, la tierra se volvió más compacta que en lotes previos y aumentó la cantidad de cerámica recolectada. También se recuperó un fragmento de obsidiana. En este punto, la cámara del *chultún* continuaba expandiéndose hacia el exterior, midiendo 180 x 160 cm (N x E).

El Lote 4 se alcanzó a 150 cm desde la superficie y el suelo continuó siendo oscuro, compacto y lleno de caracoles y otros materiales orgánicos. Se encontraron 50 fragmentos de cerámica y obsidiana, al igual que otro fragmento de metate. Se recolectaron dos bolsas de tierra de este lote. En este punto, el *chultún* medía 180 x 180 cm (N x E). Al excavar el Lote 4, se encontró lo que parecía ser una roca grande. Se esperó a removerla, ya que estaba incrustada de

manera muy profunda en el relleno. Al alcanzar el Lote 5, a 150 cm de la superficie, se descubrió que la piedra en realidad era un fragmento de metate grande colocado de manera horizontal, con la superficie de molienda en la parte expuesta y su base localizada a 160 cm debajo de la superficie. Se removió el metate y también se recolectó tierra asociada al mismo. El fragmento de metate mide 54 cm de largo x 20 cm de ancho x 12 cm de grosor (Figura 14.4).



Figura 14.4 Fragmento de metate grande encontrado en el Lote 5 (Foto: C. Cagnato)

Otros artefactos recolectados en este lote incluyeron 88 fragmentos de cerámica, obsidiana y cuatro huesos de animales pequeños, dos de ellos dientes. Se recolectaron tres bolsas de tierra de 10 litros cada una. La tierra en este lote era más arcillosa que los lotes anteriores, en particular en el centro del *chultún* donde estaba colocado el metate. En las orillas de la cámara, la tierra era menos arcillosa. El *chultún* continuó midiendo 180 x 180 cm de diámetro. El Lote 6 se alcanzó a 170 cm de profundidad y se descubrió otro fragmento de metate de 20 cm de largo x 20 cm de ancho x 5 cm de grosor. Este fragmento también se encontró de manera horizontal, con la superficie de molienda en la parte expuesta. Se recolectó una muestra de tierra de los alrededores del fragmento, al igual que tres bolsas de 10 litros de tierra para flotación. En este punto la tierra cambió de ser arcillosa a una matriz con más piedrín y de color más grisáceo en las orillas de la cámara del *chultún*. En promedio, se continuó encontrando la misma cantidad de cerámica (68 en este lote), junto con fragmentos de obsidiana y pedernal. El *chultún* continuó midiendo lo mismo que en el lote anterior.

El séptimo lote se alcanzó a 180 cm de profundidad desde la superficie y la tierra continuó siendo más compacta en el centro que en las orillas. Se redujo el número de fragmentos de cerámica (24 en total) y solamente se recolectaron dos bolsas de tierra. El *chultún* comenzó a estrecharse en diámetro (este/oeste), midiendo 180 x 170 cm. El Lote 8 finalizó al alcanzar 190 cm de profundidad desde la superficie. Se encontraron 25 fragmentos de cerámica y se recolectaron dos bolsas de tierra (20 litros en total). En este punto finalizó la expansión de la cámara del *chultún* hacia los lados, pero era obvio que se debía continuar excavando hasta alcanzar la base. El *chultún* se volvió más angosto, midiendo 160 x 160 cm de diámetro.

El Lote 9 se alcanzó a los 2 m de profundidad. Se encontraron 8 fragmentos de cerámica y se recolectó una bolsa de tierra. La tierra de este lote era arenosa y con piedrín. El *chultún* medía 140 x 140 cm. El último lote (10) se alcanzó cuando se llegó al fondo del *chultún* a 2.10 m. Esta profundidad se alcanzó principalmente en las porciones este y oeste del *chultún*, mientras que tuvo menos profundidad en sus extremos norte y sur (finalizando en 2 m). Una vez más, se recuperaron ocho fragmentos de cerámica, pero no se recolectó tierra debido a que era polvorosa y similar a la roca madre del fondo del *chultún*. Al finalizar la excavación del *chultún*, fue claro que éste se diseñó para tener forma de botella, siendo más ancho en el fondo, con un cuello angosto y poseía solamente una cámara (Figura 14.5).

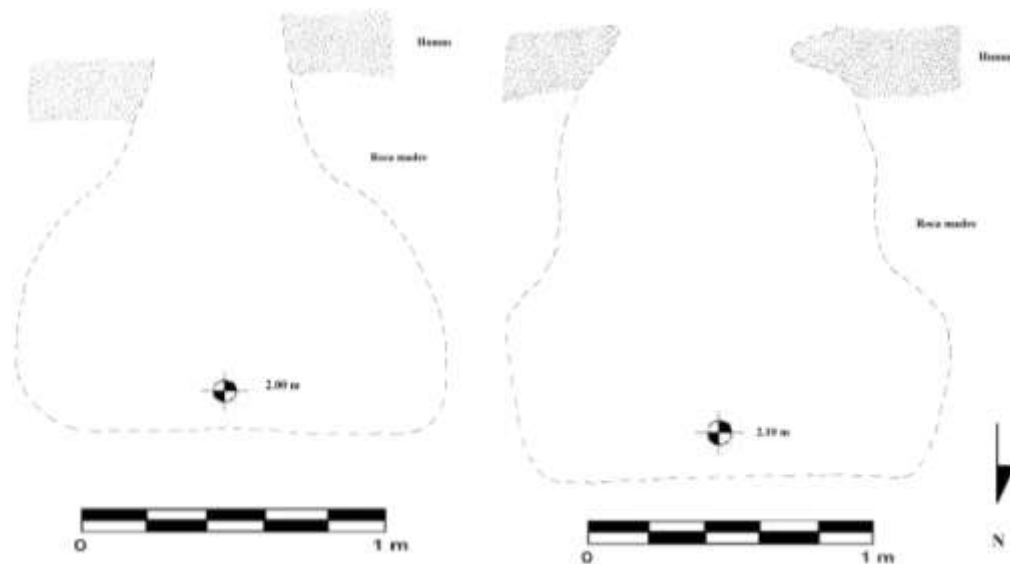


Figura 14.5 Perfil Oeste (izquierda) y Perfil Sur del *Chultún* (derecha) (Dibujos y calcos: C. Cagnato)

Discusión

El análisis de las muestras de tierra recolectadas en estas excavaciones ayudará a entender la dieta de los habitantes de grupos más pequeños fuera del núcleo principal de La Corona. El *chultún* investigado en El Jobillo es el tercero investigado por PRALC pero no el último, considerando que hay al menos uno más en El Jobillo. Esto sugiere que los *chultunes* en La Corona y sus alrededores son más comunes de lo que se cree.

El *chultún* fue encontrado abierto y expuesto a elementos naturales. No está claro si una tapadera de piedra (que pudo haber existido en algún momento) fue removida durante su uso original o si fue removida tiempo después. A diferencia del segundo *chultún* investigado en 2011 (Cagnato 2012), no había evidencia de una tapadera. Mientras que el *chultún* excavado en 2011 tenía una tapadera que había colapsado dentro del *chultún*, no se encontró evidencia de una tapadera dentro o en los alrededores del *chultún*. Sin embargo, se cree que parte de la tierra en el *chultún* está fechada para la época de su uso original debido a la gran cantidad de metates que se encontraron en el mismo junto con fragmentos de cerámica que tuvieron que haber sido depositados a propósito, aunque las fechas aun deben ser determinadas.

La presencia de múltiples fragmentos de metate dentro del *chultún* es interesante y separa a este *chultún* de otros que han sido investigados en La Corona. Puede que la posición de estos metates en la matriz esté relacionada a la naturaleza de este contexto y que hayan sido colocados de esa manera a propósito. Se espera que el análisis de granos de almidón que será realizado ayude a elucidar el uso de estas herramientas, o en otras palabras, para qué plantas fueron utilizadas. Como se mencionó al principio, la posición del *chultún* también es interesante debido a que parece más distante y no directamente asociado a una estructura específica. No está clara cuál es la relación entre las estructuras y los *chultunes*, pero con más investigación será posible refinar estas conclusiones.

Por otro lado, existen similitudes entre este *chultún* en particular y otros de La Corona. La forma de este *chultún* es extremadamente similar a otros dos *chultunes*, lo que sugiere que los habitantes de La Corona tenían un diseño específico en mente para sus *chultunes*. Cabe mencionar que el rango de formas y tamaños de los *chultunes* en la región maya es muy variado (Calderon y Hermes 2005), por lo que es interesante que hasta el momento éstos sean muy similares.

Mientras que la forma y el tamaño permanecen constantes, los materiales colocados dentro del *chultún* son diferentes. Esto podría estar relacionado al uso del *chultún*. El *chultún* en El Jobillo destaca por la presencia de metates, pero es comparable al *chultún* asociado al Grupo Caballito en términos de cantidad de cerámica y falta de huesos de animales. El *chultún* excavado en 2010 (Fernández 2011) destaca por el hecho que estaba completamente sellado y contenía grandes cantidades de materiales orgánicos, al igual que otros artefactos. La localización de este último *chultún* también pudo haber jugado un papel específico: fue encontrado en el núcleo del sitio y pudo haber sido utilizado después de un evento ritual en vez de depósito para basura doméstica.

La diferencia observada entre los diferentes *chultunes* excavados hasta el momento sugiere que es probable que hayan tenido usos múltiples y debemos continuar investigando cada *chultún* individual para poder tener una mejor comprensión de estas estructuras. El análisis paleoetnobotánico ayudará a elucidar si este *chultún* en particular era usado como basurero o no, ya que no todos los *chultunes* parecen haber sido utilizados para el mismo propósito, y probablemente sus usos cambiaban a través del tiempo (ver Cagnato 2012). Por los artefactos recuperados en el *chultún* de El Jobillo, se cree que este rasgo en particular fue utilizado para deposición de basura (en su último uso). Se espera que estas conclusiones puedan ser corroboradas por otras líneas de datos, incluyendo los resultados de las muestras de suelo y análisis de granos de almidón recuperados de los metates.

ANÁLISIS PRELIMINAR DE LA CERÁMICA DE LA CORONA: GRUPO CORONITAS

Caroline Parris

Introducción

El análisis sistemático a largo plazo de materiales cerámicos de La Corona comenzó durante la temporada de laboratorio de 2011 y ha continuado durante la temporada de laboratorio 2012. Este capítulo introducirá la aproximación metodológica al análisis de materiales cerámicos de La Corona, proveerá los antecedentes del mismo, presentará resultados preliminares de análisis realizados en 2011 y 2012 y proveerá información acerca del análisis en curso y futuras investigaciones.

Aproximación Metodológica Actual

La aproximación metodológica utilizada por el Proyecto La Corona es una combinación del análisis tipo-variedad, que es la aproximación tradicional para análisis de materiales cerámicos en el área maya, con un análisis más profundo de atributos. La aproximación tipo-variedad fue desarrollada para crear un sistema de análisis cerámico que enfatizara y facilitara la comparación entre diferentes sitios del área maya (Gifford 1960, 1976; Smith y Gifford 1966; Smith, Willey y Gifford 1960). El trabajo con la muestra cerámica de La Corona mantendrá esta cualidad comparativa de análisis. Una meta importante del análisis es documentar y describir completamente los grupos, tipos y variedades cerámicos presentes en la colección cerámica. Este esfuerzo no solamente ayudará a colocar La Corona en el ámbito conocido de cerámica maya, sino también contribuirá a análisis cerámico posterior en el noroeste de Petén.

Análisis adicional de atributos acompañará el análisis estándar de tipo-variedad. El análisis de atributos registra las características individuales de cada tiesto y ayudará a caracterizar más los tipos y variedades, asistir con la creación de una cronología cerámica y realzar los comportamientos sociales que acompañan la creación, uso y deposición de la colección arqueológica. Los atributos registrados para cada tiesto incluyen: forma de la vasija; parte de la vasija; borde; grosor de la pared y base; diámetro del borde; tratamiento de superficie; grado de erosión de la superficie; tipo y forma de la decoración de la superficie; y características de la pasta.

El proceso de análisis consta de cinco pasos. Primero, todos los tiestos son lavados con agua para remover el exceso de suciedad y revelar el tratamiento de superficie y decoración. Se pueden hacer algunas excepciones en el caso de análisis residual o tiestos particularmente frágiles. El lavado se realiza en el laboratorio del proyecto en la Ciudad de Guatemala y es una oportunidad para volver a chequear información de procedencia, notar la presencia de tiestos únicos, hacer anotaciones de frecuencias cerámicas registradas en el campo, y remover y embolsar por separado materiales no-cerámicos.

En segundo lugar, los tiestos que son considerados lo suficientemente grandes para etiquetar son rotulados con información de procedencia. Cada tiesto recuperado que posea más de 4 cm de diámetro recibirá un número individual que lo identifique. Estas identificaciones se basan en el lote en el cual se recuperó el tiesto y los números progresan secuencialmente del 1 hasta el último tiesto del lote. Por ejemplo, los tiestos recuperados de la Operación CR15, Suboperación A, Unidad 1 y Lote 20 son rotulados “CR15A-1-20-#”, donde # representa el identificador individual de cada tiesto. De esta manera, los 222 tiestos recuperados en este lote se rotularían CR15A-1-20-1, CR15A-1-20-2, CR15A-1-20-3 y así sucesivamente hasta CR15A-1-20-222. Para las excavaciones que también empleen niveles, el nivel se incluye entre el número de unidad y el número de lote. Rotular cada tiesto con su información de procedencia permite comparar fácilmente muestras de cerámica recuperadas en diferentes excavaciones, o de diferentes áreas de una misma excavación, sin temor a mezclar contenidos. Asimismo, permite ligar distintos atributos a cada tiesto y facilita al ceramista localizar tiestos que necesite reexaminar o referenciar después de la inspección individual. Los rótulos individuales también le permiten al ceramista identificar fragmentos que pueden volver a ser unidos y sus atributos individuales entre diferentes lotes.

En tercer lugar, todos los tiestos son clasificados en grupos en base a tratamiento de superficie o tipos potenciales. Se registran las frecuencias, partes de vasija y peso de cada grupo registrado. Los pesos se toman en tres grupos: el peso de los tiestos rotulados, el de los tiestos no rotulados y el peso de todos los tiestos. Los tiestos no rotulados se colocan en una bolsa pequeña y se regresan a la bolsa original.

El cuarto paso de análisis es la comparación de tiestos diagnósticos (por ejemplo bordes, bases y pestañas) con las descripciones de tipo-variedad de otros sitios. Las publicaciones

principales utilizadas para identificar tipos son de los sitios de Altar de Sacrificio (Adams 1971), Calakmul (Carrasco 1994), El Mirador (Forsyth 1983), La Joyanca (Forne 2006), Seibal (Sabloff 1975), Tikal (Culbert 1993) y Uaxactún (Smith 1955; Smith y Gifford 1966).

En el quinto paso, se registran los atributos de cada tiesto rotulado. Este paso es el que consume más tiempo y hasta ahora ha sido realizado solamente con una pequeña muestra de la colección cerámica. Estos atributos se codifican digitalmente y se registran en hojas de cálculo de documentos de Excel que luego se rotulan y organizan para fácil acceso y referencia.

El formato de hojas de cálculo facilita el sexto paso de análisis que es el análisis estadístico. El análisis estadístico será empleado para realzar y reforzar patrones notados durante etapas previas de análisis y para revelar patrones no observados en análisis previo. El análisis estadístico jugará un rol más importante durante la formulación de la cronología cerámica y durante la descripción de tipos y variedades en relación a sus atributos registrados.

La metodología aquí descrita es extensa y consume mucho tiempo, pero se espera que resulte en una comprensión detallada de la colección cerámica de La Corona. Hasta la fecha, solamente una pequeña porción de los tiestos analizados ha progresado a la quinta etapa de análisis (atributos), pero la clasificación inicial e identificación de tipos ya ha proveído información de la relación general entre la colección cerámica de La Corona y la de otros sitios de las Tierras Bajas mayas.

Trabajo cerámico previo en La Corona

Las exámenes previas a los materiales cerámicos de La Corona han sido breves y efímeras. El mayor esfuerzo de análisis se realizó después de la Temporada 2006, cuando La Corona era parte del Proyecto Arqueológico El Perú-Waka' y se enfocó en los materiales recuperados por la operación de excavaciones de sondeo en 2006, las excavaciones en la Estructura 13R-5 (antes designada Estructura C-5) y recolecciones de superficie. Este análisis incluyó la clasificación de los lotes en tipos y variedades y se hizo una lista de los tipos identificados (ver Tabla 15.1). No se ha hecho referencia a esta lista en reportes o presentaciones previas y debe ser interpretada como hallazgos preliminares. Desde la identificación de tipos de 2006, no se ha realizado análisis cerámico más allá de listas de tipos cerámicos con el propósito de fechar lotes de particular interés.

Trabajo Cerámico Reciente

El presente esfuerzo de análisis cerámico comenzó en 2011 y continuó en 2012. Estos análisis realizados por Caroline Parris, la ceramista de PRALC, están dirigidos a construir una cronología cerámica, creando un inventario completo de tipos y variedades presentes en La Corona con el que se pueda examinar relaciones inter e intra-sitio y obtener una comprensión de los comportamientos que llevaron a la colección cerámica recuperada a través de excavaciones en La Corona.

Como se mencionó anteriormente, la mayor parte de análisis realizado durante las temporadas de laboratorio de 2011 y 2012 se enfocaron en clasificar los lotes en tipos potenciales e identificar tipos presentes en La Corona. Los atributos fueron registrados para pocos lotes selectos. A través de estos esfuerzos se ha definido la muestra cerámica, se ha creado una lista funcional de tipos y se ha obtenido una comprensión aproximada de la cronología del sitio. Asimismo, se han puesto a prueba los procesos y hojas de cálculo necesarios para registrar atributos.

La Muestra Cerámica

La muestra actual de materiales cerámicos disponibles para análisis es el resultado de seis temporadas de excavación en La Corona. La colección proviene de 27 operaciones de diferentes áreas del sitio, pero la mayoría están localizadas en lo que hubiesen sido áreas públicas, ya sea el Grupo 13Q (la Plaza Principal) o el Grupo 13R (Grupo Coronitas y las estructuras inmediatamente al norte de Coronitas). Un total estimado de 120,000 tiestos comprenden la muestra. El material cerámico varía en tamaño e integridad, con tiestos que miden desde 2 cm de diámetro hasta vasijas completas. Hasta la fecha, se han catalogado 29 vasijas completas o casi completas. El Apéndice 15.1 describe estas vasijas y su proveniencia.

Tipos identificados en La Corona

Se han clasificado un total de 21,811 tiestos de 343 lotes. Esto es aproximadamente 20% del material cerámico recuperado. No todos estos tiestos han sido clasificados en tipos, pero aproximadamente 46 tipos han sido identificados en La Corona usando las referencias previamente mencionadas. La Tabla 15.2 posee una lista de los tipos identificados. Las variedades serán especificadas hasta que se pueda examinar una muestra grande de cada tipo

proveniente de La Corona. Las formas y características de los tipos identificados hasta ahora sugieren una afinidad a otras colecciones cerámicas de las Tierras Bajas centrales. La colección de La Corona parece adecuarse a la misma esfera cerámica que Calakmul, La Joyanca, Tikal y Uaxactún, con algunas variedades locales por supuesto. Esta variedad será mejor documentada en los siguientes años de análisis.

Cronología Cerámica

La cronología actual del sitio ha sido designada una “cronología arquitectónica” (Canuto *et al.* 2011), pero está basada principalmente en datos epigráficos de los textos de La Corona y conocimiento de las políticas del Clásico Tardío en las Tierras Bajas centrales. Esta cronología ha sido designada de la siguiente manera:

Fase Ajen (300-500 d.C.)

Fase Naah Ek' (520-625 d.C.)

Fase Yuknoom (625-700 d.C.)

Fase Ti' Kann (700-750 d.C.)

Fase Ix Mutal (750-820 d.C.)

La Fase Ajen comienza con la llegada del fundador del linaje de La Corona. La Fase Naah Ek' comienza con la llegada de la primera princesa de Calakmul. La Fase Yuknoom comienza con el reinado de *Sak Maas* y abarca el período de tiempo donde se tiene la mayor cantidad de datos epigráficos de La Corona. La Fase Ti Kaan comienza poco después que Tikal vence a Calakmul en 695 d.C. y la Fase Ix Mutal comienza con la derrota de El Perú-Waka' y Naranja por parte de Tikal a mediados del siglo octavo.

Este esquema cronológico lógicamente divide la línea de tiempo política y los datos epigráficos de La Corona, pero aun no se sabe si está apoyado por la cronología cerámica. Se requiere una cronología cerámica basada en cambios de formas de vasija y tratamiento de superficie a través del tiempo para demostrar cambio tecnológico y estilístico local a través del tiempo. Es poco probable que el ambiente político regional y los cambios políticos locales en La Corona influenciaran de gran manera las tendencias locales en estilo y tecnología cerámica.

Se podría esperar una pequeña fluctuación en la frecuencia de vasijas típicas de élite de Calakmul en basureros del Palacio acumulados durante las varias residencias de las princesas de

Calakmul en La Corona, pero no se deben esperar variaciones en vajillas de elite que sean visibles en vajillas utilitarias hechas localmente. Se espera que una cronología basada en las tendencias cerámicas locales de La Corona sea más o menos análoga al resto de las Tierras Bajas centrales, pero no se debe esperar que se pueda correlacionar exactamente a una cronología epigráfica o política.

El análisis actual de la cerámica de La Corona aun está en sus etapas iniciales y no se ha realizado suficiente análisis para crear una cronología cerámica confiable. La mayoría de los tiestos examinados vienen de rellenos arquitectónicos que no son confiables para fechar estratigráficamente formas y tipos cerámicos, ya que la mayoría de estos contextos incluyen una mezcla de materiales culturales de varias ubicaciones en el sitio y períodos de tiempo. Para evitar la confusión que con frecuencia acompaña conclusiones prematuras, no se presentará una cronología cerámica en este capítulo. La creación y presentación de una cronología cerámica local de La Corona se hará hasta que se realice más análisis.

A pesar de la falta de una cronología cerámica oficial, se tiene una idea de la cronología cerámica de La Corona a través del análisis que ya ha sido realizado. Ver la Tabla 15.3 para una lista de tipos identificados en La Corona organizados por período de tiempo cronológico y la Tabla 15.4 para una lista de lotes cerámicos y sus fechas asociadas.

El análisis inicial de la cerámica de La Corona ha demostrado que la cerámica más temprana examinada hasta el momento fecha al Preclásico Terminal o Protoclásico. Esta cerámica incluye algunos tiestos con engobe ceroso como Sierra Rojo, Flor Crema y Polvero Negro y varias formas que son típicas del Preclásico Terminal en otras áreas de Petén, como cántaros de cuello corto, algunas pestañas labiales y pedestales en forma de hongo. Esta cerámica temprana ha sido recuperada en rellenos arquitectónicos de las estructuras en el Grupo 13R, específicamente las fases constructivas tempranas de los templos de Coronitas y el relleno de la Estructura 13R-9. Los rellenos incluyen una mezcla de tipos del Clásico Temprano y tipos, y formas del Preclásico Terminal y Protoclásico. Como estos tiestos tempranos solamente han sido recuperados en rellenos constructivos, es probable que originalmente hayan sido depositados en basureros que luego se excavaron y mezclaron con depósitos del Clásico Temprano para hacer rellenos constructivos. La escasez de cerámica del Preclásico Terminal y Protoclásico sugiere una ocupación muy limitada en el núcleo del sitio durante este período de tiempo.

El Clásico Temprano está bien representado en La Corona. Los tiestos del Clásico Temprano aparecen más frecuentemente en depósitos de relleno, pero también estaban asociados con los Entierros 2 y 6, ambos de Coronitas y descritos posteriormente. Los tipos del Clásico Temprano presentes en La Corona incluyen Águila Naranja, Balanza Negro, Dos Arroyos Naranja Polícromo, Dos Hermanos Rojo, Pucte Café y San Blas Rojo sobre Naranja. Pestañas basales, bases anulares y cuencos hemisféricos son comunes en estos contextos del Clásico Temprano.

La cerámica del Clásico Tardío es la más común recuperada en La Corona. Estos tiestos parecen estar distribuidos en todo el sitio y provienen de múltiples contextos diferentes incluyendo rellenos arquitectónicos, basureros, un entierro y ofrendas. Los tipos más comunes identificados en La Corona y pertenecientes al Clásico Tardío incluyen Azote Naranja, Camarón Inciso, Cambio sin Engobe, Chaquiste Impreso, Chinja Impreso, Encanto Estriado, Infierno Negro, Saxché-Palmar Naranja Polícromo, Tinaja Rojo y Zacatal Crema Polícromo. Las formas asociadas con estos contextos del Clásico Tardío incluyen platos con paredes divergentes, cuencos pequeños de paredes divergentes, cuencos grandes y cuencos con bordes levantados, cántaros de cuello largo y cilindros. Algunos contextos del Clásico Tardío también incluyen cuencos Gris Fino Chablekal con paredes divergentes que en algunas ocasiones están incisas.

Los contextos del Clásico Terminal son similares a los del Clásico Tardío, pero incluyen la presencia de Gris Fino Tres Naciones y Naranja Fino Altar. Adiciones notables a las formas del Clásico Terminal incluyen cuencos rayadores y más variedad de formas asociadas con pastas Gris Fino. Se han recuperado bajas frecuencias de cerámica del Clásico Terminal en el sitio, pero hay concentraciones mayores en las últimas ocupaciones asociadas con la Estructura 13Q-2 y el Grupo 13R-1.

El Posclásico está efímeramente representado en La Corona. Se han recuperado cinco incensarios con forma de reloj de arena del Tipo La Justa en la superficie o en el estrato de humus de la excavación. Estos incensarios fueron colocados sobre arquitectura colapsada de las estructuras 13Q-2, 13R-3 y 13R-12 y probablemente representan visitas breves de mayas posclásicos.

Análisis de Atributos

La metodología de análisis de atributos fue probada en lotes selectos de excavaciones de los templos de Coronitas. El propósito de este análisis inicial de atributos era probar la viabilidad y practicidad de este tipo de análisis y refinar el proceso de registro y hojas de cálculo asociadas. Los lotes fueron escogidos en base a contextos bien definidos y asociaciones con las ya definidas fases arquitectónicas de las estructuras 13R-2, 13R-3, 13R-4 y 13R-5. Se puede encontrar una lista de estos lotes y sus fases asociadas en la Tabla 15.5. Los atributos registrados de estos lotes incluyen formas de vasijas, parte de la vasija, medidas del tiesto y de la vasija, tratamiento de superficie, decoración de superficie y grado de erosión/preservación. No se registraron características de pasta e inclusiones. Todavía se debe realizar el análisis estadístico completo de estos atributos, pero el método de registrar los atributos y ligar cada uno a un tiesto individual debe ser esencial para observar cambios pequeños en la secuencia cerámica a través del tiempo y cambios más grandes que podrían estar asociados a cambios en función cerámica y comportamiento humano a través del tiempo.

Análisis Futuro y Conclusiones

El análisis cerámico que comenzó en 2011 y siguió en 2012 continuará los siguientes años hasta que se cumplan las metas del análisis. Para recapitular, las metas del análisis en curso son construir una cronología cerámica; inventariar y describir por completo los tipos y variedades de cerámica presentes en la colección de La Corona; examinar las relaciones cerámicas en La Corona y entre La Corona, y otros sitios de las Tierras Bajas centrales, y obtener una comprensión del comportamiento humano involucrado en la producción, uso y deposición de la colección cerámica de La Corona.

La realización de estas metas puede ser facilitada a través de excavaciones con objetivos en La Corona. Se recomienda que futuras excavaciones en el sitio se enfoquen en áreas que puedan proveer largas secuencias de contextos bien definidos que ayudarán en la creación de una cronología cerámica y en contextos domésticos que aumentarán la muestra cerámica que hasta ahora ha sido sesgada hacia áreas públicas y estructuras del núcleo del sitio.

Como es de esperarse, el análisis cerámico es un proceso largo y lento. El análisis inicial durante 2011 y 2012 reflejan este proceso, pero intenta demostrar la metodología de análisis que será realizada en el futuro y prefigurar la naturaleza de estos futuros resultados.

Tabla 15.1 Tipos y variedades identificados en el análisis cerámico de 2006
(*ND significa No Determinado)

Grupo	Tipo	Variedad	Cronología
Achiotes	Achiotes Alisado	Achiotes	Preclasico Terminal
Achiotes	Achiotes sin Engobe	Achiotes	Preclasico Terminal
Achiotes	Achiotes sin Engobe	ND Acanalado Inciso	Preclasico Terminal
Achiotes	Achiotes sin Engobe	ND Baño Crema	Preclasico Terminal
Achiotes	Achiotes sin Engobe	ND Baño Rojo	Preclasico Terminal
Achiotes	Achiotes sin Engobe	ND	Preclasico Terminal
Decoración Negativa	Ahchab Rojo Y Ante	Ahchab	Preclasico Terminal
Baclam	Baclam Naranja	Baclam	Preclasico Terminal
Boxcay	Boxcay Café	Boxcay	Preclasico Terminal
Flor	Flor Crema	Flor	Preclasico Terminal
Sierra	Laguna Verde Inciso	Acanalado Inciso	Preclasico Terminal
Sierra	Laguna Verde Inciso	Laguna Verde	Preclasico Terminal
Polvero	Lechugal Inciso	Lechugal	Preclasico Terminal
Color Diferenciado	ND Café Exterior	ND Rojo Interior	Preclasico Terminal
Color Diferenciado	ND Naranja Exterior	ND Negro Interior	Preclasico Terminal
Color Diferenciado	ND Negro Exterior	ND Rojo Interior	Preclasico Terminal
Color Diferenciado	ND Rojo Exterior	ND Negro Exterior	Preclasico Terminal
Color Diferenciado	ND Rojo Exterior	ND Negro Interior	Preclasico Terminal
Color Diferenciado	ND Rojo Exterior	ND Negro Interior	Preclasico Terminal
Polvero	Polvero Negro	Polvero	Preclasico Terminal
Sacluc	Sacluc Negro sobre Naranja	Sacluc	Preclasico Terminal
Sierra	Sierra Rojo	ND Compuesto	Preclasico Terminal
Sierra	Sierra Rojo	Sierra	Preclasico Terminal
Boxcay	Xtabcab Inciso	Xtabcab	Preclasico Terminal
Zapote	Zapote Estriado	Zapote	Preclasico Terminal
Polvero	Zelda Acanalado	Zelda	Preclasico Terminal
Erosionados	ND	ND	Preclasico Terminal
Aguila	Aguila Naranja	Aguila	Clasico Temprano
Balanza	Balanza Negro	Balanza	Clasico Temprano
Dos Arroyos	Dos Arroyos Naranja Policromo	Dos Arroyos	Clasico Temprano
Dos Hermanos	Dos Hermanos Rojo	ND Acanalado	Clasico Temprano
Color Diferenciado	ND Café Exterior	ND Naranja Interior	Clasico Temprano
Polvero	Polvero Negro	Polvero	Clasico Temprano
Pucte	Pucte Café	Pucte	Clasico Temprano
Quintal	Quintal sin Engobe	ND Acanalado	Clasico Temprano
Quintal	Quintal sin Engobe	ND Baño Rojo	Clasico Temprano
Quintal	Quintal Sin Engobe	Quintal	Clasico Temprano

Triunfo	Triunfo Estriado	ND Baño Rojo	Clasico Temprano
Triunfo	Triunfo Estriado	ND Impreso	Clasico Temprano
Triunfo	Triunfo Estriado	Triunfo	Clasico Temprano
Azote	Azote Naranja	Azote	Clasico Tardío
Azote	Azote Naranja	ND Punzonado Inciso	Clasico Tardío
Zacatal	Bejucal Café sobre Ante	Bejucal	Clasico Tardío
Santa Rosa	Café sobre Crema	ND Negativo	Clasico Tardío
Tinaja	Camarón Inciso	ND Inciso Fino	Clasico Tardío
Cambio	Cambio sin Engobe	Cambio	Clasico Tardío
Cambio	Cambio sin Engobe	ND Baño Crema	Clasico Tardío
Cambio	Cambio sin Engobe	ND Inciso	Clasico Tardío
Máquina	Canoa Inciso	Canoa	Clasico Tardío
Infierno	Carmelita Inciso	Carmelita	Clasico Tardío
Chablekal	Chablekal	Chablekal	Clasico Tardío
Palmar	Chantuori Negro sobre Naranja	Chantuori	Clasico Tardío
Tinaja	Chaquiste Impreso	Chaquiste	Clasico Tardío
Infierno	Chilar Acanalado	Chilar	Clasico Tardío
Zacatal	Chinos Negro sobre Crema	Chinos	Clasico Tardío
Encanto	Encanto Estriado	Encanto	Clasico Tardío
Encanto	Encanto Estriado	ND Baño Rojo	Clasico Tardío
ND	Harina Crema	ND Acanalado Inciso	Clasico Tardío
Infierno	Infierno Negro	Infierno	Clasico Tardío
Infierno	Infierno Negro	ND Imitación Pasta Fina	Clasico Tardío
Zacatal	Juina Rojo sobre Ante	Juina	Clasico Tardío
Palmar	Leona Rojo sobre Naranja	Leona	Clasico Tardío
Máquina	Máquina Café	Máquina	Clasico Tardío
Máquina	Máquina Café	ND Manchado	Clasico Tardío
Santa Rosa	Moro Naranja Policromo	Moro	Clasico Tardío
ND	ND	con estuco	Clasico Tardío
Color Diferenciado	ND Naranja Exterior	ND Café Interior	Clasico Tardío
Color Diferenciado	ND Naranja Exterior	ND Rojo Interior	Clasico Tardío
Color Diferenciado	ND Negro Exterior	ND Rojo Interior	Clasico Tardío
Color Diferenciado	ND Negro Exterior	ND Rojo Interior	Clasico Tardío
Palmar	ND Rojo Especular sobre Naranja	ND	Clasico Tardío
Color Diferenciado	ND Rojo Exterior	ND Negro Interior	Clasico Tardío
Zacatal	Paixban Ante Policromo	Paixban	Clasico Tardío
Tinaja	Pantano Impreso	Pantano	Clasico Tardío
Quintal	Quintal sin Engobe	Quintal	Clasico Tardío
Azote	Salada Acanalado	Salada	Clasico Tardío
Palmar	Saxche Palmar Naranja Policromo	Saxche-Palmar	Clasico Tardío
Palmar	Saxche-Palmar Naranja Policromo	ND Aplicado en Filete	Clasico Tardío
Palmar	Saxche-Palmar Naranja Policromo	ND con Estuco	Clasico Tardío
Palmar	Saxche-Palmar Naranja Policromo	ND Hematita	Clasico Tardío
Palmar	Saxche-Palmar Naranja Policromo	ND Inciso	Clasico Tardío
Palmar	Saxche-Palmar Naranja Policromo	ND Negativo	Clasico Tardío
Palmar	Saxche-Palmar Naranja Policromo	Saxche-Palmar	Clasico Tardío
Santa Rosa	Suktan Crema Policromo	Suktan	Clasico Tardío
Santa Rosa	Suktan Crema Policromo	ND	Clasico Tardío

Máquina	Tenaja Acanalado	Tenaja	Clasico Tardío
Tinaja	Tinaja Rojo	ND Corinto	Clasico Tardío
Tinaja	Tinaja Rojo	ND Corinto	Clasico Tardío
Tinaja	Tinaja Rojo	ND Esgrafiado	Clasico Tardío
Tinaja	Tinaja Rojo	ND Manchado	Clasico Tardío
Tinaja	Tinaja Rojo	ND Manchado	Clasico Tardío
Tinaja	Tinaja Rojo	ND Puntos Negros	Clasico Tardío
Tinaja	Tinaja Rojo	ND Punzonado	Clasico Tardío
Tinaja	Tinaja Rojo	Tinaja	Clasico Tardío
Azote	Torres Inciso	Torres	Clasico Tardío
Palmar	Yuhactal Negro sobre Naranja	Yuhactal	Clasico Tardío
Zacatal	Zacatal Crema Policromo	Zacatal	Clasico Tardío
Erosionados	ND	ND	Clasico Tardío
Policromo Erosionado	ND	ND	Clasico Tardío
Policromos Erosionados	ND	ND	Clasico Tardío
Altar	Altar Naranja	Altar	Clasico Terminal
Tinaja	Camarón Inciso	Camarón	Clasico Terminal
Cambio	Cambio sin Engobe	ND Baño Rojo	Clasico Terminal
Tinaja	Chaquiste Impreso	Chaquiste	Clasico Terminal
Tinaja	Chaquiste Impreso	ND Inciso	Clasico Terminal
Encanto	Encanto Estriado	Encanto	Clasico Terminal
Encanto	Encanto Estriado	ND Acanalado	Clasico Terminal
Encanto	Encanto Estriado	ND Baño Rojo	Clasico Terminal
Infierno	Infierno Negro	Infierno	Clasico Terminal
Máquina	Máquina Café	Máquina	Clasico Terminal
Tres Naciones	Poite Inciso	Poite	Clasico Terminal
Tinaja	Tinaja Rojo	ND Puntos Negros	Clasico Terminal
Tinaja	Tinaja Rojo	Tinaja	Clasico Terminal
Tres Naciones	Tres Naciones	Tres Naciones	Clasico Terminal
Saxche-Palmar Naranja Policromo	Yuhactal Negro sobre Rojo	Yuhactal	Clasico Terminal
Erosionados	ND	ND	Clasico Terminal
Policromos Erosionados	ND	ND	Clasico Terminal
Policromos Erosionados	ND	ND	Clasico Terminal
Erosionado	ND	ND	ND
Erosionados	ND	ND	ND
Estriado	ND	ND	ND
Policromo Erosionado	ND	ND	ND
Rojos	ND	ND	ND
Sin Engobe	ND	ND	ND

Tabla 15.2 Lista de tipos cerámicos identificados en La Corona

Achiotes Negro
Águila Naranja
Altar Naranja
Azote Naranja
Balanza Negro
Buj Inciso
Camarón Inciso
Cambio sin Engobe
Canoa Inciso
Carmelita Inciso
Gris Fino Chablekal
Chantouri Negro sobre Naranja
Chaquiste Impreso
Chicxulub Inciso
Chilar Acanalado
Chinja Impreso
Chinos Negro sobre Crema
Corozal Inciso
Desquite Rojo sobre Naranja
Dos Arroyos Naranja Polícromo
Dos Hermanos Rojo
Encanto Estriado
Flor Crema
Hongo Compuesto
Infierno Negro
La Justa Compuesto
Lucha Inciso
Máquina Café
Mataculebra Crema
Miseria Applique
Pantano Impreso
Poite Inciso
Polvero Negro
Pucte Café
Quintal Sin Engobe
San Blas Rojo sobre Naranja
Saxche-Palmar Naranja Polícromo
Sierra Rojo
Subin Rojo
Suktan Crema Polícromo
Tinaja Rojo
Torres Inciso
Trapiche Inciso
Tres Micos Impreso
Gris Fino Tres Naciones
Triunfo Estriado
Zacatal Crema Polícromo

Tabla 15.3 Lista de tipos identificados en La Corona por período de tiempo

<p>Preclásico Tardío/Protoclásico Flor Crema, Hongo Compuesto, Polvero Negro, Sierra Rojo</p>
<p>Clásico Temprano Águila Naranja Balanza Negro Buj Inciso Dos Arroyos Naranja Polícromo Dos Hermano Rojo Lucha Inciso Pucte Café Quintal sin Engobe San Blas rojo sobre naranja Sierra Rojo Triunfo Estriado</p>
<p>Clásico Tardío Achiotes Negro Azote Naranja Camarón Inciso Cambio sin Engobe Canoa Inciso Carmelita Inciso Gris Fino Chablekal Chantouri negro sobre naranja Chaquiste Impreso Chicxulub Inciso Chilar Acanalado Chinja Impreso Chinos negro sobre crema Corozal Inciso Desquite rojo sobre naranja Encanto Estriado Infierno Negro Máquina Café Mataculebra Crema Pantano Impreso Saxché-Palmar Naranja Polícromo Subin Rojo Suktan Crema Polícromo Tinaja Rojo Torres Inciso Tres Micos Impreso Zacatal Crema Polícromo</p>
<p>Clásico Terminal Altar Naranja Azote Naranja Cambio sin Engobe Camarón Inciso Chaquiste Impreso Encanto Estriado Infierno Negro Máquina Café Misera Applique Saxché-Palmar Naranja Polícromo Poite Inciso Subin Rojo, Tinaja Rojo Torres Inciso, Trapiche Inciso Gris Fino Tres Naciones</p>
<p>Posclásico: La Justa Compuesto</p>

Tabla 15.4 Lotes cerámicos y sus fechas asociadas

OPERACIÓN	UNIDAD	NIVEL	LOTE	CANTIDAD DE TIESTOS	AÑO	ARQUEÓLOGO	ÉPOCA
CR1B	1	1	2	14	2006	MAC	Clásico Tardío
CR1B	1	2	4	14	2006	MAC	No diagnóstico
CR1B	2	1	6	2	2006	MAC	Clásico Tardío
CR1B	2	2	9	5	2006	MAC	No diagnóstico
CR1B	3	1	3	1	2006	MAC	No diagnóstico
CR1B	4	1	8	5	2006	MAC	No diagnóstico
CR1B	4	2	15	15	2006	MAC	Indeterminado
CR1B	5	1	10	4	2006	MAC	No diagnóstico
CR1B	6	1	16	12	2006	MAC	Clásico Tardío
CR11C	4	2	5	82	2012	MACC	Indeterminado
CR11C	4	2	6	43	2012	MACC	Indeterminado
CR11C	4	2	7	122	2012	MACC	Clásico Tardío
CR11C	4	2	8	294	2012	MACC	Clásico Tardío
CR11C	4	3	9	292	2012	MACC	Clásico Tardío
CR11C	4	4	10	700	2012	MACC	Clásico Tardío
CR11C	4	4	11	373	2012	MACC	Clásico Tardío
CR11C	4	5	12	782	2012	MACC	Clásico Tardío
CR11C	4	5	12-EXT	224	2012	MACC	Clásico Tardío
CR11C	4	8	16	21	2012	MACC	Protoclásico
CR11C	4	9	18	14	2012	MACC	Mezcla - Protoclásico, Clásico Temprano, Clásico Tardío
CR11D	1	1	1	8	2012	MACC	Clásico Tardío
CR11D	2	1	1	29	2012	MACC	Indeterminado
CR11D	2	2	2	26	2012	MACC	Indeterminado
CR11D	3	1	1	42	2012	MACC	Clásico Tardío
CR11D	3	2	2	24	2012	MACC	Indeterminado
CR11D	4	1	1	41	2012	MACC	Clásico Tardío
CR11D	4	2	2	81	2012	MACC	Clásico Tardío
CR11D	4	2	3	101	2012	MACC	Clásico Tardío
CR11D	4	2	4	261	2012	MACC	Clásico Tardío
CR12A	14		3	65	2010	J.BARON	Clásico Tardío
CR12A	16		2	76	2010	J.BARON	Clásico Tardío
CR12A	18		1	13	2010	J.BARON	Postclásico
CR12C	1		2	8	2009	J.BARON	Clásico Tardío
CR12C	8		4	63	2009	J.BARON	Clásico Tardío
CR12C	8		6	73	2009	J.BARON	Clásico Tardío
CR12C	10		5	7	2009	J.BARON	Clásico Tardío
CR12C	12		3	36	2009	J.BARON	Clásico Tardío
CR14A	1		10	22	2010	J.BARON	Clásico Tardío
CR14A	1		21	146	2010	J.BARON	Clásico Temprano
CR14A	1		3	14	2010	J.BARON	Clásico Tardío
CR14A	1		4	36	2010	J.BARON	Clásico Tardío
CR14A	1		5	1	2010	J.BARON	Clásico Tardío
CR14A	1		6	21	2010	J.BARON	Clásico Tardío
CR14A	1		7	2	2010	J.BARON	Clásico Tardío

CR14A	1		8	41	2010	J.BARON	Clásico Tardío
CR14A	1		9	10	2010	J.BARON	Clásico Tardío
CR14B	2		2	213	2010	J.BARON	Indeterminado
CR14B	3		3	28	2010	J.BARON	Clásico Tardío
CR14B	3		4	65	2010	J.BARON	Clásico Tardío
CR14B	6		3	25	2010	J.BARON	No diagnóstico
CR14B	6		4	85	2010	J.BARON	Clásico Tardío
CR14B	8		3	5	2010	J.BARON	Protoclásico
CR14B	11		4	13	2011	J.BARON	Protoclásico
CR14B	20		3	64	2011	J.BARON	Mezcla - Clásico Temprano, Clásico Tardío
CR14B	20		4	2	2011	J.BARON	No diagnóstico
CR14B	21		3	58	2011	J.BARON	Clásico Tardío
CR14B	23		4	88	2011	J.BARON	Clásico Tardío
CR14B	23		6	8	2011	J.BARON	Clásico Tardío
CR15A	1		13	48	2011	J.BARON	Mezcla - Clásico Temprano, Clásico Tardío
CR15A	1		14	39	2011	J.BARON	Mezcla - Clásico Temprano, Clásico Tardío
CR15A	1		15	162	2011	J.BARON	Mezcla - Clásico Temprano, Clásico Tardío
CR15A	1		16	3	2011	J.BARON	Mezcla - Clásico Temprano, Clásico Tardío
CR15A	1		17	592	2011	J.BARON	Mezcla - Clásico Temprano, Clásico Tardío
CR15A	1		18	172	2011	J.BARON	Mezcla - Clásico Temprano, Clásico Tardío
CR15A	1		19	431	2011	J.BARON	Mezcla - Clásico Temprano, Clásico Tardío
CR15A	1		20	329	2011	J.BARON	Mezcla - Clásico Temprano, Clásico Tardío
CR15A	1		21	369	2011	J.BARON	Mezcla - Clásico Temprano, Clásico Tardío
CR15A	1		22	68	2011	J.BARON	Mezcla - Clásico Temprano, Clásico Tardío
CR15A	1		23	79	2011	J.BARON	Mezcla - Clásico Temprano, Clásico Tardío
CR15A	1		24	710	2011	J.BARON	Clásico Temprano
CR15A	4		3	18	2010	J.BARON	No diagnóstico
CR15A	4		7	101	2010	J.BARON	Mezcla - Clásico Temprano, Clásico Tardío
CR15A	4		8	69	2010	J.BARON	Mezcla - Clásico Temprano, Clásico Tardío
CR17B	1		2	98	2011	J.BARON	Clásico Tardío
CR17B	1		3	68	2011	J.BARON	Clásico Tardío
CR17B	2		2	28	2011	J.BARON	Mezcla - Clásico Temprano, Clásico Tardío
CR17B	2		3	16	2011	J.BARON	Clásico Tardío
CR17B	2		4	81	2012	J.BARON	Mezcla - Clásico Temprano, Clásico Tardío
CR17B	2		5	13	2012	J.BARON	Mezcla - Clásico Temprano, Clásico Tardío
CR17B	2		6	120	2012	J.BARON	Mezcla - Protoclásico, Clásico Temprano, Clásico Tardío
CR17B	2		7	50	2012	J.BARON	Mezcla - Protoclásico, Clásico Temprano, Clásico Tardío
CR17B	2		8	141	2012	J.BARON	Mezcla - Protoclásico, Clásico Temprano, Clásico Tardío
CR17B	2		9	4	2012	J.BARON	No diagnóstico
CR17B	3		10	133	2012	J.BARON	Protoclásico

CR17B	3		11	43	2012	J.BARON	Protoclásico
CR17B	3		3	10	2012	J.BARON	Clásico Tardío
CR17B	3		4	8	2012	J.BARON	Mezcla - Clásico Temprano, Clásico Tardío
CR17B	3		5	30	2012	J.BARON	Mezcla - Clásico Temprano, Clásico Tardío
CR17B	3		7	38	2012	J.BARON	Mezcla - Clásico Temprano, Clásico Tardío
CR17B	3		8	164	2012	J.BARON	Mezcla - Protoclásico, Clásico Temprano, Clásico Tardío
CR17B	3		9	142	2012	J.BARON	Protoclásico
CR17B	3A		2	10	2012	J.BARON	Protoclásico
CR20 (AB)	8	1	1	10	2009	LPP	Clásico Tardío
CR20 (AB)	8	2	2	6	2009	LPP	No diagnóstico
CR20 AB	1	1	1	20	2009	LPP	Clásico Tardío
CR20 AB	1	2	2	51	2009	LPP	Probablemente Clásico Tardío
CR20 AB	2	2		9	2009	LPP	Probablemente Clásico Tardío
CR20 AB	2	1	1	33	2009	LPP	Clásico Tardío
CR20 AB	2	2	2	18	2009	LPP	Probablemente Clásico Tardío
CR20 AB	2	3	3	38	2009	LPP	Clásico Tardío
CR20 AB	3	0	4	29	2009	LPP	Probablemente Clásico Tardío
CR20 AB	3	0	5	36	2009	LPP	Probablemente Clásico Temprano
CR20 AB	3	0	7	22	2009	LPP	Erosionado y Fragmentario
CR20 AB	3	1	1	8	2009	LPP	No diagnóstico
CR20 AB	3	3	3	20	2009	LPP	Probablemente Clásico Tardío
CR20G	1	2		18	2008	ACR	Erosionado y Fragmentario
CR20G	2	2		18	2008	ACR	Indeterminado
CR20G	3	2		44	2008	ACR	Clásico Tardío
CR20G	4	2		86	2008	ACR	Clásico Tardío
CR20G	5	2		170	2008	ACR	Clásico Tardío
CR20G	6	2		169	2008	ACR	Clásico Tardío
CR20G	7	1		2	2008	ACR	No diagnóstico
CR20G	7	2		59	2008	ACR	Erosionado y Fragmentario
CR20G	7	4		23	2008	ACR	Clásico Tardío
CR20G	5A	4		12	2008	ACR	No diagnóstico
CR20G	6A	5		43	2008	ACR	Clásico Tardío
CR20P	1	1	1	73	2009	LPP	Clásico Temprano
CR20P	1	11	7	160	2009	LPP	Clásico Temprano
CR20P	1	14	8	84	2009	LPP	Mezcla - Clásico Temprano, Clásico Tardío
CR20P	1	2	2	14	2009	LPP	Indeterminado
CR20P	1	4	3	7	2009	LPP	No diagnóstico
CR20P	1	5	4	18	2009	LPP	Indeterminado
CR20P	1	5	5	7	2009	LPP	Indeterminado
CR20P	1	7	6	134	2009	LPP	Mezcla - Clásico Temprano, Clásico Tardío
CR20P	2	1	1	7	2009	LPP	Erosionado y Fragmentario
CR20P	2	2	2	39	2009	LPP	Clásico Tardío
CR20P	2	3	3	69	2009	LPP	Clásico Terminal
CR20P	2	4	4	8	2009	LPP	No diagnóstico
CR20P	2	5	5	6	2009	LPP	Indeterminado
CR21SC				2	2009	LPP	No diagnóstico

CR21	1	1	1	342	2009	LPP	Erosionado y Fragmentario
CR21	1	2	2	104	2009	LPP	Erosionado y Fragmentario
CR21	1	3	3	5	2009	LPP	Erosionado y Fragmentario
CR21	1	4	4	29	2009	LPP	Erosionado y Fragmentario
CR21	1	4	5	196	2009	LPP	Erosionado y Fragmentario
CR21	2	1	1	32	2009	LPP	No diagnóstico
CR21	2	1	2	31	2009	LPP	Erosionado y Fragmentario
CR21	2	1	4	49	2009	LPP	Erosionado y Fragmentario
CR21	2	2	3	70	2009	LPP	Clásico Tardío
CR21	2	2	5	40	2009	LPP	Erosionado y Fragmentario
CR21	2	7	1-1	17	2009	LPP	Erosionado y Fragmentario
CR21	3	(2-6)	3	406	2009	LPP	Clásico Tardío
CR21	3	1	1	14	2009	LPP	Clásico Tardío
CR21	3	1	2	102	2009	LPP	Clásico Tardío
CR21	3	2	4	18	2009	LPP	Probablemente Clásico Tardío
CR21	4	1	1	12	2009	LPP	Probablemente Clásico Tardío
CR21	4	2	2	200	2009	LPP	Clásico Tardío
CR21	4	2	3	60	2009	LPP	Clásico Tardío
CR21	5	1	1	15	2009	LPP	Erosionado y Fragmentario
CR21	5	1	2	14	2009	LPP	Indeterminado
CR21	6	1	1	9	2009	LPP	Erosionado y Fragmentario
CR21	6	2	2	95	2009	LPP	Clásico Tardío
CR21	7	2	2	15	2009	LPP	Clásico Tardío
CR21	8	0	3	35	2009	LPP	No diagnóstico
CR21	8	0	4	8	2009	LPP	Indeterminado
CR32C	2	1		3	2009	ACG	No diagnóstico
CR32D	2	2		105	2009	SPG	Clásico Terminal
CR32D	5	1		3	2009	SPG	No diagnóstico
CR32D	6	1	1	9	2010	ACG	Indeterminado
CR32D	7	2		52	2010	ACG	Probablemente Clásico Tardío
CR32D	9	1		44	2010	ACG	Indeterminado
CR32D	9	1	1	9	2010	ACG	Clásico Tardío
CR32D	10	1		159	2010	ACG	Clásico Tardío
CR32D	12	1		88	2010	ACG	Indeterminado
CR32D	14	1		115	2010	ACG	Clásico Tardío
CR32D	15	1		19	2010	ACG	Clásico Tardío
CR32D	16	1		41	2010	ACG	Clásico Tardío
CR32D	16	2		81	2010	ACG	Clásico Tardío
CR32D	16	3		5	2010	ACG	Clásico Tardío
CR32D	17	1		177	2010	ACG	Clásico Terminal
CR32D	17	2		51	2010	ACG	Clásico Tardío
CR32D	17	3		8	2010	ACG	Clásico Tardío
CR32D	18	1		101	2010	ACG	Clásico Tardío
CR32D	19	1		22	2010	ACG	Clásico Tardío
CR32D	20	3		32	2010	ACG	Clásico Terminal
CR32D	20	4		234	2010	ACG	Clásico Terminal
CR32D	20	5		148	2010	ACG	Clásico Terminal
CR32D	21	1		94	2010	ACG	Clásico Terminal

CR32D	21	2		118	2010	ACG	Clásico Terminal
CR32D	21	3		16	2010	ACG	Clásico Tardío
CR32D	22	1		22	2010	ACG	Clásico Tardío
CR32D	22	2		127	2010	ACG	Clásico Terminal
CR32D	22	3		50	2010	ACG	Clásico Terminal
CR32D	23	1		132	2010	ACG	Clásico Terminal
CR32D	23	2		29	2010	ACG	Clásico Terminal
CR32D	23	3		44	2010	ACG	Clásico Tardío
CR32D	23	4		7	2010	ACG	No diagnóstico
CR32D	23	5		5	2010	ACG	No diagnóstico
CR32D	24	1		30	2010	ACG	Clásico Tardío
CR32D	24	2		74	2010	ACG	Clásico Terminal
CR32D	24	3		15	2010	ACG	No diagnóstico
CR32D	24	3	1	47	2010	ACG	Clásico Terminal
CR32D	24	4	1	14	2010	ACG	Clásico Tardío
CR32D	(15y9)	2		76	2010	ACG	Clásico Tardío
CR33A	1	2		3	2009	YDC	No diagnóstico
CR33A	2	1	2	13	2009	YDC	No diagnóstico
CR33A	3	2		22	2009	YDC	Indeterminado
CR33A	4	1	2	10	2009	YDC	Indeterminado
CR33A	5	2		25	2009	YDC	Clásico Tardío
CR33A	5	4	(1 DE 3)	1	2010	YDC	Clásico Tardío
CR33A	5	4	(2 DE 3)	1	2010	YDC	Clásico Tardío
CR33A	5	4	(3 DE 3)	65	2010	YDC	Clásico Tardío
CR33A	5	6		1	2011	YDC	Clásico Temprano
CR33A	5	8		1	2011	YDC	No diagnóstico
CR33A	6	1	2	10	2009	YDC	Clásico Tardío
CR33A	6	2	(1 DE 2)	32	2010	YDC	Clásico Tardío
CR33A	6	2	(2 DE 2)	60	2010	YDC	Clásico Tardío
CR33A	6	3		103	2010	YDC	Clásico Tardío
CR33A	6	4		113	2010	YDC	Mezcla - Clásico Temprano, Clásico Tardío
CR33A	6	6		111	2010	YDC	Clásico Temprano
CR33A	6	7		40	2010	YDC	Clásico Temprano
CR33A	6	7		13	2011	YDC	Indeterminado
CR33A	7	2		62	2009	YDC	Clásico Tardío
CR33A	8	1	2	32	2009	YDC	Clásico Tardío
CR33A	11	1	2	6	2009	YDC	No diagnóstico
CR33A	12	1	2	26	2009	YDC	Clásico Tardío
CR33A	13	1	2	32	2009	YDC	Indeterminado
CR33A	20	10		16	2010	YDC	Clásico Tardío
CR33A	20	2		12	2010	YDC	Indeterminado
CR33A	20	4	(1 DE 2)	17	2011	YDC	Clásico Tardío
CR33A	20	4	(1 DE 2)	44	2011	YDC	Clásico Temprano
CR33A	20	4	(2 DE 2)	8	2011	YDC	Indeterminado
CR33A	20	4	(2 DE 2)	50	2011	YDC	Clásico Tardío
CR33A	20	5	(1 DE 3)	74	2010	YDC	Clásico Tardío
CR33A	20	5	(2 DE 3)	140	2010	YDC	Clásico Tardío
CR33A	20	5	(3 DE 3)	40	2010	YDC	Indeterminado

CR33A	20	7		8	2011	YDC	No diagnóstico
CR33A	21	2		34	2010	YDC	Clásico Tardío
CR33A	21	4	(1 DE 2)	122	2010	YDC	Clásico Tardío
CR33A	21	4	(2 DE 2)	83	2010	YDC	Clásico Tardío
CR33A	24	2		26	2011	YDC	No diagnóstico
CR33A	26	2		8	2010	YDC	Probablemente Clásico Tardío
CR33B	1	4		54	2010	YDC	Clásico Tardío
CR33D	1	2		116	2010	YDC	Indeterminado
CR33D	1	3		190	2010	YDC	Indeterminado
CR35A	1	1		8	2009	YDC	Indeterminado
CR35A	2	1		43	2009	YDC	Clásico Temprano
CR35A	2	3		12	2009	YDC	Clásico Temprano
CR35A	3	1		19	2009	YDC	Clásico Temprano
CR35A	3	4		51	2009	YDC	Clásico Temprano
CR35A	5	1		17	2009	YDC	Clásico Temprano
CR35A	8	2		100	2010	YDC	Clásico Terminal
CR35A	9	2		108	2010	YDC	Clásico Tardío
CR35A	10	2		30	2010	YDC	Indeterminado
CR35A	11	2		53	2010	YDC	Clásico Tardío
CR35B	1	1		16	2010	YDC	Clásico Tardío
CR35B	1	2		2	2009	YDC	Clásico Tardío
CR35B	5	1	3	14	2009	YDC	Indeterminado
CR35B	5	2		1	2009	YDC	No diagnóstico
CR35B	SC			11	2009	YDC	Clásico Tardío
CR35B	SUPERFICIE			11	2010	YDC	Clásico Tardío
CR35C	1	2		15	2009	YDC	Indeterminado
CR35C	1	2		25	2010	YDC	Indeterminado
CR35C	2	2		23	2009	YDC	Clásico Tardío
CR35C	3	1	2	8	2009	YDC	Clásico Tardío
CR35C	3	2		12	2010	YDC	Indeterminado
CR35C	3	3		16	2010	YDC	Clásico Tardío
CR35C	3	4		115	2010	YDC	Clásico Tardío
CR35C	3	5		28	2011	YDC	Clásico Tardío
CR35C	4	2		15	2009	YDC	Clásico Tardío
CR35C	4	3		12	2010	YDC	No diagnóstico
CR35C	5	2		2	2009	YDC	Clásico Tardío
CR35C	5	2		27	2010	YDC	Clásico Tardío
CR35C	5	3		36	2010	YDC	Clásico Tardío
CR35C	5	4	(1 DE 25)	11	2010	YDC	Clásico Tardío
CR35C	5	4	(10 DE 25)	2	2010	YDC	Clásico Tardío
CR35C	5	4	(11 DE 25)	1	2010	YDC	Clásico Tardío
CR35C	5	4	(12 DE 25)	1	2010	YDC	Clásico Tardío
CR35C	5	4	(13 DE 25)	8	2010	YDC	Clásico Tardío
CR35C	5	4	(14 DE 25)	1	2010	YDC	Clásico Tardío
CR35C	5	4	(15 DE 25)	6	2010	YDC	Clásico Tardío
CR35C	5	4	(16 DE 25)	1	2010	YDC	Clásico Tardío
CR35C	5	4	(17 DE 25)	1	2010	YDC	Clásico Tardío
CR35C	5	4	(18 DE 25)	9	2010	YDC	Clásico Tardío

CR35C	5	4	(19 DE 25)	8	2010	YDC	Clásico Tardío
CR35C	5	4	(2 DE 25)	5	2010	YDC	Clásico Tardío
CR35C	5	4	(20 DE 25)	1	2010	YDC	Clásico Tardío
CR35C	5	4	(21 DE 25)	1	2010	YDC	Clásico Tardío
CR35C	5	4	(22 DE 25)	5	2010	YDC	Clásico Tardío
CR35C	5	4	(23 DE 25)	8	2010	YDC	Clásico Tardío
CR35C	5	4	(24 DE 25)	2	2010	YDC	Clásico Tardío
CR35C	5	4	(25 DE 25)	4	2010	YDC	Clásico Tardío
CR35C	5	4	(3 DE 25)	1	2010	YDC	Clásico Tardío
CR35C	5	4	(4 DE 25)	2	2010	YDC	Clásico Tardío
CR35C	5	4	(5 DE 25)	5	2010	YDC	Clásico Tardío
CR35C	5	4	(6 DE 25)	2	2010	YDC	Clásico Tardío
CR35C	5	4	(7 DE 25)	7	2010	YDC	Clásico Tardío
CR35C	5	4	(8 DE 25)	8	2010	YDC	Clásico Tardío
CR35C	5	4	(9 DE 25)	9	2010	YDC	Clásico Tardío
CR35C	6	3		72	2010	YDC	Clásico Tardío
CR35C	7	1	2	38	2009	YDC	Indeterminado
CR35C	8	2	(1 DE 2)	18	2010	YDC	Clásico Tardío
CR35C	8	2	(2 DE 2)	30	2010	YDC	Clásico Tardío
CR35C	8	3		47	2010	YDC	Clásico Tardío
CR35C	9	2		15	2010	YDC	Indeterminado
CR35C	9	3		26	2010	YDC	Indeterminado
CR35C	10	2		13	2010	YDC	Clásico Tardío
CR35D	6	1		26	2011	YDC	Clásico Terminal
CR35	SUPERFICIE			1	2010	YDC	Clásico Tardío
CR117A	3	3	4	435	2012	DPB	Clásico Tardío
CR117A	3	3	5	310	2012	DPB	Clásico Tardío
CRES-1A	1	1	1	1	2006	MJA	No diagnóstico
CRES-1A	1	2	26	2	2006	MJA	No diagnóstico
CRES-1A	1	2	3	66	2006	MJA	Clásico Terminal
CRES-1A	1	3	8	12	2006	MJA	Clásico Tardío
CRES-1A	2	1	2	1	2006	MJA	Clásico Tardío
CRES-1A	2	2	4	80	2006	MJA	Clásico Tardío
CRES-1A	2	2	5	41	2006	MJA	Clásico Tardío
CRES-1A	2	3	10	33	2006	MJA	Clásico Tardío
CRES-1A	2	3	11	26	2006	MJA	Clásico Tardío
CRES-1A	2	3	18	24	2006	MJA	Clásico Temprano
CRES-1A	2	4	20	17	2006	MJA	No diagnóstico
CRES-1A	2	5	22	6	2006	MJA	Clásico Temprano
CRES-1A	3	1	27	1	2006	MJA	No diagnóstico
CRES-1A	3	2	29	25	2006	MJA	No diagnóstico
CRES-1A	4	1	28	4	2006	MJA	No diagnóstico
CRES-1A	4	2	30	37	2006	MJA	Clásico Tardío
CRES-1A	4	2	31	92	2006	MJA	Clásico Terminal
CRES-1A	4	3	35	91	2006	MJA	No diagnóstico
CRES-1A	4	3	37	99	2006	MJA	Clásico Tardío
CRES-1A	5	1	38	2	2006	MJA	No diagnóstico
CRES-1A	5	2	41	28	2006	MJA	Erosionado y Fragmentario

CRES-2A	1	1	39	1	2006	MJA	No diagnóstico
CRES-2A	1	2	40	17	2006	MJA	Clásico Tardío
CRES-2A	1	3	43	54	2006	MJA	Erosionado y Fragmentario
CRES-2A	2	2	62	121	2006	MJA	Probablemente Clásico Tardío
CRES-2A	2	3	71	52	2006	MJA	Probablemente Clásico Tardío
CRES-2A	5	3	45	43	2006	MJA	Clásico Temprano
CRES-2B	1	2	49	121	2006	MJA	Probablemente Clásico Tardío
CRES-2B	1	3	50	45	2006	MJA	Probablemente Clásico Tardío
CRES-2C	1	2	57	22	2006	MJA	Erosionado y Fragmentario
CRES-3A	1	2	52	21	2006	MJA	Protoclásico
CRES-3A	1	2	54	14	2006	MJA	Protoclásico
CRES-3B	1	2	59	52	2006	MJA	Clásico Temprano
CRES-3B	1	3	60	70	2006	MJA	Mezcla - Protoclásico, Clásico Temprano, Clásico Tardío
CRES-3C	1	1	63	6	2006	MJA	No diagnóstico
CRES-3C	1	2	65	62	2006	MJA	Erosionado y Fragmentario
CRES-3C	1	3	67	448	2006	MJA	Clásico Tardío
CRES-3C	1	3	68	124	2006	MJA	Mezcla - Clásico Temprano, Clásico Tardío
CRES-4A	1	1	62	2	2006	MJA	No diagnóstico
CRES-4A	1	2	64	121	2006	MJA	Clásico Tardío
CRES-4A	1	3	66	709	2006	MJA	Clásico Tardío
CRES-4A	1	4	69	62	2006	MJA	Erosionado y Fragmentario
CRES-4A	1	5	70	31	2006	MJA	Probablemente Clásico Temprano

Tabla 15.5 Lotes examinados de Coronitas con fechas asociadas y fases arquitectónicas

Lote	Estructura	Fase de Estructura	Tipo de contexto	Época
17B-03-11	13R-5	K'INICH	Relleno	Protoclásico
17B-03a-02	13R-5	K'INICH	Relleno	Protoclásico
15A-01-13	13R-2	K'UH	Relleno	Mezcla Clásico Temprano y Clásico Tardío
15A-01-14	13R-2	MUK	Relleno	Mezcla Clásico Temprano y Clásico Tardío
15A-01-15	13R-2	MUK	Relleno	Mezcla Clásico Temprano y Clásico Tardío
15A-01-16	13R-2	MUK	Relleno	Mezcla Clásico Temprano y Clásico Tardío
15A-01-17	13R-2	MUK	Relleno	Mezcla Clásico Temprano y Clásico Tardío
15A-01-18	13R-2	MUK	Relleno	Mezcla Clásico Temprano y Clásico Tardío
15A-01-19	13R-2	MUK	Relleno	Mezcla Clásico Temprano y Clásico Tardío
15A-01-20	13R-2	MUK	Relleno	Mezcla Clásico Temprano y Clásico Tardío
15A-01-21	13R-2	MUK	Relleno	Mezcla Clásico Temprano y Clásico Tardío
15A-01-22	13R-2	MUK	Relleno	Mezcla Clásico Temprano y Clásico Tardío
15A-01-23	13R-2	MUK	Relleno	Mezcla Clásico Temprano y Clásico Tardío
15A-04-03	13R-2	UNEN	Relleno	No Diagnóstico
15A-04-07	13R-2	UNEN	Relleno	Mezcla Clásico Temprano y Clásico Tardío
14A-01-04	13R-4	MUK	Relleno	Clásico Tardío
14A-01-06	13R-4	MUK	Relleno	Clásico Tardío
14A-01-08	13R-4	MUK	Relleno	Clásico Tardío
14A-01-10	13R-4	MUK	Relleno	Clásico Tardío
14A-01-03	13R-4	K'UH	Relleno	Clásico Tardío
14A-01-05	13R-4	K'UH	Relleno	Clásico Tardío
14A-01-07	13R-4	K'UH	Relleno	Clásico Tardío
14A-01-09	13R-4	K'UH	Relleno	Clásico Tardío
14B-03-04	13R-4	MAM?	Relleno	Clásico Tardío
14B-06-04	13R-4	MAM?	Relleno	Clásico Tardío
14B-03-03	13R-4	MUK	Relleno	Clásico Tardío
14B-06-03	13R-4	MUK	Relleno	No Diagnóstico
14B-08-03	13R-4	MUK	Relleno	Clásico Tardío
14B-11-04	13R-4	MUK	Relleno	Clásico Tardío
14B-20-04	entre 13R-3 y 13R-4	MUK	Relleno	No Diagnóstico
17B-02-04	13R-5	UB	Relleno	Mezcla Clásico Temprano y Clásico Tardío
17B-02-05	13R-5	UB	Relleno	Mezcla Clásico Temprano y Clásico Tardío
17B-02-06	13R-5	UB	Relleno	Mezcla - Protoclásico, Clásico Temprano, Clásico Tardío
17B-02-07	13R-5	UB	Relleno	Mezcla - Protoclásico, Clásico Temprano, Clásico Tardío
17B-02-08	13R-5	UB	Relleno	Mezcla - Protoclásico, Clásico Temprano, Clásico Tardío

17B-02-09	13R-5	UB	Relleno	No Diagnóstico
17B-03-03	13R-5	UB	Relleno	Clásico Tardío
17B-03-04	13R-5	UB	Relleno	Mezcla Clásico Temprano y Clásico Tardío
17B-03-05	13R-5	UB	Relleno	Mezcla Clásico Temprano y Clásico Tardío
17B-03-07	13R-5	UB	Relleno	Mezcla Clásico Temprano y Clásico Tardío
17B-03-08	13R-5	UB	Relleno	Mezcla - Protoclásico, Clásico Temprano, Clásico Tardío
17B-03-09	13R-5	UB	Relleno	Protoclásico
17B-03-10	13R-5	UB	Relleno	Protoclásico
15A-04-08	13R-2	K'UH	Relleno	Mezcla Clásico Temprano y Clásico Tardío
14B-21-03	entre 13R-4 y 13R-5	UNEN	Basurero	Clásico Tardío
14B-23-04	entre 13R-4 y 13R-5	UNEN	Basurero	Clásico Tardío
14B-23-06	entre 13R-4 y 13R-5	UNEN	Basurero	Clásico Tardío
17B-01-02	entre 13R-4 y 13R-5	UNEN	Basurero y Derrumbe	Clásico Tardío
17B-01-03	entre 13R-4 y 13R-5	UNEN	Basurero	Clásico Tardío
17B-02-02	entre 13R-4 y 13R-5	UNEN	Basurero y Derrumbe	Mezcla Clásico Temprano y Clásico Tardío
17B-02-03	entre 13R-4 y 13R-5	UNEN	Basurero	Clásico Tardío
14B-20-03	entre 13R-3 y 13R-4	MUK	Basurero	Mezcla Clásico Temprano y Clásico Tardío
15A-01-24	13R-2	MAM	Basurero	Clásico Temprano
12A-14-03	entre 13R-2 y 13R-3	K'UH o UNEN	Piso	Clásico Tardío
12A-16-02	13R-3	K'UH o UNEN	Derrumbe en piso	Clásico Tardío
12C-01-02	13R-3	K'UH o UNEN	Piso	Clásico Tardío
12C-08-04	13R-3	UNEN	Piso	Clásico Tardío
12C-08-06	13R-3	K'UH o UNEN	Piso	Clásico Tardío
12C-10-05	13R-3	K'UH o UNEN	Piso	Clásico Tardío
12C-12-03	entre 13R-3 y 13R-4	K'UH o UNEN	Derrumbe en piso	Clásico Tardío
14A-01-21	13R-4	MUK	Tumba	Clásico Temprano
15A-1a lotes 2 a 54	13R-2	MUK	Tumba	Clásico Temprano

Apéndice 15.1 Descripción de vasijas completas

No. Vasija	1
Descripción	Vasija del tipo Mataculebra del Clásico Tardío. Variedad indeterminada. Forma: cilindro con borde directo levemente evertido y labio redondeado. Tratamiento de superficie: engobe color crema con diseños pintados en negativo en color rojo y negro.
Medidas	Altura: 18.5cm. Diámetro exterior: 13.5 cm. Grosor del borde: 4mm
Procedencia	Ofrenda en escondite en Estructura 13R-9. Unidad CR11C-1 y CR11C-4 (2009)

No. Vasija	2
Descripción	Incensario Posclásico no.1. Tipo: Justa Compuesto. Variedad: La Justa. Tratamiento de superficie: sin engobe con aplicaciones de botones circulares, posee restos de baño de estuco en el interior.
Medidas	Altura 14.5 cm. Diámetro exterior: 14.5cm. Diámetro de base de pedestal: 12.5cm. Altura de base de pedestal: 4.5cm
Procedencia	Humus durante limpieza de la Estructura 13Q-2. Unidad CR13C-11-1 (2009)

No. Vasija	3
Descripción	Incensario Posclásico no.2. Tipo: Justa Compuesto. Variedad: La Justa. Tratamiento de superficie: sin engobe con aplicaciones de botones circulares.
Medidas	Altura: 14.5 cm. Diámetro exterior: 15cm. Diámetro de base de pedestal: 12cm. Altura de base de pedestal: 4.5cm
Procedencia	Superficie, en las gradas de la plataforma que sostiene a las Estructuras 13R-2, 13R-3 y 13R-4, junto a la Estructura 13R-3. Unidad CR12A-18-1 (2010)

No. Vasija	4
Descripción	Vasija no restaurada (24 fragmentos). Tipo: indeterminado. Cuenco con base anular, borde directo y labio redondeado. Tratamiento de superficie: engobe rojo en la parte interior.
Medidas	Diámetro: 30cm. Grosor de la pared: 7.9mm
Procedencia	Entierro 2, Estructura 13R-4. Unidad CR14A-1-21 (2010)

No. Vasija	5
Descripción	Incensario Posclásico no.3. Tipo: Justa Compuesto. Variedad: La Justa. Tratamiento de superficie: Sin engobe con aplicaciones de botones circulares y otras más complejas como líneas y piezas superpuestas de cerámica en estilo tejido. Dos agujeros de ventilación en el cuerpo y un agujero entre el cuerpo principal y la base de pedestal.
Medidas	Altura: 14.5cm. Diámetro exterior: 17cm. Diámetro de base de pedestal: 13.5cm. Altura de base de pedestal: 5.5cm
Procedencia	Estructura 13Q-2A. Unidad CR32D-26-3 (2011)

No. Vasija	6
Descripción	Vasija 1 del Entierro 3. Tipo: Saxché-Palmar Naranja Polícromo del Clásico Tardío. Variedad indeterminada. Plato con paredes divergentes y base levemente redondeada. El borde es engrosado en el exterior con labio redondeado. Tratamiento de superficie: engobe naranja en el interior, el exterior no posee engobe. Tiene una banda roja en el borde/labio en el interior y exterior. La base interior de la vasija posee un diseño pintado de color negro, que posiblemente es un diseño abstracto de un insecto que estilísticamente está fechado para la segunda mitad del siglo séptimo.
Medidas	Altura: 3.8cm. Diámetro exterior: 25cm. Grosor del borde: 25cm.
Procedencia	Entierro 3 en la Estructura 13Q-3. Unidad CR33A-20-5 y 6 (2011)

No. Vasija	7
Descripción	Vasija 2 del Entierro 3. Tipo y variedad indeterminadas. Plato con paredes divergentes y base plana redondeada. El borde está ligeramente engrosado en el exterior con el labio afinado hacia adentro. Tratamiento de superficie: engobe naranja en el interior con manchas de engobe negro intermitentes en las paredes y base interior. El exterior no tiene engobe.
Medidas	Altura: 4.5 cm. Diámetro del borde: 35cm. Grosor del borde: 9.8mm. Grosor de la pared: 8.5 mm. Grosor de la base: 8.5 mm.
Procedencia	Entierro 3 en la Estructura 13Q-3. Unidad CR33A-20-7 (2011)

No. Vasija	8
Descripción	Comal 1. Tipo: Cambio sin Engobe. Variedad: indeterminada. Plato levemente convergente con base redondeada. Tratamiento de superficie: sin engobe con manchas de baño rojo. Bien alisado en el interior y el exterior está alisado de manera irregular.
Medidas	Altura: 3.2 cm. Diámetro exterior: 26cm. Grosor del diámetro: 9.3mm
Procedencia	Ofrenda debajo del piso de estuco en la parte posterior de la plataforma basal de la Estructura 13R-10. Unidad CR16B-3a-4-6

No. Vasija	9
Descripción	Comal 2. Tipo: Cambio sin Engobe. Variedad: indeterminada. Plato levemente convergente con base redondeada. Tratamiento de superficie: sin engobe con manchas de baño rojo. Bien alisado en el interior y el exterior está alisado de manera irregular.
Medidas	Altura: 3.2 cm. Diámetro exterior: 26cm. Grosor del diámetro: 9.3mm
Procedencia	Ofrenda debajo del piso de estuco en la parte posterior de la plataforma basal de la Estructura 13R-10. Unidad CR16B-3b-4-6

No. Vasija	10
Descripción	Vasija 1 del Entierro 6. Tipo: Águila Naranja. Cuenco de forma hemisférica con borde directo, labio cuadrado afinado hacia adentro y base anular. Tratamiento de superficie: engobe naranja en la parte interior.
Medidas	Altura: 7.1cm. Diámetro del borde: 28cm. Diámetro de la base: 13cm. Grosor de las paredes: 5.4 a 7.9 mm. Grosor de la base: ~7.1mm
Procedencia	Entierro 6 en la Estructura 13R-2. Unidad CR15A-1A (2011)

No. Vasija	11
Descripción	Vasija 2 del Entierro 6. Tipo: Águila Naranja. Medio cuenco con paredes divergentes, pero curvadas. Borde directo, labio cuadrado afinado hacia adentro y base anular. Tratamiento de superficie: engobe naranja en la parte interior.
Medidas	Altura: 6.5 cm. Diámetro del borde: 28cm. Diámetro de la base: 9cm. Grosor de las paredes: 6.2 a 7.5 mm. Grosor de la base: 7.7mm
Procedencia	Entierro 6 en la Estructura 13R-2. Unidad CR15A-1A (2011)

No. Vasija	12
Descripción	Vasija 3 del Entierro 6. Tipo: Balanza Negro. Cuenco con paredes divergentes, pero levemente curvadas. Borde directo, no engrosado y labio redondeado. Las paredes se redondean hacia la base. La base es cóncava y plana. Tratamiento de superficie: engobe negro en el interior, el exterior es negro y rojo moteado.
Medidas	Altura: 6.2cm. Diámetro del borde: 18cm. Diámetro de la base: 5.5 cm. Grosor de las paredes: 4.5 mm. Grosor de la base: 4mm
Procedencia	Entierro 6 en la Estructura 13R-2. Unidad CR15A-1A (2011)

No. Vasija	13
Descripción	Vasija 4 del Entierro 6. Tipo: Balanza Negro. Cuenco con paredes divergentes, pero levemente curvadas. Borde directo, no engrosado y labio redondeado. Las paredes se redondean hacia la base. La base es cóncava y plana. Tratamiento de superficie: engobe negro en el interior. El exterior es negro y rojo moteado.
Medidas	Altura: 6.4cm. Diámetro del borde: 19 cm. Diámetro de la base: 5.49cm. Grosor de las paredes: 4.5mm. Grosor de la base: 2.3mm.
Procedencia	Entierro 6 en la Estructura 13R-2. Unidad CR15A-1A (2011)

No. Vasija	14
Descripción	Vasija 5 del Entierro 6. Tipo: Balanza Negro. Cuenco con paredes divergentes, pero levemente curvadas. Borde directo, no engrosado y labio redondeado. Las paredes se redondean hacia la base. La base es cóncava y plana. Tratamiento de superficie: engobe negro en el interior. El exterior es negro moteado.
Medidas	Altura: 6.2cm. Diámetro del borde: 20cm. Diámetro de la base: 5.5cm. Grosor de las paredes: 5.1mm. Grosor de la base: 3.5mm.
Procedencia	Entierro 6 en la Estructura 13R-2. Unidad CR15A-1A (2011)

No. Vasija	15
Descripción	Vasija 6 del Entierro 6. Tipo: indeterminado. Cuenco con paredes divergentes, pero levemente curvadas. Borde directo, no engrosado y labio redondeado. Las paredes se redondean hacia la base. La base es cóncava y plana. Tratamiento de superficie: engobe rojo en el interior y el exterior posee engobe rojo sobre engobe naranja que llega hasta la base.
Medidas	Altura: 4.7cm. Diámetro del borde: 15cm. Diámetro de la base: 4.52cm. Grosor de la pared: 4.3mm. Grosor de la base: 2.7mm.
Procedencia	Entierro 6 en la Estructura 13R-2. Unidad CR15A-1A (2011)

No. Vasija	16
Descripción	Vasija 7 del Entierro 6. Tipo: indeterminado. Cuenco con paredes divergentes, pero levemente curvadas. Borde directo, no engrosado y labio redondeado. Las paredes se redondean hacia la base. La base es cóncava y plana. Tratamiento de superficie: engobe rojo en el interior y el exterior posee engobe rojo sobre engobe naranja que llega hasta la base.
Medidas	Altura: 5.4cm. Diámetro del borde: 15cm. Diámetro de la base: 4.52cm. Grosor de la pared: 4.3mm. Grosor de la base: 2.7mm.
Procedencia	Entierro 6 en la Estructura 13R-2. Unidad CR15A-1A (2011)

No. Vasija	17
Descripción	Vasija 8 del Entierro 6. Tipo: indeterminado. Cuenco con paredes ligeramente divergentes. Las paredes se redondean hacia la base. Borde directo y labio redondeado. Las paredes se afinan hacia el borde. La base es plana y ligeramente redondeada. Tratamiento de superficie: engobe negro en el interior. El exterior posee engobe solamente 2/3 en la parte superior y el 1/3 restante no posee engobe.
Medidas	Altura: 7.8cm. Diámetro del borde: 13cm. Grosor de la pared en la base: 6.7mm. Grosor de la pared en el borde: 3.5mm. Grosor de la base: 6.7mm.
Procedencia	Entierro 6 en la Estructura 13R-2. Unidad CR15A-1A (2011)

No. Vasija	18
Descripción	Vasija 9 del Entierro 6. Tipo: indeterminado. Cuenco con paredes ligeramente divergentes. Las paredes se redondean hacia la base. Borde directo y labio redondeado. Las paredes se afinan hacia el borde. La base es plana y ligeramente redondeada. Tratamiento de superficie: engobe negro en el interior. Solamente la mitad del exterior posee engobe (la parte inferior de la pared y la base no poseen engobe).
Medidas	Altura: 6.4cm. Diámetro del borde: 11 a 12cm. Grosor de la pared en la base: 6mm. Grosor de la pared a medio cuenco: 6.5mm. Grosor de la pared en el borde: 3.3 mm. Grosor de la base: 7.4mm.
Procedencia	Entierro 6 en la Estructura 13R-2. Unidad CR15A-1A (2011)

No. Vasija	19
Descripción	Vasija 10 del Entierro 6. Tipo: Águila Naranja. Cuenco con paredes convergentes. Borde directo y labio redondeado, afinado hacia afuera. Base anular. Tratamiento de superficie: engobe rojo/naranja en el interior. Solamente la mitad del exterior posee engobe (la parte inferior de la pared y la base no poseen engobe). Hay algunas manchas de engobe en el exterior.
Medidas	Altura: 7.5cm. Diámetro del borde: 28cm. Diámetro de la base: 78.9mm-96.9mm. Grosor de paredes: 6.5mm. Grosor de la base: 8.1cm.
Procedencia	Entierro 6 en la Estructura 13R-2. Unidad CR15A-1A (2011)

No. Vasija	20
Descripción	Vasija 11 del Entierro 6. Tipo: Águila Naranja. Cuenco con paredes divergentes. Las paredes se afinan hacia el borde. Borde directo, labio redondeado, ligeramente aplanado y afinado hacia adentro. Base plana. La base interior posee una línea incisa donde se junta la pared y la base. Tratamiento de superficie: engobe rojo en el interior y exterior. La base no posee engobe el interior ni exterior.
Medidas	Altura: 4.8cm. Diámetro del borde: 23cm. Diámetro de la base: 10cm. Grosor de la pared a medio cuenco: 7.6mm. Grosor de la pared en el borde: 4.7mm. Grosor de la pared en la base: 8.8 mm. Grosor de la base: 5.0mm.
Procedencia	Entierro 6 en la Estructura 13R-2. Unidad CR15A-1A (2011)

No. Vasija	21
Descripción	Vasija 12 del Entierro 6. Tipo: Águila Naranja. Vasija cilíndrica con borde directo y labio redondeado. Las paredes se redondean hacia la base. La base es cóncava y redondeada. Tratamiento de superficie: engobe naranja en el interior y exterior.
Medidas	Altura: 7cm. Diámetro del borde: 8cm. Grosor del borde: 2.9mm. Grosor de las paredes: 4.0mm. Grosor de la base: 4.7mm. Grosor de la base: 3.3mm.
Procedencia	Entierro 6 en la Estructura 13R-2. Unidad CR15A-1A (2011)

No. Vasija	22
Descripción	Vasija 13 del Entierro 6. Tipo indeterminado. Cuenco con paredes ligeramente divergentes. Borde directo, labio redondeado/afinado. La base es redondeada con pestaña basal directa. Tratamiento de superficie: engobe negro en el interior y exterior.
Medidas	Altura: 7.3cm. Diámetro del borde: 13cm. Grosor de paredes en la base: 5.7mm. Grosor de paredes en el borde: 3.0mm. Grosor de las paredes a medio cuenco: 4.7mm. Grosor de la base: 5mm
Procedencia	Entierro 6 en la Estructura 13R-2. Unidad CR15A-1A (2011)

No. Vasija	23
Descripción	Vasija 14 del Entierro 6. Tipo: Águila Naranja. Cuenco con paredes redondeadas. Las paredes no están engrosadas. Borde directo y labio afinado hacia adentro. Base anular. Tratamiento de superficie: engobe interior rojo/naranja con manchas negras en gran parte del interior. El exterior no posee engobe.
Medidas	Altura: 6.6cm. Diámetro del borde: 26cm. Grosor de las paredes: 5.8mm. Grosor de la base: 7mm
Procedencia	Entierro 6 en la Estructura 13R-2. Unidad CR15A-1A (2011)

No. Vasija	24
Descripción	Vasija 15 del Entierro 6. Tipo: Águila Naranja. Cuenco con paredes redondeadas. Las paredes no están engrosadas. Borde directo y labio afinado hacia adentro. Base anular. Tratamiento de superficie: engobe interior rojo/naranja con manchas negras en gran parte del interior. El exterior no posee engobe.
Medidas	Altura: 6.5cm. Diámetro del borde: 25cm. Grosor de las paredes: 5.7mm. Grosor de la base: 4.4mm.
Procedencia	Entierro 6 en la Estructura 13R-2. Unidad CR15A-1A (2011)

No. Vasija	25
Descripción	Incensario Posclásico no.4. Tipo: La Justa Compuesto. Variedad: La Justa. Incensario en forma de reloj de arena (casi idéntico a ejemplos en Altar de Sacrificios). Borde directo y labio redondeado en el borde y base de pedestal. Posee dos agujeros de ventilación en la forma de hendiduras verticales en lados opuestos de las paredes. No hay agujero de ventilación en la base. Posee una sola aplicación en forma de flor con un botón en medio y cuatro aplicaciones ovaladas alrededor de la flor. Tratamiento de superficie: sin engobe con manchas de quemado/carbón en el interior.
Medidas	Altura: 12.7cm. Altura de base de pedestal: ~ 3.9cm. Diámetro exterior: 15cm. Diámetro de base de pedestal: 13.5cm. Grosor del borde: 9mm. Grosor de la pared: 9mm. Grosor de la base: indeterminado. Grosor de pared de base de pedestal: 11.1mm. Grosor del borde de base de pedestal: 9mm.
Procedencia	Superficie de la Estructura 13Q-2. Unidad CR32D-45-3 (2012)

No. Vasija	26
Descripción	Vasija 1 del Entierro 7. Tipo: Saxché Palmar Naranja Polícromo. Variedad: indeterminada. Plato redondeado con paredes convergentes. Borde divergente, evertido y labio afinado. La base es redondeada con una pequeña área plana de 62.5mm. Un agujero de "muerte" está presente en el área plana, probablemente originándose en el exterior, ya que mide 20.1mm de diámetro en el interior y 7.6mm en el exterior. Parte del interior está erosionado (alrededor del agujero y del lado opuesto del área plana). Tratamiento de superficie: engobe naranja en el exterior (desde el labio hasta 48.4mm hacia abajo), el resto es color beige. El interior está pintado de engobe naranja sobre engobe beige. Solamente las paredes están pintadas con diseños. La base es de color naranja sólido. La base está delineada con bandas color negro-rojo-negro. El labio está delineado con una banda color negro de donde cuelgan lo que parecen ser figuras de conchas negras vacías en el área evertida del borde. Este diseño está delimitado por una banda negra justo debajo de las conchas y las bandas que delimitan la base. Entre las bandas hay una patrón repetitivo de Kan Cross hecho de un rectángulo delineado con un punto negro sólido en cada esquina, un óvalo vacío en el centro y líneas verticales de rojo, negro y cema sobre engobe naranja alternando con los diseños de Kan Cross.
Medidas	Altura: 5.3 a 6.8cm. Diámetro exterior del borde: 28cm. Grosor del borde: 4.7mm. Grosor de las paredes: 6.6mm. Grosor de la base: 8.3mm
Procedencia	Entierro 7 en la Estructura B13 del Grupo 14S-1 "Caballito". Unidad CR50-21A-7

No. Vasija	27
Descripción	Vasija 2 del Entierro 7. Tipo: Zacatal Crema Polícromo. Variedad: indeterminada. Cuenco con paredes divergentes con base cóncava. Tratamiento de superficie: engobe naranja en el interior con una banda color negro en el labio. El exterior posee engobe color crema (¿?) con tres diseño repetido dos veces: líneas rojas verticales de aproximadamente 8% de circunferencia, huesos cruzados pintados en negro con detalle rojo en un fondo de engobe de aproximadamente 21% de circunferencia y una sección de pintura negra que posiblemente son círculos negros alineados verticalmente con las líneas rojas y abarcan aproximadamente 14% de la circunferencia. La base también posee engobe.
Medidas	Altura: 6.5cm. Diámetro exterior del borde: 21cm. Grosor del borde: 4.3mm. Grosor de la pared: 5.5mm. Grosor de la base: 4.4mm. Grosor de la base: 3.7mm.
Procedencia	Entierro 7 en la Estructura B13 del Grupo 14S-1 "Caballito". Unidad CR50-21A-7

No. Vasija	28
Descripción	Vasija 3 del Entierro 7. Tipo: Desquite Rojo sobre Naranja. Variedad: indeterminada. Vaso cilíndrico con borde directo y labio cuadrado. La base es plana, pero ligeramente curvada. Tratamiento de superficie: engobe naranja con pintura roja sobre posible engobe crema. La pared exterior está dividida en tres partes horizontales por medio de dos bandas rojas horizontales en el medio, una en el labio y otra en la base. El área superior e inferior posee engobe naranja y diseños de espirales rojas cuadradas alternados con la figura de un graderío en toda la circunferencia de la vasija. La parte media de la vasija posee una sola fila de pseudo glifos pintados de rojo. La base posee solamente engobe naranja. El interior posee engobe café.
Medidas	Altura: 11.1cm. Diámetro exterior del borde: 11.5cm. Grosor del borde: 4.0mm. Grosor de la pared: 2.3mm. Grosor de la base: 3.1mm
Procedencia	Entierro 7 en la Estructura B13 del Grupo 14S-1 "Caballito". Unidad CR50-21A-7

No. Vasija	29
Descripción	Incensario Posclásico no. 5. Tipo: Indeterminado. Mitad de incensario posclásico. Borde directo en el borde y base de pedestal. Labio redondeado en el borde y labio cuadrado en la base de pedestal. Tratamiento de superficie: sin engobe, sin decoración y con manchas de quemado en el interior. Posiblemente poseía un agujero de ventilación en el centro.
Medidas	Altura: 12.3cm. Altura de base de pedestal: 4cm. Diámetro exterior del borde: 20cm. Diámetro de base de pedestal: 10cm. Grosor del borde: 7mm. Grosor de la pared: 10mm. Grosor de la base: 13mm. Grosor de pared de base de pedestal: 10mm. Grosor del borde de base de pedestal: 12mm.
Procedencia	Humus en la parte superior de la Estructura 13R-12

CAPÍTULO XVI

ANÁLISIS DE RESTOS ESQUELÉTICOS HUMANOS: TEMPORADA 2012

Erin Patterson

Introducción

Dos entierros fueron recuperados durante la Temporada 2012, llevando a ocho el número total de entierros de La Corona. Ambos individuos fueron descubiertos en tumbas; uno fue encontrado en el Grupo Coronitas y otro en el Grupo Caballito.

Operación CR11

Entierro 8 (CR11C-4-9-18)

Se recuperó un cráneo humano en una tumba en la Estructura 13R-9 en el Grupo Coronitas. Además del material craneal, se recuperaron varias vértebras y costillas desarticuladas. No se repitieron elementos, por lo que es probable que solamente un individuo haya estado presente. Es posible que el esqueleto parcial haya sido el ocupante original de la tumba o parte de un depósito más tardío. Los huesos fueron encontrados en el muro de la tumba, sobre el piso y además de estos huesos la cámara se encontraba vacía (Ver capítulo VII, en este reporte). Los huesos están fragmentados pero bien preservados. El desarrollo dental y la sutura craneal indican que el individuo era un adulto joven. Varias características usadas para determinar sexo estaban presentes (ver Tabla 16.1). Basado en estas características, el sexo es posiblemente femenino, aunque esta designación es extremadamente tentativa. Se observó hiperostosis porótica en el occipital y en ambos parietales (Figura 16.1). Las lesiones están sanadas y no parece haber sido un caso severo. No se presentaron otras patologías.

La dentadura está completa. Ninguno de los dientes tiene caries. Hay pocos cálculos presentes en los dientes, aunque esto puede deberse a erosión post-mortem. El desgaste es leve a moderado. El hueso alveolar del maxilar derecho indica que poseía un molar tipo “peg”, una condición donde el tercer molar del maxilar derecho posee microdoncia. Sin embargo, el diente en sí no se recuperó (Figura 16.2). Los cuatro incisivos superiores estaban ordenados en el patrón I-5 (Buikstra y Ubelaker 1994) para darle a la superficie oclusal una forma convexa (Figura 16.3). Los dos caninos superiores están ordenados en el patrón II-4 (Figura 16.3) (Buikstra y Ubelaker 1994). Los huesos recuperados en este contexto están enumerados en la Tabla 16.1.



Figura 16.1 Hiperostosis porótica en el parietal izquierdo, Entierro 8 (Foto: E. Patterson)



Figura 16.2 Alveolos indicando la presencia del molar tipo "peg", maxilar izquierdo, Entierro 8 (Foto: E. Patterson)

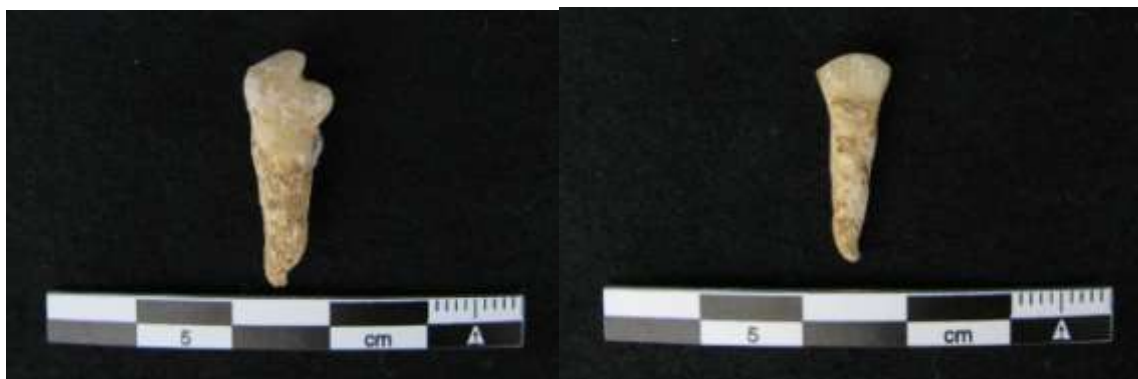


Figura 16.3 Modificaciones dentales ante-mortem, Entierro 8 (Izquierda: incisivo lateral del maxilar derecho. Derecha: canino del maxilar derecho) (Fotos: E. Patterson)

Operación CR50

Entierro 7 (CR50-21A-7)

Un solo individuo se recuperó en la tumba de la Estructura 14SI-13 en el Grupo Caballito. El individuo fue enterrado en una posición extendida y decúbito dorsal, con la parte inferior de los brazos cruzados sobre el abdomen. El entierro tenía una orientación este-oeste con la cabeza hacia el este. Los huesos se encontraron extremadamente fragmentados y mal preservados.

Basado en el cierre de la sutura craneal y fusión epifisial, el individuo era un adulto joven al momento de la muerte. Para la determinación de sexo, solamente los procesos mastoideos de los huesos temporales estaban presentes (ver Tabla 16.2). Aunque los datos son limitados, el sexo ha sido asignado tentativamente como femenino.

Solamente se recuperó un número pequeño de dientes. Los dientes presentes están erosionados y muestran poco desgaste. La resorción del hueso alveolar indica que el segundo premolar del mandibular derecho y el primer molar fueron perdidos antemortem. No se notaron otras patologías en los huesos. En la Tabla 16.2 se encuentra un inventario de los huesos recuperados en este entierro. La Figura 16.4 ilustra cómo se trazó la cuadrícula en la tumba.

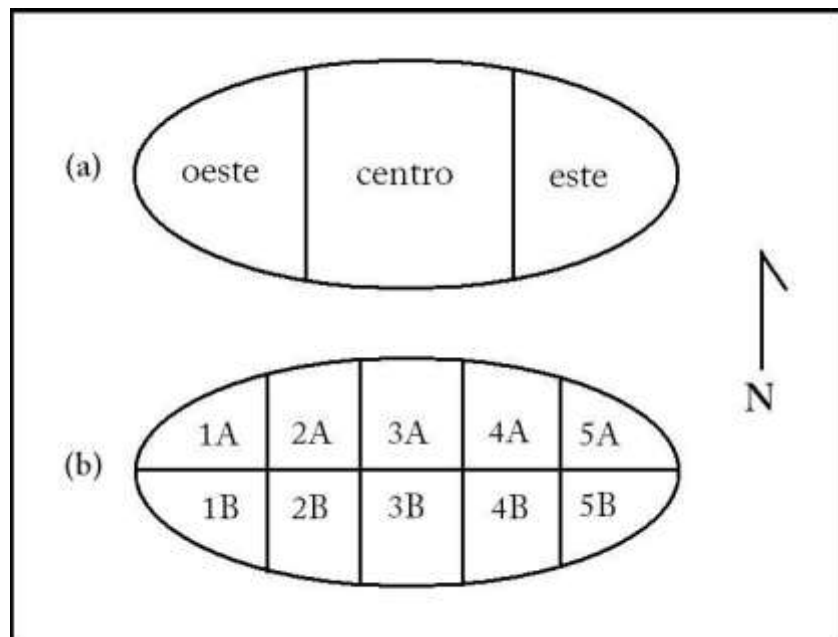


Figura 16.4 Retícula de los niveles de excavación superior (a) e inferior (b) del Entierro 7 (Dibujo: E. Patterson)

Resumen de los entierros de La Corona

Desde que las excavaciones comenzaron en 2006, se han descubierto ocho entierros en La Corona. Todos los individuos eran adultos al momento de la muerte. El sexo fue determinado en menos de la mitad de los entierros y solamente el Entierro 5 es la única persona encontrada en un contexto de bajo status. La fragmentación y preservación pobre han dificultado la evaluación de los huesos, pero se pueden hacer algunas generalizaciones. En general, parece que la salud de los individuos fue relativamente buena. Solamente se ha observado un caso de hiperostosis porótica. Las caries dentales son raras entre estos individuos, mientras que los cálculos son prevalentes. Se espera que las futuras temporadas de campo permitan incrementar el tamaño y diversidad de la muestra para entender mejor a las personas que vivieron en La Corona. La Figura 16.5 ilustra la ubicación de los entierros de La Corona y la Tabla 16.3 presenta un resumen de los entierros descubiertos hasta la fecha.

Inventario Esquelético

Los huesos fueron analizados utilizando las pautas de “Standards” (Buikstra y Ubelaker 1994), por lo que se han utilizado los siguientes códigos para registrar los restos:

Lado	I (izquierdo) D (derecho) A (ambos) LM (línea media) S (sin lado)
Segmento	EP (epífisis proximal) P 1/3 (tercio proximal de diáfisis) M 1/3 (tercio medial de diáfisis) D 1/3 (tercio distal de diáfisis) ED (epífisis distal) C (cuerpo vertebral o centrum) AN (arco neural)
Integridad	1 (75-100% completo) 2 (25-75% completo) 3 (menos de 25% completo)
Edad	A (adulto) J (joven) I (indeterminado)
Sexo	F (femenino) M (masculino) I (indeterminado)

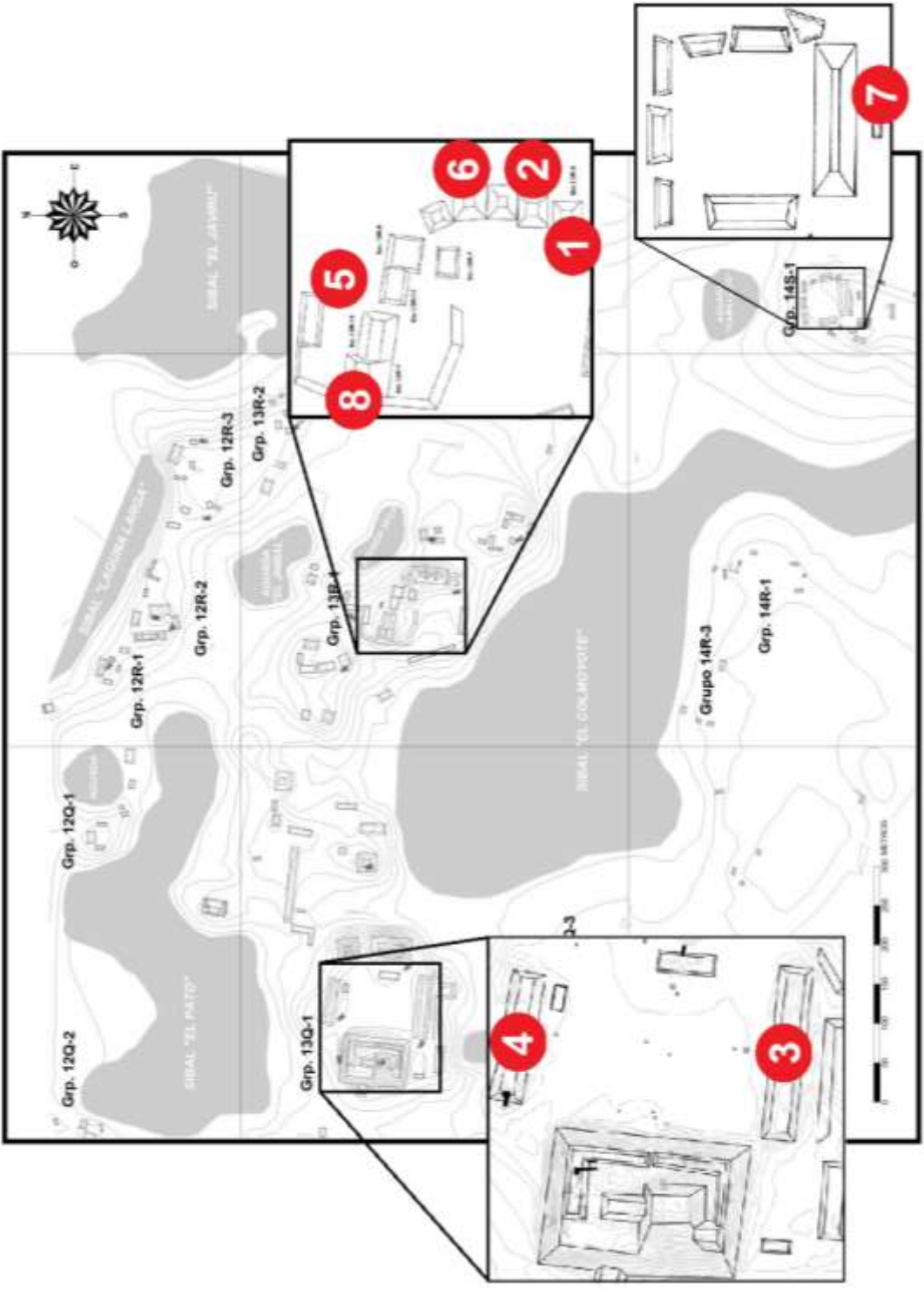


Figura 16.5 Mapa de La Corona mostrando ubicación de entierros (Mapa original por R. Guzmán, J. Pontaza, E. Johnson y D. Chatelain 2011)

Tabla 16.1 Inventario de restos humanos, Entierro 8 (CR11C-4-9-18)

Hueso	Lado	Segmento	Integridad	Cantidad	Edad	Sexo	Notas
Frontal	LM		3	1		2-3 (margen supraorbitario)	
Frontal	LM		3	2		2-3 (glabella)	
Frontal	LM		3	1			
Occipital	LM		2	2	AJ	2-3 (cresta nugal)	
Occipital	LM		3	1			
Parietal	A		derecho: 2, izquierdo: 3	1			
Parietal	D		3	1			
Parietal	D		3	1			
Parietal	I		2	1			
Parietal	I?		2	10			
Temporal	D		3	1			
Temporal	D		3	1			
Temporal	D		2	1		3 (mastoideo)	
Temporal	I		2	1			
Temporal	I		2	1	AJ		
Maxilar	D		2	2			
Maxilar	I		1	1	AJ		
Cigomático	D		1	1			
Cigomático	I		1	2	AJ		
Nasal	D		1	1			
Nasal	I		2	1			
Esfenoides	LM		3	6			
Mandíbula	LM		1	10	A	2 (eminencia mental)	
Fragmentos de la bóveda craneal				39			
Fragmentos craneales				Más de 100			
Vértebras torácicas	LM	C, AN	1	3			
Vértebras cervicales	LM	C, AN	1	4			
Fragmentos vertebrales				7			
Fragmento de cuerpo de costilla				1			No humano ?
Fragmento de cuerpo de costilla				1			No humano ?
Fragmentos de huesos largos				2			No humano ?
Fragmentos no identificados				Más de 100			
Fragmentos no identificados				2			

Tabla 16.2 Inventario de restos humanos, Entierro 7 (CR50-21A-7)

Cuadrante	Hueso	Lado	Segmento	Integridad	Cantidad	Edad	Sexo
Oeste	Fragmentos no identificados				44		
Este	Fragmentos no identificados				79		
Este	Fragmento vertebral				1		
Este	Fragmento de bóveda cranial				1		
Centro	Fragmentos no identificados				Más de 100		
	Fragmentos no identificados				28		
1A	Fragmentos de extremidad inferior				5		
1A	Fragmentos no identificados				9		
1B	Fragmentos de extremidad inferior				4		
1B	Fragmentos no identificados				22		
1B	Rótula				1		
2A	Fémur	D	P 1/3	2	3		
2A	Fragmentos de extremidad inferior				9		
2A	Hueso coxal	?		3	1		
2A	Fragmentos no identificados				43		
2B	Fémur	I	P 1/3	2	2		
2B	Fragmentos de extremidad inferior				7		
2B	Fragmentos no identificados				32		
3A	Fémur	D?		3	1		
3A	C1			2	5		
3A	C2			3	1		
3A	Hueso coxal	D		3	6		
3A	Fragmentos no identificados				56		
3B	Hueso coxal	?		3	3		
3B	Fémur	I	EP	2	1		
3B	Sacro	LM		3	2		
3B	Fragmento vertebral			3	1		
3B	Fragmentos no identificados				58		
3B	Fragmento de cuerpo de costilla				2		
4A	Húmero	D	EP, P 1/3, M 1/3	todos: 2	10	A	
4A	Húmero	I	M 1/3	2	4		
4A	Escápula	D		3	3		
4A	Fragmentos de Costilla				48		
4A	Cúbito	?	P 1/3	1	1		
4A	Fragmentos de extremidad superior				40		
4A	Fragmentos de mano (falanges)				6		
4A	Fragmentos vertebrales				7		

4A	Clavícula	?		3	2		
4A	Mandíbula	LM		3	1		
4A	Fragmentos no identificados				Más de 100		
5A	Escápula	D		3	2		
5A	Temporal	I		2	1		2 (mastoideo)
5A	Parietal	I		3	1		
5A	Fragmentos vertebrales				2		
5A	Mandíbula	LM		3	1		
5A	Temporal	D		2	5		1 (mastoideo)
5A	Parietal	I		3	1		
5A	Parietal	D		3	2		
5A	Occipital	LM		2	6		
5A	Fragmentos de la bóveda craneal				19		
5A	Fragmentos craneales				27		
5A	Fragmentos no identificados				Más de 100		

Tabla 16.3 Resumen de entierros de La Corona

No. de Entierro	Lote	Año de excavación	Cita	Notas	Estructura	Fecha	Contexto	Arquitectura funeraria	Posición	Orientación	Sexo	Edad
1	CR-01A-1-2-32	2006	Patterson 2011		13R-5		Público	Tumba				Adulto
2	CR-14A-1-21	2010	Patterson 2011	Sin dientes	13R-4		Público	Tumba				Adulto
3	CR33A-20-5	2010	Patterson 2011, 2012	Falta el cráneo	13Q-3							Adulto joven
4	CR-35C-5-4	2010	Patterson 2011		13Q-5	Clásico Tardío						Adulto
5	CR18B-1-6-6/2-3-3/3-3-5	2011	Patterson 2012		Parte posterior de 13R-11			Ninguna	Decúbito dorsal extendido	Cabeza al oeste		Adulto
6	CR15A-1a-2 a 54	2011	Patterson 2012		13R-2		Público	Tumba		Cabeza al este	M?	Adulto
7	CR50-21A-7	2012	<i>Este capítulo</i>		14SI-13			Tumba	Decúbito dorsal extendido (brazos flexionados)	Cabeza al este	F?	
8	CR11C-4-9-18	2012	<i>Este capítulo</i>	Solamente el cráneo	13R-9			Tumba			F?	Adulto joven

CAPÍTULO XVII

ANÁLISIS DE RESTOS DE FAUNA DE UN DEPÓSITO DE FESTÍN RITUAL DE LA ESTRUCTURA 13R-10

Diana Fridberg

Introducción

De todas las excavaciones en La Corona, las de la Estructura 13R-10 (Operación CR16) han brindado la mayor cantidad de restos de fauna. Esto se debe en gran parte al descubrimiento de un basurero en la Unidad CR16B-1A-5. Los materiales zooarqueológicos de este depósito fueron analizados entre 2010 y 2012.

Contexto

La Operación CR16 fue excavada por Carlos Enrique Fernández durante la Temporada 2010. Esta operación consistió de excavaciones en la Estructura 13R-10 ubicada en el Grupo 13R-II, al oeste del Grupo Coronitas en el núcleo del sitio. Los objetivos de la investigación fueron entender mejor la función del Grupo 13R-II y definir las fases arquitectónicas de la estructura (Fernández 2011).

En la Unidad CR16B-1A-5 se encontró un basurero en un *chultún* en el Patio Norte ubicado en la parte posterior de la Estructura 13R-10. El *chultún* fue descubierto 1.45 m bajo la superficie y poseía 2.53 m de profundidad. Fue excavado en 12 lotes arbitrarios de 20 cm (lotes 5-1 a 5-12). Además de los numerosos restos de fauna, también se encontraron figurillas, ocarinas, obsidiana, pedernal y 6,614 fragmentos de cerámica (Fernández 2011).

Métodos

Los restos zooarqueológicos fueron procesados utilizando procedimientos estándares (Reitz y Wing 2008). Los especímenes fueron limpiados con cepillado en seco para remover la matriz de la superficie. Después se identificaron los elementos esqueléticos y taxón y se evaluaron para buscar señales de modificaciones culturales y naturales (quemado, marcas de corte, erosión, mordisqueos de roedores, etc.). Todos los especímenes fueron pesados y medidos para obtener dimensiones máximas. Se trataron de unir fragmentos de diferentes lotes y en general resultó exitoso.

Los taxones fueron identificados durante la temporada de laboratorio de 2011 usando fotografías y dibujos de referencias publicadas y no publicadas (Gilbert 1990, 1996; Olsen 1964, 1968, 1982). Los materiales seleccionados fueron exportados para análisis en el laboratorio zooarqueológico de la Universidad de Washington en St. Louis para confirmar identificación taxonómica, comparar con otros esqueletos y consultar con zooarqueólogos y paleopatólogos. Estos materiales están incluidos en la evaluación total. El número mínimo de elementos (NME) y número mínimo de individuos (NMI) fueron calculados para la unidad como un todo en lugar de lotes individuales.

Resultados

Se recuperaron un total de 1,169 especímenes de restos de fauna (NEPI [número de especímenes identificables] = 1,169).

Moluscos

Mollusca son los únicos invertebrados preservados en la colección de fauna. Se recuperó un total de 31 conchas de moluscos y fragmentos de concha (2.65% del total de la muestra de fauna). Tanto Gastropoda (caracoles) y Bivalvia (moluscos con bisagra) están presentes, y hay taxones marinos y de agua dulce representados. La identificación de moluscos fue realizada con la asistencia de las malacólogas Gabriella Palomo (USAC) y Lucía Prado (UVG). Los resultados son los siguientes:

Tabla 17.1 Distribución de Mollusca por lote

Lote	NEPI	% NEPI, Mollusca
5-7	6	19.35%
5-8	7	22.58%
5-9	1	3.23%
5-10	3	9.68%
5-11	7	22.58%
5-12	7	22.58%
Gran Total	31	100.00%

Tabla 17.2 Representación taxonómica de Mollusca

Taxón	NEPI	% NEPI, Mollusca
<u>Gastrópoda</u>		
Gastrópoda, no identificado	5	16.13%
Neogastrópoda, cf. Olividae	1	3.23%
Olividae	2	6.45%
Gastrópoda cf. <i>Pomacea flagellate</i>	2	6.45%
<i>Pomacea flagellate</i>	2	6.45%
Total Gastropoda:	12	38.71%
<u>Bivalvia</u>		
Bivalvia, no identificado	3	9.68%
Unionidae	4	12.90%
Total Bivalvia:	7	22.58%
<u>Mollusca, no identificado</u>	12	38.71%
Gran Total Mollusca:	31	100.00%

Neogastrópoda, incluyendo Olividae (caracoles de olivo) son taxones marinos, mientras que *Pomacea flagellate* (caracoles de manzana) y Unionidae (mejillones de agua dulce) son taxones de agua dulce que se encuentran en los alrededores de La Corona. Estas conchas no estaban modificadas, a excepción de una concha de olivo que se encontró pulida, perforada y cortada (Cat. #00043).

La presencia de conchas marinas exóticas como la concha de olivo perforada sugiere el uso de moluscos como bienes de prestigio o de no subsistencia. Los caracoles disponibles localmente, incluyendo *Pomacea flagellata* y almejas de río como Unionidae son taxones conocidos para uso alimenticio (Hammond and Miksicek 1981) y pueden representar el consumo de moluscos.

Vertebrados

La colección de vertebrados del *chultún* está muy bien preservada y posee gran diversidad de taxones. Se recuperaron 1,138 huesos de especímenes de vertebrados (97.35% del total de la muestra de fauna). La excelente preservación está representada en los altos porcentajes de restos máximos identificados.

Tabla 17.3 Identificabilidad de restos de vertebrados en el *chultún*

Identificabilidad	NEPI	% NEPI, Vertebrados
No identificable/posiblemente identificable	233	20.47%
Mínimo ID	211	18.54%
Máximo ID	694	60.98%
Gran Total	1138	100.00%

En la Tabla 17.3 los máximos identificables se definen como los especímenes en los que se pudo identificar la parte del cuerpo a la que pertenecían. Los mínimos identificables consisten de fragmentos de huesos largos y costillas. Los no identificables/posiblemente identificables incluyen los especímenes donde no se estableció ningún elemento de manera definitiva.

El alto grado de conservación se refleja de manera similar en la preservación de restos pequeños y delicados de clases de vertebrados que se pierden con frecuencia en la excavación. Los peces (Actinopterygii), anfibios, (Amphibia), reptiles (Reptilia), aves (Aves) y mamíferos (Mammalia) está representados.

Tabla 17.4 Representación de clases de vertebrados

Clase	NEPI	% NEPI, Vertebrados
Actinopterygii	154	13.53%
Amphibia	17	1.49%
Reptilia	29	2.55%
Aves	5	0.44%
Mammalia	753	66.17%
No identificados	180	15.82%
Gran Total	1138	100.00%

Peces

Se identificaron un total de 154 huesos de peces (13.17% de la muestra total de fauna). Todos los restos de peces pertenecen a Actinopterygii, el orden de peces de aleta radiada. Debido a su naturaleza frágil y a la ausencia de una muestra comparativa grande, pocos restos fueron identificables después de este nivel. El análisis taxonómico adicional está pendiente. Sin embargo, se sabe que Perciformes y Cichlidae están presentes.

A pesar de la falta de especificidad en la identificación taxonómica, la preservación fue muy buena, con la mayoría de especímenes identificables a elemento.

Tabla 17.5 Representación de Actinopterygii

Elemento	NEPI	%NEPI, Actinopterygii
Neurocráneo	8	5.19%
Articular	2	1.30%
Basioccipital	2	1.30%
Ceratohial	2	1.30%
Cleitrum	2	1.30%
Mandíbula	4	2.60%
Epihyal	1	0.65%
Hiomandibular	1	0.65%
Maxilar	4	2.60%
Espina Pectoral	11	7.14%
Faringeal	3	1.95%
Premaxilar	8	5.19%
Preopérculo	2	1.30%
Ptergioforo	1	0.65%
Hueso cuadrado	2	1.30%
Vómer	1	0.65%
Vértebras	41	26.62%
Costillas	2	1.30%
No identificado	57	37.01%
Gran Total	154	100.00%

Tabla 17.6 Taxones identificados en Actinopterygii

Elemento	NEPI
<i>Perciformes</i>	
Cleitrum	1
Mandíbula	1
Premaxilar	8
<i>Cichlidae</i>	
Ceratohial	2
Epihyal	1
Maxilar	4

Anfibios

Se recuperó una pequeña cantidad de restos fragmentados de anfibios (NEPI=17, 1.45% de la muestra total de fauna). Todos los elementos son consistentes con el orden Anura (ranas y sapos).

Tabla 17.7 Representación de Anfibios

Elemento	NEPI	% Clase NEPI
Húmero	4	23.53%
Radio-ulna	3	17.65%
Pelvis	2	11.76%
Tibiofibular	3	17.65%
Vértebras	3	17.65%
No identificado	2	11.76%
Gran Total	17	100.00%

Reptiles

Se recuperó una cantidad un poco mayor de reptiles (NEPI=29), (2.48% de la muestra total de fauna). Todos los restos fueron identificados como tortugas (Testudines). Hay 28 especímenes de caparazón/plastrón y un fémur.

Aves

Se recuperaron muy pocos restos de aves (NEPI=5, 0.43% de la muestra total de fauna). Los elementos recuperados fueron de aves grandes (cf. Galliformes).

Tabla 17.8 Representación de Aves

Elemento	NEPI	%Clase NEPI
Húmero	1	20.00%
Fémur	1	20.00%
Tibiotarso	1	20.00%
Hueso Largo	1	20.00%
No identificado	1	20.00%
Gran Total	1	100.00%

Mamíferos

Los mamíferos forman la mayor parte de restos de fauna identificables a nivel de clase.

Tabla 17.9 Representación de Mammalia

Taxón	NEPI
Didelphimorphia, no especificado	26
Didelphimorphia, cf. <i>Philander opossum</i>	1
<i>Philander opossum</i>	3
Carnivora, no especificado	1
Canidae	58
Artiodactyla, no especificado	4
Cervidae	1
<i>Odocoileus virginianus</i>	30
Mammalia, total no especificado	629
Mammalia, Gran Total:	753

Muchos de los huesos identificados exclusivamente en clase Mammalia son de la categoría de tamaño “mediano”. El sistema para asignar los tamaños de clases de Mammalia en La Corona se encuentra actualmente en revisión. Por esta razón y debido a la ambigüedad en restos fragmentarios, hay cierto traslape en la designación de tamaño. Para propósitos de este informe, “pequeño” hace referencia a animales como roedores pequeños (ratones, ratas, ardillas), “mediano” a animales que incluyen Didelphimorphia (zarigüeya) y la mayoría de Carnivora (i.e. mapaches, perros) y “grandes” a Artiodactyla (pecaríes, venados), félidos grandes (jaguares, pumas) y humanos.

Tabla 17.10 Tamaños de clases de Mammalia no identificada

Tamaños de Clases	NEPI
Pequeño/Mediano	64
Mediano	263
Mediano/Grande	18
Grande	24
Mammalia, tamaños de clases no identificado	261
Mammalia no identificada, Gran Total:	629

Los mamíferos identificados a un nivel más específico se discuten a continuación.

Didelphimorphia

Las zarigüeyas (Orden Didelphimorphia) están representadas por un mínimo de dos individuos (NMI=2) basado en la duplicación de la mandíbula (2D/2I) y fémur (1I/2D). Sin embargo, varios de los restos de mamíferos medianos no identificados son consistentes en tamaño a los de Didelphimorphia, por lo que puede haber más individuos presentes. No hay evidencia de corte o quemado en ninguno de los restos identificados conclusivamente como Didelphimorphia. Aunque se requiere más estudio, los restos de zarigüeya son más consistentes con *Philander opossum*.

Tabla 17.11 Representación de parte corporal: Didelphimorphia

Elemento	NEPI	%
		Familia NEPI
Cráneo	2	6.67%
Maxilar	3	10.00%
Mandíbula	4	13.33%
Diente-molar	2	6.67%
Atlas	1	3.33%
Axis	1	3.33%
Cervical	5	16.67%
Húmero	4	13.33%
Radio	1	3.33%
Pelvis	3	10.00%
Fémur	3	10.00%
Tibia	1	3.33%
Gran Total	30	100.00%

Canidae

Un mínimo de cuatro individuos (NMI=4) cánidos están representados. El NMI fue calculado usando la mandíbula (3I/4D). Un mínimo de dos cánidos juveniles están presentes, como se evaluó por erupción dental. Aunque no fueron evidentes señales de quemado, hay marcas de corte presentes en dos fragmentos de pelvis.

Tabla 17.12 Representación de parte corporal: Canidae

Elemento	NEPI
Mandíbula	8
Maxilar	6
Diente-Incisivo	2
Diente-Premolar	2
Diente-Molar	8
<i>Total de Dientes (Aislados)</i>	<i>12</i>
Atlas	1
Axis	2
Vértebra- Cervical	4
Vértebra- Torácica	3
Vértebra- Lumbar	7
<i>Total de Vértebras</i>	<i>17</i>
Húmero	5
Radio	1
Pelvis	5
Fémur	3
Tibia	1
Gran Total	58

Cervidae

Se recuperaron 31 especímenes de venado (Cervidae). Todos, a excepción de uno, fueron identificados como venado de cola blanca (*Odocoileus virginianus*). Un mínimo de tres individuos están representados (NMI=3). El NMI fue calculado duplicando el astrágalo, radio y fémur.

Es visible poca modificación en los restos de venado de cola blanca, aunque hay cierta evidencia de consumo. Las marcas de corte, consistentes con carnicería, están presentes en dos astrágalos. Una marca de corte también es visible en la parte media de un fémur derecho. Evidencia de quemado está presente en cuatro especímenes (dos húmeros y dos radios).

Tabla 17.13 Representación de parte corporal: Cervidae

Elemento	NEPI
Cervidae	
Mandíbula	1
<i>Odocoileus virginianus</i>	
Maxilar	1
Mandíbula	4
Diente- Molar	2
Húmero	3
Radio	4
Metacarpo	1
Pelvis	2
Fémur	4
Tibia	1
Astrágalo	4
Calcáneo	2
Metapodio	1
Falange (1ero)	1
Gran Total	31

Discusión

La tafonomía de la colección zooarqueológica en CR16B-1A-5 argumenta fuertemente un solo evento rápido de deposición de material. Los restos de animales están muy bien preservados y no demuestran señales obvias de erosión de superficie y poseen evidencia mínima de mordisqueo de roedores (NEPI=2, 0.18% NEPI vertebrados). No hay evidencia de marcas de dientes de carnívoros que sugieran que perros hayan hurgado los restos. Un número pequeño y delicado de elementos, como los huesos de peces y mamíferos juveniles permanecen intactos, sugiriendo poco disturbio natural o cultural después de la deposición. La hipótesis de un solo evento está sustentada por los datos cerámicos que muestran un gran número de fragmentos en diferentes lotes que se pudieron volver a unir (Caroline Parris comunicación personal 2012). Basado en el análisis de fauna y cerámica, Fridberg y Parris argumentan que el *chultún* es un depósito producto de un festín (Fridberg y Cagnato 2012).

Los taxones representados incluyen fauna disponible localmente y exótica. Evidencia de consumo como carnicería y quemado son poco frecuentes, pero están presentes, ya que los venados, perros y zarigüeyas son taxones bien definidos como alimentos en el mundo maya (i.e., Masson 1999; Teeter 2004). Aunque no se considera típicamente un alimento de alto status, los restos de zarigüeya están documentados para áreas de alto y bajo status en Ceibal (Pohl 1985). Los moluscos marinos más bien representan ofrendas en vez de taxones consumidos en este evento, dado que los objetos de concha tienen un uso bien documentado en actividades ceremoniales (Moholy-Nagy 1985). La combinación de restos de alimentos, concha exótica y vasijas de servicio, junto con la escala de tiempo implicada por el estado de los restos de fauna, apoyan la hipótesis que el depósito de CR16B-1A-5 representa un festín ceremonial.

CAPÍTULO XVIII

RESULTADOS DE ANÁLISIS PALEOETNOBOTÁNICOS: TEMPORADAS 2009 A 2011

Clarissa Cagnato

Introducción

Desde la Temporada 2009 se han realizado estudios paleoetnobotánicos en La Corona. Este es el primer estudio de este tipo realizado en el sitio y uno de los pocos de la región. Este informe presenta los datos recolectados durante las Temporadas 2010 y 2011. Aunque el interés personal es reconstruir la dieta antigua, se han procesado muestras de otros contextos de interés, como entierros y pisos, para obtener una perspectiva más amplia del uso de plantas.

Los registros etnográficos y etnohistóricos sugieren que la cocina maya era elaborada y diversa (Coe 1994). Sin embargo, las dietas mayas permanecen poco entendidas. El enfoque de investigaciones paleoetnobotánicas previas ha sido en regiones fuera de Petén (Goldstein y Hageman 2010; Morehart *et al.* 2005). A pesar que popularmente se han reconocido fragmentos aislados de información, como la importancia del maíz en la dieta (Staller y Carrasco 2010), hay mucho acerca de variación regional y temporal que no se conoce. Aunque se han hecho investigaciones importantes (e.g. Cliff y Crane 1989; Lentz 1991; Miksicek *et al.* 1991; Sheets *et al.* 2009), los análisis especializados de paleoetnobotánica todavía son raros en los estudios mayas (Goldstein y Hageman 2010). El fuerte enfoque que ciertas áreas han recibido en los estudios anteriores, como los contextos de alto status y espacios rituales, refleja que no hay una buena comprensión del uso de plantas por parte de la mayoría de las poblaciones antiguas.

La presente investigación trata de suplir esta falta de información relacionada al uso general de las plantas en el área, y a largo plazo se pretende identificar y explicar patrones, no solo en escala temporal, sino también demográficamente. A través de la recolección de muestras grandes de una gama de contextos, se espera refinar nuestra comprensión y explicación de los cambios a través del tiempo y espacio. Como ha sintetizado acertadamente Morehart (2011), la utilidad de la paleoetnobotánica es inclusiva y puede ayudar a comprender no solo prácticas de subsistencia, sino también el uso de recursos, condiciones ambientales pasadas, prácticas rituales, relaciones entre géneros y diferencias en status.

La información del uso de plantas en La Corona está siendo recopilada por medio del análisis de restos microbotánicos. El análisis de restos de polen está siendo realizado por Cristina Guirola y el de granos de almidón por la autora, por lo que los resultados de este último se presentan en este informe. Los restos macrobotánicos han sido recolectados utilizando dispositivos de flotación manuales y mecánicos y los resultados también son presentados en este capítulo. En general, los resultados de la investigación micro y macrobotánica en el sitio indican que los habitantes de La Corona utilizaron una amplia gama de plantas domésticas y silvestres. Los procedimientos de excavación y análisis ya se han presentado (Cagnato 2011) y algunos de los fragmentos livianos fueron exportados a la Universidad de Washington en St. Louis para análisis posterior. Estas muestras fueron regresadas a la Ciudad de Guatemala en abril de 2012. Muestras adicionales fueron exportadas esta temporada (2012) y serán regresadas en julio de 2013. Las muestras de tierra han sido recolectadas de excavaciones generales y de investigaciones específicas (Cagnato 2011, 2012; Capítulos XIII y XIV de este informe).

Los resultados presentados en este informe toman en cuenta todas las muestras de las excavaciones realizadas hasta el momento, a excepción de las muestras obtenidas de la Temporada 2012, ya que éstas aún deben ser analizadas. Los resultados de las muestras de 2012 serán presentadas el próximo año. Además, en esta temporada se recolectaron muestras de almidón de una variedad de artefactos, los cuales proveerán una gama de información más amplia del uso de plantas y los resultados serán presentados cuando se termine el análisis.

Además de discutir los resultados obtenidos hasta el momento, también se presenta una actualización de las identificaciones preliminares realizadas a las muestras recolectadas en la Temporada 2010 y presentadas en el Informe 2011 (ver Cagnato 2011). Los contextos analizados y presentados anteriormente han sido reanalizados, por lo que nuevamente se presentan los datos en este informe, ya que el informe anterior fue preliminar de algunas muestras y fue hecho también como un estudio piloto para determinar si los restos de plantas podían ser recuperados. A medida que se han recolectado más muestras y con la ayuda invaluable del Dr. David Lentz (Universidad de Cincinnati, Ohio), las identificaciones se han refinado.

Con la excepción de las muestras que se exportaron a la Universidad de Washington en St. Louis, todas las muestras flotadas se encuentran almacenadas en el laboratorio del proyecto. Los resultados y conclusiones continúan siendo preliminares, en el sentido que mientras se recolecten y analicen más datos, las conclusiones pueden cambiar. Los resultados hasta el momento proveen una línea base para entender el posible uso/dieta de los antiguos habitantes de La Corona durante el período Clásico. Por cuestiones de brevedad, se ha escogido discutir ciertos restos de plantas en detalle. Sin embargo, los datos detallados pueden ser consultados en las Tablas 18.2 y 18.3.

Correcciones a identificaciones presentadas en el Informe de la Temporada 2010

- Las semillas etiquetadas como “tipo-maní” han sido descartadas como material botánico y ya no están incluidas en el conteo de semillas.
- Las semillas que fueron identificadas previamente como pertenecientes al género *Malva* o *Abutilon* de la familia Malvaceae son en realidad semillas de *Crotalaria* sp. (i.e chipilín) de la familia Fabaceae.
- Las vainas de flores identificadas en algunos de los entierros y otros contextos no están completamente quemadas y por lo tanto necesitan ser consideradas cuidadosamente, ya que éstas pudieron haber caído de la superficie durante las excavaciones.

Métodos

Como se mencionó anteriormente, la metodología para procedimientos de campo y laboratorio ya se ha descrito (Cagnato 2011) y por lo tanto no se volverá a repetir aquí. Sin embargo, hay algunos puntos que se deben especificar antes de presentar los resultados:

- 1) Aunque se recuperó carbón de madera en grandes cantidades, ninguno fue identificado. La identificación de este tipo de restos es extremadamente útil y puede proveer líneas adicionales de datos. Sin embargo, eso está más allá del alcance de esta investigación.
- 2) Solamente se cuentan y consideran restos de plantas carbonizadas, ya que la probabilidad para la preservación de restos de plantas no carbonizadas en esta región es muy baja, considerando los ciclos de estaciones húmedas y secas.

- 3) No todos los restos en las muestras de suelo pudieron ser identificados y algunos permanecen desconocidos, ya que no está claro si son restos de plantas o no. Otros restos fueron colocados en la categoría de almidones, pero no pudieron ser identificados debido a la mala conservación de rasgos característicos. Sin embargo, es evidente que son restos de plantas que contienen altas cantidades de almidón.
- 4) La familia Astaraceae fue representada por al menos cuatro tipos de semillas y debido a que esta familia es la más grande del reino vegetal, con frecuencia es difícil identificar estas semillas. El primer tipo (Tipo A) es una semilla de cinco lados, de aproximadamente 1.6 mm de largo x 0.4 mm de ancho. El segundo tipo (Tipo B) es una semilla grande de dos lados, de aproximadamente 2.5 mm de largo x 1.2 mm de ancho. El tercer tipo (Tipo C) es similar al Tipo B, solo que más pequeño y no está claro si pertenece a una especie diferente o simplemente es variabilidad en el tamaño de la semilla. El cuarto (Tipo D) es una semilla de tres lados, de aproximadamente 1.2 mm de largo x 0.55 mm de ancho. Identificación adicional de estas semillas se encuentra actualmente en proceso.
- 5) Los restos de plantas de palma se separaron en fragmentos de endocarpio (cáscara dura interior), o semillas (nuez o endospermo). Ocasionalmente, fue posible identificar la palma en género y/o especie. Los endocarpios son las partes duraderas encontradas en los sitios arqueológicos (McKillop 1996) y a menudo estas son las partes de palma que se recuperan con más frecuencia en contextos arqueológicos. En ocasiones también se han recuperado nueces de palma (o el endospermo de la semilla).
- 6) Finalmente, todas las semillas carbonizadas identificadas y no identificadas están contadas. Sin embargo, los fragmentos de semillas no identificadas no están considerados en el total de semillas. Adicionalmente, semillas o partes de frutas que típicamente se encuentran fragmentadas, específicamente *Acrocomia* sp., o *Pouteria* sp., se les da un número estimado de semillas (NES).

Resultados

La Tabla 18.1 presenta un resumen general de datos selectos recolectados durante 2010 y 2011 (ver Tablas 18.2 y 18.3 para datos detallados). Para propósitos prácticos, se presentan los resultados de cada contexto por separado. Las conclusiones generales se presentan más adelante.

Tabla 18.1 Resumen de resultados paleoetnobotánicos selectos de La Corona

Volumen total de tierra flotada*	301.5 L
Número total de muestras analizadas	40
Peso total de madera carbonizada	22.5 g
Peso total de maíz	1.66 g
Número total de semillas	112
Número total de granos de maíz (enteros)	3
Número total de granos de maíz (fragmentos)	176
Número total de cúpulas de maíz (enteros)	5
Número total de cúpulas de maíz (fragmentos)	43
Número total de embriones de maíz	5
Número de semillas mayores a 2mm	16
Número total de semillas no identificadas	19
Total de fragmentos de semillas no identificados	32
Peso total de restos de almidón	0.44 g
Peso total de restos de palma**	0.10 g
Número total de no identificados >2 mm	18

*El volumen total toma en cuenta solamente las muestras presentadas en este informe. Más muestras han sido recolectadas y flotadas, sin embargo, estas muestras no tenían restos de plantas.

**Incluye peso de restos de palma identificados (e.g. *Acrocomia sp.*) y no identificados.

Estructura 13R-10

Esta estructura, excavada por Jocelyne Ponce, está ubicada en el núcleo del sitio de La Corona (Grupo Coronitas). En el Cuarto 2 se encontraron fragmentos de manos y metates y grandes cantidades de granos de maíz carbonizados (51 fragmentos) junto con tres fragmentos de cúpulas. También se encontró material perteneciente a mazorcas y un embrión de maíz. El alto número de la relación de granos a cúpulas sugiere que esta ubicación en particular pudo haber sido usada para almacenar granos de maíz que ya habían sido removidas de la mazorca. Otros restos de plantas de esta ubicación en particular incluyen fragmentos de zapote (*Pouteria sp.*), al igual que fragmentos de endocarpios de palma, frutas no identificadas y otros fragmentos de

semillas. Estos restos se adaptan bien a la interpretación de la excavadora, que sugiere que esta área fue usada para preparar y almacenar alimentos, como es el caso de las grandes cantidades de maíz.

En el Cuarto 3, localizado al sur, las evidencias de restos de palma incluyen la presencia de dos fragmentos de frutos, al igual que 12 fragmentos de endocarpio. Es interesante notar que no se recuperó evidencia macrobotánica de maíz. Adicionalmente, una semilla no identificada también se recuperó de esta área, junto con varios fragmentos no identificados de restos de plantas, sugiriendo que una diversidad mayor de plantas fue procesada o estuvo presente en esta área. Los restos no identificados incluyen posibles cáscaras de futa, un fragmento de espina, posible material de mazorca y una fruta no identificada. Este cuarto también pudo haber sido usado para preparación de alimentos (Ponce y Nájera 2012).

Se lavaron y procesaron fragmentos de piedras de moler obtenidos de excavaciones en esta estructura para identificar granos de almidón que indicaban la molienda de plantas específicas. De manera preliminar, estos resultados indican que uno de los fragmentos de metate de esta excavación muestra la presencia de almidón de maíz, junto con granos de Euphorbiaceae, la familia de la yuca. La recuperación de tubérculos en el registro arqueológico es complicada por el procesamiento de dichos restos de plantas, y por lo tanto estos resultados preliminares son prometedores para identificar una gama más amplia de plantas y entender el uso de herramientas. Este año, muestras adicionales de granos de almidón fueron recolectadas de varios contextos y también de diferentes tipos de artefactos. Las investigaciones actuales proveerán más información de las diversas plantas usadas.

Chultún en el Núcleo Principal

El análisis macrobotánico reveló que el *chultún* asociado con la Estructura 13R-10, excavado por Enrique Fernández (Fernández 2011) contenía especies raramente recuperadas o reportadas en la región maya. Este *chultún* ha sido asociado con la deposición de un solo evento, probablemente uno con base ritual, basado en los restos de fauna analizados (Fridberg, en este informe). Se recuperó maíz en la forma de granos enteros y fragmentados (dos enteros y 62 fragmentos), cúpulas (cuatro enteras y 31 fragmentos), al igual que cuatro embriones y una gluma. Además, también había material de mazorca, por lo que es claro que el maíz fue consumido durante este evento en particular. Uno de los granos encontrados en este contexto es

parecido al maíz perteneciente al complejo Chapalote-Nal Tel (Figura 18.1), mientras que los otros granos fueron muy diferentes (D. Lentz comunicación personal 2012). Como es discutido por Morehart (2011), el maíz Chapalote-Nal Tel madura temprano, y es el tipo de maíz más común encontrado en los sitios fechados tanto para el período Clásico Temprano como para el Clásico Tardío.



Figura 18.1 Grano de maíz Chapalote-Nal Tel (Foto: C. Cagnato)

Además de maíz, la presencia de las siguientes plantas hace este contexto especialmente interesante. Cuatro especies pertenecientes a la familia Solanaceae (i.e. familia del tomate) fueron recuperadas, incluyendo siete posibles semillas de chile pimiento (*Capsicum* sp.), que medían 10 x 9 mm. Las otras semillas de la familia Solanaceae medían entre 8 y 11 mm de largo y 7 a 8 mm de ancho, aunque aún no han sido identificadas. Once semillas de amaranto (*Amaranthus* sp.) (Figura 18.2) y quenapodas (*Chenopodium* sp.) fueron recuperadas; estos dos géneros producen hojas verdes comestibles y proveen granos ricos en proteínas. Sin embargo, se necesita más investigación para determinar si estas semillas pertenecieron a plantas domesticadas. Se midieron semillas individuales que miden entre 3 a 8 mm de largo y 3 a 6 mm de ancho. El largo medio es de 5.1 mm y el ancho medio es de 4.6 mm.

La familia Fabaceae estuvo representada por al menos dos especies que incluyen cuatro semillas de chipilín (*Crotalaria* sp.) (Figura 18.3), un fragmento de un posible cotiledón de *Desmodium* sp., al igual que otros fragmentos no identificados de semillas de legumbres. La presencia de semillas de amaranto, quenapodas, chipilín y tres verdolagas (*Portulaca* sp.) sugiere que plantas/hierbas verdes comestibles pudieron haber sido consumidas, sumando otra dimensión a la dieta de los antiguos mayas. También se encontró una vaina de flor carbonizada.



Figura 18.2 Semillas de amaranto encontradas dentro del *chultún* asociado con la Estructura 13R-10 (Foto: C. Cagnato)

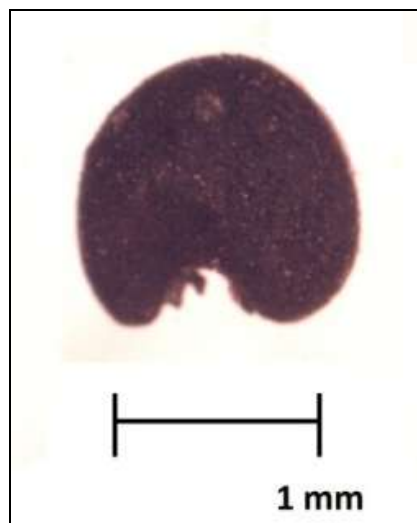


Figura 18.3 Semilla de *Crotalaria* sp. (Foto: C. Cagnato)

Otros restos de plantas interesantes fueron identificados en el *chultún* y aunque su uso inmediato no está claro debido a que no son considerados plantas comestibles, indican que aún hay mucho que aprender acerca de la dieta antigua. Estas plantas incluyen una semilla de roble (*Ehretia* sp.), cuyos frutos no se consideran apetecibles pero son comestibles (Lentz y Dickau 2005). Otras especies incluyen una semilla de balsa que tiende a ser usado por su madera y dos semillas de cardo o cardosanto (*Argemone mexicana* sp.), una planta conocida por sus propiedades medicinales, incluyendo el tratamiento de la malaria (Willcox *et al.* 2007).

Chultún asociado con el Grupo El Caballito

Los restos de un *chultún* localizado en asociación con el Grupo Caballito (Grupo 14S-I) y fechado para el período Clásico Tardío (C. Parris com. pers. 2012), contenían maíz en la forma de granos (31 fragmentos y uno entero) y un fragmento de cúpula. Entre los restos de plantas, se recuperaron los fragmentos de endocarpios de palma de *Acrocomia* sp. (coyol), probablemente pertenecientes a un fruto. De acuerdo a registros etnográficos, los mayas contemporáneos consumen granos frescos, hacen una bebida de *Acrocomia mexicana* y también obtienen aceite de esta misma planta (Lentz 1991). Grandes cantidades de endocarpios de palma de coyol fueron encontrados en Copán y posiblemente fueron introducidos al Valle de Copán por los mayas (Lentz 1991).

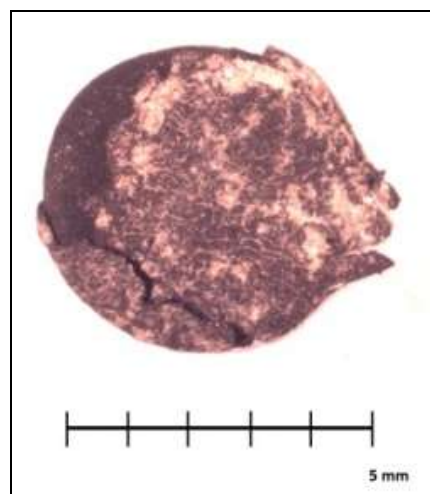


Figura 18.4 Semilla de Fabaceae (Foto: C. Cagnato)

Una semilla de Fabaceae (Figura 18.4), probablemente perteneciente a la sub-familia Caesalpinioideae también fue recuperada. Adicionalmente, se encontró una semilla de la familia Solanaceae, posiblemente de un tomatillo (cf. *Physalis* sp.). Finalmente, también se recuperaron fragmentos de frutas y semillas que aún no han sido identificados.

Entierros

El Entierro 3, encontrado en la Estructura 13Q-3 (Desailly-Chanson 2011) contenía restos preservados de plantas y animales. Los análisis macrobotánicos indican la presencia de maíz en la forma de tres fragmentos de granos, seis cúpulas y fragmentos de mazorca, al igual que una semilla de *Chamaedorea* cf. *graminifolia*, una especie de palma que produce frutos comestibles. También se recuperaron semillas y fragmentos de semillas no identificadas, sugiriendo que el individuo fue enterrado con frutos de palmas, pero también con otras plantas. Las muestras de tierra recolectadas que se encontraban en uno de los platos colocados como ofrenda tenían evidencia de semillas de grama, granos y cúpulas de maíz, al igual que fragmentos de endocarpios de palma. De la misma manera como reportó Morehart (2011) de las muestras de Actun Nak Beh, un sitio en una cueva en Belice, los endocarpios de palma estaban asociados con un entierro. Además, también es interesante que las palmas (en particular las ramas) son usadas hoy en día en escenarios religiosos (Atran *et al.* 2004).

El Entierro 6 fue excavado por Joanne Baron durante la Temporada 2011. Este entierro del período Clásico Temprano fue encontrado sobre la roca madre debajo de la Estructura 13R-2 en el Grupo Coronitas (Baron 2011). El Entierro 6 tenía evidencia de algunos restos de plantas que incluyen una posible cáscara de fruta, cuatro fragmentos de cotiledón de la familia Fabaceae y fragmentos de semillas no identificados. Se encontró un fragmento de grano de maíz, junto con material de mazorca con dos embriones aún adheridos, sugiriendo que se colocaron mazorcas de maíz enteras con el individuo enterrado. Esto no es poco común, ya que ha sido reportado por Morehart y Butler (2010).

Basureros

De depósitos de basureros, que son fechados para distintos períodos de tiempo, hay información adicional relacionada a posibles cambios y preferencias en dieta y uso de plantas. Un basurero de mediados del siglo sexto, excavado por Joanne Baron en el Grupo Coronitas

(Baron 2012) indica la presencia de plantas comestibles como maíz (tres fragmentos de granos y una cúpula entera), una semilla de chipilín (*Crotalaria* sp.) y una semilla de llantén (*Plantago* sp.) (Figura 18.5). También se encontraron doce semillas de Asteraceae Tipo B y una semilla de la familia Poaceae, posiblemente una semilla tipo *Setaria*.



Figura 18.5 Semilla de *Plantago* sp. (Foto: C. Cagnato)

Un basurero asociado con un grupo residencial (12R-3), localizado al noreste del núcleo principal e investigado por Clarissa Cagnato (Cagnato 2012), tenía evidencia de maíz (siete fragmentos de granos) y de frutos incluyendo fragmentos de semilla de jocote (*Spondias* sp.) y zapote (*Pouteria* sp.), junto con una yema floral, posibles fragmentos de endocarpio de palma, una posible cáscara de fruta y una semilla no identificada. El registro cerámico abarca el período Preclásico y Clásico (C. Parris com. pers. 2012), haciendo interesante este contexto en particular para entender cambios en usos de plantas a través del tiempo.

Discusión

Para entender los restos de plantas también es importante entender el ambiente natural en el que pudieron haber habitado los antiguos mayas. El Petén es hogar a bosques tropicales extremadamente diversos y la región ecológica moderna del Petén Central consiste de bosque deciduo tropical mezclado con sabana (Mutchnick y McCarthy 1997). El bosque consiste

principalmente de “bosque alto” y “bosque bajo” de tierras altas, y también de sabanas bajas que se desarrollan en los períodos secos (Atran *et al.* 2004). Los bosques altos sostienen árboles como el ramón (*Brosimum alicastrum*), caoba (*Swietenia macrophylla*), cedro (*Cedrela mexicana*), palma de corozo (*Orbygnia cohune*), zapotes (*Pouteria* sp.) y chicozapote (*Manilkara achras*). Los bosques bajos sostienen plantas como el jocote (*Spondias* sp.) (MacVean 2003). Otras palmas comunes incluyen escobo (*Chriysophilia stauracantha*), guano (*Sabal morrisiana*) y xate (*Chamaedorea* spp).

Los datos presentados en este informe indican que existió una diversidad de plantas en el pasado y que las plantas silvestres, cultivadas y domesticadas eran parte de las esferas dietéticas y rituales de los habitantes de La Corona. La presencia de maíz en la forma de granos (y fragmentos) se encuentra en mayor número que las cúpulas o los restos de mazorca, lo que sugiere que en contextos específicos se guardaba ya limpio (i.e. removido de la mazorca), así como se vio en muestras recolectadas de contextos excavados por Ponce y Nájera (2012). Sin embargo, al colocarse junto con un individuo enterrado como ofrendas, usualmente era en la forma de mazorcas. El uso de palmas, aunque en menores cantidades que el maíz, sugiere que era usado tanto en contextos domésticos, como rituales. Como se mencionó anteriormente, hay un número de palmas que probablemente estaban disponibles cerca para los habitantes de La Corona y no es de extrañarse que éstas hayan sido usadas en múltiples esferas. La presencia de frutas como el jocote y zapote destaca el uso de los recursos disponibles localmente y la inclusión de frutas en la dieta. La gran cantidad de restos de almidón encontrados en varios contextos sugiere que también estaban consumiendo plantas ricas en carbohidratos. Existe la posibilidad que estos restos de almidón sean de maíz (la semilla más común con almidón en el sitio). Sin embargo, también podrían ser los restos de otra planta y sin más identificación no es posible ni conveniente hacer conclusiones.

La presencia de quenapodas, amaranto y otras plantas herbáceas como verdolaga, apoya la idea que los mayas estaban consumiendo estas plantas, ya sea en forma de grano o sus hojas. Hageman y Goldstein (2009), siguiendo los resultados de las investigaciones arqueobotánicas en Belice, sugieren que la presencia de plantas herbáceas no encontradas alrededor de los sitios hoy en día indica el uso de bosque secundario no explotado. Aunque el número actual de semillas recolectadas en La Corona es pequeño, se puede argumentar que basado en su presencia, los mayas estaban obteniendo estas plantas a través de prácticas similares que incluyen cultivo.

La diversidad en el uso de plantas es visible en el número de semillas identificadas, por ejemplo los varios tipos de familias de semillas de Solanaceae y Fabaceae, aunque también en las semillas que aun no han sido identificadas (19 en total). Claramente, los antiguos mayas dependían de diversos recursos y estos contextos proveen una serie de datos que al ser comparados y contrastados con otras muestras recolectadas del sitio, sugiere que hay diferencias en el tipo de plantas usadas a través del tiempo y espacio. A medida que se recolecte y analicen más datos, será posible refinar y entender estas tendencias. Finalmente, es importante notar la continuidad en el uso de plantas. Por ejemplo, maíz, chile pimiento, palmas y chipilín para mencionar algunos, continúan siendo consumidos hoy en día en las dietas tradicionales.

Conclusiones

Los restos de plantas macrobotánicas y microbotánicas indican que hasta ahora es posible y vale la pena recolectar muestras que provean más información de la comprensión del uso de plantas en el sitio. Se ha recuperado una variedad de fragmentos de plantas macrobotánicas, al igual que evidencia microbotánica en la forma de granos de almidón. Los antiguos mayas de La Corona no consumían solamente maíz, sino que suplementaban su dieta con una variedad de plantas disponibles localmente en los bosques tropicales, confiaban en la cosecha de una variedad de cultivos y usaban hierbas y plantas silvestres. En particular, la presencia de restos de palma en todo el sitio confirma la idea que estas plantas pudieron haber jugado un papel más importante en el pasado (e.g McKillop 1996). Esto no es sorprendente debido a que las palmas pueden proveer una gran variedad de materiales útiles, incluyendo comida y materiales de construcción. En La Corona, los datos sugieren que las palmas eran usadas como una fuente alimenticia y en prácticas rituales como entierros.

La investigación hasta ahora sugiere que las poblaciones antiguas usaron un rango más amplio de plantas que lo que ha sido considerado hasta ahora, revelando una dieta más variada y se espera que se aclare de mejor forma la relación (¿dinámica?) entre la gente y las plantas. Estos datos se volverán más claros una vez los contextos de excavación se entiendan mejor a través de excavaciones continuas y la refinación de la cronología en las diversas estructuras y rasgos del sitio. El fechamiento directo de los restos de plantas también proveerá una comprensión más matiz del uso de plantas a través del tiempo.

En general, la mejor herramienta para desarrollar nuestra comprensión de cuáles plantas eran consumidas y usadas en el pasado es aplicar un análisis más sistemático y riguroso que incluya la recolección de restos de plantas, tanto en forma macrobotánica como microbotánica. Esto permitirá crear una línea base más fuerte para el uso antiguo general de plantas, donde análisis futuros podrán compararse y contrastarse.

Tabla 18.2. Datos detallados de muestras analizadas

Op.	Sub-op.	Unidad	Nivel	lote	Volumen	S&S/min	Cuentas	Trazos	M&L	Grano (G)	Grano (U)	Grano (E)	Cuentas (G)	Cuentas (U)	Cuentas (E)	Grano (G)	Grano (U)	Grano (E)	Cuentas (G)	Cuentas (U)	Cuentas (E)	Fragmentos Polvo	Otros Fruta	Grano 3	Semillas > 2 mm	
						HR/UF	#	Peso	Peso Total	#	#	#	#	#	#	#	#	#	#	#	#	#	#	#	#	
15	A	1	1	24 (L of 2)	10	UF	93	3.22		1	0.01		1	0.01											0	
15	B	1	1	24 (L of 2)	10	UF	57	0.62	0.02	1	0.01		1	0.01											0	
48	A	1	6	4	10	UF	4	0.04																	0	
48	B	1	5	5	10	UF	21	3.96																	0	
48	C	1	6	7	10	UF	10	0.2	0.01																0	
48	C	1	7	7	10	UF	10	0.2	0.01																0	
16	B	1	5	6	5	UF	42	0.28	0.01																0	
16	B	1	5	7	5	UF	42	0.28	0.01																0	
16	B	1	5	8	5	UF	42	0.28	0.01																0	
16	B	1	5	9	5	UF	90	1.2	0.01																0	
16	B	1	5	10 (L of 2)	5	UF	110	1.6	0.25	2	0.08	28	0.16	3	0.01									0		
16	B	1	5	11	5	UF	110	1.6	0.25	2	0.08	28	0.16	3	0.01									0		
16	B	1	5	10 (M&L lower)	1	UF	32	0.16	0.01																0	
16	B	1	5	11	5	UF	32	0.16	0.01																0	
16	B	1	5	12 (M&L)	0.5	UF	30	0.31	0.07																0	
48	D	1	4	4	10	UF	10	0.23	0.01																0	
48	D	1	5	5	10	UF	6	3.16	0.01																0	
48	D	1	6	6	10	UF	6	3.16	0.01																0	
48	D	1	7	7	10	UF	9	0.24	0.12	1	0.08	3	0.04												0	
15	A	1	9	53 (L of 4)	10	UF	19	0.1																	0	
15	A	1	9	53 (L of 4)	10	UF	4	0.01																		0
15	A	1	9	53 (L of 4)	10	UF	4	0.01																		0
15	A	1	9	53 (L of 4)	10	UF	12	0.08																	0	
15	A	1	9	53 (L of 4)	10	UF	96	0.8	0.02																0	
15	A	1	9	53 (L of 4)	10	UF	96	0.8	0.02																0	
15	A	1	9	53 (L of 4)	10	UF	2	0.01	0.01																0	
33	A	20	7	5 (near)	2	UF	30	0.24	0.02																0	
33	A	20	8	5 (near)	16	UF	8	0.08	0.02																0	
33	B	3	3	5 (near)	10	UF	5	0.01	0.01																0	
33	B	3	3	5 (near)	10	UF	5	0.01	0.01																0	
33	B	3	3	5 (Upper leg)	10	UF	3	0.01	0.01																0	
16	A	14	2	3	5	UF	2	0.01	0.01																0	
16	A	16	2	2 (L of 2)	10	UF	10	0.22	0.01																0	
16	A	16	2	2 (L of 2)	10	UF	10	0.22	0.01																0	
16	C	4	2	3	10	UF	505	0.02																	0	
16	C	6	2	2 (L of 2)	10	UF	94	0.7	0.12																0	
16	C	6	2	2 (L of 2)	10	UF	137	0.22	0.01																0	
16	C	6	2	2 (L of 2)	10	UF	137	0.22	0.01																0	
				Totales	3015		1324	26.21	1.68	3	0.16	27	0.24	1	0.01	3	0.09	1	0.01	33	0.25	2	0.03	8	0.05	
				Totales	3015		1324	26.21	1.68	3	0.16	27	0.24	1	0.01	3	0.09	1	0.01	33	0.25	2	0.03	8	0.05	

Op	Sub-op	Unidad	Nivel	Lote	Volumen	Desconocido	Otros	No Carbonizado	< 2.00mm	Grano [F]	Cupula [E]	Cupula [F]	Mazorca	Gilma	Embrón	Endocarpio Palma	Semillas < 2 mm	Amiláceo	
						#	Peso	Peso	Maz. Peso Total	#	Peso	#	Peso	#	Peso	#	Peso	#	Peso
15	A	1		24(1 of 2)	10	1	0.01	0.42	0.02	1	0.01	2	0.01				13		0.01
15	A	1		24(2 of 2)	10			0.16									2		0.01
48	B	1	6	6	10			1.58								3	0.01		0.01
48	C	1	4	4	10			3.86									0		0.01
48	C	1	5	5	10	1	0.01	6									0		0.01
48	C	1	6	6	10			0.6	0.01	5	0.01						0		0.01
48	C	1	7	7	10	1	0.01	1.2	0.01	1	0.01						0		0.01
16	B	1a	5	6	5			2.12									0		0.01
16	B	1a	5	7(2/2)	2			0.6	0.03	1	0.01	4	0.01				0		0.01
16	B	1a	5	8	2			0.03	0.01	5	0.01	1	0.01				0		0.01
16	B	1a	5	9	5			1.36	0.04	1	0.01	10	0.01	1	0.01		8		0.01
16	B	1a	5	10(1 of 2)	5			1.34	0.03	16	0.01	1	0.01				5		0.01
16	B	1a	5	10(2 of 2)	5			0.78	0.02	8	0.01	3	0.01				35		0.01
16	B	1a	5	10(Burnt layer)	1	1	0.01	0.01									1		
16	B	1a	5	11													0		
16	B	1a	5	12	5	1	0.42	2.16	0.02	4	0.01	1	0.01				0		0.01
16	B	1a	5	12(Ashy)	0.5	2	0.01	0.01	0.02		3	0.01				1		0.01	
48	D	1	4	4	10	2	0.01	6.08	0.01	1	0.01						4		0.01
48	D	1	5	5	10	1	0.14	3.64	0.02	1	0.01	1	0.01				3		0.01
48	D	1	6	6	10	1	0.01	2.26	0.01	12	0.01						5		0.01
48	D	1	7	7	10			6.6	0.01	2	0.01						1		0.01
15	A	1a		53(1 of 4)	10			1.08									1		
15	A	1a		53(2 of 4)	10			0.62									0		
15	A	1a		53(3 of 4)	10			0.58									1		
15	A	1a		53(4 of 4)	10			0.68									0		
33	A	6		38	10	1	0.01	0.42									1		
33	A	6		6	2			0.35									0		
33	A	20		5	10			0.9	0.01			1	0.01				4		0.01
33	A	20		7	2			0.56	0.01	1	0.01						0		0.01
33	A	20		7	2			0.18	0.02	1	0.01	4	0.01				3		0.01
18	B	3	3	5(head)	10			1.72									0		
18	B	3	3	5(neck)	10			4.18	0.01	1	0.01						2		0.01
18	B	3	3	5(upper leg)	10			2.96									4		0.01
18	B	3	2	4	10			6.46									0		
16	A	14	2	3	5	1	0.01	1.44									0		0.01
16	A	16	2	2(1 of 2)	10	2	0.01	2.4								2	0.01		0.01
16	A	16	2	2(2 of 2)	10	2	0.02	5								10	0.01		0.01
16	C	4	2	3	10			2.38	0.01	1	0.01						0		0.01
16	C	6	2	2(1 of 2)	10	1	0.01	1.02	0.04	7	0.01	1	0.01				1		0.01
16	C	6	2	2(2 of 2)	10			1.52	0.02	11	0.01						0		0.01
				Totales	301.5	18	0.69	75.23	0.4	79	0.18	4	0.02	34	0.12	0.05	99	0.05	0.19

Tabla 18.2 Datos detallados de muestras analizadas (continuación)

CAPÍTULO XIX

PROYECTO REGIONAL ARQUEOLÓGICO LA CORONA: RESULTADOS GENERALES Y CONCLUSIONES DE LA TEMPORADA 2012

Marcello A. Canuto y Tomás Barrientos

Aspectos generales

La Temporada de Campo 2012 de PRALC se realizó entre los meses de abril y mayo, donde participaron como parte del equipo profesional 16 arqueólogos graduados y estudiantes candidatos a doctorado y cuatro estudiantes de licenciatura en arqueología de la Universidad del Valle y la Universidad de San Carlos de Guatemala. Además se contó con la visita del epigrafista David Stuart, quien trabajó en el registro y análisis de los nuevos monumentos.

El equipo técnico lo conformaron cuatro encargados de campamento, dos choferes, una cocinera, cuatro ayudantes de cocina, un promotor de salud, un albañil, 16 excavadores y tuneleros, 16 ayudantes de excavación y tres ayudantes de mapeo.



Figura 19.1 Personal de la Temporada de Campo 2012 de PRALC (Foto: M. Asturias)

Resumen de los resultados arqueológicos

A continuación se presenta una síntesis de los principales resultados obtenidos en esta temporada, los cuales ya se detallaron por cada autor en los capítulos anteriores.

Exploración final de los edificios del Grupo Coronitas

Las excavaciones a cargo de Joanne Baron en los templos del Grupo Coronitas, fueron relativamente menores en 2012 y fueron diseñadas para confirmar y aclarar la reconstrucción cronológica de la arquitectura. Por ello se definieron seis fases: *K'inich* (314–400? d.C.), *Mam* (400–500? d.C.), *Muk* (500?–658 d.C.), *K'uh* (658–677 d.C.), *Ub* (677–750? d.C.) y *Unen* (750?–850? d.C.).



Figura 19.2 Perfil de excavación de la Estructura 13R-2, mostrando cuatro fases constructivas (Dibujo: J. Baron)

Excavación del Grupo Coronitas Norte

En esta temporada las arqueólogas Jocelyne Ponce y Antonieta Cajas excavaron las estructuras 13R-9 y 13R-10 del Grupo Coronitas Norte, o 13R-II. Divina Perla, estudiante de la USAC excavó la Estructura 13R-7, mientras que los estudiantes de la UVG Andrea Sandoval y Alejandro González excavaron el área de plaza frente a la Estructura 13R-10.

Las excavaciones en el lado oeste de la Estructura 13R-9 determinaron que contiene una rampa con ligeros desniveles de cinco cuerpos recubiertos de estuco. El pozo estratigráfico realizado al centro del edificio alcanzó una profundidad máxima de 6 m, en donde se registraron siete tipos de relleno conformados por barro, rocas, material cultural de desecho como fragmentos de metates, cerámica, obsidiana, pedernal, carbón, restos óseos y botánicos que fueron desechos de celebraciones de gran magnitud, ya que uno de los rellenos (Lotes CR 11C-4-4-10 y CR 11C-4-4-11) que la conforman está compuesto principalmente de ceniza, abundantes restos de cerámica policroma en los que también se identificaron algunos glifos con títulos de personajes de la élite. Por lo tanto se determinó que la cerámica de saqueo registrada en 2006 pertenece a este mismo contexto. Al fondo de la excavación se descubrió un recinto con funciones funerarias, excavado en la roca madre con una orientación Norte-Sur. Sin embargo se encontró totalmente vacío, con excepción de un cráneo fragmentado y un fragmento de costilla, que fueron extraídos de otro lugar.

El análisis estratigráfico y cerámico ha determinado que la Estructura 13R-9 fue construida como adosamiento a la Estructura 13R-10, durante el reinado de *K'inich ¿? Yook*. Atrás de ambas estructuras se construyó un gran patio elevado que se usó para festines y otras actividades rituales, evidenciadas por diversos hallazgos, especialmente un *chultun* reutilizado como basurero.

Las investigaciones en la Estructura 13R-10 han definido cinco fases constructivas en aproximadamente 200 años y se ha comprobado que albergó las escalinatas jeroglíficas 2 y A, y el Panel 6 (Altar de Dallas; Monumento Saqueado 6). Los gobernantes *K'inich ¿? Yook* y *Yajawte K'inich* utilizaron esta área del sitio para transmitir una imagen carismática a la población a través de la realización de rituales, y a pesar de los cambios políticos en la última etapa de ocupación del sitio, este grupo continuó siendo un área importante de actividad en La Corona.

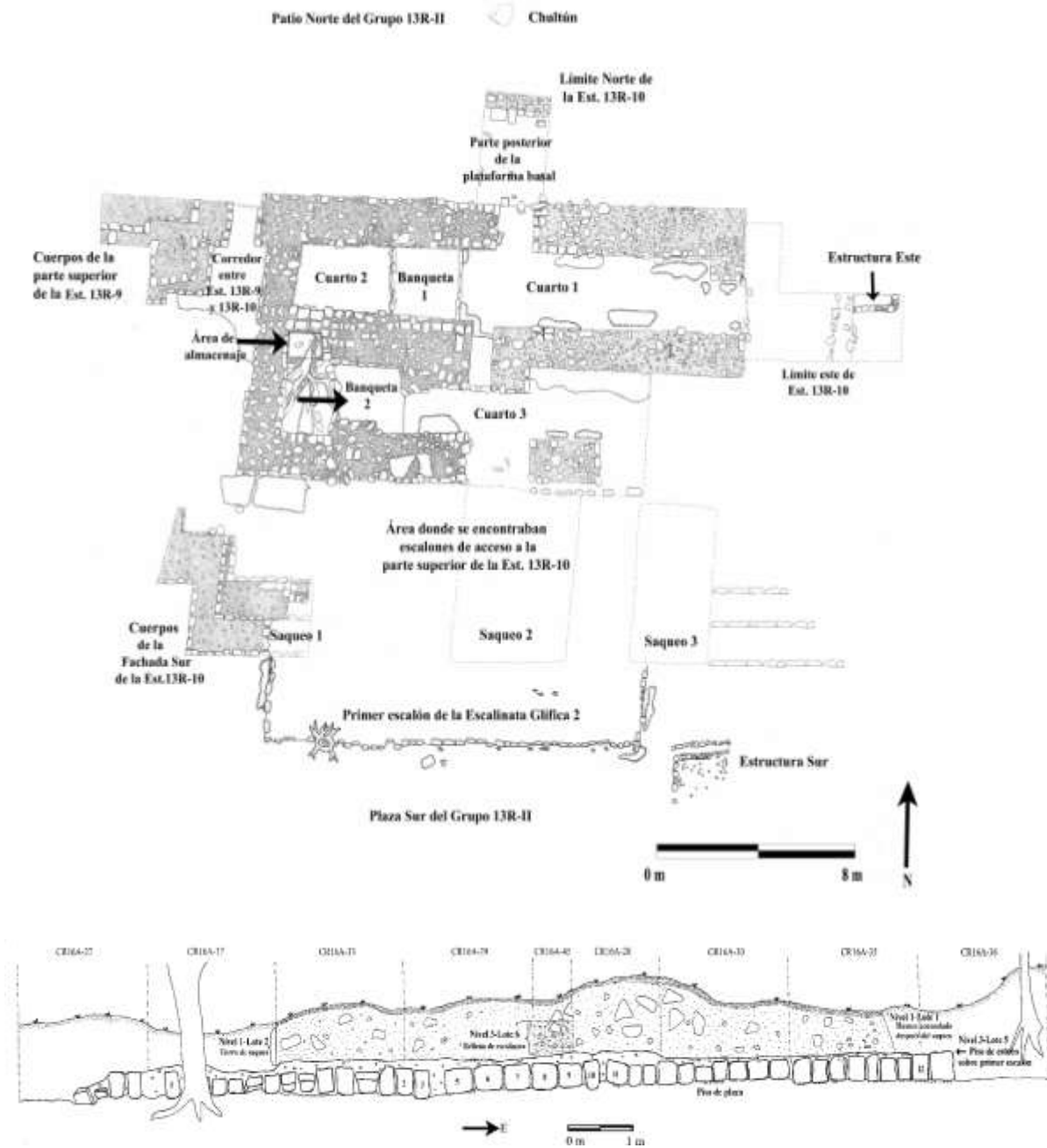


Figura 19.3 Planta y perfil norte de excavación de la Estructura 13R-10 (Dibujos: J. Ponce)

La primera versión del Grupo Coronitas Norte posiblemente fue construida por el gobernante *Chakaw Nahb Chan*, cuarto gobernante de la línea dinástica de La Corona que gobernó el sitio de 658 a 667 d.C. La construcción de las estructuras 13R-9 y 13R-10 se le atribuye al gobernante *K'inich ¿? Yook*, quien colocó una ofrenda dedicatoria sobre la plaza. Esta

primera fase ha sido identificada como una subestructura de 13R-10 pero su forma es todavía desconocida. La segunda etapa consta de una plataforma escalonada con un cuarto en la parte superior, abierta hacia la plaza en su fachada principal y conectada con 13R-9 por un acceso en el muro. Asimismo, en esta etapa se colocaron las gradas originales de acceso o Escalinata Glífica A. La tercera etapa, hecha entre 700 y 750 d.C., modificó el basamento escalonado de la Estructura 13R-10, durante el gobierno de *Yajawte' Kinich*. Se colocó el Muro Sur en la fachada principal, se bloqueó el acceso hacia la Estructura 13R-9 y se agregó la Banqueta 1, posiblemente para separar el espacio y delimitar las habitaciones. Otra modificación importante fue la colocación del Panel 6 (Monumento Saqueado 6) en la fachada principal de la estructura, posiblemente sobre el primer escalón de la escalinata. La ocupación de la cuarta fase no está muy clara, pero está representada por la presencia del *chultún* en la parte posterior de la estructura, fechado para después de 760 d.C. Es posible que la construcción de la Escalinata Jeroglífica 2 se haya realizado durante esta etapa, la cual consistió en colocar bloques provenientes de otros edificios, especialmente de la Estructura 13Q-2. Por último, la ocupación de la quinta fase está representada por la presencia de residencias sobre la plaza y adosadas al basamento de 13R-10 después de 830 d.C.

La Escalinata Jeroglífica A

Corresponde a la escalinata hipotética de acceso original de la Fachada Sur de la Estructura 13R-10. Fue saqueada en su totalidad, por lo que se recuperaron varios bloques fuera de su contexto original. En 2012 se identificaron dos tipos de bloques que eran pertenecientes a estos escalones de acceso: 1) aproximadamente 100 bloques lisos y 2) nueve bloques con cuatro columnas y tres filas de glifos (doce glifos por bloque pertenecientes al Conjunto A). La mayoría son rectangulares y miden 40 x 30 cm. Se calcula que cada escalón pudo medir de 6 a 8 m de ancho en el eje central de la estructura y albergaba unos veinte bloques cada uno, incluyendo cinco bloques con glifos, haciendo un total mínimo de 30 bloques con glifos para la Escalinata Jeroglífica A, es decir unos 360 glifos. Esto corresponde al mayor texto glífico encontrado hasta ahora en Guatemala.



Figura 19.4 Bloques lisos pertenecientes a la Escalinata Jeroglífica A (Foto: J. Ponce)



Figura 19.5 Montaje fotográfico de secuencia de seis bloques de la Escalinata Jeroglífica A (Montaje: D. Stuart)

La Escalinata Jeroglífica 2

Durante la excavación de la Estructura 13R-10 se encontraron 46 bloques de piedra *in situ* formando el primer escalón de la escalinata de acceso, el cual mide 14 m de largo (este-oeste) y no fue tocado por los saqueadores. Estos fueron denominados como Escalinata Jeroglífica 2, ya que constituyen un contexto arqueológico distinto al de la Escalinata Jeroglífica A. De estos bloques, diez contenían inscripciones, los cuales se clasificaron en cinco tipos diferentes: 1) bloques de cuatro columnas y tres filas (12 glifos; Conjunto A); 2) bloques con glifos arreglados en forma de “L” con cuatro filas y tres columnas (10 glifos; Conjunto B); 3) un bloque con siete filas y ocho columnas de glifos con un total de 56 glifos (Bloque 5 de la E.J.2); 4) bloques con personajes tallados y textos a su alrededor (Conjuntos C y D), y 5) un bloque con dos columnas de cuatro glifos cada una (8 glifos; Conjunto B).

Esta diversidad de estilos indica que estos bloques no pertenecían allí originalmente, sino fueron traídos de otras estructuras por los antiguos pobladores de La Corona después de 750 d.C. Los bloques del Conjunto A pertenecían originalmente a la Escalinata Jeroglífica A y algunos de los otros tipos pudieron provenir de la escalinata de acceso de la Estructura 13Q-2, ubicada en el lado este de la Plaza Principal.

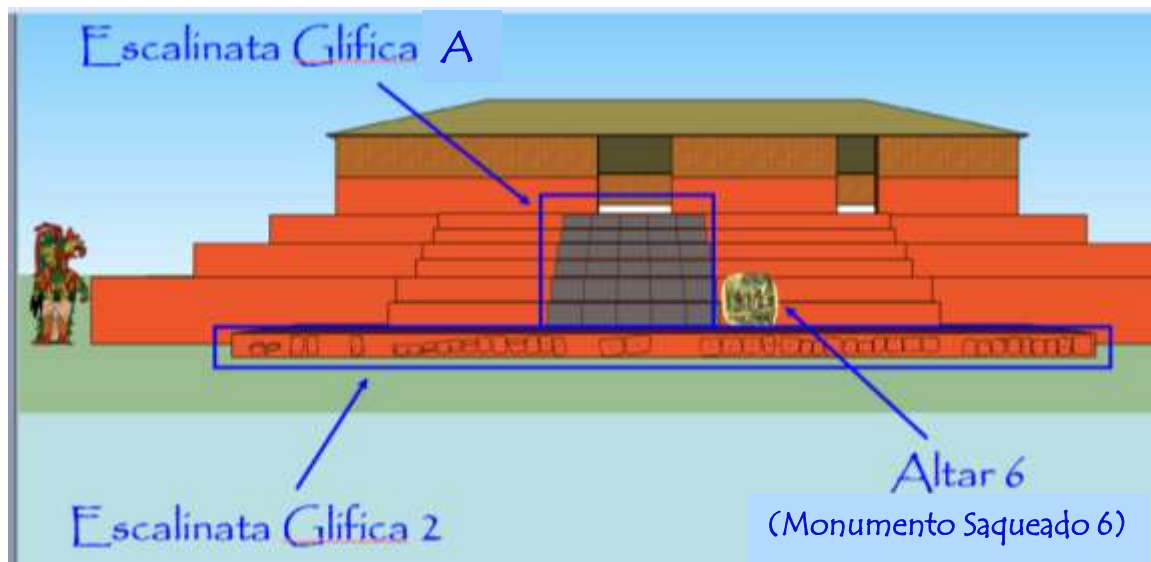


Figura 19.6 Reconstrucción de la fachada de la Estructura 13R-10, mostrando la ubicación de las dos escalinatas jeroglíficas y el Altar 6 (Monumento Saqueado 6) (Dibujo: E. Bustamante y J. Ponce)



Figura 19.7 Bloques 7 y 8 de la Escalinata Jeroglífica 2 (Foto: D. Stuart)

Exploraciones en el Grupo Principal: Palacio

En base a las excavaciones realizadas en las tres últimas temporadas de campo se puede afirmar que existieron al menos tres fases constructivas mayores en el área sur del Palacio 13Q-4 de La Corona, a inmediaciones de las superestructuras 13Q-4E y 13Q-4A. Además se pueden observar al menos 3 remodelaciones en las últimas dos etapas constructivas.

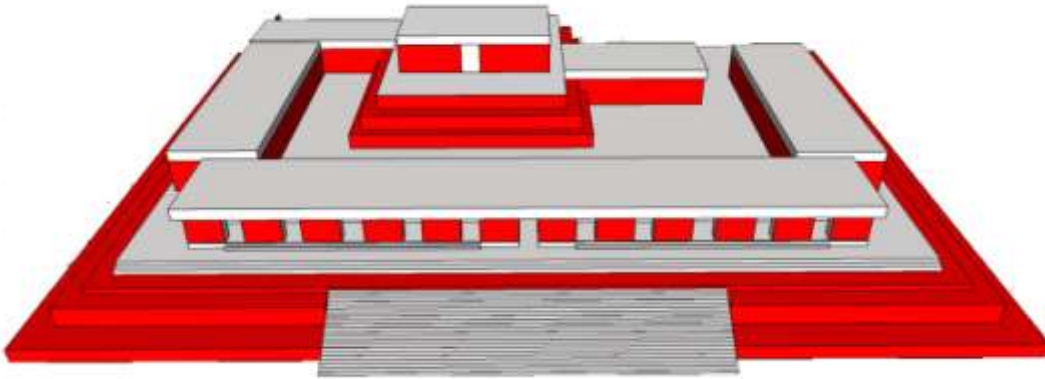


Figura 19.8 Reconstrucción del Palacio de La Corona en su última etapa constructiva (Dibujo: E. Bustamante)

La primera etapa, posiblemente del Clásico Temprano, corresponde a la Fase *Chejé* y está representada por una porción de un basamento que se pudo observar en la Unidad CR 20E-2. La segunda corresponde a la Fase *Cococharán*, que recubrió el basamento de la Fase *Chejé*, sobre el cual se construyeron tres estructuras formando un patio cerrado: la Estructura *Ahk* al oeste; al norte la Estructura *Wo*; y al este la Estructura *Ayiin*, esta última excavada por Liliana Padilla en 2010. En base a los rasgos observados, las estructuras *Ahk* y *Wo* parecen ser más del tipo residencial, fundamentado en la presencia de varios cuartos, así como la presencia de un gran porcentaje de cerámica de tipo utilitario. Por su parte la Estructura *Ayiin* parece ser una estructura de presentación, en base en lo observado en la siguiente Fase *Halcón*, puesto que fue parcialmente destruida para dar paso a la Estructura 13Q-4A. Se contempla la posibilidad que este grupo se encuentre clausurado al sur por una cuarta estructura. Se han podido distinguir dos remodelaciones posteriores a la Fase *Cococharán*, al menos presentes en la Estructura *Wo*, que corresponden a los pisos Guarda Barrancos y Pijuy, identificados en la unidad CR 20E-2. Finalmente, la tercera etapa corresponde a la Fase *Halcón*, representada por la Estructura 13Q-4E, que pudo ser un templo, lo que significaría un cambio radical en la disposición del palacio.

Exploraciones en el Grupo Principal: Estructura 13Q-2

Las excavaciones realizadas por Cristina Guirola durante esta temporada ayudaron a tener una mejor idea de la distribución espacial y arquitectónica de la última fase constructiva de la Estructura 13Q-2, ubicada en el extremo oriental de la Plaza Principal. Entre las funciones del edificio, quizá fue un palacio o templo de presentación para realizar rituales y ceremonias, incluso después del abandono del sitio, dada la presencia de tres incensarios postclásicos.

Ha quedado claro que existieron por lo menos dos fases constructivas que se pueden apreciar en la escalinata de la estructura. La última fase está identificada por el muro del lado noroeste de la estructura; una banqueta que corre quizá hasta donde empieza la escalinata; y la escalinata misma, donde las primeras gradas poseen un buen grado de conservación. Es muy posible que la escalinata tuviera paneles jeroglíficos, pero pudo haber sido saqueada por pobladores del sitio, quienes trasladaron los paneles a otra parte del sitio, posiblemente a la Estructura 13R-10 (Escalinata Jeroglífica 2).

La fase constructiva anterior tiene una escalinata estucada que desciende hasta llegar a una base donde hay banquetas a los lados, que quizá fueron utilizadas para poner algún tipo de escultura o para realizar algún tipo de ritual.



Figura 19.9 Base de la escalinata de la Estructura 13Q-2, mostrando bloques faltantes (Foto: C. Guirola)

Estudios de asentamiento en La Cariba

El sitio La Cariba está localizado 4.21 km al suroeste de la Plaza Principal de La Corona, situado en una elevación natural con vista al Río La Cariba al suroeste. El sitio fue mapeado parcialmente por Damien Marken en 2009, aunque solamente la acrópolis principal. Durante la Temporada 2012, el sitio fue investigado y mapeado por David Chatelain con la ayuda de Maxime Lamoureux-St. Hilaire y Evan Parker.

Se ha registrado un total de 1,876 puntos desde 2009, por lo que el mapa cubre 27,550 m² o 2.76 hectáreas, incluyendo el núcleo entero del sitio pero todavía sin ocupación residencial. La disposición del sitio fue unitaria, con todas las plataformas y estructuras en proximidad cercana y orientadas conforme a la acrópolis principal. Los grupos de estructuras fueron definidos principalmente en base a proximidad, orientación compartida alrededor de una plaza o patio y por la presencia de una plataforma basal compartida sobre la cual las estructuras se encontraban asentadas. En base a esto se definieron cinco grupos arquitectónicos. Es posible que este centro menor tuviera una función administrativa ligada a La Corona, como es sugerido por los seis monumentos de piedra actualmente registrados para La Cariba.

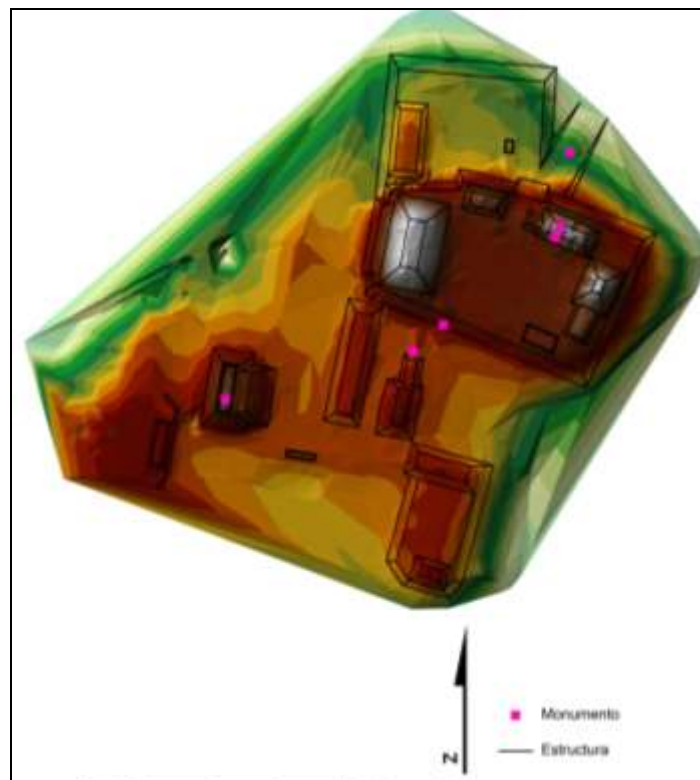


Figura 19.10 Plano actualizado del sitio La Cariba (Mapa: D. Chatelain)

Exploraciones Regionales

En esta temporada se continuó el subproyecto de reconocimiento arqueológico regional iniciado en el 2010, a cargo de Carlos Chiriboga. Este subproyecto está identificando el patrón de asentamiento de la zona occidental de la Reserva de la Biosfera Maya (RBM) mediante la identificación de sitios en el área de estudio del PRALC, con la finalidad de elaborar un modelo de asentamiento regional que abarque los períodos de ocupación prehispánica en la región, y específicamente se enfoque en la identificación de asentamientos de los períodos Preclásico y Clásico Temprano.

Durante la Temporada 2012 se continuó con el reconocimiento regional utilizando el modelo de prominencia topográfica, registrando 11 nuevos sitios dentro del área de estudio. También se excavaron cuatro pozos de sondeo en cuatro de los de sitios.

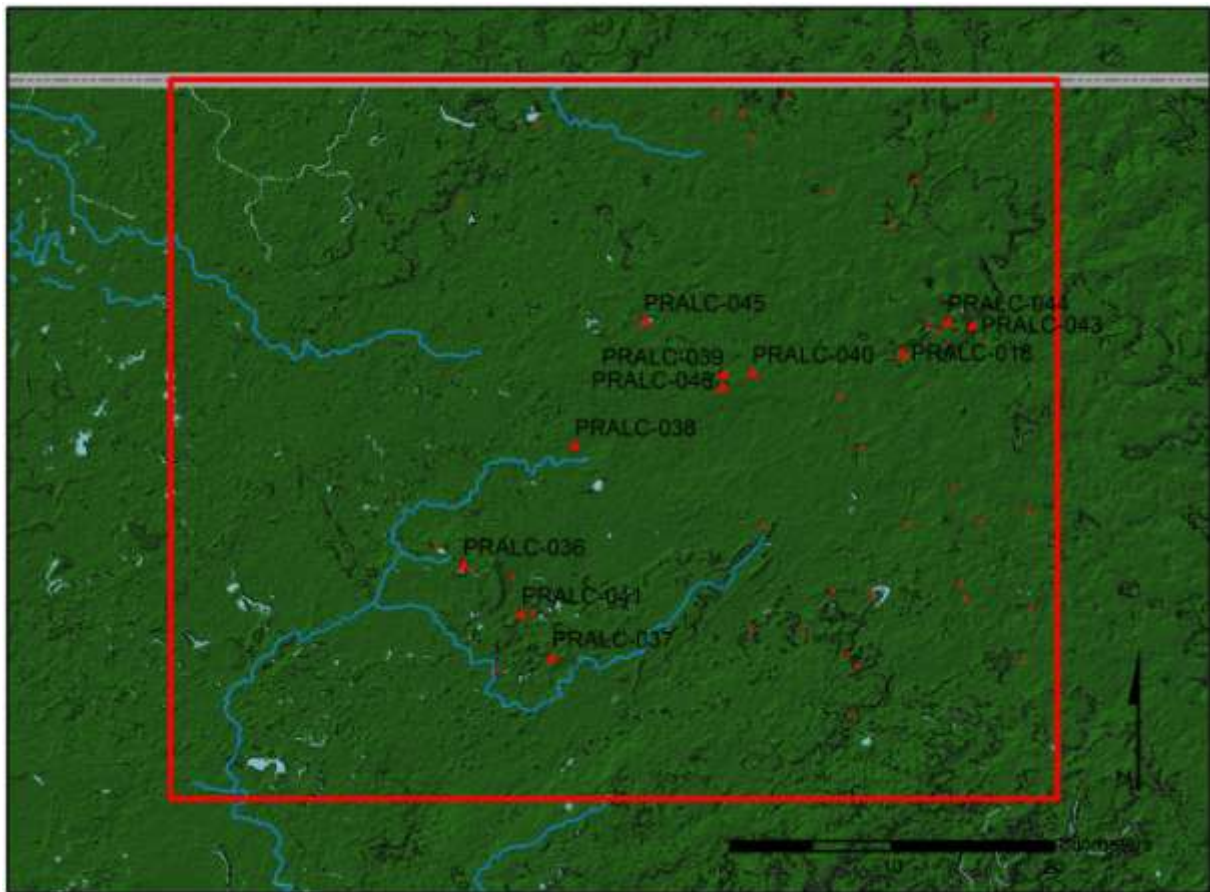


Figura 19.11 Mapa indicando los 11 sitios registrados en 2012 (Mapa: C.Chiriboga)

Análisis de artefactos cerámicos

El análisis de materiales cerámicos de La Corona esta a cargo de Caroline Parris, y su aproximación metodológica es una combinación del análisis tipo-variedad con un análisis más profundo de atributos. La muestra actual de materiales cerámicos disponibles para análisis es el resultado de las seis temporadas de excavación en La Corona, con un total de 27 operaciones de diferentes áreas del sitio, pero la mayoría están localizadas en lo que hubiesen sido áreas públicas, ya sea el Grupo 13Q (la Plaza Principal) o el Grupo 13R (Grupo Coronitas). Un total estimado de 120,000 tiestos comprenden la muestra. El material cerámico varía en tamaño e integridad, con tiestos que miden desde 2 cm de diámetro hasta vasijas completas. Hasta la fecha, se han catalogado 29 vasijas completas o casi completas.

Se han clasificado un total de 21,811 tiestos de 343 lotes. Esto es aproximadamente 20% del material cerámico recuperado. No todos estos tiestos han sido clasificados en tipos, pero aproximadamente 46 tipos han sido identificados en La Corona.

La cerámica más temprana examinada hasta el momento fecha al Preclásico Terminal o Protoclásico, incluyendo tipos como Sierra Rojo, Flor Crema y Polvero Negro y varias formas como cántaros de cuello corto, algunas pestañas labiales y pedestales en forma de hongo. Esta cerámica temprana ha sido recuperada en rellenos arquitectónicos de las estructuras en el Grupo 13R, lo que sugiere una ocupación muy limitada durante este período.

El Clásico Temprano está bien representado en La Corona en depósitos de relleno y con los Entierros 2 y 6. Los tipos presentes incluyen Águila Naranja, Balanza Negro, Dos Arroyos Naranja Polícromo, Dos Hermanos Rojo, Pucte Café y San Blas Rojo sobre Naranja. Pestañas basales, bases anulares y cuencos hemisféricos son los atributos más comunes.

La cerámica del Clásico Tardío es la más común recuperada en La Corona, ya que están distribuidos en todo el sitio y provienen de múltiples contextos diferentes incluyendo rellenos arquitectónicos, basureros, un entierro y ofrendas. Los tipos más comunes identificados incluyen Azote Naranja, Camarón Inciso, Cambio sin Engobe, Chaquiste Impreso, Chinja Impreso, Encanto Estriado, Infierno Negro, Saxché-Palmar Naranja Polícromo, Tinaja Rojo y Zacatal Crema Polícromo. Las formas incluyen platos con paredes divergentes, cuencos pequeños de paredes divergentes, cuencos grandes y cuencos con bordes levantados, cántaros de cuello largo y cilindros. Algunos contextos también incluyen cuencos Gris Fino Chablekal con paredes divergentes que en algunas ocasiones están incisas.



Figura 19.12 Cuenco fragmentado del Clásico Tardío, proveniente de El Jobillo (Dibujo y foto: C. Sansregret)

Los contextos del Clásico Terminal son similares a los del Clásico Tardío, pero incluyen la presencia de Gris Fino Tres Naciones y Naranja Fino Altar, así como cuencos rayadores y más variedad de formas asociadas con pastas Gris Fino. Se han recuperado bajas frecuencias de cerámica del Clásico Terminal en el sitio, pero hay concentraciones mayores en las últimas ocupaciones asociadas con la Estructura 13Q-2 y el Grupo 13R-1.

El Posclásico está efímeramente representado en La Corona, ya que se han recuperado cinco incensarios con forma de reloj de arena del Tipo La Justa en la superficie o en el estrato de humus de la excavación (Figura 19.13). Estos incensarios fueron colocados sobre arquitectura colapsada de las estructuras 13Q-2, 13R-3 y 13R-12 y probablemente representan visitas breves de mayas posclásicos.



Figura 19.13 Incensarios postclásicos recuperados en La Corona (Foto: C. Guirola)

Análisis de huesos humanos

Durante la Temporada 2012 se recuperaron dos entierros y fueron analizados por Erin Patterson. Ambos individuos fueron descubiertos en tumbas; uno fue encontrado en el Grupo Coronitas (Entierro 8) y otro en el Grupo Caballito o Grupo 14S-I (Entierro 9). En total se han descubierto nueve entierros en La Corona (Figura 19.14), de los cuales todos han sido adultos. El sexo fue determinado en menos de la mitad de los entierros y solamente el Entierro 5 es la única persona encontrada en un contexto de bajo status. La fragmentación y preservación pobre han dificultado la evaluación de los huesos, pero se pueden hacer algunas generalizaciones. En general, parece que la salud de los individuos fue relativamente buena, ya que solamente se ha observado un caso de hiperostosis porótica. Las caries dentales son raras entre estos individuos, mientras que los cálculos son prevalentes.

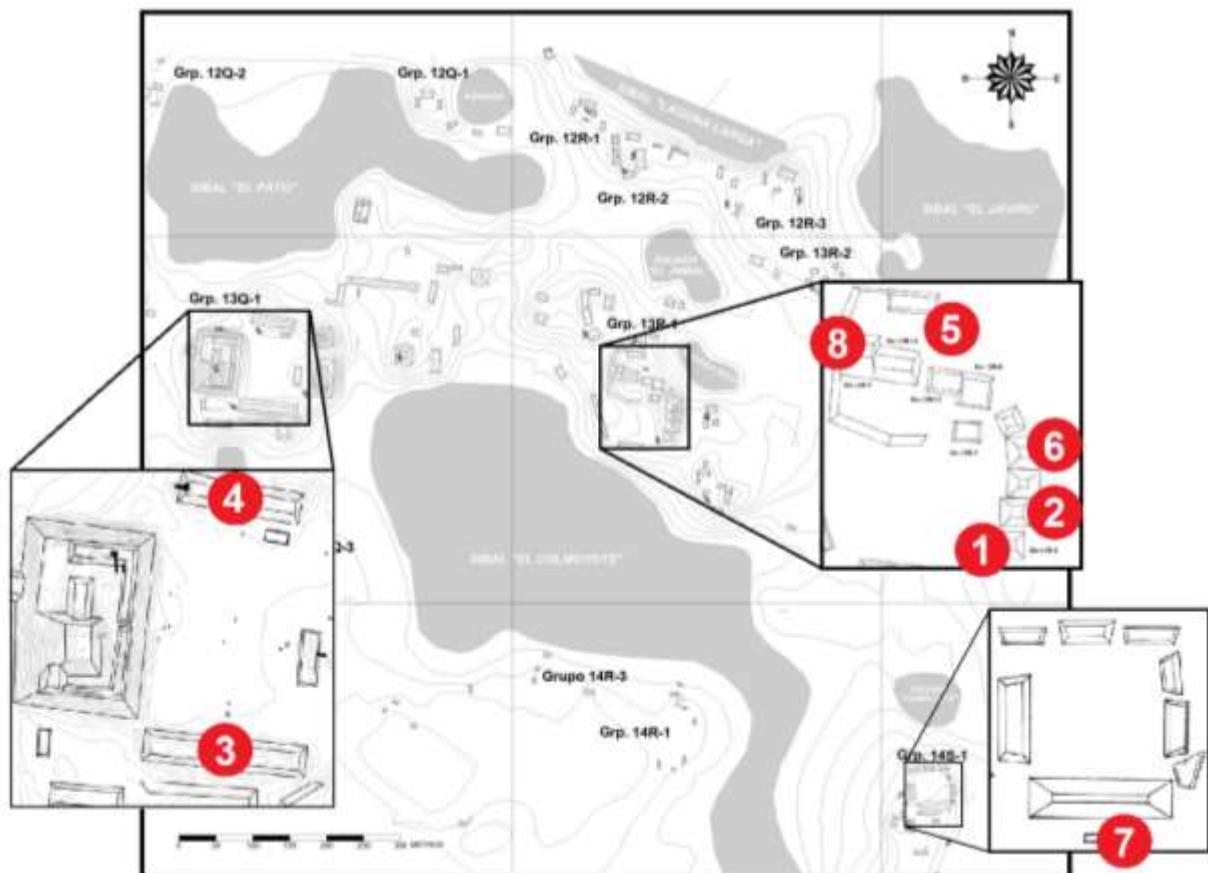


Figura 19.14 Ubicación de los entierros en La Corona, localizados según su numeración (Gráfica: E. Patterson)

Análisis de huesos de fauna

Las excavaciones en la Estructura 13R-10 (Operación CR16) han brindado la mayor cantidad de restos de fauna, especialmente en el basurero de la unidad CR16B-1A-5. Los materiales zooarqueológicos de este depósito fueron analizados entre 2010 y 2012 por Diana Fridberg, recuperándose un total de 1,169 especímenes de restos de fauna. Esta colección zooarqueológica parece representar un solo evento rápido de deposición de material, ya que los restos de animales están muy bien preservados y no demuestran señales obvias de erosión de superficie y poseen evidencia mínima de mordisqueo de roedores. Además, los huesos de peces y mamíferos juveniles permanecen intactos, sugiriendo poco disturbio natural o cultural después de la deposición. Por lo tanto, se argumenta que el *chultún* es un depósito producto de un festín ceremonial. Los taxones representados incluyen fauna disponible localmente y exótica. Evidencia de consumo como carnicería y quemado son poco frecuentes, pero están presentes, ya que los venados, perros y zarigüeyas son taxones bien definidos como alimentos en el mundo Maya. Sin embargo, los moluscos marinos más bien representan ofrendas en vez de taxones consumidos en este evento, dado que los objetos de concha tienen un uso bien documentado en actividades ceremoniales.

Análisis de restos de plantas

Desde 2009 se han llevado a cabo estudios paleoetnobotánicos en La Corona para reconstruir la dieta antigua y para obtener una perspectiva más amplia del uso de plantas. La información está siendo recopilada por medio del análisis de restos microbotánicos, en la forma de restos de polen (a cargo de Cristina Guirola) y granos de almidón (a cargo de Clarissa Cagnato). Los restos macrobotánicos (semillas) han sido recolectados utilizando dispositivos de flotación manuales y mecánicos, analizados también por Clarissa Cagnato. En general, los resultados de la investigación micro y macrobotánica en el sitio indican que los habitantes de La Corona utilizaron una amplia gama de plantas domésticas y silvestres.

La presencia de maíz en la forma de granos y fragmentos se encuentra en mayor número que las cúpulas o los restos de mazorca, lo que sugiere que en contextos domésticos se guardaba ya limpio (removido de la mazorca). Sin embargo, al colocarse junto con un individuo enterrado como ofrendas, usualmente era en la forma de mazorcas. La gran cantidad de restos de almidón encontrados en varios contextos sugiere que también estaban consumiendo plantas ricas en

carbohidratos, aunque lo más posible es que los restos de almidón sean de maíz (la semilla más común con almidón en el sitio).

El uso de palmas, aunque en menores cantidades que el maíz, sugiere que era usado tanto en contextos domésticos, como rituales. Además, la presencia de frutas como el jocote y zapote destaca el uso de los recursos disponibles localmente y la inclusión de frutas en la dieta. La presencia de quenapodas, amaranto y otras plantas herbáceas como verdolaga, apoya la idea que los habitantes de La Corona estaban consumiendo estas plantas, ya sea en forma de grano o sus hojas. La diversidad en el uso de plantas es visible en el número de semillas identificadas, por ejemplo los varios tipos de familias de semillas de Solanaceae y Fabaceae, aunque también en las semillas que aun no han sido identificadas (19 en total).

Cronología de La Corona

La cronología actual del sitio ha sido designada mediante una “cronología arquitectónica”, que se complementa principalmente en datos epigráficos de los textos de La Corona y otros patrones generales de las Tierras Bajas Centrales durante el período Clásico. Esta cronología ha sido designada de la siguiente manera:

- Fase *Ajen* (314-500 d.C.)
- Fase *Naah Ek'* (520-625 d.C.)
- Fase *Yuknoom* (625-700 d.C.)
- Fase *Ti' Kann* (700-750 d.C.)
- Fase *Ix Mutal* (750-820 d.C.)

La Fase *Ajen* comienza con la llegada del fundador del linaje de La Corona, posiblemente en 314 d.C., mientras que la Fase *Naah Ek'* comienza con la llegada de la primera princesa de Calakmul en 520 d.C.. La Fase *Yuknoom* comienza con el reinado de *Sak Maas* y abarca el período de tiempo donde se tiene la mayor cantidad de datos epigráficos de La Corona, también conocido como la “Era Dorada”. La Fase *Ti Kaan* comienza poco después que Tikal vence a Calakmul en 695 d.C. y la Fase *Ix Mutal* comienza con la derrota de El Perú-Waka' y Naranja por parte de Tikal a mediados del siglo octavo, hasta el abandono final del sitio de La Corona.

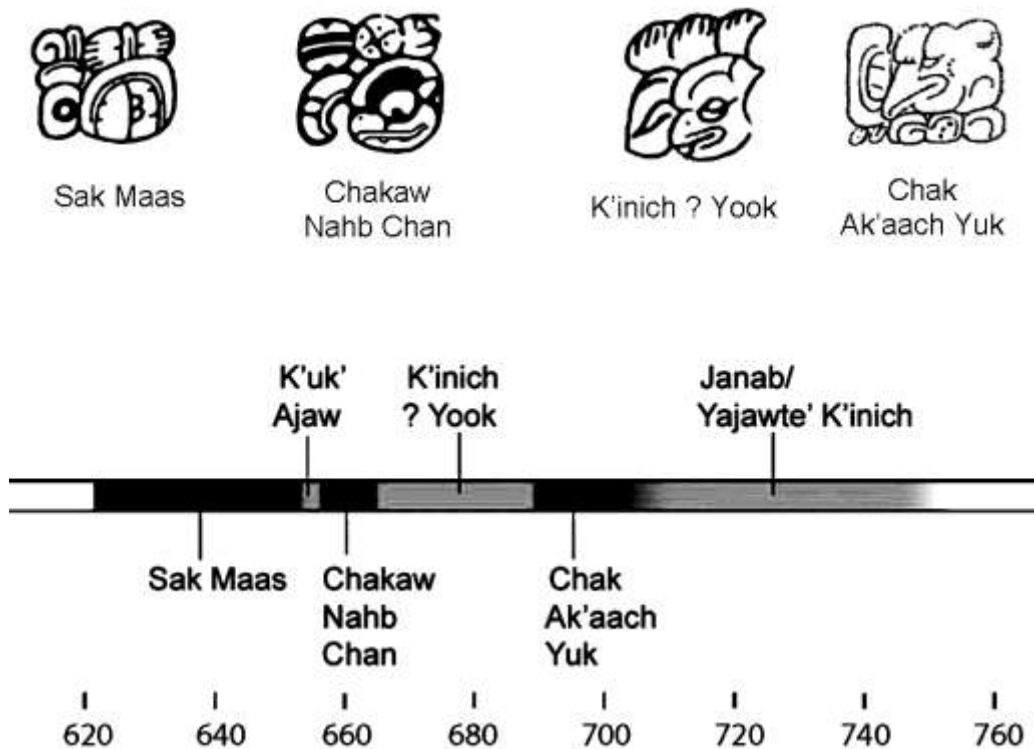


Figura 19.15 Secuencia dinástica de La Corona durante la “Era Dorada” (Gráfica: J. Baron)

Este esquema cronológico lógicamente divide la línea de tiempo política y los datos epigráficos de La Corona, pero aun no se sabe si está apoyado por la cronología cerámica. Se requiere todavía desarrollar una cronología cerámica basada en cambios de formas de vasija y tratamiento de superficie a través del tiempo para demostrar cambio tecnológico y estilístico local a través del tiempo. Si se toma en cuenta lo corto de los períodos definidos, es poco probable que el ambiente político regional y los cambios políticos locales en La Corona influenciaron de gran manera las tendencias locales en estilo y tecnología cerámica.

Interpretación política, económica y cultural de La Corona

Después de cinco años de investigación intensa en el sitio, el Proyecto Regional Arqueológico La Corona ha logrado superar varios retos para lograr unas conclusiones preliminares de la función, importancia, papel de este sitio de tamaño modesto en el extremo oeste del área central de la civilización maya clásica de las tierras bajas.

¿Qué tipo de sitio era La Corona?

El PRALC ha intentado de formar un modelo de la operación y contundencia de La Corona usando varias categorías independientes de evidencia, entre ellas: los textos, el tamaño, la ubicación, el patrón espacial, y, la arquitectura monumental.

Los textos nos aportan datos “émicos” – o sea, a través de la codificación de sí mismos por sus propios rubros podemos interpretar como los habitantes categorizaban a La Corona durante el Clásico. Los títulos con los que se identificaban los reyes de La Corona mayormente eran o *ajaw*, o *sak wayis*, o *aj k'ujuun*; ninguno de los cuales alcanzaba el nivel de poderío que desplegaban los *kalomte'* o los *k'ujul ajaw*, muy parecido a sitios como La Pasadita y Uxul. Nuevos datos de este año, sin embargo, sugieren que dentro de este rango menor había cierta movilidad en estatus. En los nuevos paneles hallados este año, no sólo se reveló una referencia a un *k'ujul sak wayis*, sino también se menciona la recepción de tributo de subordinados o de recién vencidos por los reyes de La Corona (Stuart 2012). Se resume que La Corona era visto por los Mayas como un sitio satelital o subordinado, cuyos reyes eran vasallos a un sitio más poderoso, pero quienes también manejaban una jerarquía propia.

Esta evidencia encaja bien con criterios más empíricos basados en comparaciones del tamaño y extensión del asentamiento (Guzmán 2012) que también colocan La Corona en la categoría de un sitio secundario, parecido a La Joyanca (Arnauld et al 2004; Lemonnier 2009). Los resultados preliminares del reconocimiento y mapeo indican que la población de La Corona en su apogeo probablemente no rebasaba de 3000 mil habitantes. Los trabajos preliminares de los contextos domésticos y de la dieta local nos permiten identificar una población compuesta mayormente por agricultores cuya distribución no permite concluir que La Corona se caracterice por un asentamiento altamente nucleado.

Del punto de vista económico, La Corona comparte muchas características de un sitio *entrepôt* – ósea un centro de importación y exportación de productos y mercancías, parecido a El Cayo a lo largo del Usumacinta (Aliphath y Caso 2006). Por su abundancia de agua combinada con su población modesta, el lugar se prestaba a una función de descanso a lo largo de una ruta de comercio. De hecho, análisis regionales han permitido identificar puntos estratégicos a lo largo de una supuesta ruta de costo mínimo entre Cancun y Calakmul (Canuto 2010, Canuto et al. 2011). Lo sobresaliente de esta ruta es que pasa por varios sitios importantes como Dos Pilas, El Perú-Waka' y La Corona. Arqueológicamente, se ha reconocido un cambio notorio en el

índice de “riqueza” de objetos élite en La Corona que corresponde a la instalación de esta ruta en el séptimo siglo d.C. (Canuto y Barrientos 2011).

Viendo el sitio por el punto de vista de arquitectura, se puede concluir que el estilo, calidad y monumentalidad de la arquitectura no es superlativa (Baron 2012; Padilla y Bustamante 2012; Ponce y Nájera 2012). Por ejemplo, el sitio carece del todo de edificios abovedados, la mayoría de las fachadas estaban compuestas por piedras de caliza rústica y acabada con estuco, y los templos no rebasaron de 8 metros de altura. De una perspectiva energética, los edificios de La Corona no involucraron el esfuerzo de grandes cantidades de trabajadores, la cual observación es consistente con los resultados preliminares del estudio de asentamiento.

Estudiando el uso y organización del espacio, La Corona se caracteriza como una corte real pequeña como la del sitio de Minanhá (Iannone 2005). Por el tipo de edificios, los espacios que delimitan, y su distribución adentro del núcleo del sitio no cabe duda que La Corona contiene en escala muy reducida todos los elementos de un sitio dinástico del periodo clásico maya. No se ven construcciones especializadas que sugieren una función de fuerte, mirador, o puerto.

Entre Pares, Colonias

Desafortunadamente, etiquetas como “secundario”, “subordinado”, “entrepôt”, o “corte real pequeña” no captan suficientemente la importancia particular de La Corona. De ciertas perspectivas, La Corona se parece a sitios como Minanha, La Joyanca, El Cayo, Uxul, pero no de forma contundentemente. De hecho, el rasgo que universalmente se reconoce como lo sobresaliente de La Corona es su abundancia de textos.

De hecho, por las excavaciones de este año, ahora sabemos que La Corona cuenta con el texto antiguo maya más largo de Guatemala encontrado hasta la fecha. Es por estos tipos de datos que este sitio resista una categorización fácil. Entonces, vale ahora enmendar la pregunta original de “¿Qué tipo de sitio es La Corona?” a “¿cuáles sitios más se parecen a La Corona?”

Viendo la combinación de epigrafía, tamaño, ubicación, arquitectura, y el uso de espacio, los dos sitios que más se alienan con La Corona son Dos Pilas y Quirigua. Ambos reflejan una misma correlación entre su tamaño, arquitectura, y monumentos jeroglíficos. Dos Pilas, por ejemplo, también unos textos muy largos que relatan el involucramiento de la dinastía local en los acontecimientos de alcance regional. En presentación, ubicación, y contenido, el texto de la Escalinata Jeroglífica 2 de Dos Pilas es muy parecido a lo de la Escalinata Jeroglífica A de La Corona. Quirigua refleja una producción epigráfica prodigiosa—aun de otro estilo—también. Pero en ambos casos, estos sitios eran de tamaño modesto con poblaciones limitadas.

Ambos Dos Pilas y Quirigua estaban ubicados a lo largo de rutas importantes que abastecían las tierras bajas de recursos carentes en el Petén. Dos Pilas se ubica en cruce crítico de rutas donde los recursos podrían agarrar el Usumacinta a puntos oeste o el Petexbatun para seguir a puntos norte. Por esa razón ambas familias reales de Tikal y Calakmul se afanaron para proteger sus intereses comerciales en Dos Pilas. En cuanto a Quirigua, el intercambio de jade y el control de rutas de comunicación hacia las tierras bajas por Caracol y o por Cancuen hicieron que Quirigua tuviera un mismo papel que La Corona y Dos Pilas.

Finalmente, los conjuntos de arquitectura élite en Dos Pilas y Quirigua eran bastante chiquitos y, en el caso de Quirigua, copias fieles de estructuras equivalentes en Copan. Lo importante de los complejos arquitectónicos de ambos sitios, pero, es que incluyen las varias modalidades de edificios necesarios para que se consideren cortes reales propias.

Las presencias de palacios, juegos de pelota, plaza públicas, y templos funerarios da la impresión que la construcción de estos sitios era para la fundación de una entidad política.

Se podría decir entonces que La Corona tiene como pares Dos Pilas y Quirigua, y que este conjunto de tres sitios refleja un tipo de sitio secundario particular, un ente político con funciones muy específicos y patrones muy particulares. Sugerimos que se puedan considerar mejor como *colonias* de estados mayores que los patrocinaban y dirigían.

Es importante recalcar aquí que en el antiguo mundo, se establecían colonias para facilitar relaciones comerciales con lugares ajenos que ayudarían a aumentar la riqueza de la ciudad-madre, o sea la “metrópolis”. En los casos de Dos Pilas, Quirigua, y La Corona, todos cumplían con esa función. En fin, por ser un colonia, el impacto de la dinastía KAAN en La Corona formó un vínculo de se fue más allá que una alianza.

La Siempre Fiel

A pesar de estas similitudes, la historia política de La Corona varía de las demás “colonias” en un punto clave: se mantuvo fiel a los gobernantes de su metrópolis materna, Calakmul. La Corona se dirigió por un camino muy diferente de los otros centros-colonias porque sus reyes cultivaron un periodo prolongado de patrocinio y abrigo que garantizó continuo acceso a escribanos, artistas, y bienes foráneos que les ayudaron a mantener y validar su estatus elevado en La Corona. La Corona no rechazó a su metrópolis de la forma que los textos indican que hicieron ambos Dos Pilas y Quirigua. En vez de declaraciones públicas hablando de los eventos claves de su independencia, como enfatizan BALAJ CHAN K’AWIL y K’AK’ TILIW CHAN YOPAAT, los textos de La Corona hablan de la larga relación entre los reyes KAAN y el sitio La Corona. Y toda esta información de alianza es clave para entender cómo los mayas clásicos construían, ampliaban y mantenían sus entidades políticas. Y es porque era un caso exitoso que “la siempre fiel Corona” se destaca de manera contundente y nos proporciona una gran oportunidad de aprender el sentido de estado y el arte de de gobernar de los mayas clásicos.

¿Qué se hizo en el caso de La Corona entonces para que tuviera un destino tan distinto? Durante el periodo de colonia de KAAN, La Corona vio varios cambios notorios en la manera en que se gobernaba el lugar que posiblemente inciden en esta pregunta. En este periodo se registra 1) la ascendencia de nuevos dioses patronos (Baron 2012); 2) la erección de muchos monumentos jeroglíficos; 3) un énfasis en mujeres nobles de la dinastía KAAN; 4) una elevación en la riqueza disponible de la élite; y 5) la carencia total de un glifo emblema. Estos rasgos permiten sugerir que en La Corona se inauguró un nuevo sistema de gobernación que resultó en una relación larga y estable.

Primero, el conjunto de textos, arquitectura, festines, y materiales ceremoniales en el grupo de La Coronitas sugiere que durante este periodo los gobernantes de La Corona declararon que La Corona estaba ubicada en un lugar de importancia religiosa (y no sólo estratégica) y que solamente ellos podían actuar como interlocutores entre la población y los dioses patronos. Estos reyes de La Corona adoptaron estrategias de religiosos carismáticos para legitimizar su poder local. Segundo, el énfasis en las princesas de Calakmul con quien se desposaban los reyes de La Corona indica que el estatus de los reyes locales se construía a través de un sistema de parentesco hipógamo. Por el intercambio de dotes se forjó una relación de parentesco que proveyó los mecanismos por los cuales la fidelidad de los gobernantes de La Corona a la dinastía

KAAN les conllevó la riqueza de Calakmul. Este intercambio entonces creó un sistema de poder también basado en el acceso a la riqueza. Tercero, la hegemonía de la dinastía KAN también aportó nuevos títulos de poder a La Corona que sus reyes adoptaron en vez de usar el más común glifo emblema, ósea el K'UJUL AJAW. De esta forma, los reyes de La Corona basaron su autoridad también en modalidades foráneas, hegemónica, y coercitivas.

En este periodo, se manipularon tanto los cánones de la autoridad política legítima que su gobernabilidad y sentido de lugar fueron afectados. Durante este periodo, las fuentes de autoridad legítima cambiaron. El concepto de linaje ancestral, el privilegio de precedencia histórica, y un sentido de lugar local fueron remplazados por abstracciones religiosas, en énfasis en riqueza material, y el poder ajeno. En vez, poderes en base a carisma religiosa, riqueza, y coacción foránea cambiaron la cara de La Corona y resultaron ser efectivos a mantener estable la relación jerárquica entre Calakmul y La Corona.

Conclusiones

El estudio de PRALC en La Corona contribuye al estudio de la organización política de los mayas clásicos de las tierras bajas. Una revisión de la literatura de este tema subraya la variedad de modelos que se han propuesto. Por los detalles de cómo se creó la colonia de La Corona ya se puede entender cómo la maya clásicos manipulaban sus sistemas de religión, parentesco, e intercambio para formular sistemas políticos más grandes y estables.

Quizás los ejemplos de las otras dos colonias ahora se pueden entender mejor como casos de mal manejo de sistemas políticos. Pero los resultados sorprendentes de este año también nos llevan a contemplar porqué esta relación tampoco fue perenne en La Corona. Aunque estamos aprendiendo mucho de la relación entre La Corona y Calakmul, los mismos paneles jeroglíficos sugieren que hubieron cambios drásticos en La Corona en mediados del siglo octavo y que La Corona cambió sus afiliaciones políticas de manera voluntaria o forzada. Dada la importancia de este tema, las investigaciones futuras se enfocarán en dilucidar la naturaleza de la época final del sitio, para la cual se deben excavar detalladamente las evidencias arquitectónicas y se deben analizar cuidadosamente los contextos cerámicos y si es posible, obtener fechas absolutas.

Finalmente, hay que recalcar que, de manera similar a La Corona, existen muchos sitios con características singulares y que a primera vista no parecen ser tan importantes. Como se ha expuesto en todas estas presentaciones, La Corona ejemplifica de la mejor manera el papel clave

que jugaron los sitios secundarios en la configuración del mapa geopolítico durante el período Clásico en las Tierras Bajas. De allí que todavía no podamos explicar todas las peculiaridades de La Corona con el detalle que quisiéramos.

Presentación y divulgación de resultados

Durante 2012 se presentó un total de 18 ponencias y conferencias, así como una gran cantidad de artículos de prensa relacionados al descubrimiento de la Escalinata Jeroglífica 2. De estas conferencias, cuatro se presentaron en el Encuentro Arqueológico del Centro Universitario de Peten, en Santa Elena, Petén, el 11 de Mayo de 2012. Adicionalmente se llevó a cabo la conferencia de prensa titulada “Presentación del Hallazgo Emblemático B’aktun 13” realizado en el Salón de las Banderas, Palacio Nacional de la Cultura, el 28 de Junio de 2012. Para el XXVI Simposio de Arqueología Guatemalteca se presentó la mesa redonda “Nuevas Perspectivas sobre la religión, política y calendario en el Noroeste de Peten”, que incluyó ocho presentaciones de los resultados de PRALC en 2012. Otras conferencias presentadas este año incluyeron “La Corona, Fin del mundo?”, realizada en el Instituto Italiano de Cultura; “La Corona en el 2012: Revelaciones sobre los grandes reinos mayas ” dictada en el Museo Popol Vuh; “The Kingdom of Kaanal and La Corona: More than an Alliance” como parte de la Sixth Annual Maya at the Playa Conference; y finalmente, dos ponencias en el XXII Encuentro “Los Investigadores de la Cultura Maya”, realizado en Campeche en el mes de noviembre.

En cuanto a artículos en periódicos y revistas, se publicaron en medios guatemaltecos como Prensa Libre, El Periódico, Siglo XXI, Nuestro Diario, PubliNews y Diario de Centroamérica. En medios internacionales, el descubrimiento apareció en NBC News, Fox News, BBC News, BBC Mundo, Huffington Post, USA Today, Science News, IB Times, El Informador, La Crónica de Hoy, etc.. Asimismo, se tuvo presencia en canales de televisión como T13 y Guatevisión, radios como TGW y se tuvo una serie de cuatro columnas de Rita Roesch en Prensa Libre tituladas “Ciudad de Escribas”. Finalmente, se publicó una renovada página web de PRALC dentro de la página web de la universidad de Tulane <http://mari.tulane.edu/PRALC/> y otra en Facebook <https://www.facebook.com/pralc> para informar al público sobre los avances y descubrimientos.



Figura 19.17 Fotos y afiches de conferencias presentadas en 2012 (Fotos: C. Guirola y J. Pontaza)

Conservación y protección de la zona de La Corona

Gracias a los fondos de PRALC, la postemporada 2012 ha contado con la presencia de 4 guarda-recursos y un chofer, para salvaguardar el equipo e infraestructura del proyecto, pero especialmente lo relacionado al patrimonio cultural y natural de La Corona y sus inmediaciones.

Durante el hallazgo de la Escalinata Jeroglífica 2, se contó con patrullas del Batallón Verde o Batallón de Selva, liderados por el Teniente Coronel de Infantería DEM José Manuel Rivas, cuya base se encuentra en Pozo Xan, San Andrés, Petén.

BIBLIOGRAFÍA

Acuña, Mary Jane

- 2007 “CR-ES: Excavaciones de sondeo en los Grupos A, B y C de La Corona”. En *Proyecto Arqueológico El Perú-Waka’: Informe No.4, Temporada 2006*, editado por H. Escobedo y D. Freidel, pp.457-466. Instituto de Antropología e Historia, Guatemala.
- 2009 “Operación CR11A: Limpieza de trinchera de saqueo en la Estructura 13R-9”. En *Proyecto Regional Arqueológico La Corona: Informe Final Temporada 2008*, editado por M. Canuto y T. Barrientos, pp.109-128. Instituto de Antropología e Historia, Guatemala.

Adams, Richard E. W.

- 1971 *The ceramics of Altar de Sacrificios*. Peabody Museum, Cambridge, Massachusetts.

Aliphath F., Mario y Laura Caso Barrera

- 2006 “Arqueología y etnohistoria: Circuitos de intercambio en el río Usumacinta y sus afluentes”. En *XIX Simposio de Investigaciones Arqueológicas en Guatemala, 2005* (editado por J.P. Laporte, B. Arroyo y H. Mejía), pp.886-898. Museo Nacional de Arqueología y Etnología, Guatemala

Arnould, Charlotte, Veronique Breuil-Martínez, y Erick Ponciano

- 2004 *La Joyanca: Antigua Ciudad Maya del Noroeste del Petén*. Centro Francés de Estudios Mexicanos y Centroamericanos CEMCA, Guatemala.

Atran, Scott, Lois X y Ucan Ek

- 2004 *Plants of the Petén Itza’ Maya*. University of Michigan Museum, Ann Arbor, MI.

Baron, Joanne

- 2011 “Operaciones CR12, CR14 y CR15: Excavaciones en las Estructuras 13R-3, 13R-4, y 13R-2 de Grupo Coronitas”. En *Proyecto Regional Arqueológico La Corona: Informe Final Temporada 2010*, editado por T. Barrientos, M. Canuto y M.J. Acuña, pp. 249-276. Instituto de Antropología e Historia, Guatemala.
- 2012 “Operaciones CR14, CR15 y CR17: Excavaciones en el Grupo Coronitas, Estructuras 13R-2, 13R-3, 13R-4 y 13R-5”. En *Proyecto Arqueológico La Corona: Informe Final Temporada 2011*, editado por T. Barrientos, M. Canuto y J. Ponce, pp.231-264. Instituto de Antropología e Historia, Guatemala.

Barrientos, Tomás y Marcello Canuto

- 2009 “Proyecto Arqueológico La Corona, resultados de las investigaciones en 2009”. Ponencia presentada en el XXIII Simposio de Investigaciones Arqueológicas en Guatemala, Museo Nacional de Arqueología y Etnología.
- 2010 “Proyecto Regional Arqueológico La Corona: Objetivos, Métodos y Antecedentes de la Temporada de Campo 2009”. En *Proyecto Arqueológico La Corona, Informe Final, Temporada 2009*, editado por M. Canuto y T. Barrientos. Manuscrito entregado al Instituto de Antropología e Historia (IDAEH), Guatemala.

Barrientos, Tomás, Marcello Canuto y Mary Jane Acuña (editores)

2011 *Proyecto Regional Arqueológico La Corona, Informe Final Temporada 2010*. Informe entregado a IDAEH, Guatemala.

Barrientos, Tomás, Marcello Canuto y Jocelyne Ponce (editores)

2012 *Proyecto Regional Arqueológico La Corona, Informe Final Temporada 2011*. Informe entregado a IDAEH, Guatemala.

Buikstra, Jane y Douglas Ubelaker

1994 *Standards for Data Collection from Human Skeletal Remains*. Arkansas Archeological Survey Research Series No. 44. Arkansas Archeological Survey. Fayetteville, Arkansas.

Bustamante, Eduardo

2011 “Operación CR41: Excavaciones en Grupo Habitacional 13S-2”. En *Proyecto Regional Arqueológico La Corona: Informe Final Temporada 2010*, editado por T. Barrientos, M. Canuto y M.J. Acuña, pp. 347-360. Instituto de Antropología e Historia, Guatemala.

Cagnato, Clarissa

2011 “Análisis Preliminar de los Restos Paleobotánicos de La Corona”. En *Proyecto Regional Arqueológico La Corona: Informe Final Temporada 2010*, editado por T. Barrientos, M. Canuto y M.J. Acuña, pp. 385-402. Instituto de Antropología e Historia, Guatemala.

2012 “Operación CR48: Investigación de *chultunes* en La Corona”. En *Proyecto Regional Arqueológico La Corona: Informe Final Temporada 2011*, editado por T. Barrientos, M. Canuto y J. Ponce, pp. 357-372. Instituto de Antropología e Historia, Guatemala.

Cajas, Antonieta

2012 “Operación CR11B: Excavaciones en la Estructura 13R-9, Temporada 2011”. En *Proyecto Regional Arqueológico La Corona: Informe Final Temporada 2011*, editado por T. Barrientos, M. Canuto y J. Ponce, pp. 265-278. Instituto de Antropología e Historia, Guatemala.

Calderón, Zoila y Bernard Hermes

2005 “*Chultunes* en los alrededores de la Laguna Yaxhá, Petén”. *Simposio de Investigaciones Arqueológicas en Guatemala, 2004*, editado por J.P. Laporte, B. Arroyo y H. Mejía, pp.111-130. Museo Nacional de Arqueología y Etnología, Guatemala.

Canuto, Marcello, Stanley Guenter, Evangelia Tsesmeli y Damien Marken

2006 “El Reconocimiento de La Corona, 2005”. En *Proyecto Arqueológico El Perú-Waka': Informe No. 3, Temporada 2005*, editado por H. Escobedo y D. Freidel, pp. 455-468. Southern Methodist University.

Canuto, Marcello

2007 “CR-01: Excavaciones en la Estructura C-5 del Grupo C de La Corona”. En *Proyecto Arqueológico El Perú-Waka': Informe No. 4, Temporada 2006*, editado por H. Escobedo y D. Freidel. Guatemala, pp. 431-456.

Canuto, Marcello y Tomás Barrientos Q (editores)

2009 *Proyecto Regional Arqueológico La Corona, Informe Final Temporada 2008*. Informe entregado a IDAEH, Guatemala.

2010 *Proyecto Regional Arqueológico La Corona, Informe Final Temporada 2009*. Informe entregado a IDAEH, Guatemala.

Canuto, Marcello y Tomás Barrientos

2011 "Resultados Generales y Conclusiones de la Temporada de Campo 2010". En *Proyecto Arqueológico La Corona: Informe Final, Temporada 2010*, editado por T. Barrientos, M. Canuto y M.J. Acuña, pp.403-426. Instituto de Antropología e Historia, Guatemala.

Canuto, Marcello, Tomás Barrientos y Mary Jane Acuña

2012 "Proyecto Regional Arqueológico La Corona: Resultados Generales y Conclusiones de la Temporada 2011". En *Proyecto Regional Arqueológico La Corona: Informe Final Temporada 2011*, editado por T. Barrientos, M. Canuto y J. Ponce, pp. 407-438. Instituto de Antropología e Historia, Guatemala.

Canuto, Marcello, Tomas Barrientos, Joanne Baron, Yann Desailly-Chanson, Lilliana Padilla, Rodrigo Guzmán y Jocelyne Ponce

2012 "Hallazgos e interpretaciones recientes en el sitio La Corona". En *XXV Simposio de Investigaciones Arqueológicas en Guatemala, 2011*. Editado por B. Arroyo, L. Paiz y H. Mejía, pp. 329-346. Museo Nacional de Arqueología y Etnología, Guatemala.

Carrasco, María del Rosario Domínguez

1994 *Calakmul, Campeche, un análisis de la cerámica*. Universidad Autónoma de Campeche, Campeche.

Carrasco, Ramón, Sylviane Boucher, Paula Alvarez, *et al.*

1999 "A Dynastic Tomb from Campeche, Mexico: New Evidence on Jaguar Paw, a Ruler of Calakmul". *Latin American Antiquity* 10(1): 47-58.

Cliff, Maynard B. y Cathy J. Crane

1989 Changing Maya Subsistence Economy at a Late Preclassic Maya Community. *Prehistoric Maya Economies of Belize*, editado por P. A. McAnany y B. L. Isaac, pp. 295-324. JAI Press, Greenwich, CT.

Coe, Sophie D.

1994 *America's First Cuisines*. University of Texas Press, Austin.

Culbert, T. Patrick

1993 *Tikal Report No. 25, Part A, The Ceramics of Tikal: Vessels from the Burials, Caches and Problematic Deposits*. The University Museum, University of Pennsylvania, Philadelphia.

Desailly-Chanson, Yann

2011 “Operaciones CR33 y CR35: Excavaciones en las Estructuras 13Q-3 y 13Q-5”. En *Proyecto Regional Arqueológico La Corona: Informe Final, Temporada 2010*, editado por Tomás Barrientos, Marcello Canuto y Mary Jane Acuña, pp. 211-247. Instituto de Antropología e Historia, Guatemala.

Fernández, Enrique

2011 “Capítulo X. Excavaciones en la Estructura 13R-10 del Grupo 13R-II”. En *Proyecto Arqueológico La Corona: Informe Final, Temporada 2010*, editado por T. Barrientos, M. Canuto y M.J. Acuña, pp.277-304. Instituto de Antropología e Historia, Guatemala.

Forné, Melanie

2006 *La cronología de La Joyanca, Noroeste del Peten, Guatemala*. BAR International Series No. 1572. Archaeopress, Oxford, England.

Forsyth, Donald

1989 *The Ceramics of El Mirador, Petén, Guatemala. El Mirador Series, Part 4*. Papers of the New World Archaeological Foundation, No. 63, Brigham Young University, Provo.

Freidel, David y Stanley Guenter

2003 “Bearers and War of Creation” <http://archive.archaeology.org/online/features/siteq2/>

Freidel, David, Héctor Escobedo y Stanley Guenter

2007 “A Crossroads of Conquerors”. En *Gordon R. Willey and American Archaeology*, editado por J. A. Sabloff y W. L. Fash, pp. 187-208. University of Oklahoma Press, Norman.

Freidel, David, Héctor Escobedo, David Lee, Stanley Guenter y Juan Carlos Meléndez

2007 “El Perú y la Ruta Terrestre de la Dinastía Kan hacia el Altiplano. En *XX Simposio de Investigaciones Arqueológicas en Guatemala, 2006*, editado por J.P. Laporte, B. Arroyo y H. Mejía, pp. 59-76. Guatemala: Museo Nacional de Arqueología y Etnología.

Fridberg, Diana y Clarissa Cagnato

2012 “Plantas y Animales en La Corona”. Ponencia presentada en el *XXVI Simposio de Investigaciones Arqueológicas en Guatemala*. En edición.

Gifford, James

1960 “The Type-Variety Method of Ceramic Classification as an Indicator of Cultural Phenomena”. *American Antiquity* (25):3, pp. 341-347.

1976 *Prehistoric Pottery Analysis and the Ceramics of Barton Ramie in the Belize Valley*. Memoirs of the Peabody Museum of Archaeology and Ethnology, volumen 18, Harvard University. Cambridge, Massachusetts.

Gilbert, Miles

1990 *Mammalian Osteology*. Columbia, MO: Missouri Archaeological Society.

1996 *Avian Osteology*. Columbia, MO: Missouri Archaeological Society.

Goldstein, David J. y Jon B. Hageman

2010 “Power Plants: Paleoethnobotanical Evidence of Rural Feasting in Late Classic Belize”. En *Pre-Columbian Foodways in Mesoamerica: Interdisciplinary Approaches to Food, Culture, and Markets in Ancient Mesoamerica*, editado por J. Staller y M. Carrasco, pp. 421-440. Springer, New York.

Gómez, Erika

2010 “Operaciones CR11 y CR13: Excavaciones en el Sector Oeste del Grupo 13R de La Corona”. En *Proyecto Arqueológico La Corona: Informe Final, Temporada 2009*, editado por M. Canuto y T. Barrientos, pp.159-198. Instituto de Antropología e Historia, Guatemala.

Grube, Nikolai

2004 “El Origen de la Dinastía Kaan”. En *Los Cautivos de Dzibanché*, editado por E. Nalda) pp. 117-131. México: Consejo Nacional para la Cultura y las Artes, Instituto Nacional de Antropología e Historia

Guenther, Stanley

2009 “Operación 32: Investigaciones en las Estructuras 13Q-2 y 13Q-6”. En *Proyecto Arqueológico La Corona. Informe Final, Temporada 2008*, editado por M. Canuto y T. Barrientos, pp. 97-107. Instituto de Antropología e Historia, Guatemala.

Guirola, Cristina y Christopher Martínez

2012 “Operación CR32: Excavaciones realizadas en la Estructura 13Q-2, Temporada 2011”. En *Proyecto Regional Arqueológico La Corona: Informe Final Temporada 2011*, editado por T. Barrientos, M. Canuto y J. Ponce, pp. 173-200. Instituto de Antropología e Historia, Guatemala.

Guzmán, Rodrigo

2012 “Reconocimiento Arqueológico y Mapeo en El Jobillo”. En *Proyecto Regional Arqueológico La Corona: Informe Final Temporada 2011*, editado por T. Barrientos, M. Canuto y J. Ponce, pp. 109-122. Instituto de Antropología e Historia, Guatemala.

Hageman, Jon B. y David J. Goldstein

2009 “An Integrated Assessment of Archaeobotanical Recovery Methods in the Neotropical Rainforest of Northern Belize: Flotation and Dry Screening”. *Journal of Archaeological Science* (36): 2841-2852.

Hammond, Norman y Charles Mikiscek

1981 “Ecology and economy of a Formative Maya site at Cuello, Belize”. *Journal of Field Archaeology* 8(3):259-269.

Houston, Stephen

2008 “In the Shadow of a Giant”. www.mesoweb.com/zotz/articles/Shadow-of-a-Giant.pdf.

Iannone, Gyles

2005 "The Rise and Fall of an Ancient Maya Petty Royal Court". *Latin American Antiquity* 16(1):26-44.

Lemonnier, Eva

2009 La structure de l'habitat du site maya classique de La Joyanca (Petén Nord-Ouest, Guatemala) dans son environnement local. Paris. Monographs in American Archaeology 23. B.A.R. International Series. Oxford.

Lentz, David L.

1991 "Maya diets of the rich and poor: Paleoethnobotanical evidence from Copan". *Latin American Antiquity* (2): 269- 287.

Lentz, David L. y Ruth Dickau

2005 *Seeds of Central America and Southern Mexico: the Economic Species*. New York Botanical Garden Press, New York.

Loy, Thomas

1994 "Methods in the Analysis of Starch Residues on Prehistoric Stone Tools". *Tropical Archaeobotany*, editado por J. Hather, pp. 86-114. Routledge, London.

MacVean, Ana Lucrecia de

2003 *Plantas Útiles de Petén, Guatemala*. Universidad del Valle de Guatemala, Guatemala.

Marken, Damien

2010 "Programa de Mapeo PRALC 2009: Trabajos en la Zona Este y Oeste de La Corona y el Sitio La Cariba." En *Proyecto Arqueológico La Corona, Informe Final, Temporada 2009*, editado por M. Canuto y T. Barrientos, pp. 25-38. Instituto de Antropología e Historia, Guatemala.

Marken, Damien y Stanley Guenter

2007 "Monumentos y Reconocimiento en La Corona: 2006". En *Proyecto Arqueológico El Perú-Waka': Informe No. 4, Temporada 2006*, editado por H. Escobedo y D. Freidel, pp. 479-490. Southern Methodist University.

Martin, Simon

2004 "Pregunta Epigráficas acerca de los Escalones de Dzibanché". En *Los Cautivos de Dzibanché*, editado por E. Nalda, pp. 105-115. México: Consejo Nacional para la Cultura y las Artes, Instituto Nacional de Antropología e Historia.

2005a "Caracol Altar 21 Revisited". *PARI Journal* 6(1):1-9.

2005b "Of Snakes and Bats: Shifting Identities at Calakmul". *The PARI Journal* 6(2):5-15.
www.mesoweb.com/pari/publications/journal/602/SnakesBats_e.pdf.

2008 "Wives & Daughters on the Dallas Altar". *Mesoweb*
www.mesoweb.com/articles/martin/Wives&Daughters.pdf

Martin, Simon y Nikolai Grube

2008 *Chronicle of the Maya Kings and Queens*. Segunda edición. Thames and Hudson, New York.

Masson, Marilyn A.

1999 "Animal resource manipulation in ritual and domestic contexts at Postclassic Maya communities". *World Archaeology* 31(1):93-120.

McKillop, Heather

1996 "Prehistoric Maya Use of Native Palms: Archaeobotanical and Ethnobotanical Evidence". En *The Managed Mosaic: Ancient Maya Agriculture and Resource Use*, editado por Scott L. Fedick, pp. 278-94. University of Utah Press, Salt Lake City.

MICUDE

2012 *Reglamento de Investigación Arqueológica y Disciplinas afines*. Acuerdo Ministerial Número 001-2012.

Miksicek, Charles H., Elisabeth S. Wing, y Sylvia. J. Scudder

1991 The Ecology and Economy of Cuello. *Cuello: An Early Maya Community in Belize*, editado por N. Hammond, pp. 70-84. Harvard University Press, Cambridge.

Moholy-Nagy, Hattula

1985 "The social and ceremonial uses of marine molluscs at Tikal". *Prehistoric Lowland Maya Environment and Subsistence Economy*, editado por M. Pohl, pp: 149-158. Cambridge, MA: Harvard University Press.

Morehart, Christopher T.

2011 Food, Fire, and Fragrance: A Paleoethnobotanical Perspective on Classic Maya Cave Ritual. *BAR International Series 2186*, Oxford.

Morehart, Christopher T., David L. Lentz y Keith M. Prufer

2005 "Wood of the Gods: the Ritual Use of Pine (*Pinus* spp.) by the Ancient Lowland Maya". *Latin American Antiquity* (16): 255-274.

Morehart, Christopher T. y Noah Butler

2010 "Ritual exchange and the fourth obligation: ancient Maya food offering and the flexible materiality of ritual". *Journal of the Royal Anthropological Institute* (16): 588-608.

Mutchnick, Patrice A. y Brian C. Mccarthy

1997 "An Ethnobotanical Analysis of the Tree Species Common to the Subtropical Moist Forests of the Petén, Guatemala". *Economic Botany* (51): 158-183.

Nalda, Enrique

2004 *Los Cautivos de Dzibanché*. México: Consejo Nacional para la Cultura y las Artes, Instituto Nacional de Antropología e Historia.

Olsen, Stanley

- 1964 *Mammal Remains from Archaeological Sites: Part 1: Southeastern and Southwestern United States*. Cambridge, MA: Peabody Museum Press.
- 1968 *Fish, Amphibian and Reptile Remains from Archaeological Sites. Part I: Southeastern and Southwestern United States*. Cambridge, MA: Peabody Museum Press
- 1982 *An Osteology of Some Maya Mammals*. Cambridge, MA: Peabody Museum Press.

Padilla, Liliana

- | 2010 “Operaciones CR 20 y CR-21: Excavaciones en el pPalacio de la Corona”. En *Proyecto Arqueológico La Corona: Informe Final, Temporada 2009*, editado por M. Canuto y T. Barrientos, pp.39-72. Instituto de Antropología e Historia, Guatemala.
- | 2011 “Operación CR 20: Excavaciones en el pPalacio de La Corona”. En *Proyecto Arqueológico La Corona: Informe Final, Temporada 2010*, editado por T. Barrientos, M. Canuto y M.J. Acuña, pp.151-172. Instituto de Antropología e Historia, Guatemala.

Padilla, Liliana y Eduardo Bustamante

- 2012 “En búsqueda de las mujeres del reino Kan: Excavaciones en el Palacio de la Corona”. Ponencia presentada en el *XXVI Simposio de Investigaciones Arqueológicas, Guatemala*. En edición.

Padilla, Liliana y Alejandra Roche

- | 2012 “Operación CR 20: Excavaciones en el Ppalacio de la Corona, Temporada 2011”. En *Proyecto Regional Arqueológico La Corona: Informe Final Temporada 2011*, editado por T. Barrientos, M. Canuto y J. Ponce, pp. 145-172. Instituto de Antropología e Historia, Guatemala.

Patterson, Erin E.

- 2011 “Análisis preliminar de los restos óseos humanos de La Corona”. En *Proyecto Arqueológico La Corona: Informe Final, Temporada 2010*, editado por T. Barrientos, M. Canuto y M.J. Acuña, pp.375-384. Instituto de Antropología e Historia, Guatemala.
- 2012 “Análisis de restos esqueléticos: Temporada 2011”. En *Proyecto Regional Arqueológico La Corona: Informe Final Temporada 2011*, editado por T. Barrientos, M. Canuto y J. Ponce, pp.373-83. Instituto de Antropología e Historia, Guatemala.

Pearsall, Deborah

- 2001 *Paleoethnobotany: A Handbook of Procedures*. Segunda Edición. Academic Press. San Diego, California.

Pohl, Mary

- 1985 “The privileges of Maya elites: Prehistoric vertebrate fauna from Seibal”. *Prehistoric Lowland Maya Environment and Subsistence Economy*, editado por M. Pohl, pp: 133-145. Cambridge, MA: Harvard University Press.

Ponce, Jocelyne y Camilo Nájera

2012 “Operación CR16, Excavaciones en la Estructura 13R-10, Temporada 2011”. En *Proyecto Regional Arqueológico La Corona: Informe Final Temporada 2011*, editado por T. Barrientos, M. Canuto y J. Ponce, pp. 279-317. Instituto de Antropología e Historia, Guatemala.

Pontaza, Jorge

2012 “Investigación del Grupo 14S-1 “El Caballito”. En *Proyecto Arqueológico La Corona. Informe Final Temporada 2011*, editado por T. Barrientos, M. Canuto y J. Ponce, pp. 335-346. Instituto de Antropología e Historia, Guatemala.

Reitz, Elizabeth J. y Elizabeth S. Win

2008 *Zooarchaeology*. Cambridge, UK: Cambridge University Press.

Sabloff, Jeremy A.

1975 *Excavations at Seibal, Number 2: Ceramics*. Peabody Museum of Archaeology and Ethnology, Harvard University, Cambridge.

Sharer, Robert

2003 “Tikal and the Copan Dynastic Founding”. En *Changing Perspectives on Tikal and the Development of Ancient Maya Civilization*, editado por J. A. Sabloff. The School of American Research, Santa Fe.

Sheets, Payson, David Lentz, Christine Dixon, George Maloof, Andrew Tetlow y Angie Hood

2009 *Report of the 2009 Maya Agriculture Project, South of Joya de Cerén, El Salvador*. Online Report.

Smith, Robert

1966 *Ceramic Sequence at Uaxactun, Guatemala*, 2 volúmenes. Tulane University, Middle American Research Institute, Publication 20, New Orleans.

Smith, Robert y James Gifford

1966 *Maya Ceramic Varieties, Types, and Wares at Uaxactun: Supplement to “Ceramic Sequence at Uaxactun, Guatemala.”* Middle American Research Institute, Tulane University, Publicación 28, pp. 125-174.

Smith, Robert, Gordon Willey y James Gifford

1960 “The Type-Variety Concept as a Basis for the Analysis of Maya Pottery.” *American Antiquity* (25):3, pp. 330-340.

Staller, John E. y Michael D. Carrasco (eds.)

2010 *Pre-Columbian Foodways in Mesoamerica: Interdisciplinary Approaches to Food, Culture, and Markets in Ancient Mesoamerica*. Springer, New York.

Stuart, David

- 1992 Hieroglyphs and Archaeology at Copan. *Ancient Mesoamerica* 3(1):161-168.
- 2000 “The Arrival of Strangers’: Teotihuacan and Tollan in Classic Maya History”. En *Mesoamerica’s Classic Heritage: From Teotihuacan to the Aztecs*, editado por D. Carrasco, L. Jones y S. Sessions, pp. 465-514. University Press of Colorado, Boulder.
- 2001 La Ruinas de La Corona, Petén, y la Identificación del ‘Sitio Q’, Ponencia presentada en el XV Simposio de Investigaciones Arqueológicas en Guatemala, Guatemala.
- 2005 *The Inscriptions from Temple XIX at Palenque: A Commentary*. Pre-Columbian Art Research Institute, San Francisco.
- 2012 “Notes on a New Text from La Corona”.
<http://decipherment.wordpress.com/2012/06/30/notes-on-a-new-text-from-la-corona/>.

Teeter, Wendy G.

- 2004 “Animal utilization in a growing city: Vertebrate exploitation at Caracol, Belize”. *Maya Zooarchaeology: New Directions in Method and Theory*, editado por K.F. Emery, pp: 177-191. Los Angeles: Cotsen Institute of Archaeology, University of California, Los Angeles.

Thompson, Eric S.

- 1960 *Maya Hieroglyphic Writing: An Introduction*. University of Oklahoma Press, Norman, Oklahoma.

Tokovinine, Alexandre.

- 2007 “Of Snake Kings and Cannibals: a Fresh Look at the Naranjo Hieroglyphic Stairway”. *PARI Journal* 7(4):15-22.

Velásquez Antolín

- 2011 “Operación CR32: Excavaciones en la Estructura 13Q-2”. En *Proyecto Arqueológico La Corona: Informe Final Temporada 2010*, editado por M. Canuto y T. Barrientos, pp.173-194. Instituto de Antropología e Historia, Guatemala.

Velásquez, Erick

- 2004 “Los Escalones Jeroglíficos de Dzibanche”. En *Los Cautivos de Dzibanche*, editado por E. Nalda, pp.79–104. Instituto Nacional de Antropología e Historia, Mexico, DF.
- 2008 “Los Posibles Alcances Territoriales de la Influencia Política de Dzibanché durante el Clásico Temprano: Nuevas Alternativas para Interpretar las Menciones Históricas sobre la Entidad Política de Kan”. En *El Territorio Maya: Memoria de la Quinta Mesa Redonda de Palenque*, editado por R. Liendo, pp. 323-352. México: Instituto Nacional de Antropología e Historia.

Willcox, Merlin., Bertrand Graz, Jacques Falquet, Oumar Sidibé, Mathieu Forster y Drissa Diallo

- 2007 “*Argemone mexicana* Decoction for the Treatment of Uncomplicated Falciparum Malaria”. *Transactions of the Royal Society of Tropical Medicine and Hygiene* 101(12): 1190–1198.

APÉNDICE A

Listado de Monumentos

No. de Monumento	Nombre de monumento	Denominación previa	Descripción
1a	Estela 1		Estela/ Discute los eventos en la vida de <i>Chak Ak'aach Yuk</i> / Lado inferior
1b	Estela 1		Estela / Discute los eventos en la vida de <i>Chak Ak'aach Yuk</i> / Esquina superior derecha
1c	Estela 1		Estela / Discute los eventos en la vida de <i>Chak Ak'aach Yuk</i> / Esquina superior izquierda
1d	Estela 1		Estela / Discute los eventos en la vida de <i>Chak Ak'aach Yuk</i> / Fragmento central
2	Estela 2		Estela/Muy erosionada/Menciona ascenso de un rey
3a	Altar 1		Altar / Muy erosionado / Menciona el aniversario del ascenso de <i>Yuknoom Ch'een</i> / Fragmento con "Sak Wayis"
3b	Altar 1		Altar / Muy erosionado / Menciona el aniversario del ascenso de <i>Yuknoom Ch'een</i> / Fragmento con iconografía
3c	Altar 1		Altar / Muy erosionado / Menciona el aniversario del ascenso de <i>Yuknoom Ch'een</i> / Fragmento con "Sak Nikte"
4a	Altar 2		Altar / Muy erosionado / Da fecha 785 / Muestra un Señor con un pájaro acuático/Fragmento superior
4b	Altar 2		Altar / Muy erosionado / Da fecha 785 / Muestra un Señor con un pájaro acuático/Fragmento inferior
5a	Altar 3		Altar / Muy erosionado / Contiene escenas con figuras / Fragmento superior
5b	Altar 3		Altar / Muy erosionado / Contiene escenas con figuras / Fragmento inferior
6a	Altar 4		Altar / Menciona la llegada de mujer de Tikal / Contiene los glifos A1-I2
6b	Altar 4		Altar / Menciona la llegada de mujer de Tikal / Contiene los glifos J1-R2
6c	Altar 4		Altar / Menciona la llegada de mujer de Tikal / Contiene los glifos A4-R5
6d	Altar 4		Altar / Menciona la llegada de mujer de Tikal / Contiene los glifos U1-H5
6e	Altar 4		Altar / Menciona la llegada de mujer de Tikal / Contiene los glifos L3-P5
7	Panel 1a		Panel / Muestra a <i>K'inich ¿? Yook</i> como el dios del maíz de Calakmul
8	Panel 1b		Panel / Muestra a <i>K'inich ¿? Yook</i> como un Sak Wayis

No. de Monumento	Nombre de monumento	Denominación previa	Descripción
9	Friso Jeroglífico 1, Bloque I		Catalogado en Informe 2008/No hay imagen conocida
10	Friso Jeroglífico 1, Bloque II		Catalogado en Informe 2008/No hay imagen conocida
11	Panel 7	"Panel de Damien"	Altar o panel grande/Muestra varias escenas/Muy erosionado
12	Cilindro Glífico 1		Columna / Glifo único / 7 Ok?
13	Cilindro Glífico 2		Columna / Glifo único / Ilegible
14	Cilindro Glífico 3		Columna / Glifo único/ 3 Keh?
15	E.J. 1, Bloque 23	<i>E.J.1, Bloque XIV</i>	Bloque con glifo único/ Se lee <i>ma'ch'ab</i> (sin penitencia)
16	E.J. 1, Bloque 24	<i>E.J.1, Bloque XV</i>	Bloque con glifo único / Ilegible
17	E.J. 1, Bloque 25	<i>E.J.1, Bloque XVI</i>	Bloque con glifo único / Ilegible
18	E.J. 1, Bloque 26	<i>E.J.1, Bloque XVII</i>	Bloque con glifo único / Ilegible
19	E.J. 1, Bloque 27	<i>E.J.1, Bloque XVIII</i>	Bloque con glifo único / Ilegible
20	E.J. 1, Bloque 28	<i>E.J.1, Bloque XIX</i>	Bloque con glifo único / Ilegible
21	E.J. 1, Bloque 29	<i>E.J.1, Bloque XX</i>	Bloque con glifo único / Ilegible
22	E.J. 1, Bloque 30	<i>E.J.1, Bloque XXI</i>	Bloque con glifo único / Ilegible
23	E.J. 1, Bloque 31	<i>E.J.1, Bloque XXII</i>	Bloque con glifo único / Ilegible
24	E.J. 1, Bloque 32	<i>E.J.1, Bloque XXIII</i>	Bloque con glifo único / Ilegible
25	E.J. 1, Bloque 33	<i>E.J.1, Bloque XIV</i>	Bloque con glifo único / Ilegible
26	E.J. 1, Bloque 34	<i>E.J.1, Bloque XXV</i>	Bloque con glifo único / Ilegible
27	E.J. 1, Bloque 35	<i>E.J.1, Bloque XXVI</i>	Bloque con glifo único / Ilegible
28	E.J. 1, Bloque 36	<i>E.J.1, Bloque XXVII</i>	Bloque con glifo único / Ilegible
29	E.J. 1, Bloque 37	<i>E.J.1, Bloque XXVIII</i>	Bloque con glifo único / Ilegible
30	E.J. 1, Bloque 38	<i>E.J.1, Bloque XXIX</i>	Bloque con glifo único / Ilegible
31	E.J. 1, Bloque 39	<i>E.J.1, Bloque XXX</i>	Bloque con glifo único / Ilegible
32	E.J. 1, Bloque 40	<i>E.J.1, Bloque XXXI</i>	Bloque con glifo único / Ilegible
33	E.J. 1, Bloque 41	<i>E.J.1, Bloque XXXII</i>	Bloque con glifo único / Ilegible
34	E.J. 1, Bloque 42	<i>E.J.1, Bloque XXXIII</i>	Bloque con glifo único / Ilegible
35	E.J. 1, Bloque 43	<i>E.J.1, Bloque XXXIV</i>	Bloque con glifo único / Ilegible
36	E.J. 1, Bloque 44	<i>E.J.1, Bloque XXXV</i>	Bloque con glifo único / Ilegible
37	E.J. 1, Bloque 45	<i>E.J.1, Bloque XXXVI</i>	Bloque con glifo único / Ilegible

No. de Monumento	Nombre de monumento	Denominación previa	Descripción
38	E.J. 1, Bloque 46	<i>E.J.1, Bloque XXXVII</i>	Bloque con glifo único / Ilegible
39	E.J. 1, Bloque 47	<i>E.J.1, Bloque XXXVIII</i>	Bloque con glifo único / Ilegible
40	E.J. 1, Bloque 48	<i>E.J.1, Bloque XXXIX</i>	Bloque con glifo único / Ilegible
41	E.J. 1, Bloque 49	<i>E.J.1, Bloque XL</i>	Bloque con glifo único / Ilegible
42	E.J. 1, Bloque 50	<i>E.J.1, Bloque XLI</i>	Bloque con glifo único / Ilegible
43	E.J. 1, Bloque 51	<i>E.J.1, Bloque XLII</i>	Bloque con glifo único / Ilegible
44	E.J. 1, Bloque 52	<i>E.J.1, Bloque XLIII</i>	Bloque con glifo único / Ilegible
45	E.J. 1, Bloque 53	<i>E.J.1, Bloque XLIV</i>	Bloque con glifo único / Ilegible
46	E.J. 1, Bloque 54	<i>E.J.1, Bloque XLV</i>	Bloque con glifo único / Ilegible
47	E.J. 1, Bloque 55	<i>E.J.1, Bloque XLVI</i>	Bloque con glifo único / Ilegible
48	E.J. 1, Bloque 56	<i>E.J.1, Bloque XLVII</i>	Bloque con glifo único / Ilegible
49	E.J. 1, Bloque 57	<i>E.J.1, Bloque XLVIII</i>	Bloque con glifo único / Ilegible
50	E.J. 1, Bloque 58	<i>E.J.1, Bloque XLIX</i>	Bloque con glifo único / Ilegible
51	E.J. 1, Bloque 59	<i>E.J.1, Bloque L</i>	Bloque con glifo único / Ilegible
52	E.J. 1, Bloque 60	<i>E.J.1, Bloque LI</i>	Bloque con glifo único / Ilegible
53	E.J. 1, Bloque 61	<i>E.J.1, Bloque LII</i>	Bloque con glifo único / Ilegible
54	E.J. 1, Bloque 62	<i>E.J.1, Bloque LIII</i>	Bloque con glifo único / Ilegible
55	E.J. 1, Bloque 63	<i>E.J.1, Bloque LIV</i>	Bloque con glifo único / Ilegible
56	E.J. 1, Bloque 64	<i>E.J.1, Bloque LV</i>	Bloque con glifo único / Ilegible
57	E.J. 1, Bloque 65	<i>E.J.1, Bloque LVI</i>	Bloque con glifo único / Ilegible
58	E.J. 1, Bloque 66	<i>E.J.1, Bloque LVII</i>	Bloque con glifo único / Ilegible
59	E.J. 1, Bloque 67	<i>E.J.1, Bloque LVIII</i>	Bloque con glifo único / Ilegible
60	E.J. 1, Bloque 68	<i>E.J.1, Bloque LIX</i>	Bloque con glifo único / Ilegible
61	E.J. 1, Bloque 69	<i>E.J.1, Bloque LX</i>	Bloque con glifo único / Ilegible
62	E.J. 1, Bloque 70	<i>E.J.1, Bloque LXI</i>	Bloque con glifo único / Ilegible
63	E.J. 1, Bloque 71	<i>E.J.1, Bloque LXII</i>	Bloque con glifo único / Ilegible
64			Fragmento / Iconografía representando rostro con un signo k'an como ojo
65	E.J. 2, Bloque 9 / E.J. A, Bloque 20		Bloque de escalinata/ Menciona llegada de la esposa de <i>K'inich</i> ¿? <i>Yook</i> a La Corona
66	E.J. 2, Bloque 11 / E.J. A, Bloque 21		Bloque de escalinata/ Menciona el baile de flauta de pluma verde

No. de Monumento	Nombre de monumento	Denominación previa	Descripción
67	E.J. 2, Bloque 13 / E.J.A, Bloque 22	<i>E.J. 2, Bloque 1 de segunda fila de la</i>	Bloque de escalinata / Menciona el surgimiento de <i>Yich'aak K'ahk'</i> de una ubicación
68	E.J.2, Bloque 4		Bloque de escalinata / Menciona la muerte de <i>Yich'aak K'ahk'</i>
69	E.J.2, Bloque 10		Bloque de escalinata/ Menciona la captura de <i>K'in Kaloomb Chaak</i>
70	E.J.2, Bloque 1		Bloque de escalinata / Menciona a <i>K'inich Yax K'uk' Mo'</i>
71	E.J.2, Bloque 12		Bloque de escalinata / 8 glifos / Sin terminar
72	E.J.2, Bloque 2		Bloque de escalinata/ Muestra a Señor parado frente a incensario
73	E.J.2, Bloque 3		Bloque de escalinata / Muestra mujer sentada en un trono con un enano
74	E.J.2, Bloque 5	<i>"El Precioso"</i>	Panel glífico / Discute eventos de la vida de <i>Chak Ak'aach Yuk</i> / Menciona fecha en 2012
75	E.J.2, Bloque 6		Panel / Muestra a <i>Yajawte' K'inich</i> sentado en un trono
76	E.J.2, Bloque 7		Panel / Muestra a <i>Sak Maas</i> con una manopla
77	E.J.2, Bloque 8		Panel / Muestra a <i>Yuknoom Ch'een</i> con una manopla
78		<i>"Estela de Eduardo"</i>	Fragmento / Iconografía temprana con un signo k'an

Listado de Monumentos Saqueados

No. de Monumento saqueado	Nombre de monumento	Denominación previa del PRALC	OTRA denominación previa	Descripción
1	Panel 2		Sitio Q, Panel 2 / Panel Detaille	Panel glífico inciso/Discute eventos en las vidas de <i>Sak Maas, K'uk' Ajaw, Chakaw Nahb Chan</i> y <i>K'inich ¿? Yook</i>
2	Panel 2		Sitio Q, Panel 2a	Panel glífico inciso/Discute eventos en las vidas de <i>Sak Maas, K'uk' Ajaw, Chakaw Nahb Chan</i> y <i>K'inich ¿? Yook</i>
3	Panel 3		Sitio Q, Panel 1 / Panel Grolier	Panel jeroglífico / Describe eventos en la vida de <i>Chakaw Nahb Chan</i> / La otra mitad del panel no ha sido recuperada
4	Panel 4		Sitio Q, Panel 4	Panel jeroglífico/Describe el nacimiento de <i>Chak Ak'aach Yuk</i> / Inscripción incompleta
5	Panel 5		Sitio Q, Panel A	Catalogado por Peter Mathews / No hay imagen conocida
6a	Panel 6	Altar 5	Tableta de Dallas / Altar de Dallas	Altar o panel grande/Dos reinas de La Corona representadas/Lado izquierdo
6b	Panel 6	Altar 5	Tableta de Dallas / Altar de Dallas	Altar o panel grande/Dos reinas de La Corona representadas/Lado derecho
6c	Panel 6	Altar 5		Restos del monumento
7	E.J. A, Bloque 1	E.J.3, Bloque I	Sitio Q, Panel Glífico A	Bloque de escalinata jeroglífica/ Menciona la muerte del rey de Santa Elena
8	E.J. A, Bloque 2	E.J.3, Bloque II	Sitio Q, Panel Glífico B	Bloque de escalinata jeroglífica/ Menciona el entierro de los padres de <i>K'inich ¿? Yook</i>
9	E.J. A, Bloque 3	E.J.3, Bloque III	Sitio Q, Panel Glífico D	Bloque de escalinata jeroglífica/ Menciona el surgimiento de <i>Yich'aak K'ahk'</i> de una ubicación
10	E.J. A, Bloque 4	E.J.3, Bloque IV	Sitio Q, Panel Glífico C	Bloque de escalinata jeroglífica/Menciona el conjuro de <i>Ikiy</i> por <i>Sak Maas</i>
11	E.J. B, Bloque ?	E.J.2, Bloque VI	Sitio Q, Panel Glífico 6	Bloque de escalinata jeroglífica/Menciona el nacimiento de <i>Yich'aak K'ahk'</i>
12	E.J. B, Bloque ?	E.J.2, Bloque VII	Sitio Q, Panel Glífico 7	Bloque de escalinata jeroglífica/Menciona la dedicación de la casa de <i>K'ahk' Way Na's</i>
13	E.J. B, Bloque ?	E.J.2, Bloque VIII	Sitio Q, Panel Glífico 1	Bloque de escalinata jeroglífica/ 6 glifos/ Fecha de serie inicial
14	E.J. B, Bloque ?	E.J.2, Bloque IX	Sitio Q, Panel Glífico 9	Bloque de escalinata jeroglífica/ Menciona juego de pelota
15a	E.J. B, Bloque ?	E.J.2, Bloque X	Sitio Q, Panel Glífico 4	Bloque de escalinata jeroglífica/ Menciona juego de pelota por <i>Yich'aak K'ahk'</i>
15b	E.J. B, Bloque ?	E.J.2, Bloque X		Restos del monumento
16	E.J. B, Bloque ?	E.J.2, Bloque XI	Sitio Q, Panel Glífico 8	Bloque de escalinata jeroglífica/Menciona el séptimo señorío
17	E.J. B, Bloque ?	E.J.2, Bloque XII	Sitio Q, Panel Glífico 3	Bloque de escalinata jeroglífica/6 glifos/Calendárico
18	E.J. B, Bloque ?	E.J.2, Bloque XIII	Sitio Q, Panel Glífico 5	Bloque de escalinata jeroglífica/6 glifos / <i>K'ahk' Way Na'</i> es testigo de algo
19	E.J. B, Bloque ?	E.J.2, Bloque XIV	Sitio Q, Panel Glífico 11	Bloque de escalinata jeroglífica/6 glifos/Menciona un casco

No. de Monumento saqueado	Nombre de monumento	Denominación previa del PRALC	OTRA denominación previa	Descripción
20	E.J. B, Bloque ?	Misc. 4	Sitio Q, Panel Glífico 10	Bloque de escalinata jeroglífica/ 4 glifos / Serie Inicial
21	E.J. B, Bloque ?	Misc. 5	Sitio Q, Panel Glífico 2	Bloque de escalinata jeroglífica / 4 glifos / Calendárico
22	E.J. B, Bloque ?	E.J.2, Bloque I	Sitio Q, Panel 2 de jugadores del pelota	Bloque de escalinata jeroglífica/Jugador de pelota viendo hacia la derecha
23	E.J. B, Bloque ?	E.J.2, Bloque II	Sitio Q, Panel 4 de jugadores del pelota	Bloque de escalinata jeroglífica/Jugador de pelota viendo hacia la izquierda
24	E.J. B, Bloque ?	E.J.2, Bloque III	Sitio Q, Panel 3 de jugadores del pelota	Bloque de escalinata jeroglífica/Jugador de pelota viendo hacia la izquierda
25	E.J. B, Bloque ?	E.J.2, Bloque IV	Sitio Q, Panel 6 de jugadores del pelota	Bloque de escalinata jeroglífica/Jugador de pelota viendo hacia la derecha
26	E.J. B, Bloque ?	E.J.2, Bloque V	Sitio Q, Panel 5 de jugadores del pelota	Bloque de escalinata jeroglífica/Jugador de pelota viendo hacia la izquierda
27	E.J. B, Bloque ?	Misc. 1	Sitio Q, Panel 1 de jugadores del pelota	Panel pequeño/ Representa a <i>Chak Ak'aach Yuk</i> jugando pelota en Calakmul
28		Misc. 2	Sitio Q, Panel 3	Panel / Representa a <i>Chakaw Nahb Chan</i> con su esposa
29		Misc. 3	Estela 5	Panel / Menciona la construcción de <i>Akan</i>
30	E.J. 1, Bloque 1	E.J.1, Bloque I		Bloque con un solo glifo / Se lee <i>yajawte'</i>
31	E.J. 1, Bloque 2	E.J.1, Bloque II		Bloque con un solo glifo / Contiene el glifo <i>chak</i> (rojo)
32	E.J. 1, Bloque 3	E.J.1, Bloque III		Bloque con un solo glifo / Se lee <i>k'uhul</i>
33	E.J. 1, Bloque 4	E.J.1, Bloque IV		Bloque con un solo glifo/ Se lee <i>ixik</i>
34	E.J. 1, Bloque 5	E.J.1, Bloque V		Bloque con un solo glifo / Probablemente con fecha 3 Keh
35	E.J.1, Bloque6	E.J.1, Bloque VI		Bloque con un solo glifo/ Contiene sílaba <i>-bu</i>
36	E.J.1, Bloque7	E.J.1, Bloque VII		Bloque con un solo glifo/ Podría contener <i>ha</i> (agua)
37	E.J.1, Bloque8	E.J.1, Bloque VIII		Bloque con un solo glifo/ Ilegible
38	E.J.1, Bloque9	E.J.1, Bloque IX		Bloque con un solo glifo/ Ilegible
39	E.J.1, Bloque10	E.J.1, Bloque X		Bloque con un solo glifo/Podría contener la sílaba <i>-tz'a</i>
40	E.J.1, Bloque11	E.J.1, Bloque XI		Bloque con un solo glifo/Ilegible
41	E.J.1, Bloque12	E.J.1, Bloque XII		Bloque con un solo glifo/Se lee <i>ch'een</i> (cueva/ciudad)
42a	Altar 5			Restos de monumento / Sin pareja conocida
43	E.J.A, Bloque5	E.J.A, Bloque VII	"Bloque de Stanley"	Bloque de escalinata jeroglífica/ Menciona un evento atestiguado por el Kaloomte'
44	E.J.1, Bloque13	E.J.1, Bloque XIII		Bloque con un solo glifo / Se lee <i>ma'ak'abil</i> (sin oscuridad)
45	E.J.1, Bloque14	E.J.1, Bloque XIV		Bloque de escalinata jeroglífica / Bloques de 6-8 glifos / Ilegible
46	E.J.1, Bloque15	E.J.1, Bloque XV		Bloque con un solo glifo/ Ilegible

No. de Monumento saqueado	Nombre de monumento	Denominación previa del PRALC	OTRA denominación previa	Descripción
47	E.J.1, Bloque16	<i>E.J.1, Bloque XVI</i>		Bloque con un solo glifo / Ilegible
48	E.J.1, Bloque17	<i>E.J.1, Bloque XVII</i>		Bloque con un solo glifo / Ilegible
49	E.J.1, Bloque18	<i>E.J.1, Bloque XVIII</i>		Bloque con un solo glifo/ Ilegible
50	E.J.1, Bloque19	<i>E.J.1, Bloque XIX</i>		Bloque con un solo glifo/ Ilegible
51	E.J.1, Bloque20	<i>E.J.1, Bloque XX</i>		Bloque con un solo glifo/ Ilegible
52	E.J.1, Bloque21	<i>E.J.1, Bloque XXI</i>		Bloque con un solo glifo/ Ilegible
53	E.J.1, Bloque22	<i>E.J.1, Bloque XXII</i>		Bloque con un solo glifo/ Ilegible
54	E.J.A, Bloque 6	<i>E.J. 3, Bloque V</i>	K9126	Bloque de escalinata jeroglífica / Menciona el nacimiento de <i>Janahb</i>
55	E.J.A, Bloque 7	<i>E.J. 3, Bloque VI</i>	K9128	Bloque de escalinata jeroglífica / Menciona la construcción de la Casa 11 Ajaw
56	E.J.A, Bloque 8	<i>E.J. 3, Bloque VIII</i>	K9127	Bloque de escalinata jeroglífica / Menciona que <i>K'inich ¿? Yook</i> bebe y da pulque
57		<i>Misc. 6</i>		Bloque con un solo glifo/ Ilegible
58		<i>Misc. 7</i>		Bloque con un solo glifo/ Se lee xu-ba-ba-Te'
59		<i>E.J. 2, Bloque XV</i>	<i>"Bloque Mexicon / de Mateo"</i>	Bloque de escalinata jeroglífica / 6 glifos / Menciona la promoción de <i>K'ahk' Way Na'</i>
60		<i>Misc. 8</i>	06-2011/PH / <i>"Bloque Quenon"</i>	Panel o bloque de escalinata jeroglífica / Bloques de 6 glifos/ Menciona la dedicación de un complejo de 5 plataformas
61	E.J.A, Bloque 9	<i>E.J. 3, Bloque IX</i>	<i>E.J.2, Bloque Saqueado 17</i>	Bloque de escalinata jeroglífica / Casi todo ilegible / Fecha de fin de período con error de escriba
62	E.J.A, Bloque 10	<i>E.J. 3, Bloque X</i>	<i>E.J.2, Bloque Saqueado 21</i>	Bloque de escalinata jeroglífica/ Casi todo ilegible/ Menciona a <i>K'inich ¿? Yook</i>
63	E.J.A, Bloque 11		<i>E.J.2, Bloque Saqueado 15</i>	Bloque de escalinata jeroglífica/ Casi todo ilegible/ Contiene fecha 9 Lamat 16 Yax
64	E.J.A, Bloque 12		<i>E.J.2, Bloque Saqueado 22</i>	Bloque de escalinata jeroglífica / Menciona a <i>K'inich ¿? Yook</i> , un Ajaw de 5 K'atunes
65	E.J.A, Bloque 13		<i>E.J.2, Bloque Saqueado 14</i>	Bloque de escalinata jeroglífica/Menciona la llegada de <i>K'inich ¿? Yook</i> en La Corona después de la muerte de sus padres
66	E.J.A, Bloque 14		<i>E.J.2, Bloque Saqueado 18</i>	Bloque de escalinata jeroglífica/Menciona el conjuro de <i>Ikiiy</i> por <i>K'inich ¿? Yook</i>
67	E.J.A, Bloque 15		<i>E.J.2, Bloque Saqueado 16</i>	Bloque de escalinata jeroglífica / Menciona el viaje de <i>K'inich ¿? Yook</i> a Calakmul
68	E.J.A, Bloque 16		<i>E.J.2, Bloque Saqueado 23</i>	Bloque de escalinata jeroglífica / Casi todo ilegible / Coeficiente visible 13
69	E.J.A, Bloque 17		<i>E.J.2, Bloque Saqueado 24</i>	Bloque de escalinata jeroglífica / Casi todo ilegible / Contiene número de distancia y el nombre de una mujer
70	E.J.A, Bloque 18		<i>E.J.2, Bloque Saqueado 19</i>	Bloque de escalinata jeroglífica/ Discute eventos (posible guerra) involucrando a <i>Aj Wak'ib</i>
71	E.J.A, Bloque 19		<i>E.J.2, Bloque Saqueado 20</i>	Bloque de escalinata jeroglífica/Menciona a <i>Aj Wak'ib</i> y finaliza con <i>chekaj</i>

